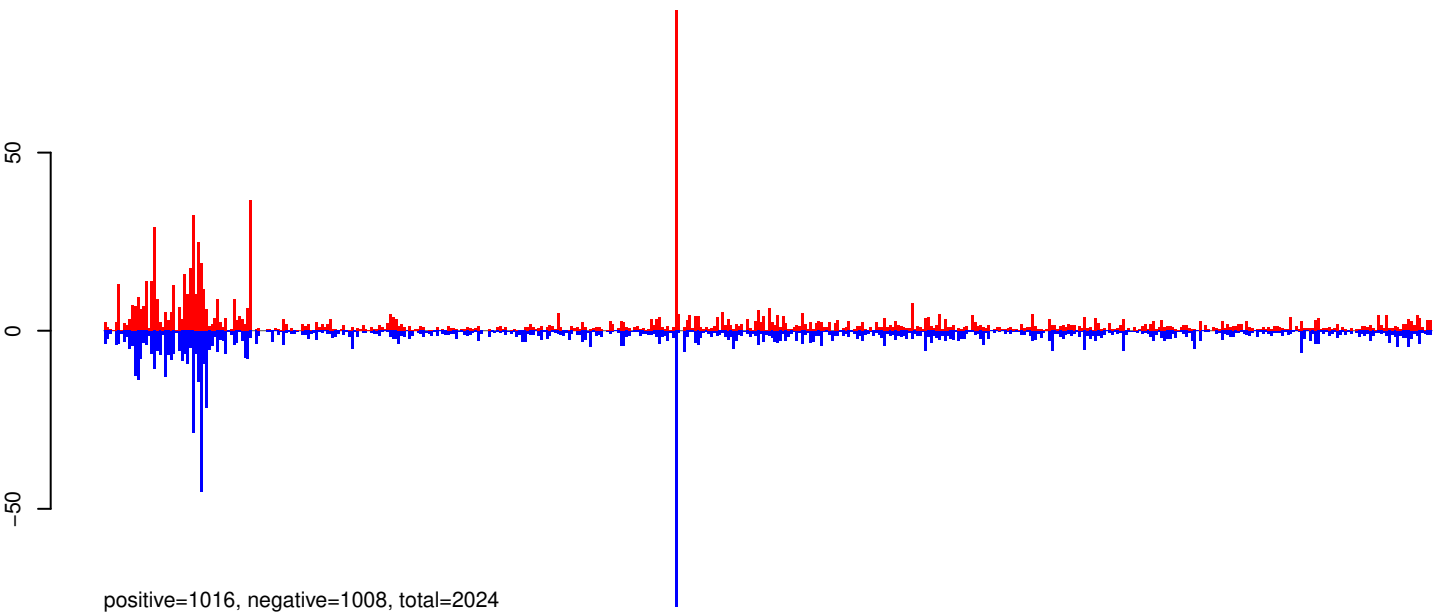
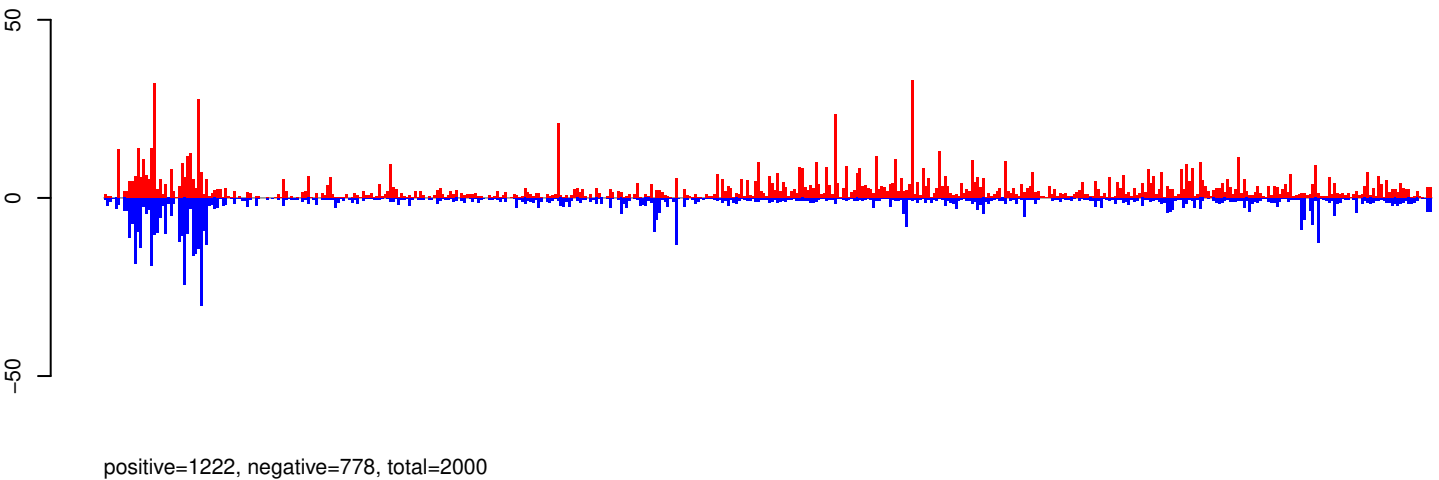


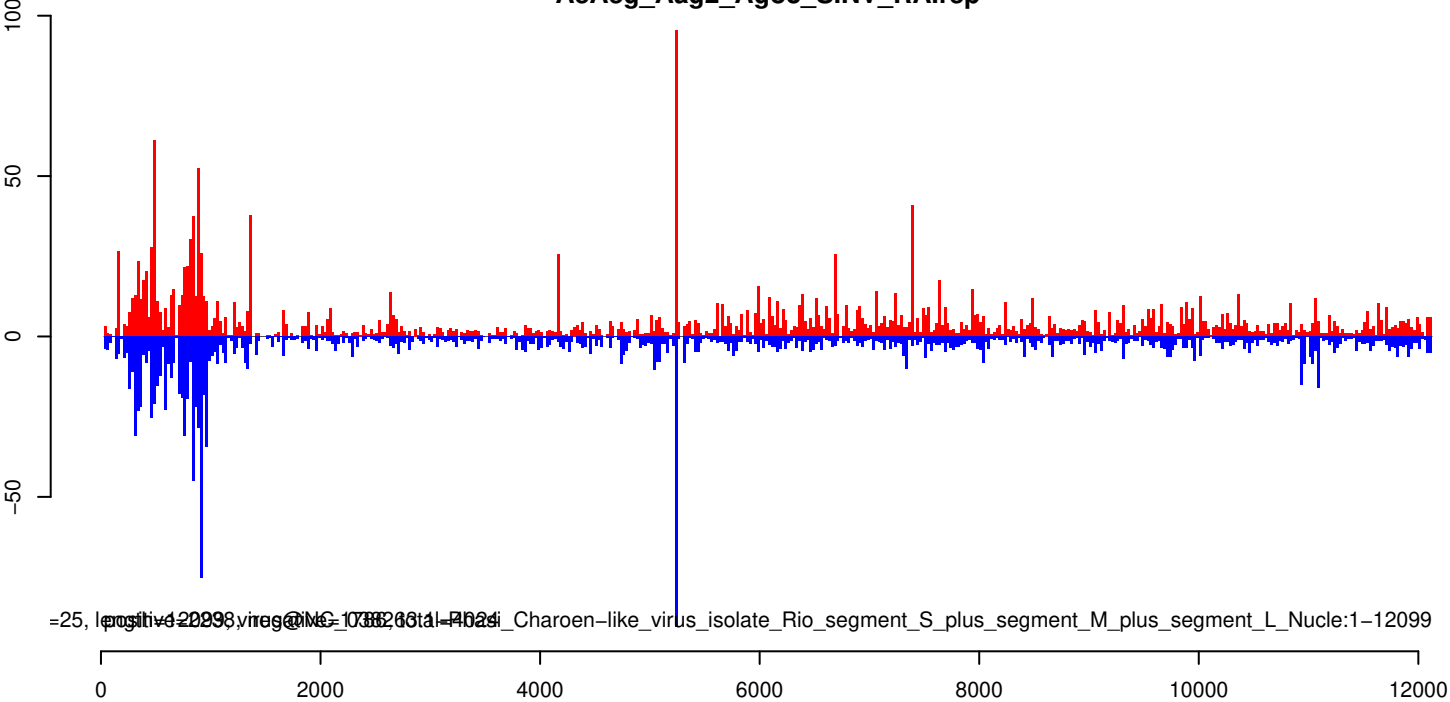
AeAeg_Aag2_Ago3_SINV_RA.18_23.rep



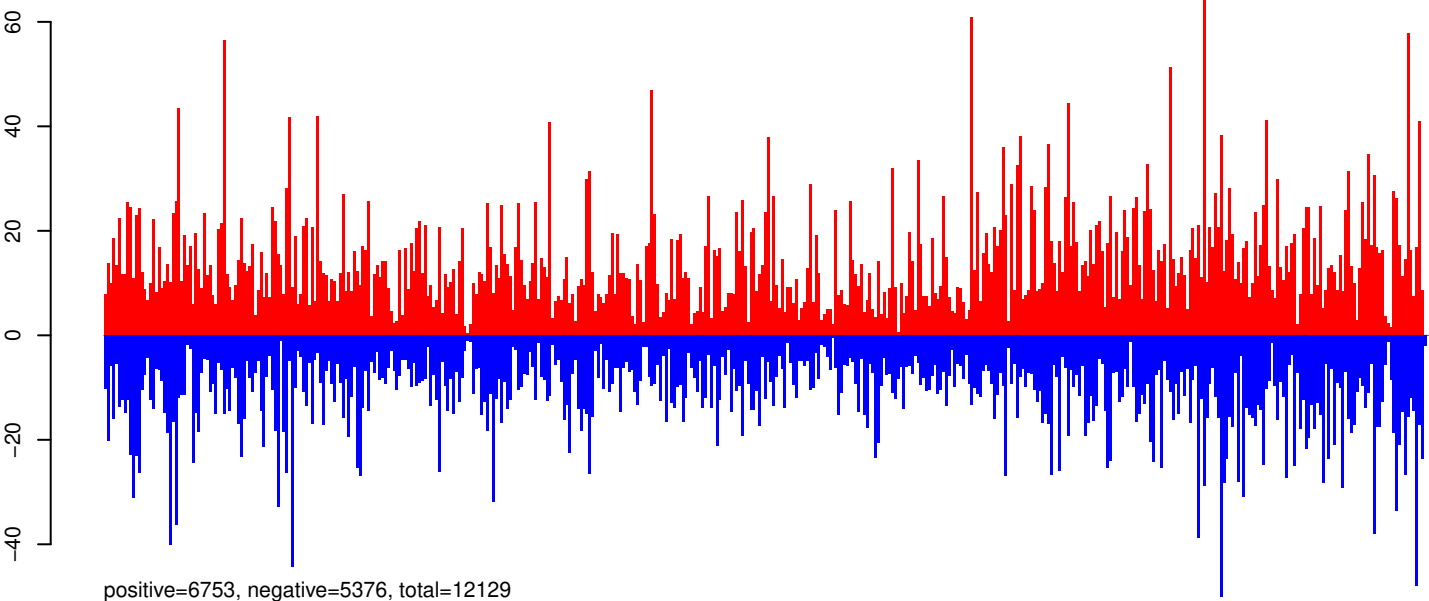
AeAeg_Aag2_Ago3_SINV_RA.24_35.rep



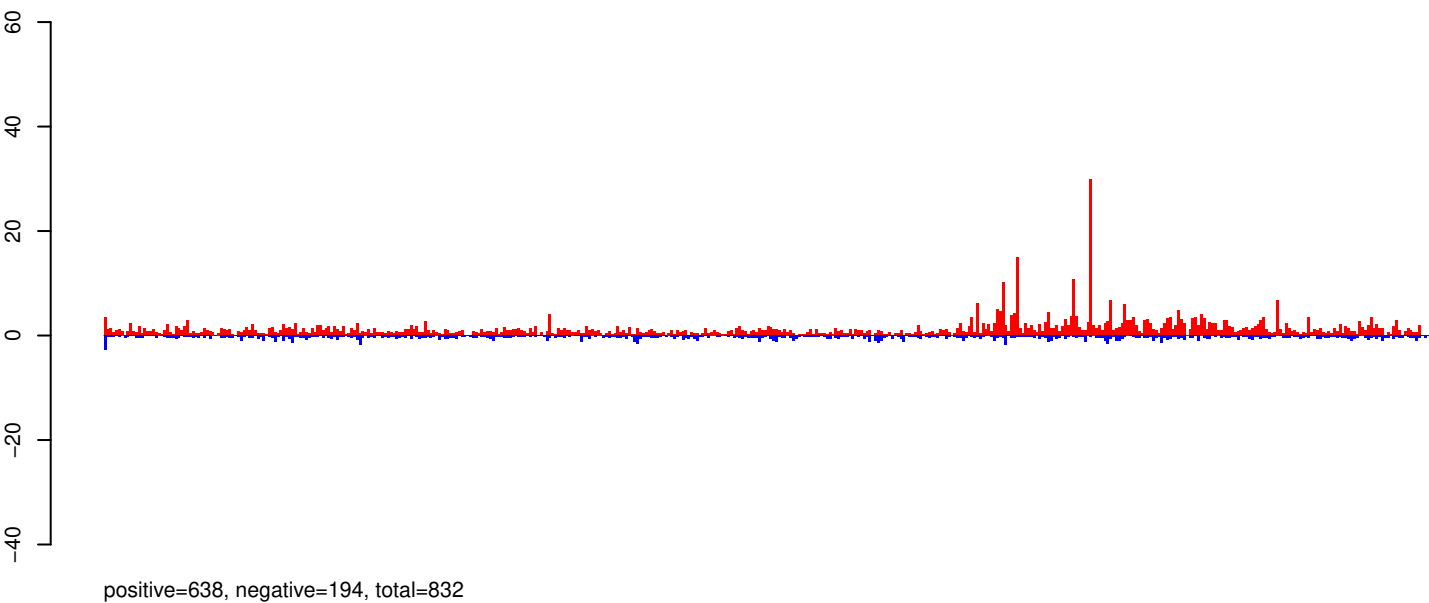
AeAeg_Aag2_Ago3_SINV_RA.rep



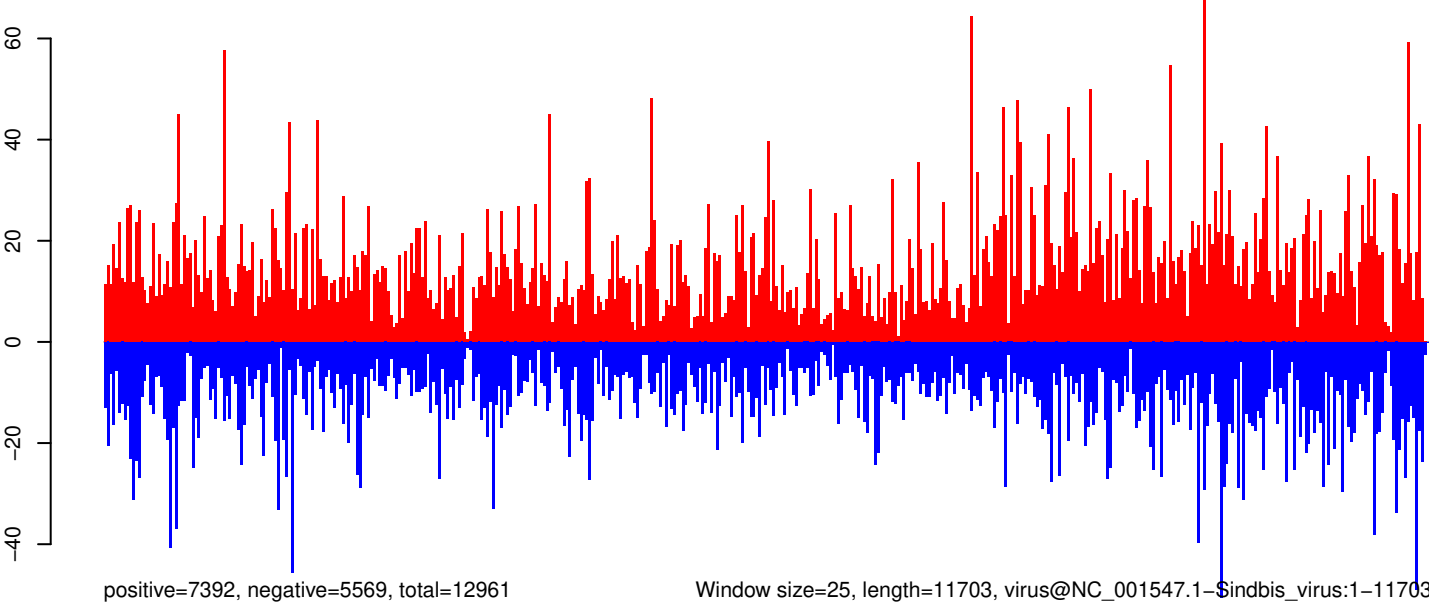
AeAeg_Aag2_Ago3_SINV_RA.18_23.rep



AeAeg_Aag2_Ago3_SINV_RA.24_35.rep

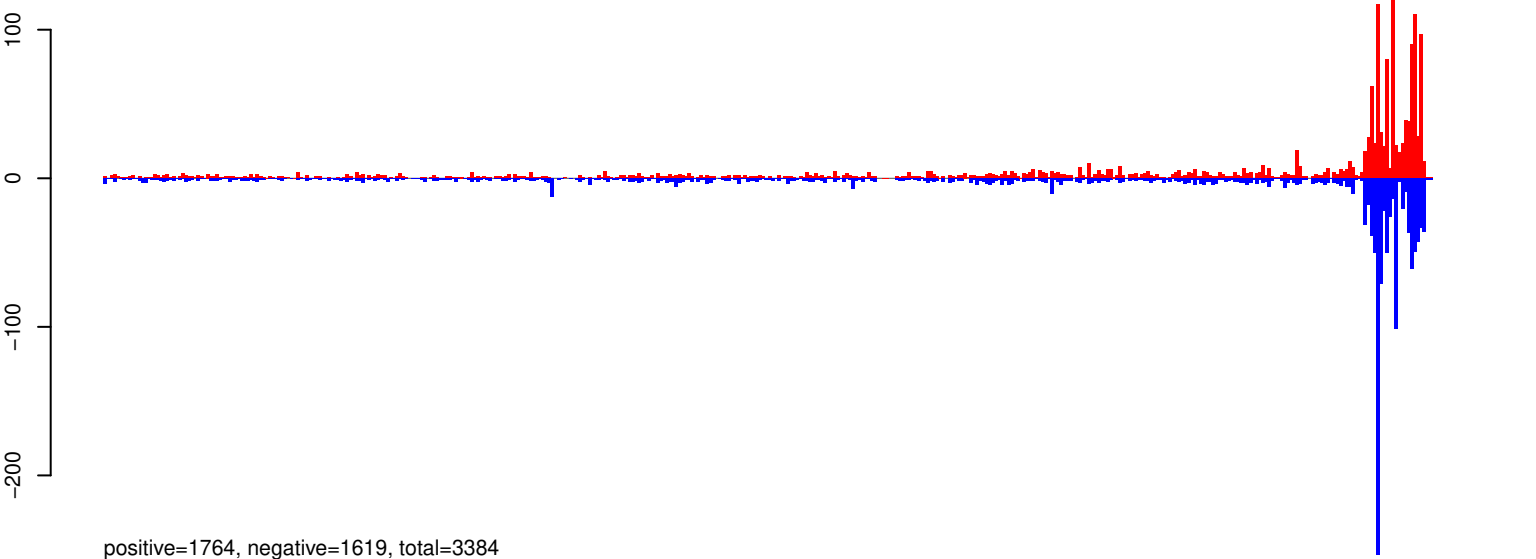


AeAeg_Aag2_Ago3_SINV_RA.rep

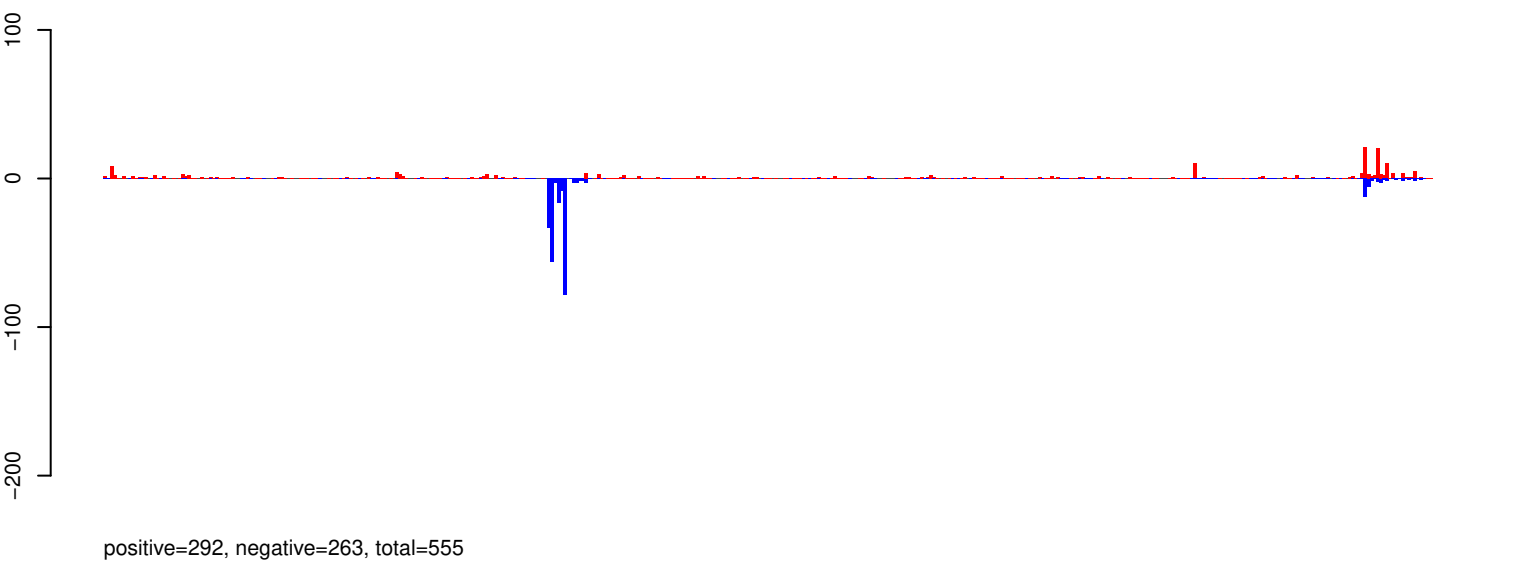


0 2000 4000 6000 8000 10000 12000

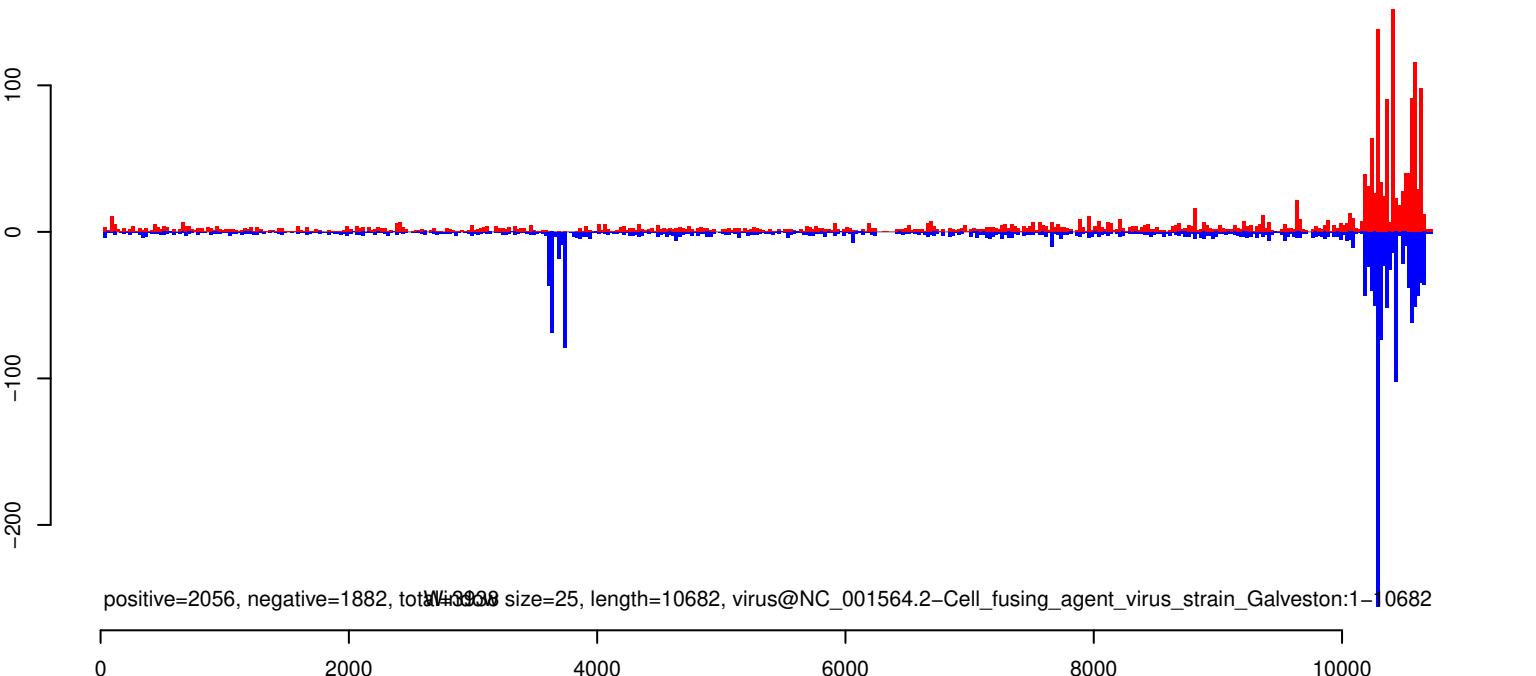
AeAeg_Aag2_Ago3_SINV_RA.18_23.rep



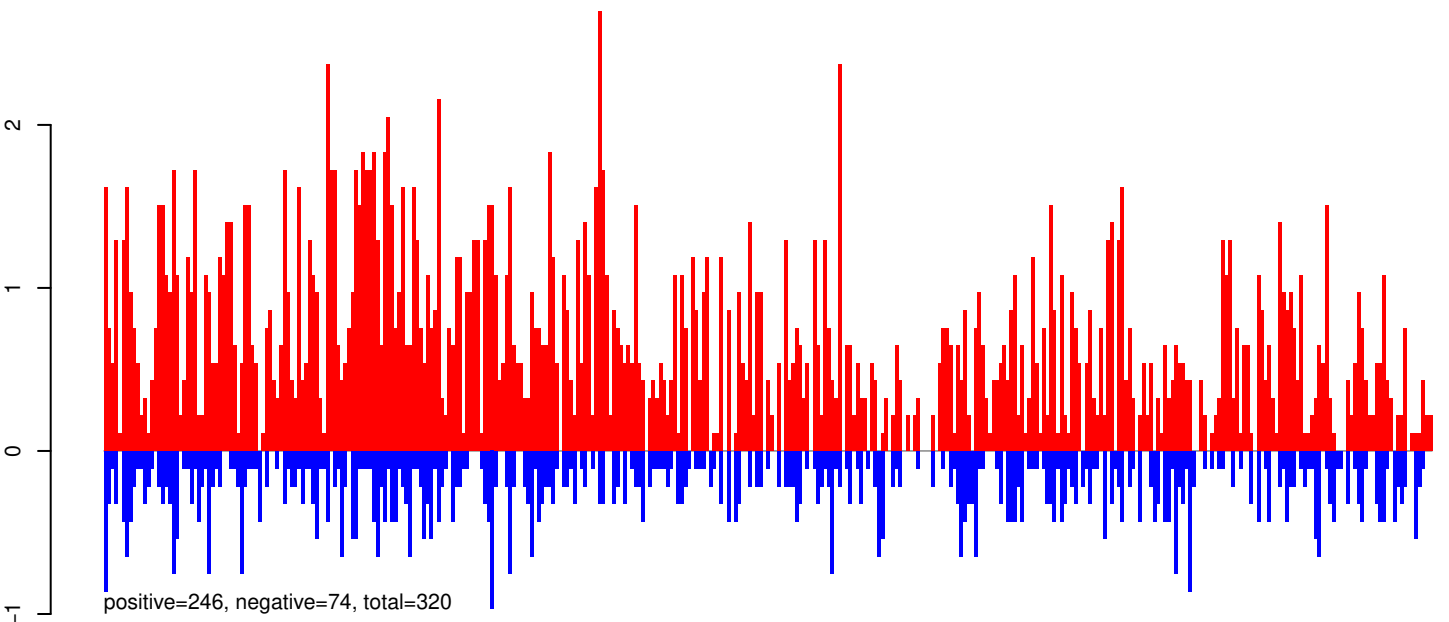
AeAeg_Aag2_Ago3_SINV_RA.24_35.rep



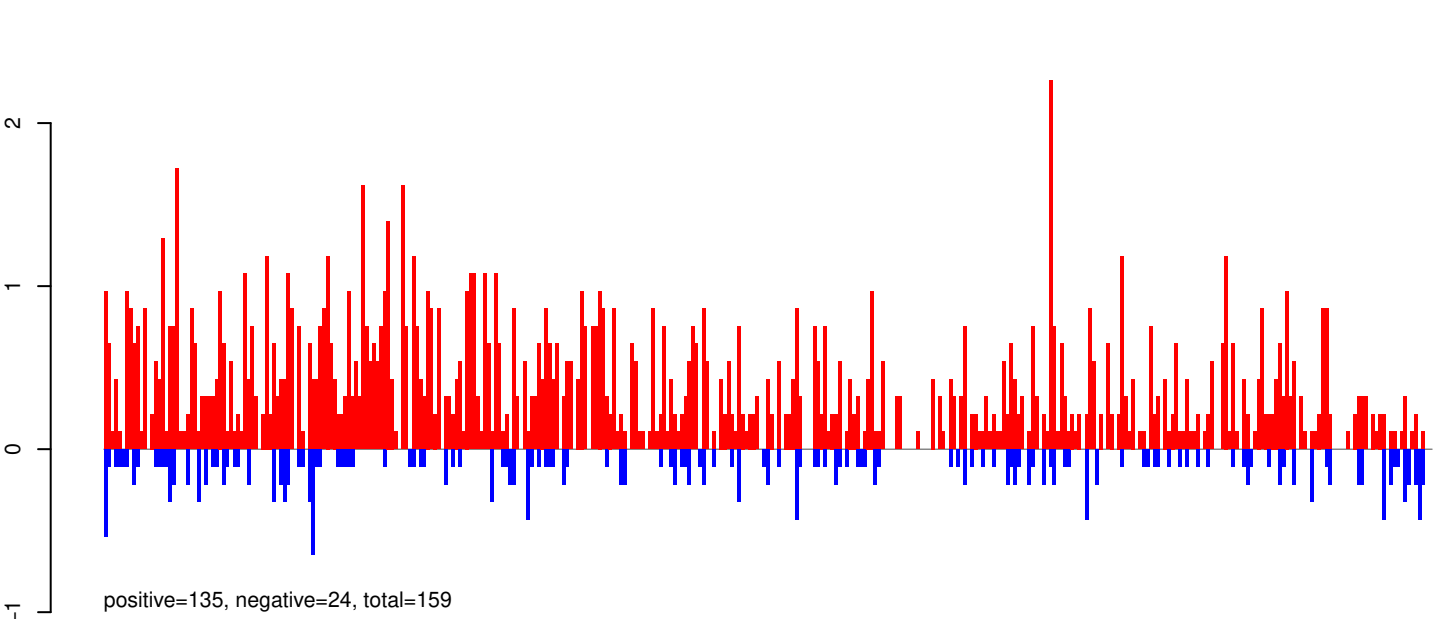
AeAeg_Aag2_Ago3_SINV_RA.rep



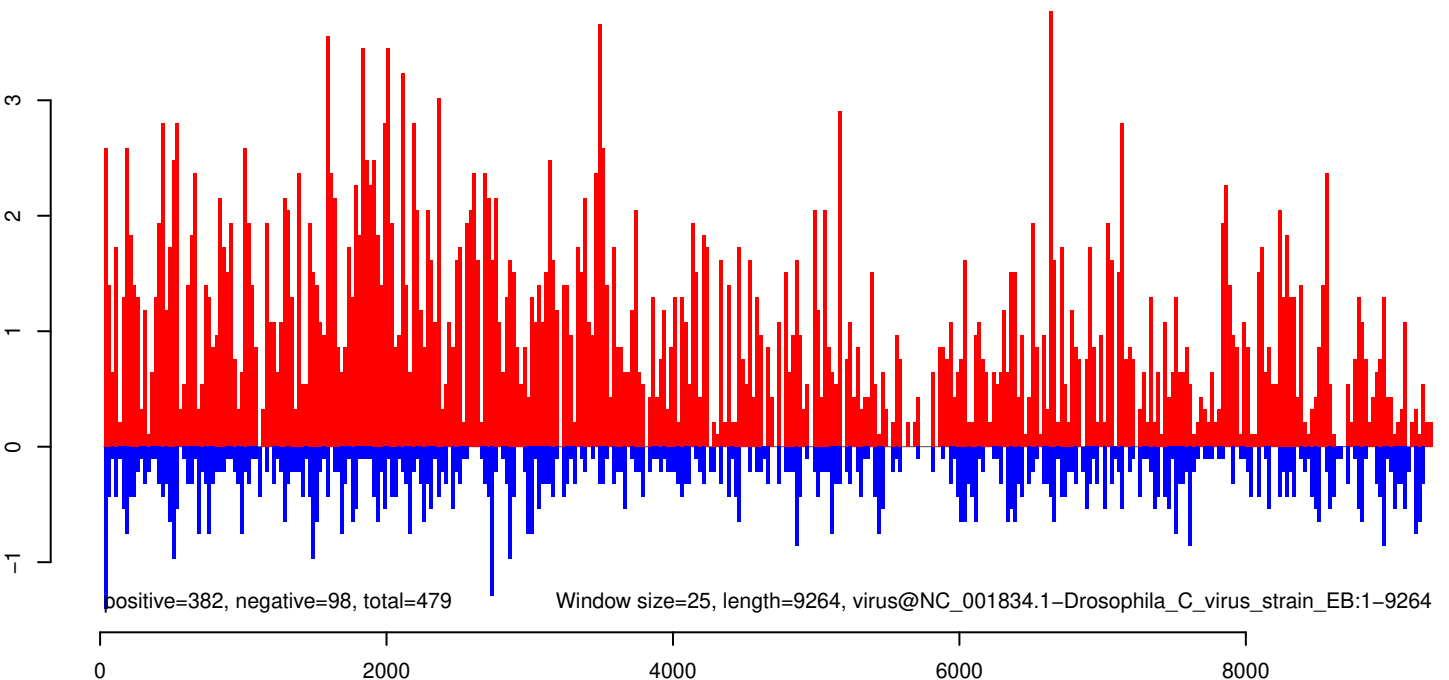
AeAeg_Aag2_Ago3_SINV_RA.18_23.rep



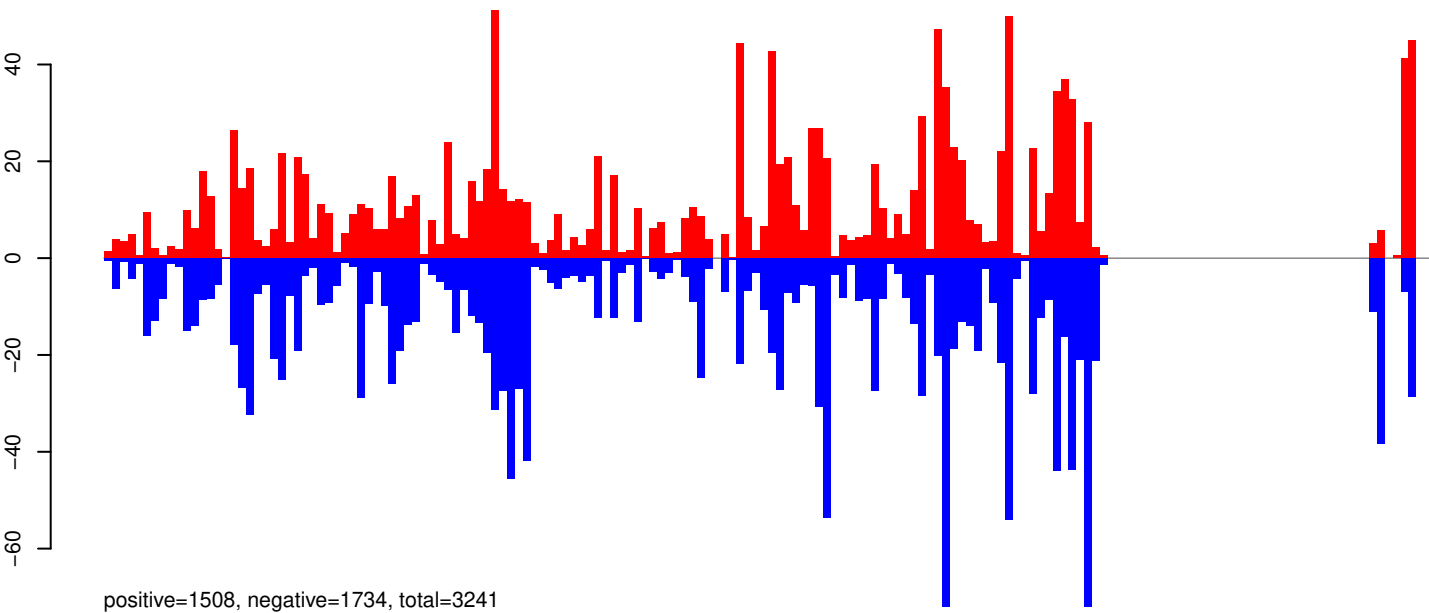
AeAeg_Aag2_Ago3_SINV_RA.24_35.rep



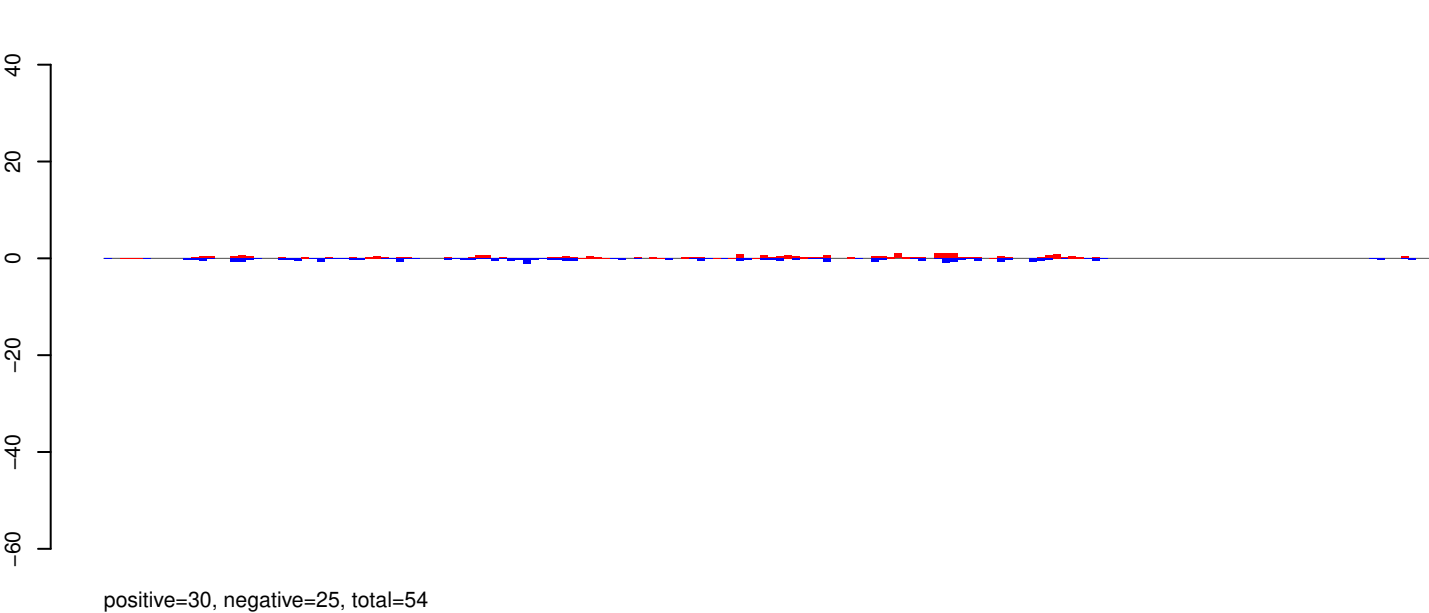
AeAeg_Aag2_Ago3_SINV_RA.rep



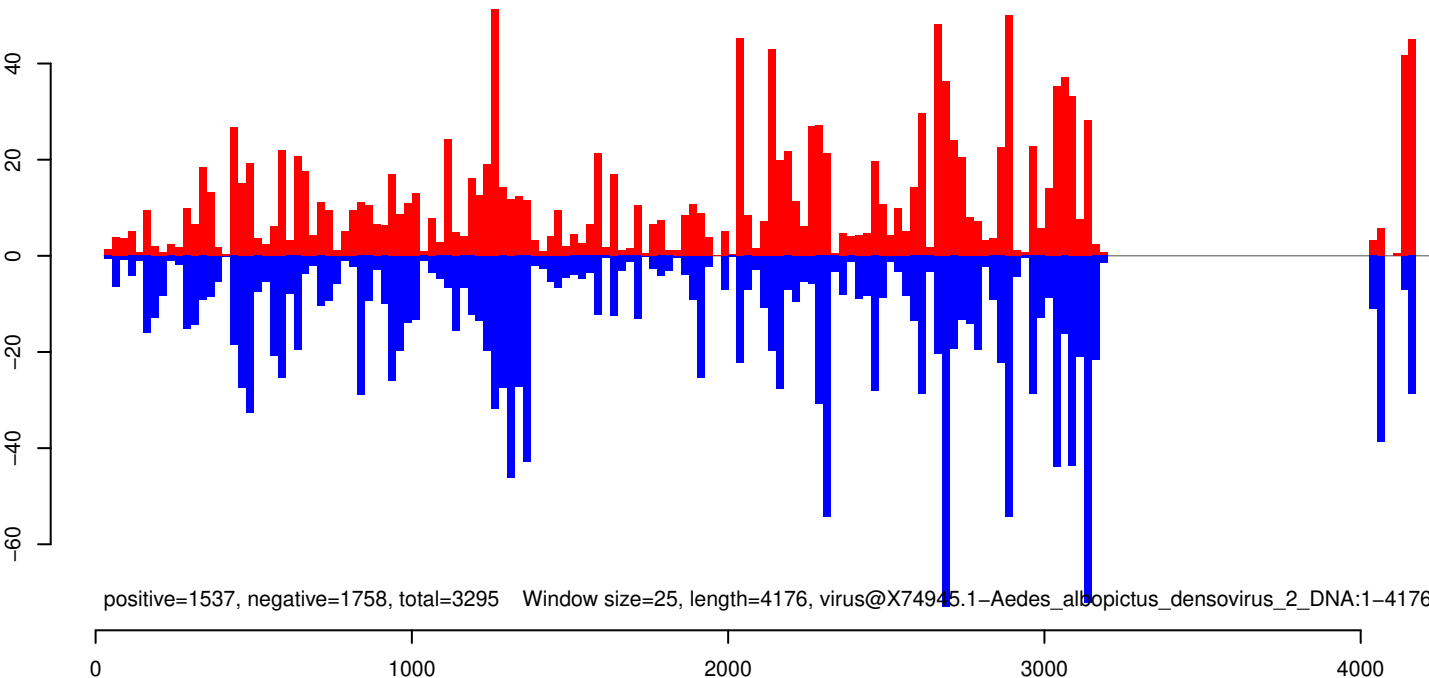
AeAeg_Aag2_Ago3_SINV_RA.18_23.rep



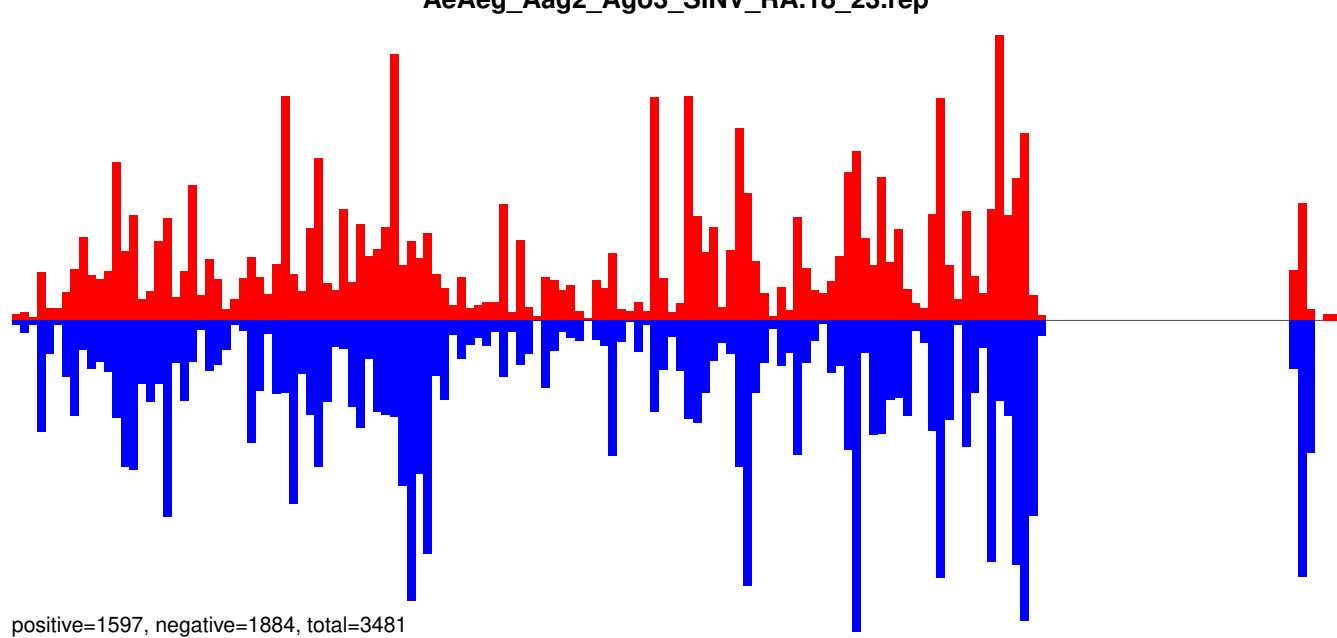
AeAeg_Aag2_Ago3_SINV_RA.24_35.rep



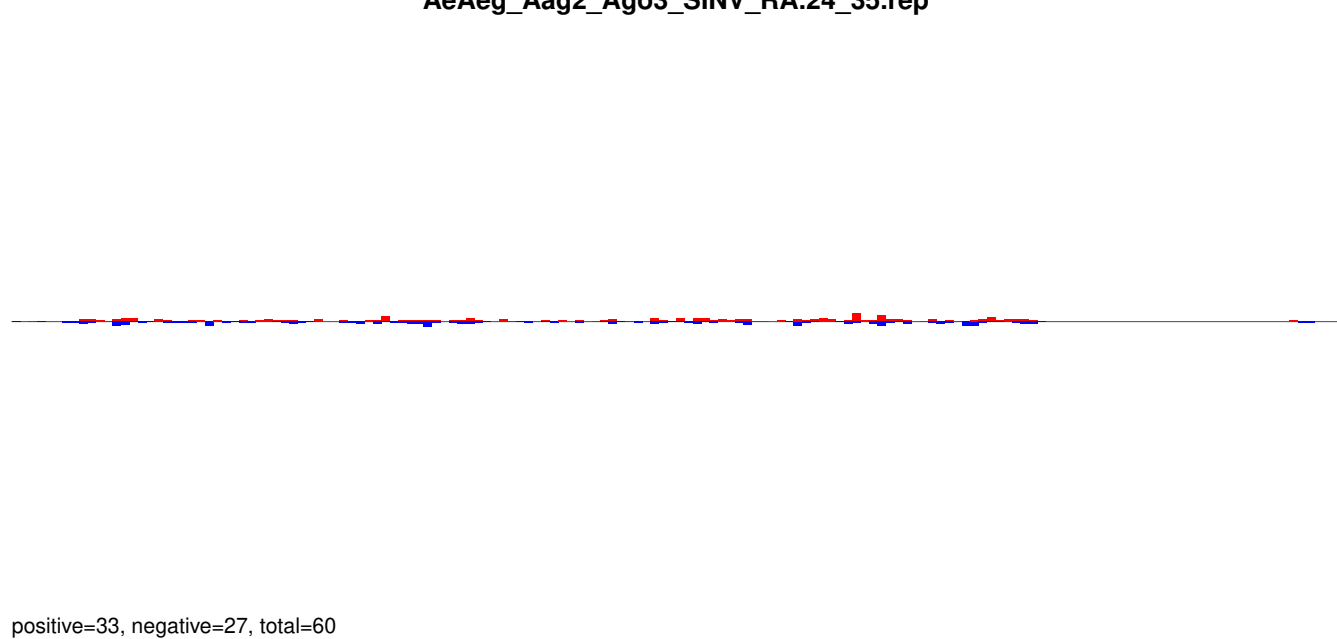
AeAeg_Aag2_Ago3_SINV_RA.rep



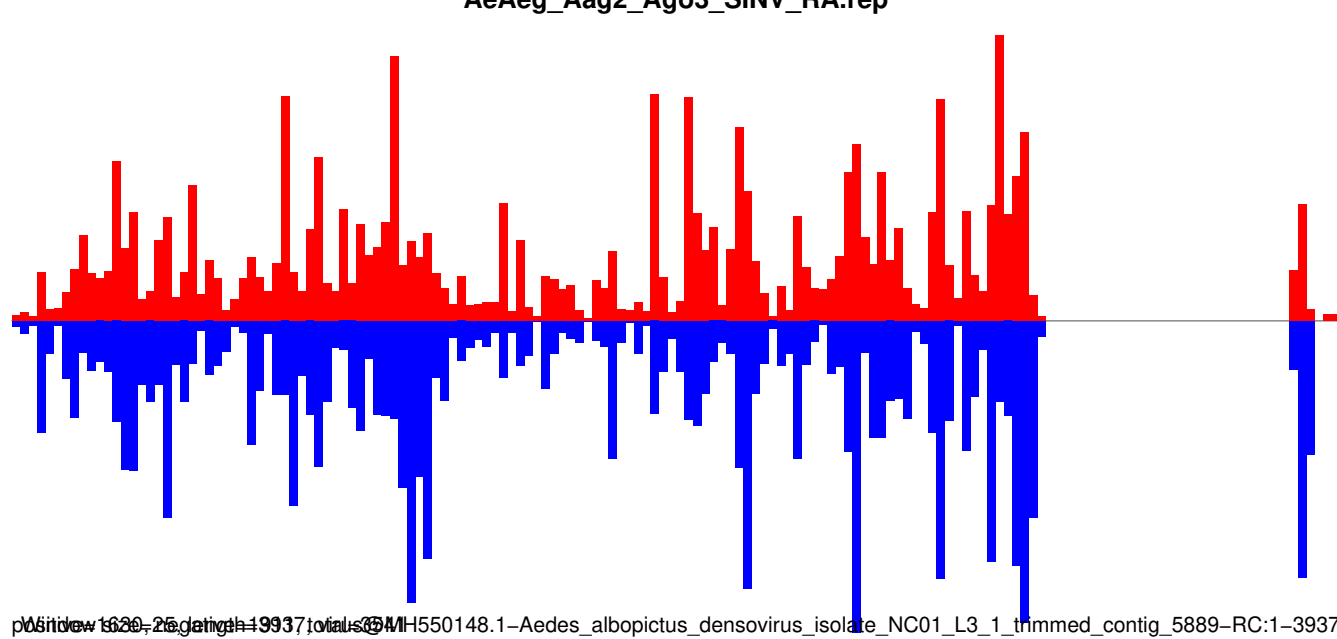
AeAeg_Aag2_Ago3_SINV_RA.18_23.rep



AeAeg_Aag2_Ago3_SINV_RA.24_35.rep



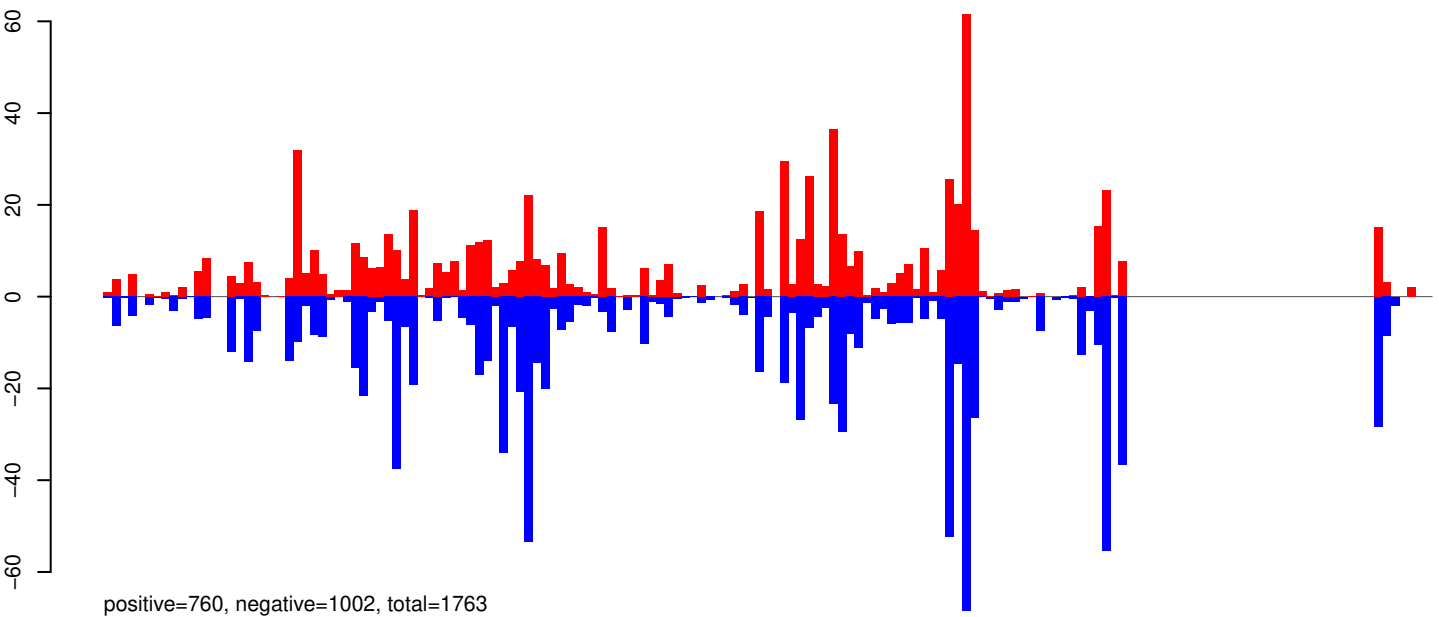
AeAeg_Aag2_Ago3_SINV_RA.rep



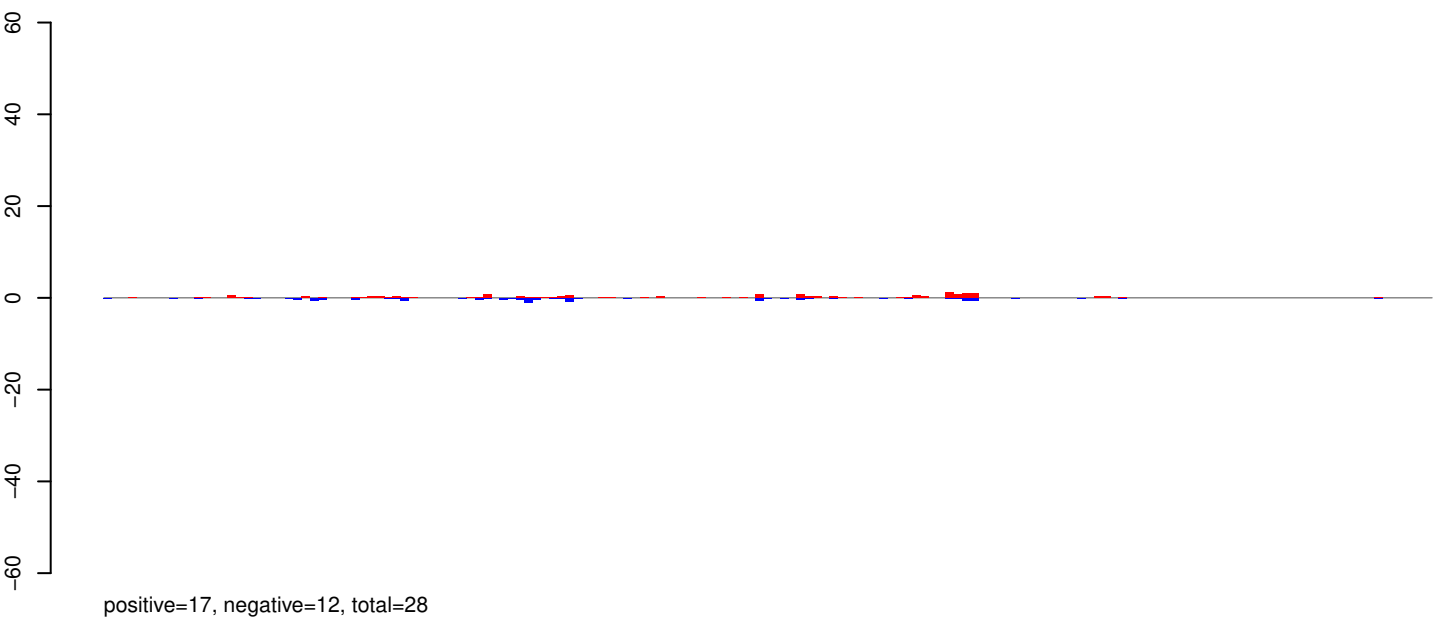
Window 1620-25, length=1993, total=3613
MH550148.1-Aedes albopictus densovirus isolate_NC01_L3_1_trimmed_contig_5889-RC:1-3937

0 1000 2000 3000 4000

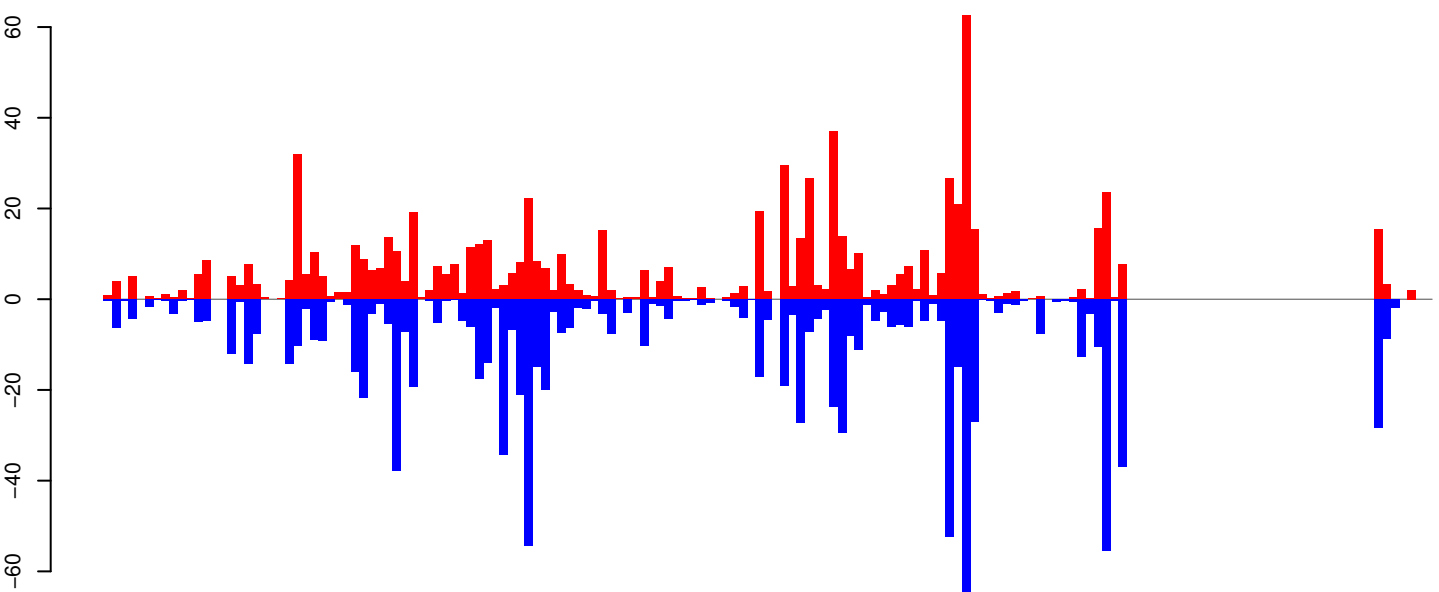
AeAeg_Aag2_Ago3_SINV_RA.18_23.rep



AeAeg_Aag2_Ago3_SINV_RA.24_35.rep



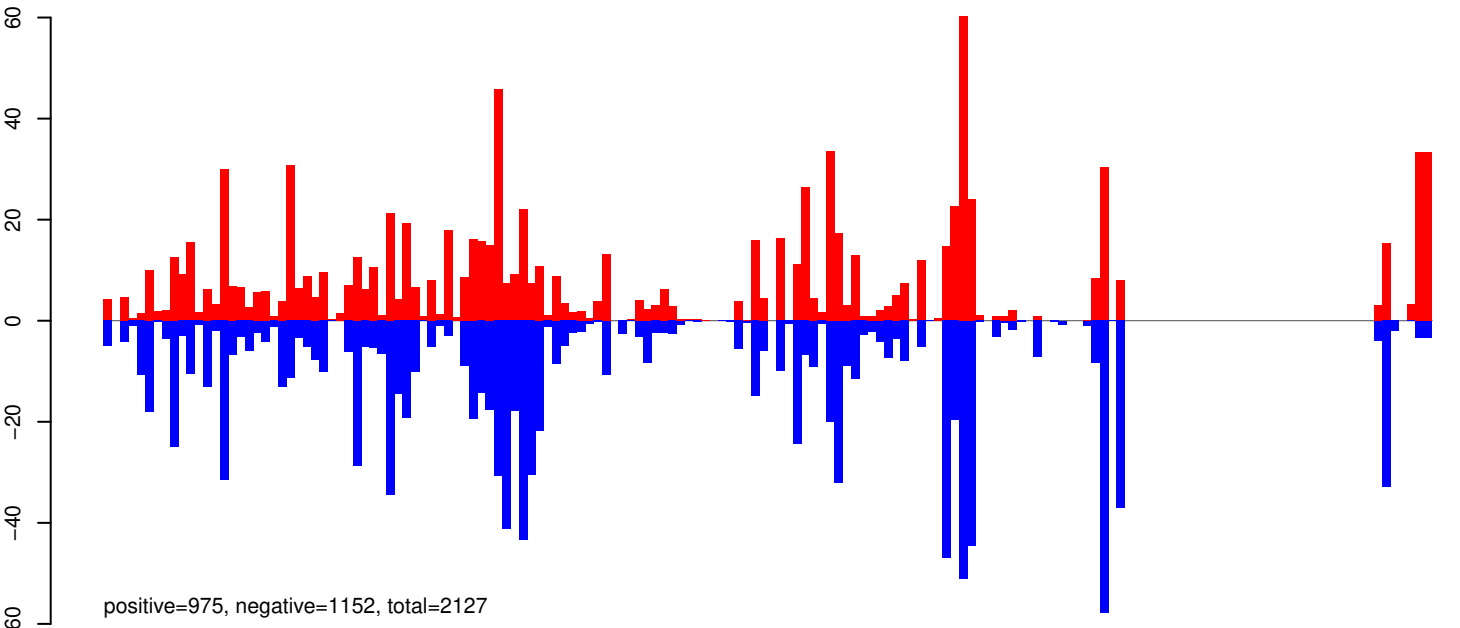
AeAeg_Aag2_Ago3_SINV_RA.rep



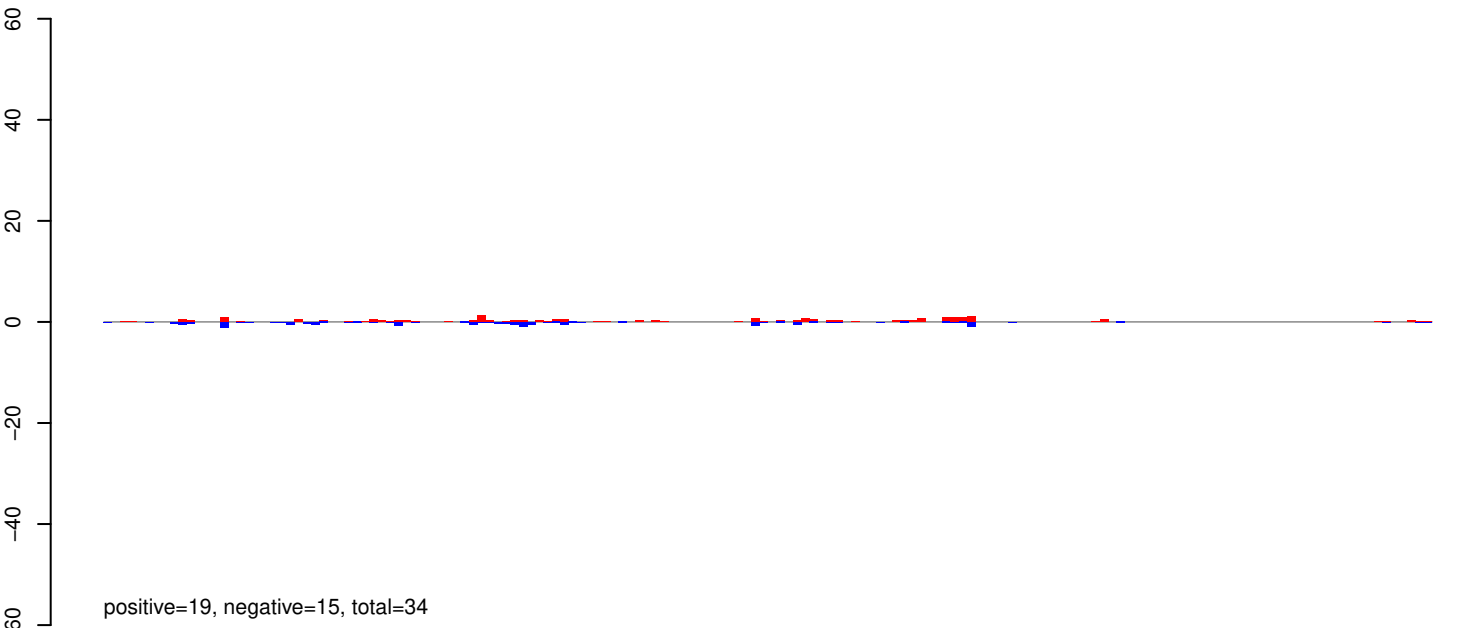
downloaded from <https://www.ncbi.nlm.nih.gov/trace.ncbi.nlm.nih.gov/projects/genome/assembly/blast/> on 2025-07-11. Aedes albopictus_C6_36_cell_densovirus_non-structural_protein_1_non-structural_prot:1-4006

0 1000 2000 3000 4000

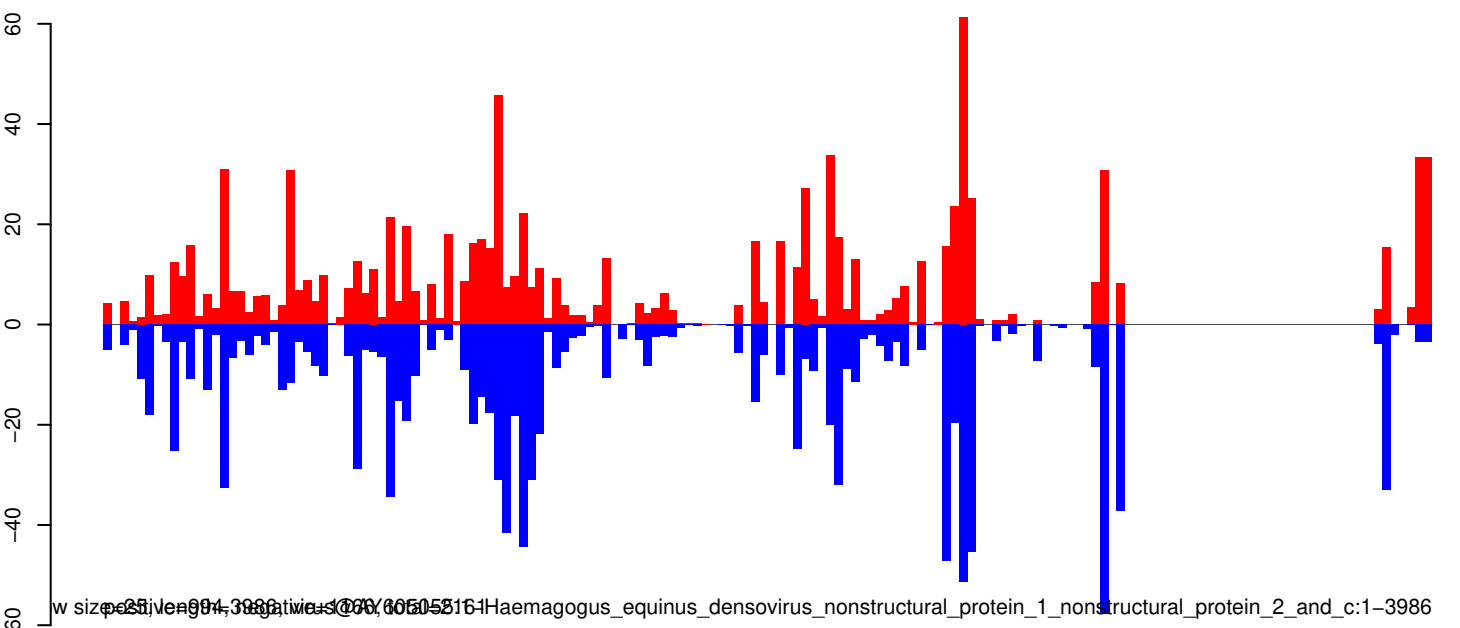
AeAeg_Aag2_Ago3_SINV_RA.18_23.rep



AeAeg_Aag2_Ago3_SINV_RA.24_35.rep



AeAeg_Aag2_Ago3_SINV_RA.rep



GenBank accession: AF060551 Haemagogus_equinus_densovirus_nonstructural_protein_1_nonstructural_protein_2_and_c:1-3986

AeAeg_Aag2_Ago3_SINV_RA.18_23.rep



positive=1, negative=66, total=67

AeAeg_Aag2_Ago3_SINV_RA.24_35.rep



positive=2, negative=877, total=879

AeAeg_Aag2_Ago3_SINV_RA.rep

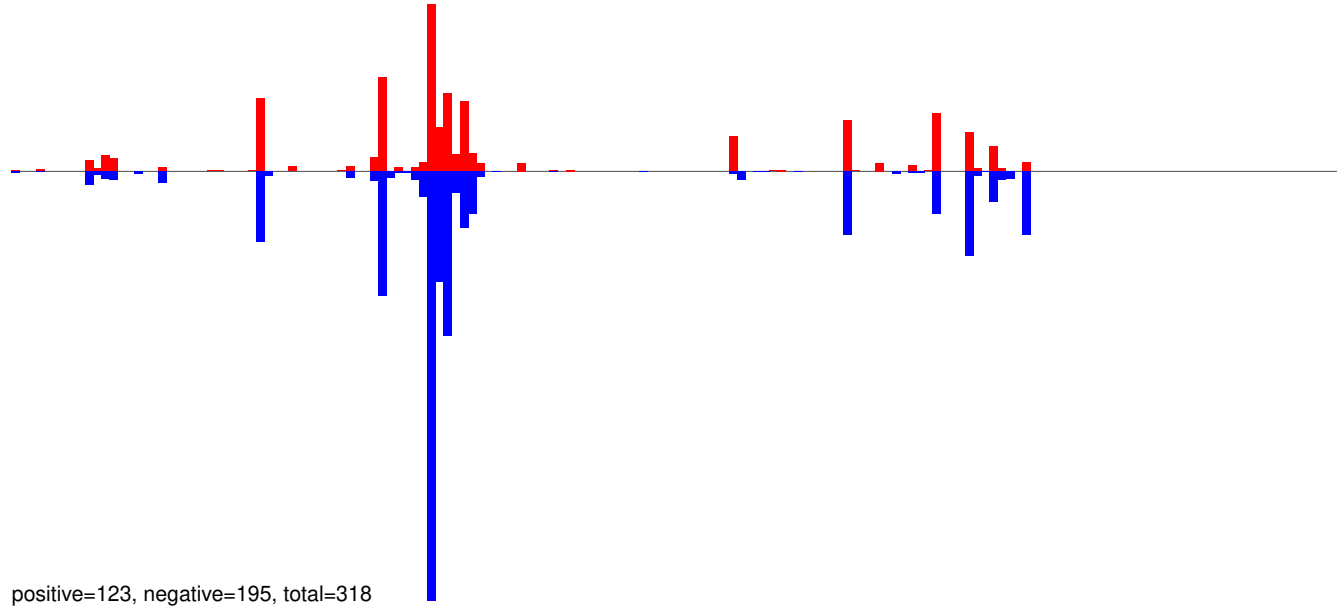


positive=3, negative=943, total=945

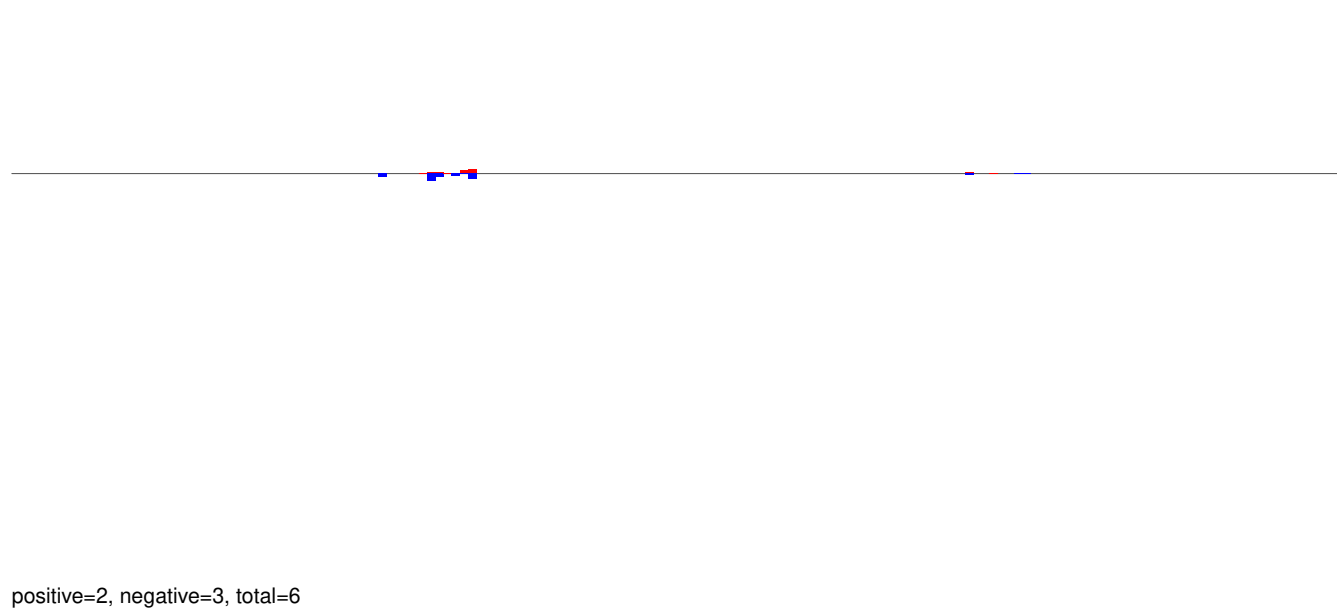
Window size=25, length=2965, virus@AY347953.2-Aedes_aegypti_genomic_sequence:1-2965

0 500 1000 1500 2000 2500 3000

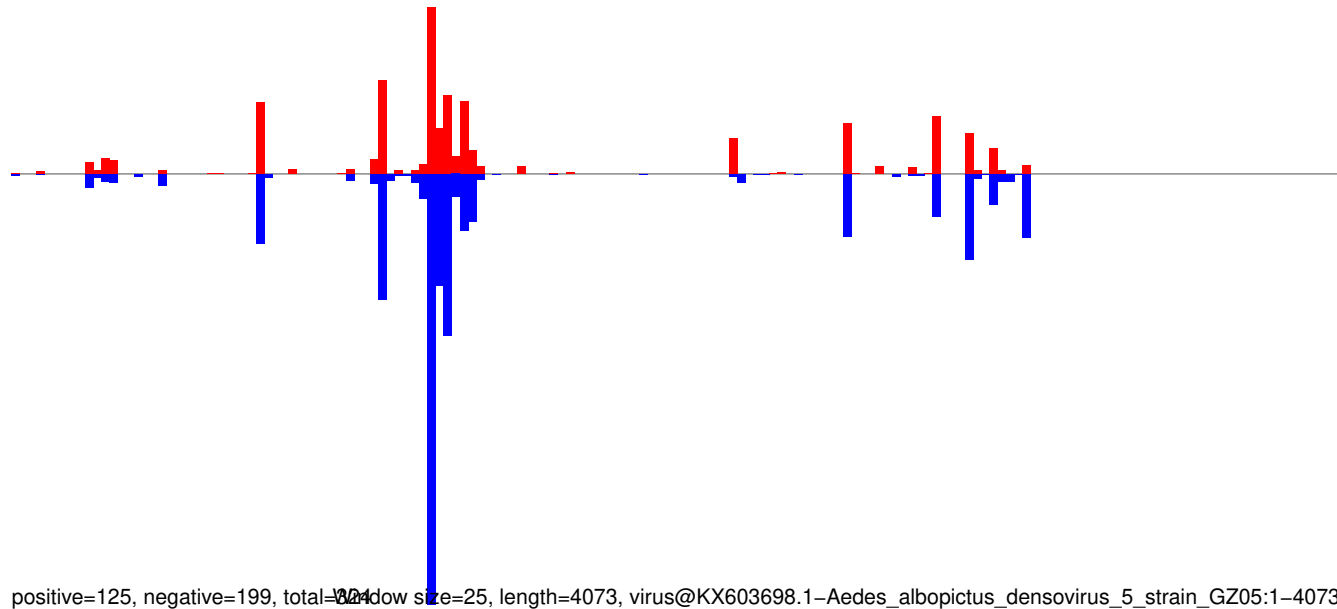
AeAeg_Aag2_Ago3_SINV_RA.18_23.rep



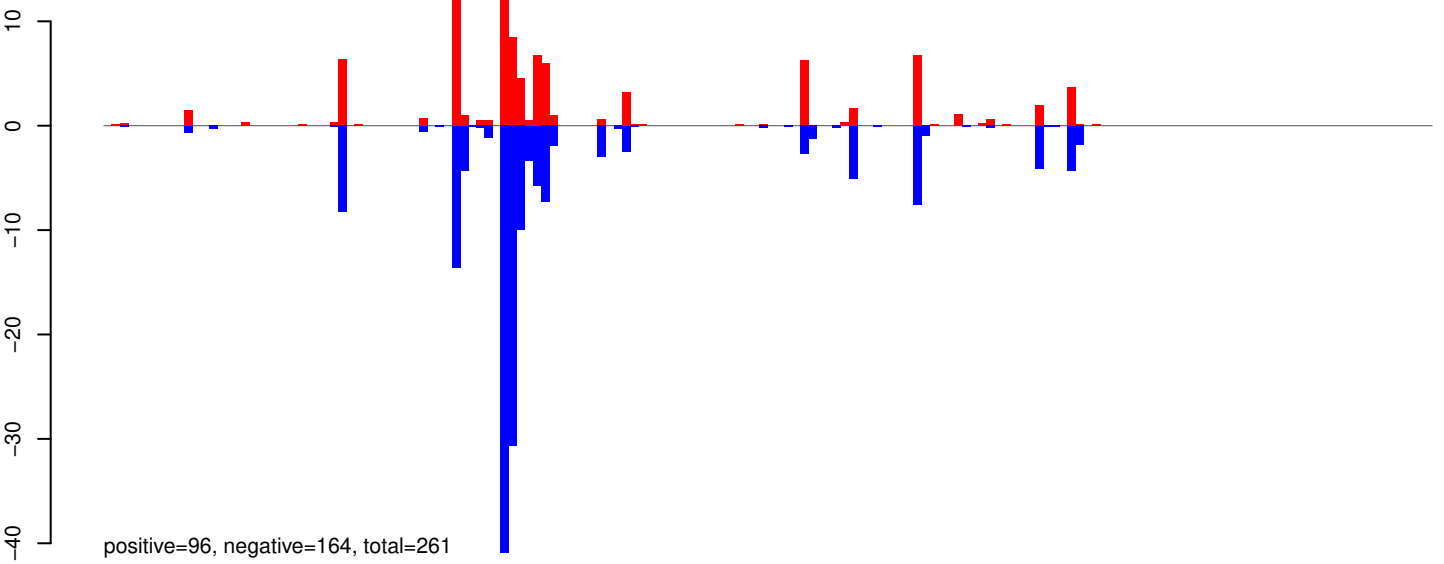
AeAeg_Aag2_Ago3_SINV_RA.24_35.rep



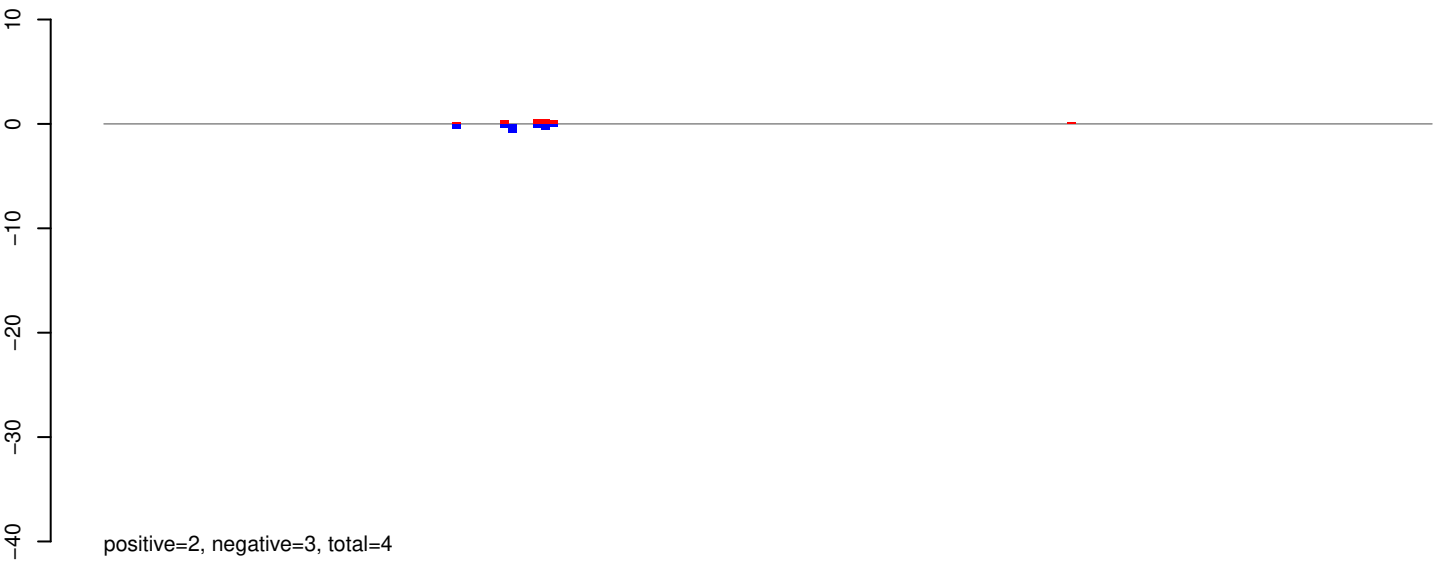
AeAeg_Aag2_Ago3_SINV_RA.rep



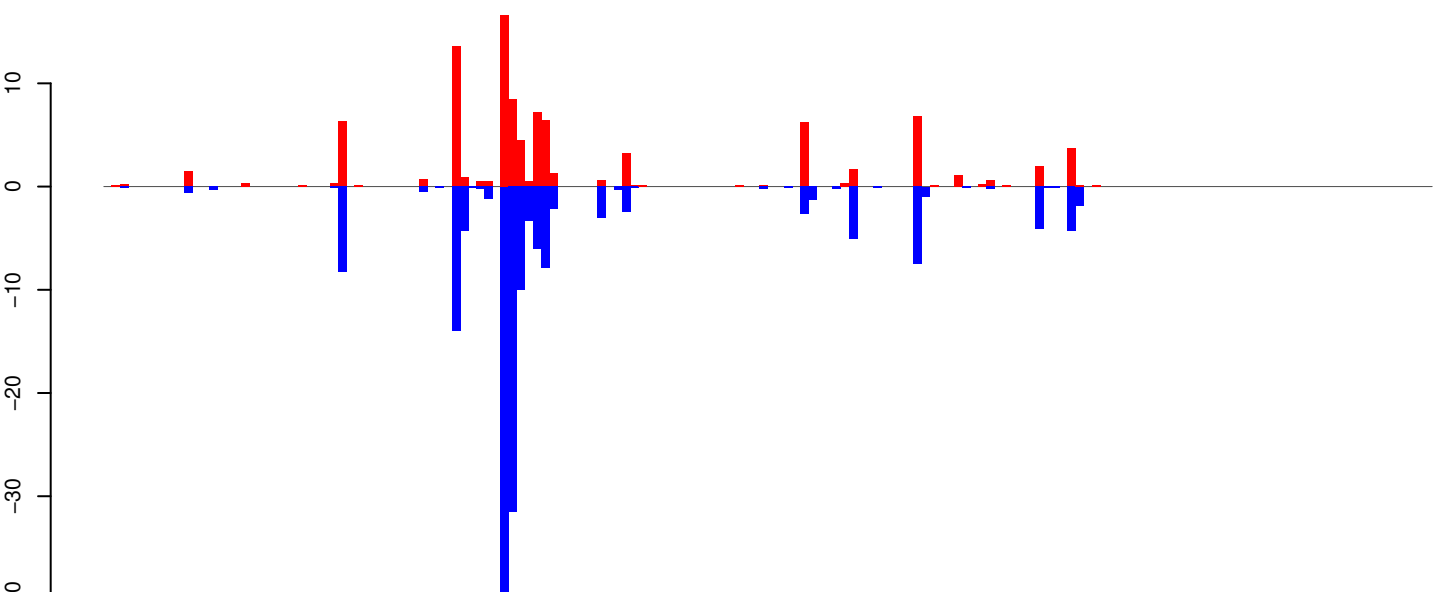
AeAeg_Aag2_Ago3_SINV_RA.18_23.rep



AeAeg_Aag2_Ago3_SINV_RA.24_35.rep



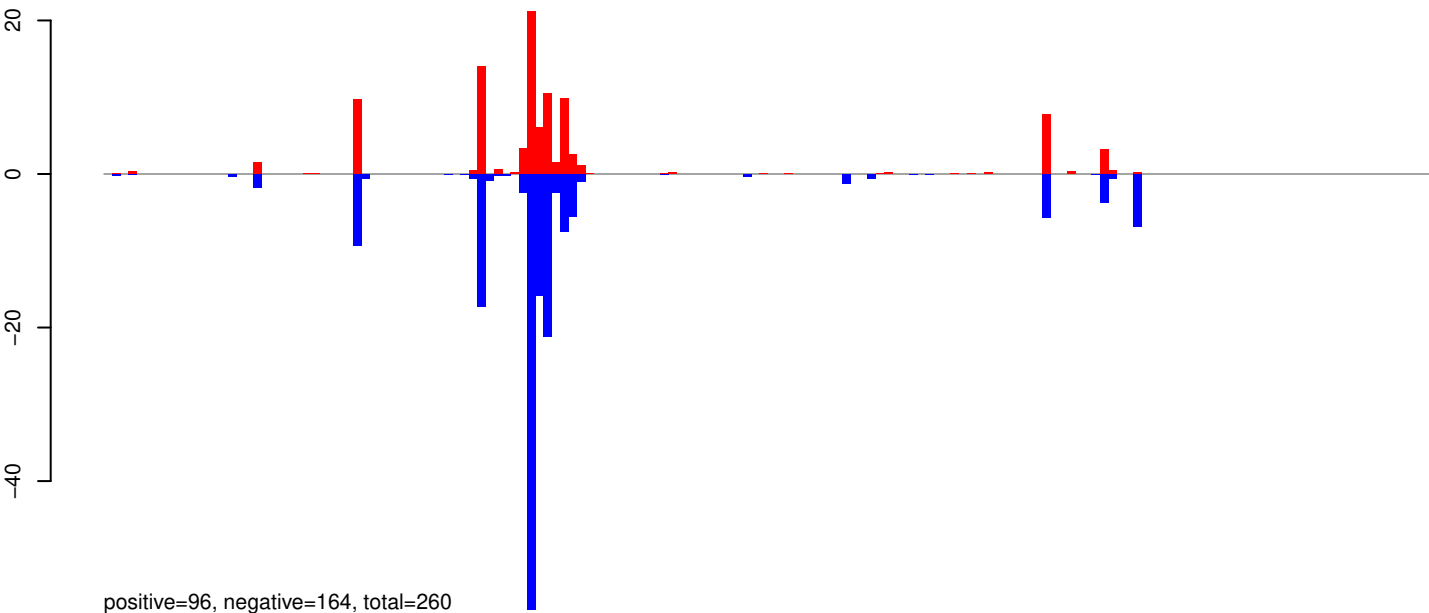
AeAeg_Aag2_Ago3_SINV_RA.rep



bow size=35, length=4094, version=167, MD5=2651.2-Aedes_albopictus_C6_36_cell_densovirus_non-structural_protein_1_NS-1_non-structural:1-4094

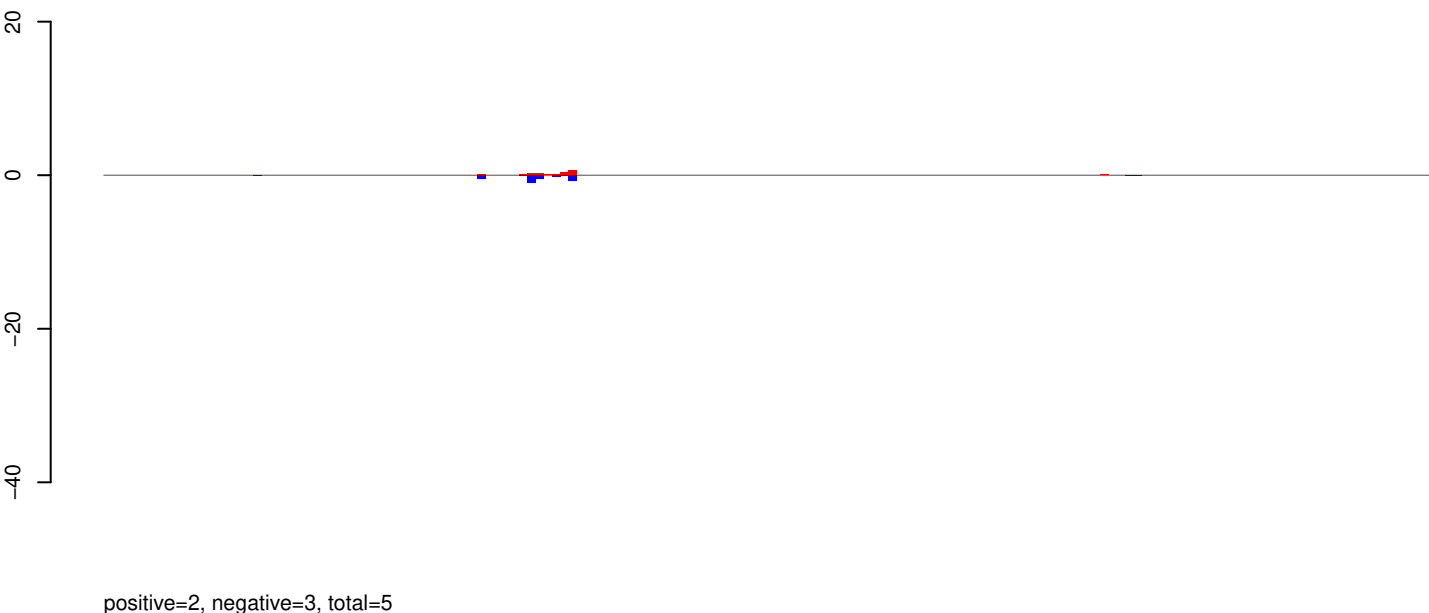
0 1000 2000 3000 4000

AeAeg_Aag2_Ago3_SINV_RA.18_23.rep



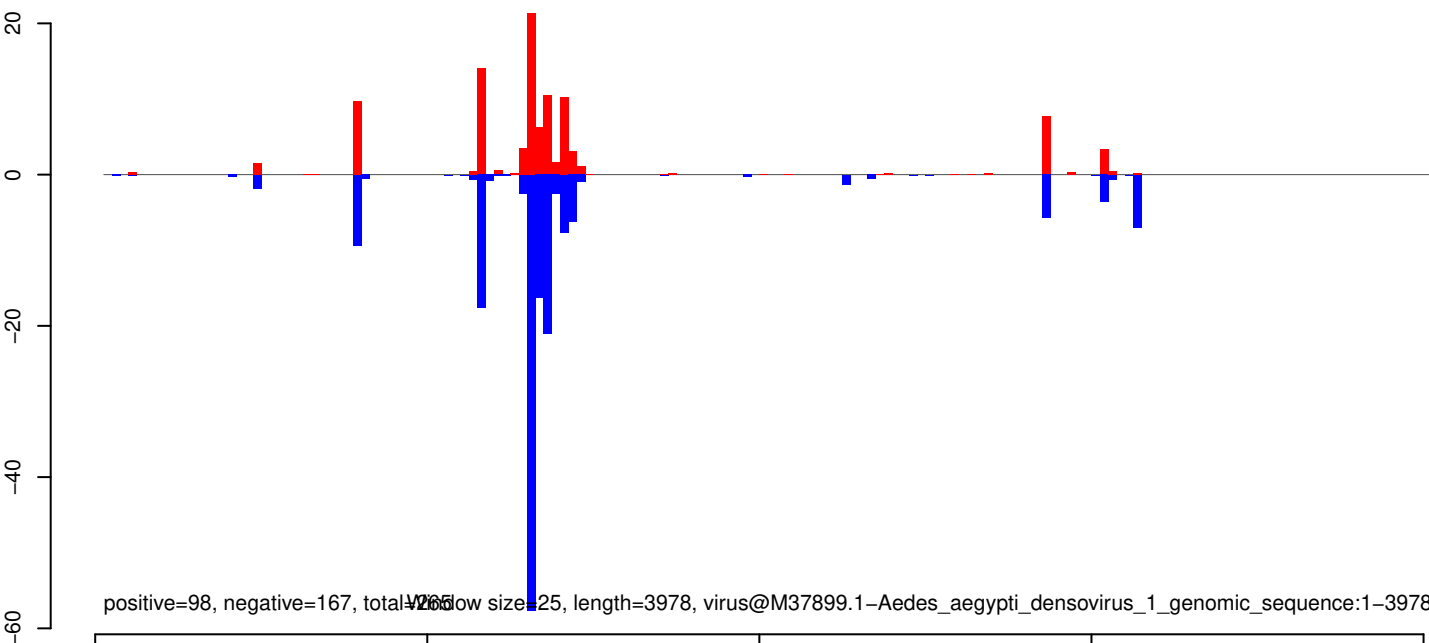
positive=96, negative=164, total=260

AeAeg_Aag2_Ago3_SINV_RA.24_35.rep



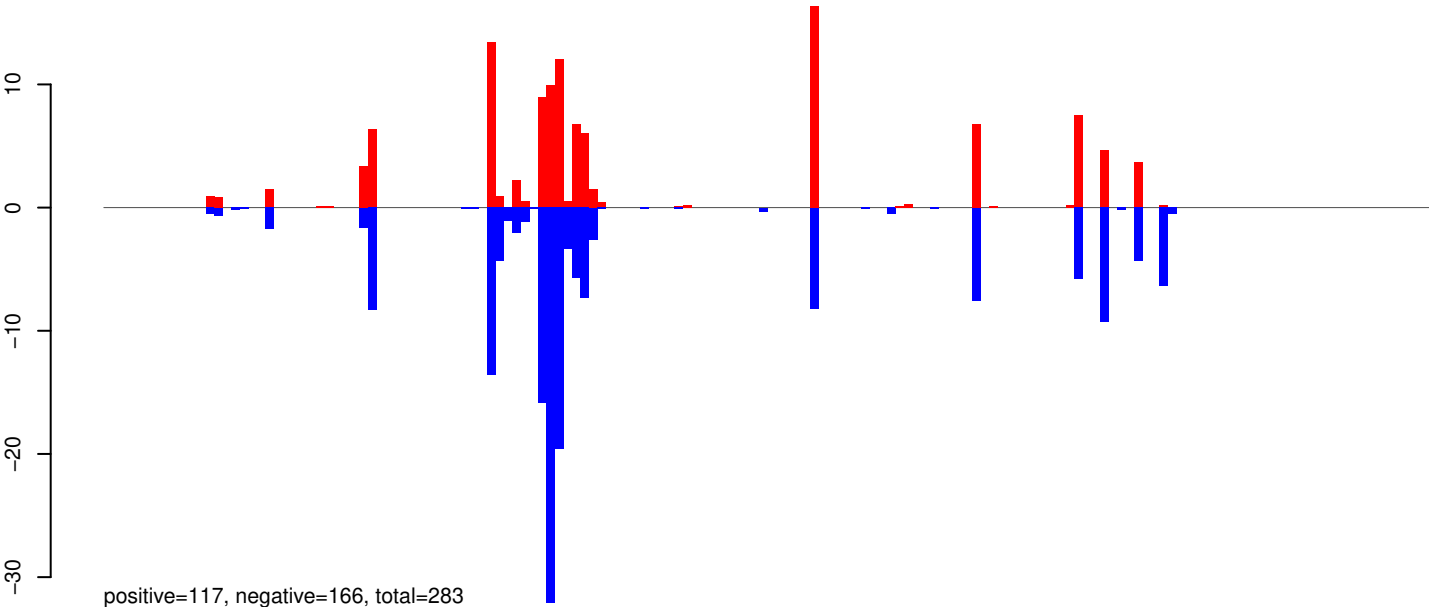
positive=2, negative=3, total=5

AeAeg_Aag2_Ago3_SINV_RA.rep

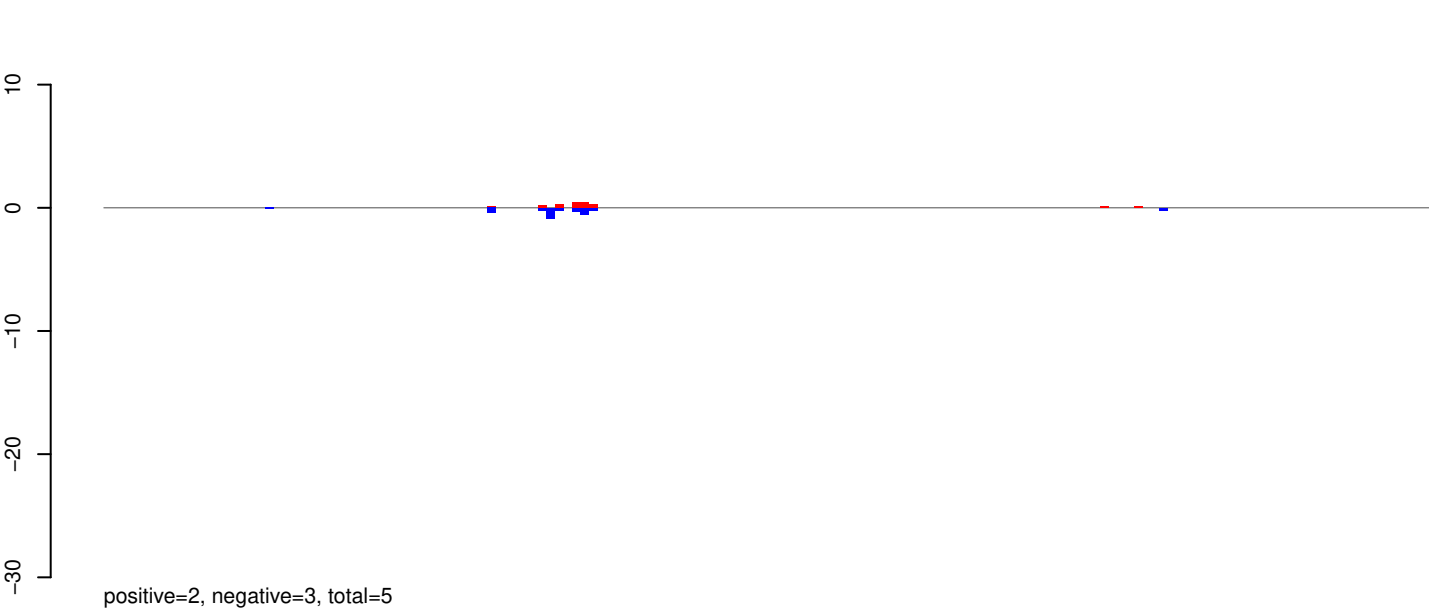


positive=98, negative=167, total=265, window size=25, length=3978, virus@M37899.1-Aedes_aegypti_densovirus_1_genomic_sequence:1-3978

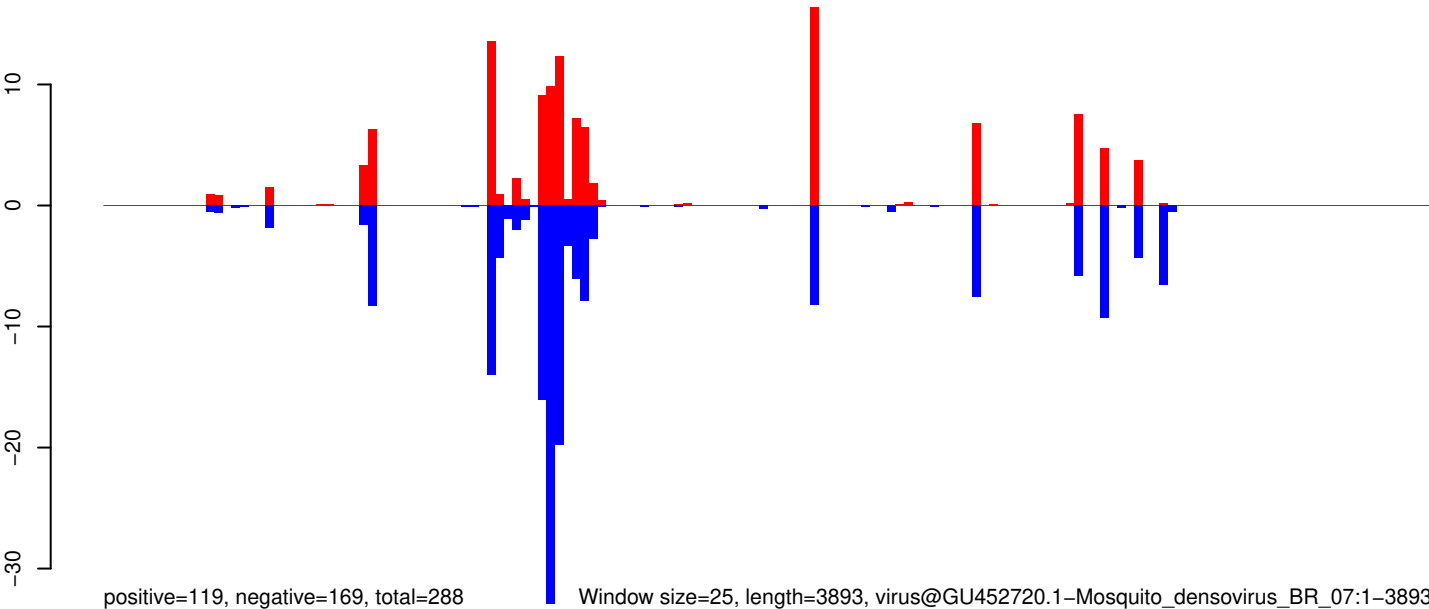
AeAeg_Aag2_Ago3_SINV_RA.18_23.rep



AeAeg_Aag2_Ago3_SINV_RA.24_35.rep

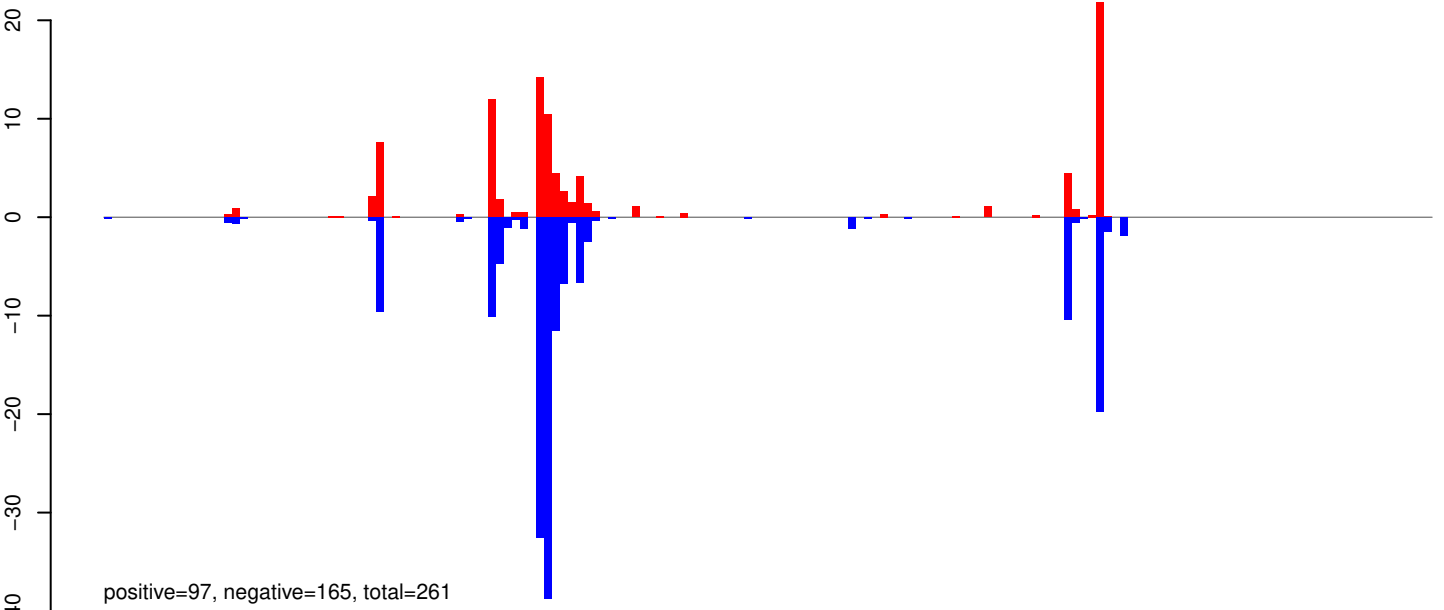


AeAeg_Aag2_Ago3_SINV_RA.rep

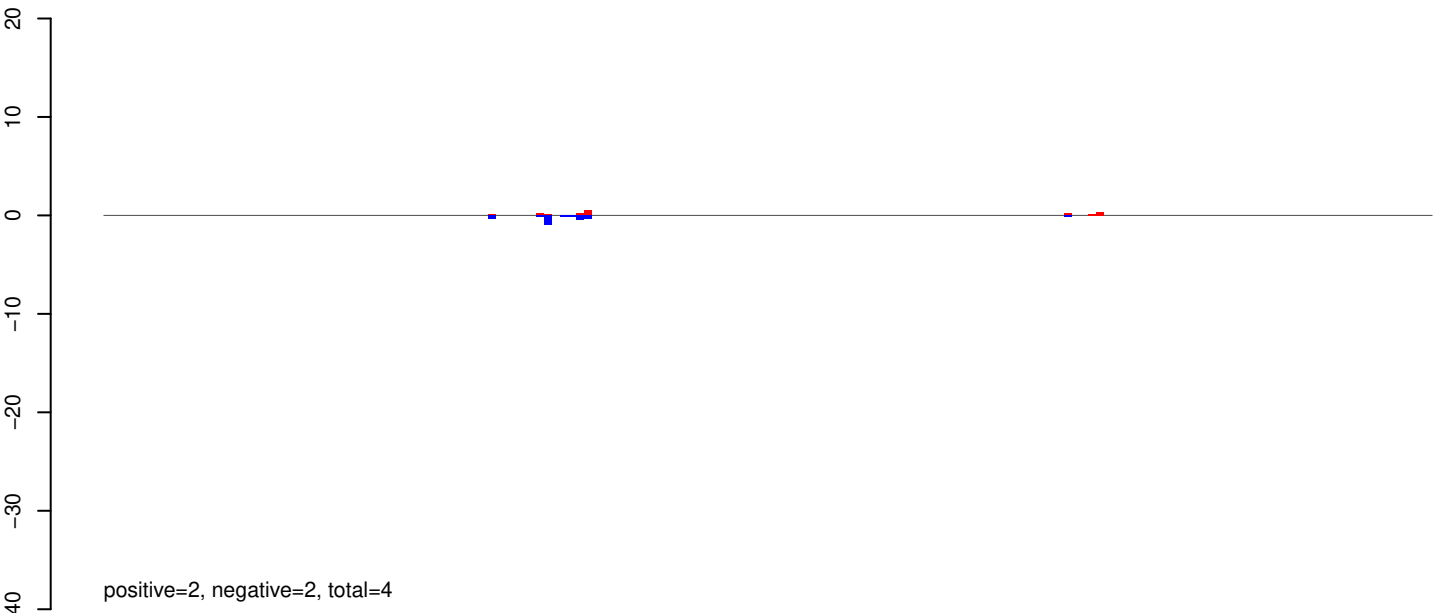


Window size=25, length=3893, virus@GU452720.1-Mosquito_densovirus_BR_07:1-3893

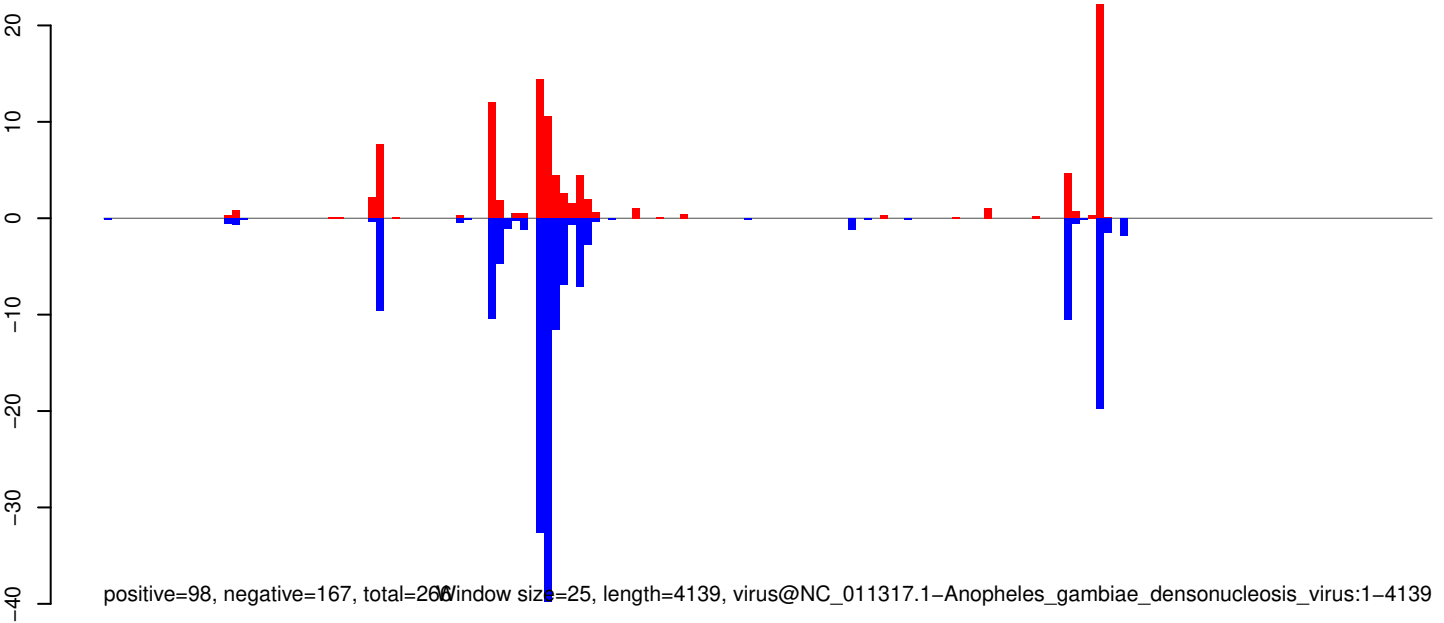
AeAeg_Aag2_Ago3_SINV_RA.18_23.rep

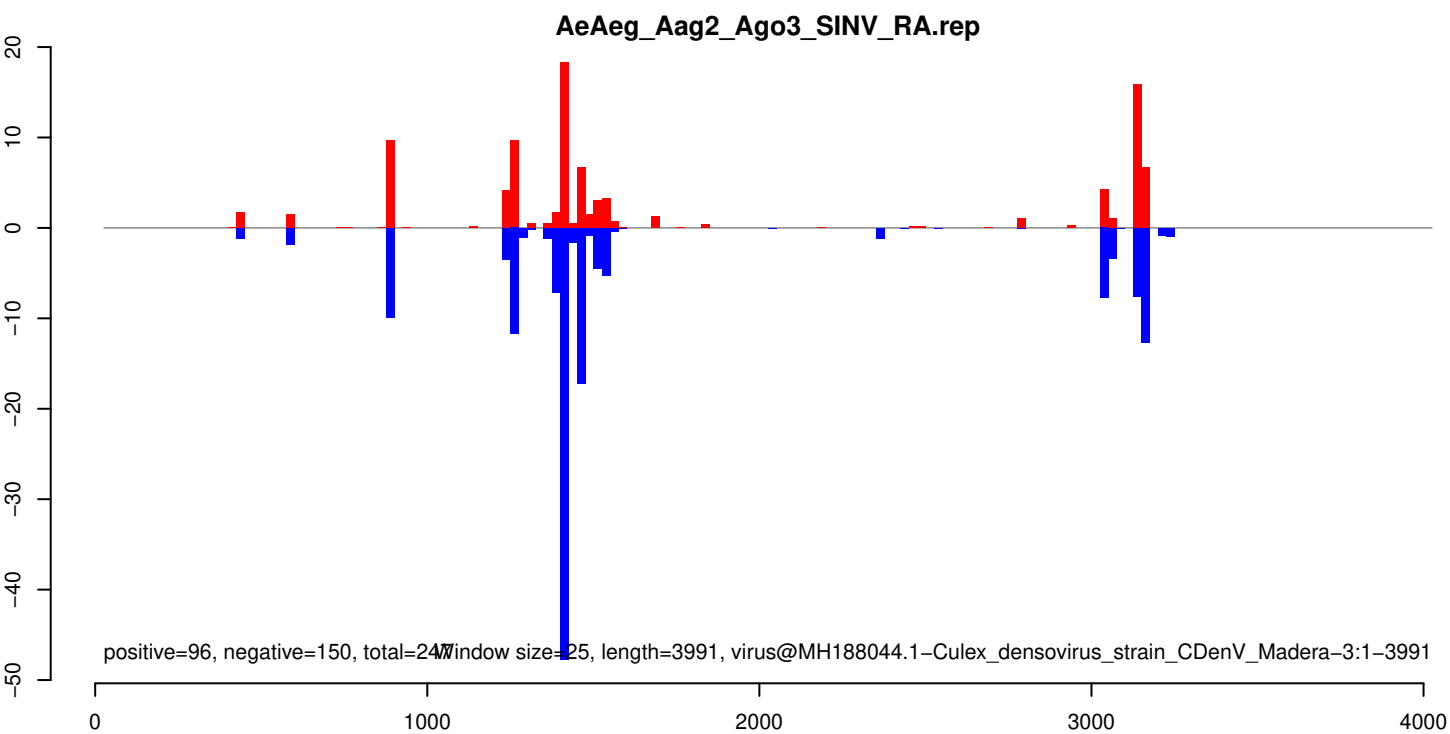
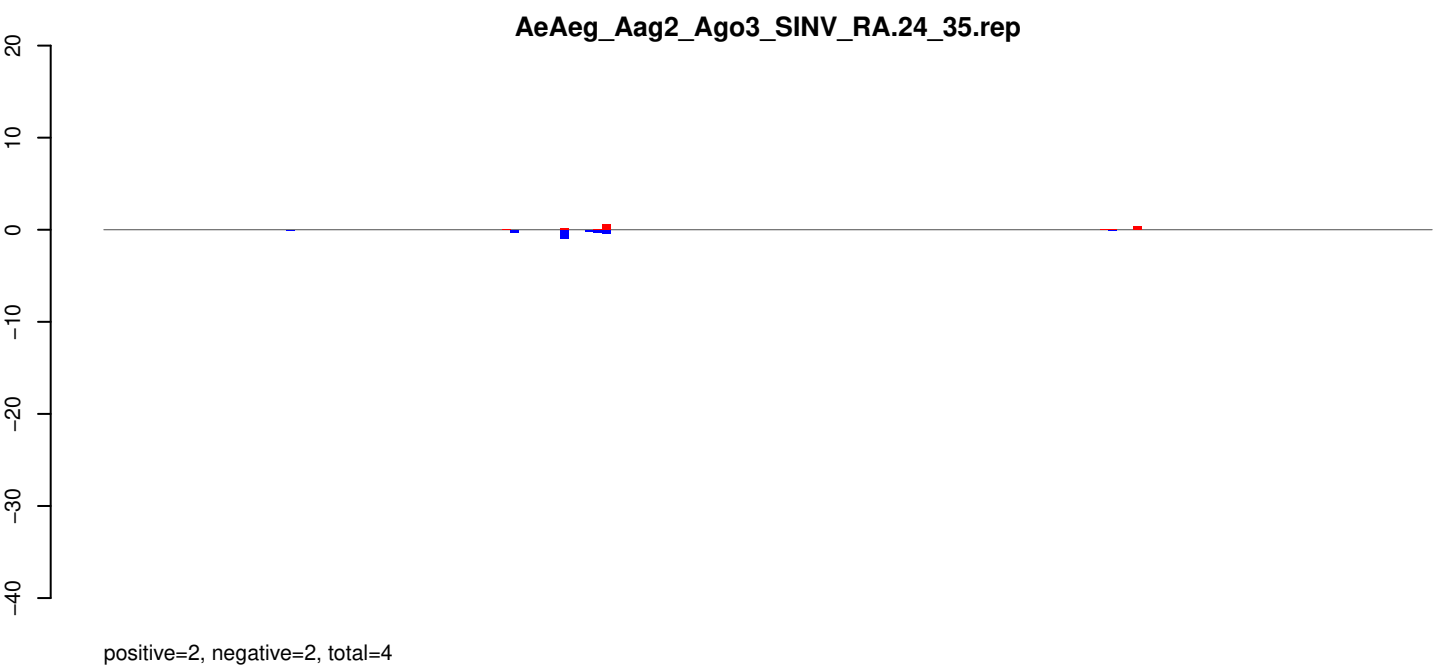
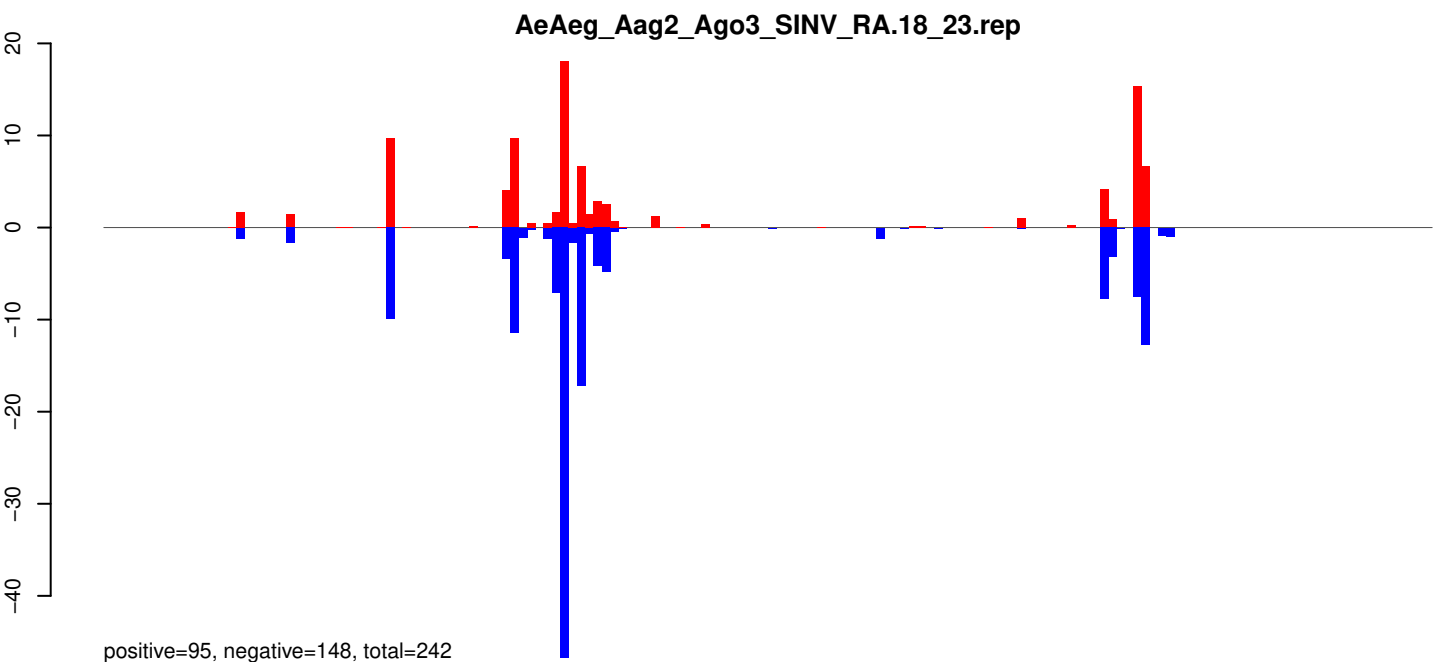


AeAeg_Aag2_Ago3_SINV_RA.24_35.rep

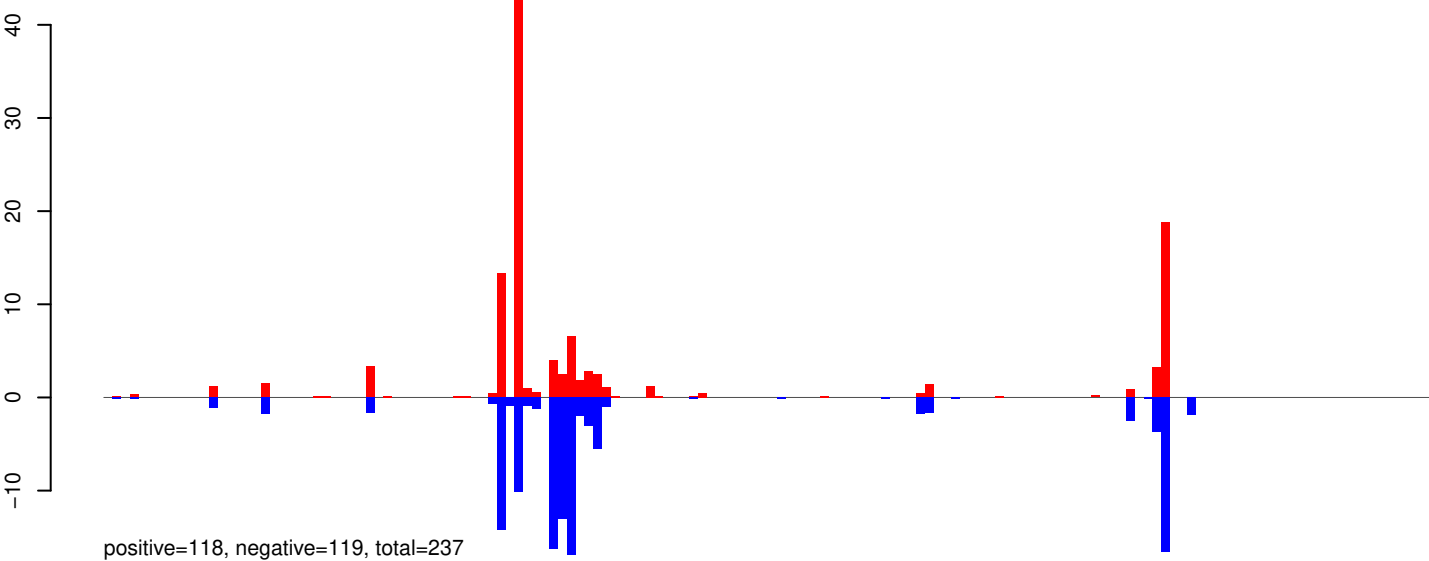


AeAeg_Aag2_Ago3_SINV_RA.rep

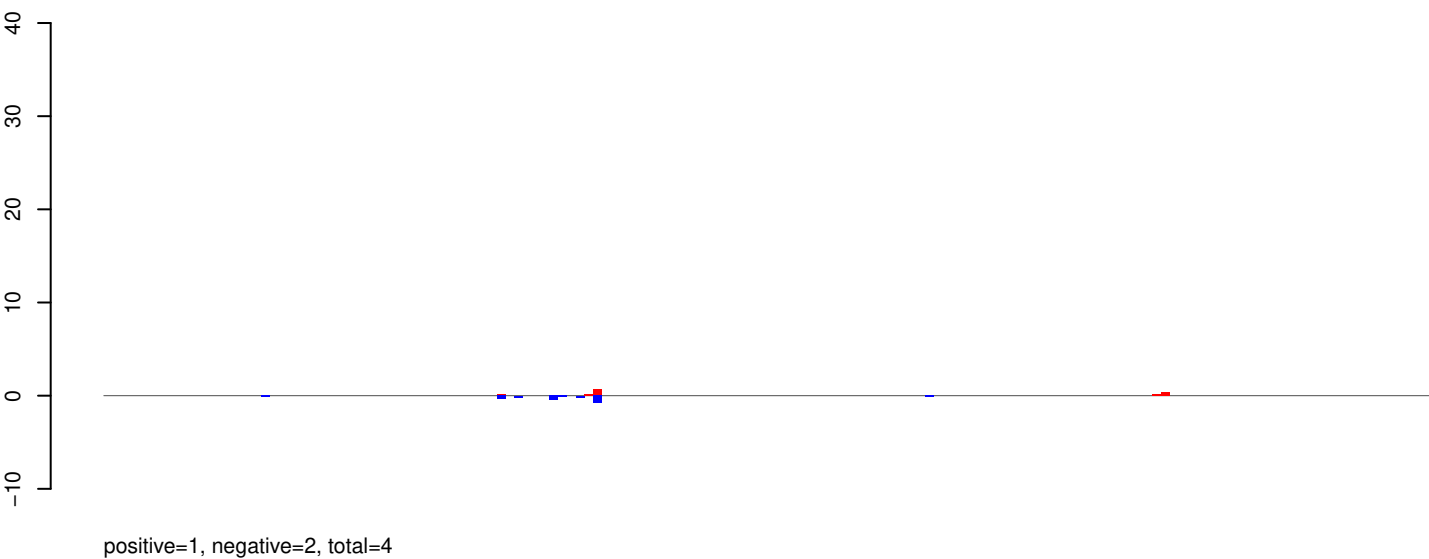




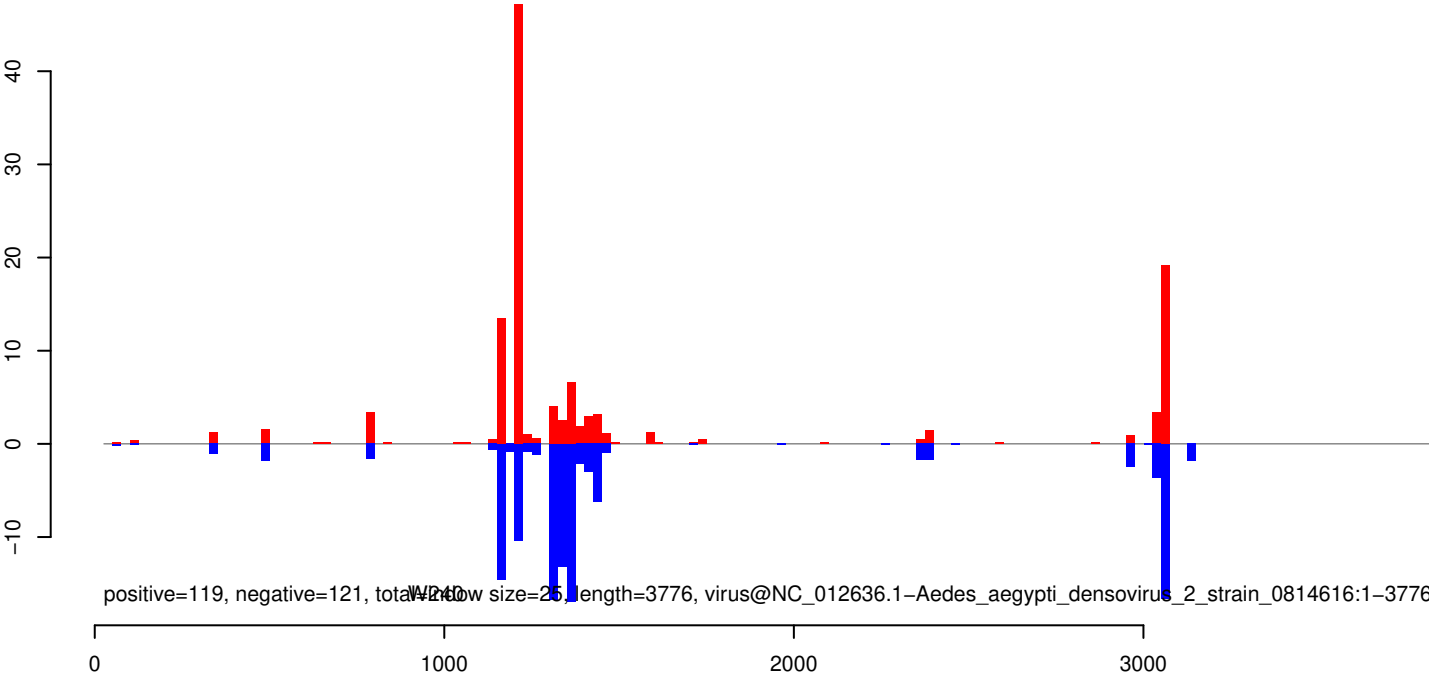
AeAeg_Aag2_Ago3_SINV_RA.18_23.rep



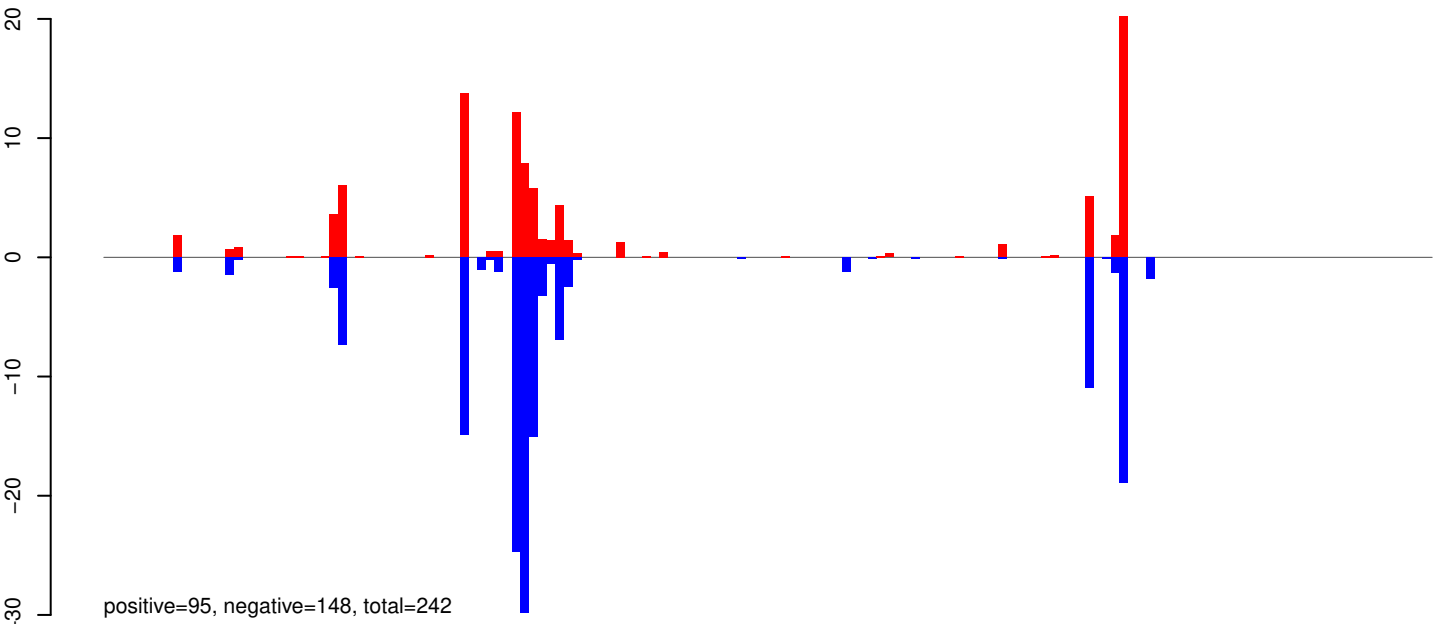
AeAeg_Aag2_Ago3_SINV_RA.24_35.rep



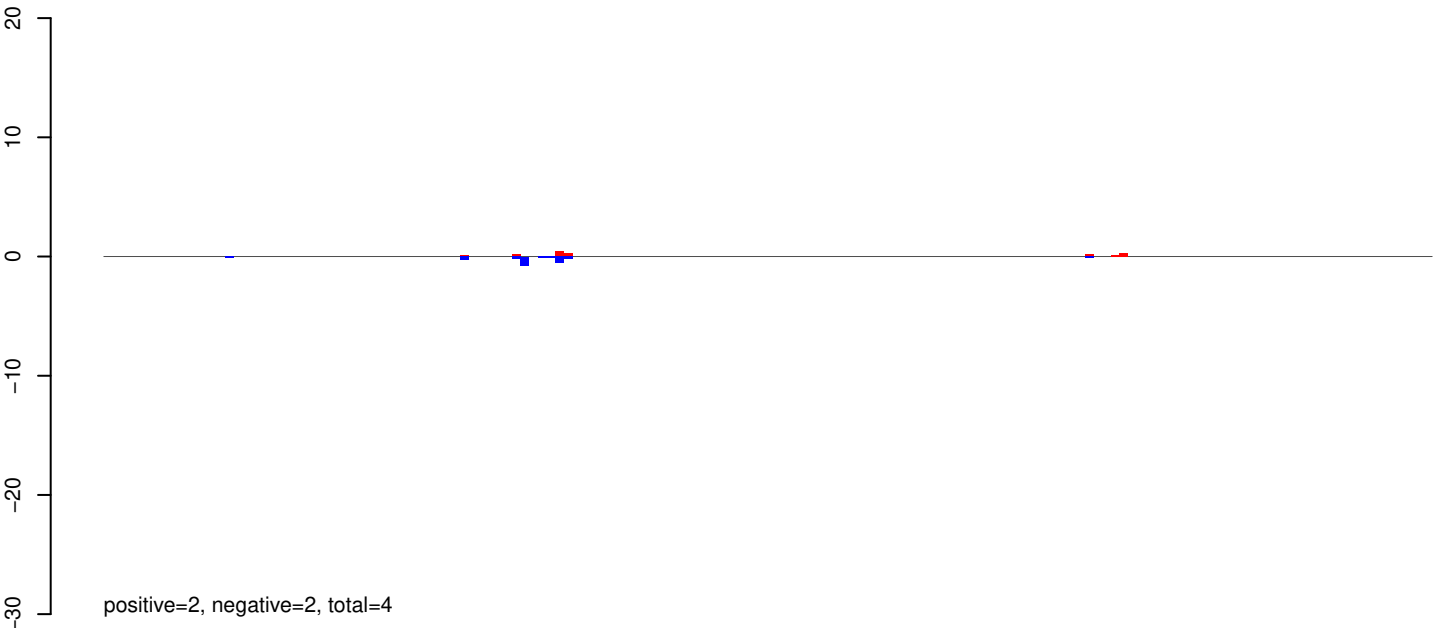
AeAeg_Aag2_Ago3_SINV_RA.rep



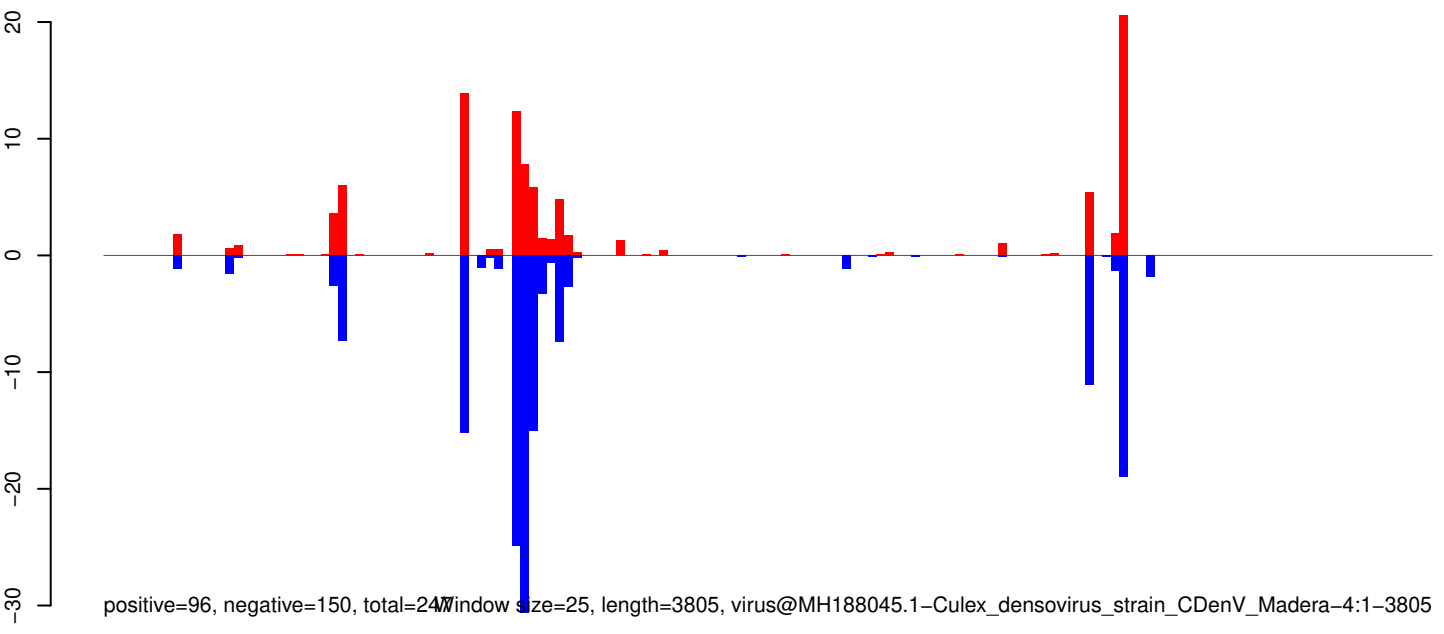
AeAeg_Aag2_Ago3_SINV_RA.18_23.rep



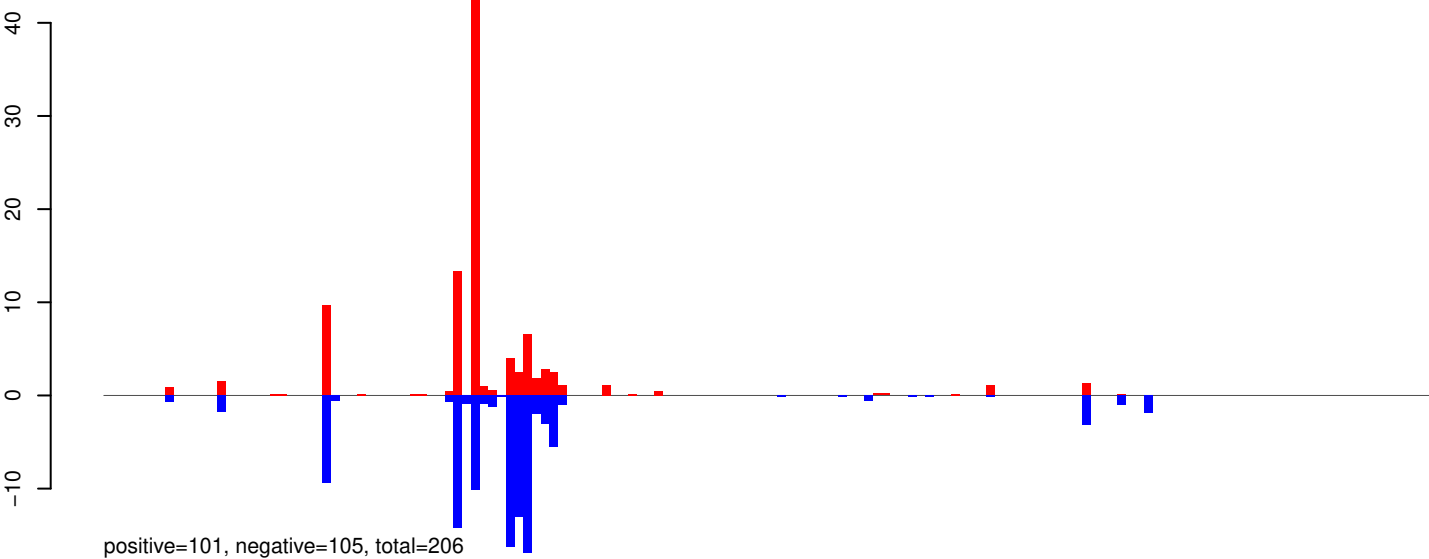
AeAeg_Aag2_Ago3_SINV_RA.24_35.rep



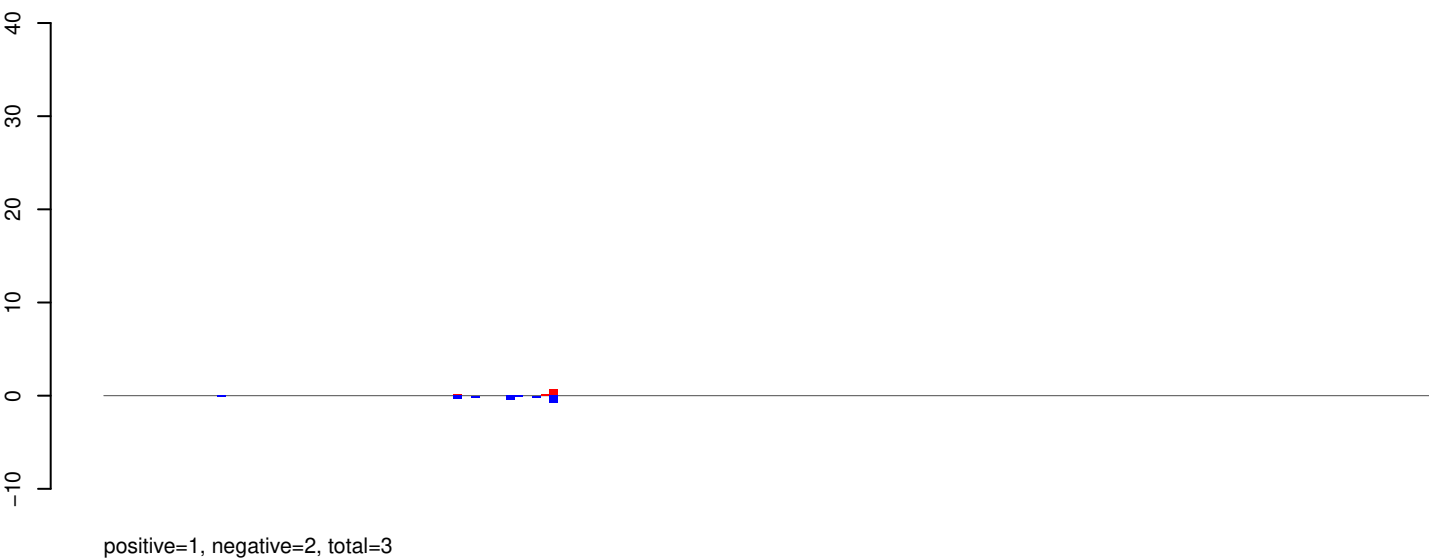
AeAeg_Aag2_Ago3_SINV_RA.rep



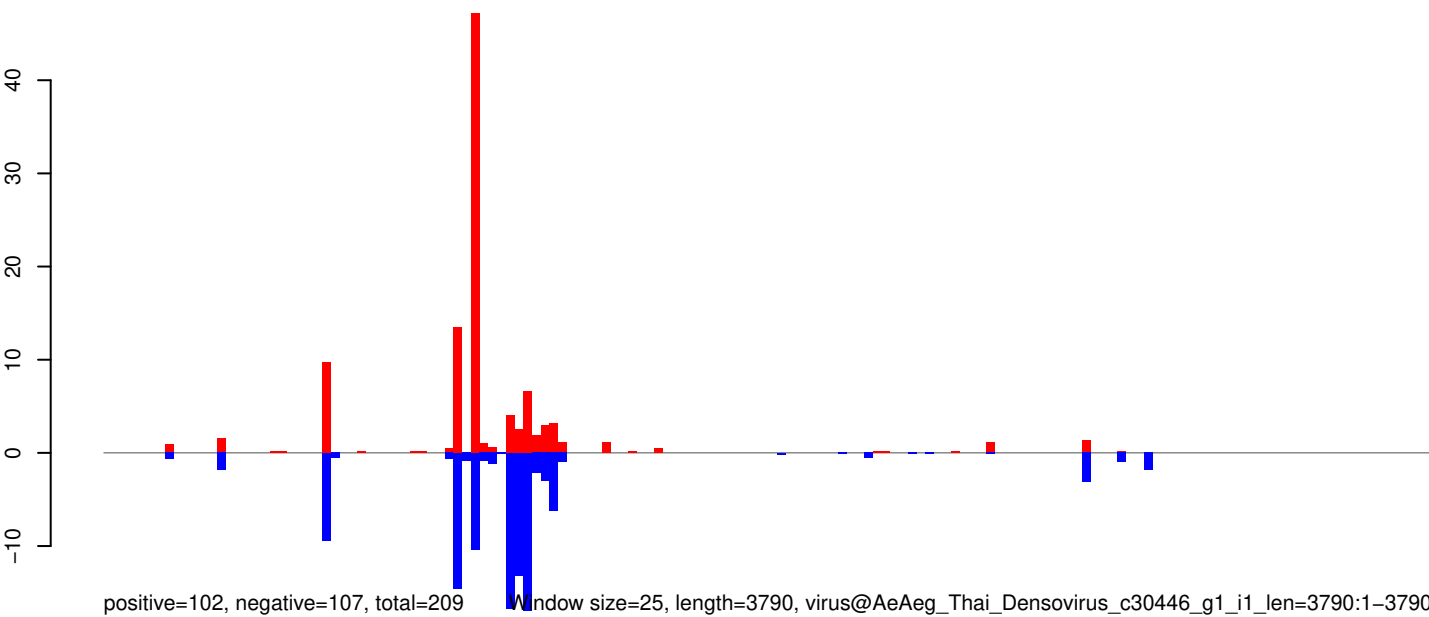
AeAeg_Aag2_Ago3_SINV_RA.18_23.rep



AeAeg_Aag2_Ago3_SINV_RA.24_35.rep



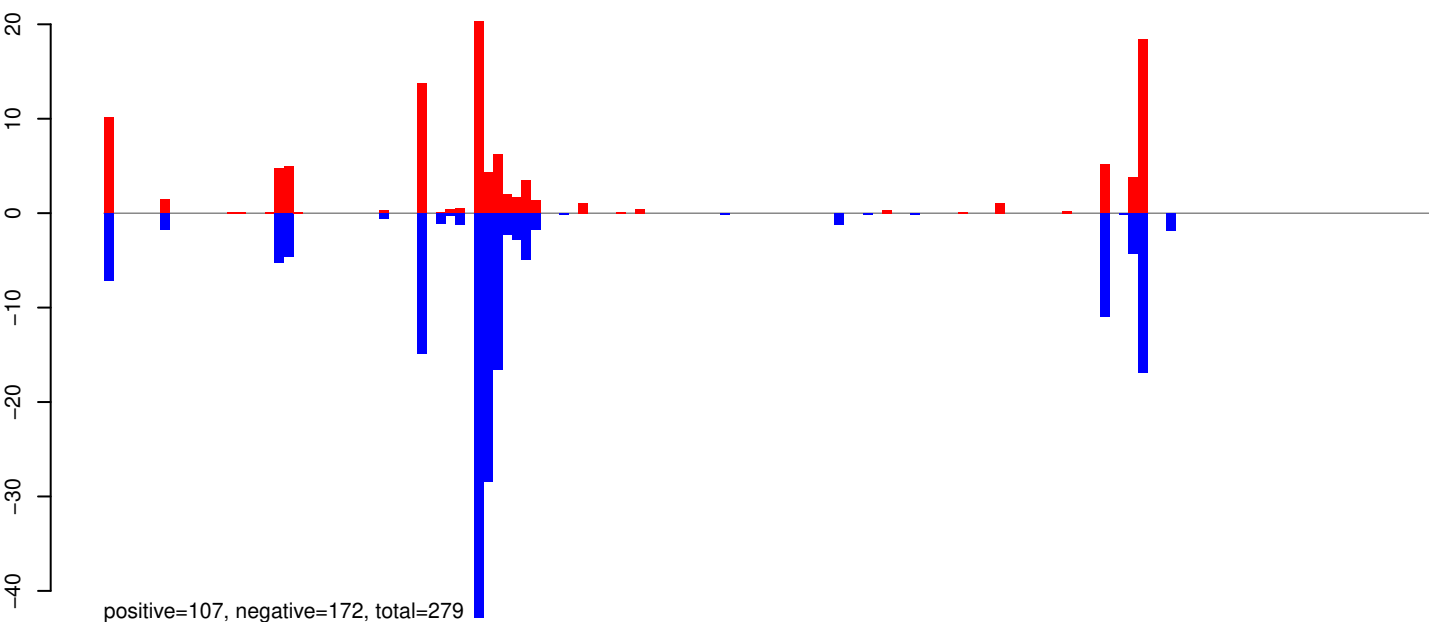
AeAeg_Aag2_Ago3_SINV_RA.rep



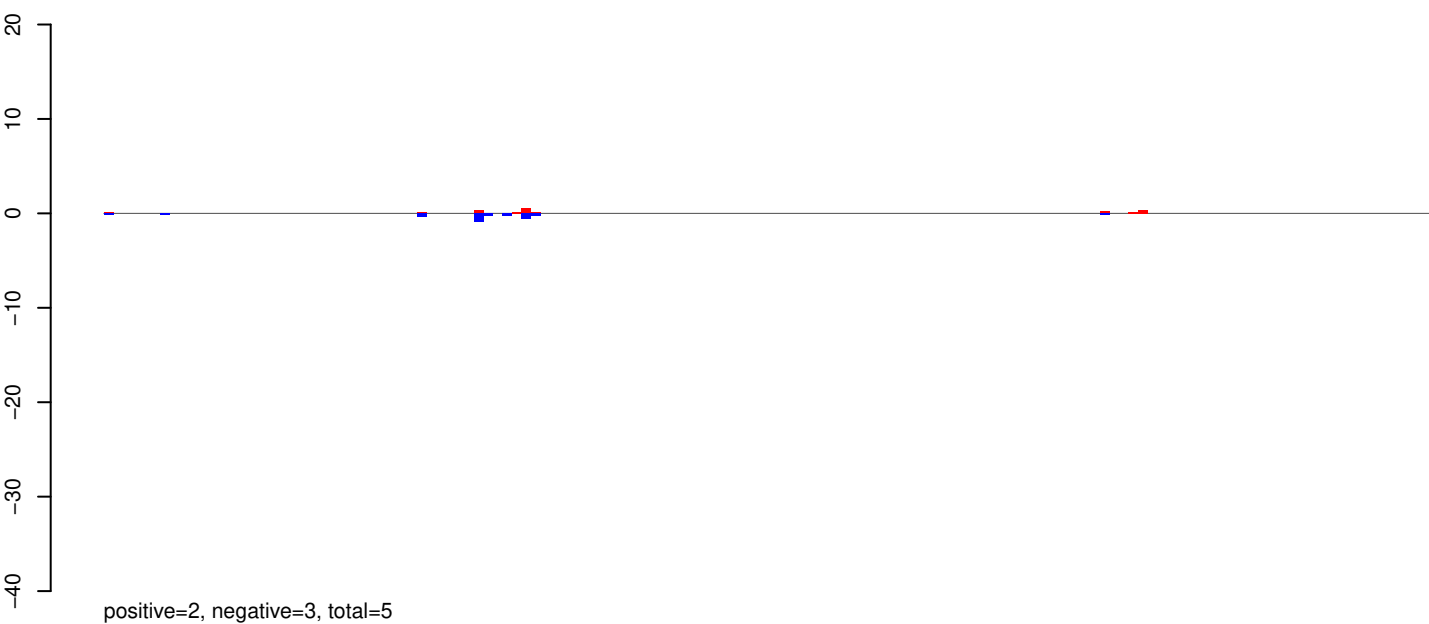
Window size=25, length=3790, virus@AeAeg_Thai_Densovirus_c30446_g1_i1_len=3790:1-3790

0 1000 2000 3000

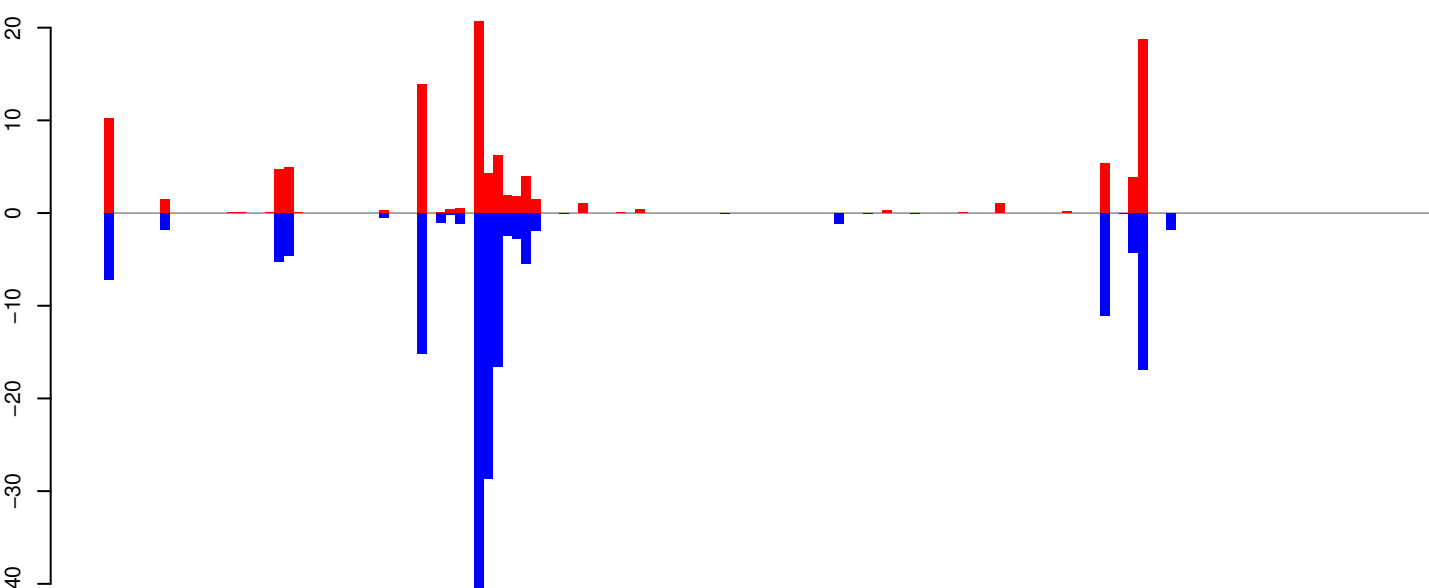
AeAeg_Aag2_Ago3_SINV_RA.18_23.rep



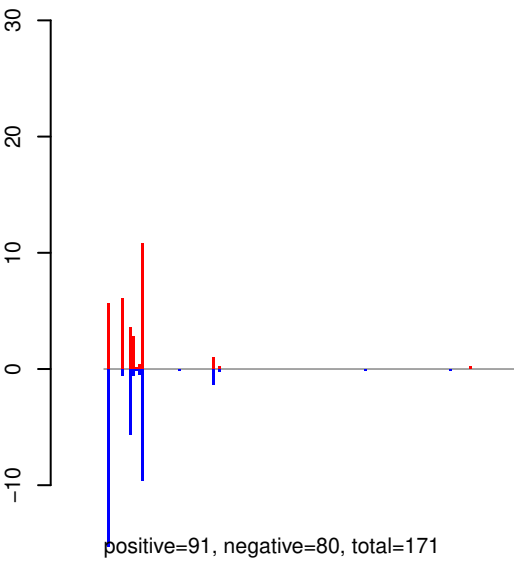
AeAeg_Aag2_Ago3_SINV_RA.24_35.rep



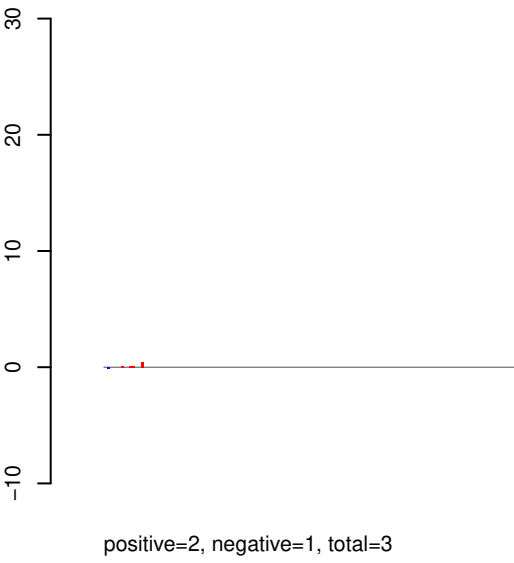
AeAeg_Aag2_Ago3_SINV_RA.rep



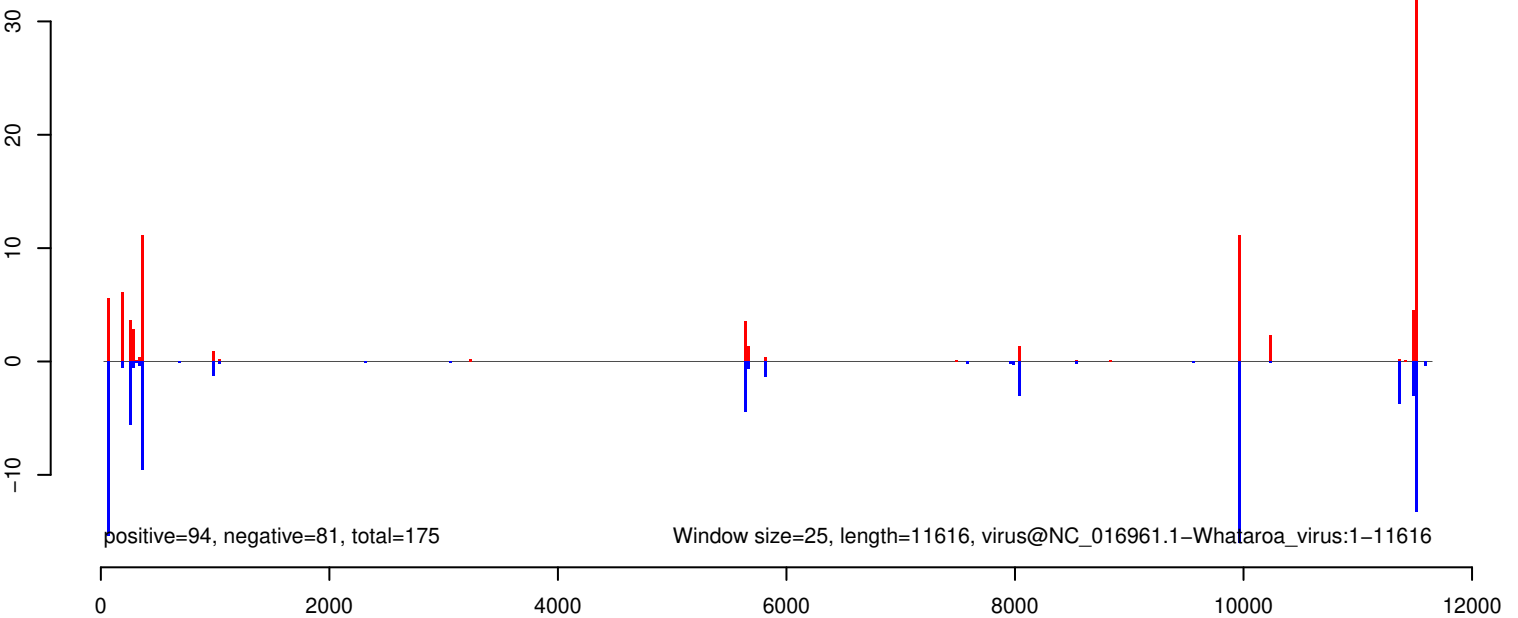
AeAeg_Aag2_Ago3_SINV_RA.18_23.rep



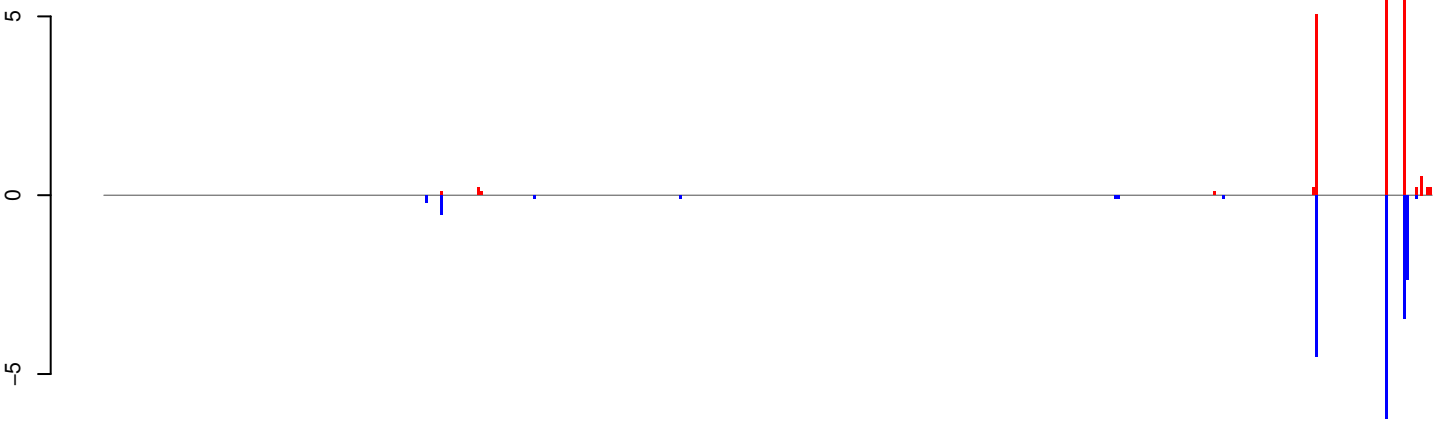
AeAeg_Aag2_Ago3_SINV_RA.24_35.rep



AeAeg_Aag2_Ago3_SINV_RA.rep

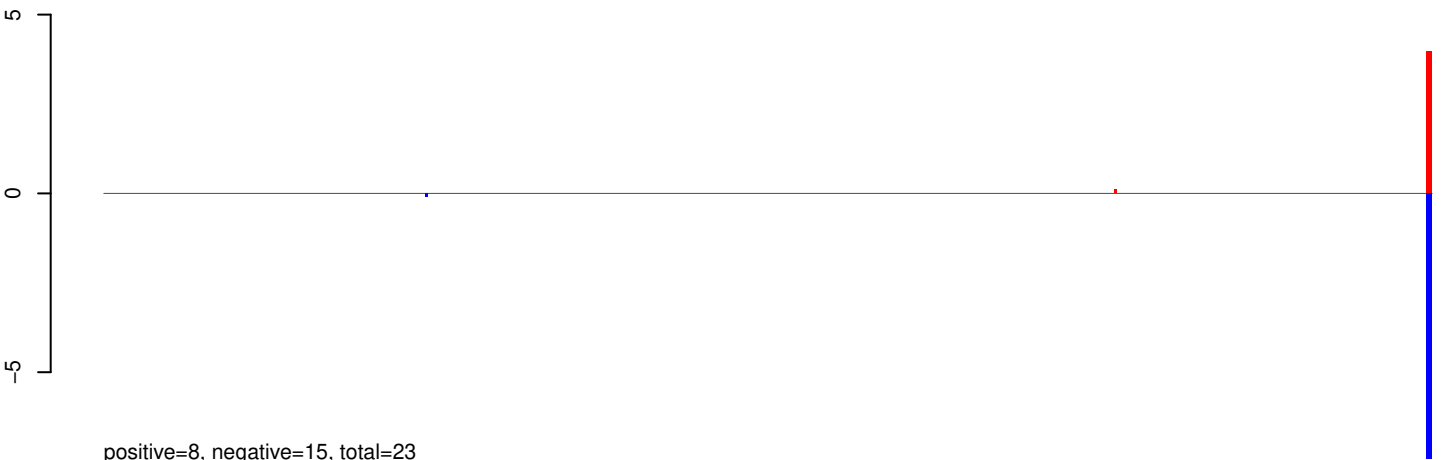


AeAeg_Aag2_Ago3_SINV_RA.18_23.rep



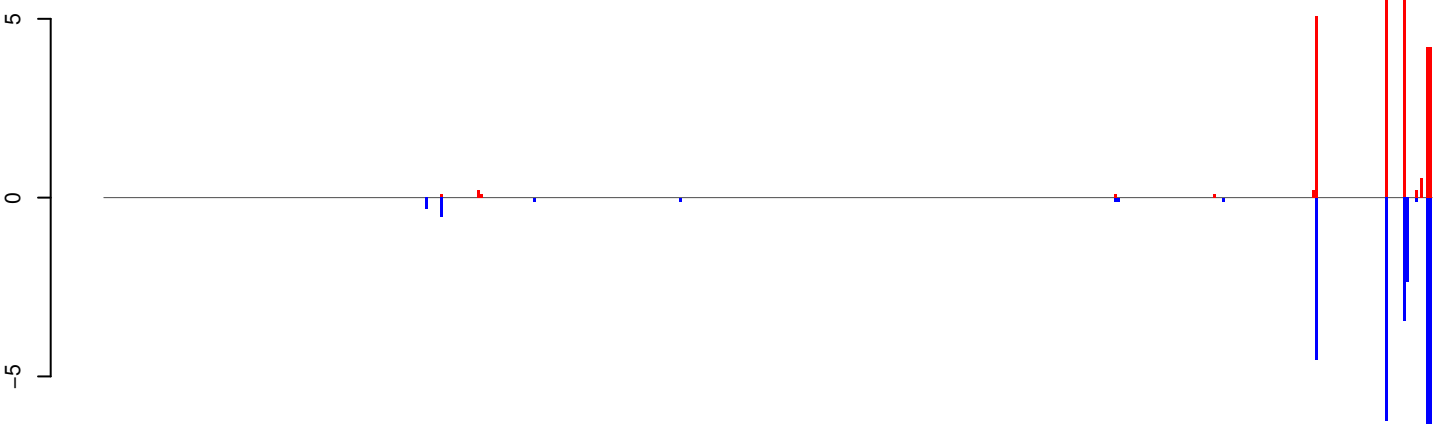
positive=23, negative=18, total=41

AeAeg_Aag2_Ago3_SINV_RA.24_35.rep



positive=8, negative=15, total=23

AeAeg_Aag2_Ago3_SINV_RA.rep

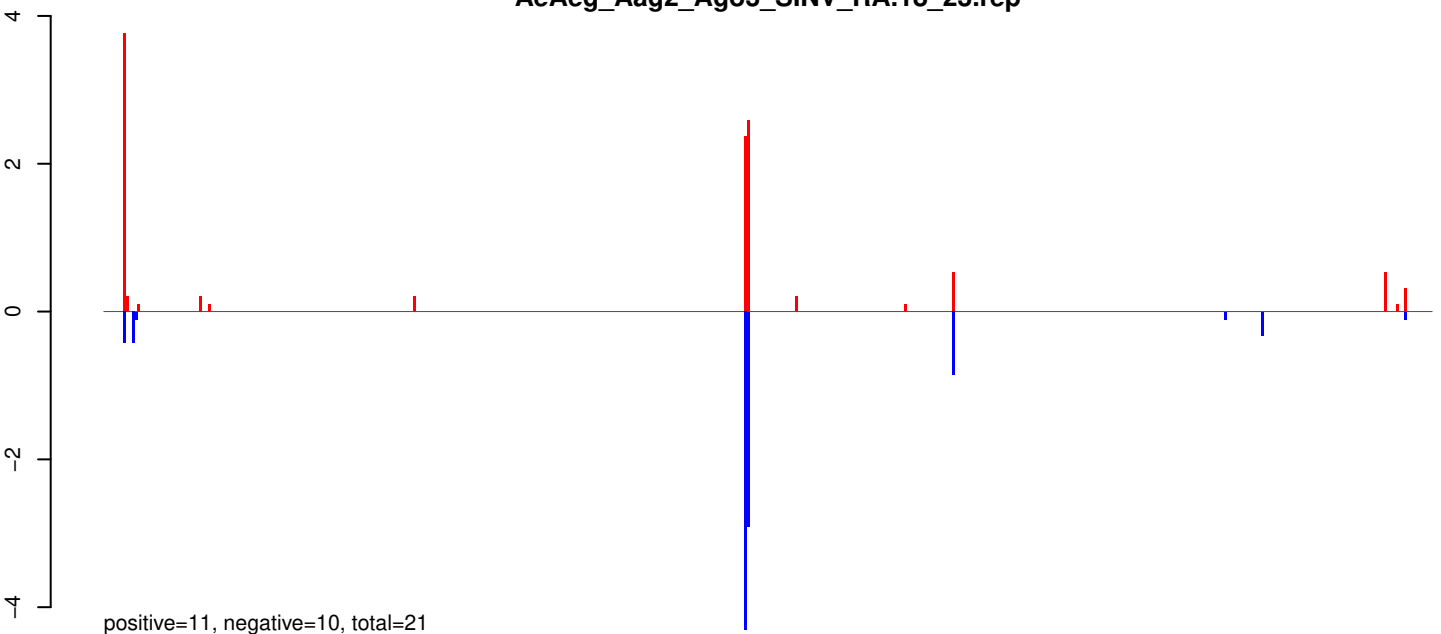


positive=31, negative=33, total=64

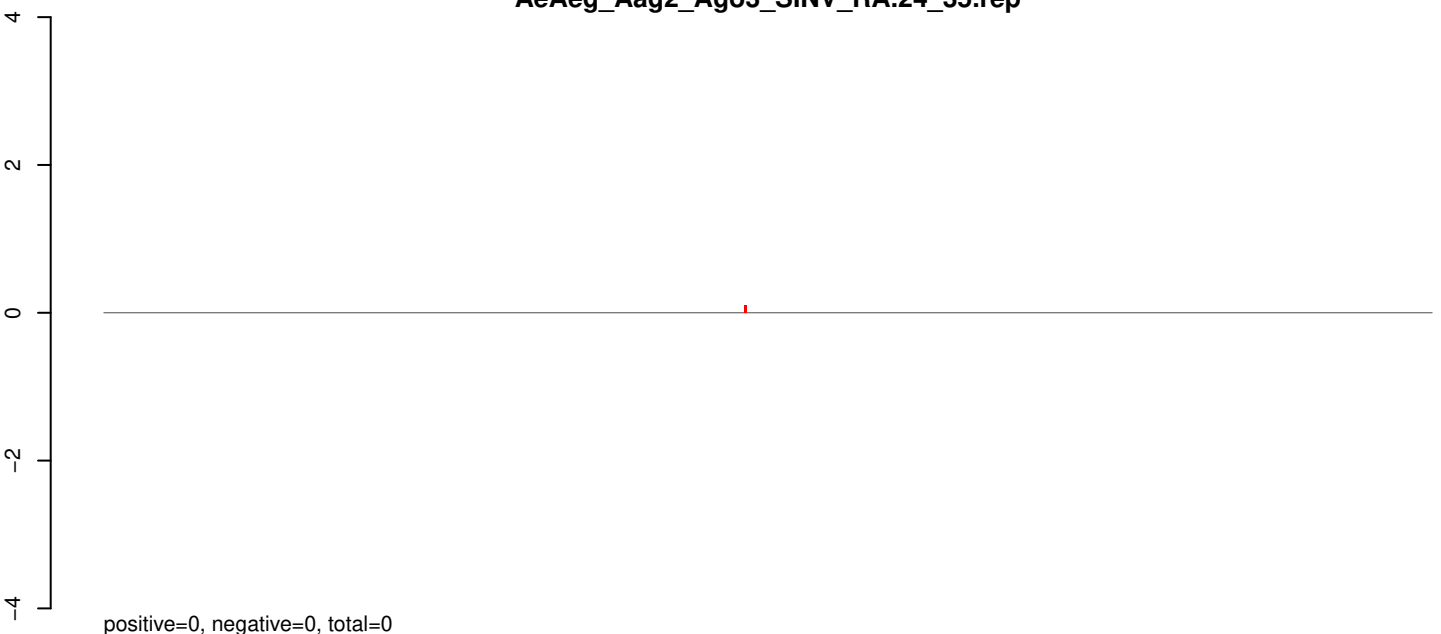
Window size=25, length=11375, virus@NC_005064.1-Kamiti_River_virus:1-11375



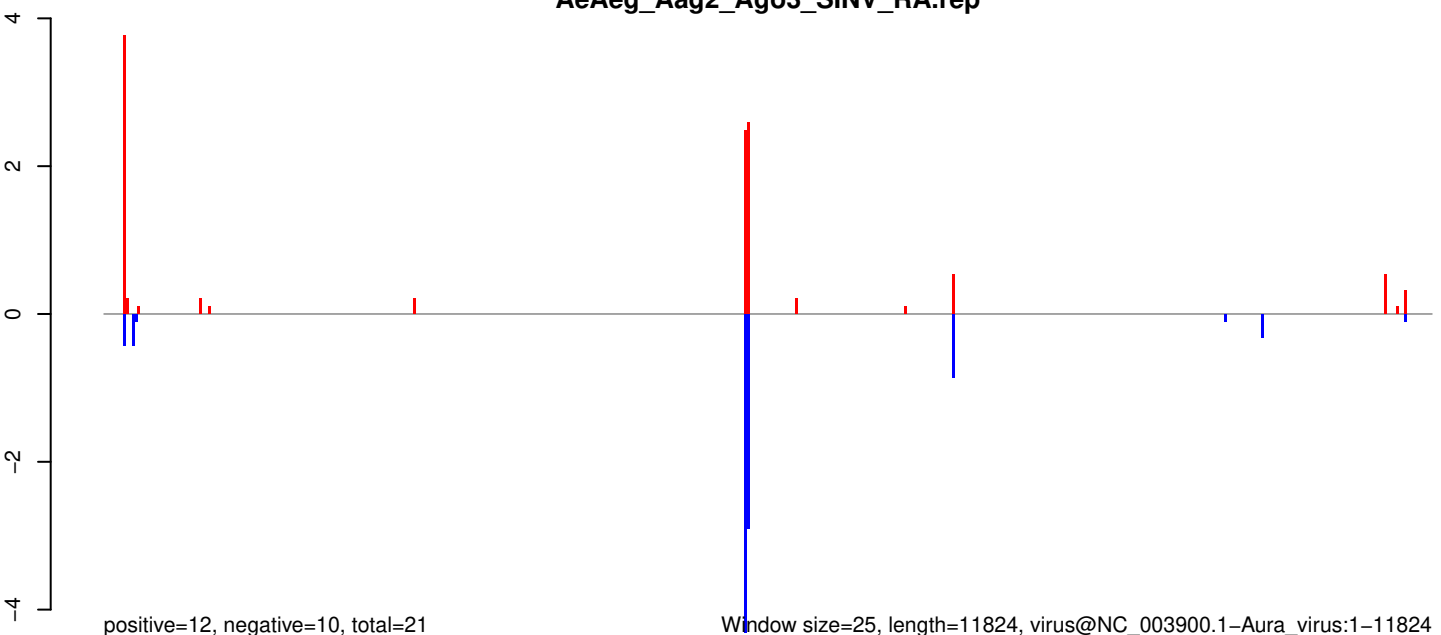
AeAeg_Aag2_Ago3_SINV_RA.18_23.rep



AeAeg_Aag2_Ago3_SINV_RA.24_35.rep



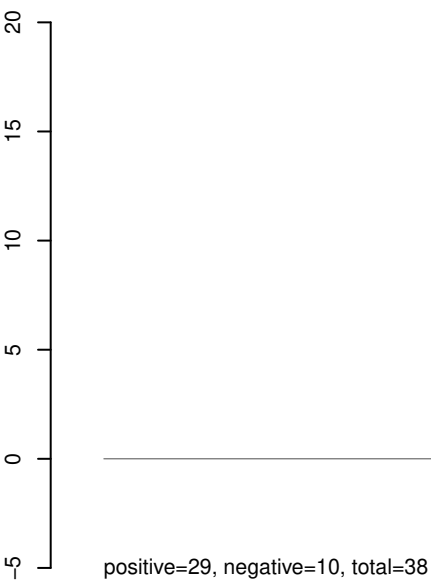
AeAeg_Aag2_Ago3_SINV_RA.rep



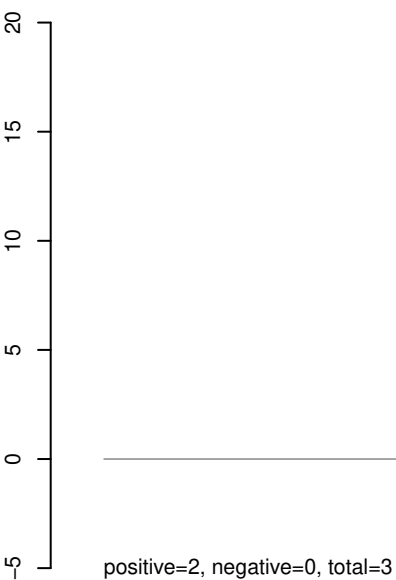
Window size=25, length=11824, virus@NC_003900.1-Aura_virus:1-11824

0 2000 4000 6000 8000 10000 12000

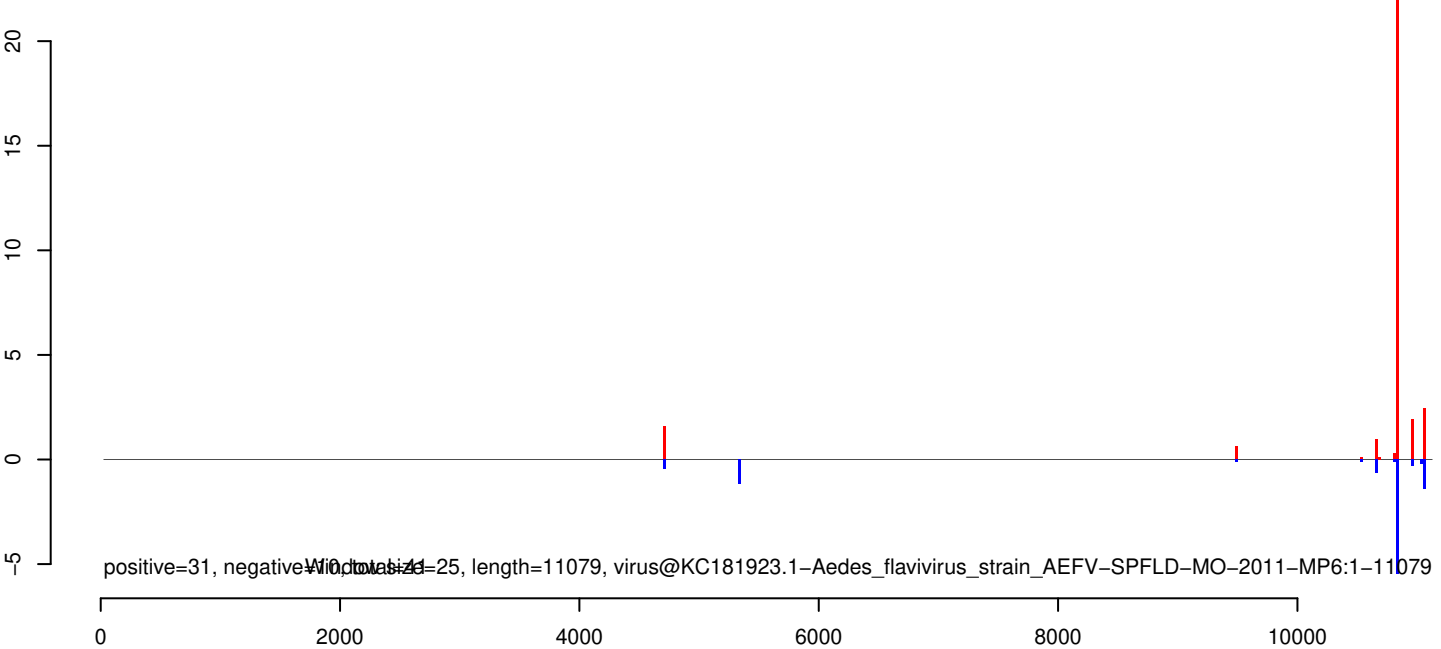
AeAeg_Aag2_Ago3_SINV_RA.18_23.rep



AeAeg_Aag2_Ago3_SINV_RA.24_35.rep



AeAeg_Aag2_Ago3_SINV_RA.rep



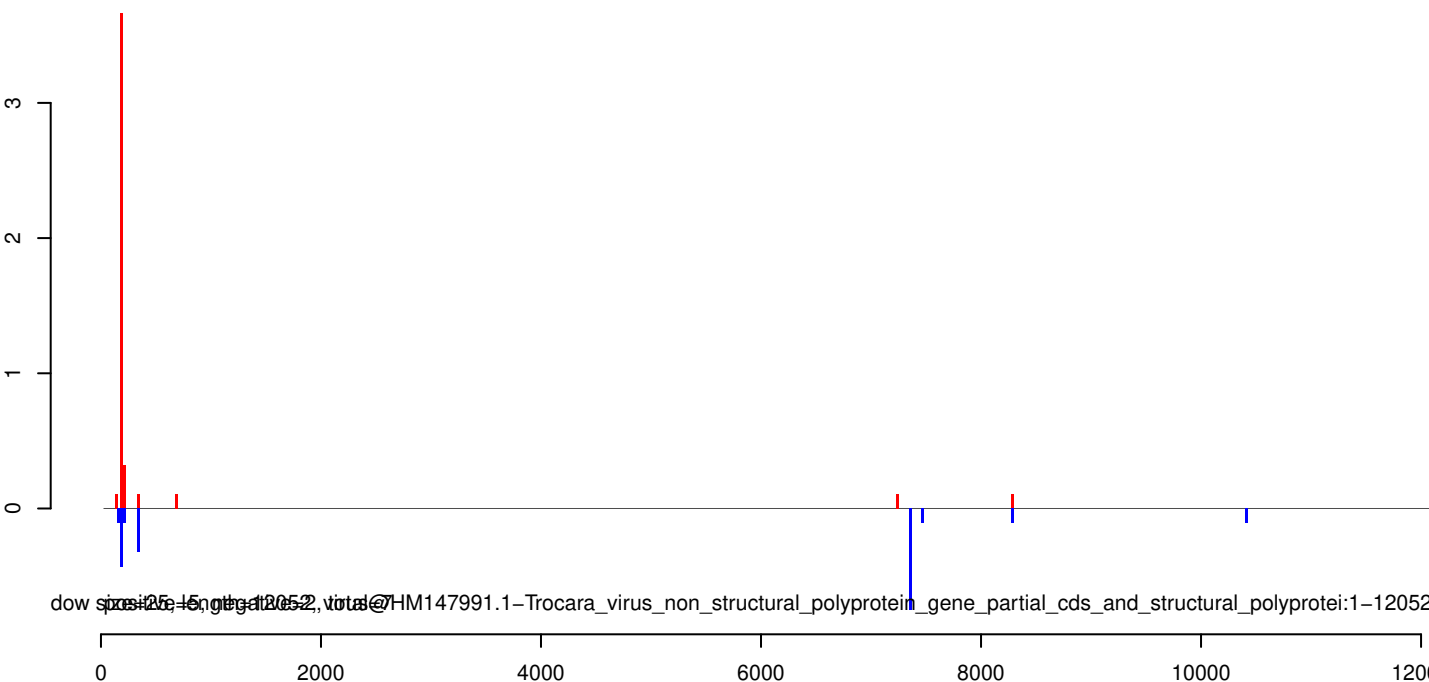
AeAeg_Aag2_Ago3_SINV_RA.18_23.rep



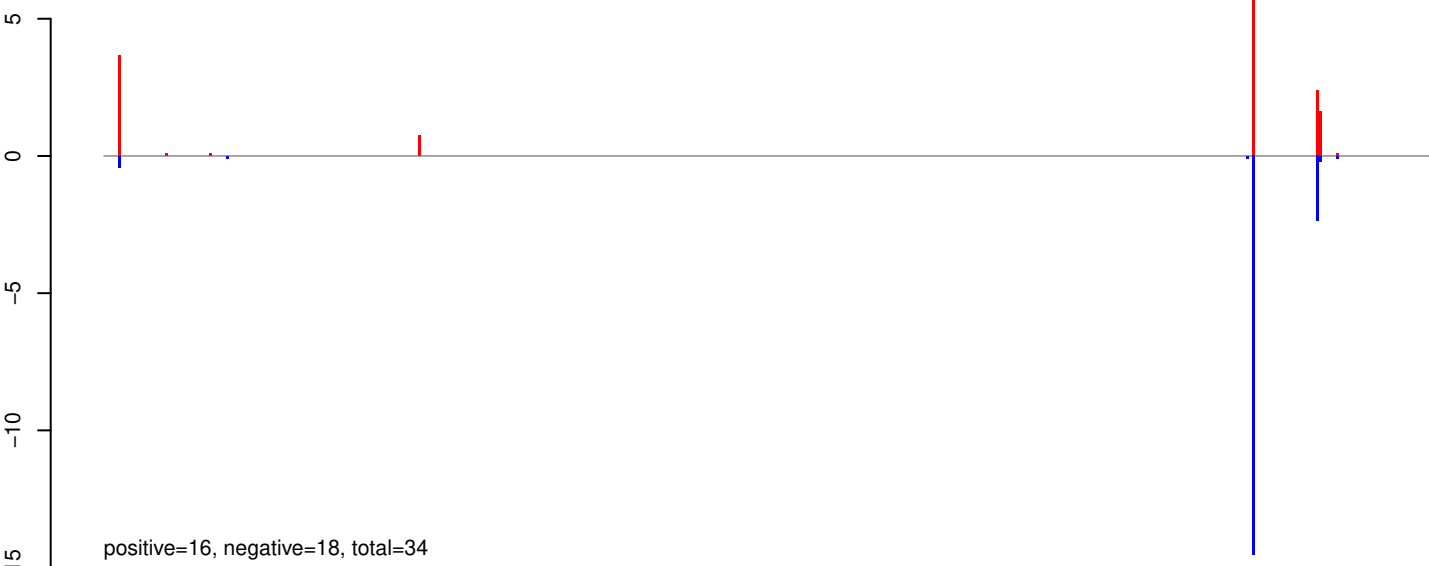
AeAeg_Aag2_Ago3_SINV_RA.24_35.rep



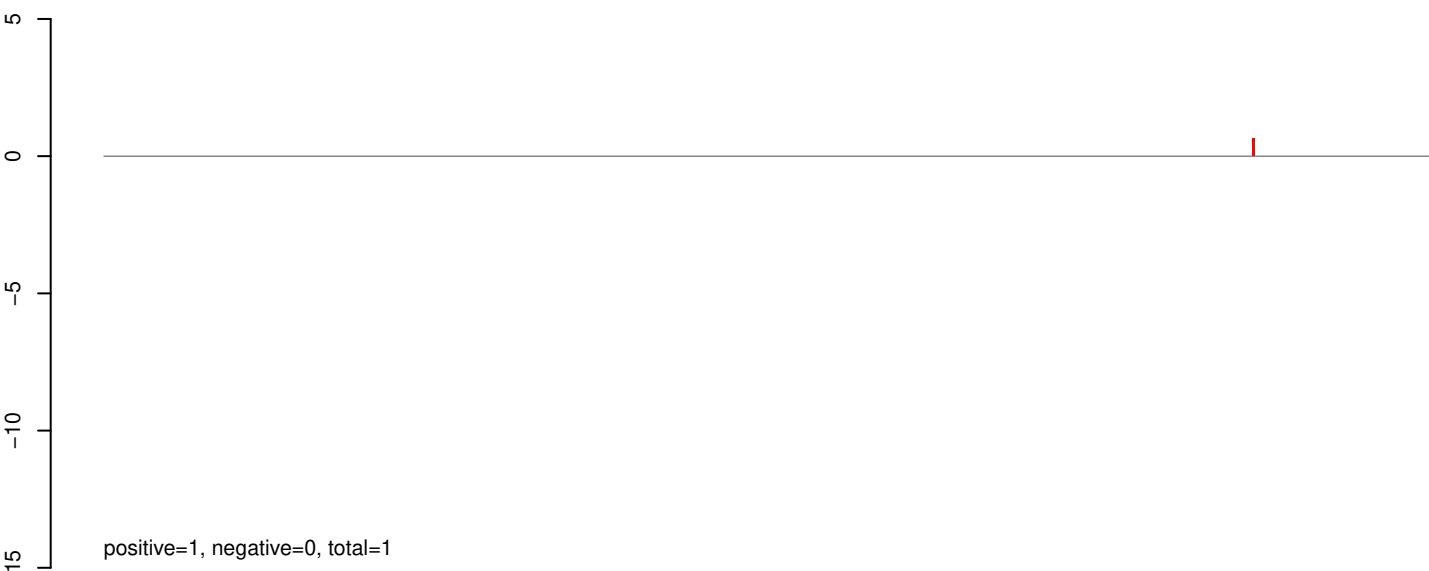
AeAeg_Aag2_Ago3_SINV_RA.rep



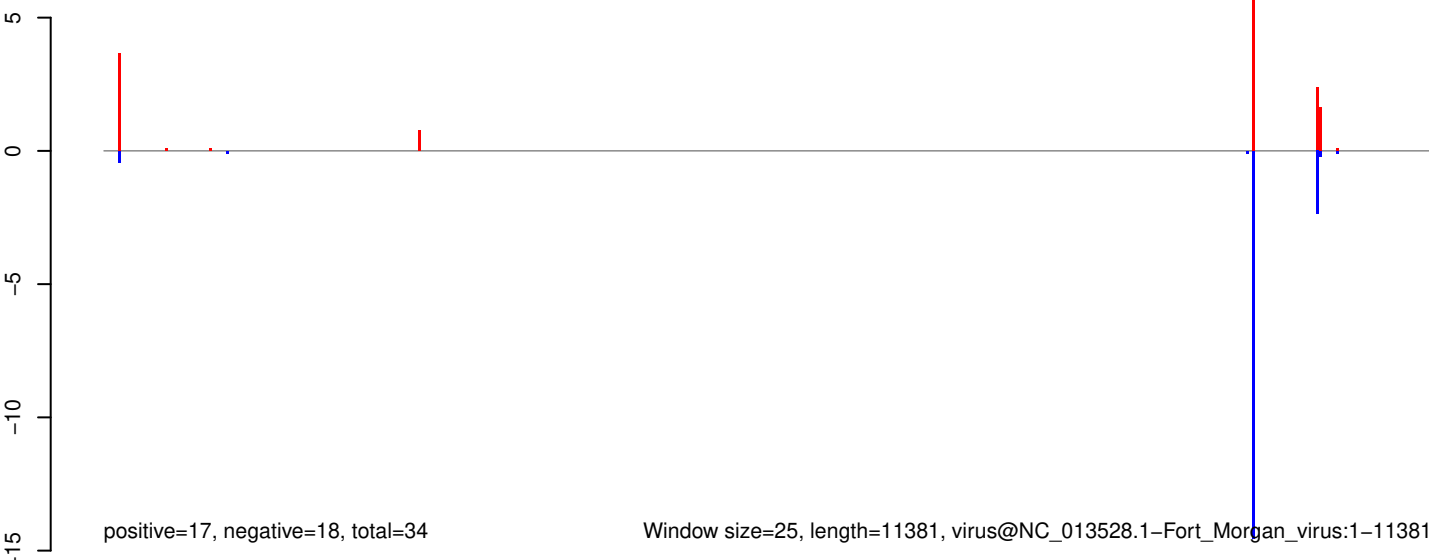
AeAeg_Aag2_Ago3_SINV_RA.18_23.rep



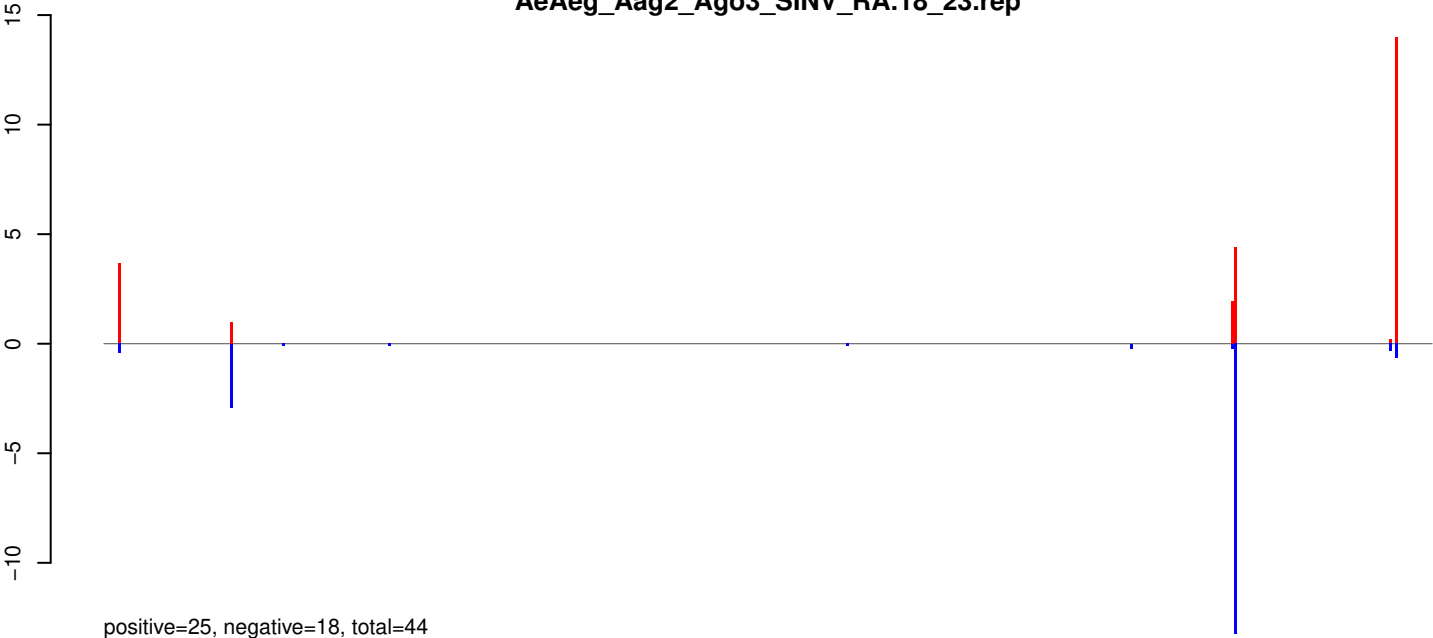
AeAeg_Aag2_Ago3_SINV_RA.24_35.rep



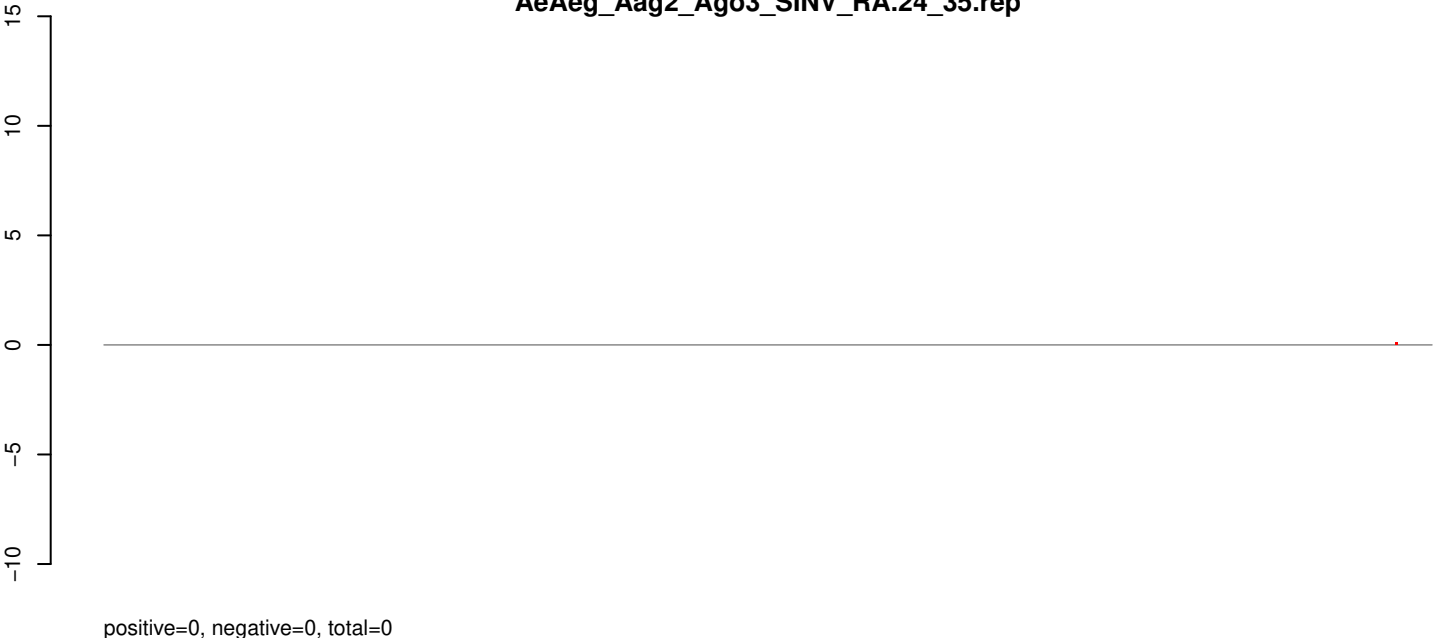
AeAeg_Aag2_Ago3_SINV_RA.rep



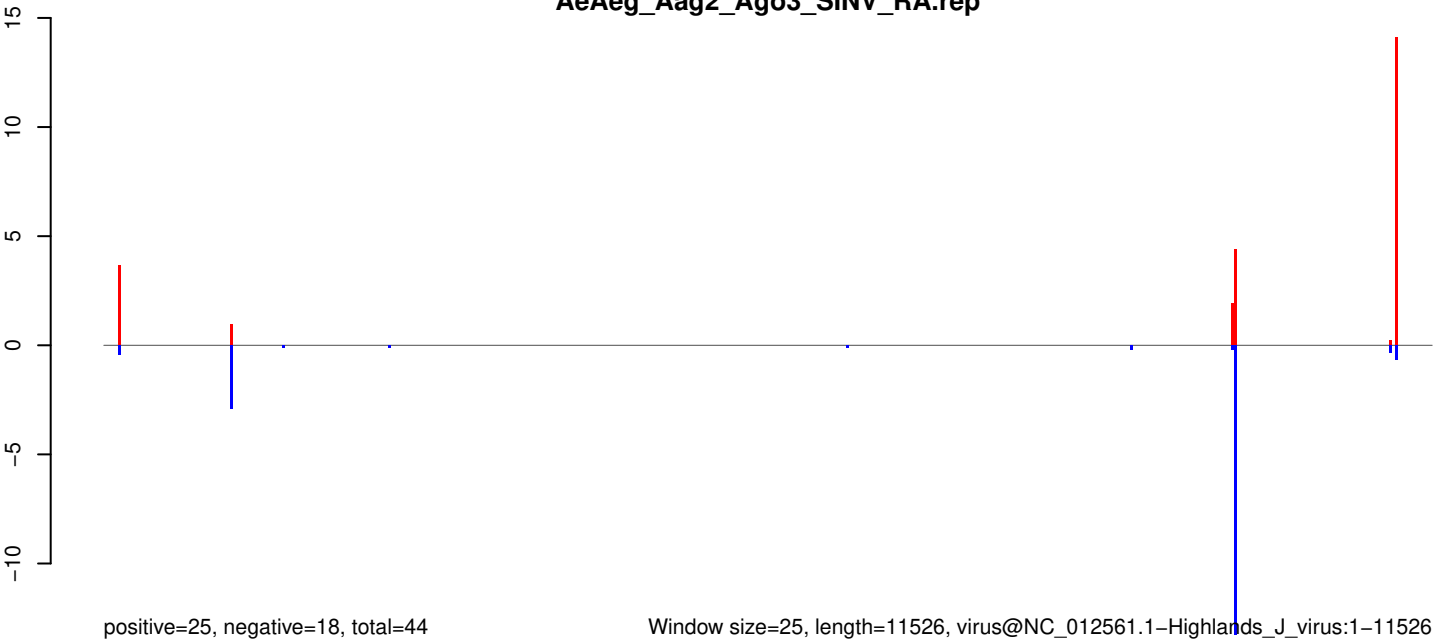
AeAeg_Aag2_Ago3_SINV_RA.18_23.rep



AeAeg_Aag2_Ago3_SINV_RA.24_35.rep

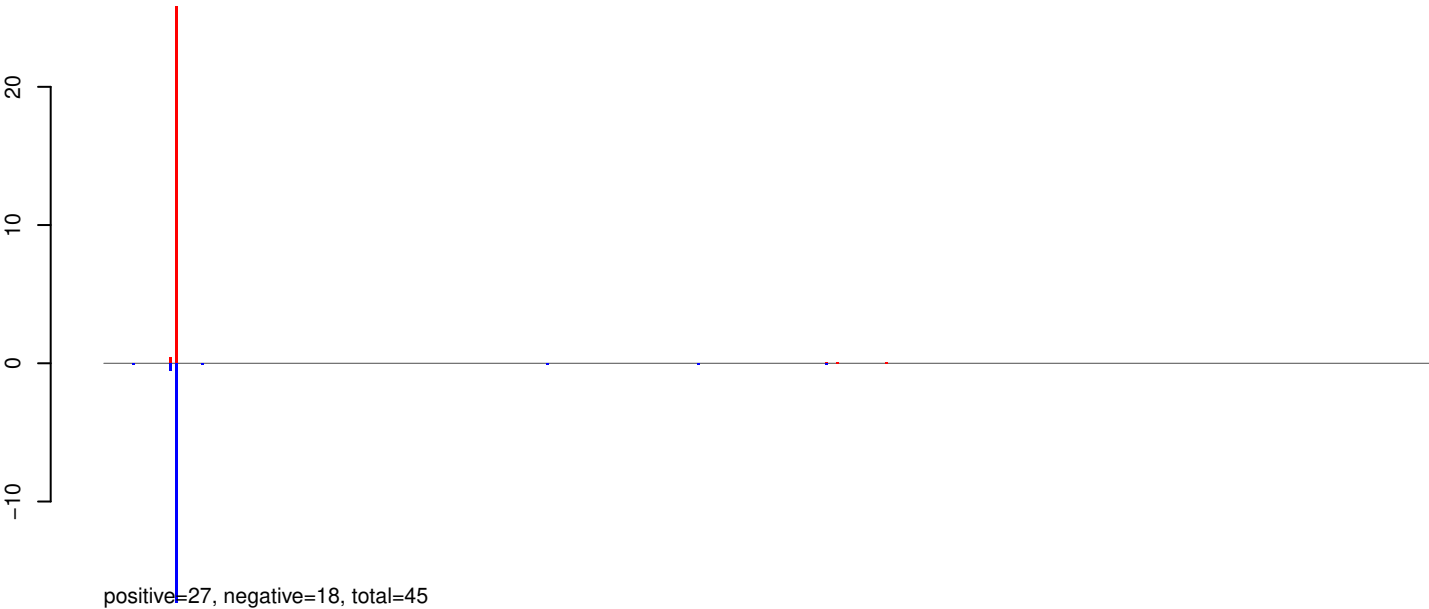


AeAeg_Aag2_Ago3_SINV_RA.rep

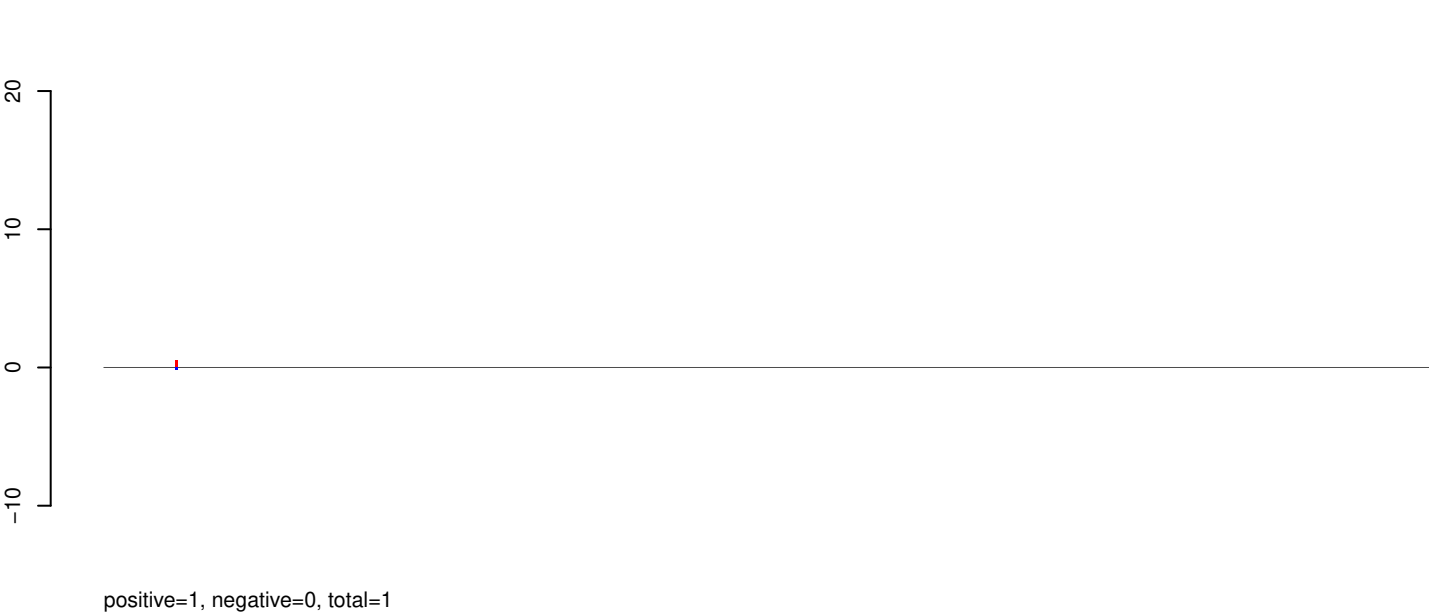


Window size=25, length=11526, virus@NC_012561.1-Highlands_J_virus:1-11526

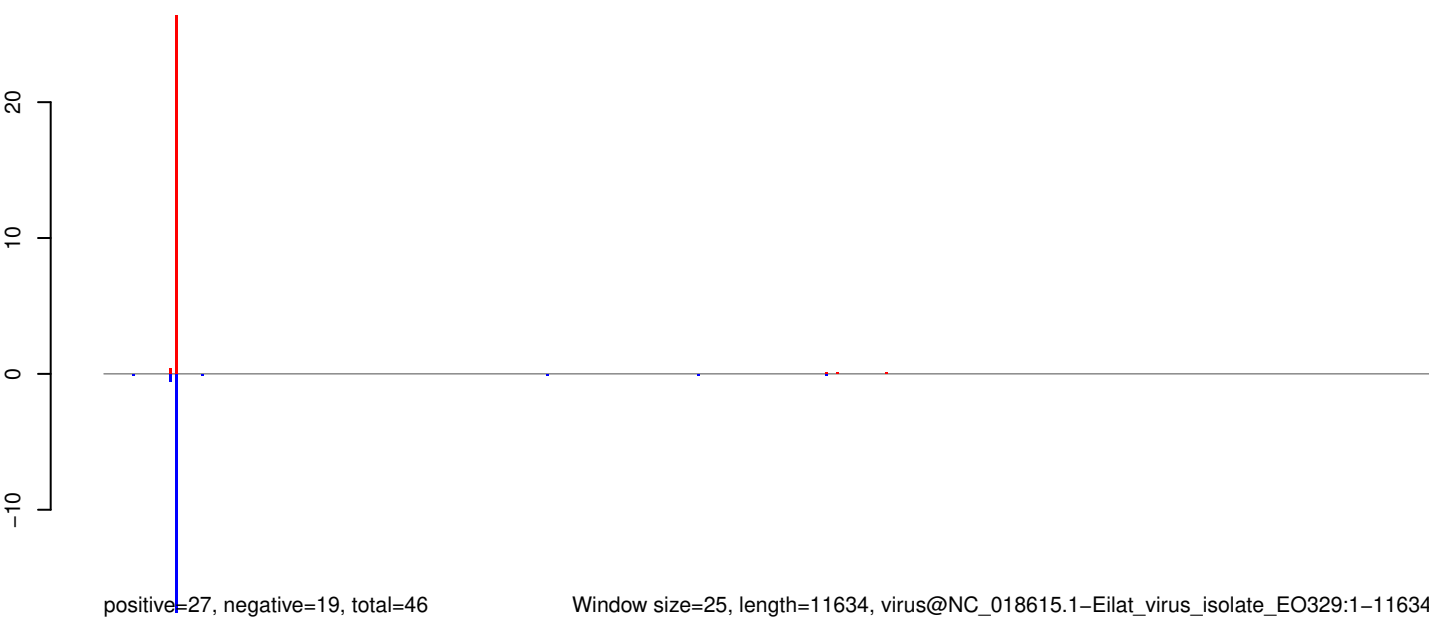
AeAeg_Aag2_Ago3_SINV_RA.18_23.rep



AeAeg_Aag2_Ago3_SINV_RA.24_35.rep



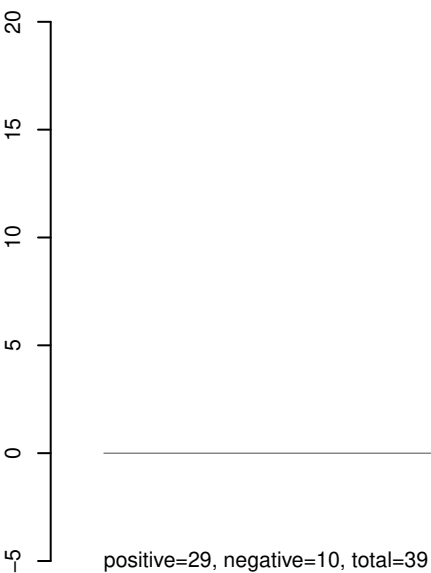
AeAeg_Aag2_Ago3_SINV_RA.rep



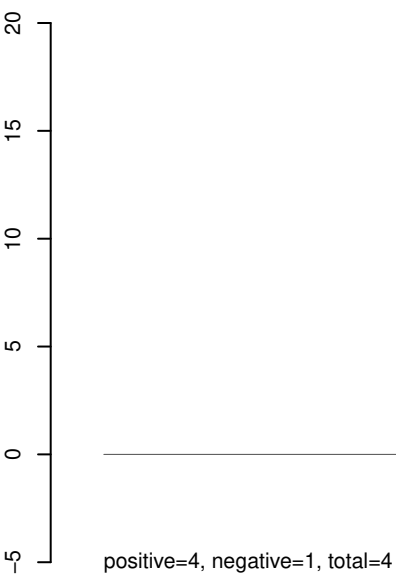
Window size=25, length=11634, virus@NC_018615.1-Eilat_virus_isolate_EO329:1-11634

0 2000 4000 6000 8000 10000 12000

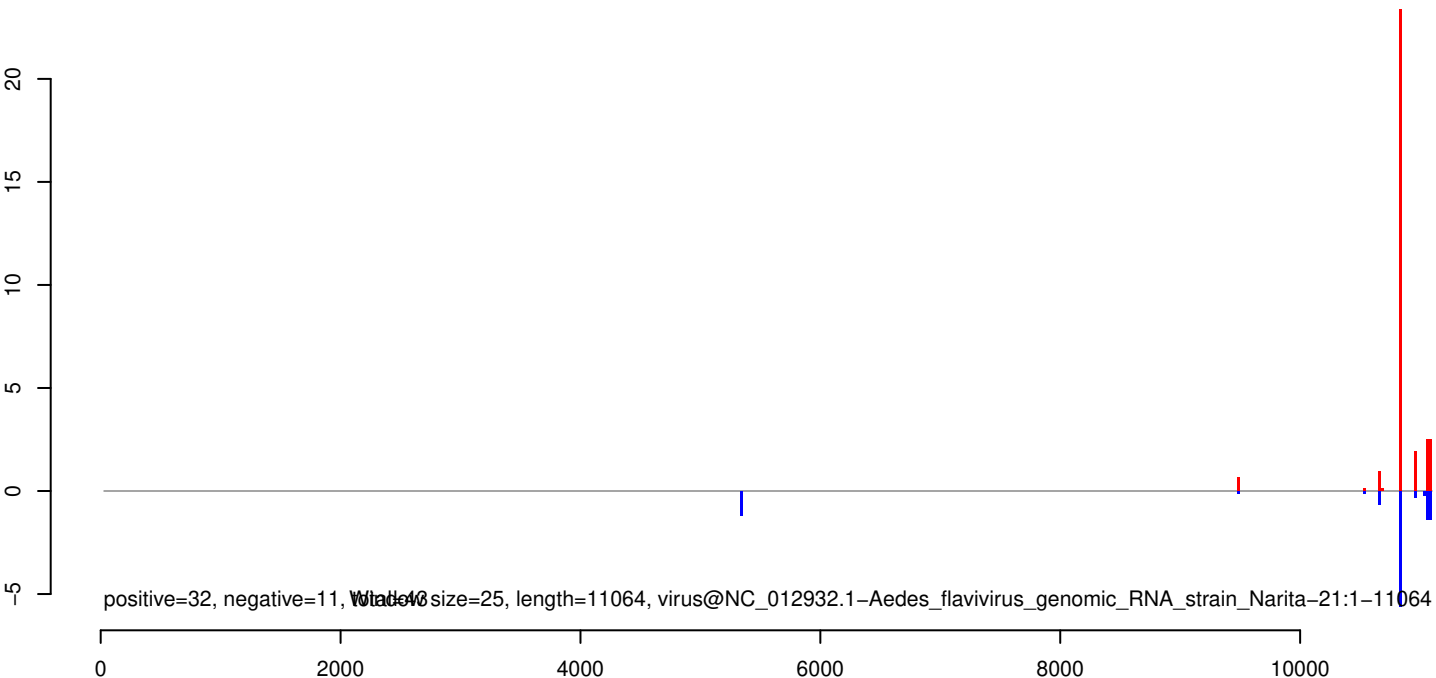
AeAeg_Aag2_Ago3_SINV_RA.18_23.rep



AeAeg_Aag2_Ago3_SINV_RA.24_35.rep



AeAeg_Aag2_Ago3_SINV_RA.rep



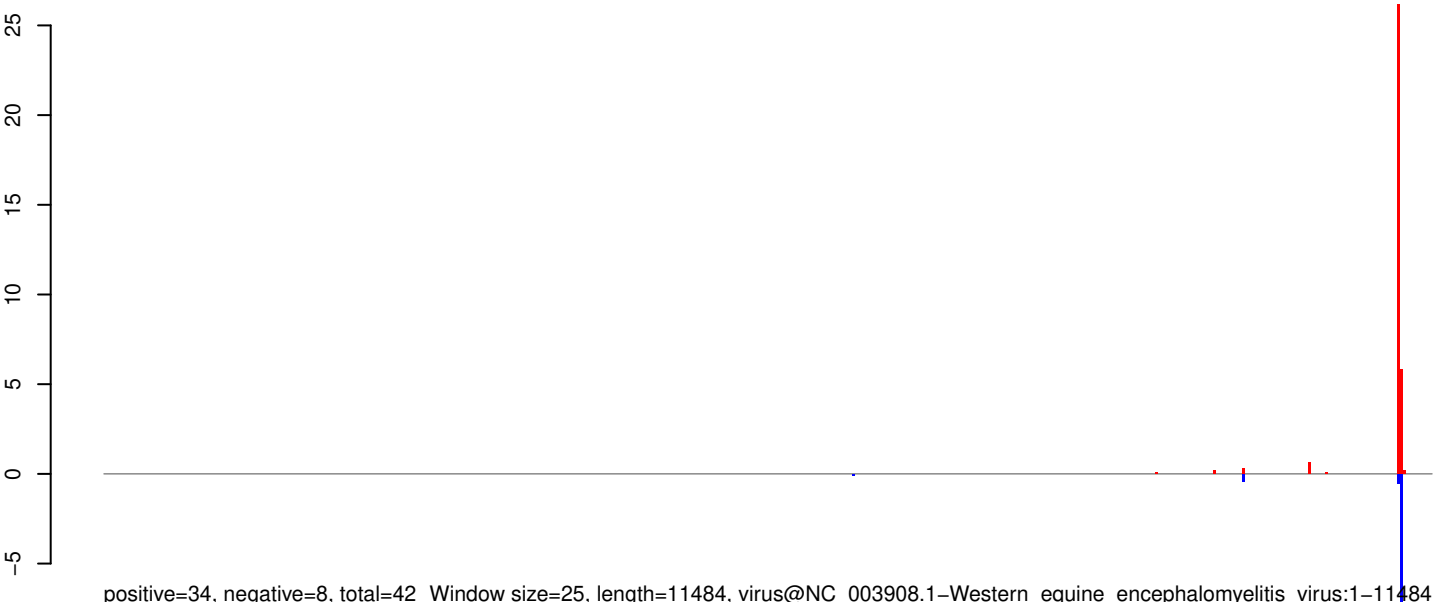
AeAeg_Aag2_Ago3_SINV_RA.18_23.rep



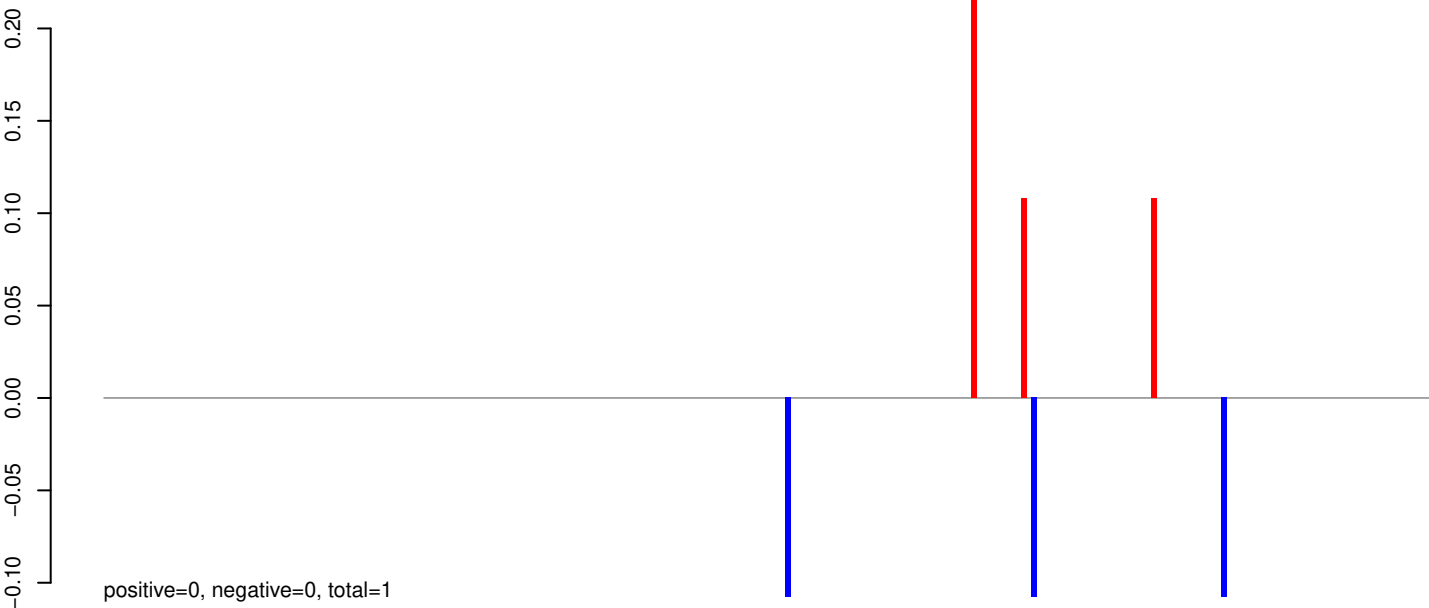
AeAeg_Aag2_Ago3_SINV_RA.24_35.rep



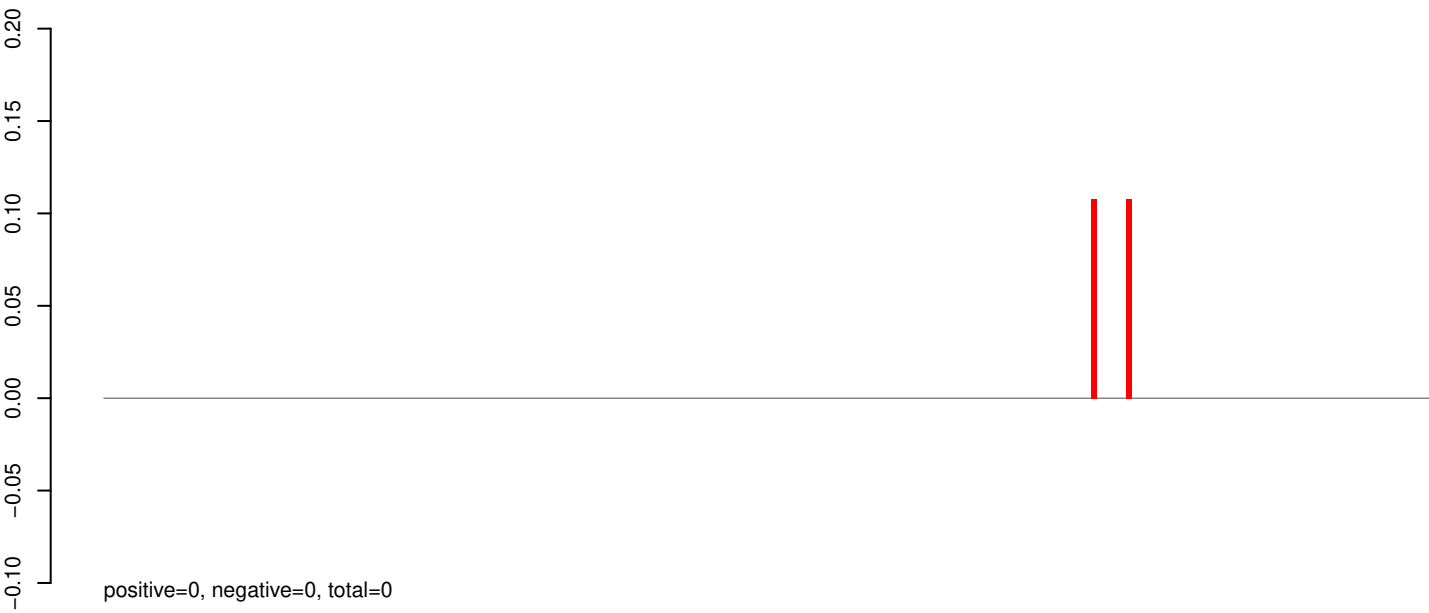
AeAeg_Aag2_Ago3_SINV_RA.rep



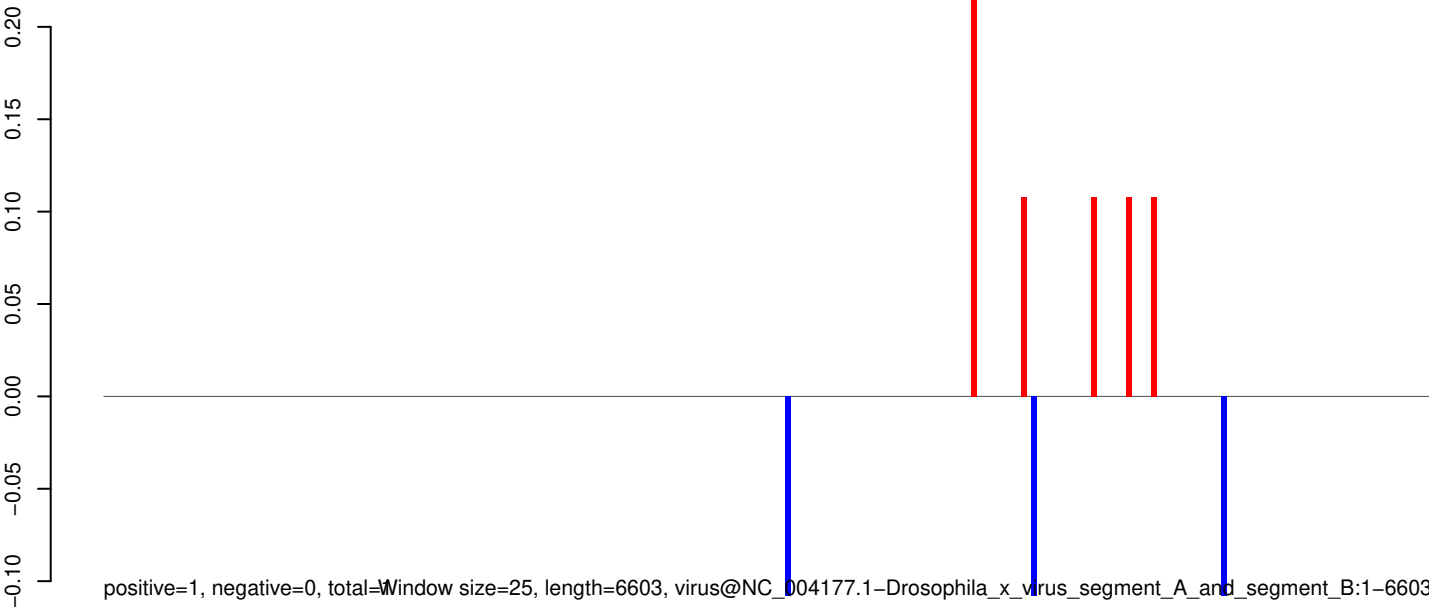
AeAeg_Aag2_Ago3_SINV_RA.18_23.rep



AeAeg_Aag2_Ago3_SINV_RA.24_35.rep



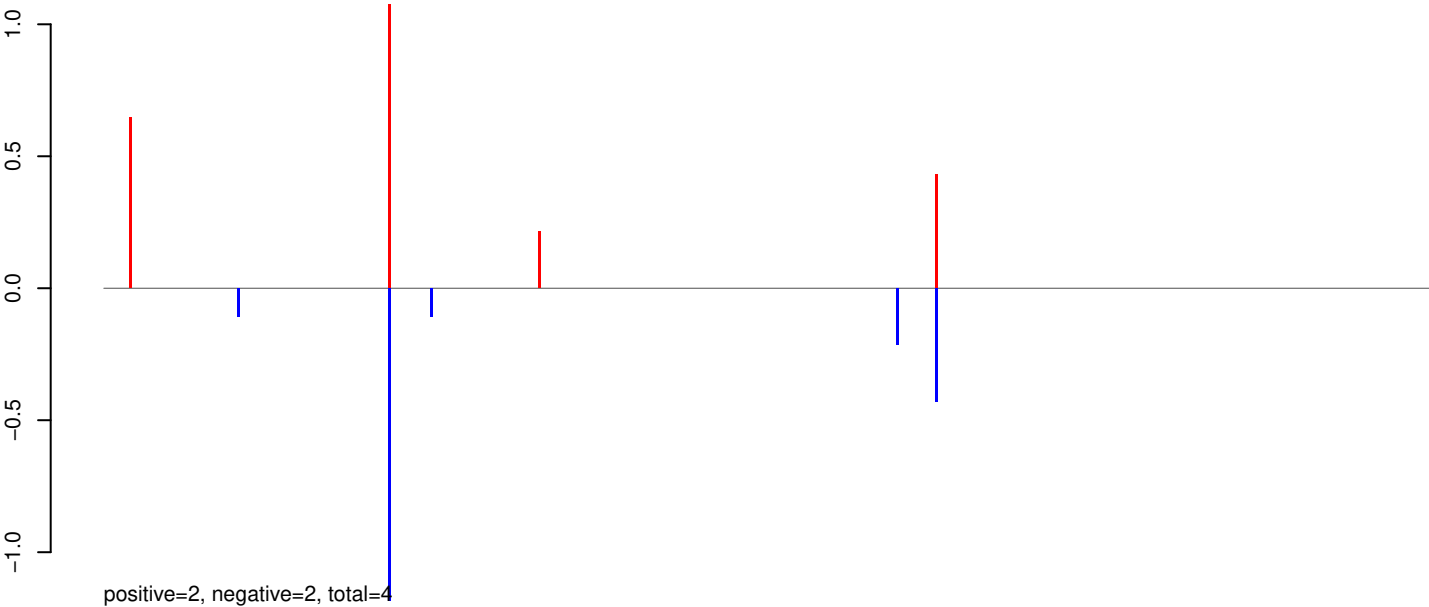
AeAeg_Aag2_Ago3_SINV_RA.rep



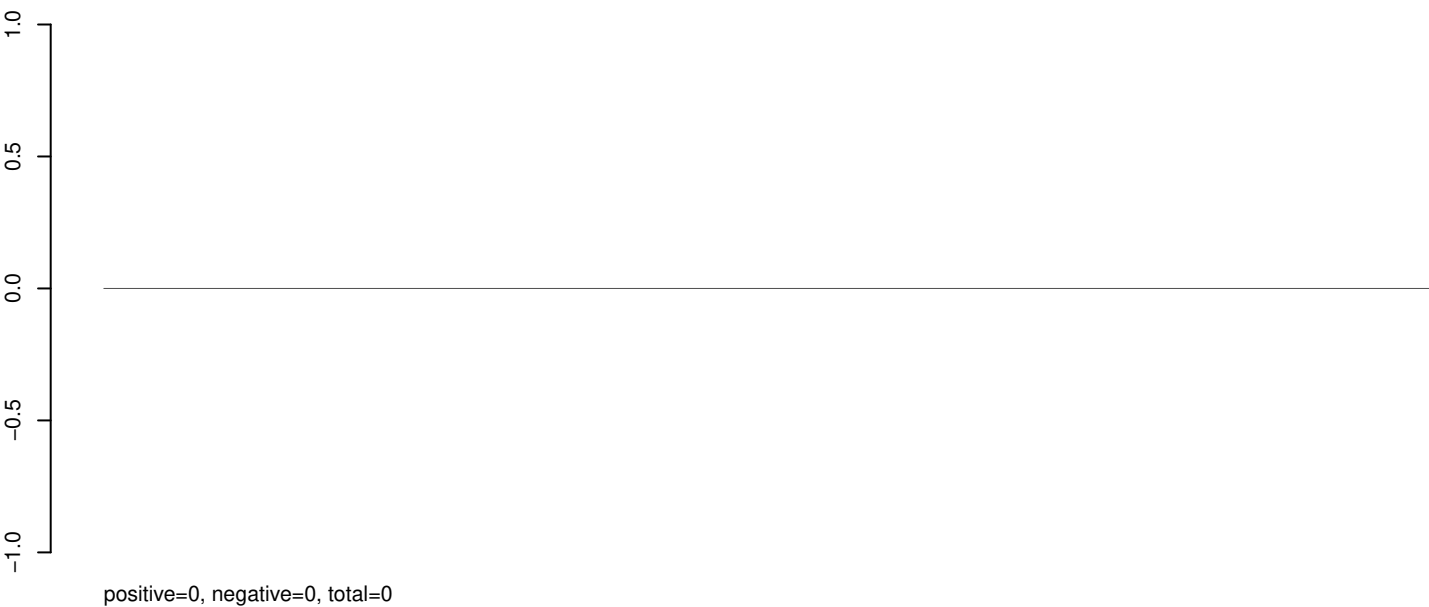
Window size=25, length=6603, virus@NC_004177.1-Drosophila_x_virus_segment_A_and_segment_B:1-6603

0 1000 2000 3000 4000 5000 6000

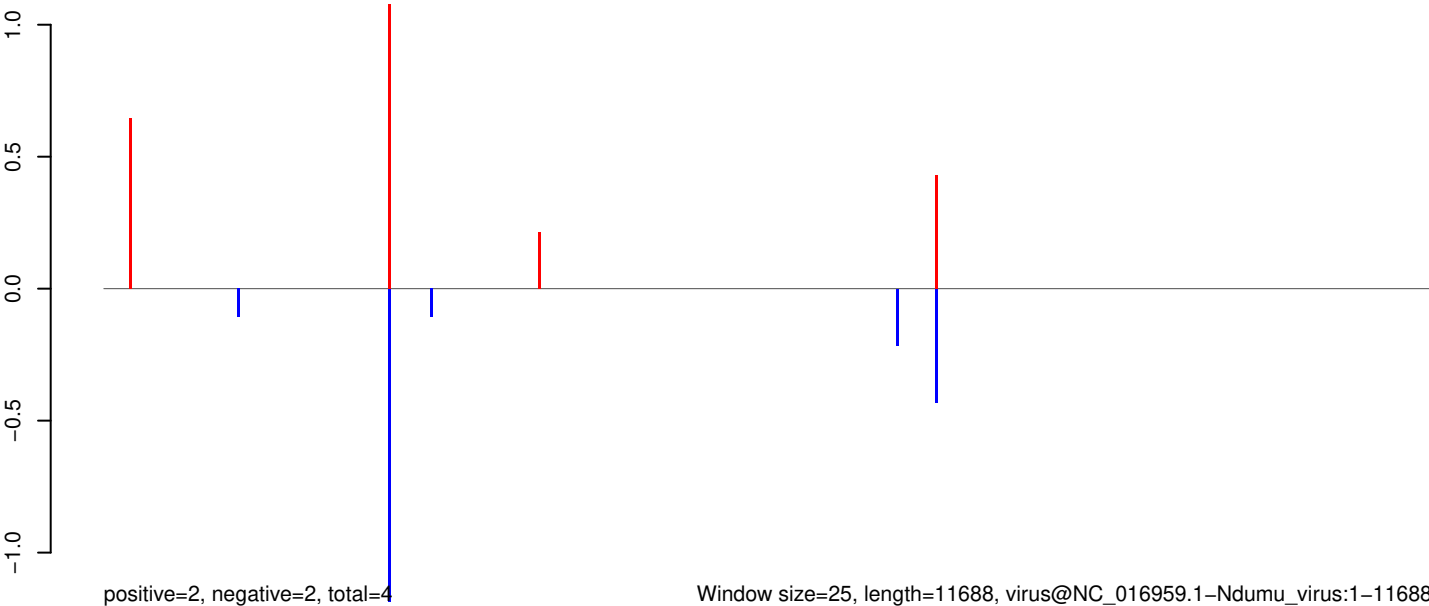
AeAeg_Aag2_Ago3_SINV_RA.18_23.rep



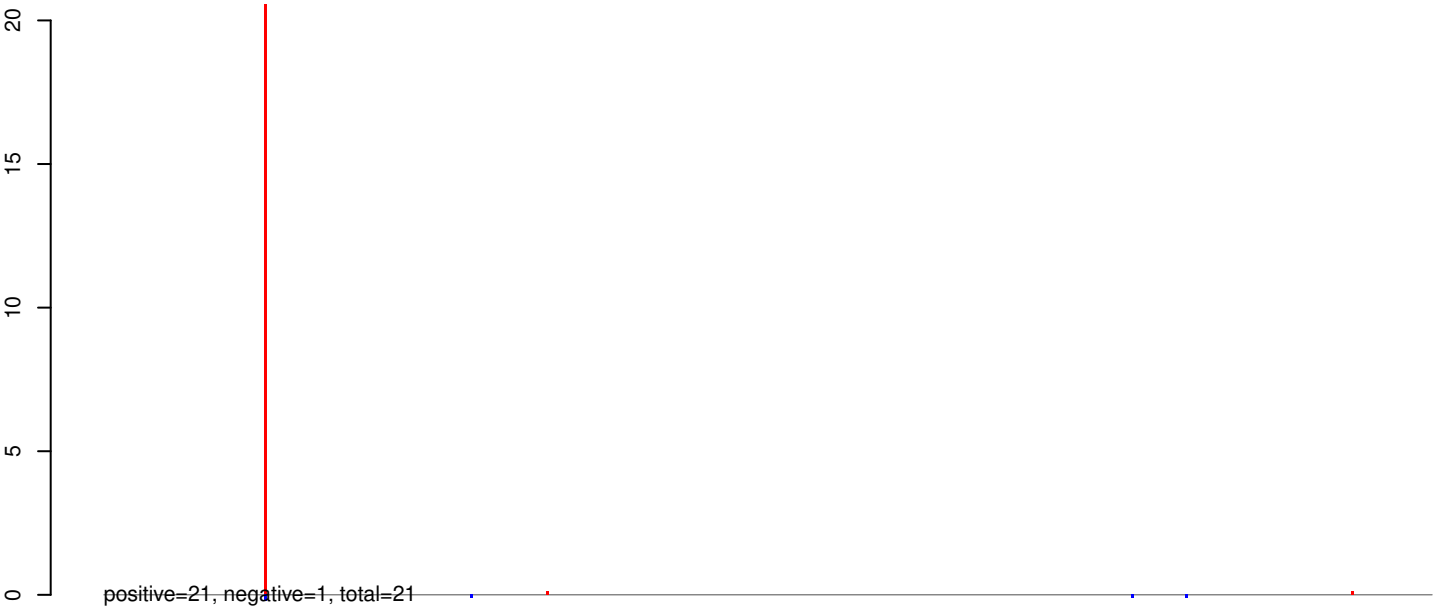
AeAeg_Aag2_Ago3_SINV_RA.24_35.rep



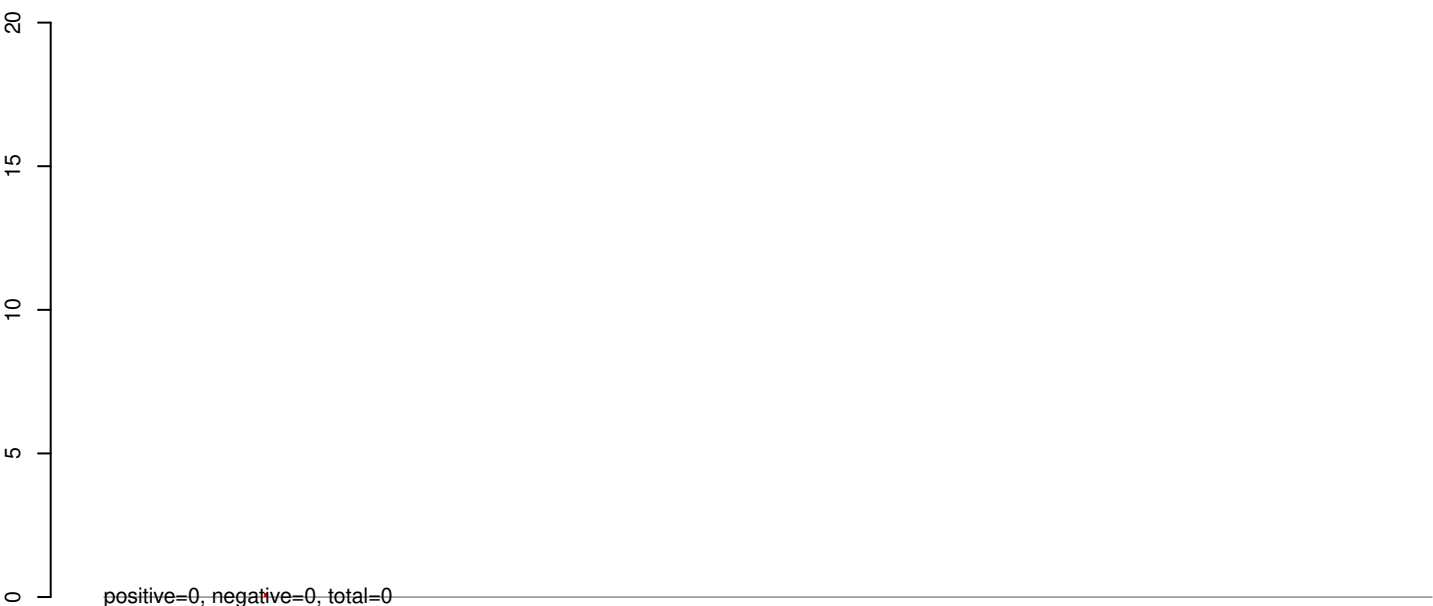
AeAeg_Aag2_Ago3_SINV_RA.rep



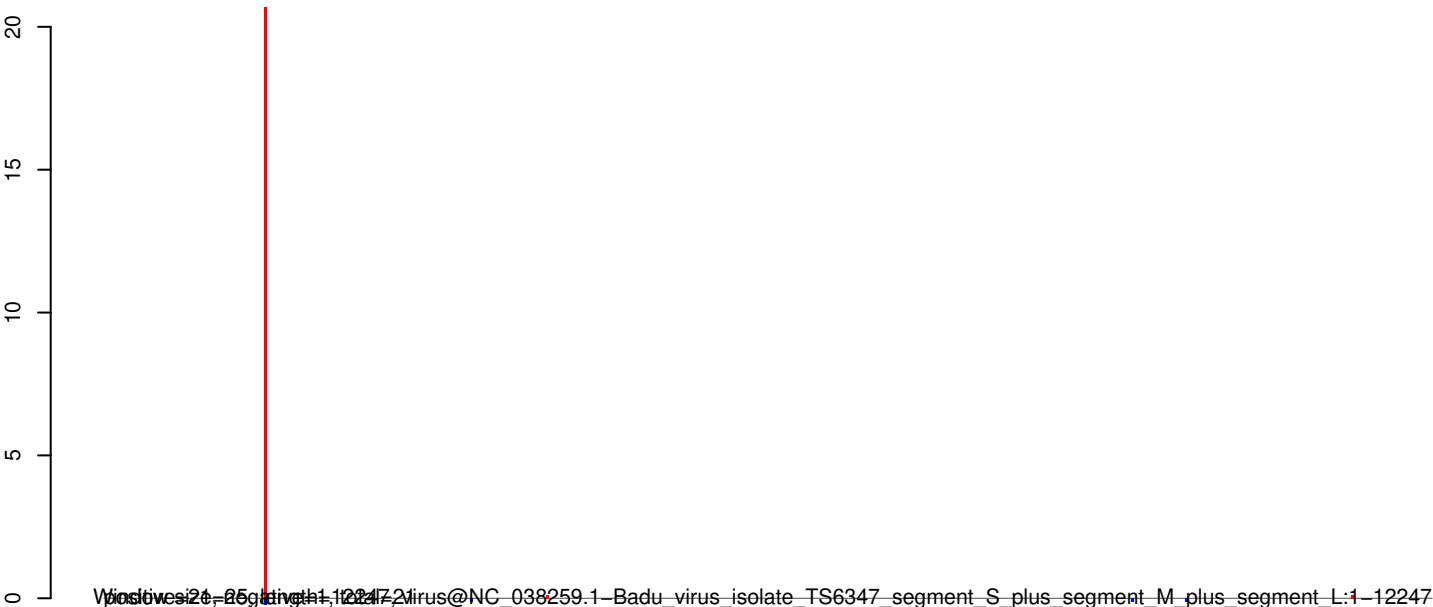
AeAeg_Aag2_Ago3_SINV_RA.18_23.rep



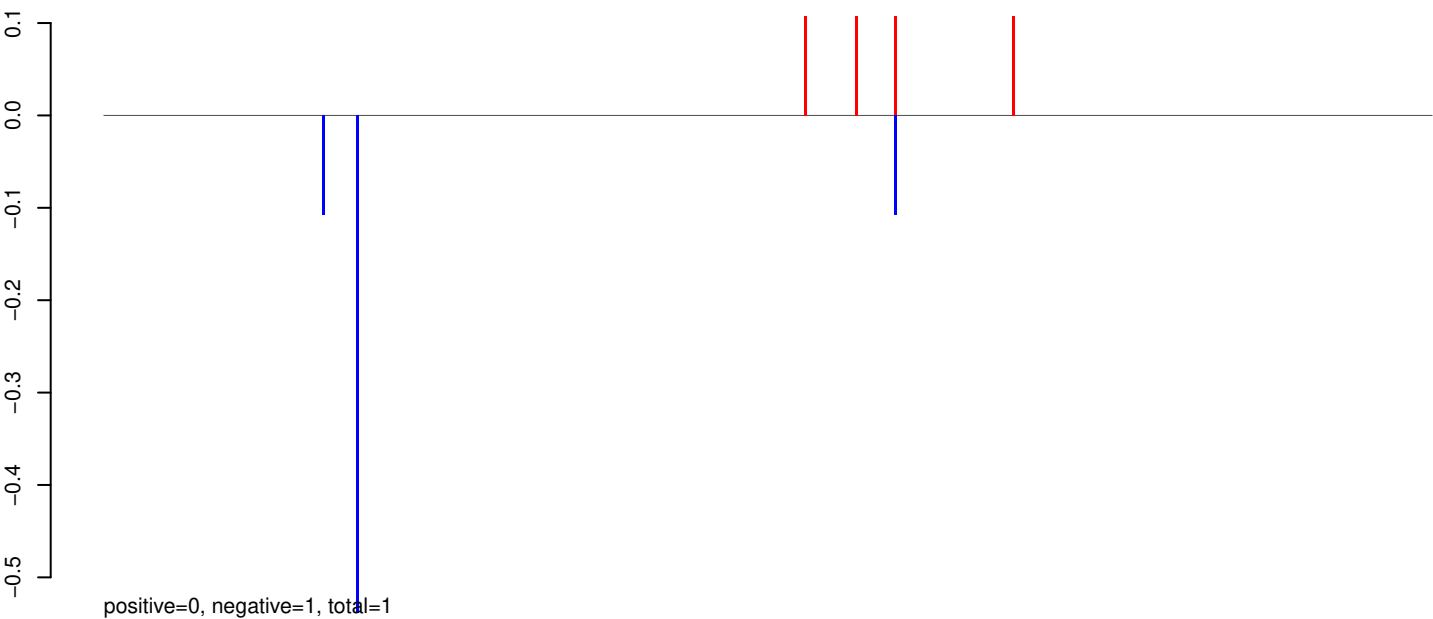
AeAeg_Aag2_Ago3_SINV_RA.24_35.rep



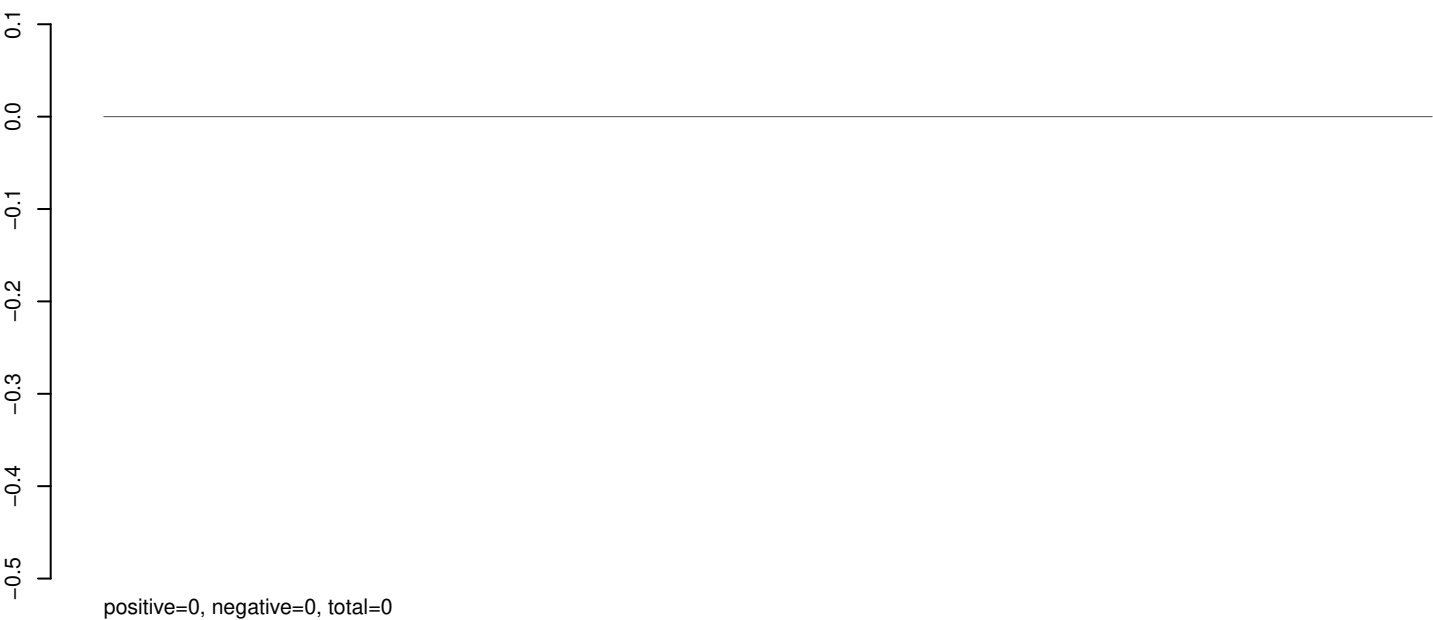
AeAeg_Aag2_Ago3_SINV_RA.rep



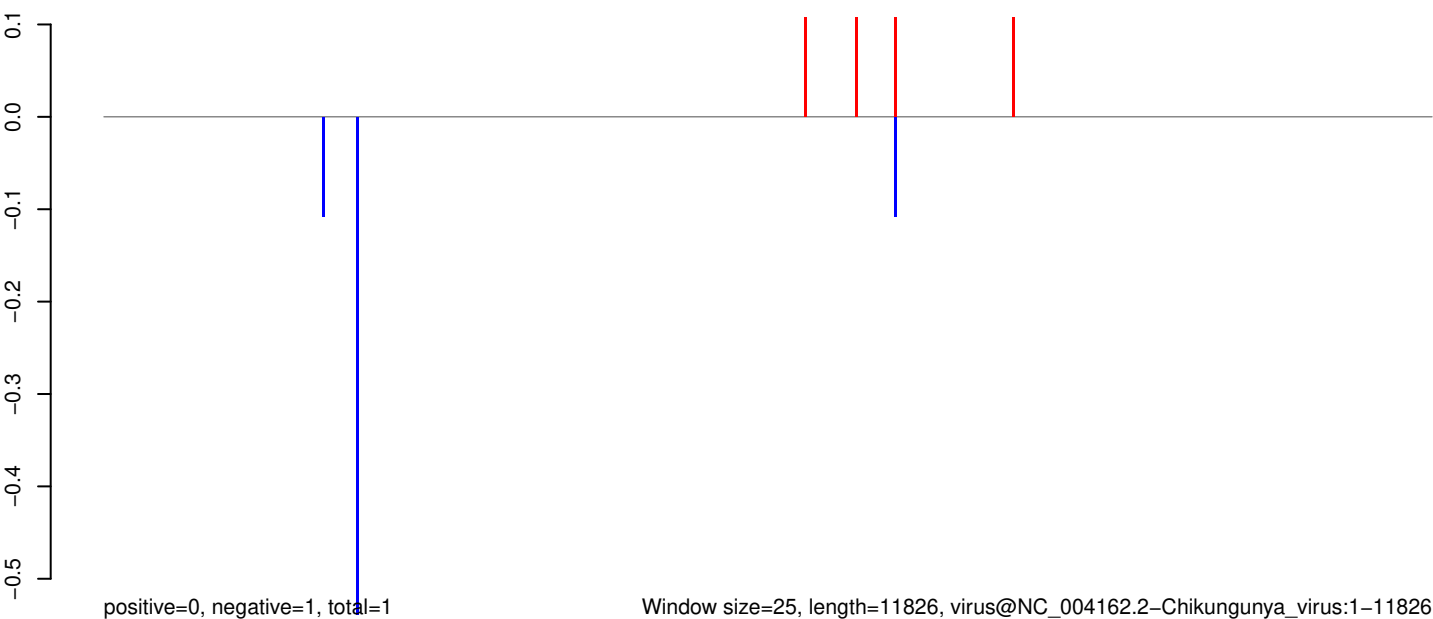
AeAeg_Aag2_Ago3_SINV_RA.18_23.rep



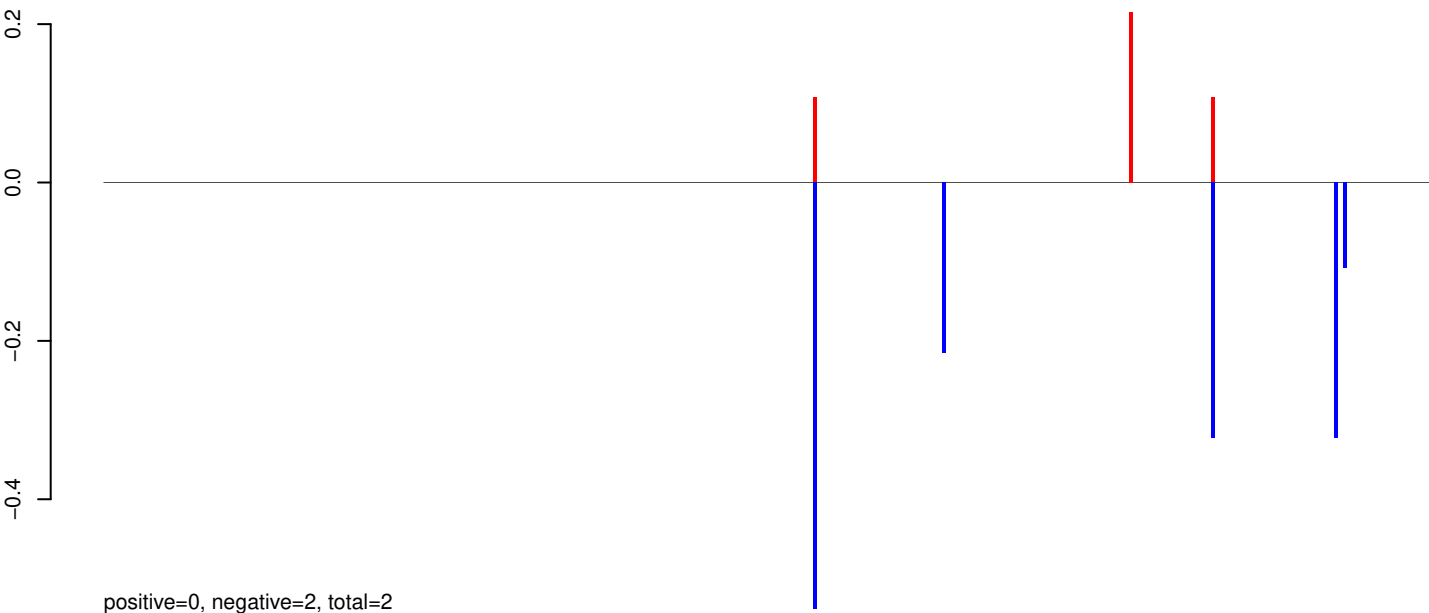
AeAeg_Aag2_Ago3_SINV_RA.24_35.rep



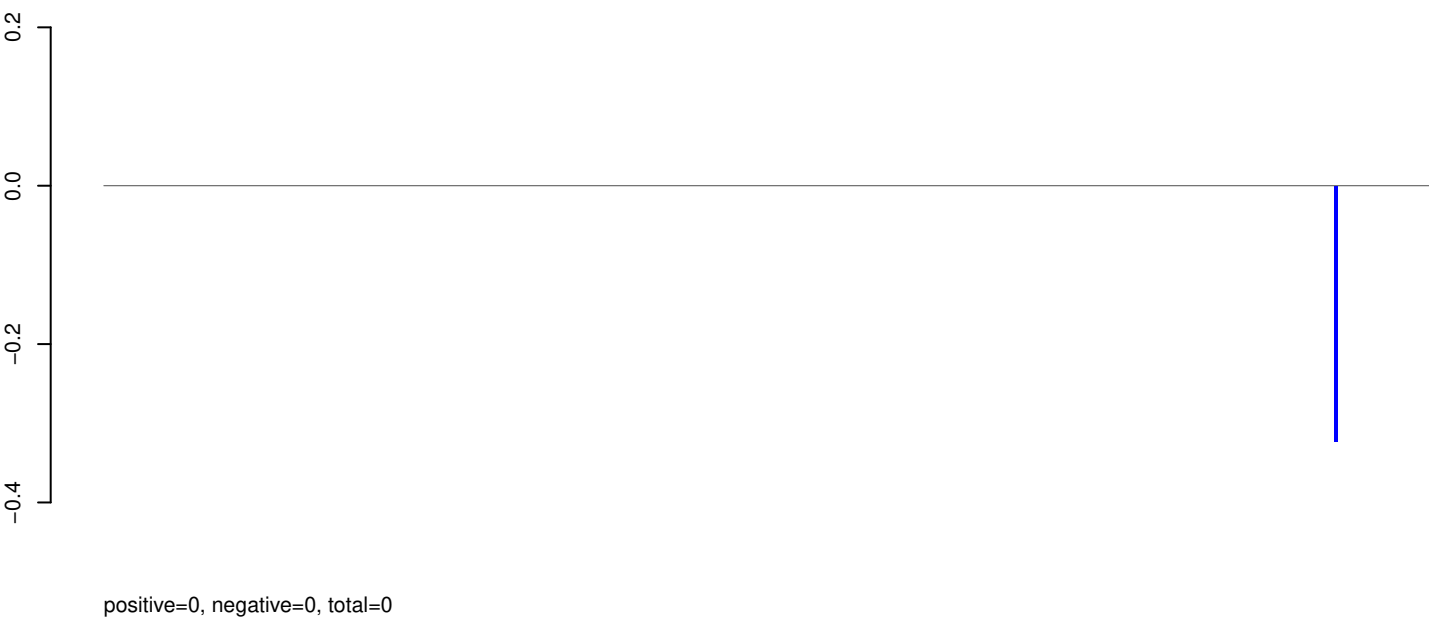
AeAeg_Aag2_Ago3_SINV_RA.rep



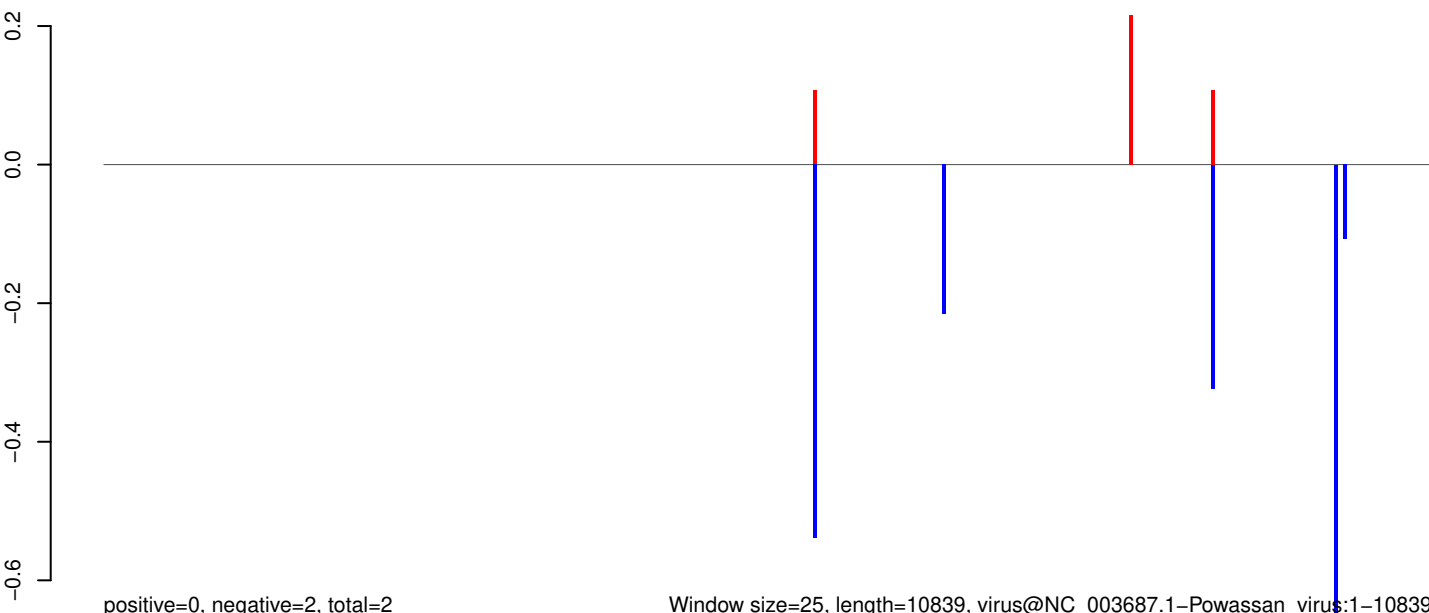
AeAeg_Aag2_Ago3_SINV_RA.18_23.rep



AeAeg_Aag2_Ago3_SINV_RA.24_35.rep



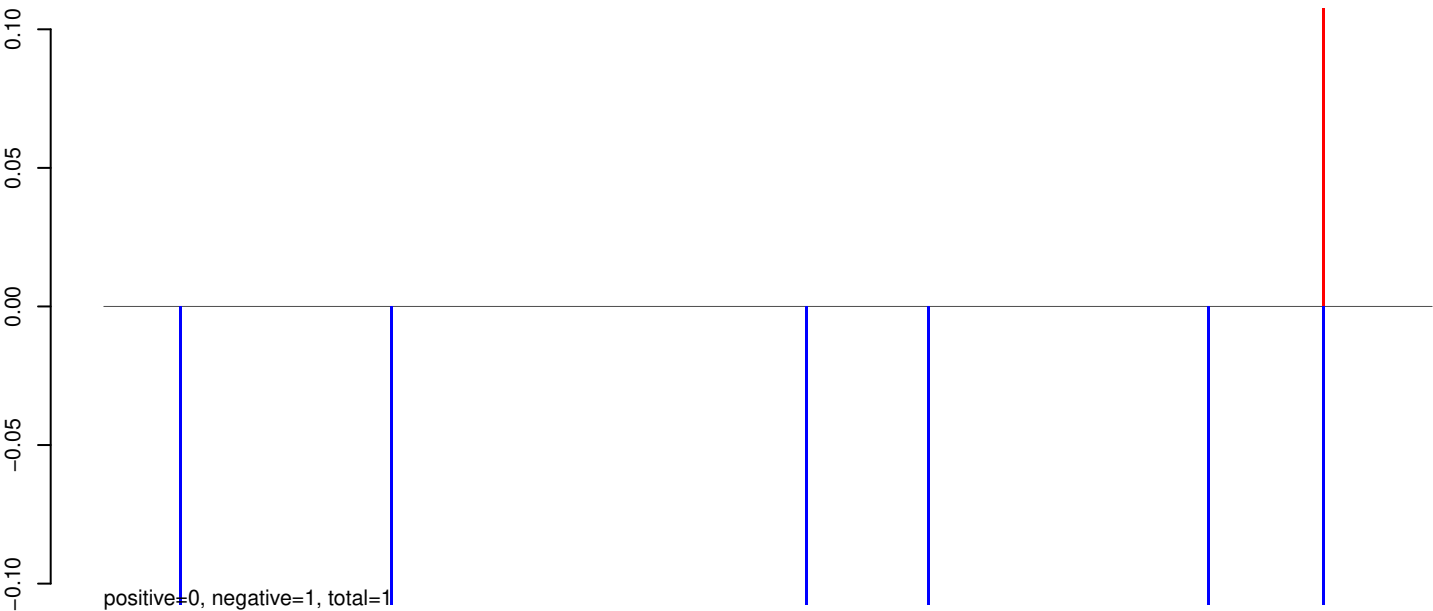
AeAeg_Aag2_Ago3_SINV_RA.rep



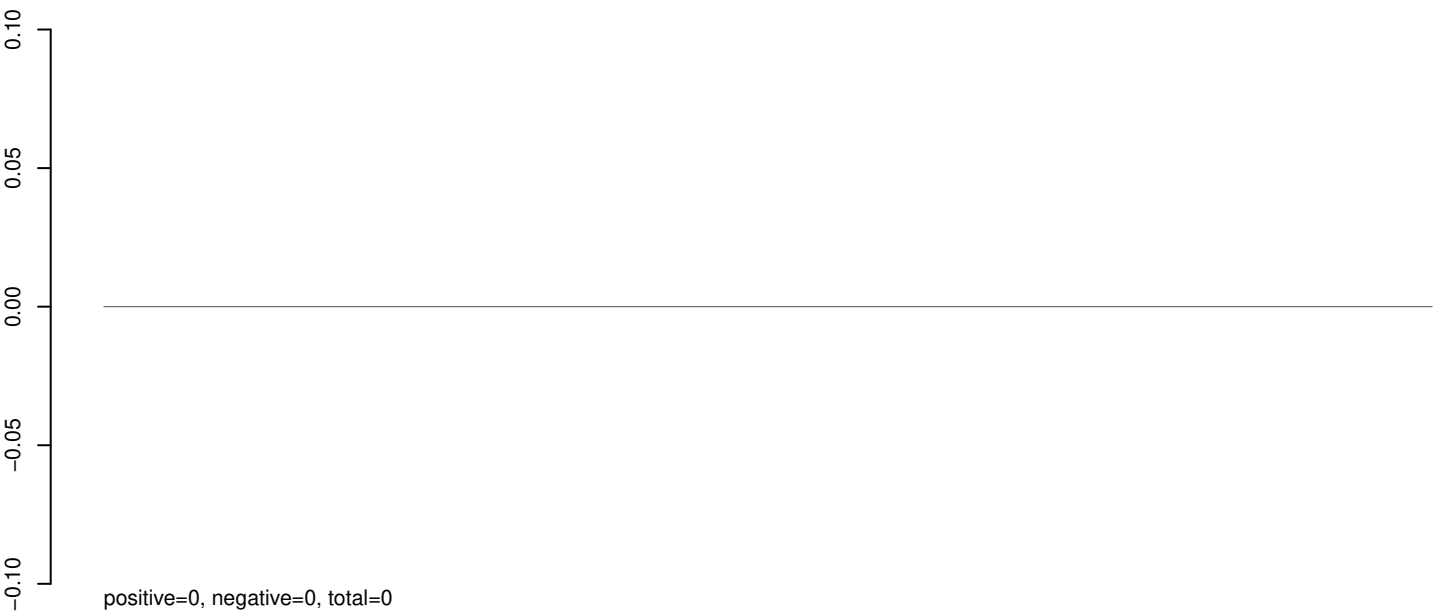
Window size=25, length=10839, virus@NC_003687.1-Powassan_virus:1-10839

0 2000 4000 6000 8000 10000

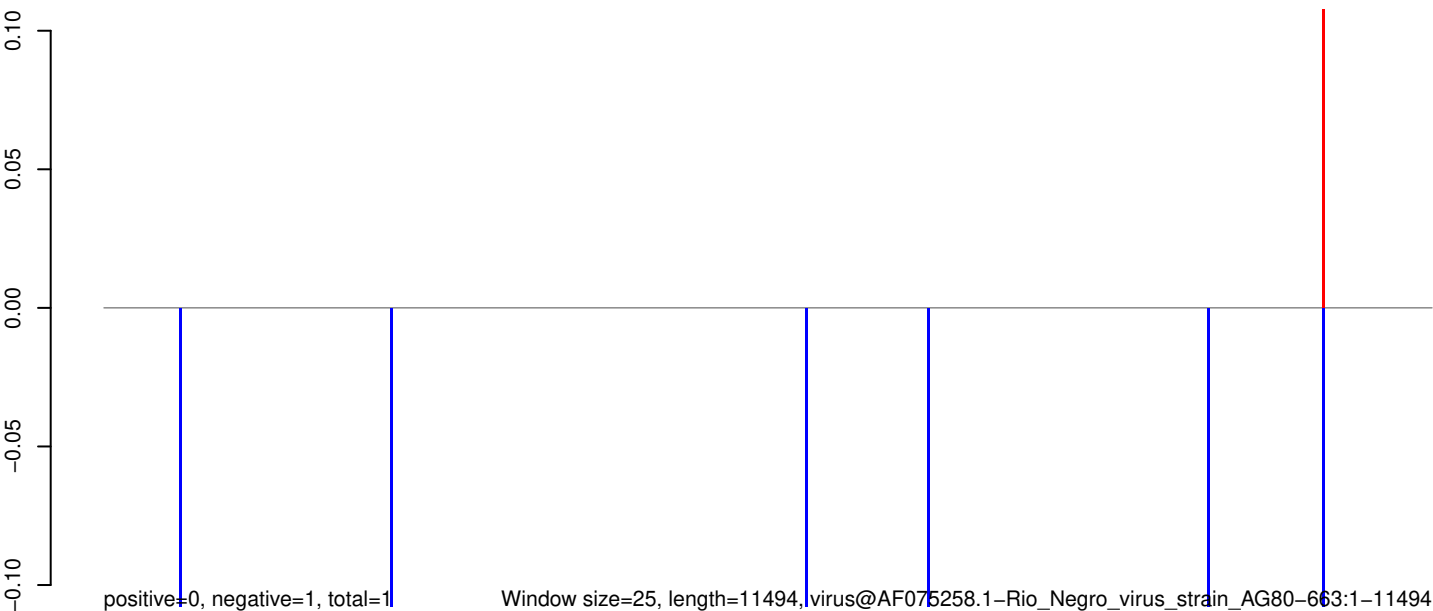
AeAeg_Aag2_Ago3_SINV_RA.18_23.rep



AeAeg_Aag2_Ago3_SINV_RA.24_35.rep

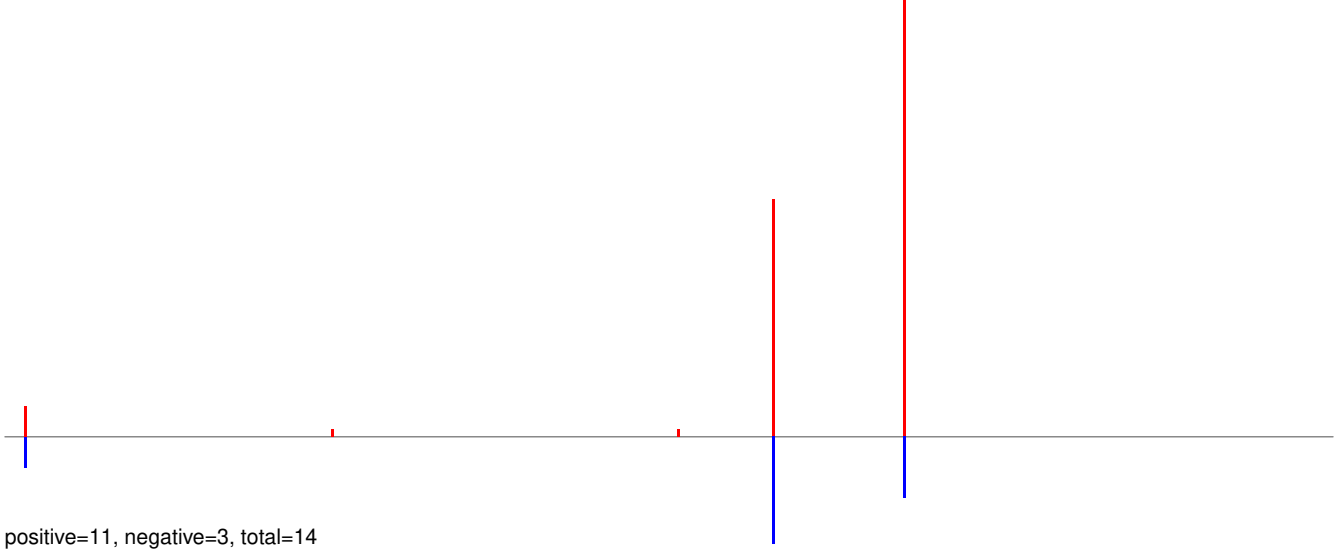


AeAeg_Aag2_Ago3_SINV_RA.rep

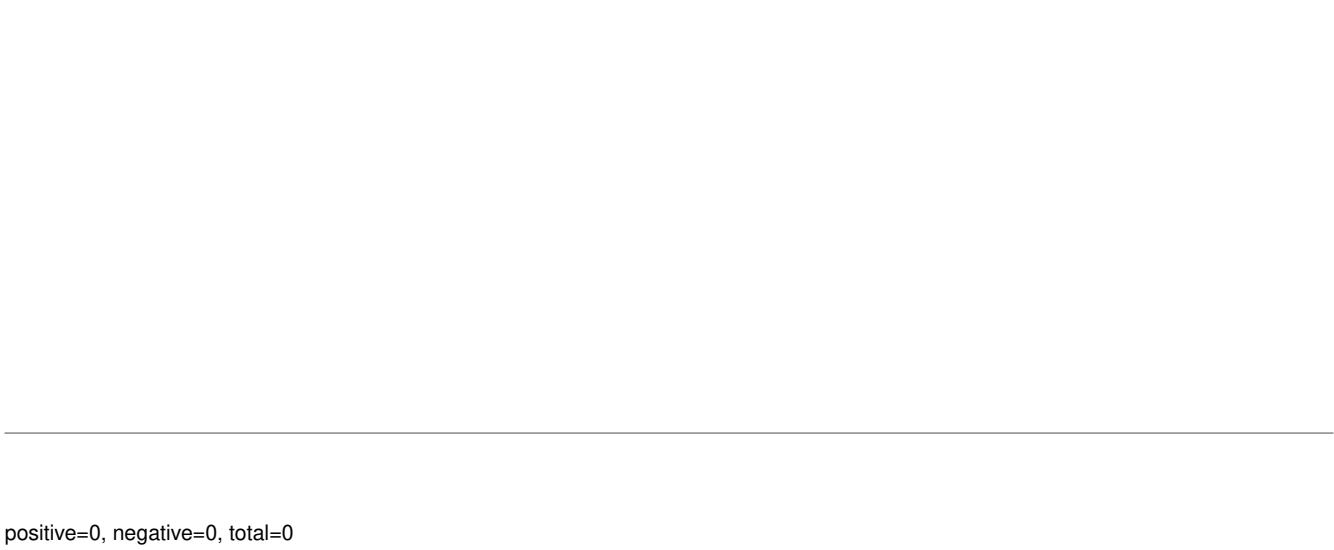


0 2000 4000 6000 8000 10000

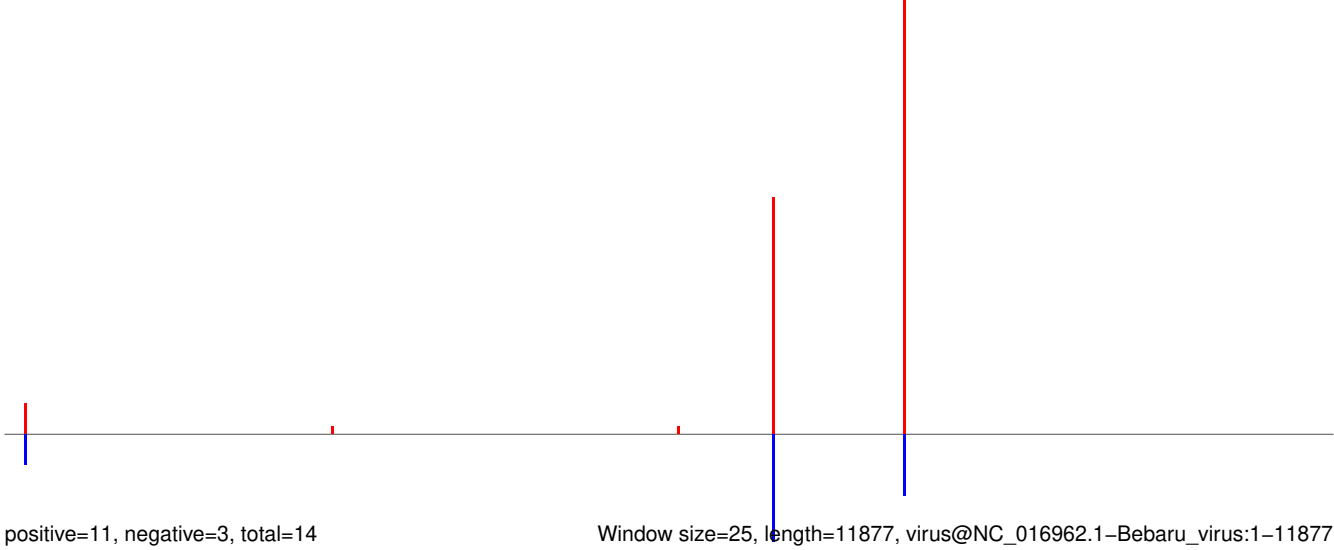
AeAeg_Aag2_Ago3_SINV_RA.18_23.rep



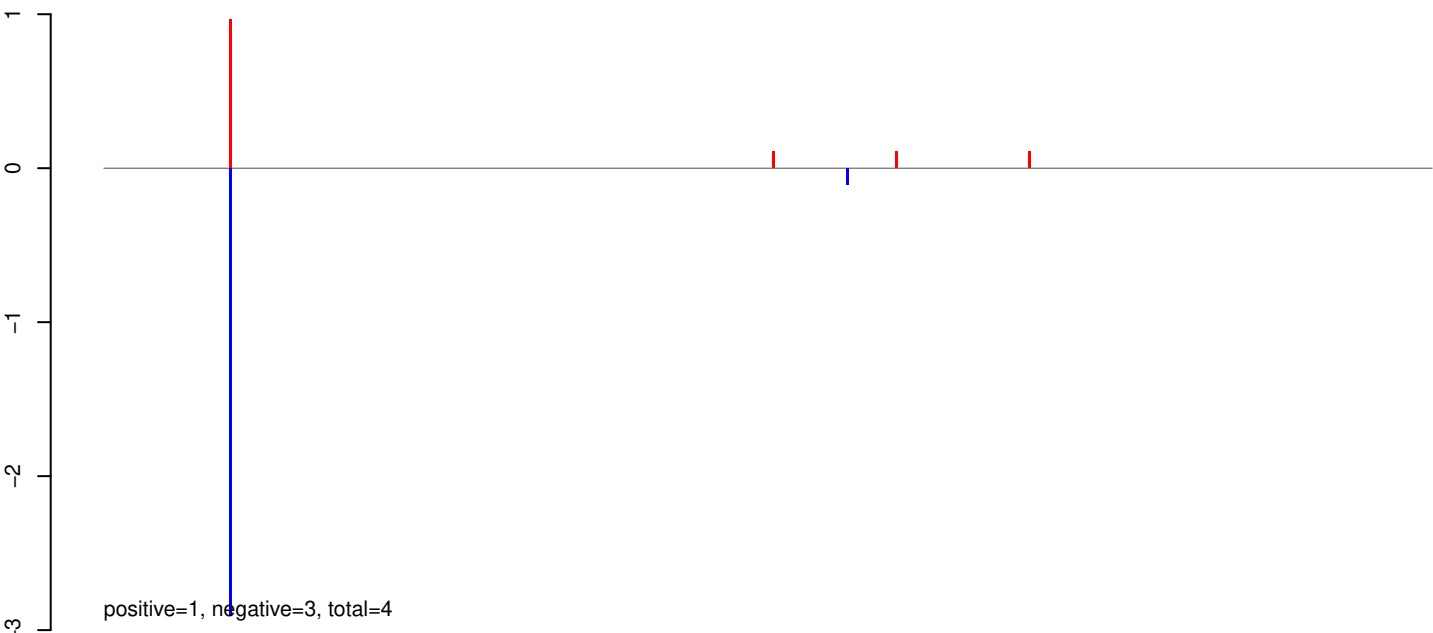
AeAeg_Aag2_Ago3_SINV_RA.24_35.rep



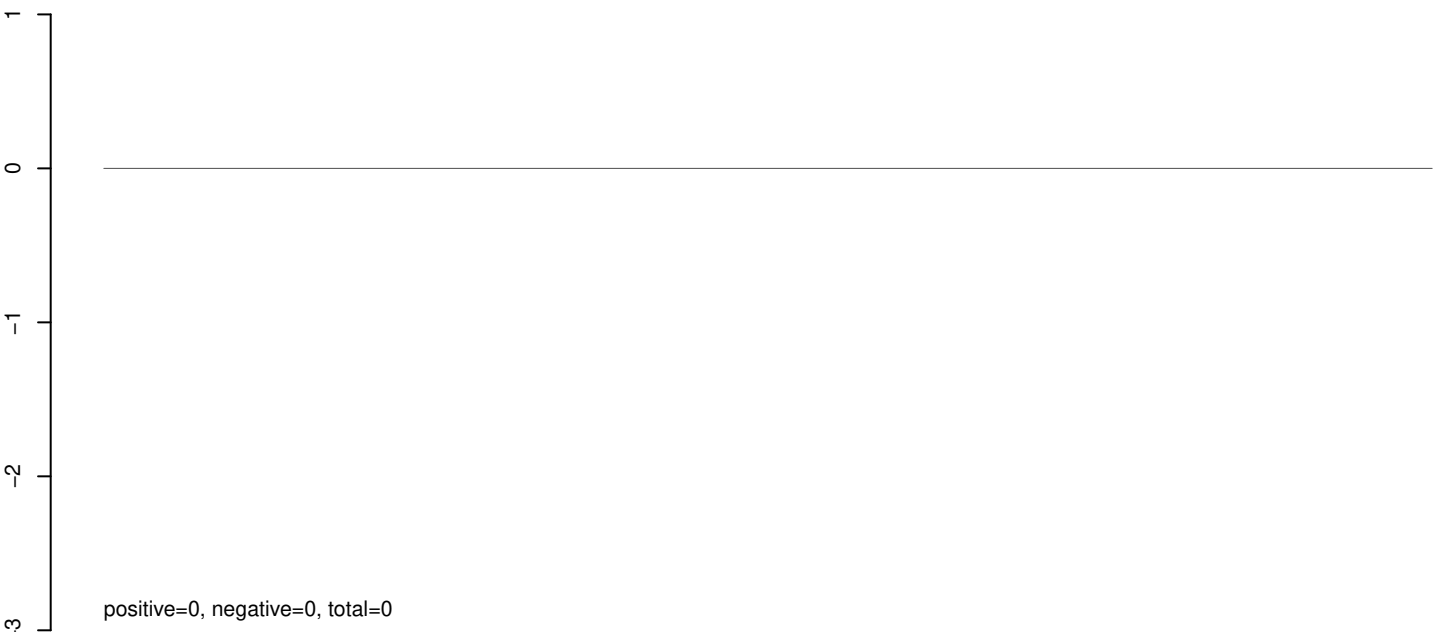
AeAeg_Aag2_Ago3_SINV_RA.rep



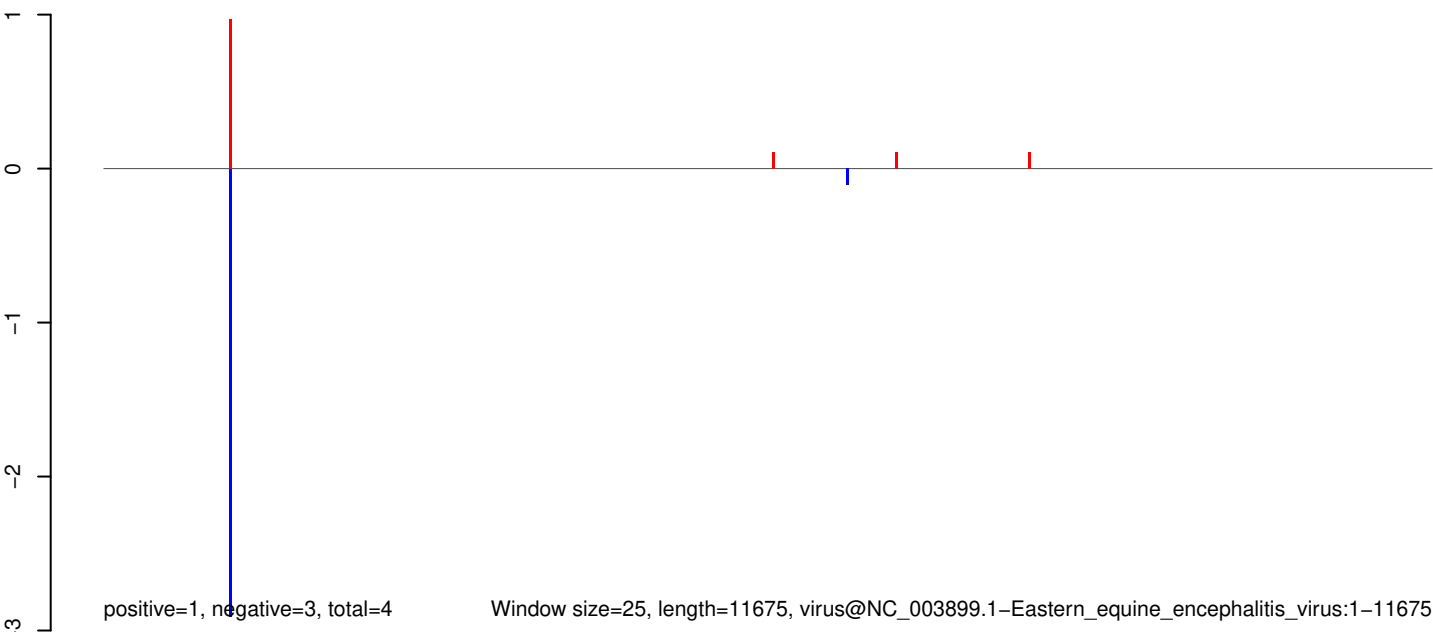
AeAeg_Aag2_Ago3_SINV_RA.18_23.rep



AeAeg_Aag2_Ago3_SINV_RA.24_35.rep



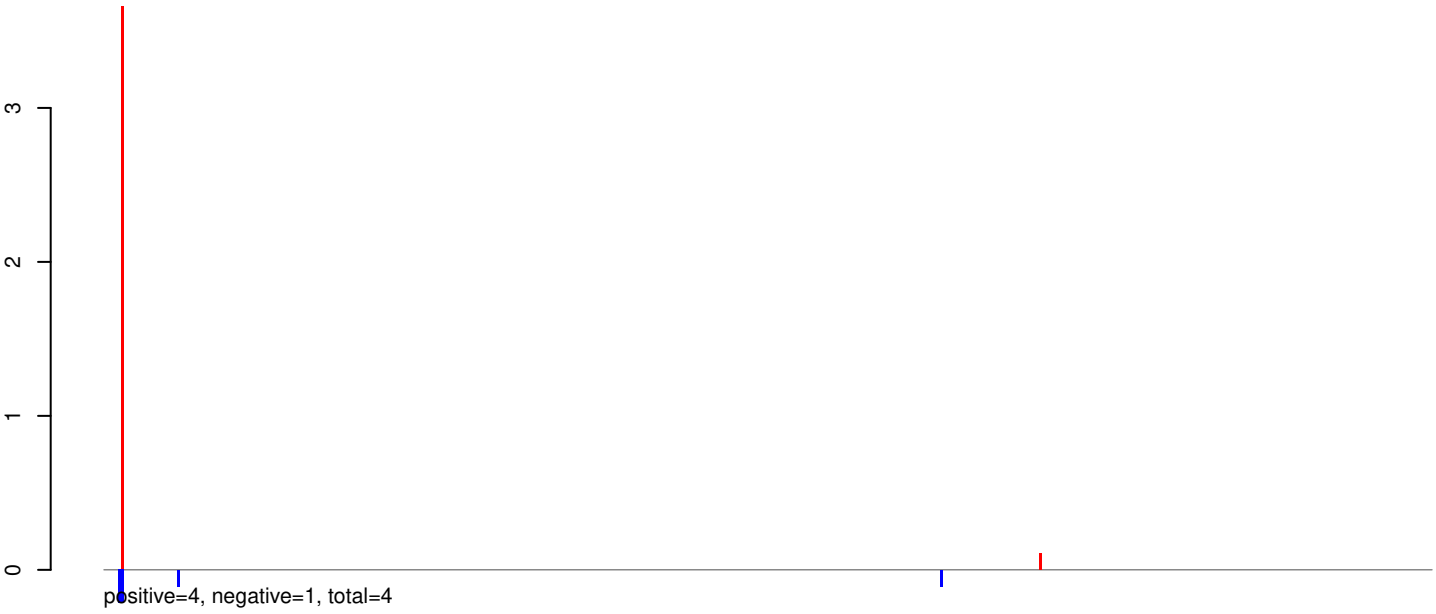
AeAeg_Aag2_Ago3_SINV_RA.rep



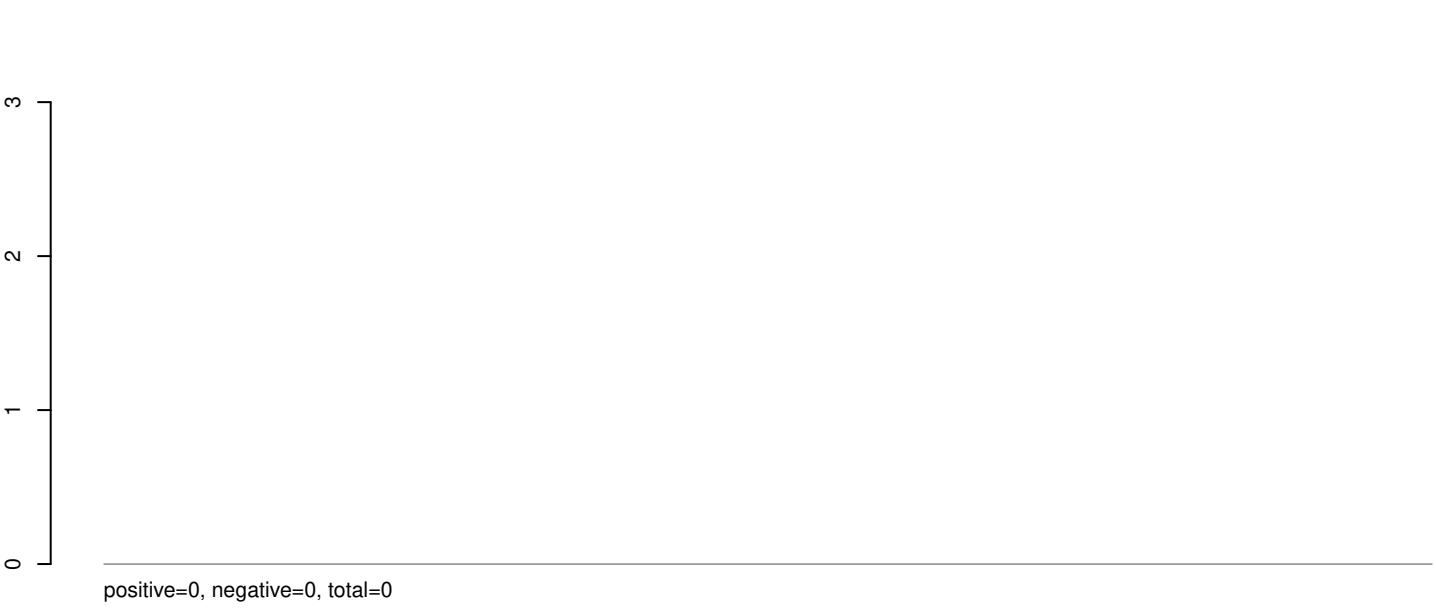
Window size=25, length=11675, virus@NC_003899.1-Eastern_equine_encephalitis_virus:1-11675

0 2000 4000 6000 8000 10000 12000

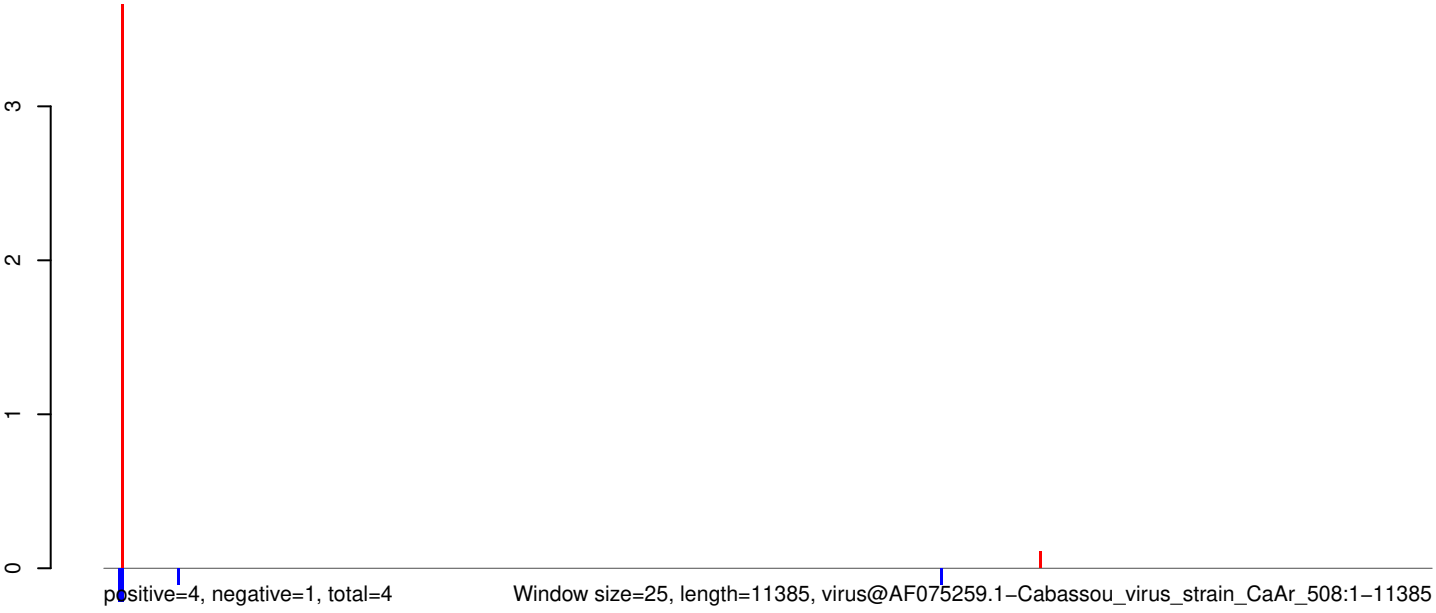
AeAeg_Aag2_Ago3_SINV_RA.18_23.rep



AeAeg_Aag2_Ago3_SINV_RA.24_35.rep



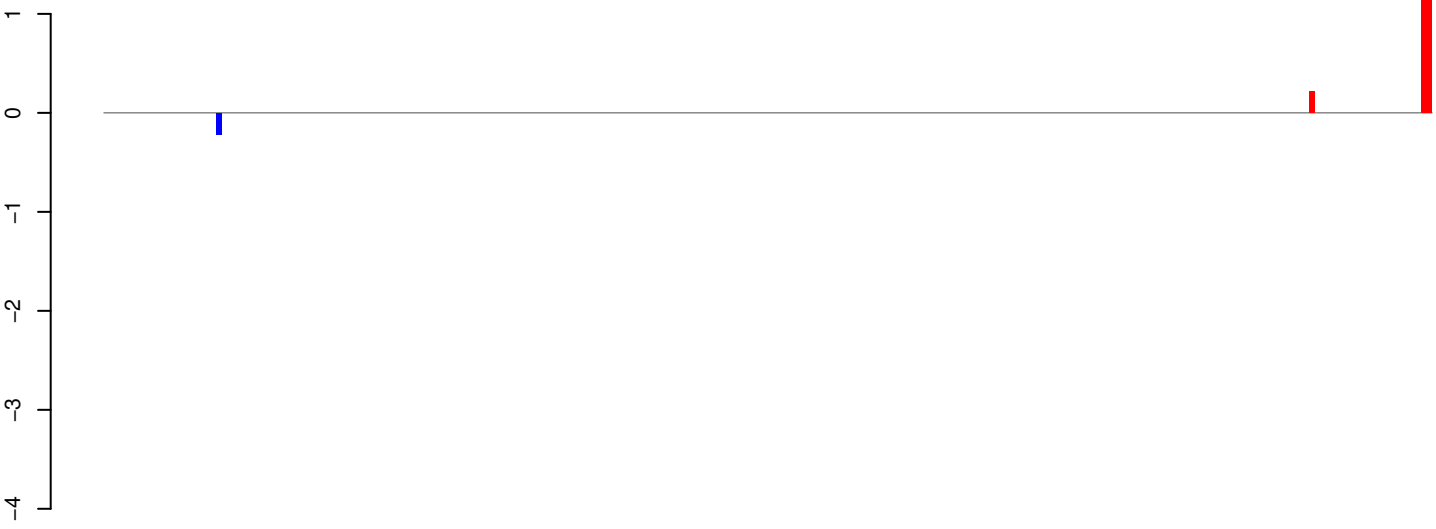
AeAeg_Aag2_Ago3_SINV_RA.rep



Window size=25, length=11385, virus@AF075259.1-Cabassou_virus_strain_CaAr_508:1-11385

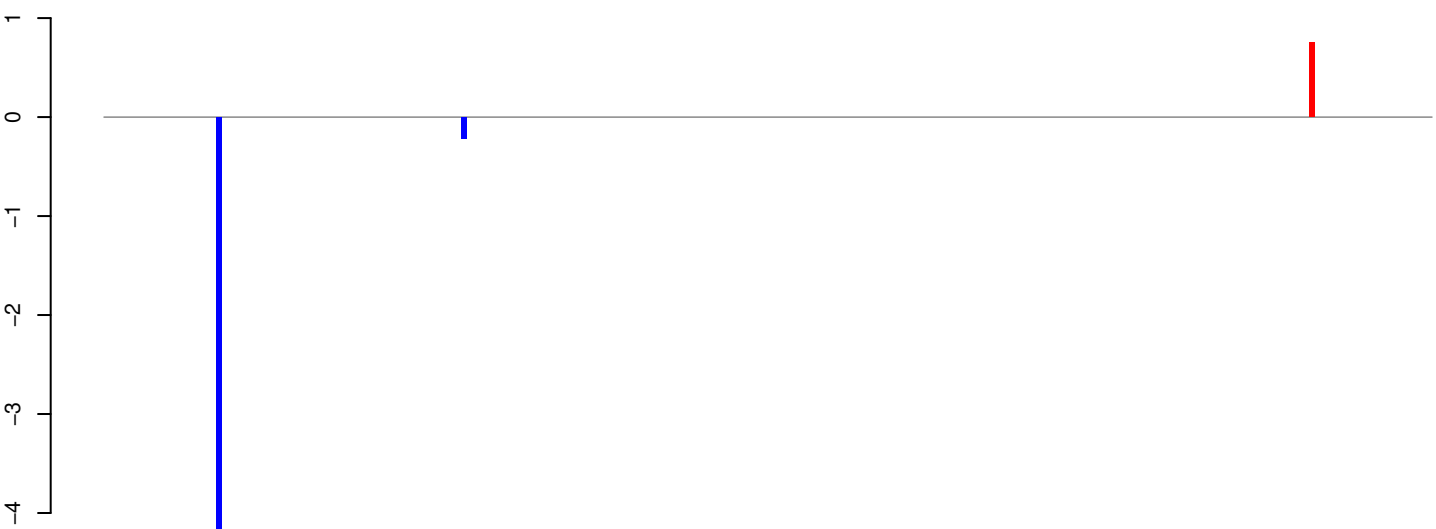
0 2000 4000 6000 8000 10000

AeAeg_Aag2_Ago3_SINV_RA.18_23.rep



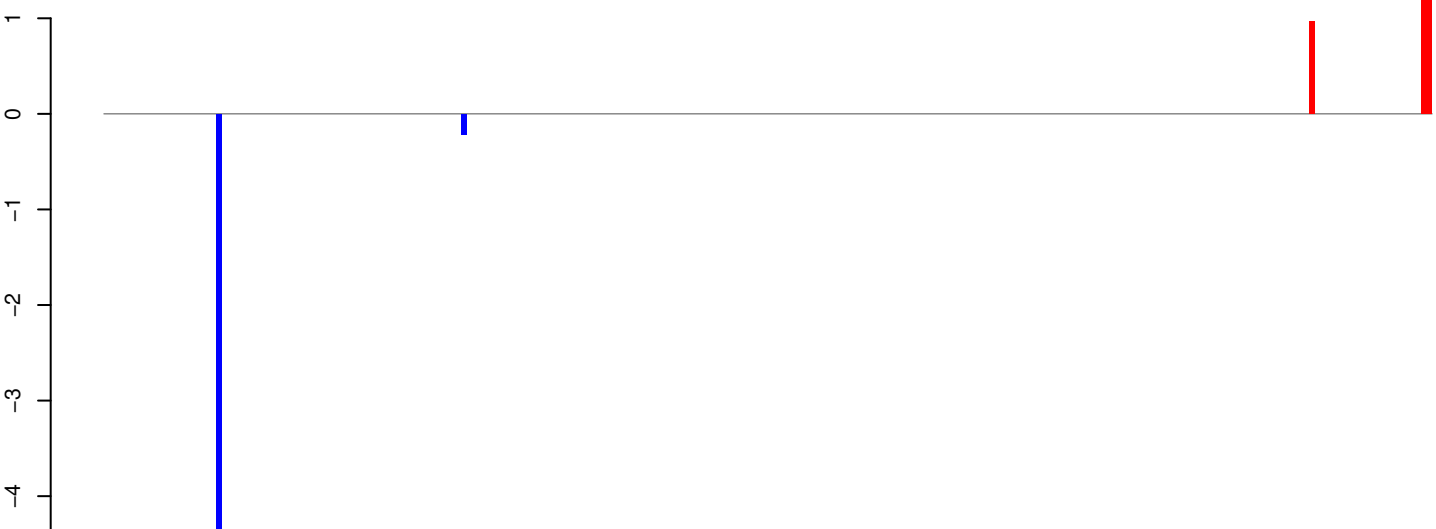
positive=3, negative=0, total=3

AeAeg_Aag2_Ago3_SINV_RA.24_35.rep



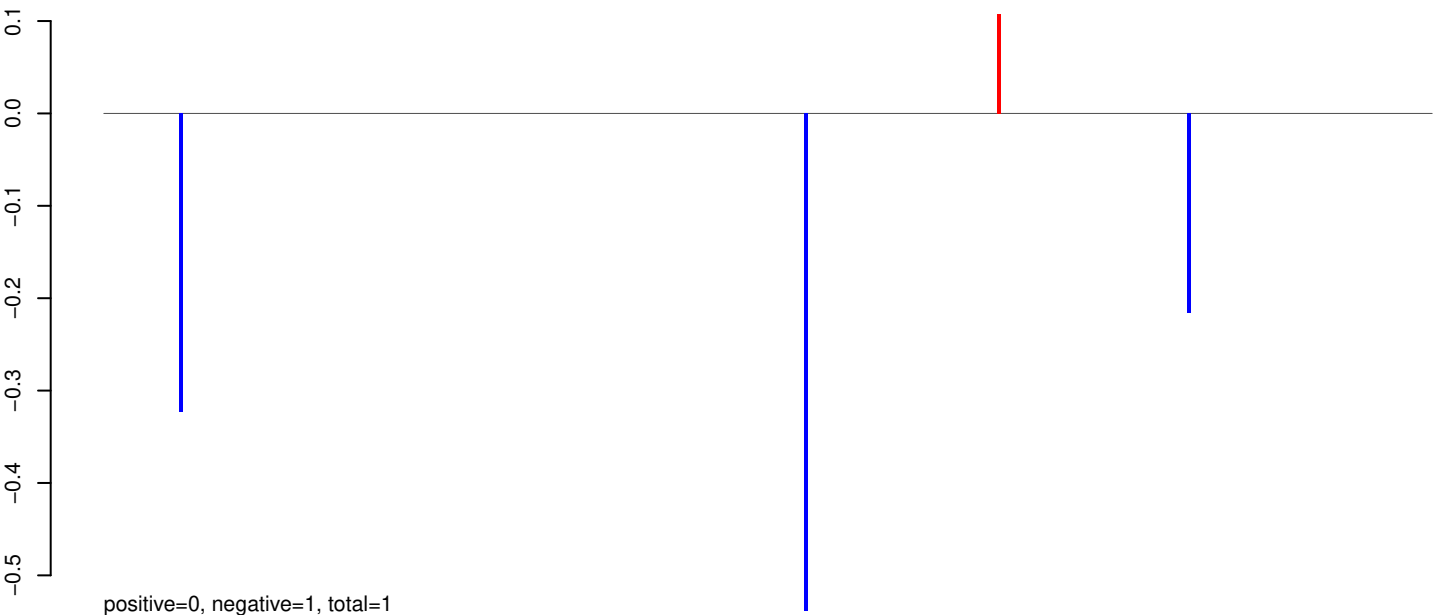
positive=1, negative=5, total=6

AeAeg_Aag2_Ago3_SINV_RA.rep

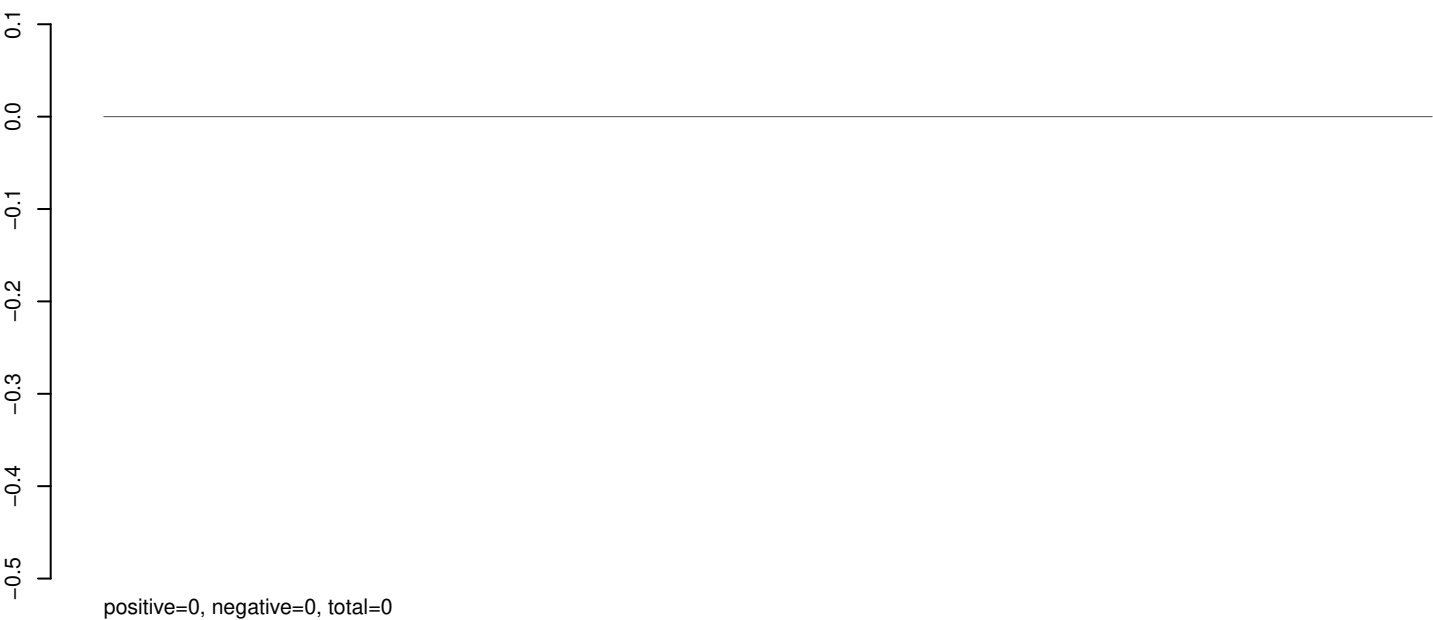


positive=4, negative=5, window size=25, length=6203, virus@NC_035674.1-Australian_Anopheles_totivirus_isolate_AATV_150840:1-6203

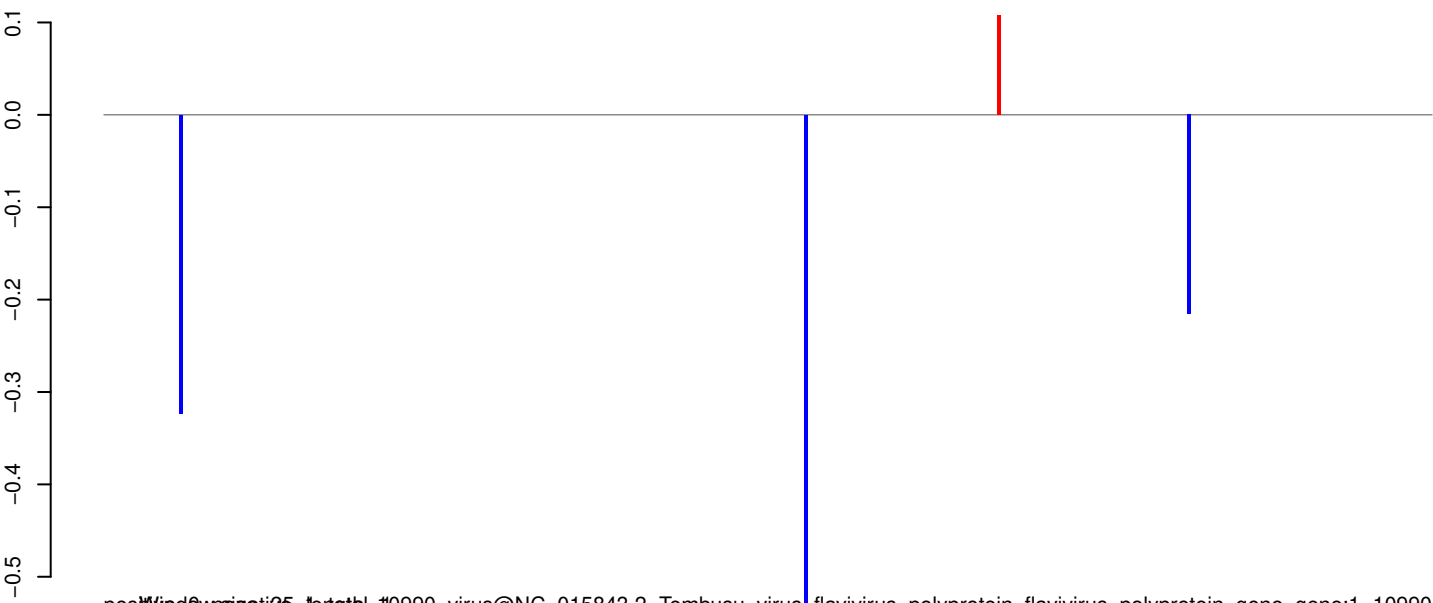
AeAeg_Aag2_Ago3_SINV_RA.18_23.rep



AeAeg_Aag2_Ago3_SINV_RA.24_35.rep



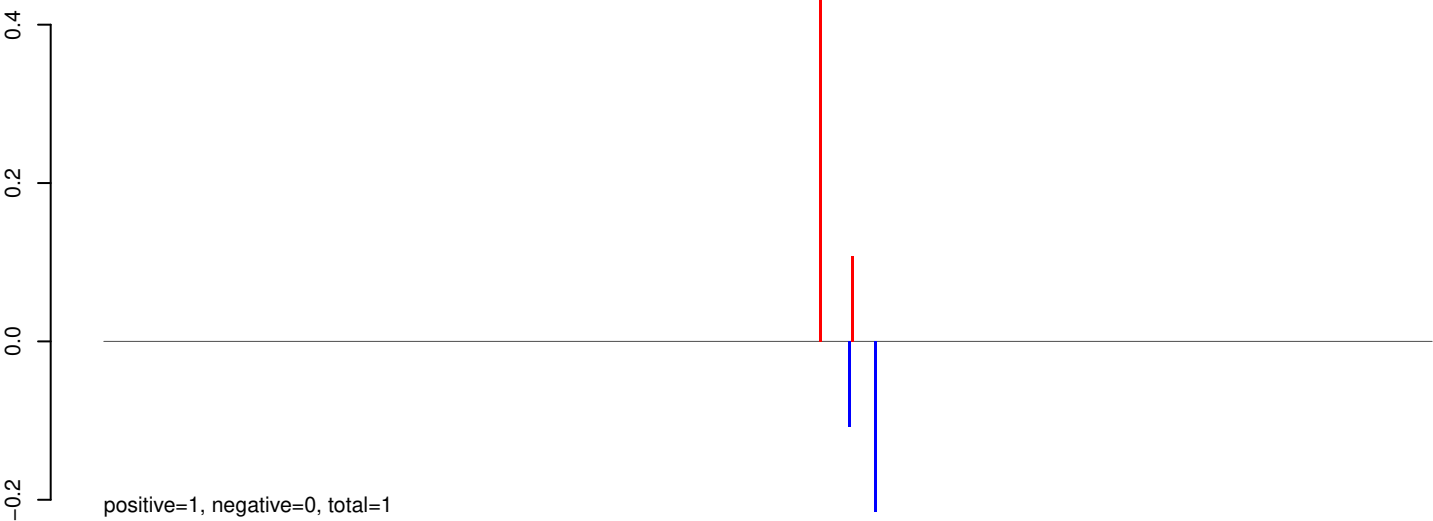
AeAeg_Aag2_Ago3_SINV_RA.rep



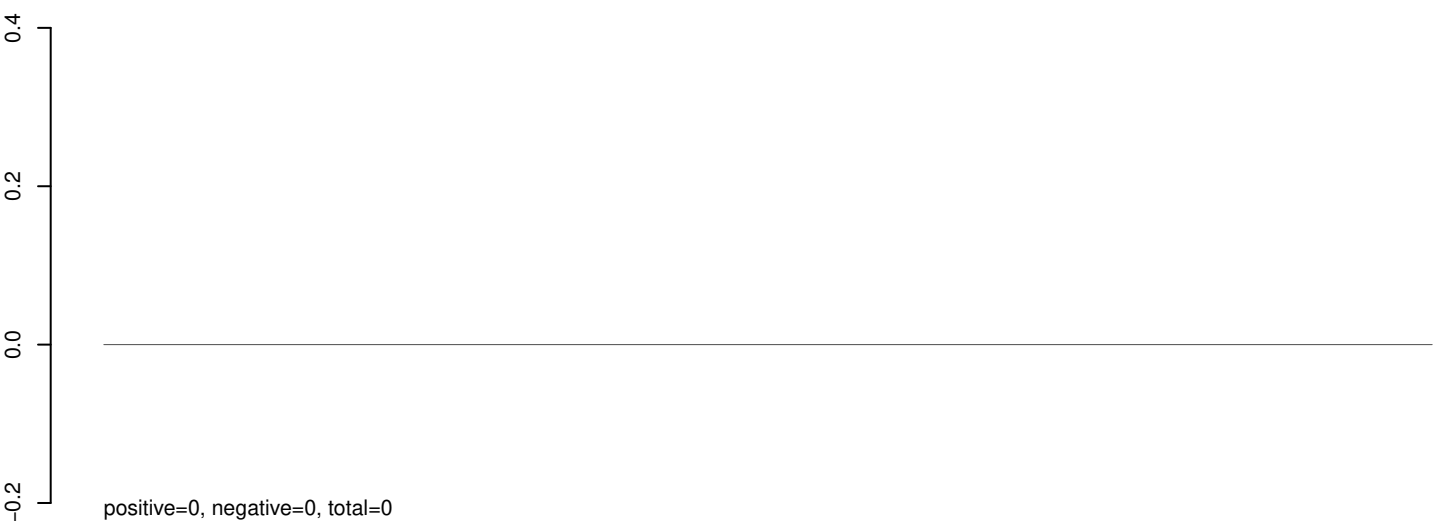
width=25, length=10990, virus@NC_015843.2-Tembusu_virus_flavivirus_polyprotein_flavivirus_polyprotein_gene_gene:1-10990

0 2000 4000 6000 8000 10000

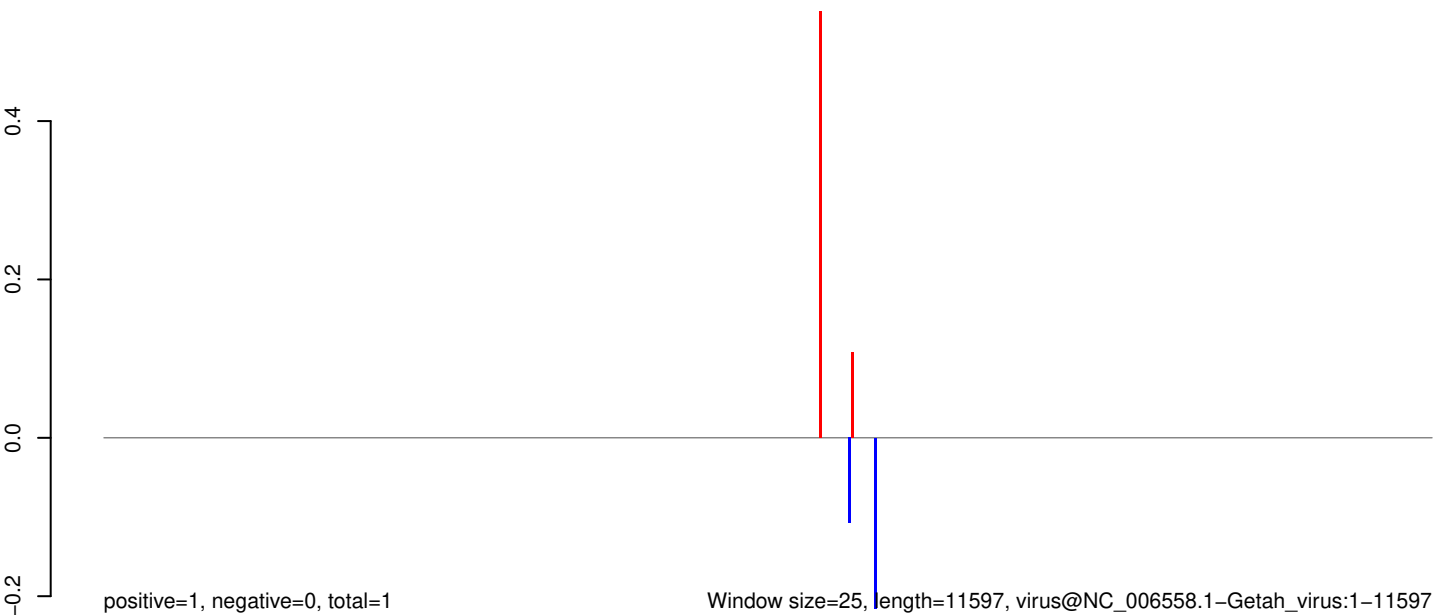
AeAeg_Aag2_Ago3_SINV_RA.18_23.rep



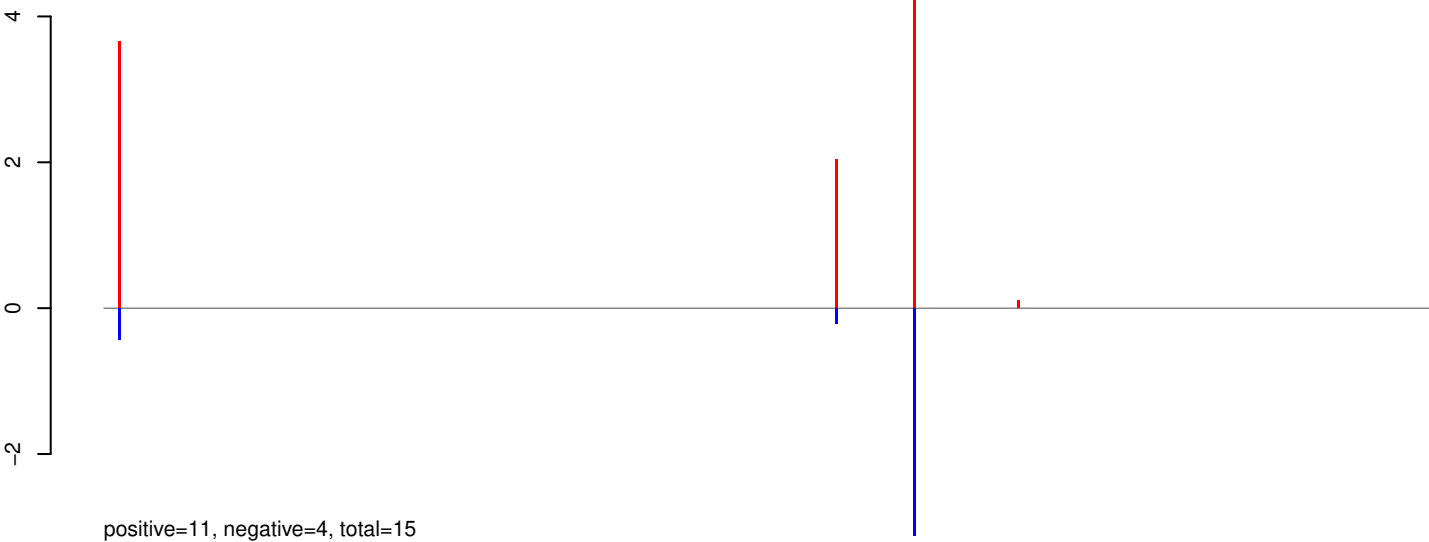
AeAeg_Aag2_Ago3_SINV_RA.24_35.rep



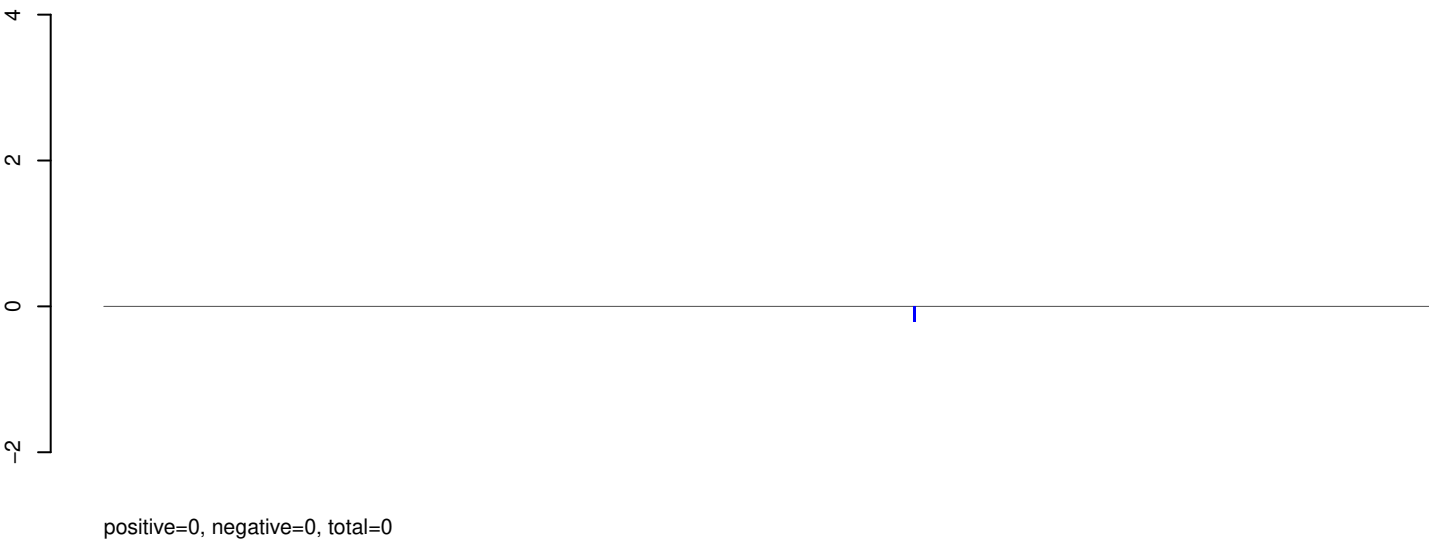
AeAeg_Aag2_Ago3_SINV_RA.rep



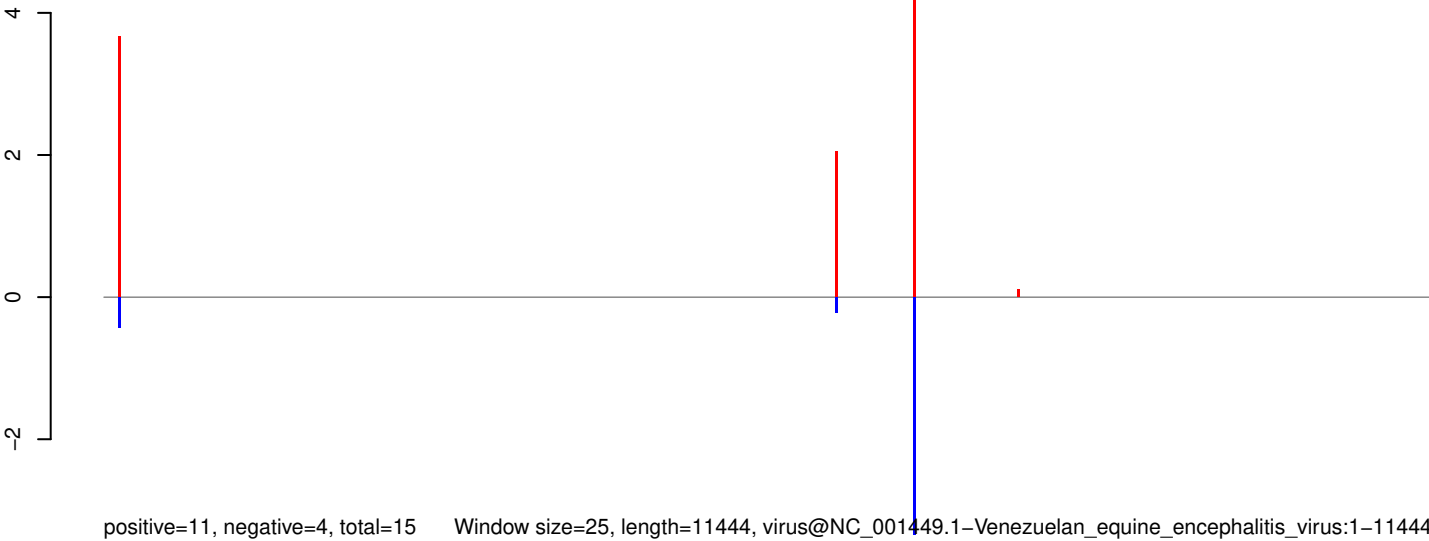
AeAeg_Aag2_Ago3_SINV_RA.18_23.rep



AeAeg_Aag2_Ago3_SINV_RA.24_35.rep



AeAeg_Aag2_Ago3_SINV_RA.rep

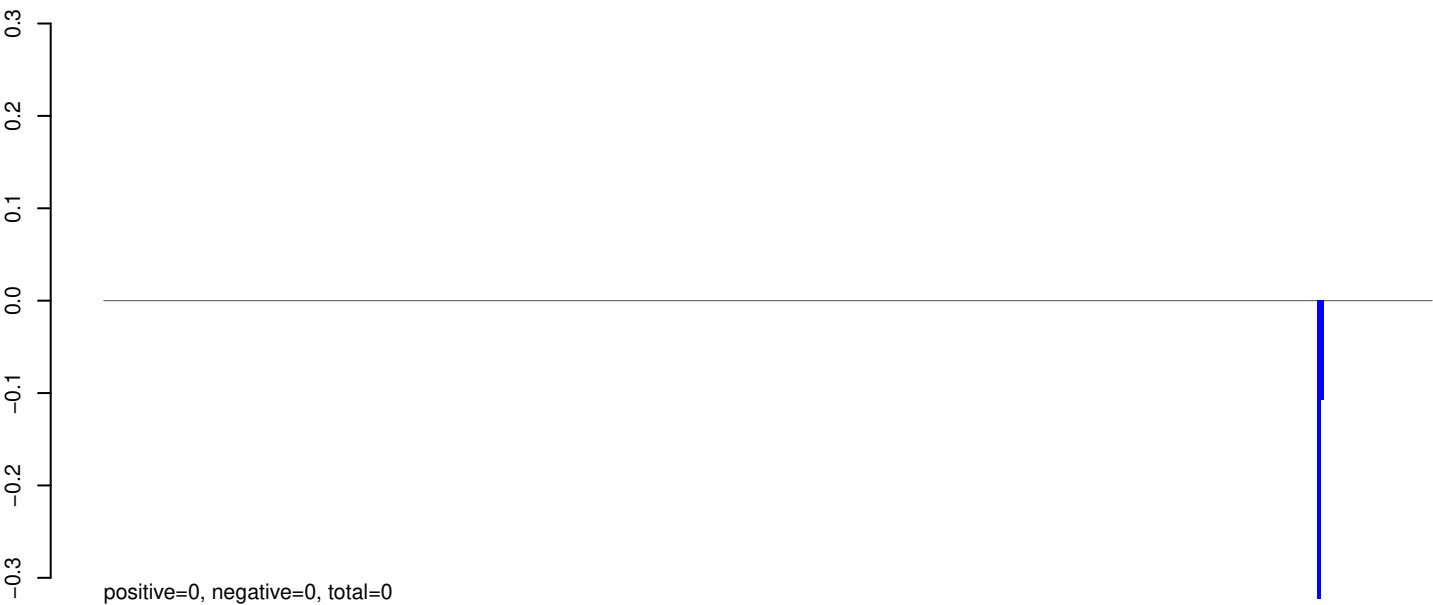


Window size=25, length=11444, virus@NC_001449.1-Venezuelan_equine_encephalitis_virus:1-11444

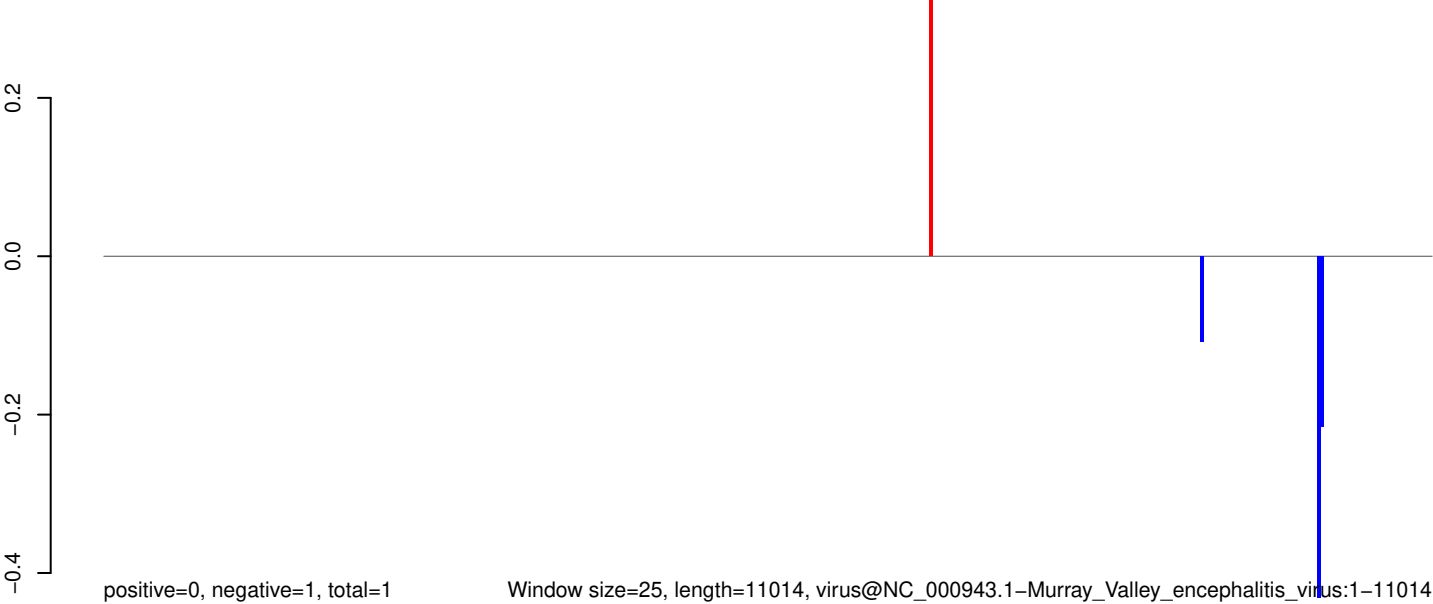
AeAeg_Aag2_Ago3_SINV_RA.18_23.rep



AeAeg_Aag2_Ago3_SINV_RA.24_35.rep



AeAeg_Aag2_Ago3_SINV_RA.rep



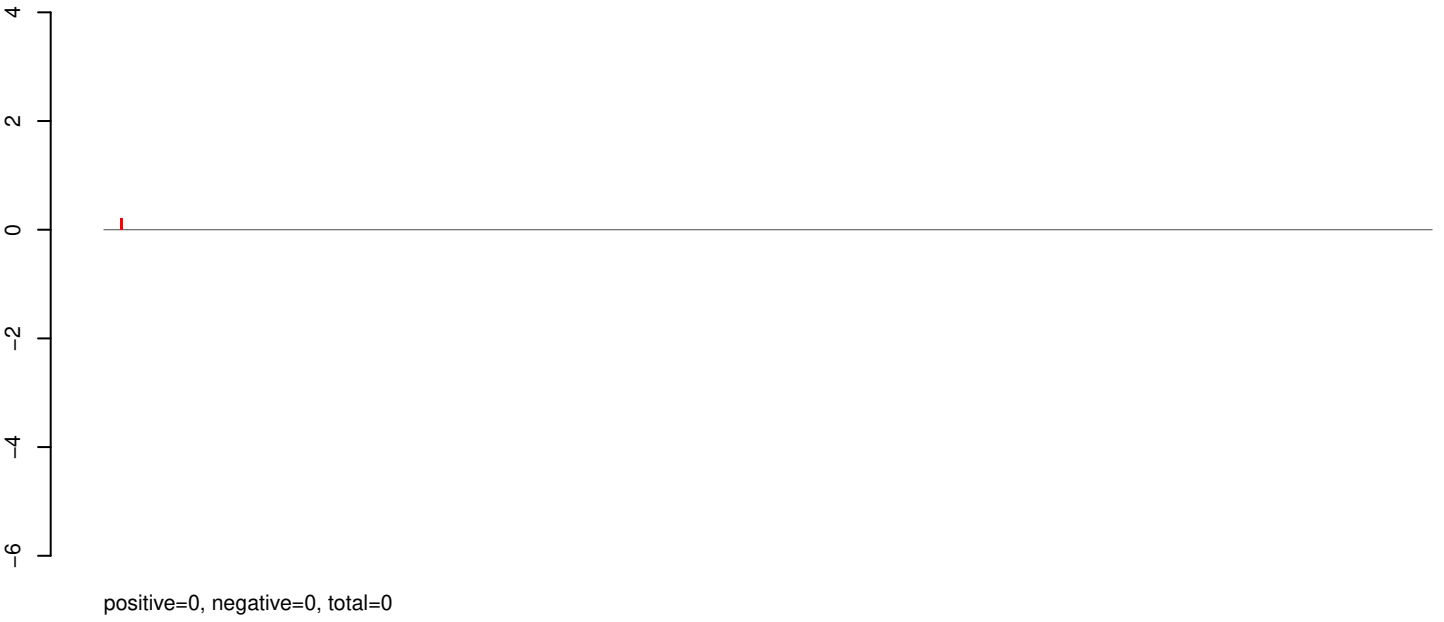
Window size=25, length=11014, virus@NC_000943.1-Murray_Valley_encephalitis_virus:1-11014

0 2000 4000 6000 8000 10000

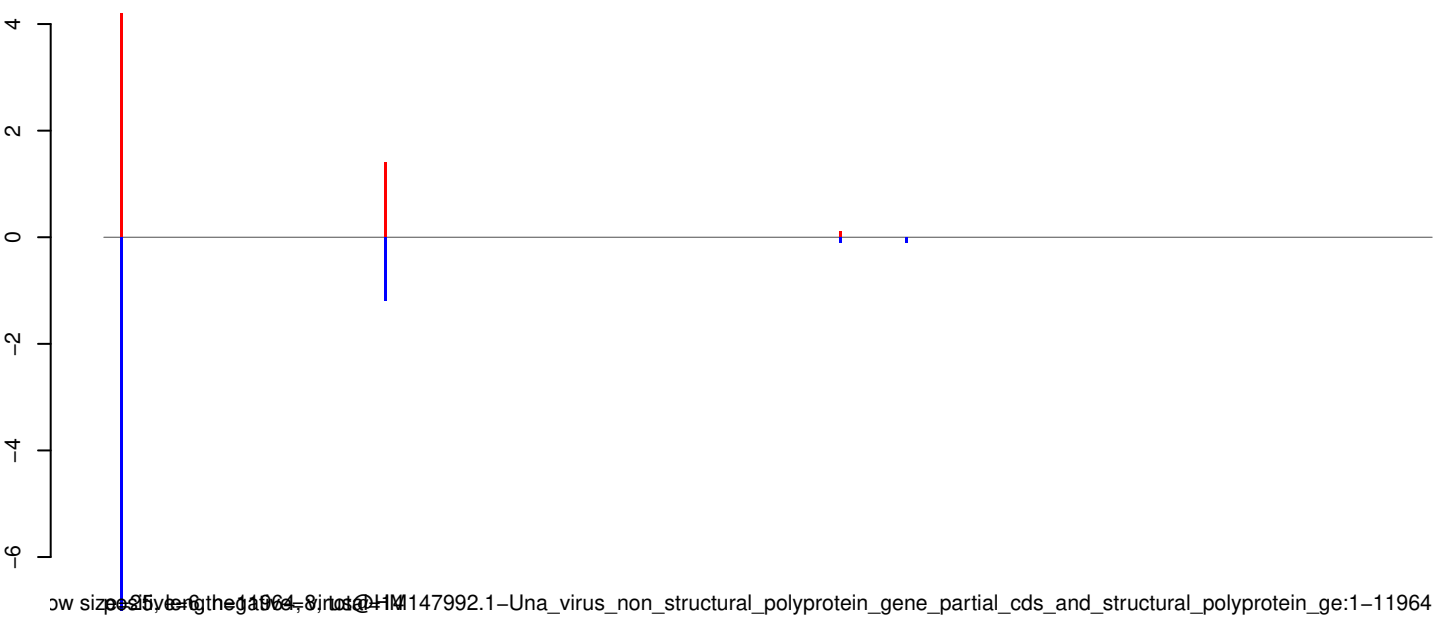
AeAeg_Aag2_Ago3_SINV_RA.18_23.rep



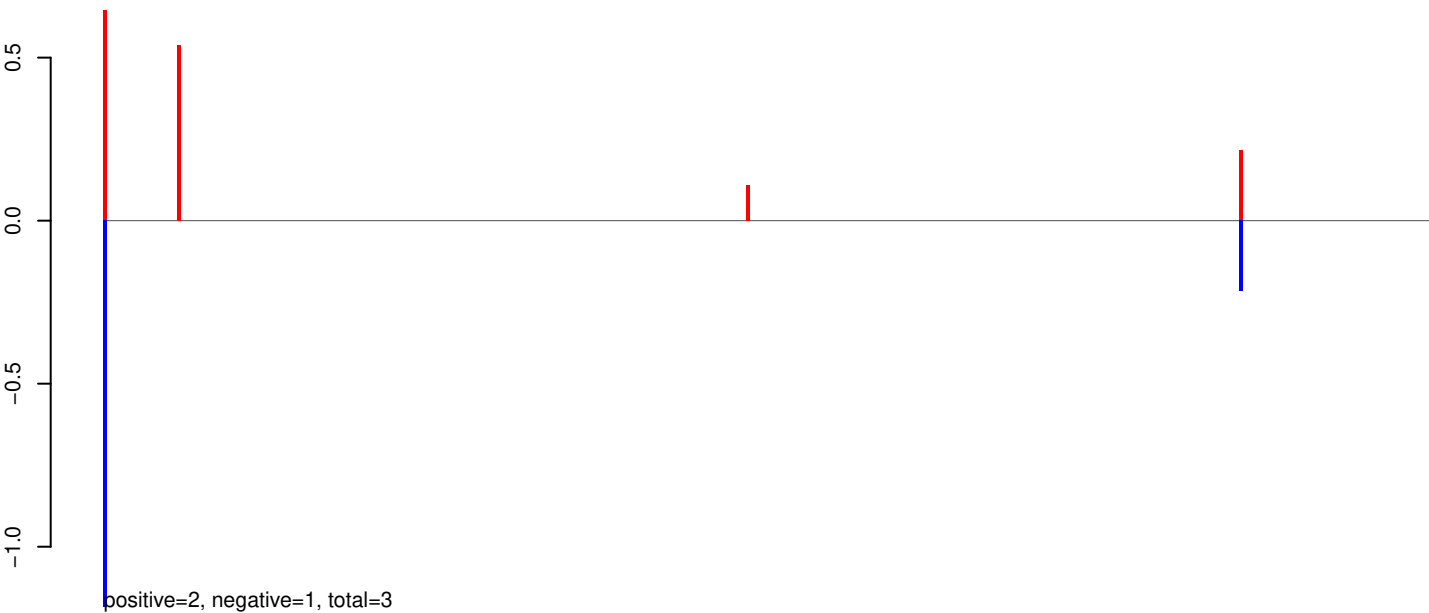
AeAeg_Aag2_Ago3_SINV_RA.24_35.rep



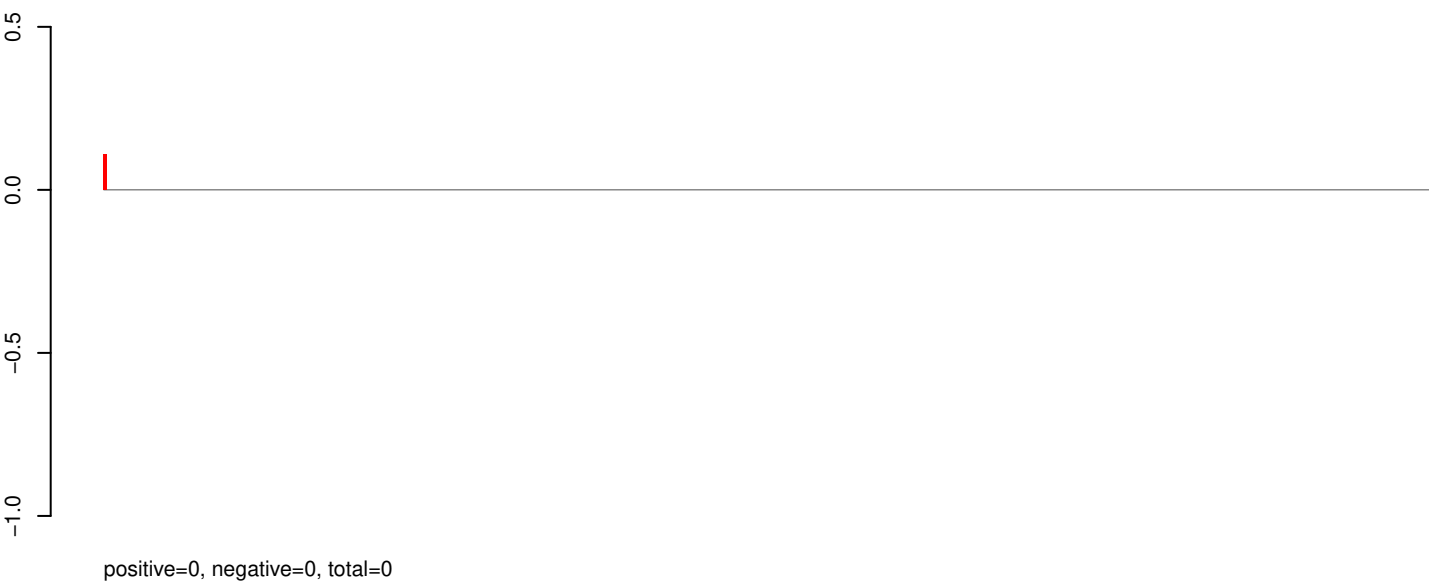
AeAeg_Aag2_Ago3_SINV_RA.rep



AeAeg_Aag2_Ago3_SINV_RA.18_23.rep



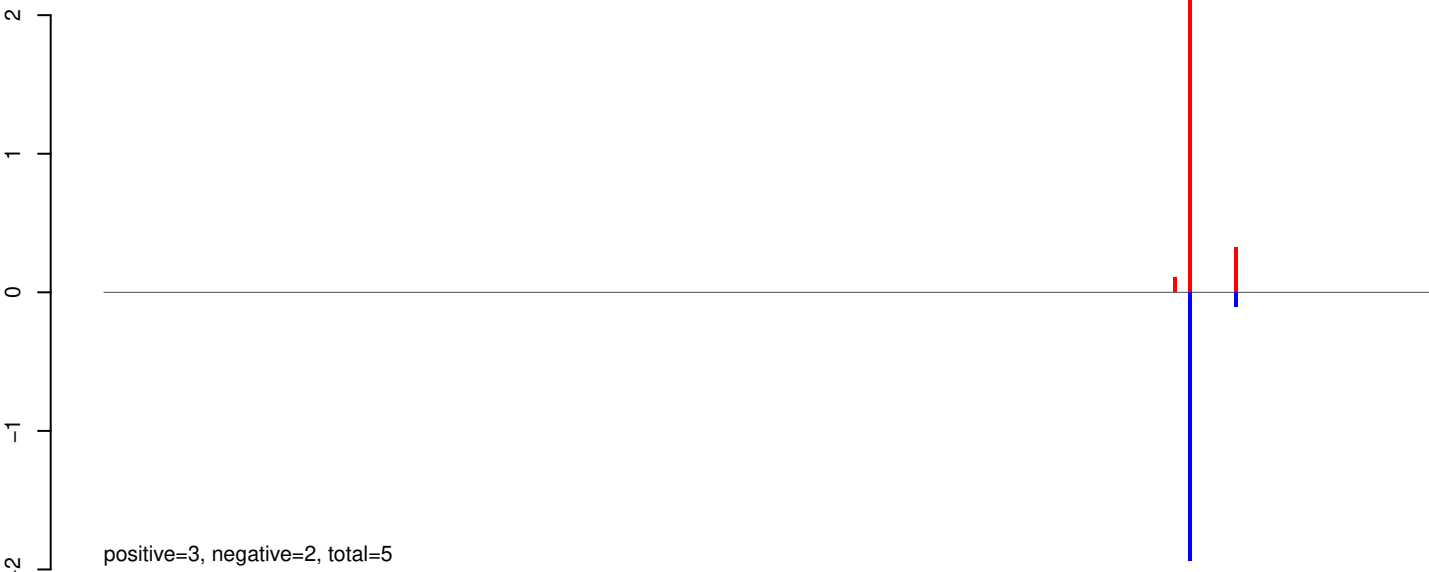
AeAeg_Aag2_Ago3_SINV_RA.24_35.rep



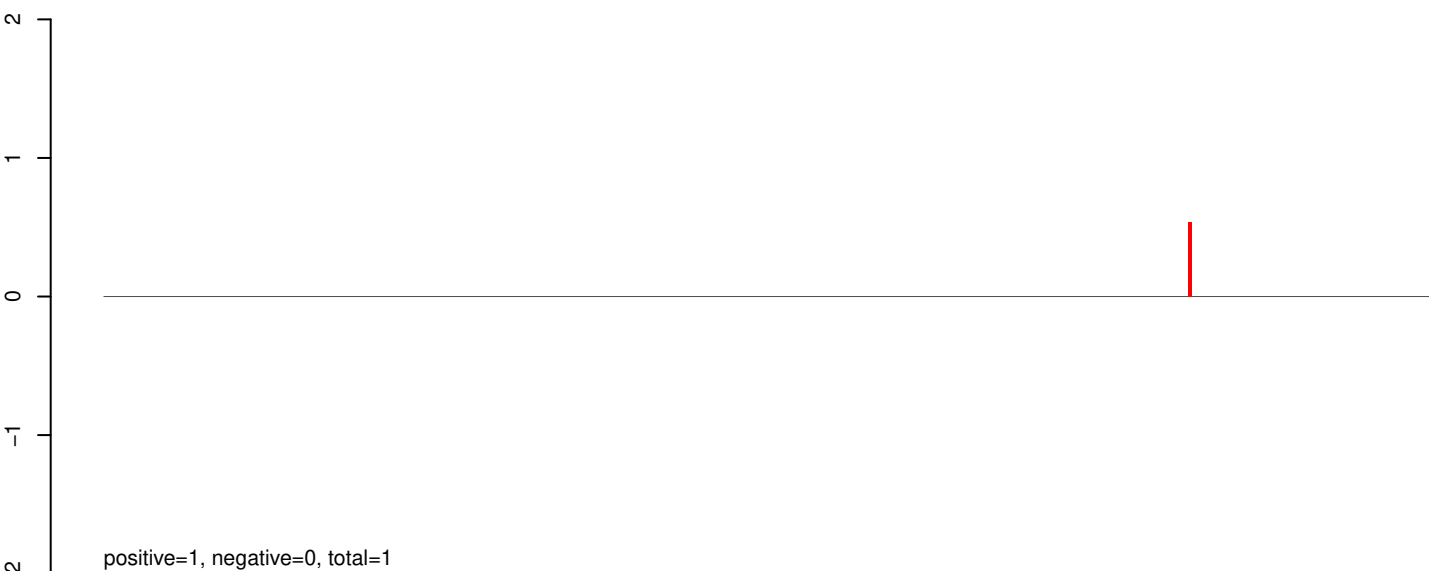
AeAeg_Aag2_Ago3_SINV_RA.rep



AeAeg_Aag2_Ago3_SINV_RA.18_23.rep



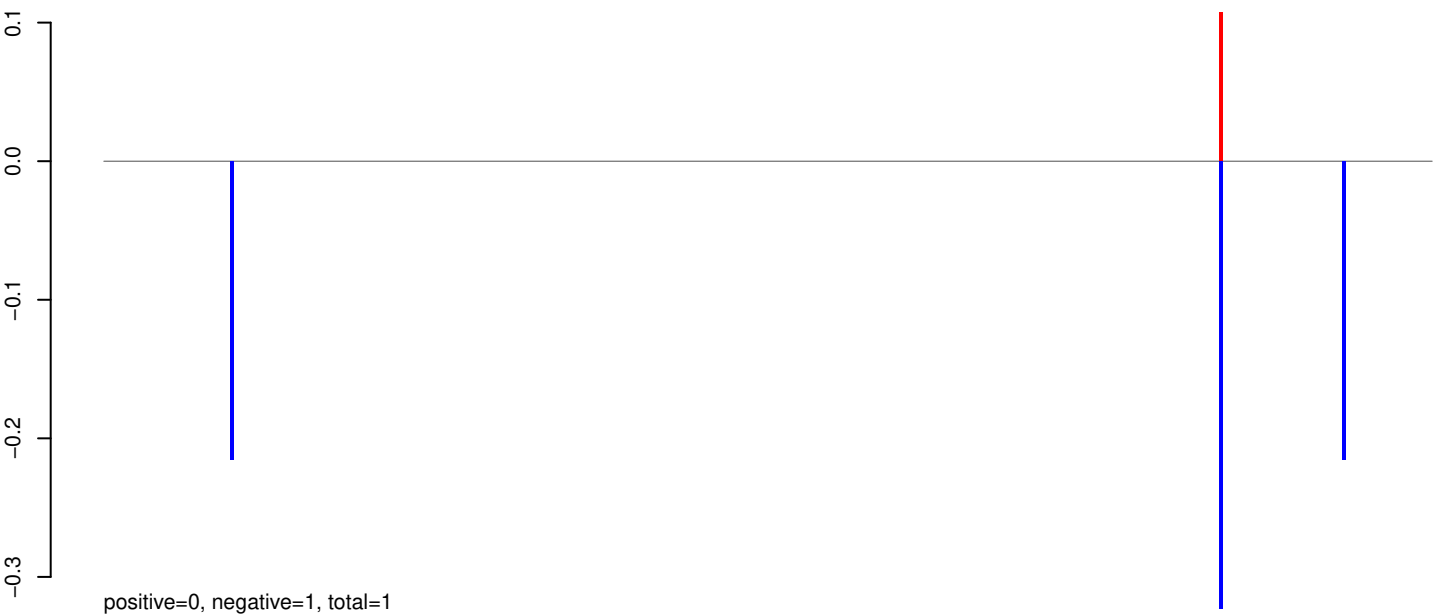
AeAeg_Aag2_Ago3_SINV_RA.24_35.rep



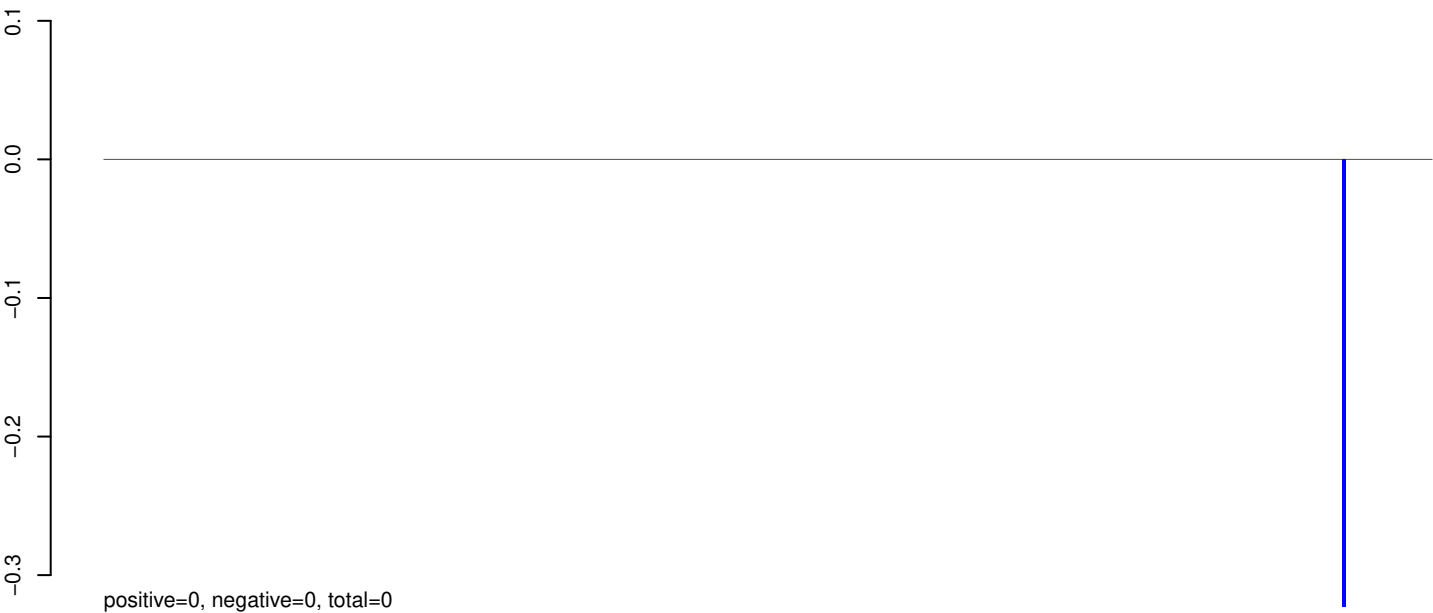
AeAeg_Aag2_Ago3_SINV_RA.rep



AeAeg_Aag2_Ago3_SINV_RA.18_23.rep



AeAeg_Aag2_Ago3_SINV_RA.24_35.rep



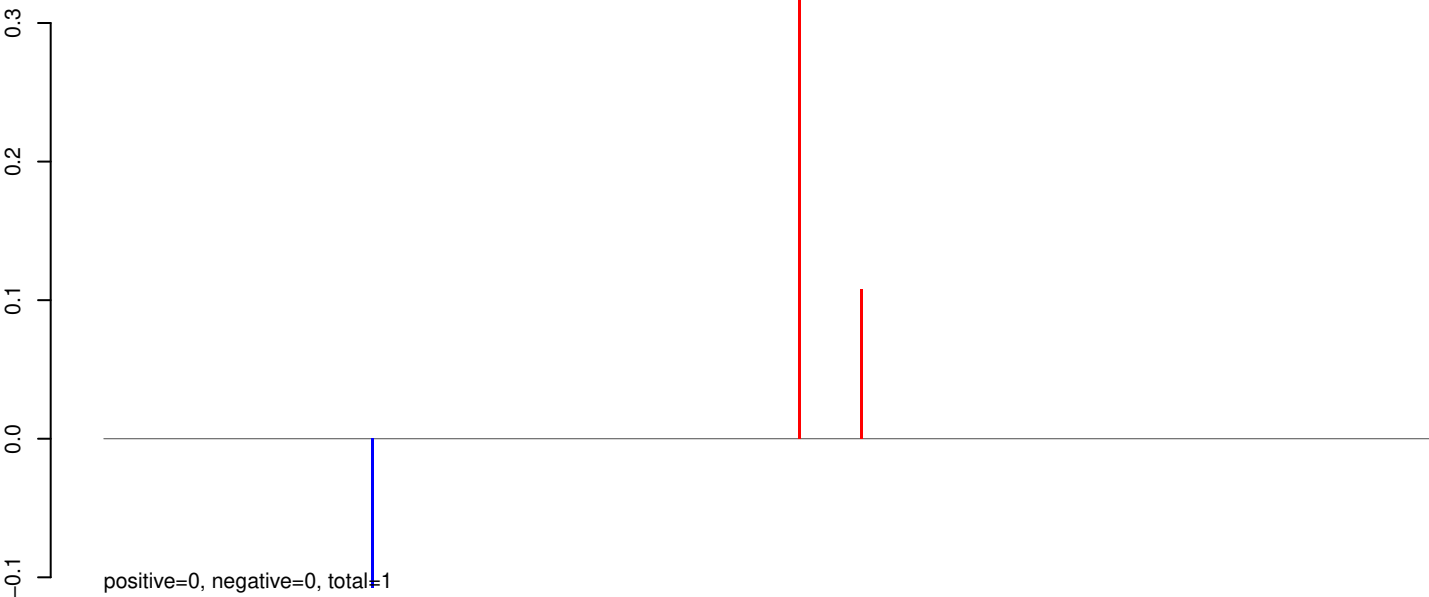
AeAeg_Aag2_Ago3_SINV_RA.rep



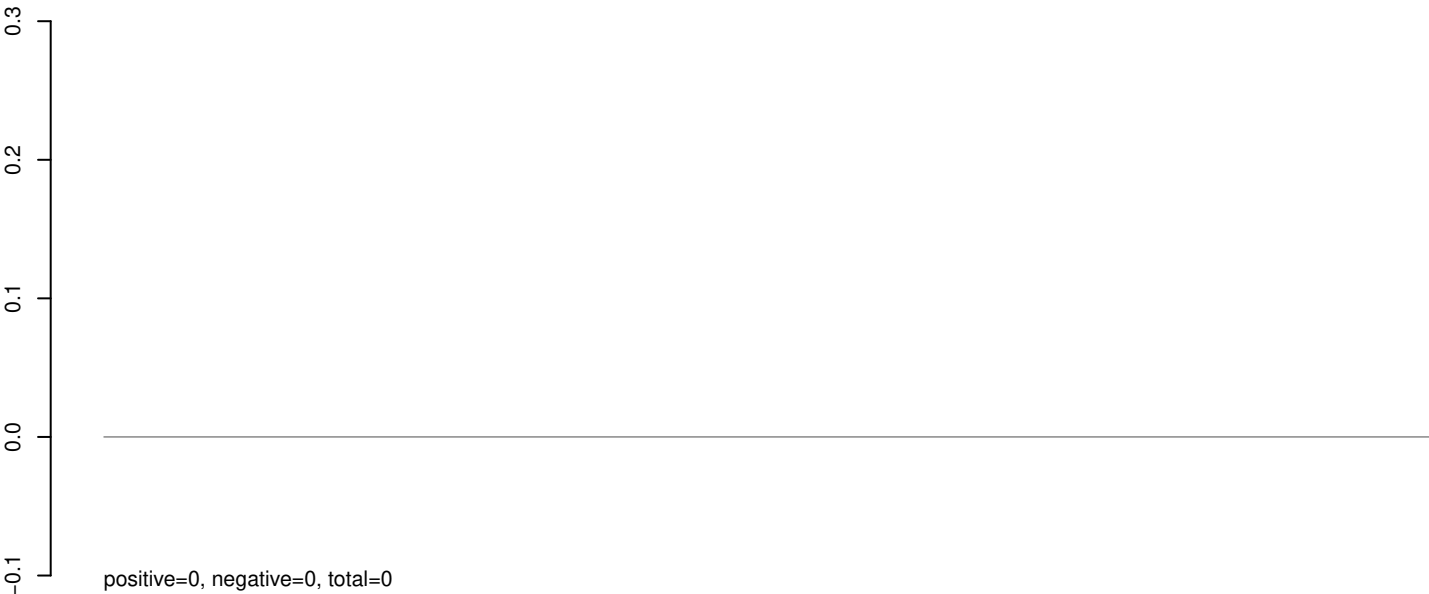
Window size=25, length=10755, virus@NC_009028.2-Ilheus_virus1-10755

0 2000 4000 6000 8000 10000

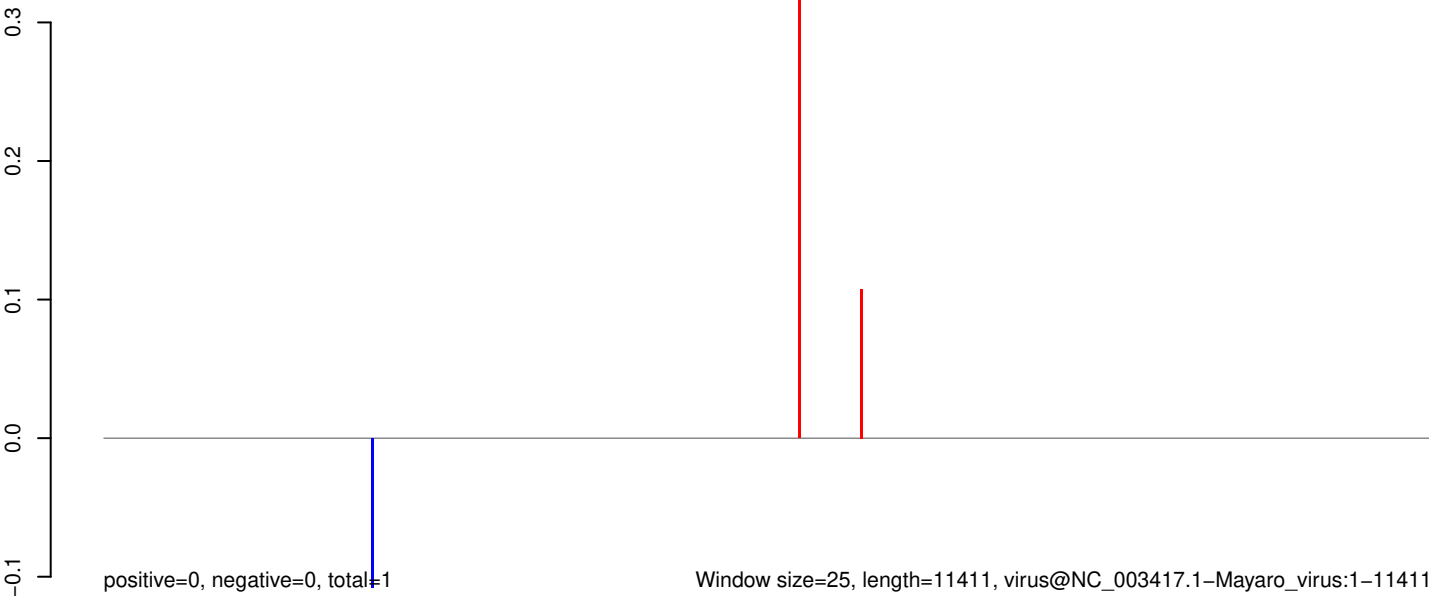
AeAeg_Aag2_Ago3_SINV_RA.18_23.rep



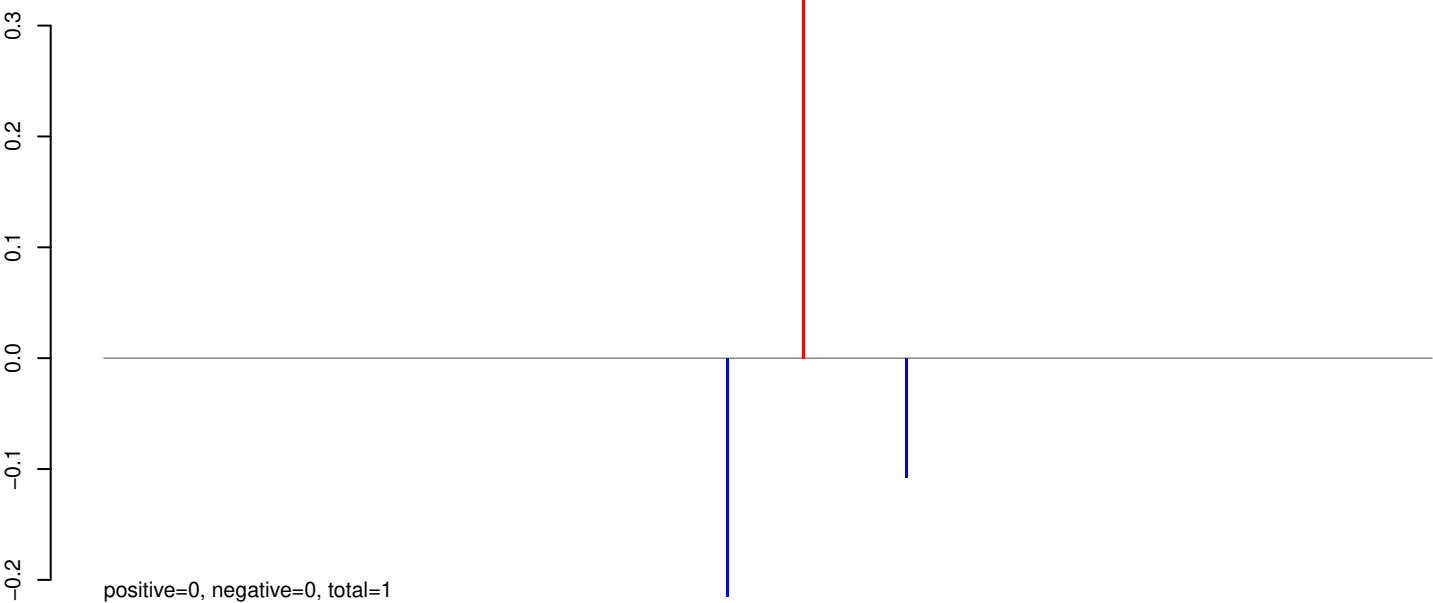
AeAeg_Aag2_Ago3_SINV_RA.24_35.rep



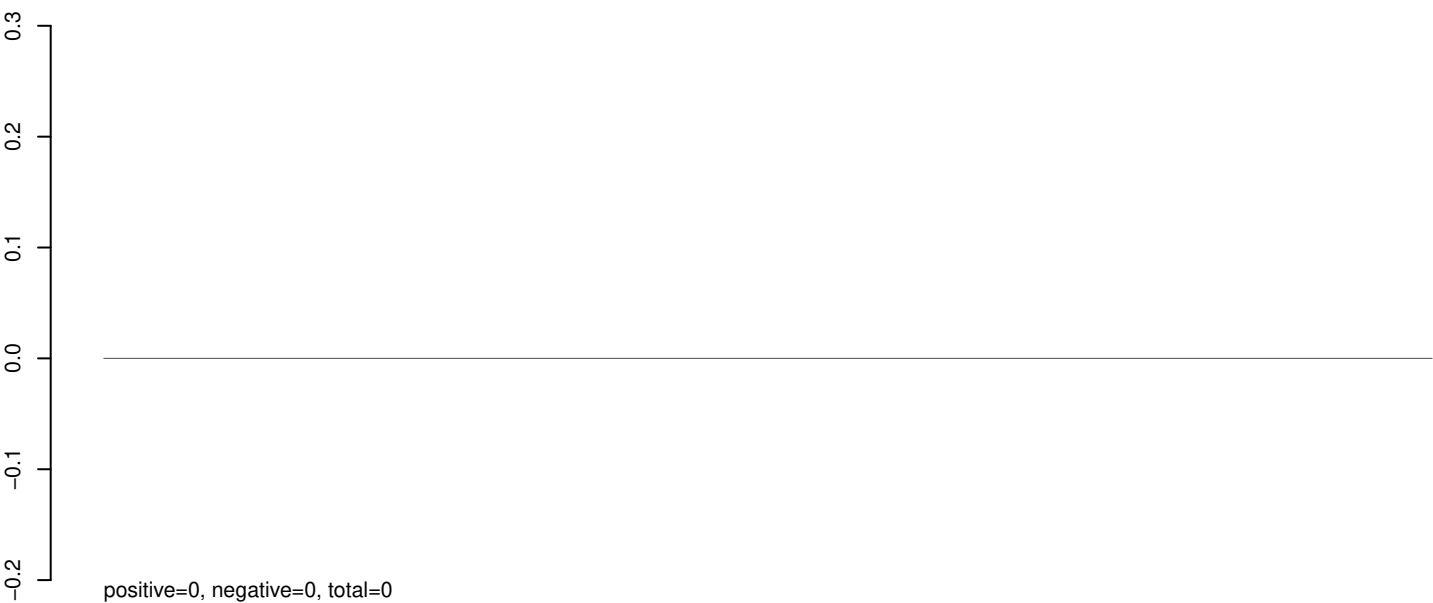
AeAeg_Aag2_Ago3_SINV_RA.rep



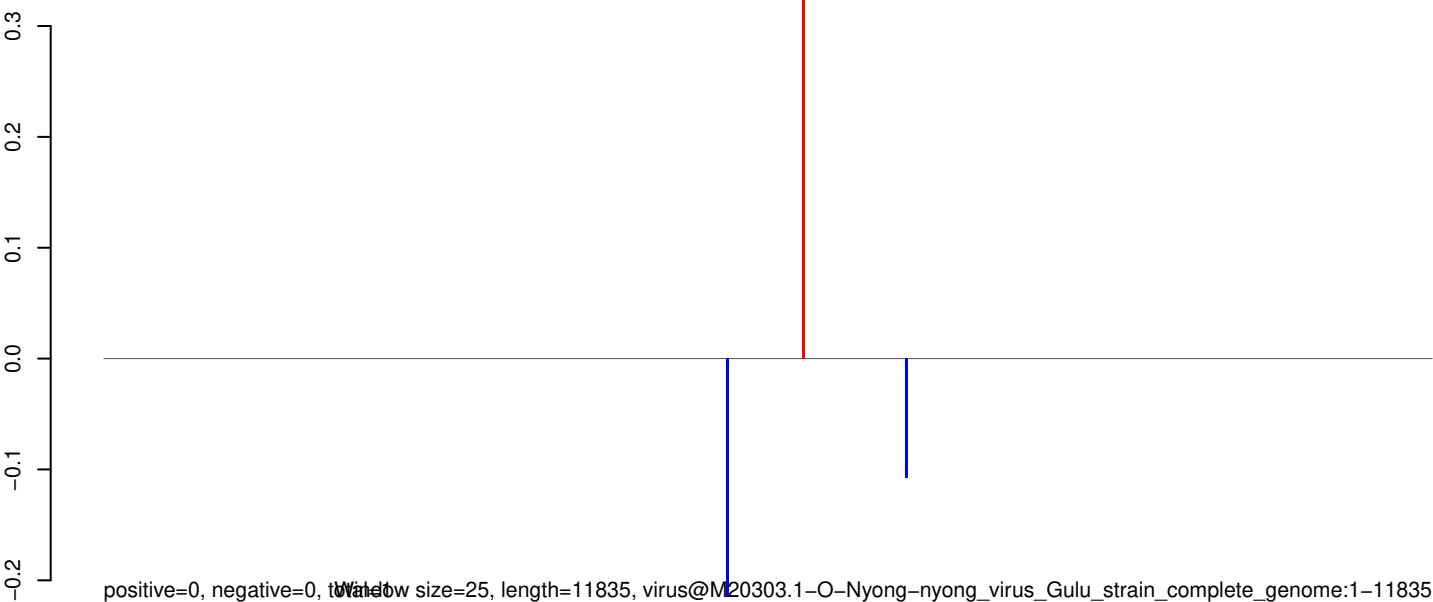
AeAeg_Aag2_Ago3_SINV_RA.18_23.rep



AeAeg_Aag2_Ago3_SINV_RA.24_35.rep



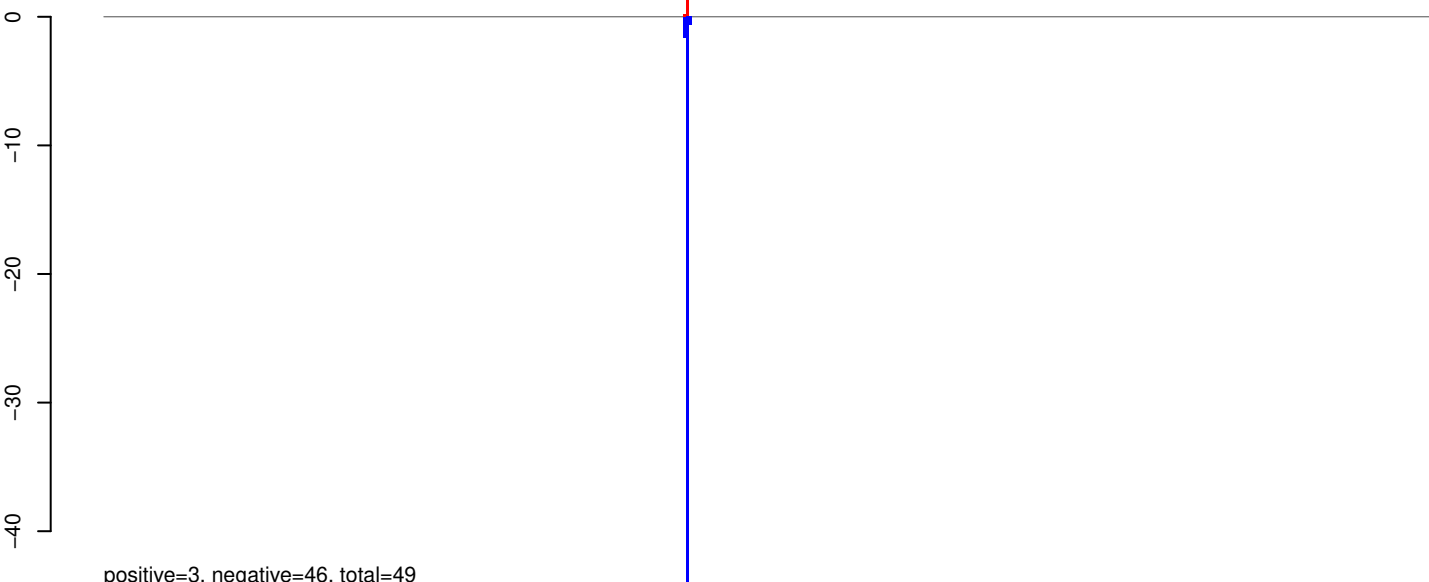
AeAeg_Aag2_Ago3_SINV_RA.rep



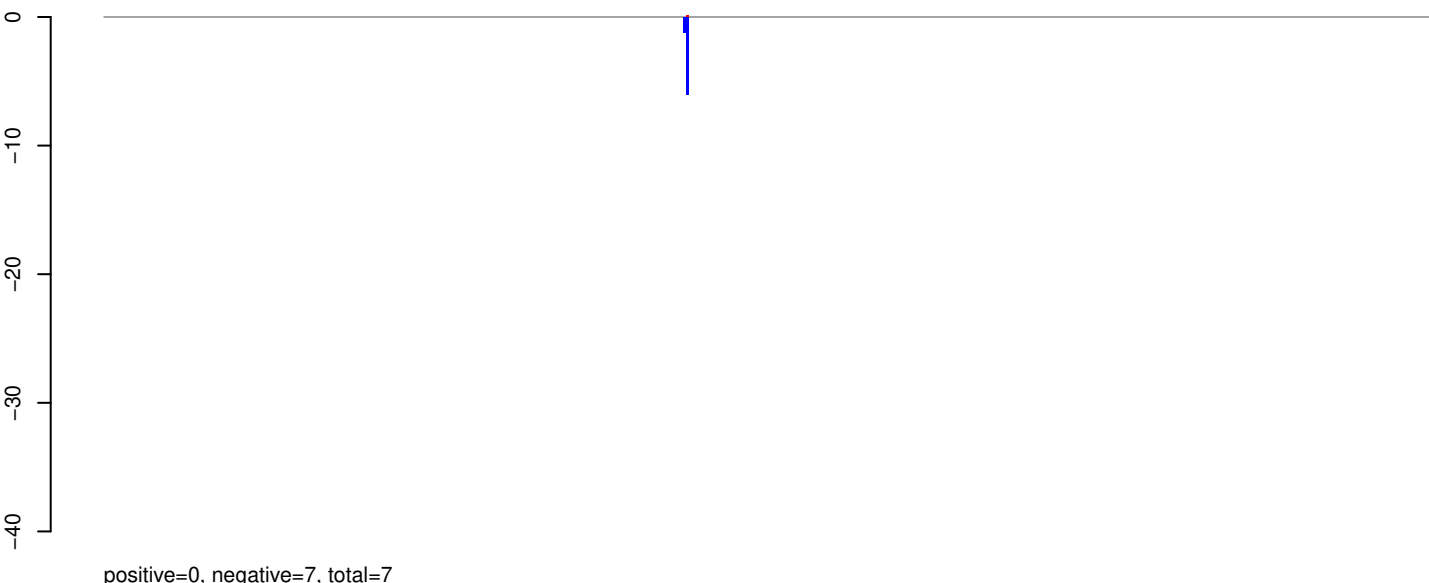
Window size=25, length=11835, virus@M20303.1-O-Nyong-nyong_virus_Gulu_strain_complete_genome:1-11835

0 2000 4000 6000 8000 10000 12000

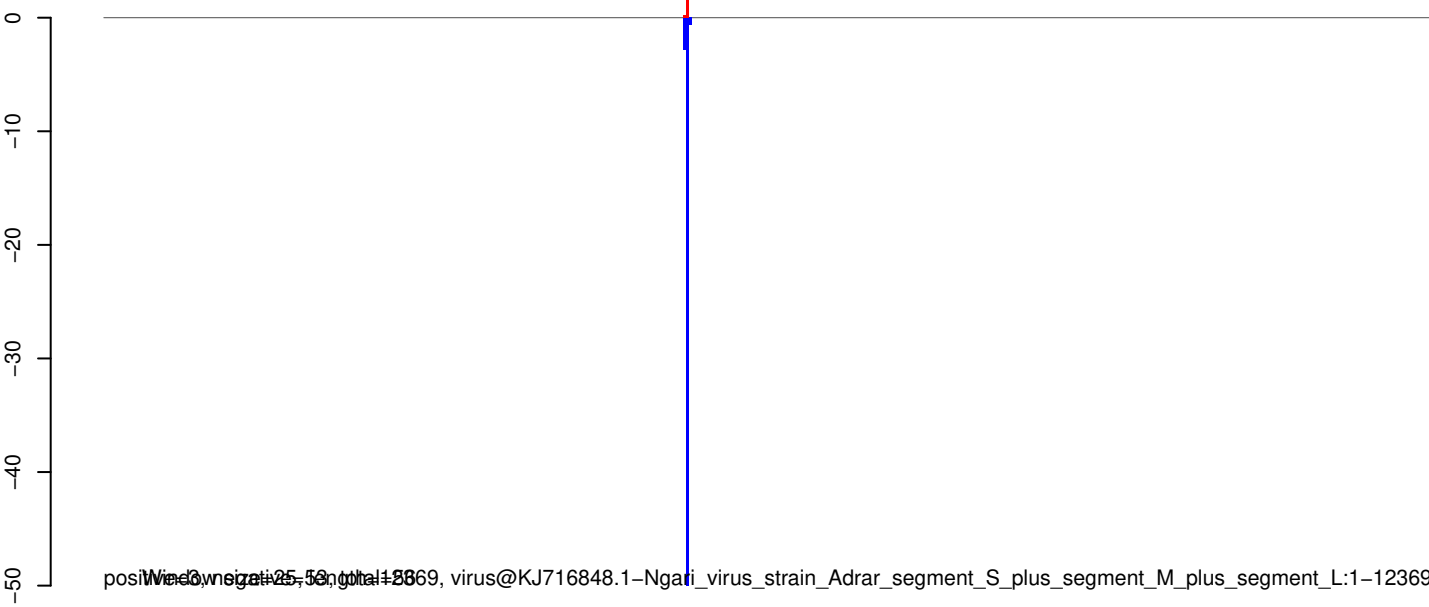
AeAeg_Aag2_Ago3_SINV_RA.18_23.rep



AeAeg_Aag2_Ago3_SINV_RA.24_35.rep

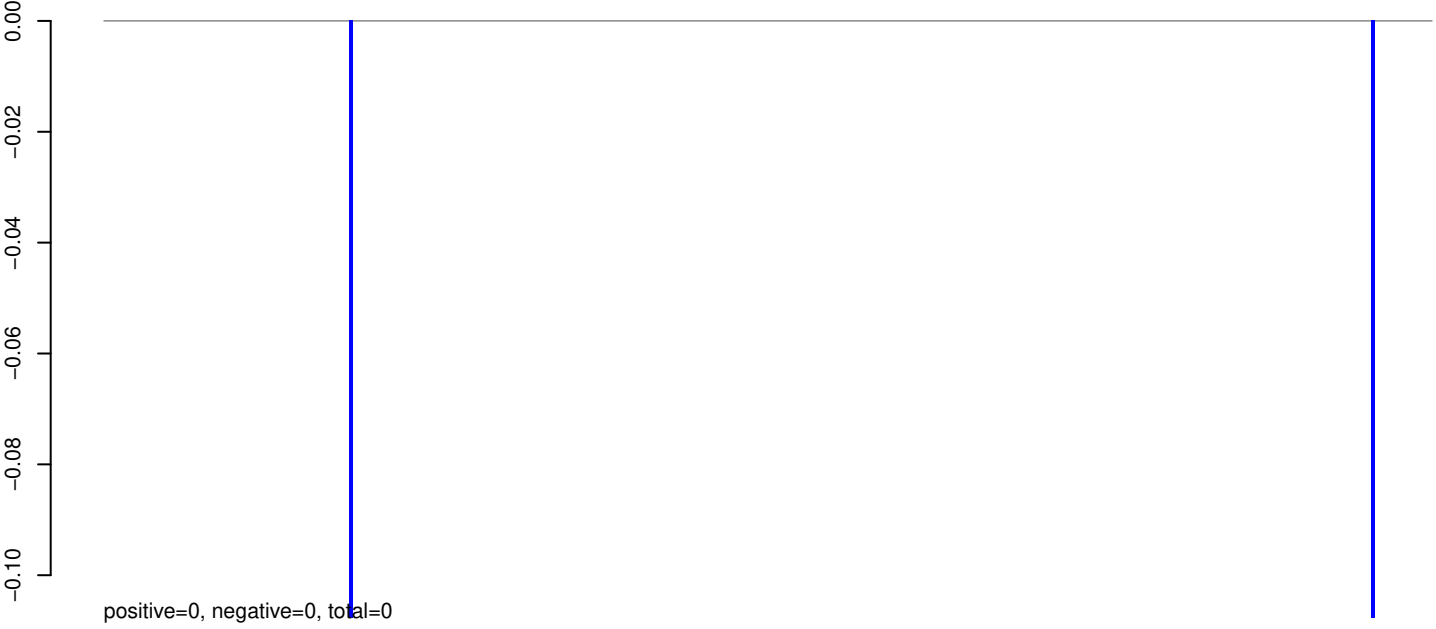


AeAeg_Aag2_Ago3_SINV_RA.rep

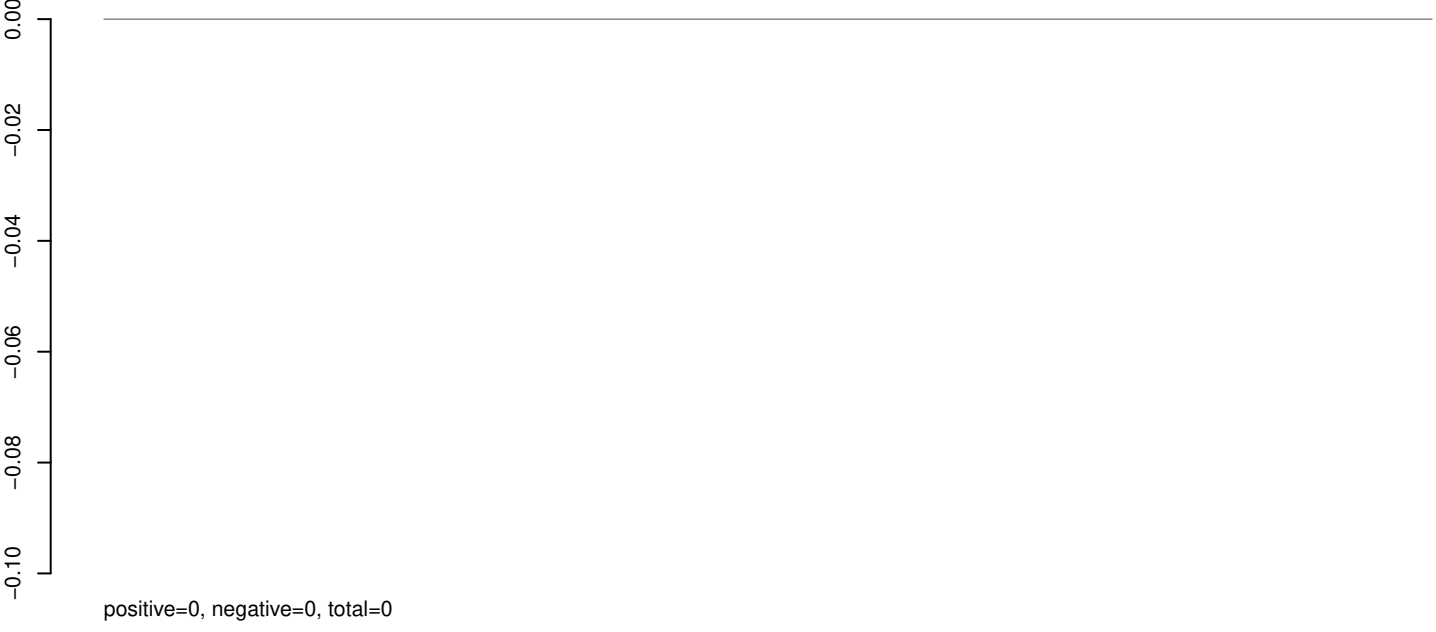


Weng, virus@KJ716848.1-Ngari_virus_strain_Adrar_segment_S_plus_segment_M_plus_segment_L:1-12369

AeAeg_Aag2_Ago3_SINV_RA.18_23.rep



AeAeg_Aag2_Ago3_SINV_RA.24_35.rep



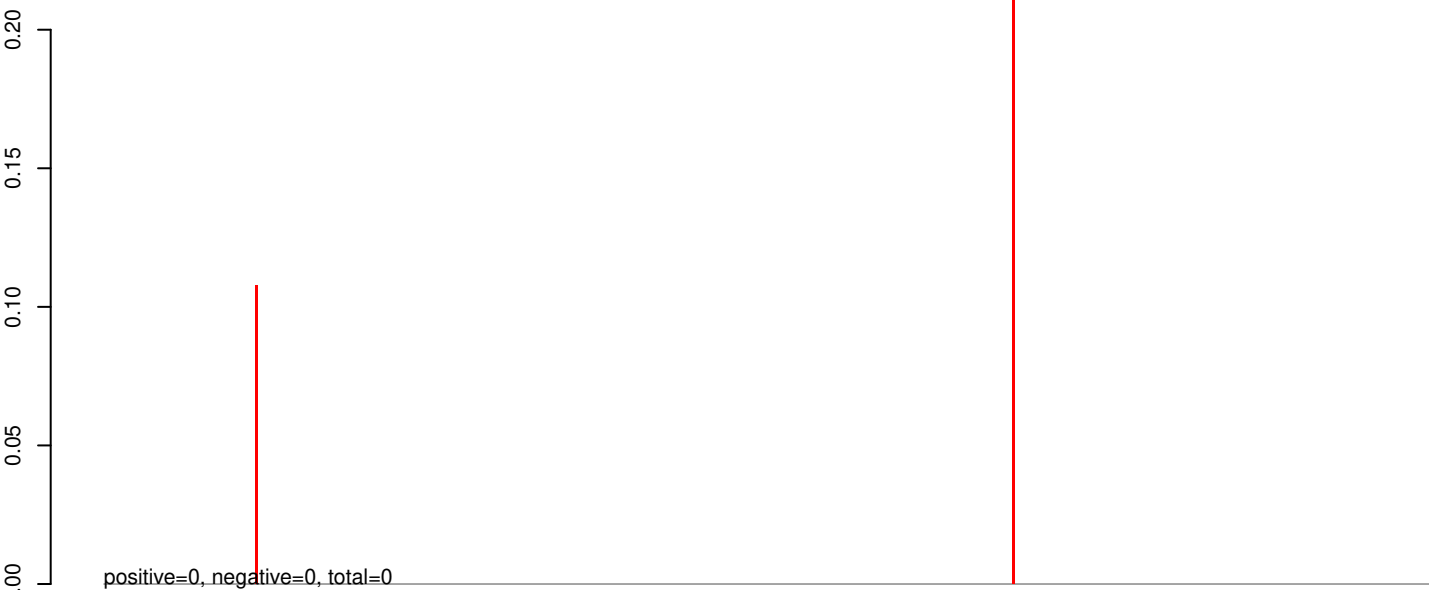
AeAeg_Aag2_Ago3_SINV_RA.rep



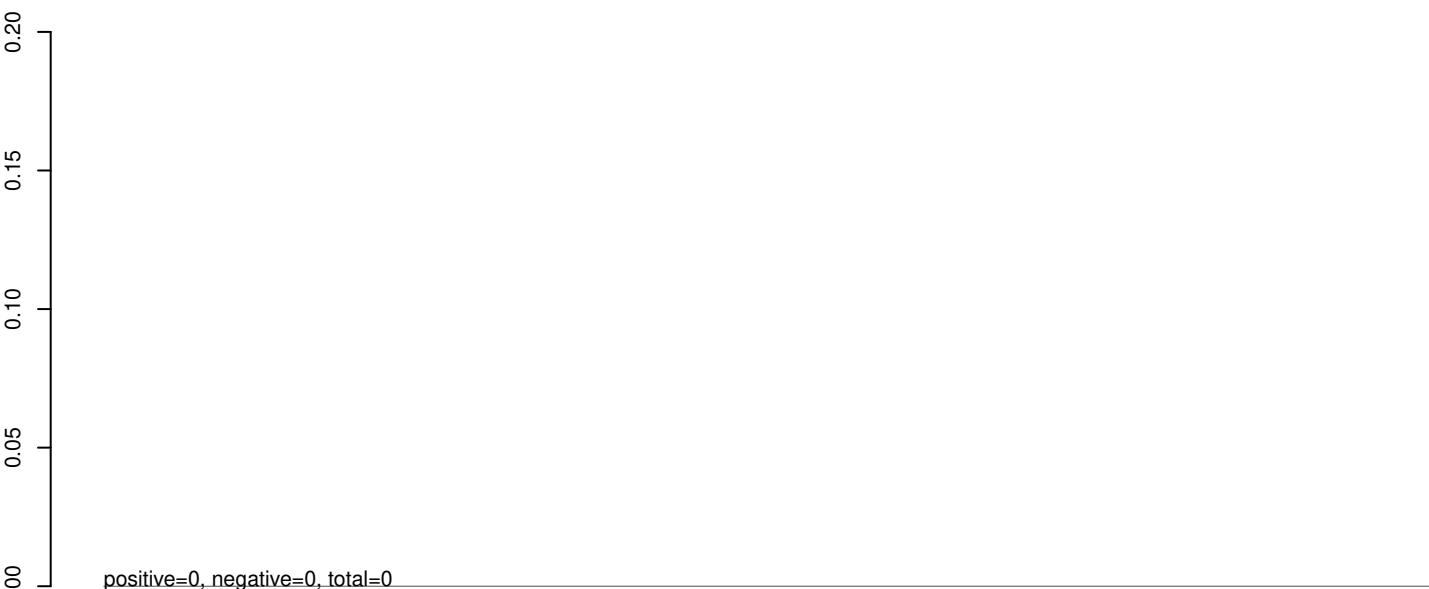
Window size=25, length=9176, virus@NC_035129.1_Culex_negev-like_virus_3_strain_mos172X44875:1-9176

0 2000 4000 6000 8000

AeAeg_Aag2_Ago3_SINV_RA.18_23.rep



AeAeg_Aag2_Ago3_SINV_RA.24_35.rep



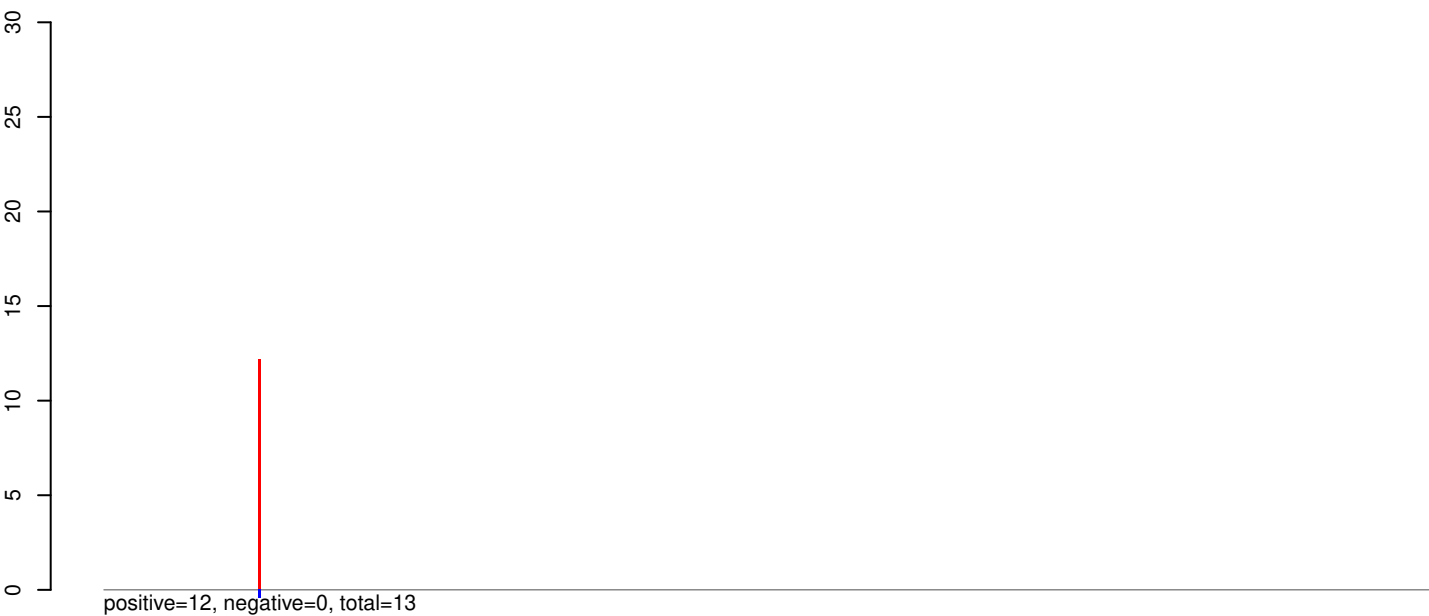
AeAeg_Aag2_Ago3_SINV_RA.rep



AeAeg_Aag2_Ago3_SINV_RA.18_23.rep



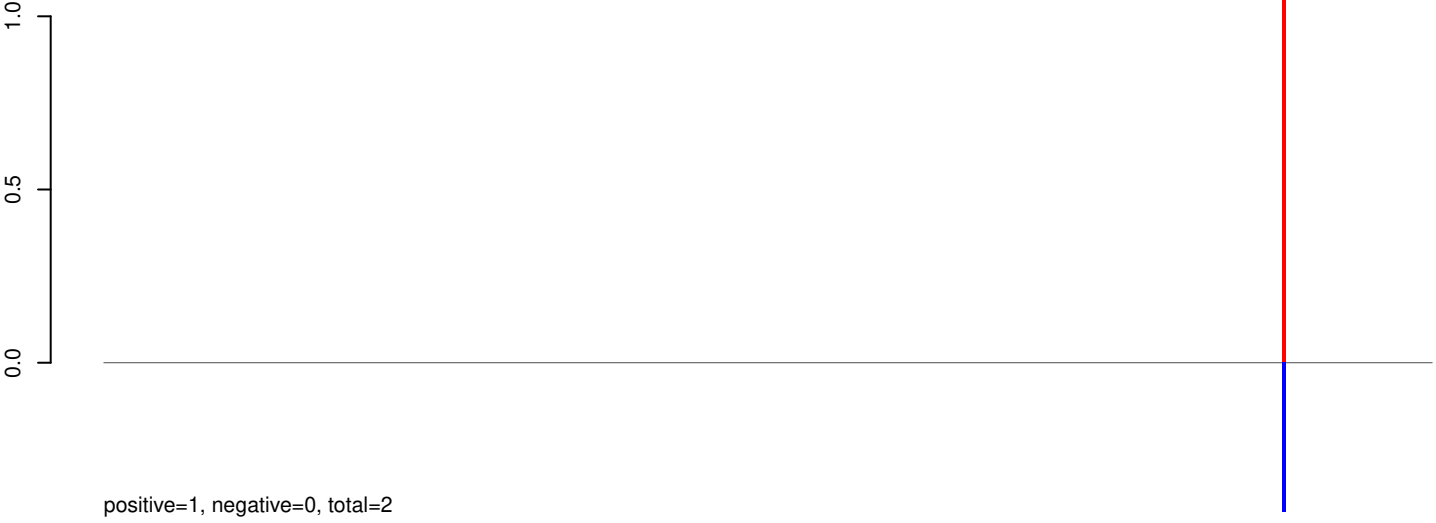
AeAeg_Aag2_Ago3_SINV_RA.24_35.rep



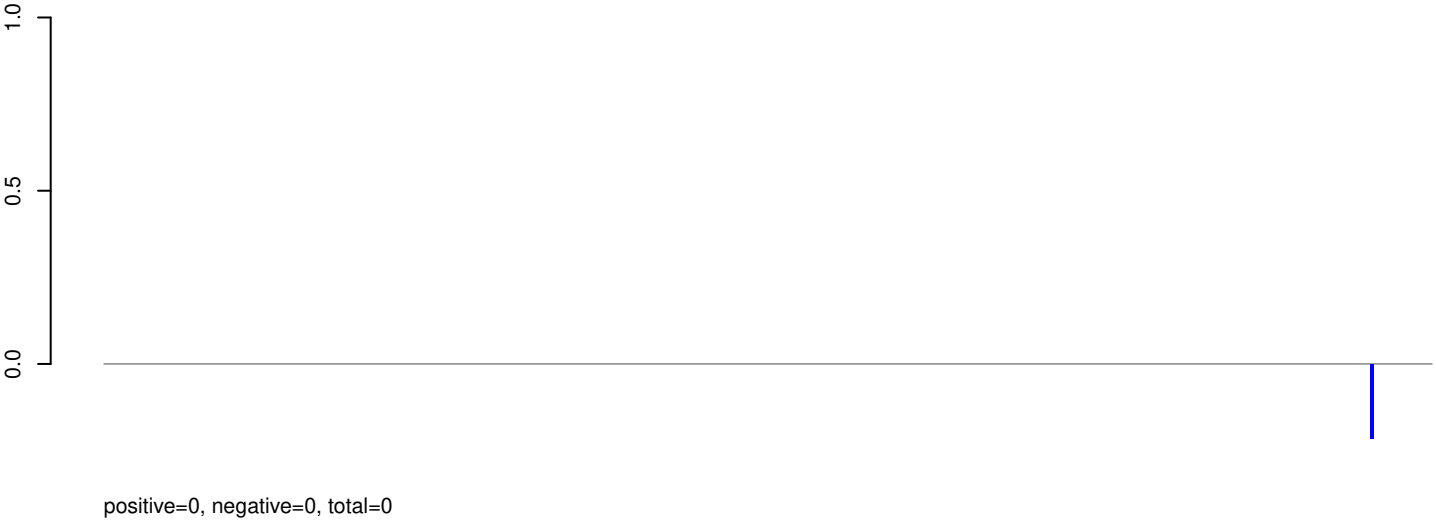
AeAeg_Aag2_Ago3_SINV_RA.rep



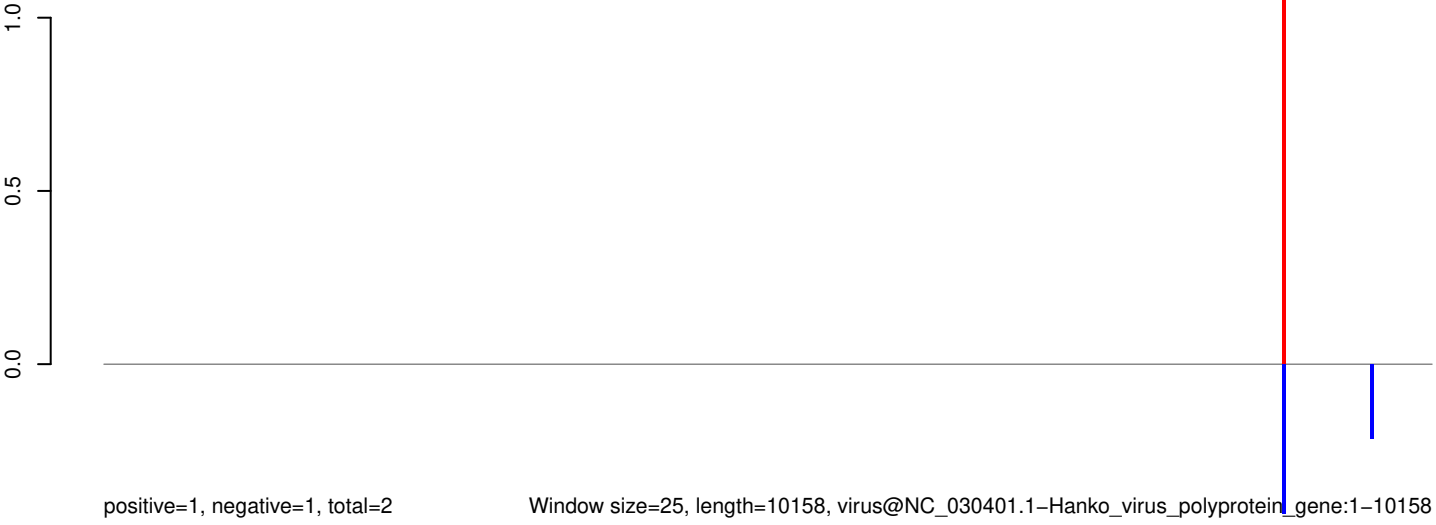
AeAeg_Aag2_Ago3_SINV_RA.18_23.rep



AeAeg_Aag2_Ago3_SINV_RA.24_35.rep



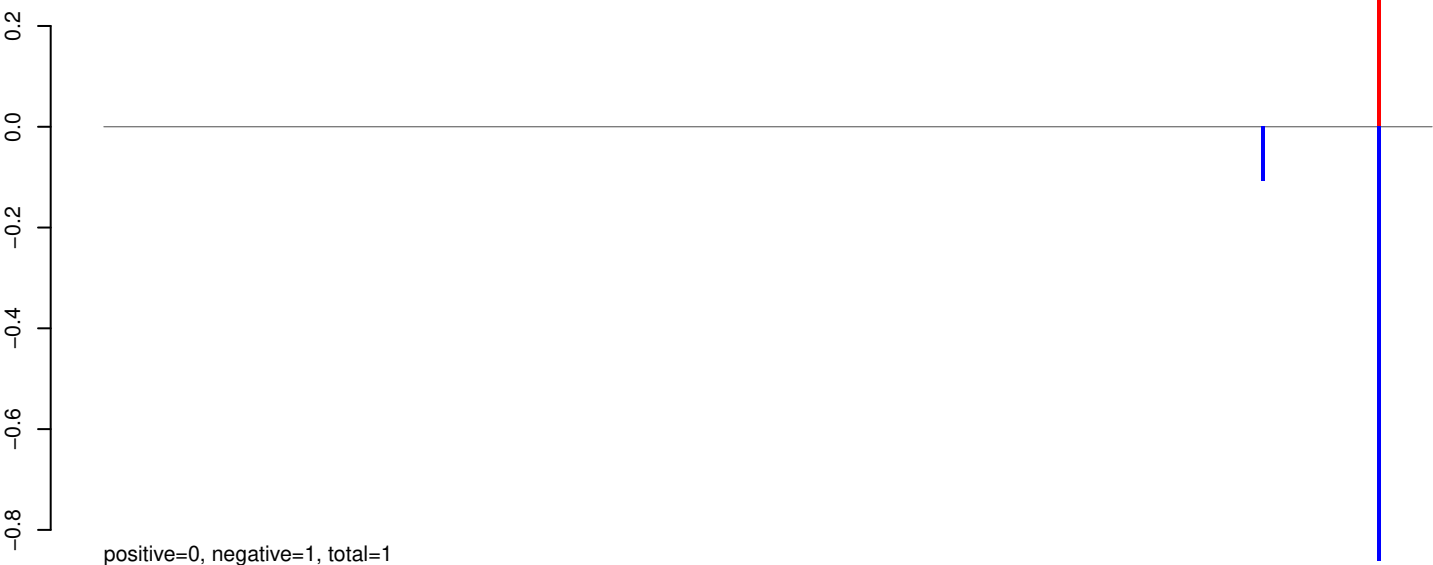
AeAeg_Aag2_Ago3_SINV_RA.rep



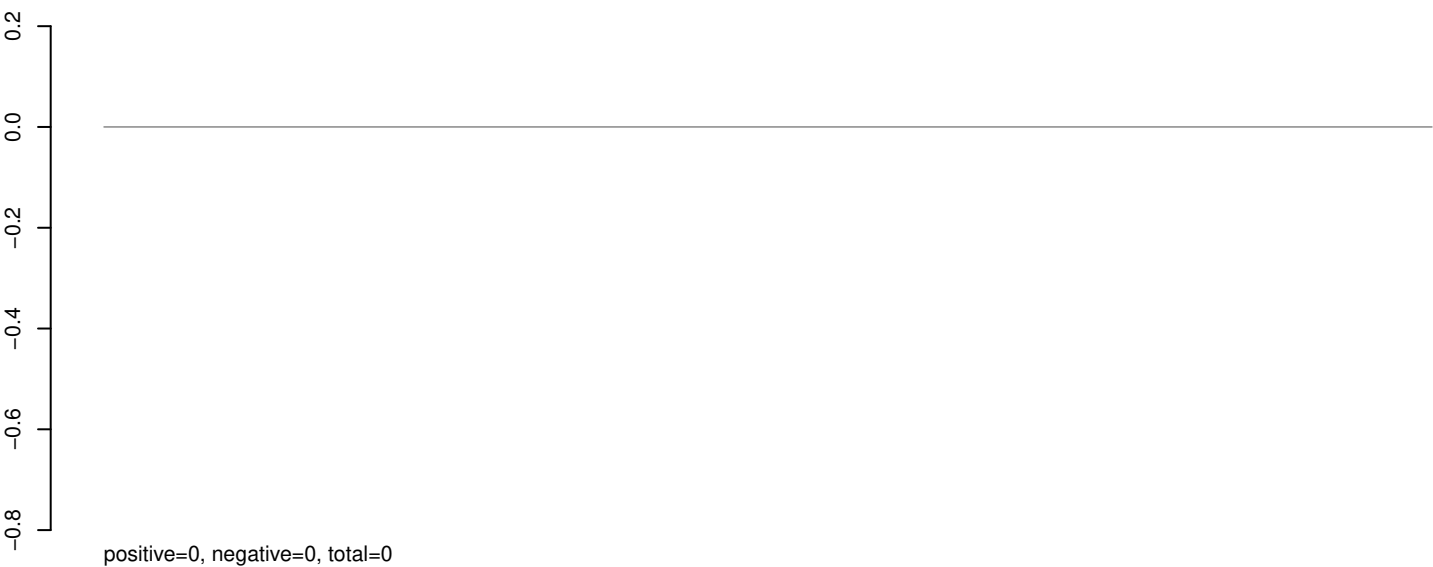
Window size=25, length=10158, virus@NC_030401.1-Hanko_virus_polyprotein_gene:1-10158

0 2000 4000 6000 8000 10000

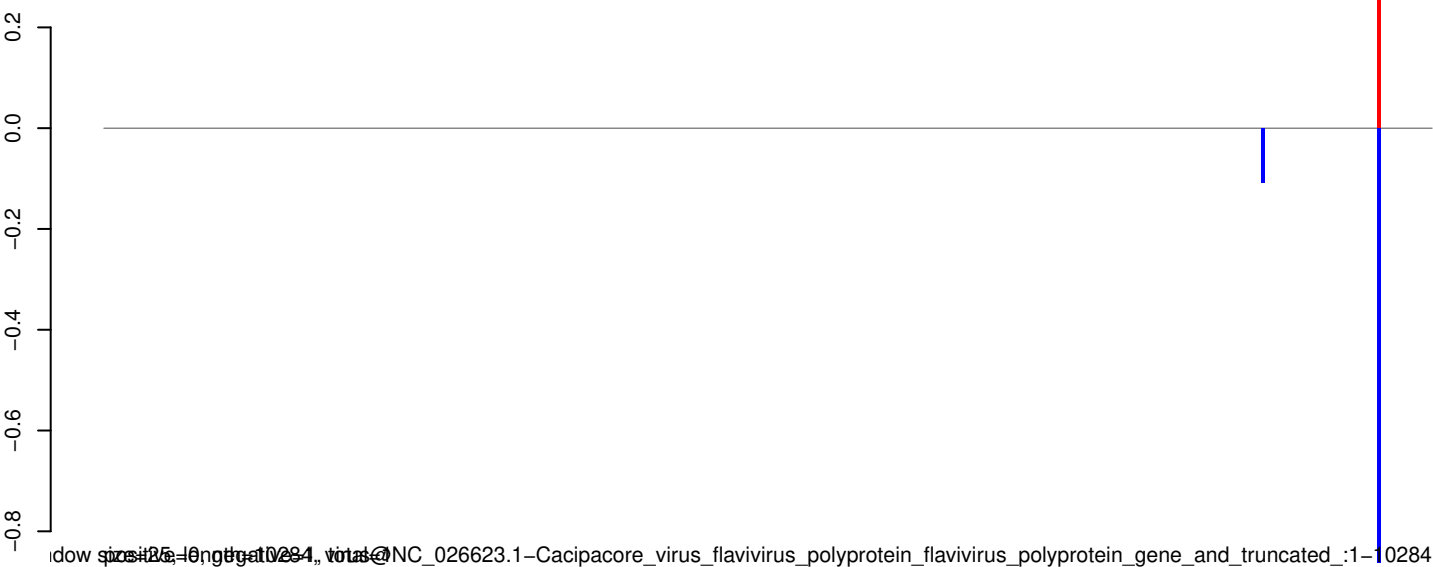
AeAeg_Aag2_Ago3_SINV_RA.18_23.rep



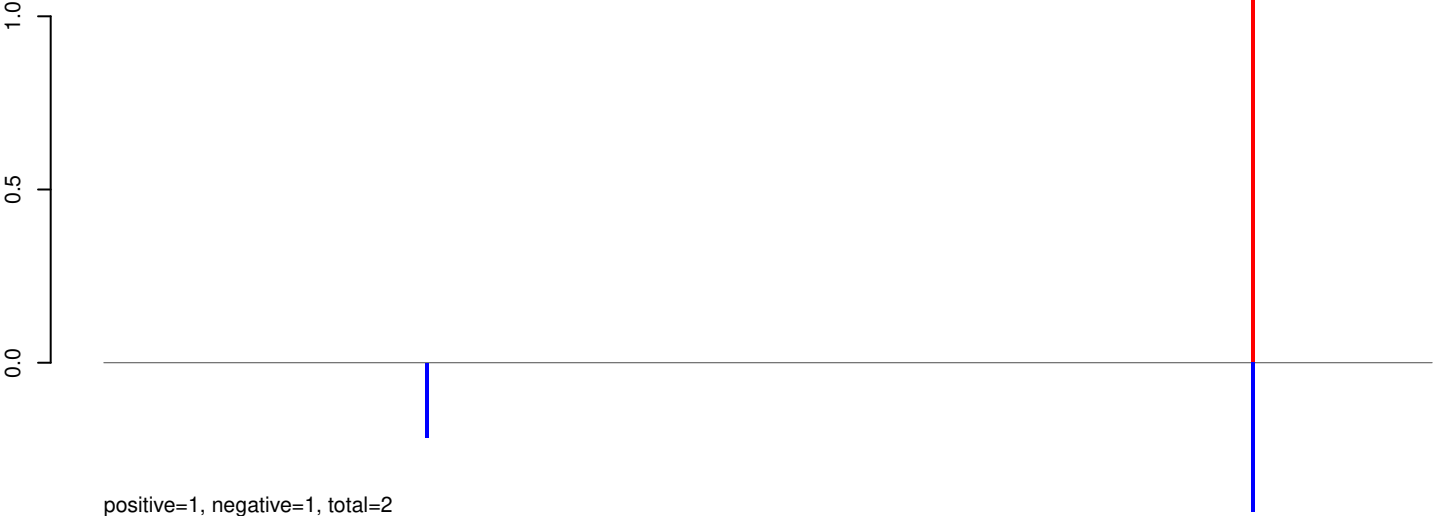
AeAeg_Aag2_Ago3_SINV_RA.24_35.rep



AeAeg_Aag2_Ago3_SINV_RA.rep



AeAeg_Aag2_Ago3_SINV_RA.18_23.rep



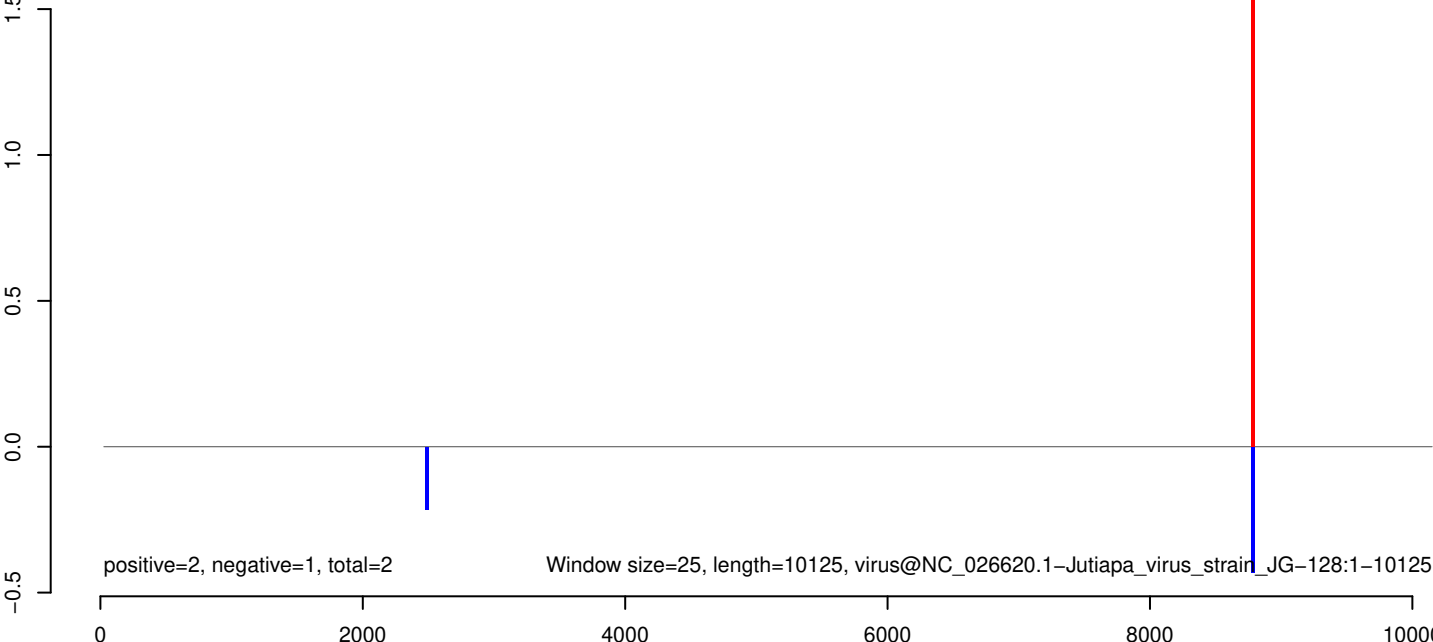
positive=1, negative=1, total=2

AeAeg_Aag2_Ago3_SINV_RA.24_35.rep



positive=0, negative=0, total=0

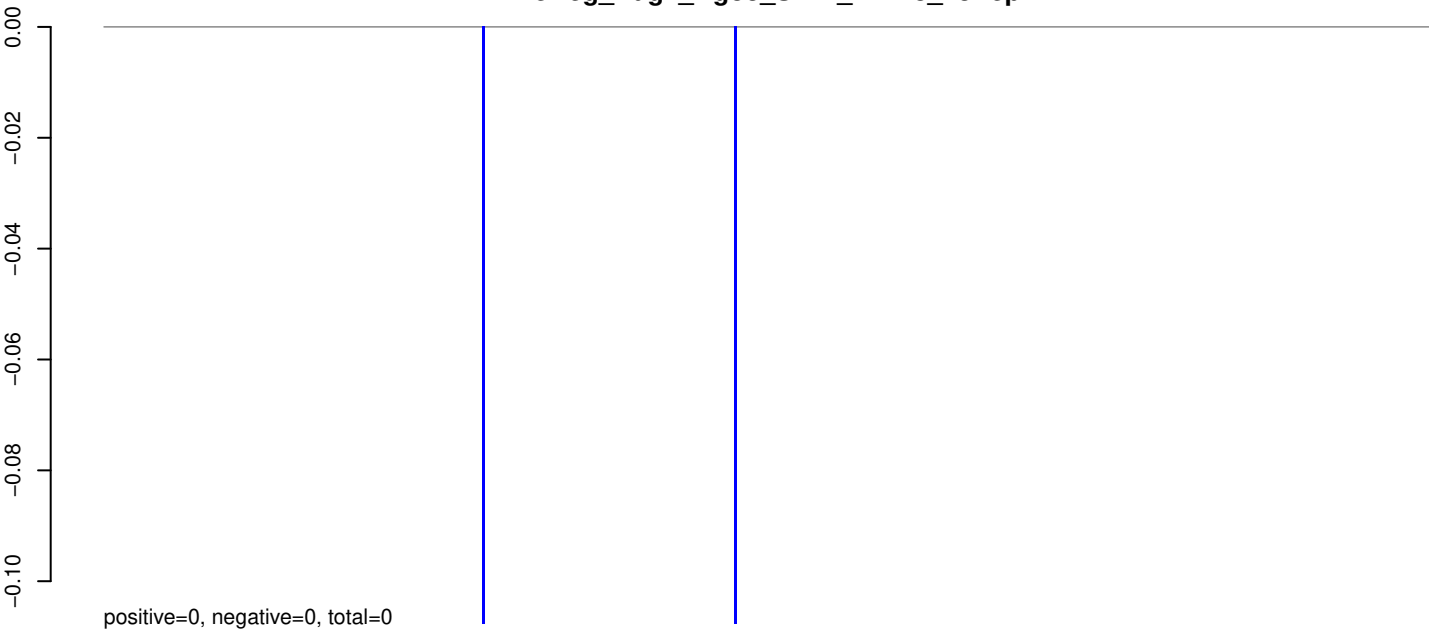
AeAeg_Aag2_Ago3_SINV_RA.rep



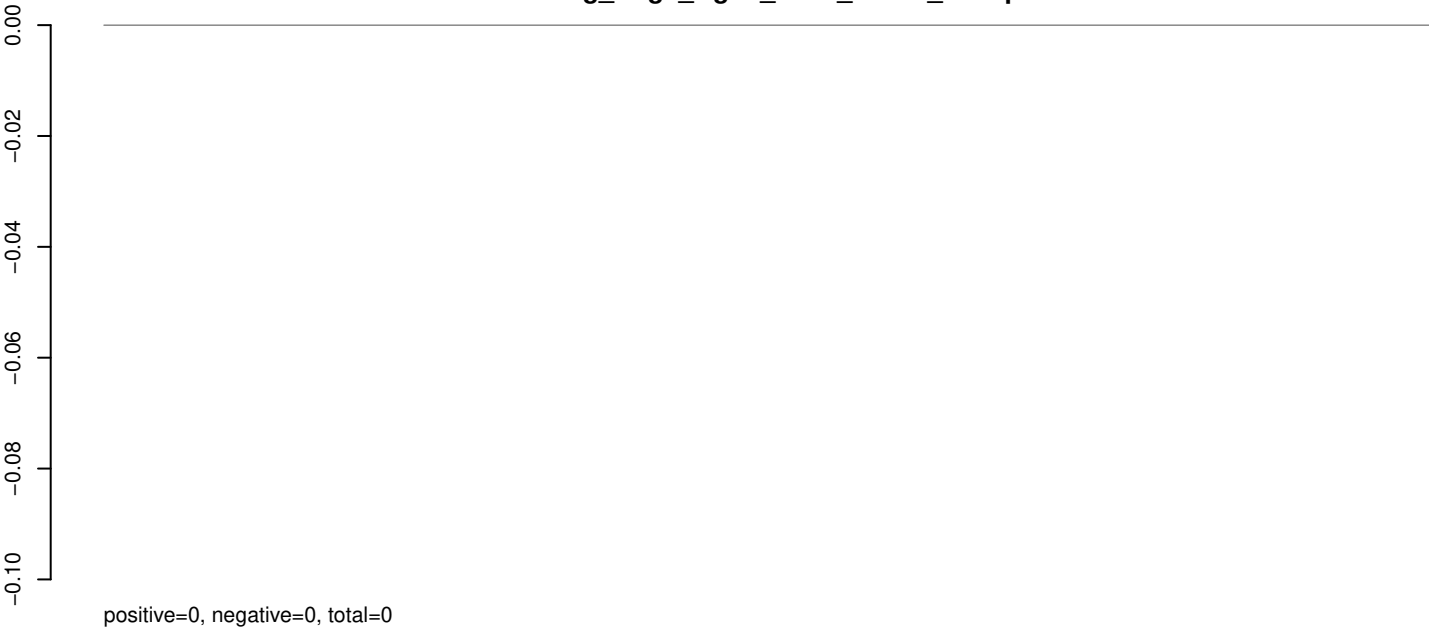
positive=2, negative=1, total=2

Window size=25, length=10125, virus@NC_026620.1-Jutiapa_virus_strain_JG-128:1-10125

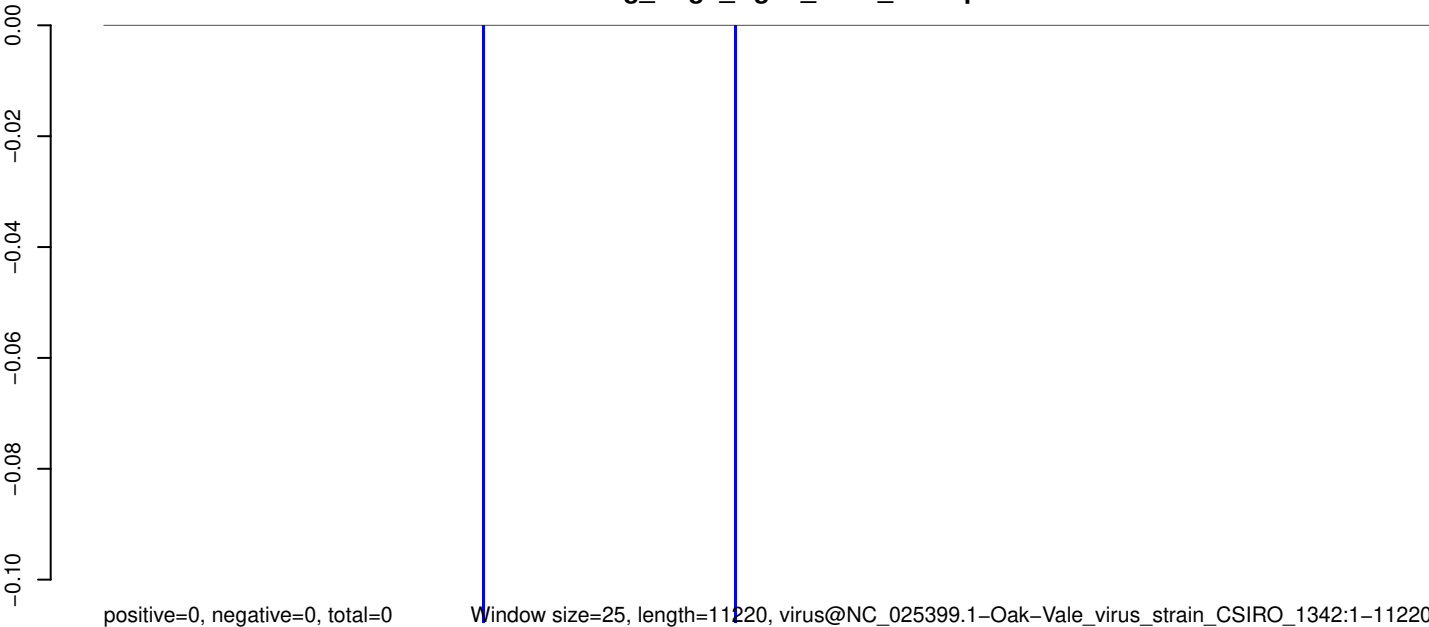
AeAeg_Aag2_Ago3_SINV_RA.18_23.rep



AeAeg_Aag2_Ago3_SINV_RA.24_35.rep

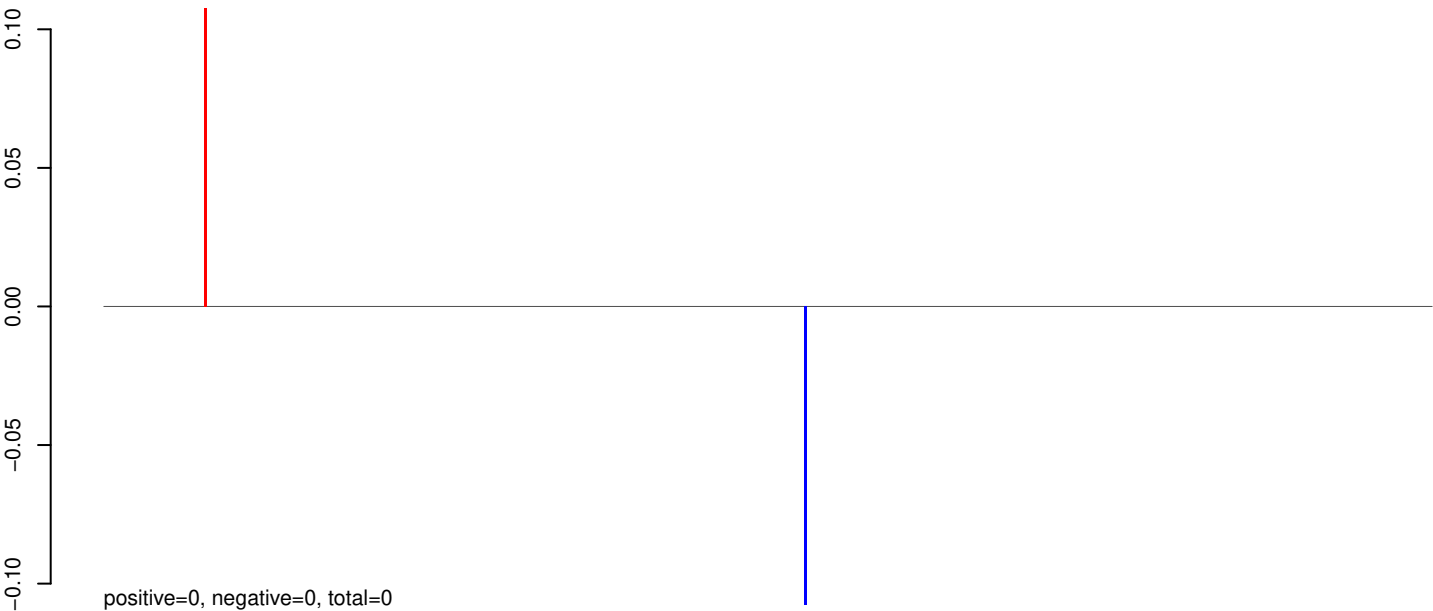


AeAeg_Aag2_Ago3_SINV_RA.rep

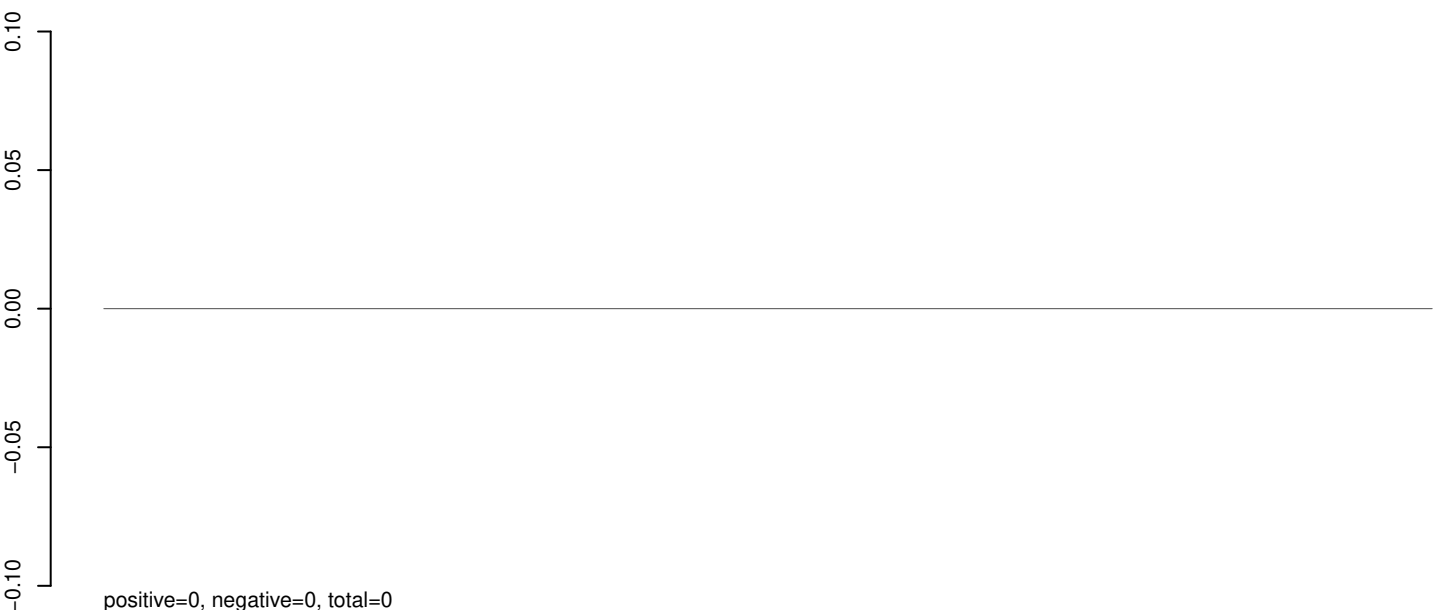


0 2000 4000 6000 8000 10000

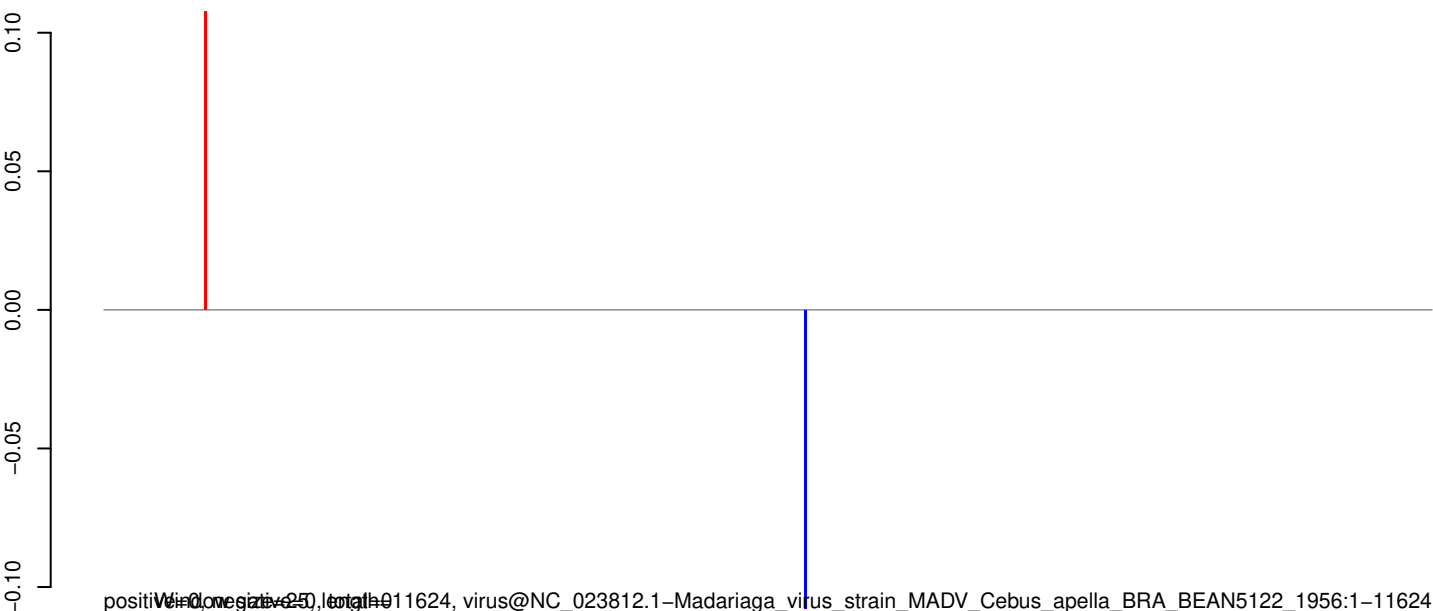
AeAeg_Aag2_Ago3_SINV_RA.18_23.rep



AeAeg_Aag2_Ago3_SINV_RA.24_35.rep

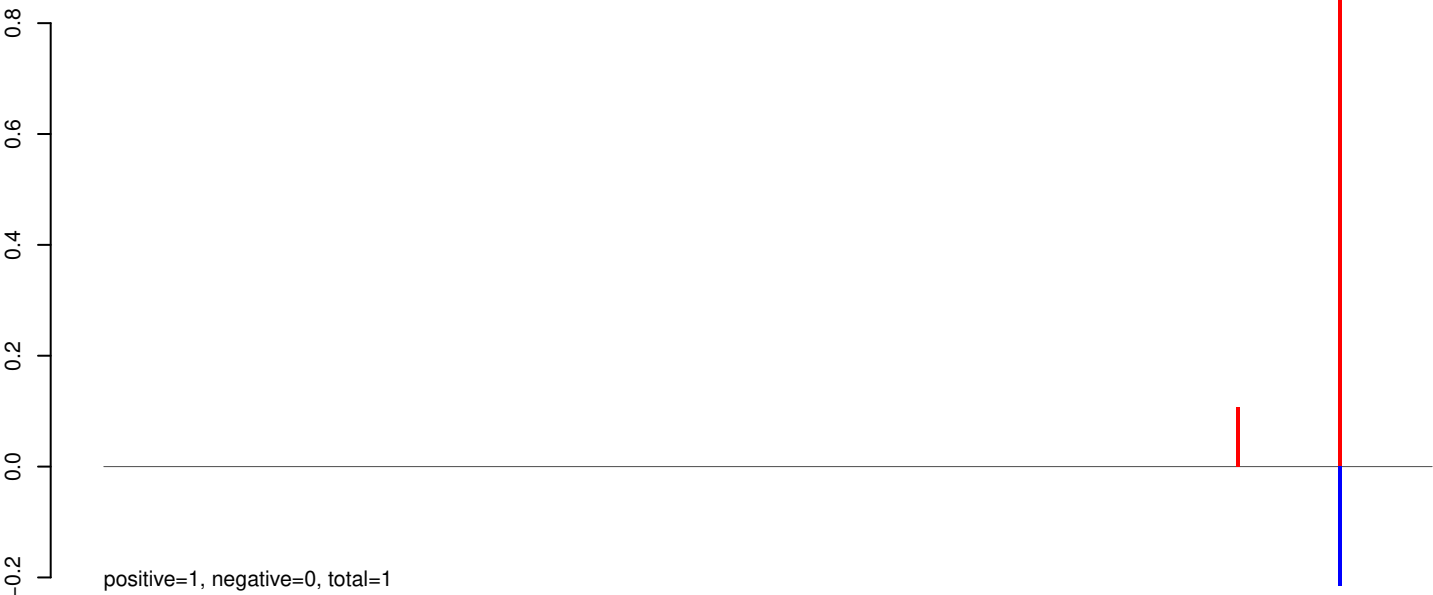


AeAeg_Aag2_Ago3_SINV_RA.rep

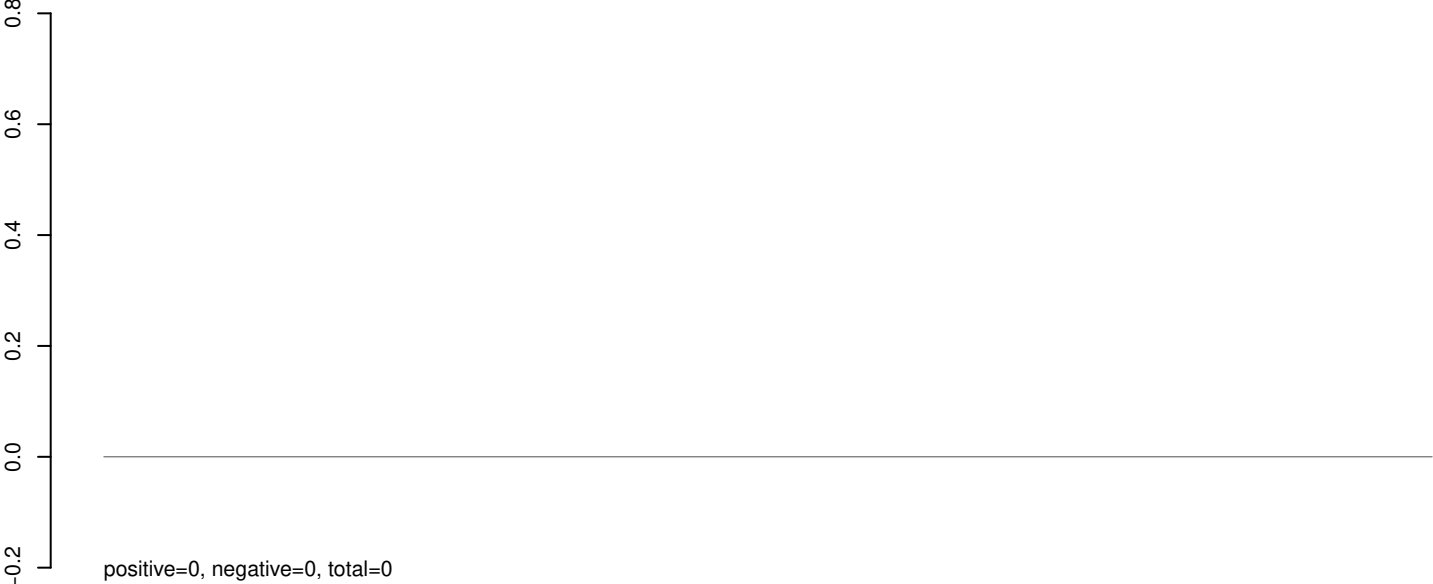


0 2000 4000 6000 8000 10000 12000

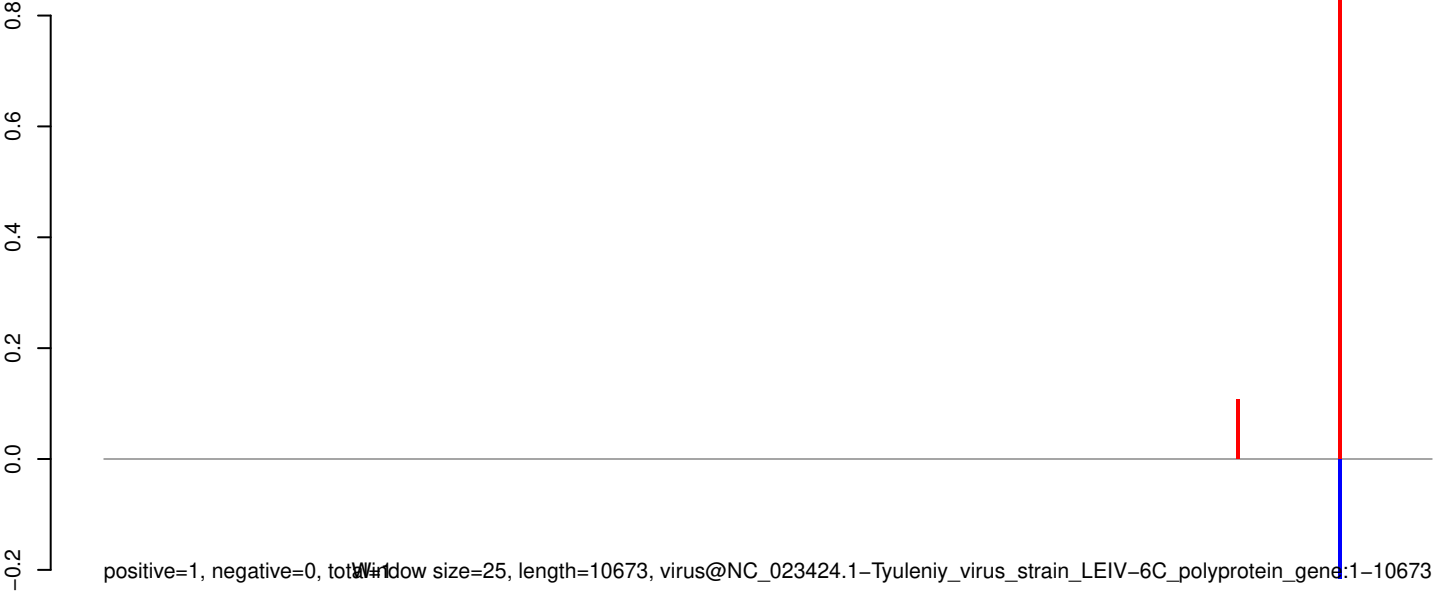
AeAeg_Aag2_Ago3_SINV_RA.18_23.rep



AeAeg_Aag2_Ago3_SINV_RA.24_35.rep

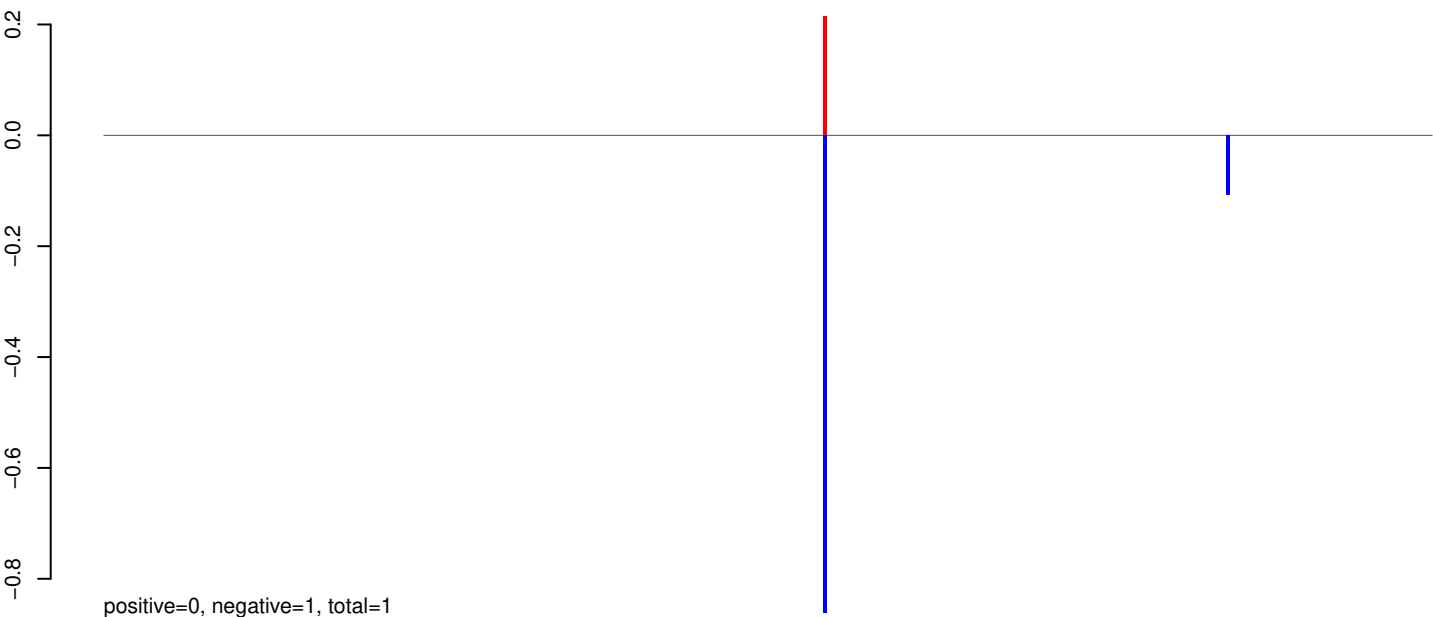


AeAeg_Aag2_Ago3_SINV_RA.rep

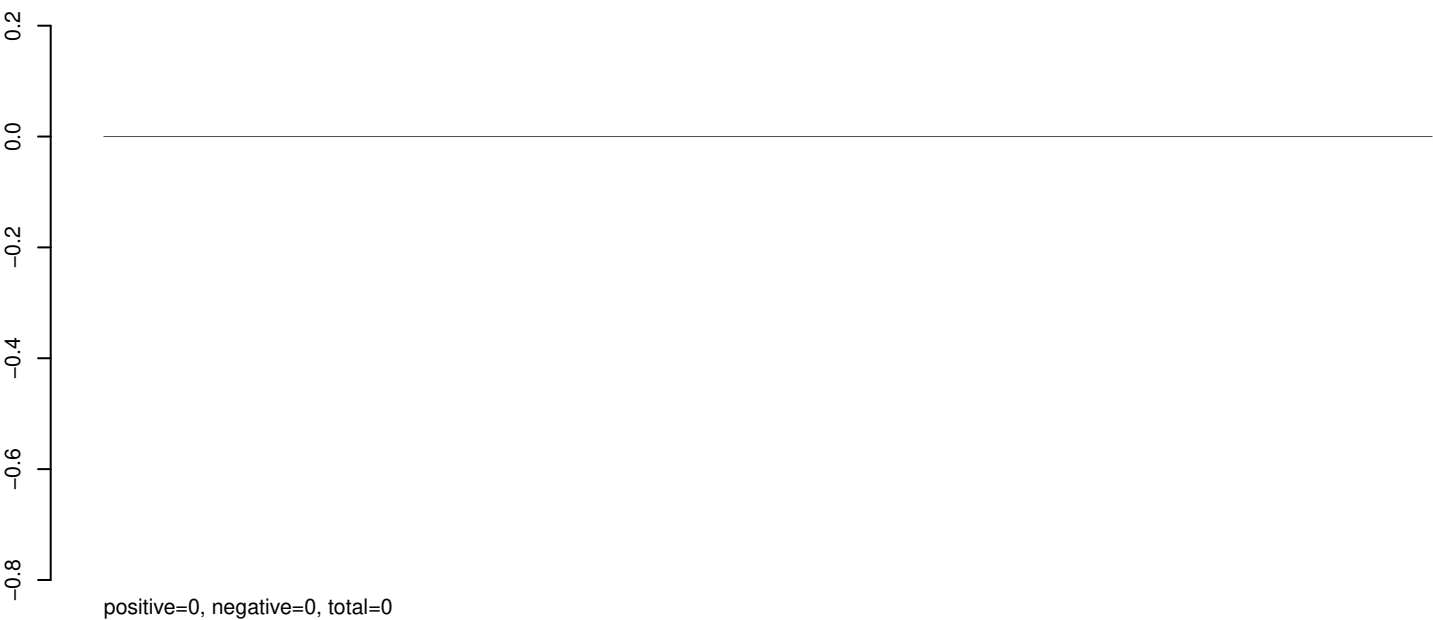


0 2000 4000 6000 8000 10000

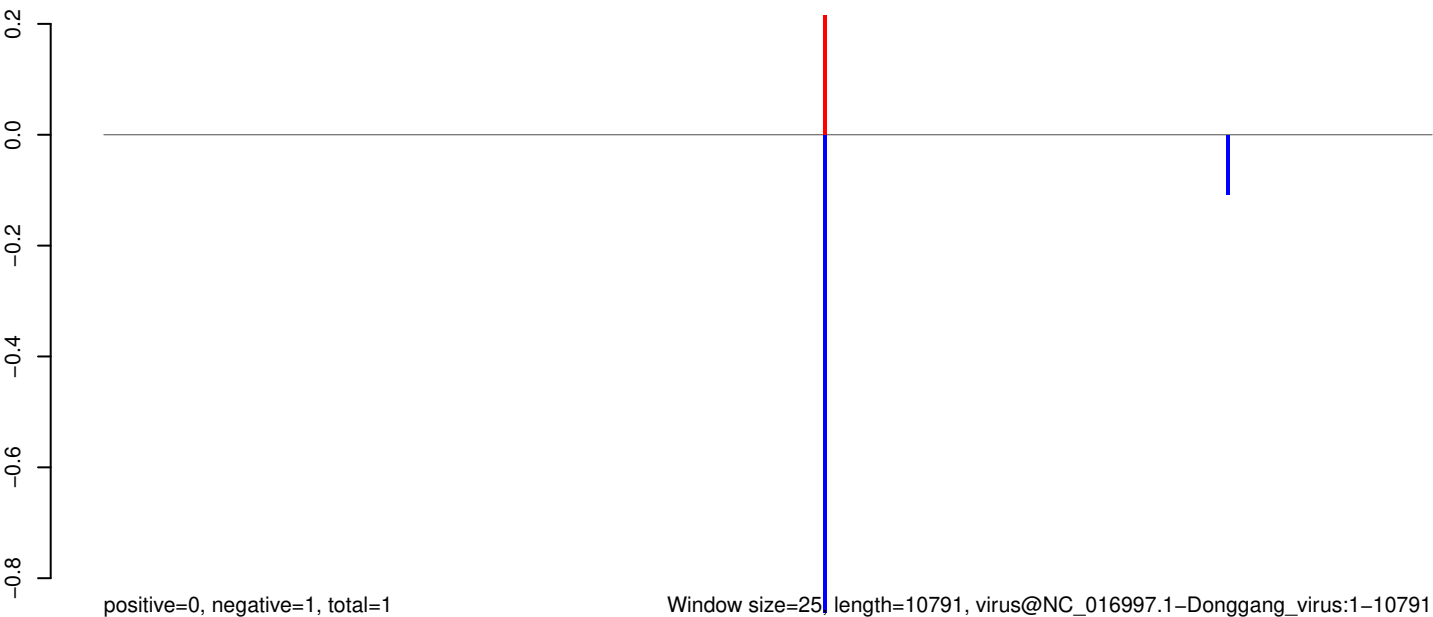
AeAeg_Aag2_Ago3_SINV_RA.18_23.rep



AeAeg_Aag2_Ago3_SINV_RA.24_35.rep

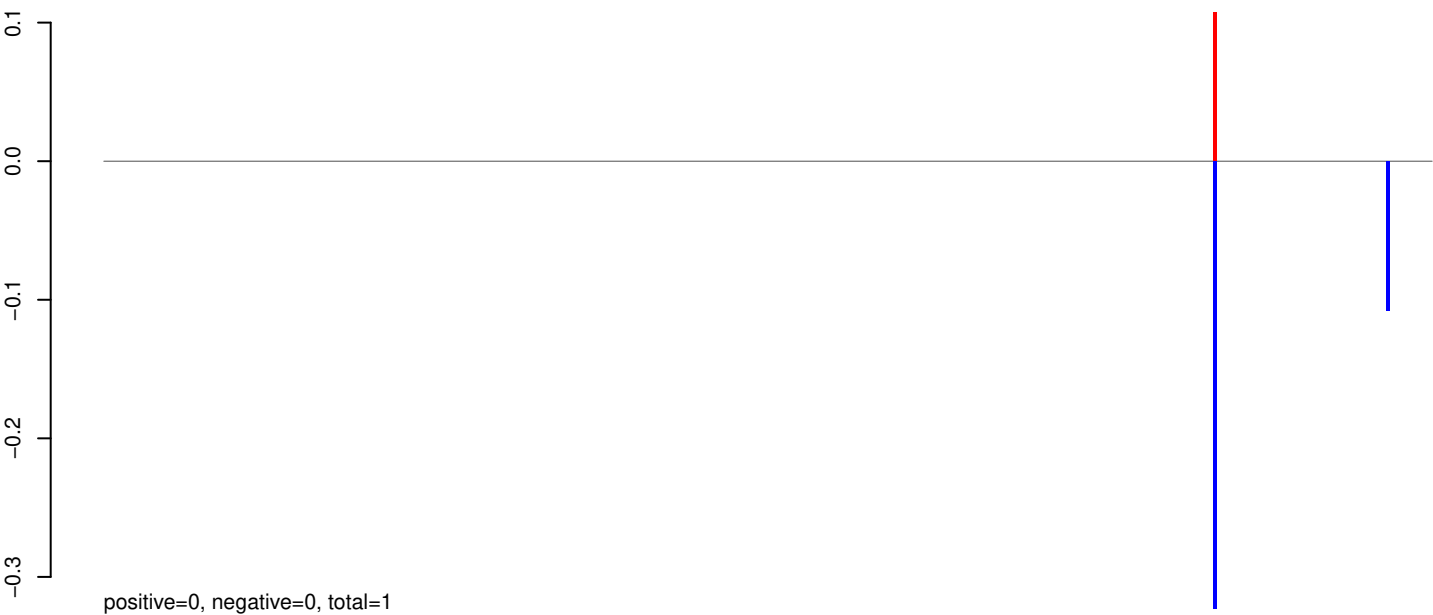


AeAeg_Aag2_Ago3_SINV_RA.rep

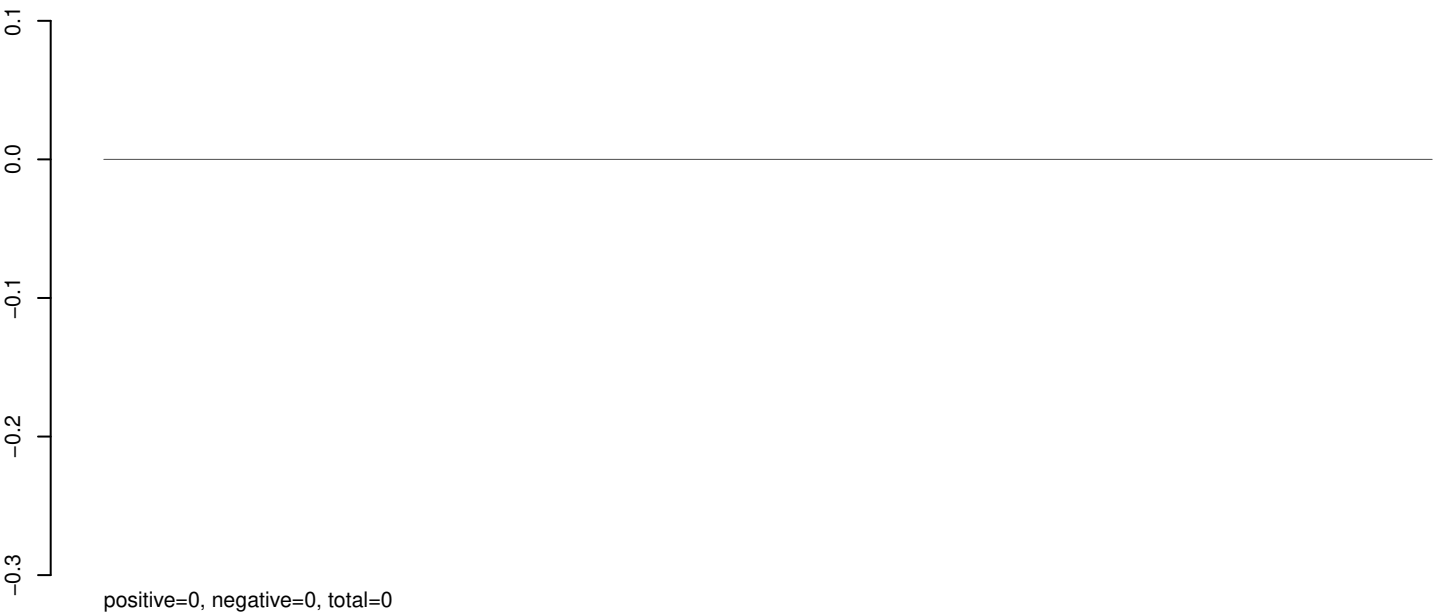


0 2000 4000 6000 8000 10000

AeAeg_Aag2_Ago3_SINV_RA.18_23.rep



AeAeg_Aag2_Ago3_SINV_RA.24_35.rep



AeAeg_Aag2_Ago3_SINV_RA.rep



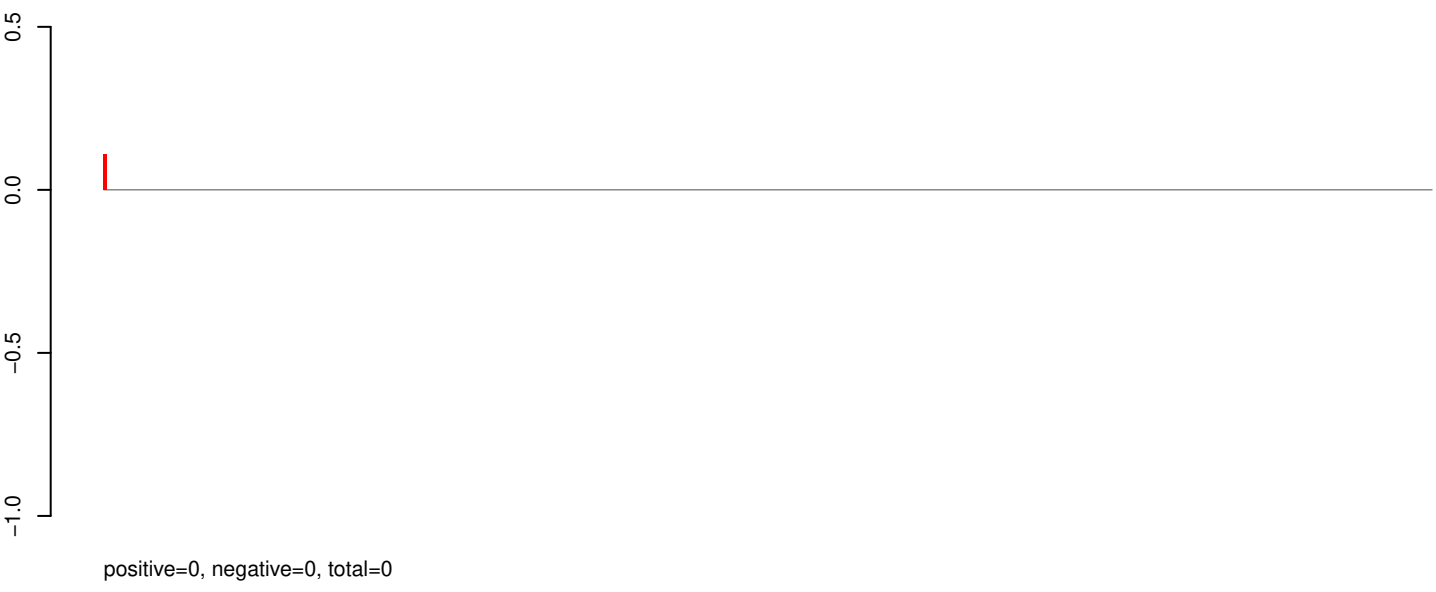
Window size=25, length=10793, virus@NC_008719.1-Sepik_virus:1-10793

0 2000 4000 6000 8000 10000

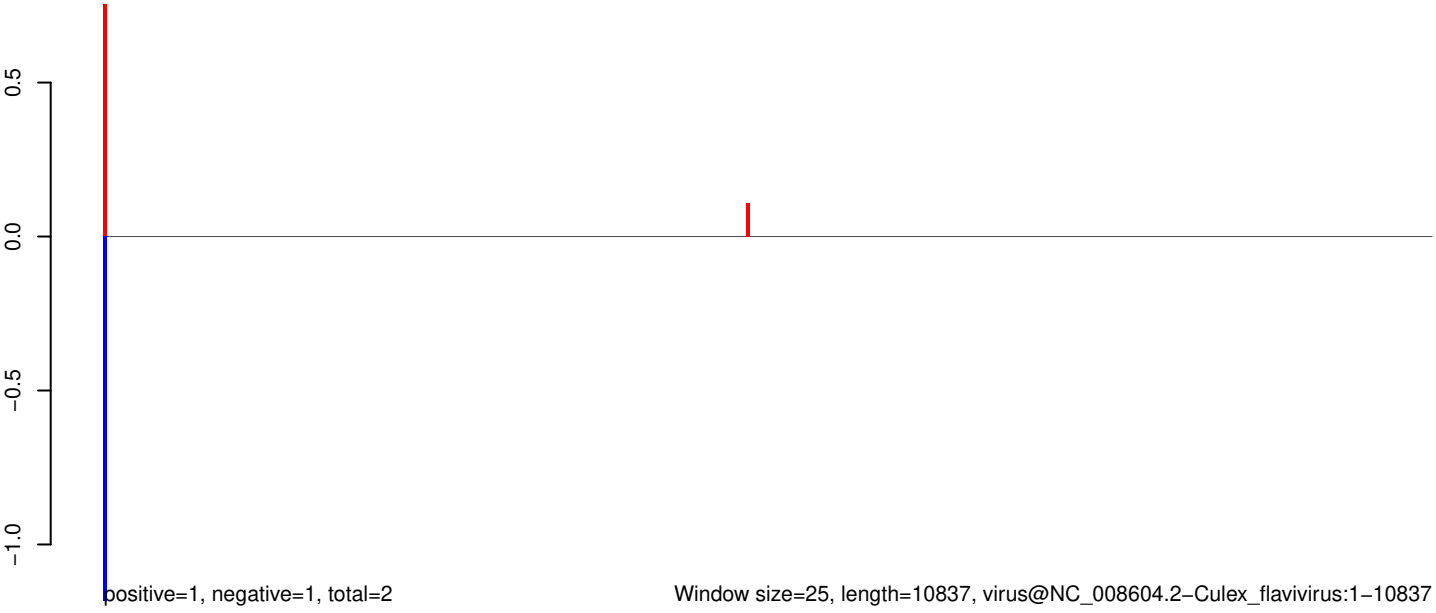
AeAeg_Aag2_Ago3_SINV_RA.18_23.rep



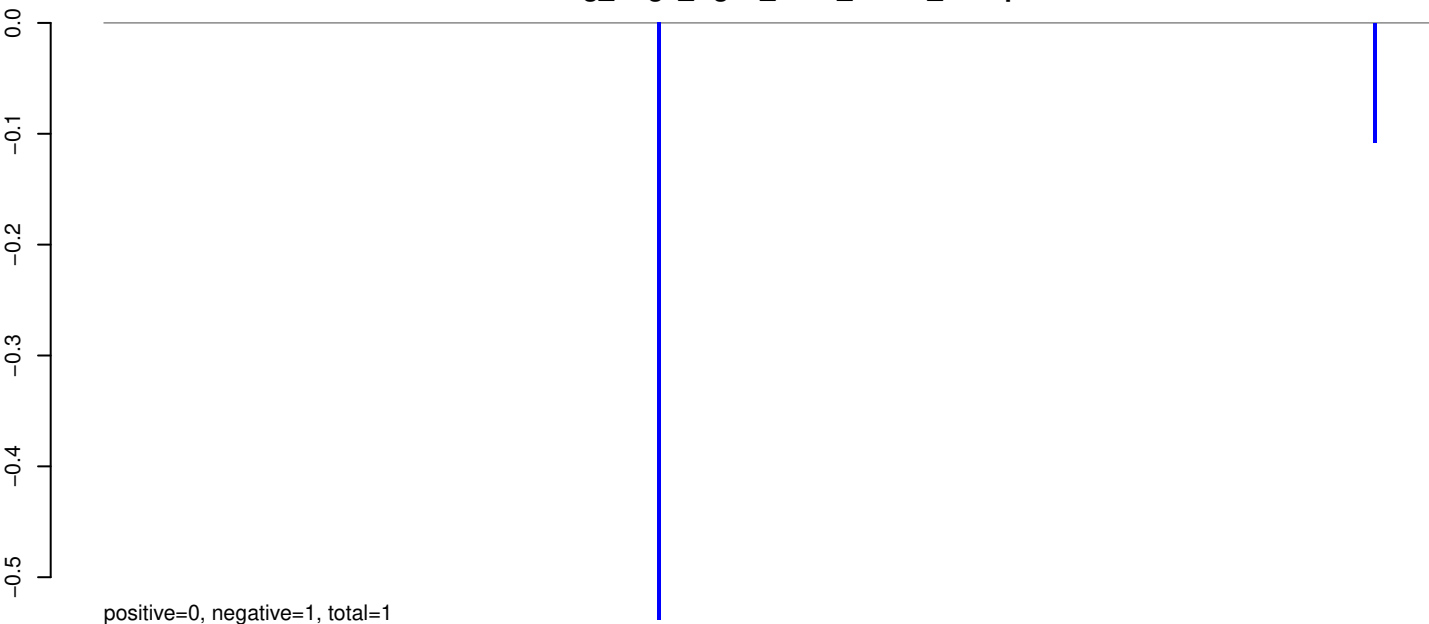
AeAeg_Aag2_Ago3_SINV_RA.24_35.rep



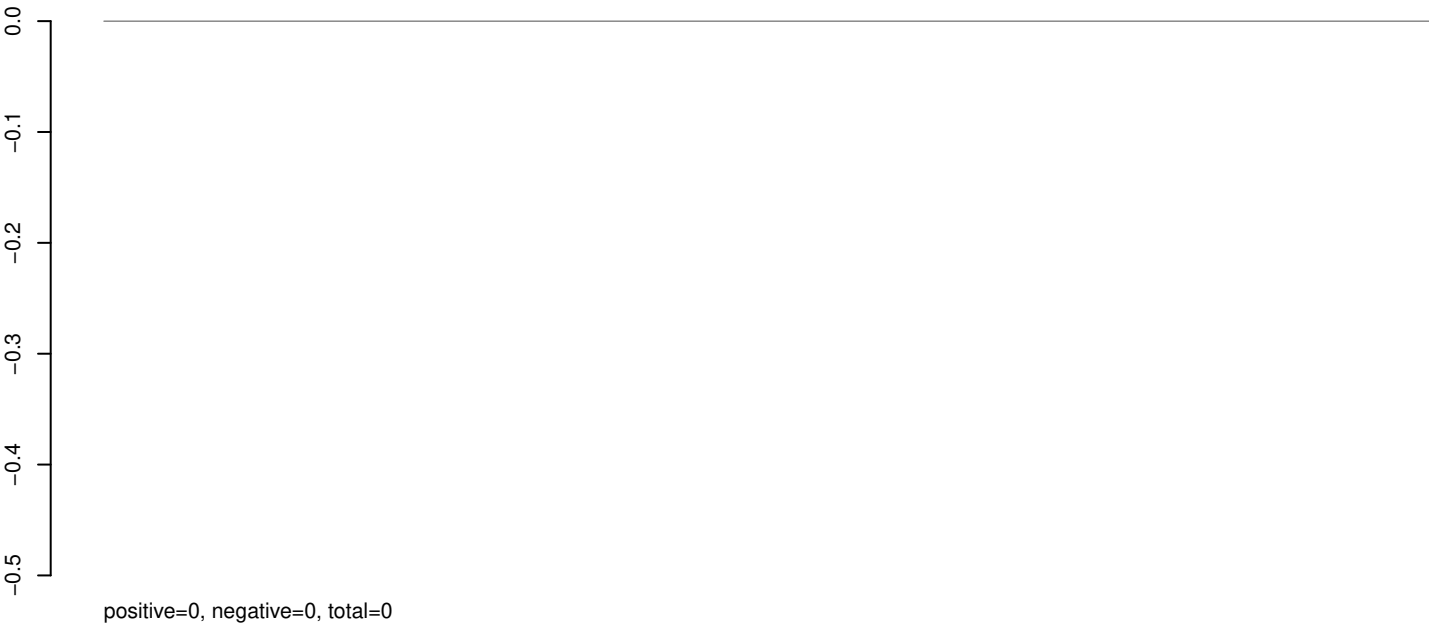
AeAeg_Aag2_Ago3_SINV_RA.rep



AeAeg_Aag2_Ago3_SINV_RA.18_23.rep



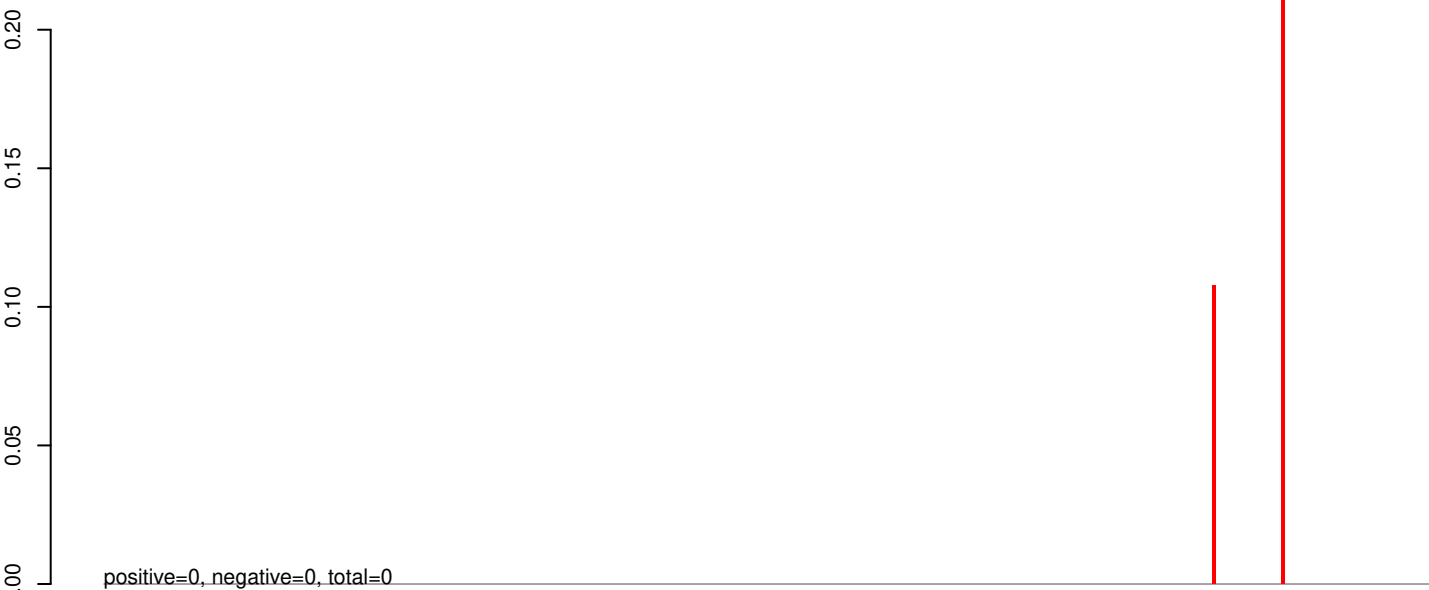
AeAeg_Aag2_Ago3_SINV_RA.24_35.rep



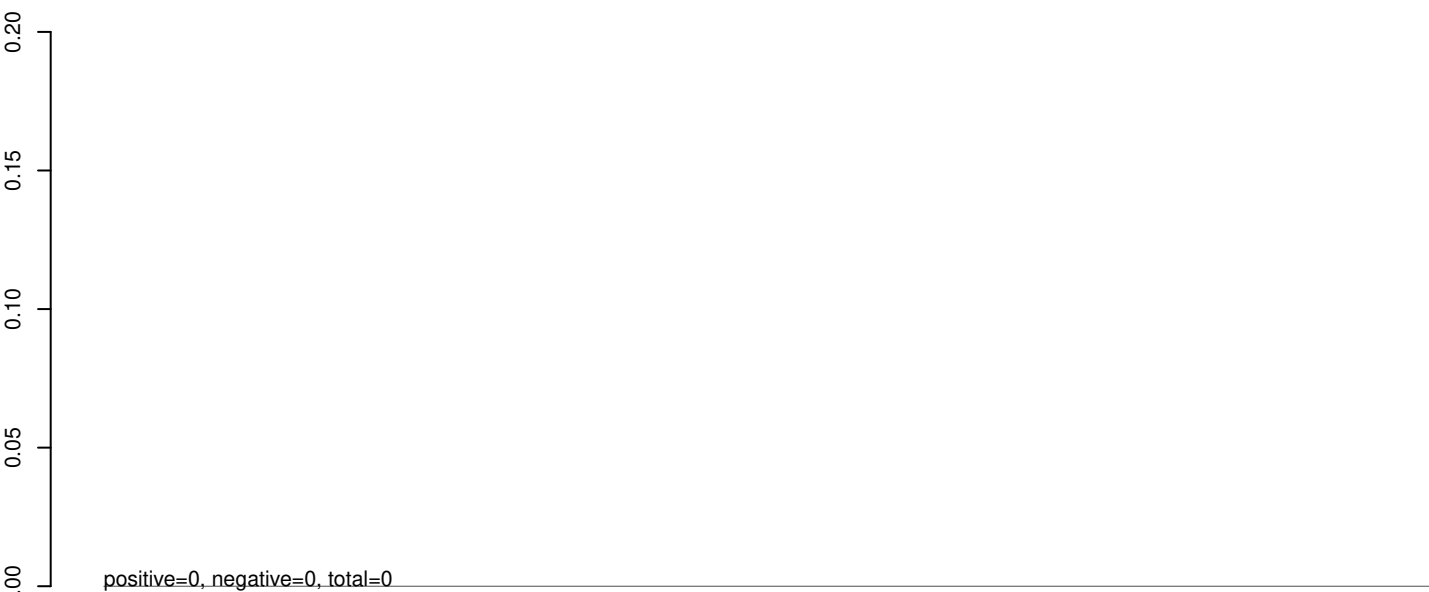
AeAeg_Aag2_Ago3_SINV_RA.rep



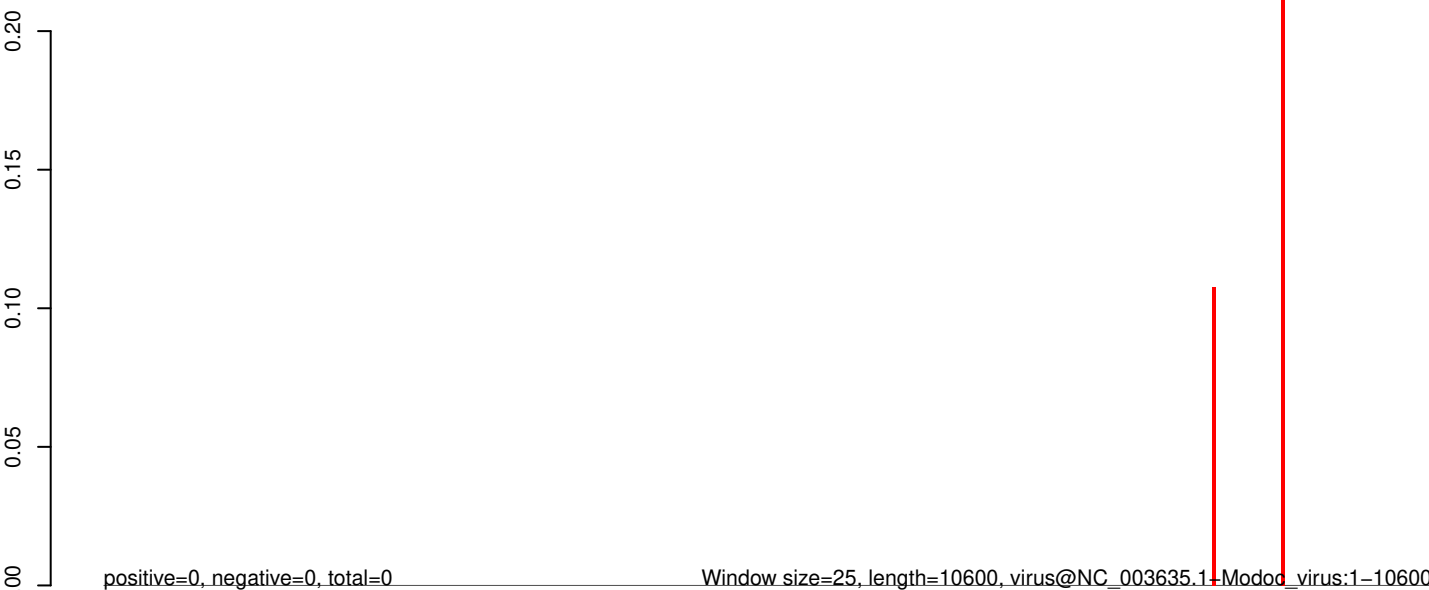
AeAeg_Aag2_Ago3_SINV_RA.18_23.rep



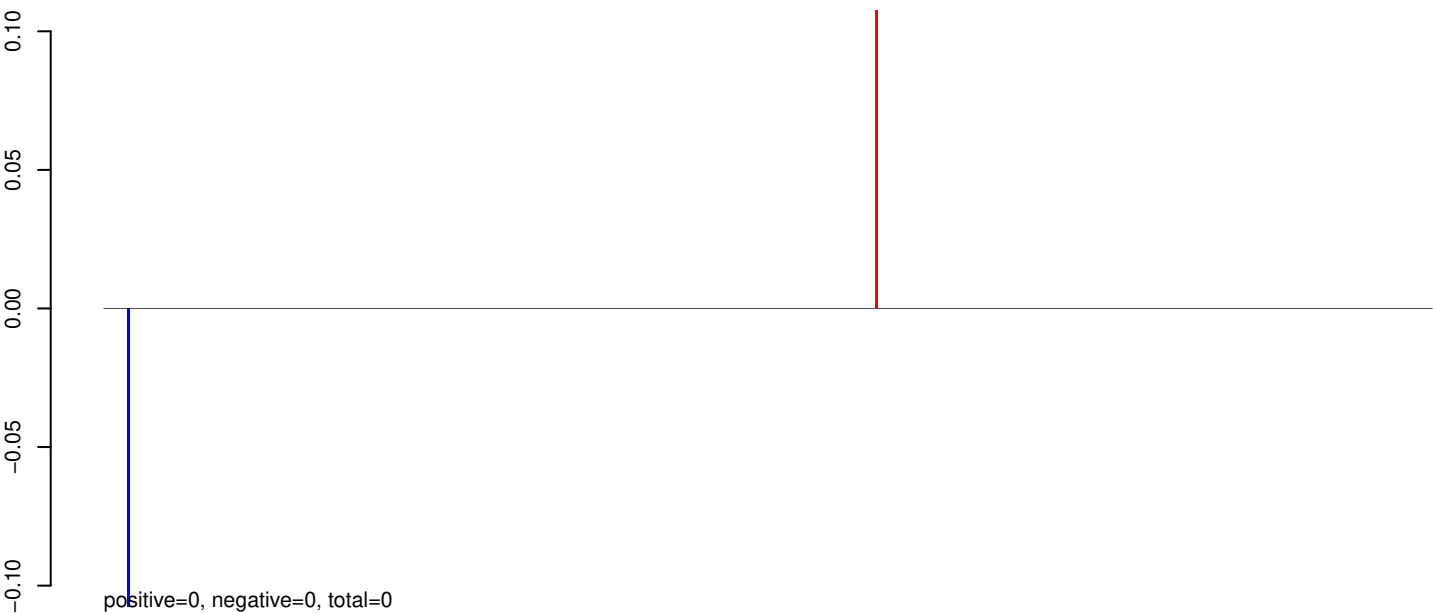
AeAeg_Aag2_Ago3_SINV_RA.24_35.rep



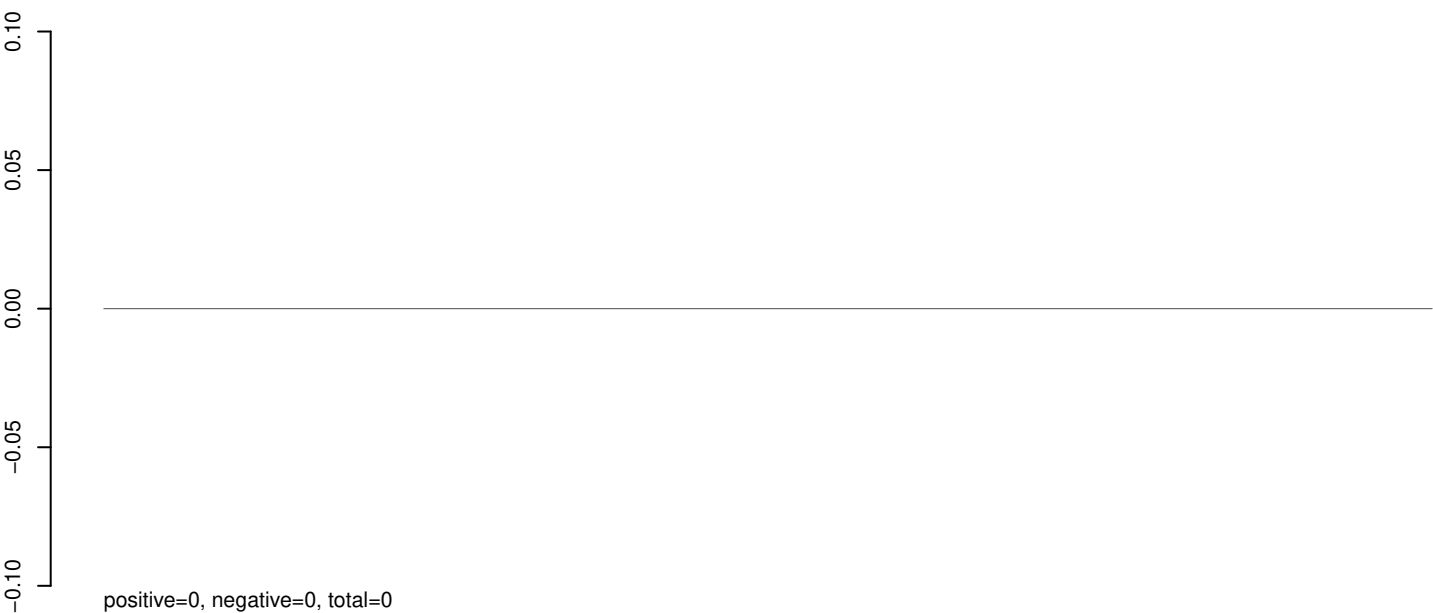
AeAeg_Aag2_Ago3_SINV_RA.rep



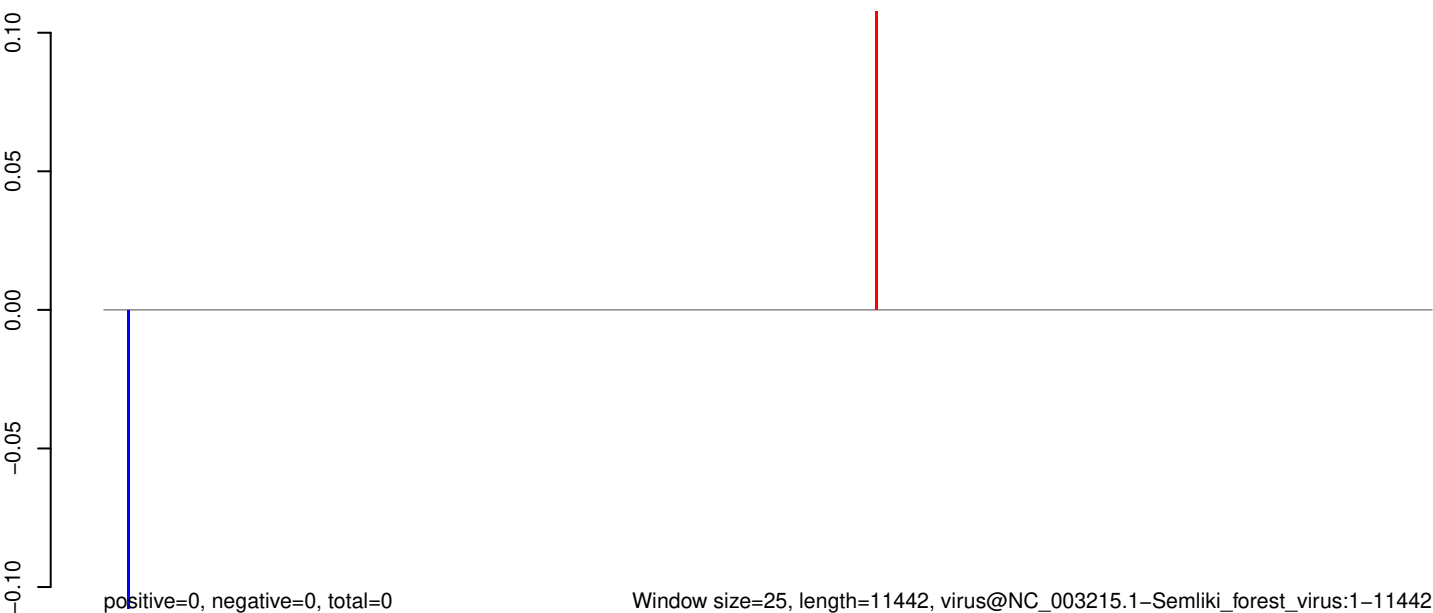
AeAeg_Aag2_Ago3_SINV_RA.18_23.rep



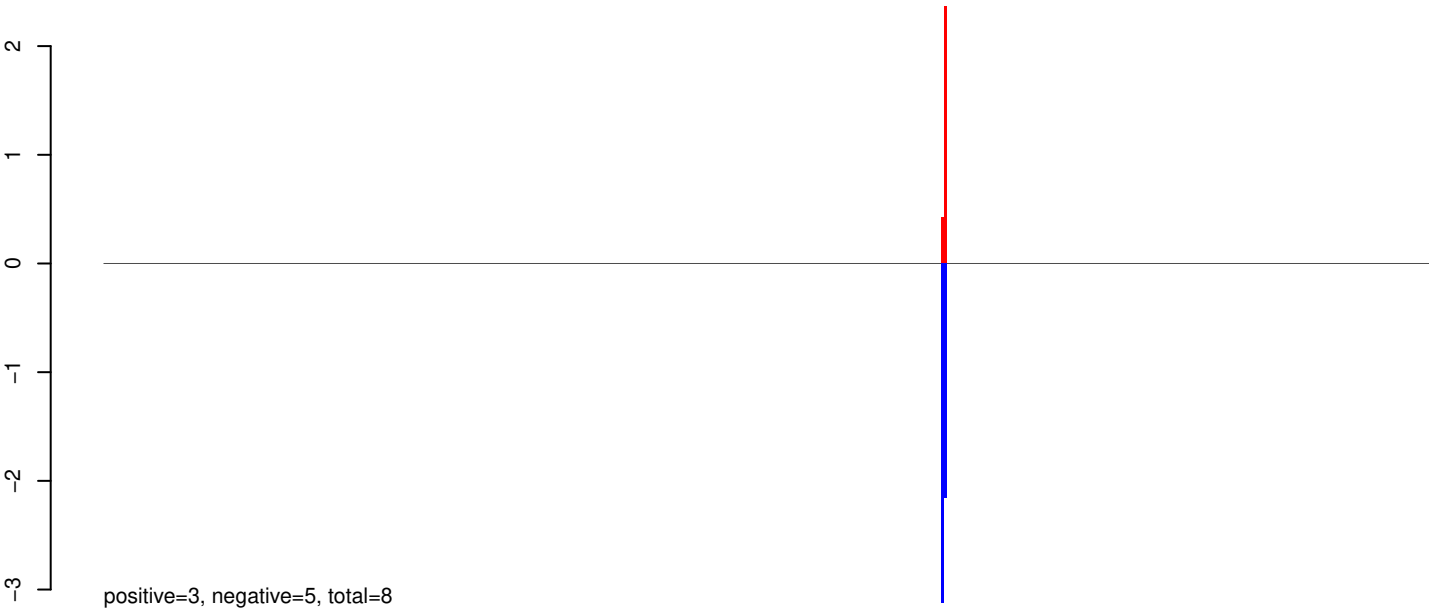
AeAeg_Aag2_Ago3_SINV_RA.24_35.rep



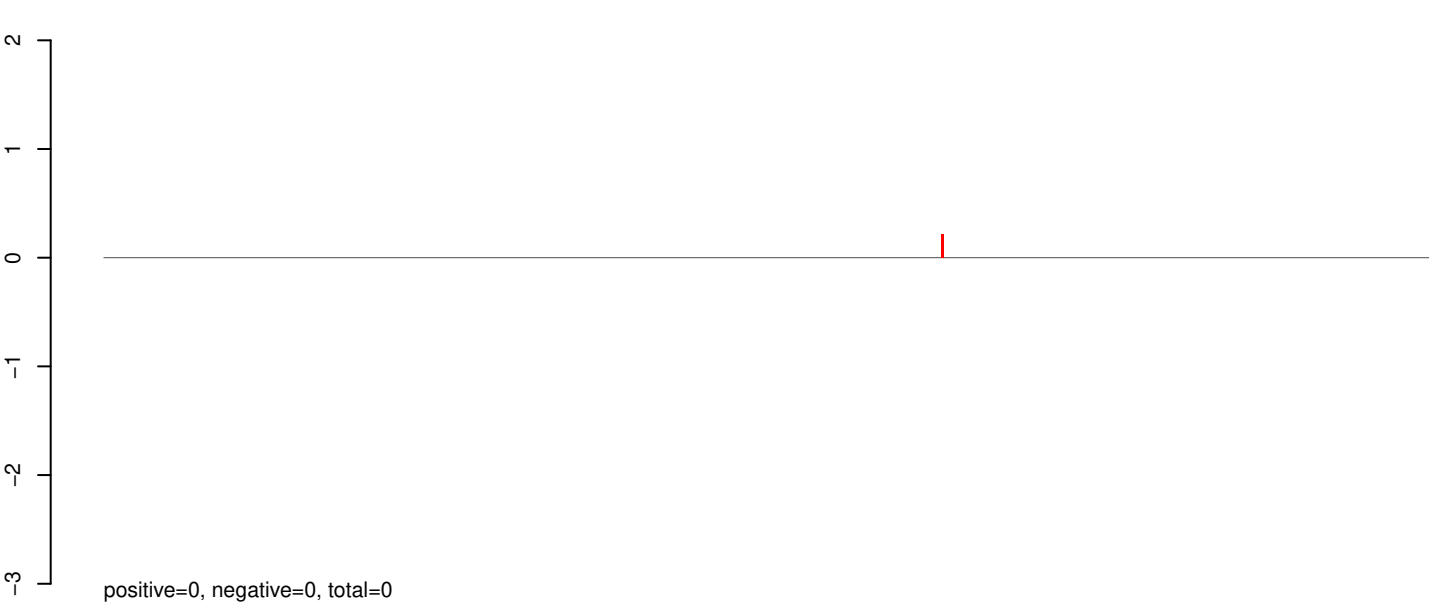
AeAeg_Aag2_Ago3_SINV_RA.rep



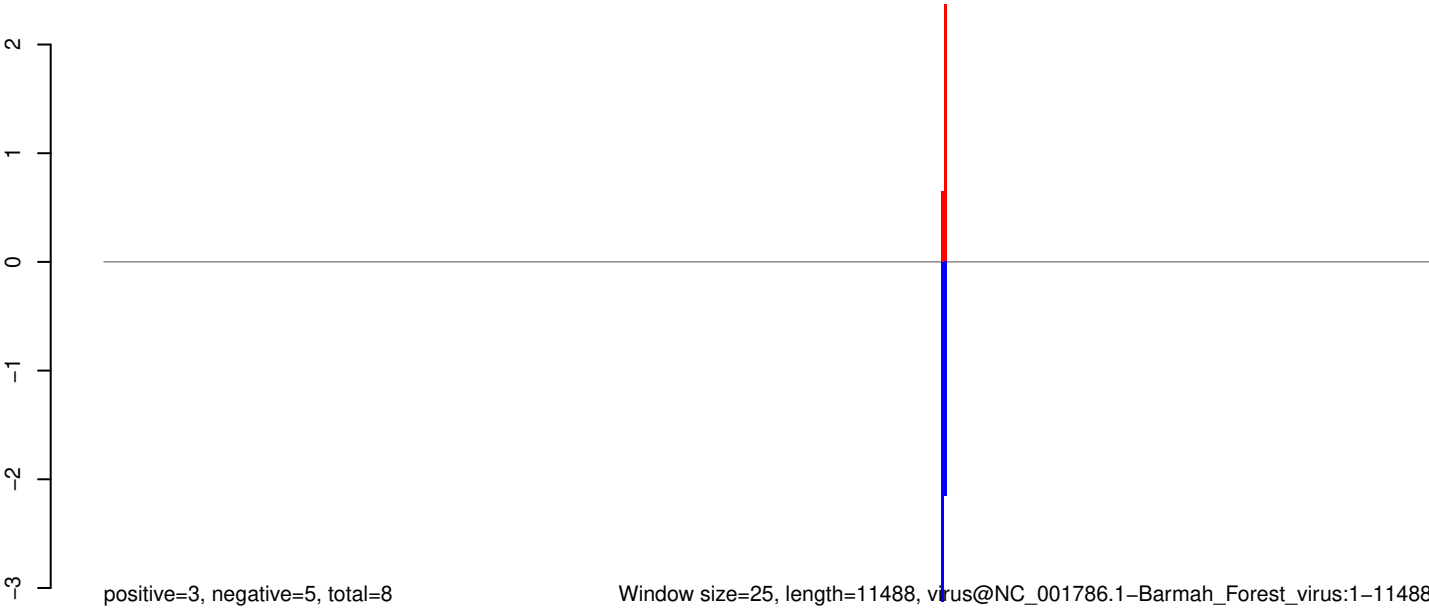
AeAeg_Aag2_Ago3_SINV_RA.18_23.rep



AeAeg_Aag2_Ago3_SINV_RA.24_35.rep



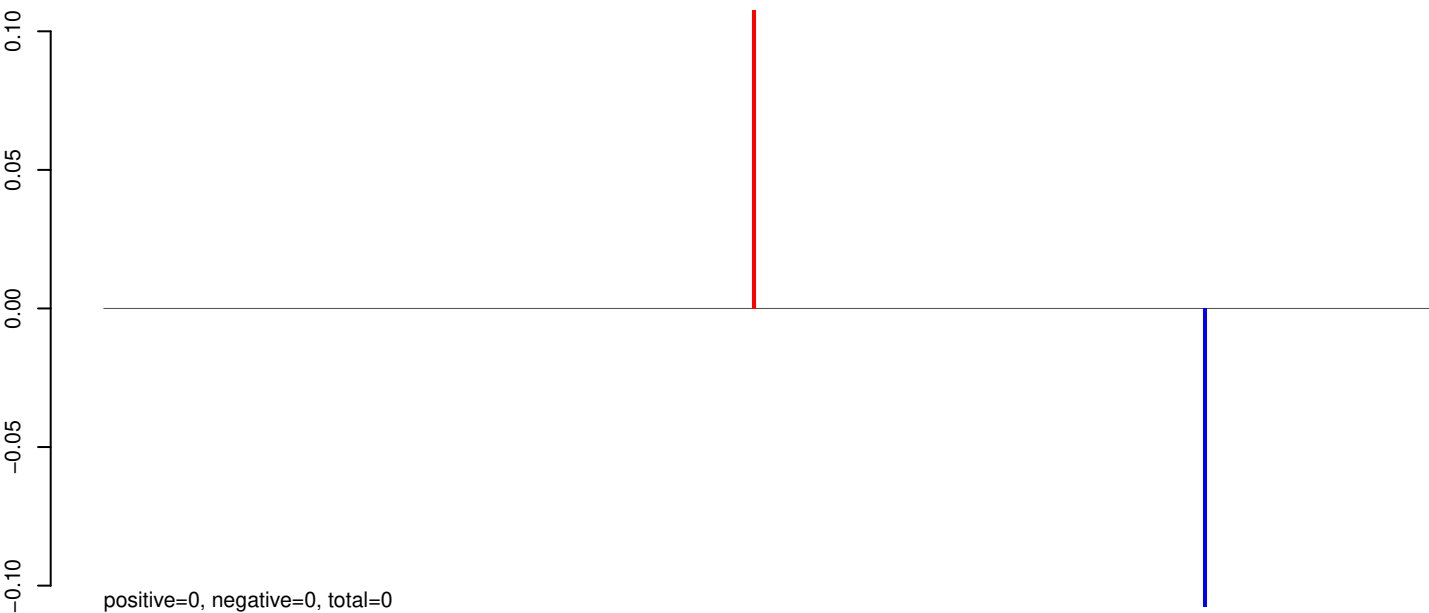
AeAeg_Aag2_Ago3_SINV_RA.rep



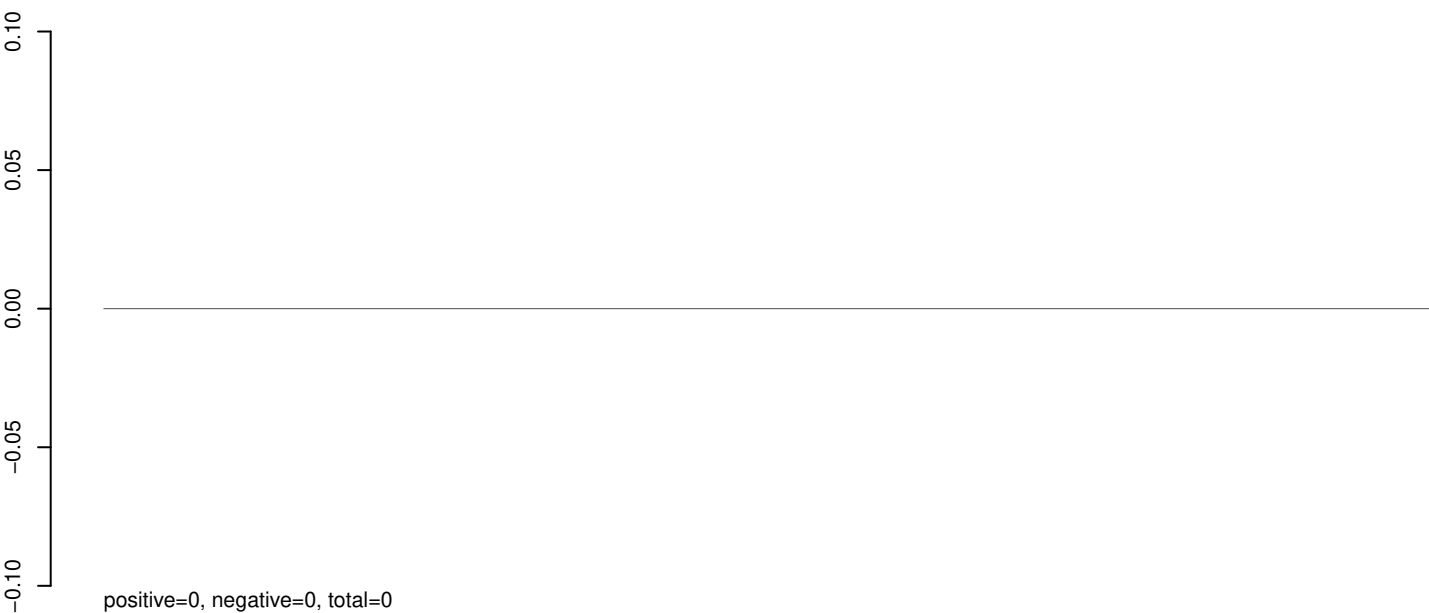
Window size=25, length=11488, virus@NC_001786.1-Barmah_Forest_virus:1-11488

0 2000 4000 6000 8000 10000

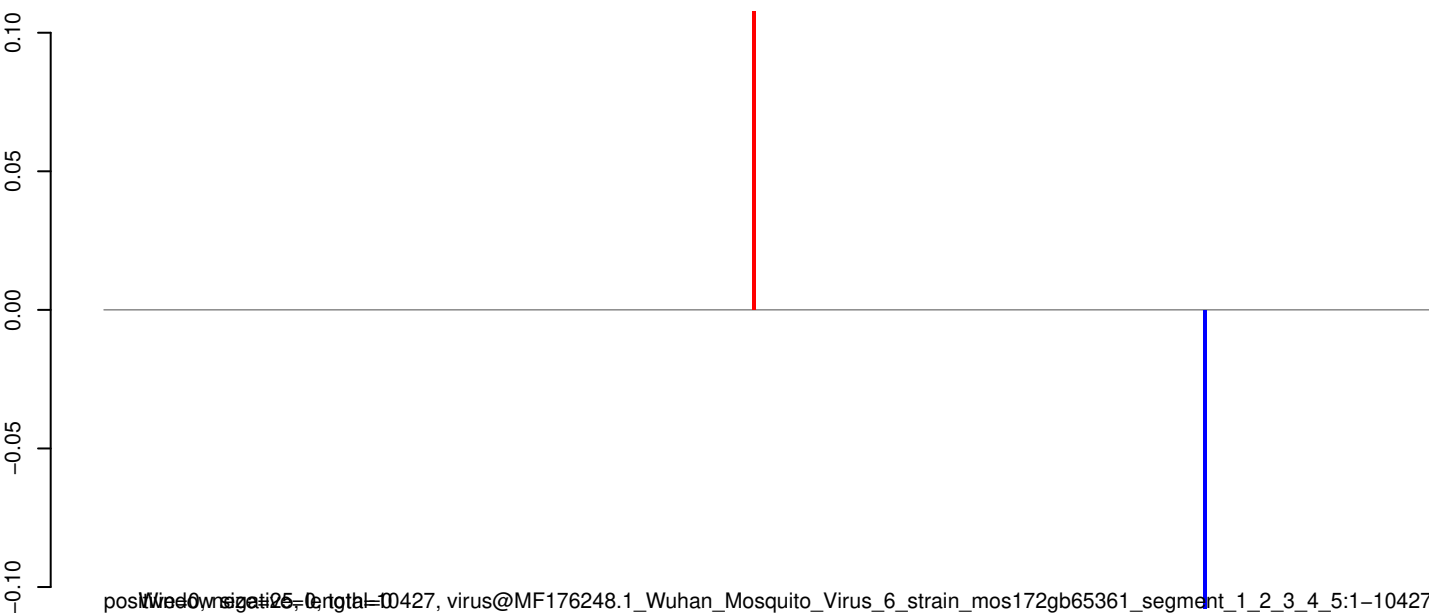
AeAeg_Aag2_Ago3_SINV_RA.18_23.rep



AeAeg_Aag2_Ago3_SINV_RA.24_35.rep

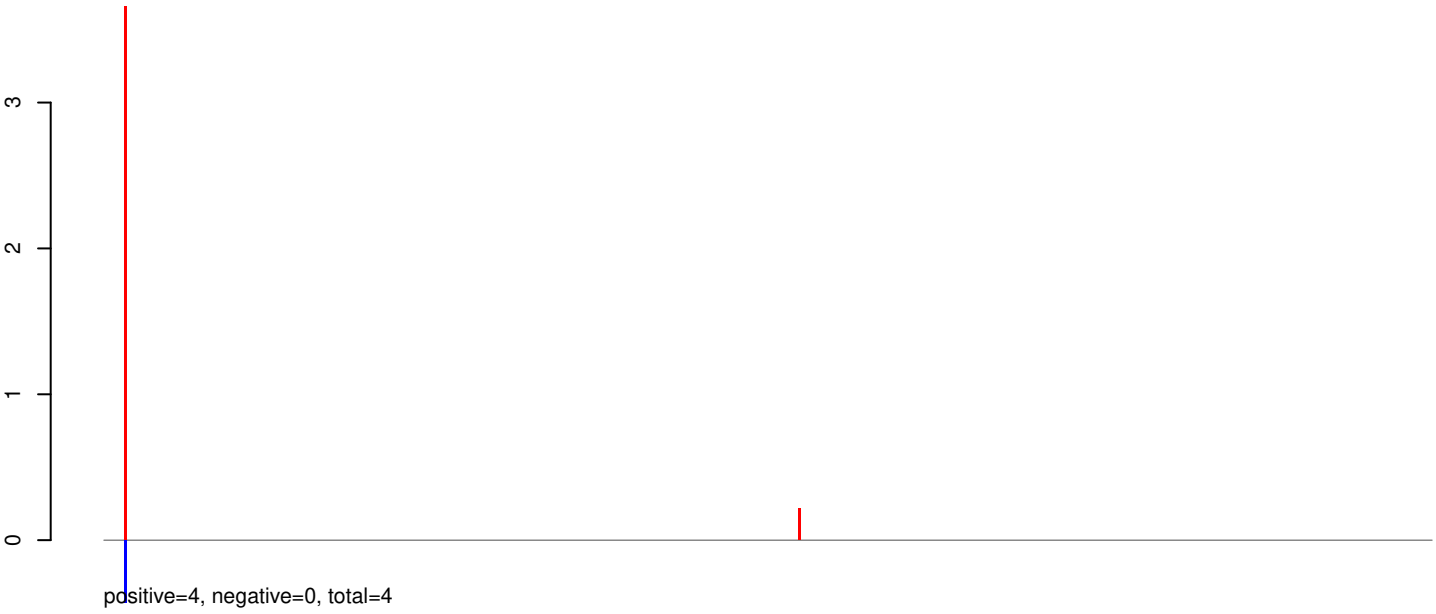


AeAeg_Aag2_Ago3_SINV_RA.rep

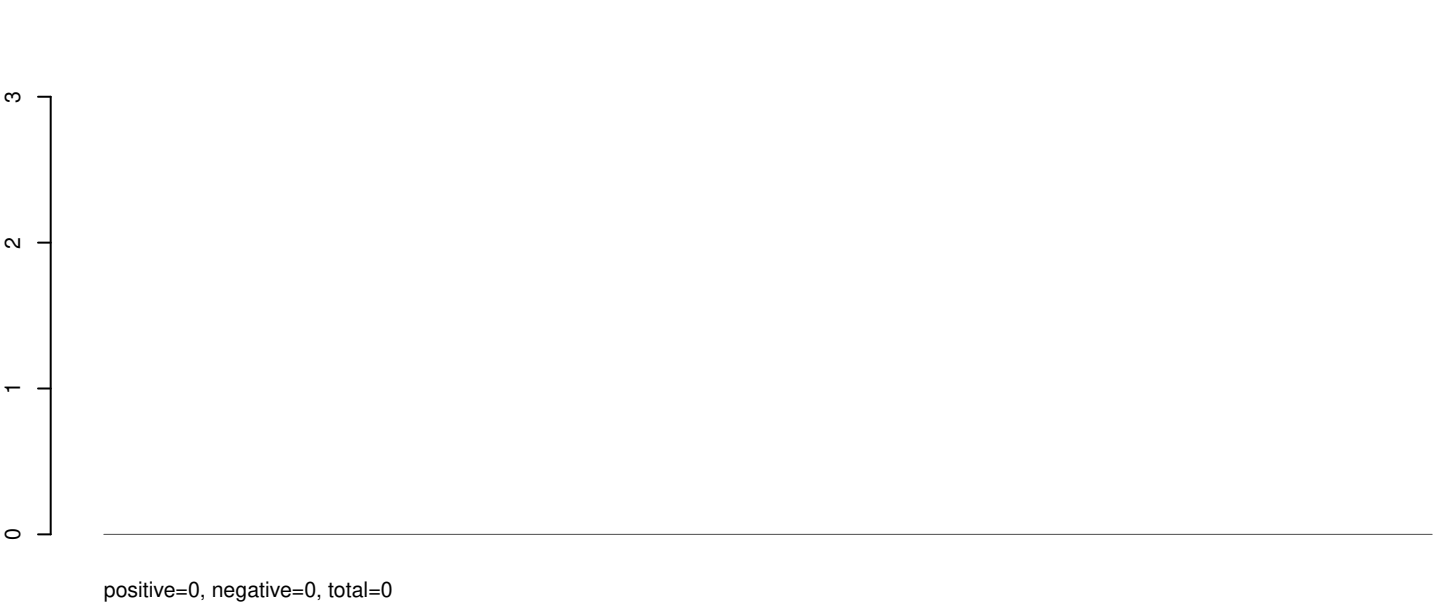


0 2000 4000 6000 8000 10000

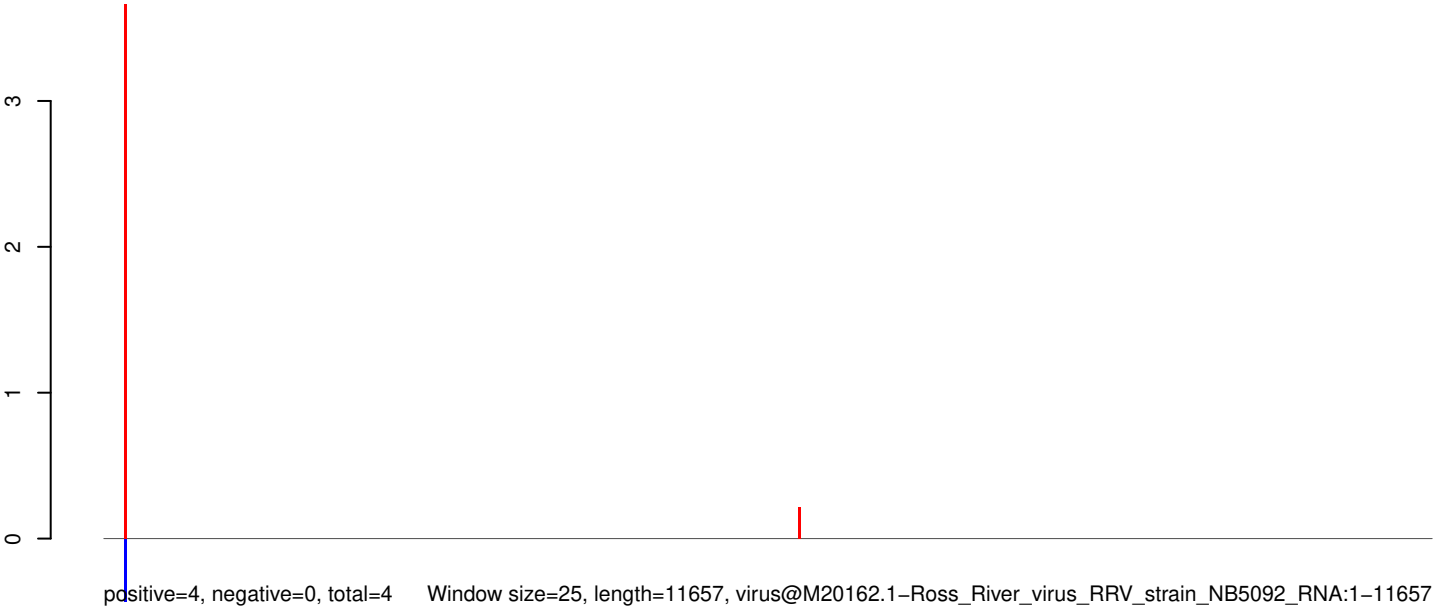
AeAeg_Aag2_Ago3_SINV_RA.18_23.rep



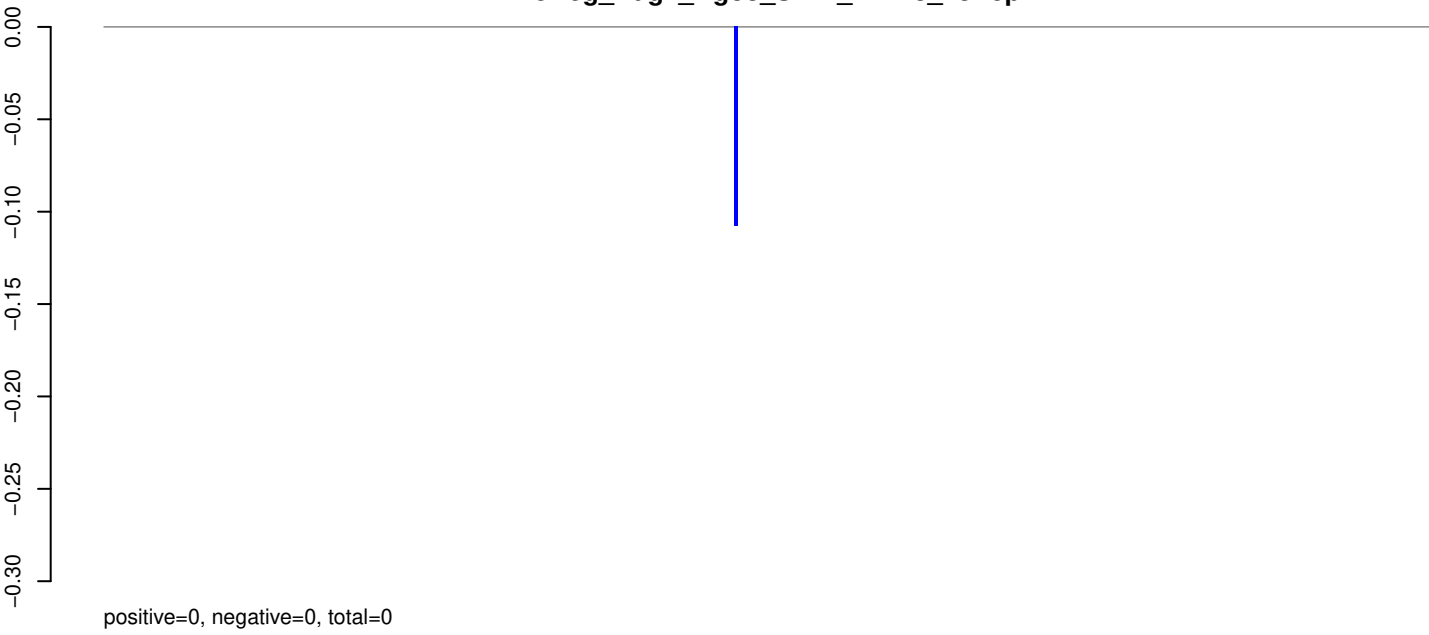
AeAeg_Aag2_Ago3_SINV_RA.24_35.rep



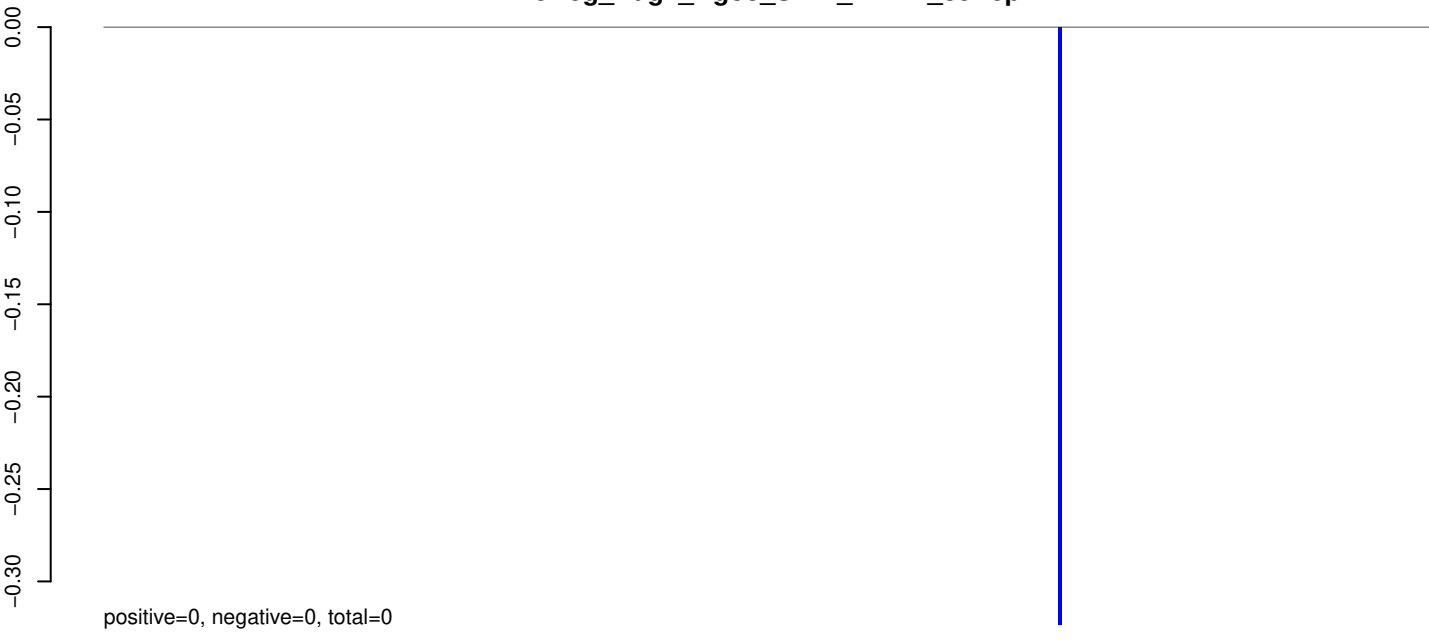
AeAeg_Aag2_Ago3_SINV_RA.rep



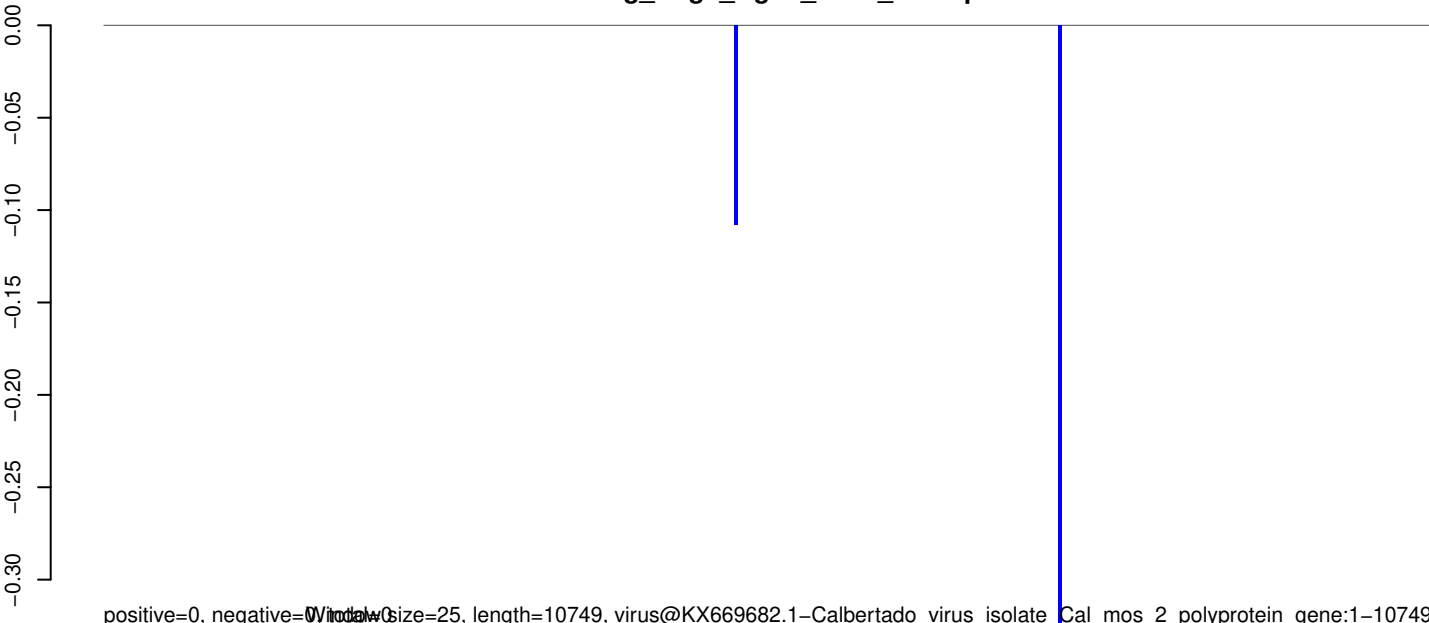
AeAeg_Aag2_Ago3_SINV_RA.18_23.rep



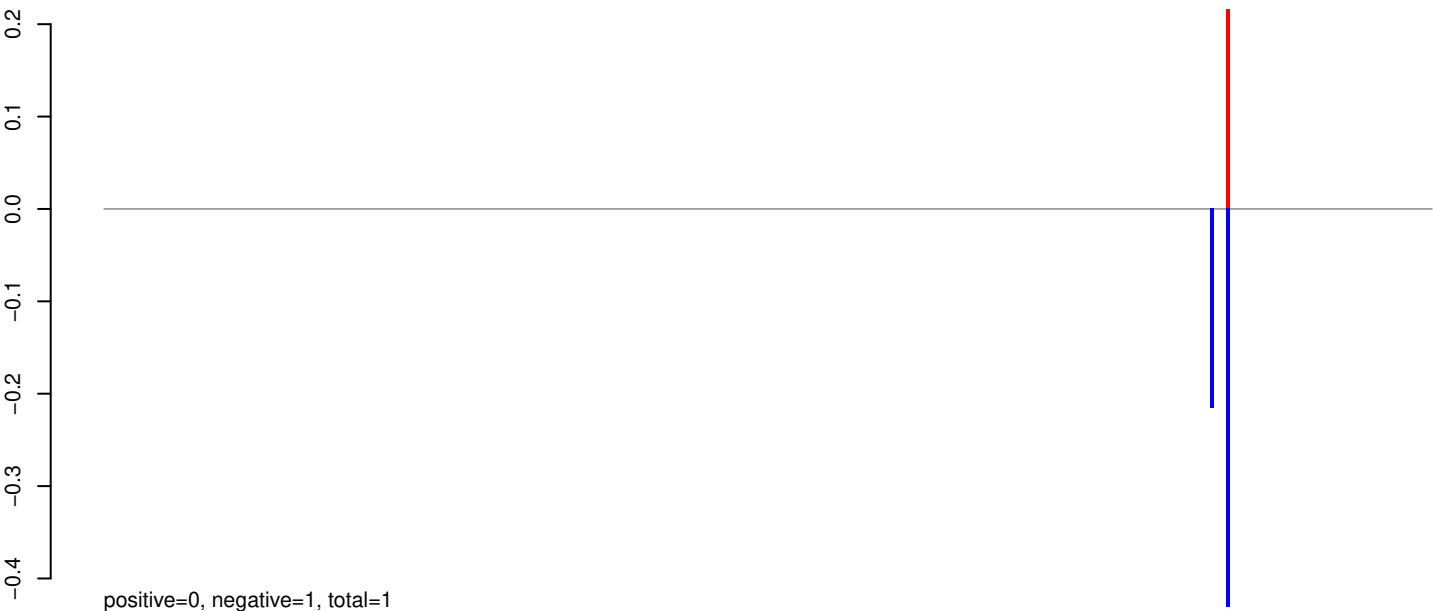
AeAeg_Aag2_Ago3_SINV_RA.24_35.rep



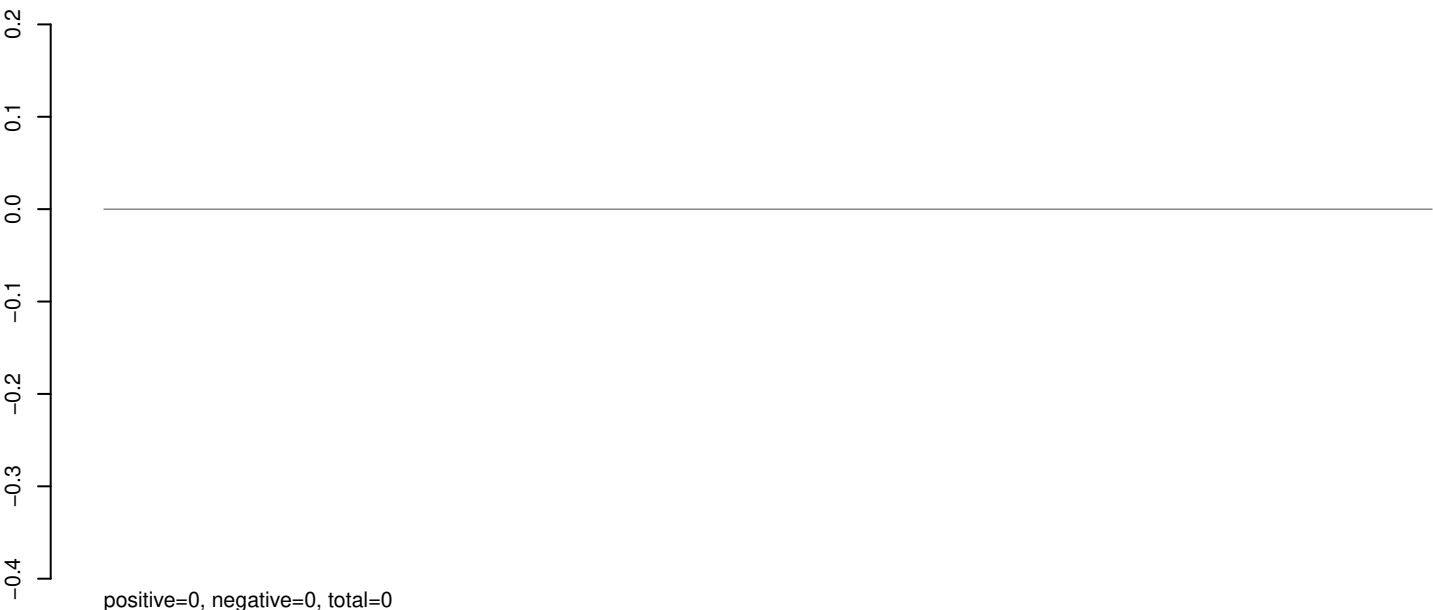
AeAeg_Aag2_Ago3_SINV_RA.rep



AeAeg_Aag2_Ago3_SINV_RA.18_23.rep



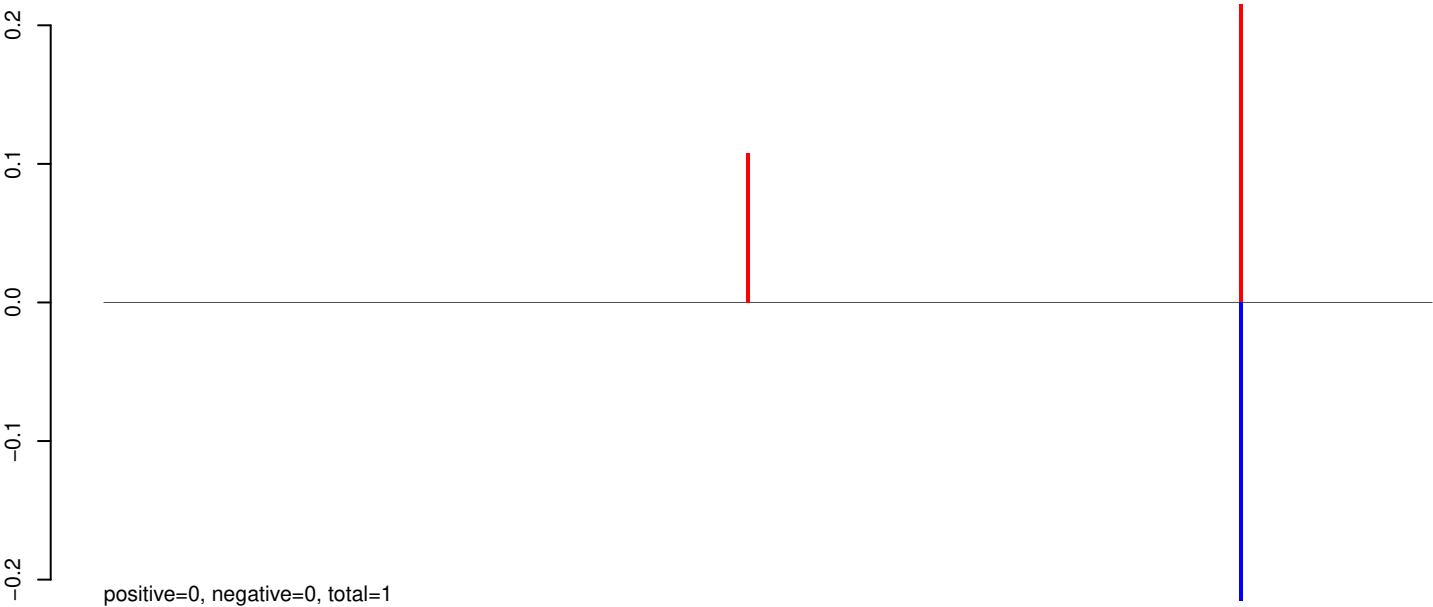
AeAeg_Aag2_Ago3_SINV_RA.24_35.rep



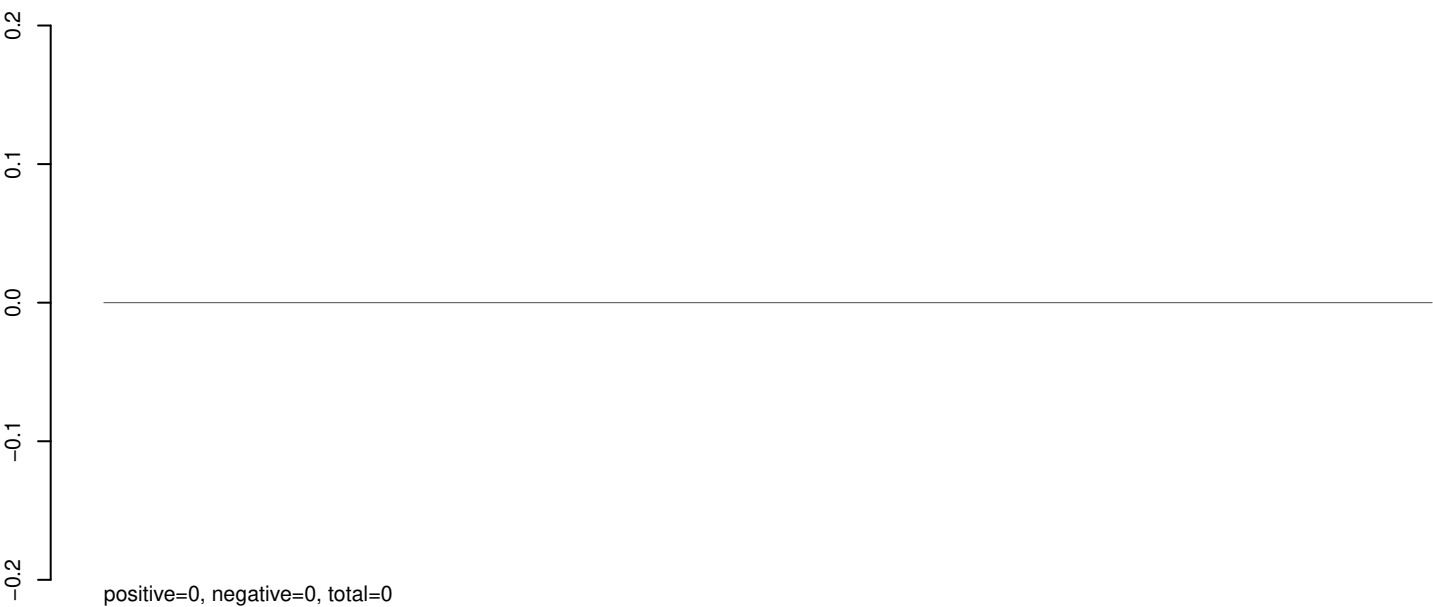
AeAeg_Aag2_Ago3_SINV_RA.rep



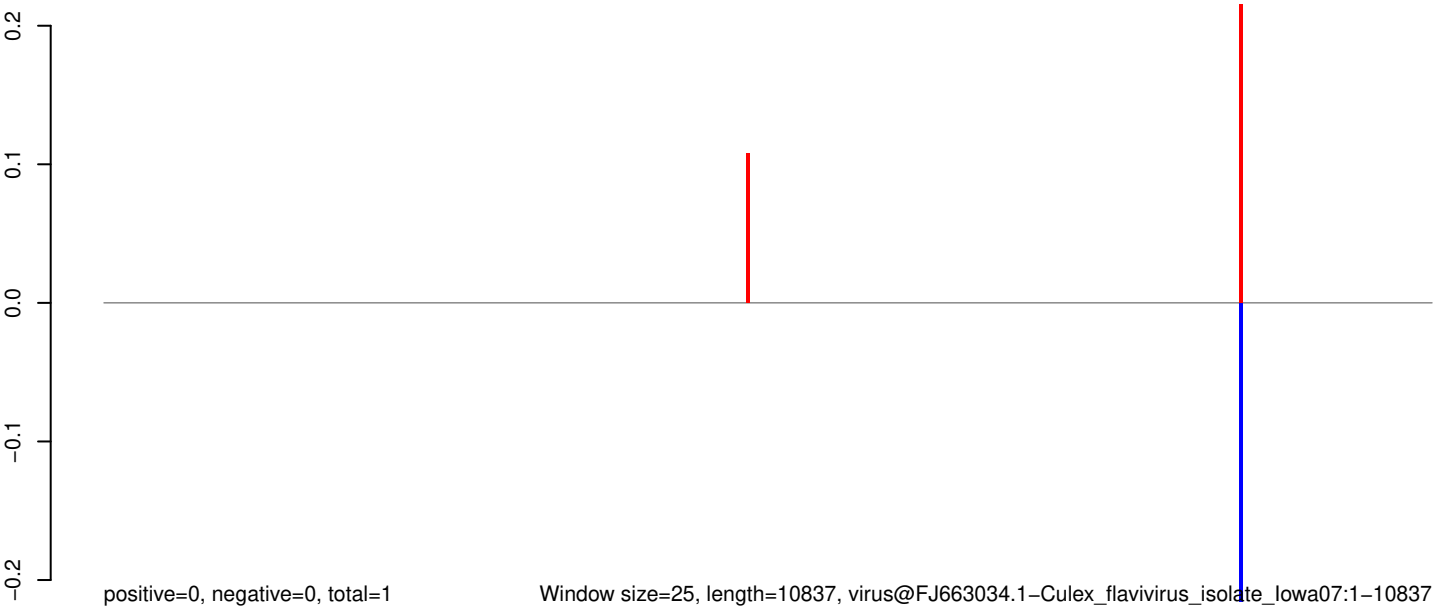
AeAeg_Aag2_Ago3_SINV_RA.18_23.rep



AeAeg_Aag2_Ago3_SINV_RA.24_35.rep

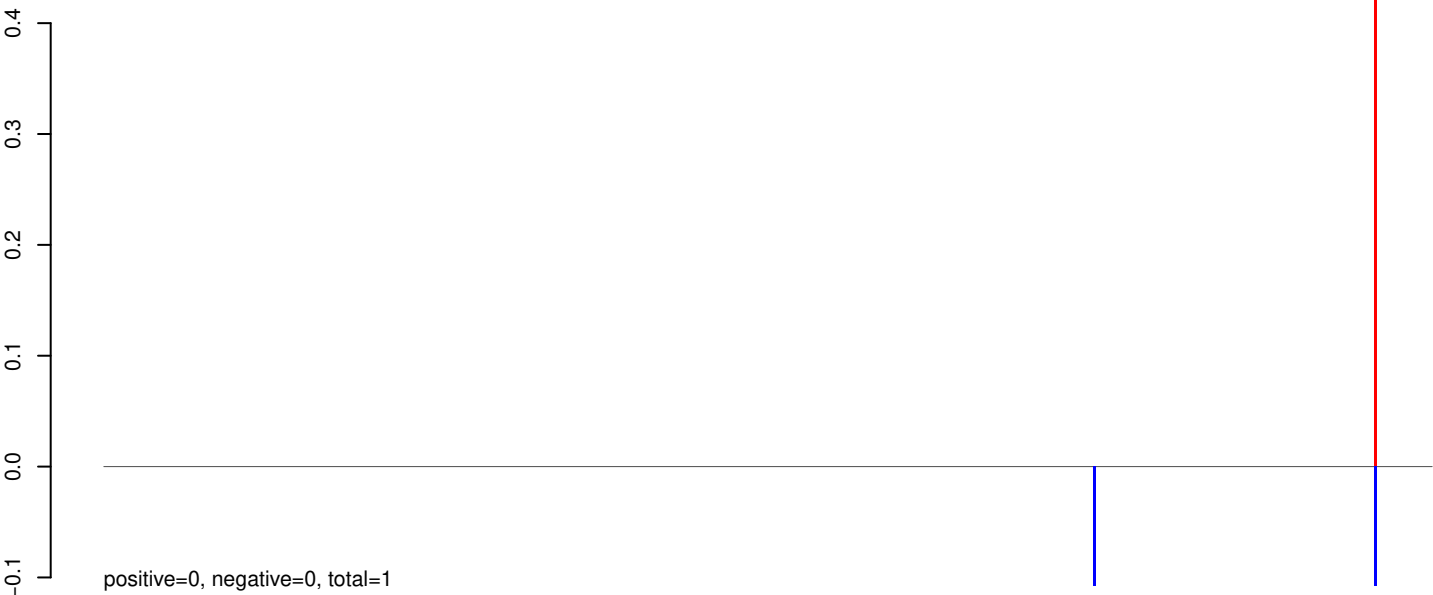


AeAeg_Aag2_Ago3_SINV_RA.rep



0 2000 4000 6000 8000 10000

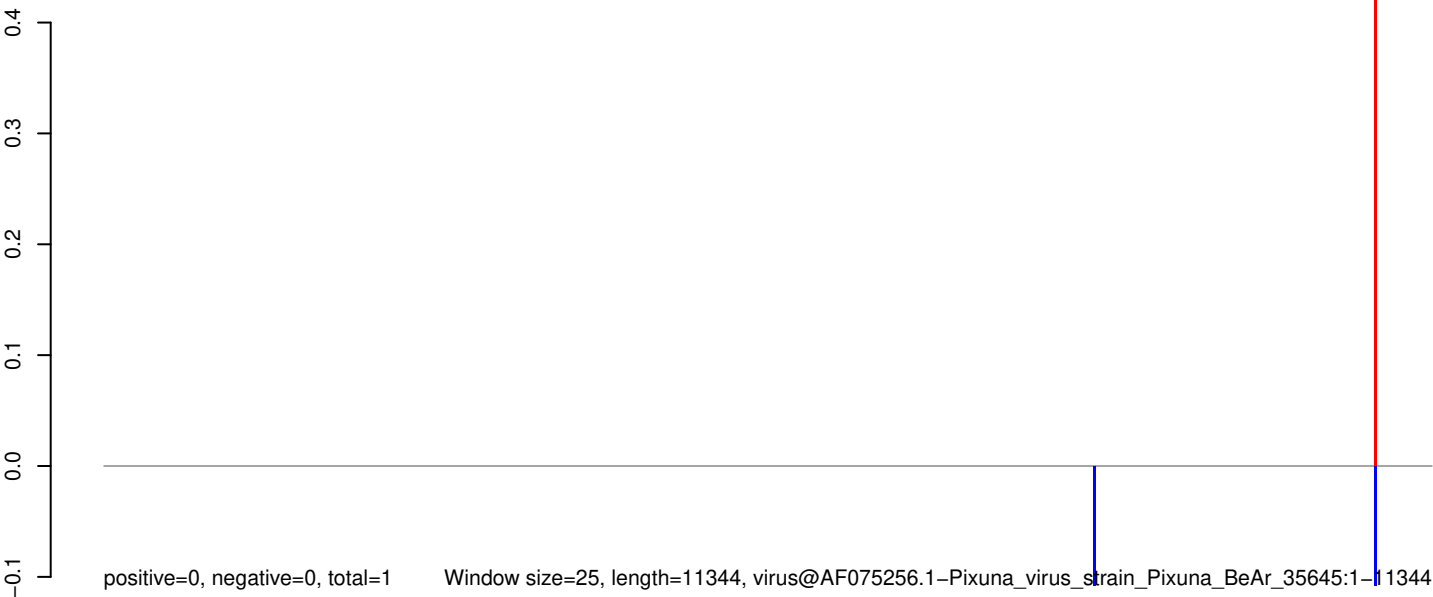
AeAeg_Aag2_Ago3_SINV_RA.18_23.rep



AeAeg_Aag2_Ago3_SINV_RA.24_35.rep



AeAeg_Aag2_Ago3_SINV_RA.rep



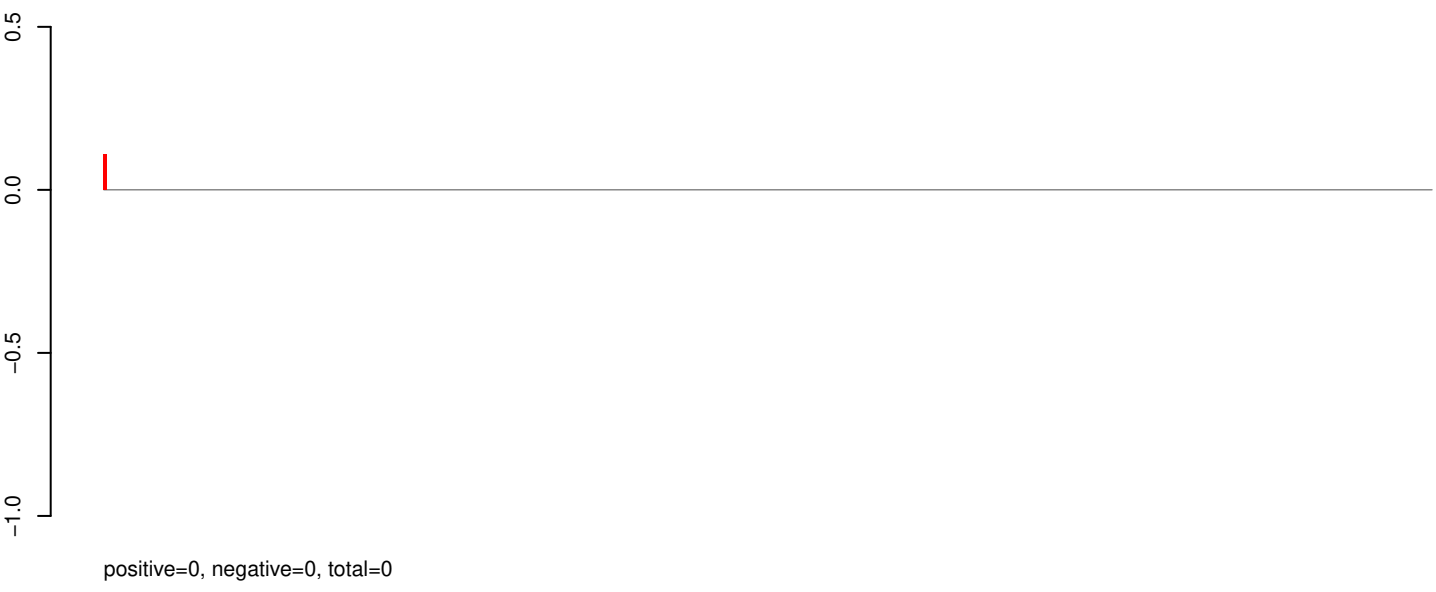
Window size=25, length=11344, virus@AF075256.1-Pixuna_virus_strain_Pixuna_BeAr_35645:1-11344

0 2000 4000 6000 8000 10000

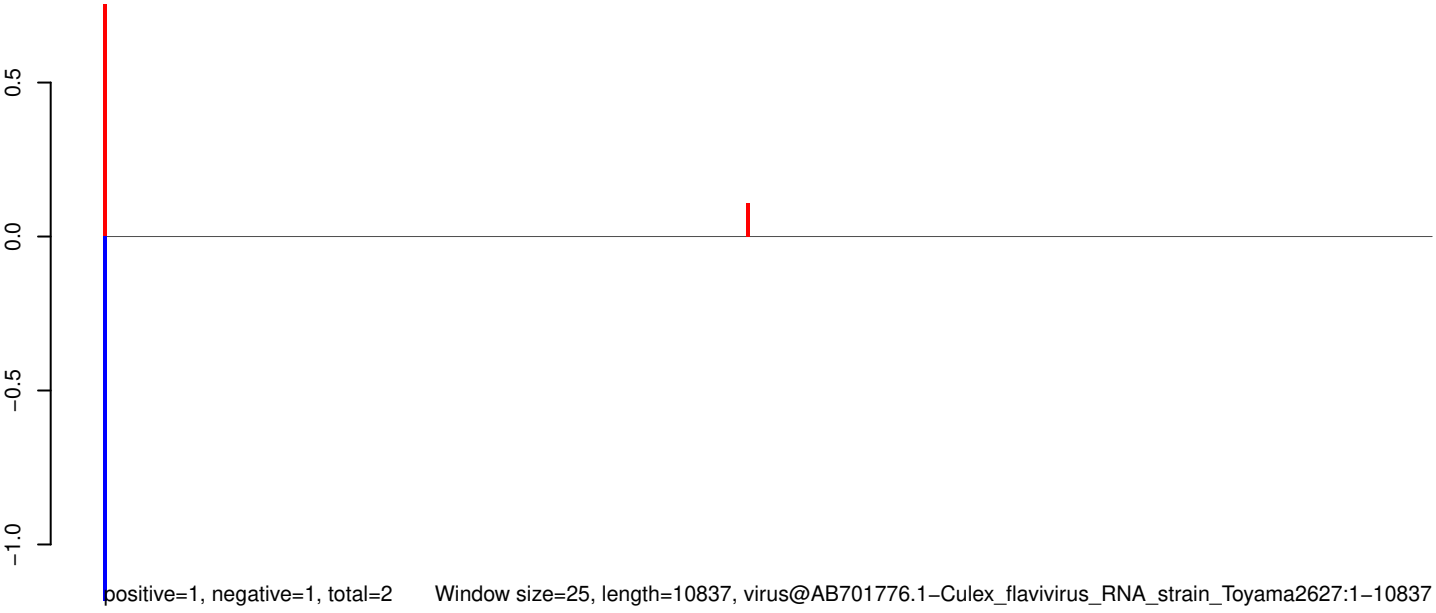
AeAeg_Aag2_Ago3_SINV_RA.18_23.rep



AeAeg_Aag2_Ago3_SINV_RA.24_35.rep



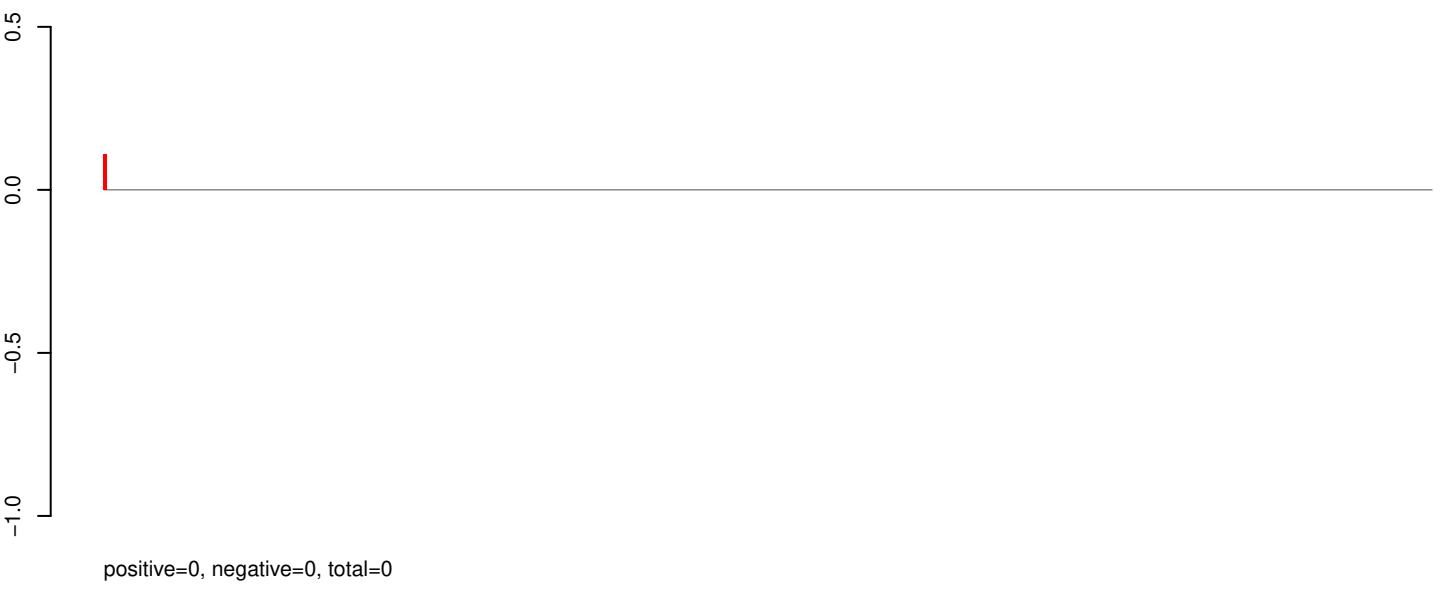
AeAeg_Aag2_Ago3_SINV_RA.rep



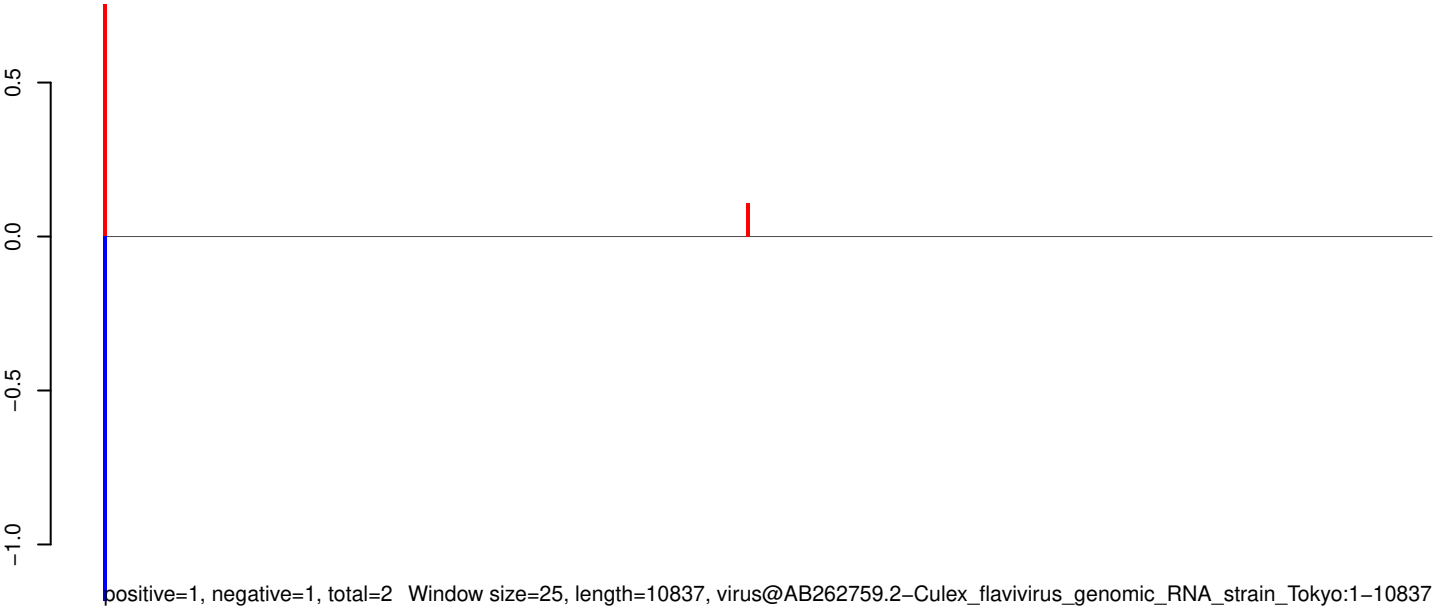
AeAeg_Aag2_Ago3_SINV_RA.18_23.rep



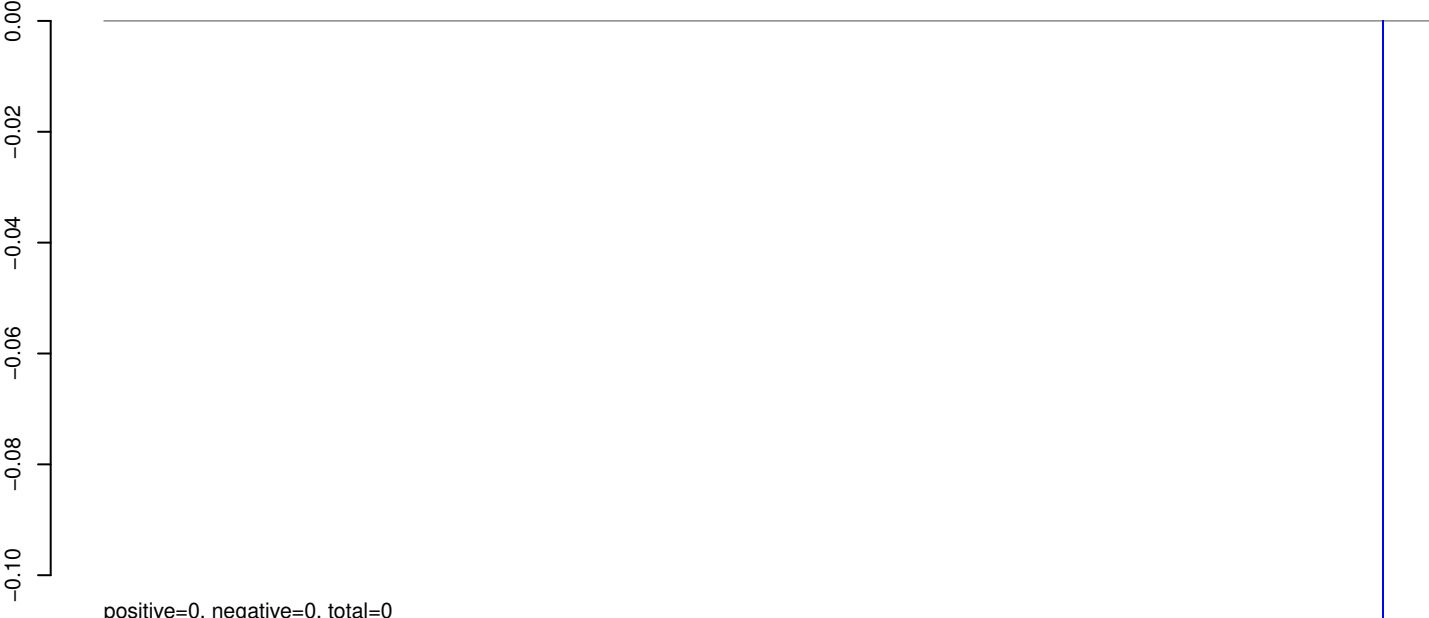
AeAeg_Aag2_Ago3_SINV_RA.24_35.rep



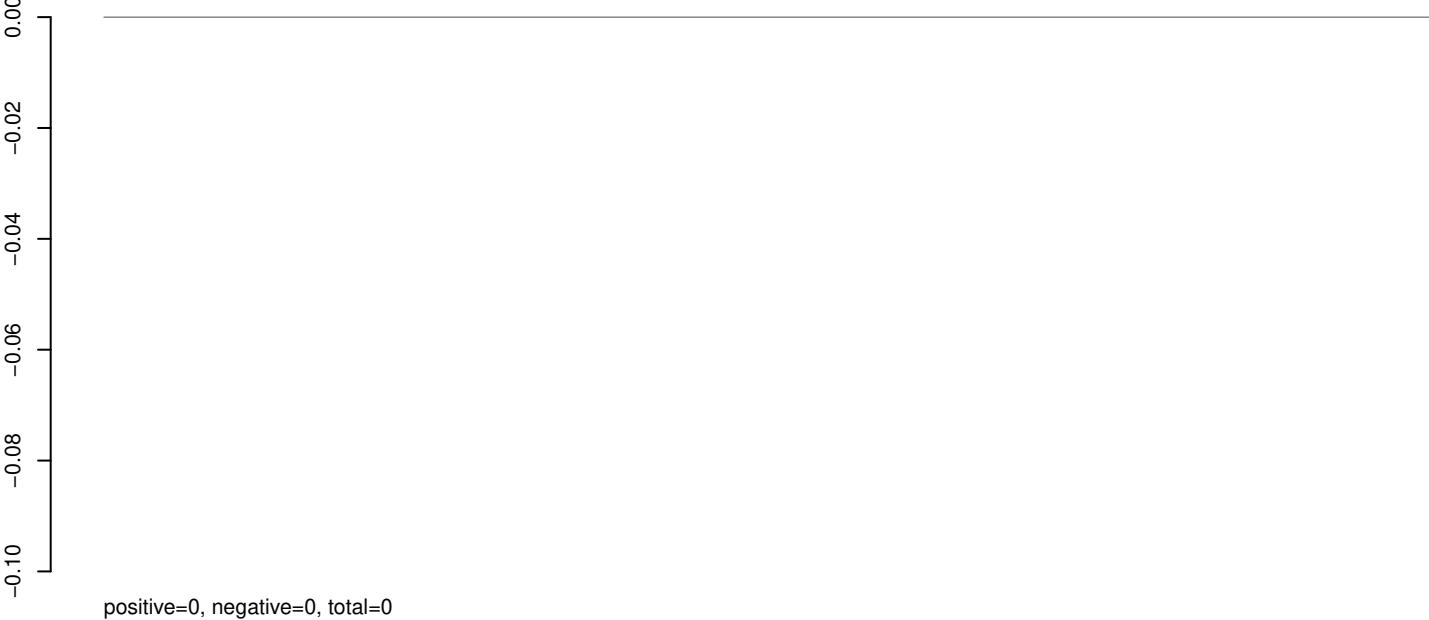
AeAeg_Aag2_Ago3_SINV_RA.rep



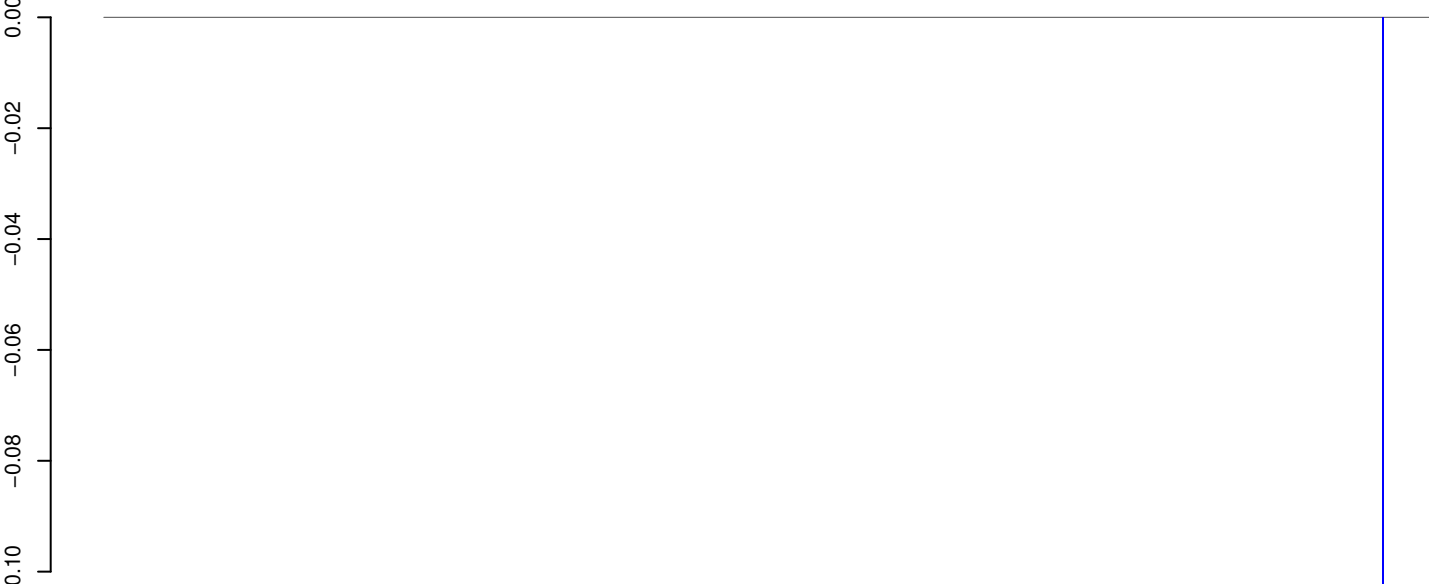
AeAeg_Aag2_Ago3_SINV_RA.18_23.rep



AeAeg_Aag2_Ago3_SINV_RA.24_35.rep



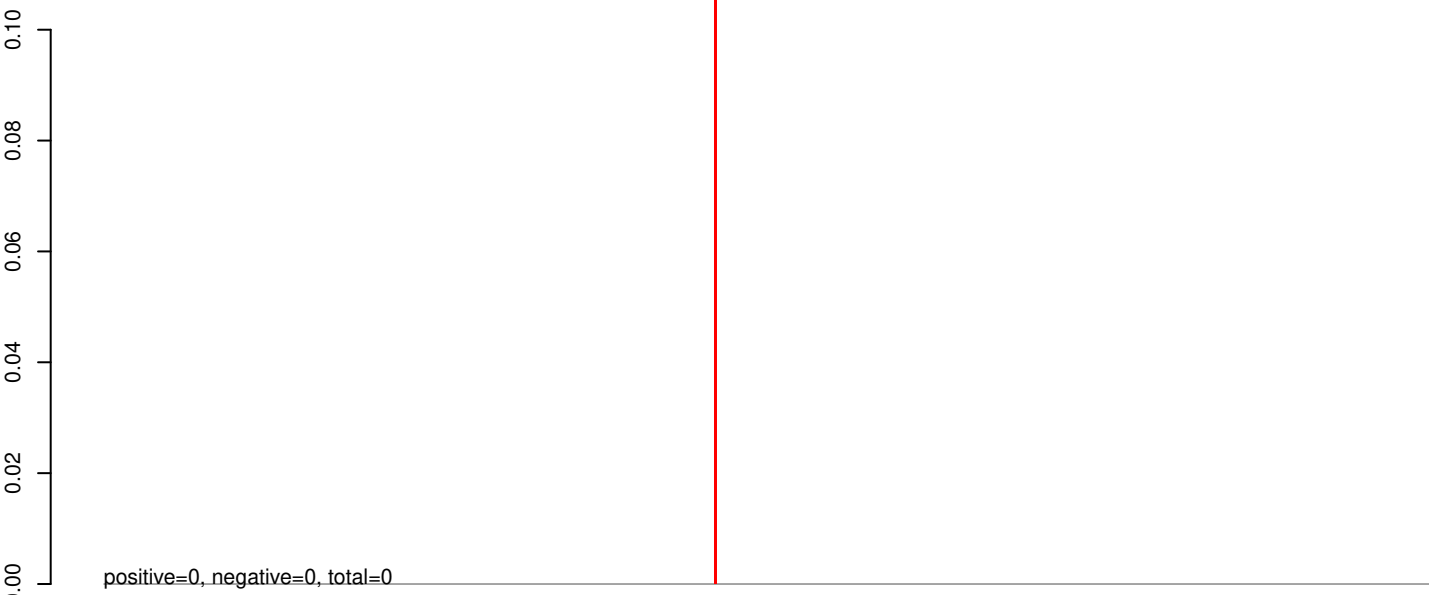
AeAeg_Aag2_Ago3_SINV_RA.rep



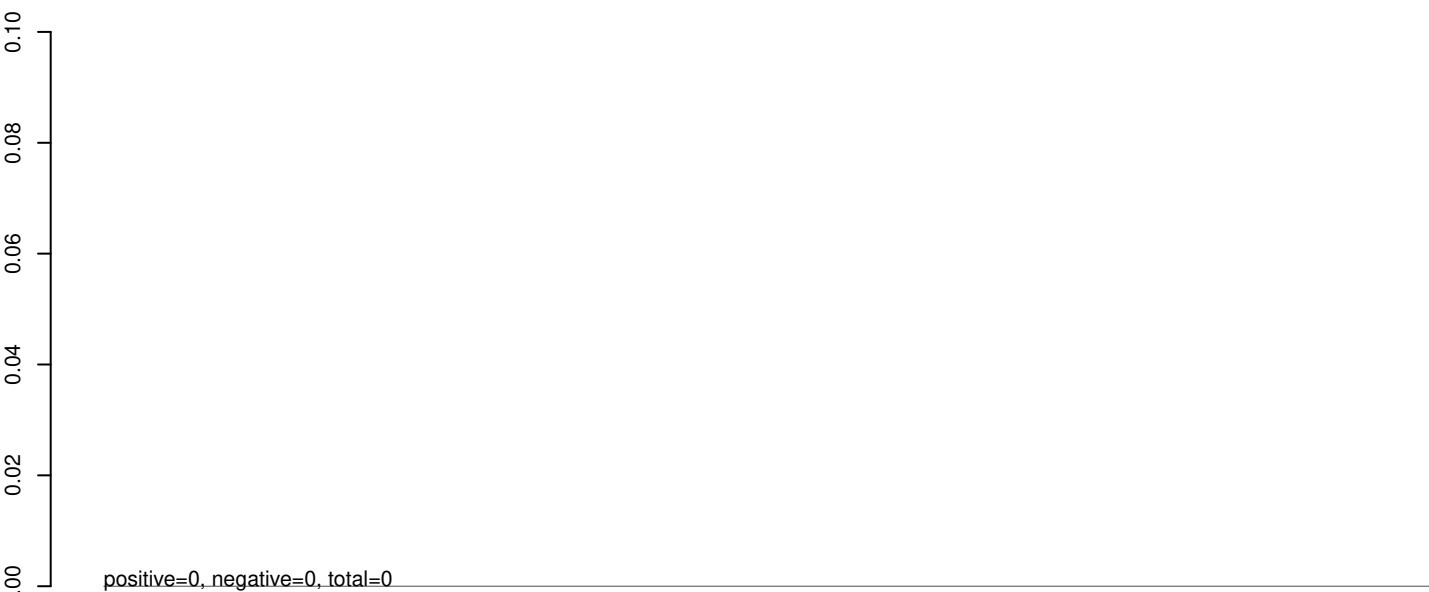
Window size=25, length=19208, virus@X12819.1-Bluetongue_virus_gene_for_capsid_protein_VP1_genomic_RNA:1-19208

0 5000 10000 15000 20000

AeAeg_Aag2_Ago3_SINV_RA.18_23.rep



AeAeg_Aag2_Ago3_SINV_RA.24_35.rep

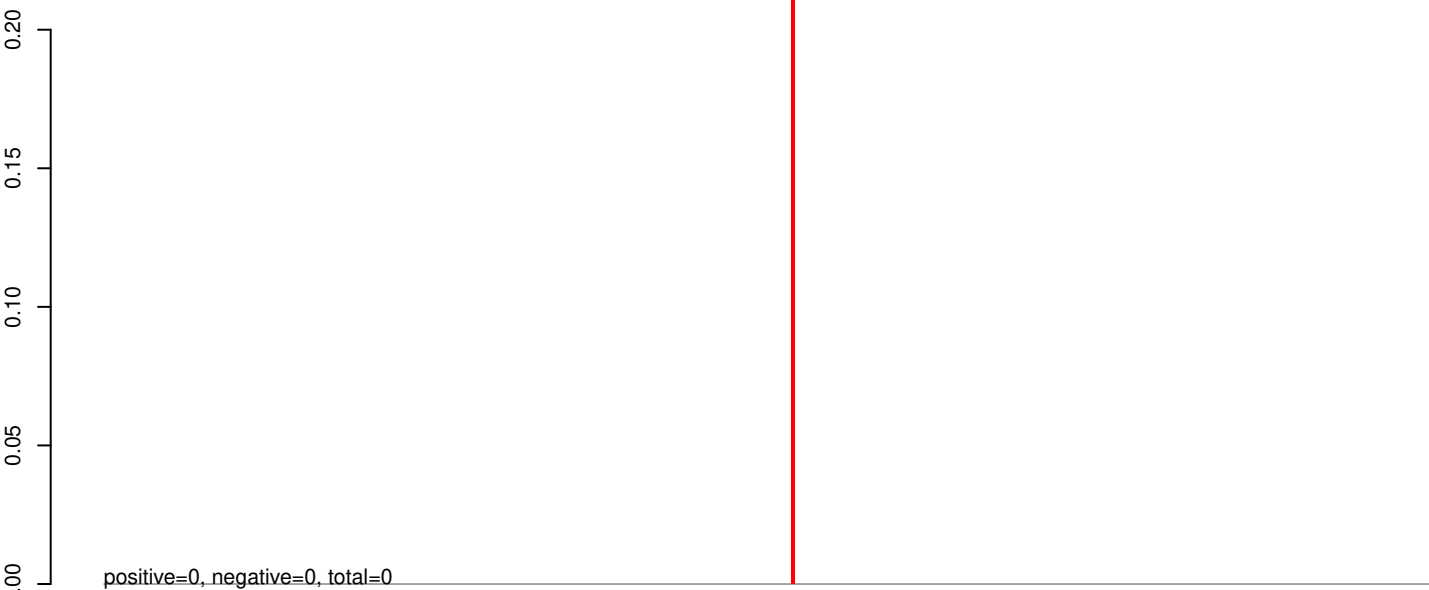


AeAeg_Aag2_Ago3_SINV_RA.rep

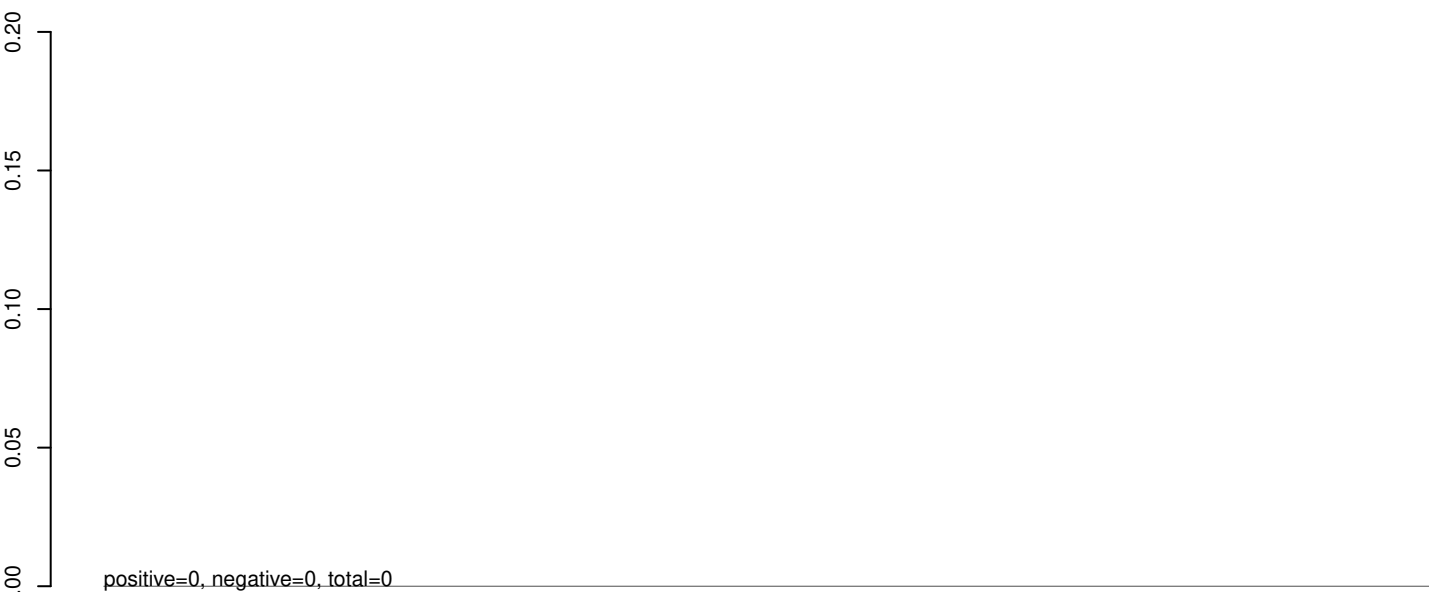


Window size=25, length=11470, virus@NC_035128.1_Aedes_camptorhynchus_negev-like_virus_strain_mos191CP47896:1-11470

AeAeg_Aag2_Ago3_SINV_RA.18_23.rep



AeAeg_Aag2_Ago3_SINV_RA.24_35.rep

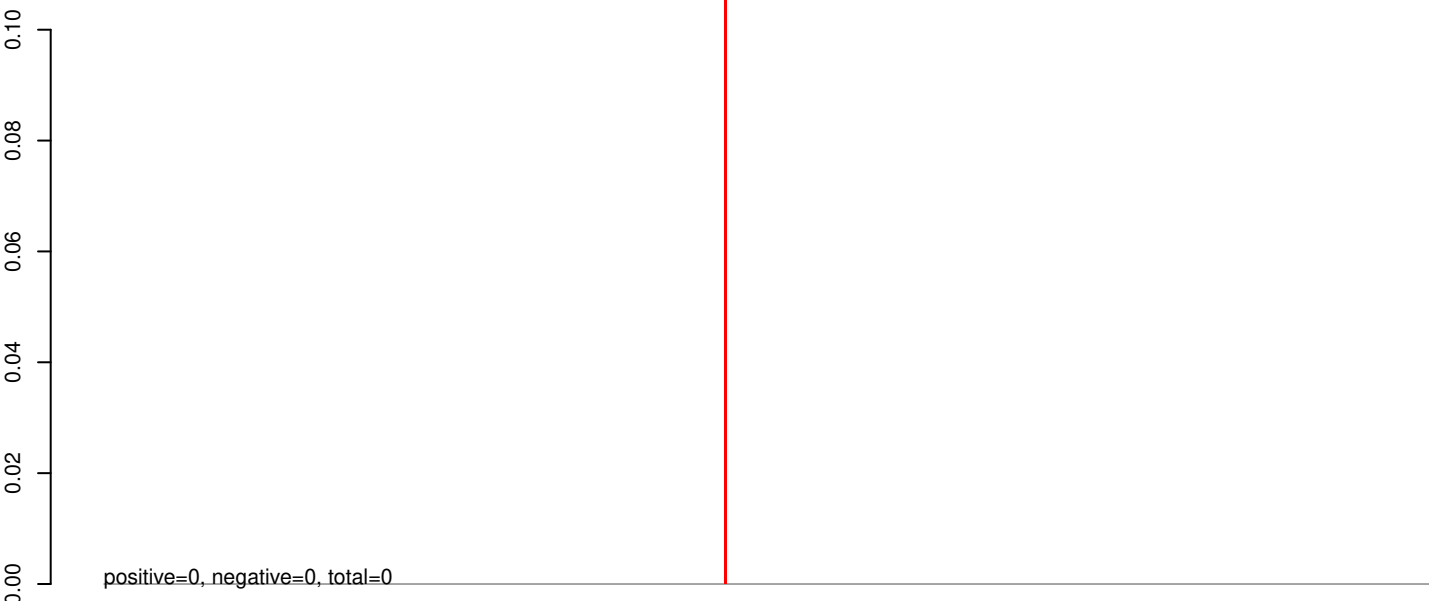


AeAeg_Aag2_Ago3_SINV_RA.rep

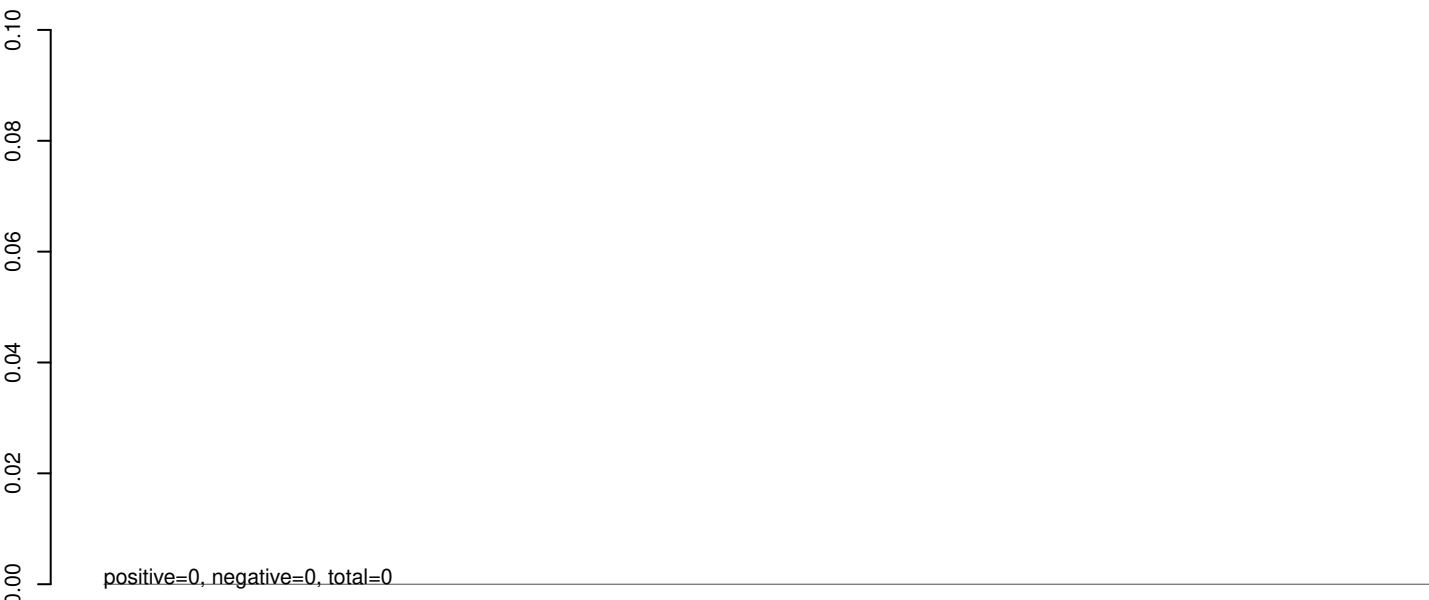


Window size=25, length=9324, virus@NC_035123.1_Culex_negev-like_virus_2_strain_mos172X30622:1-9324

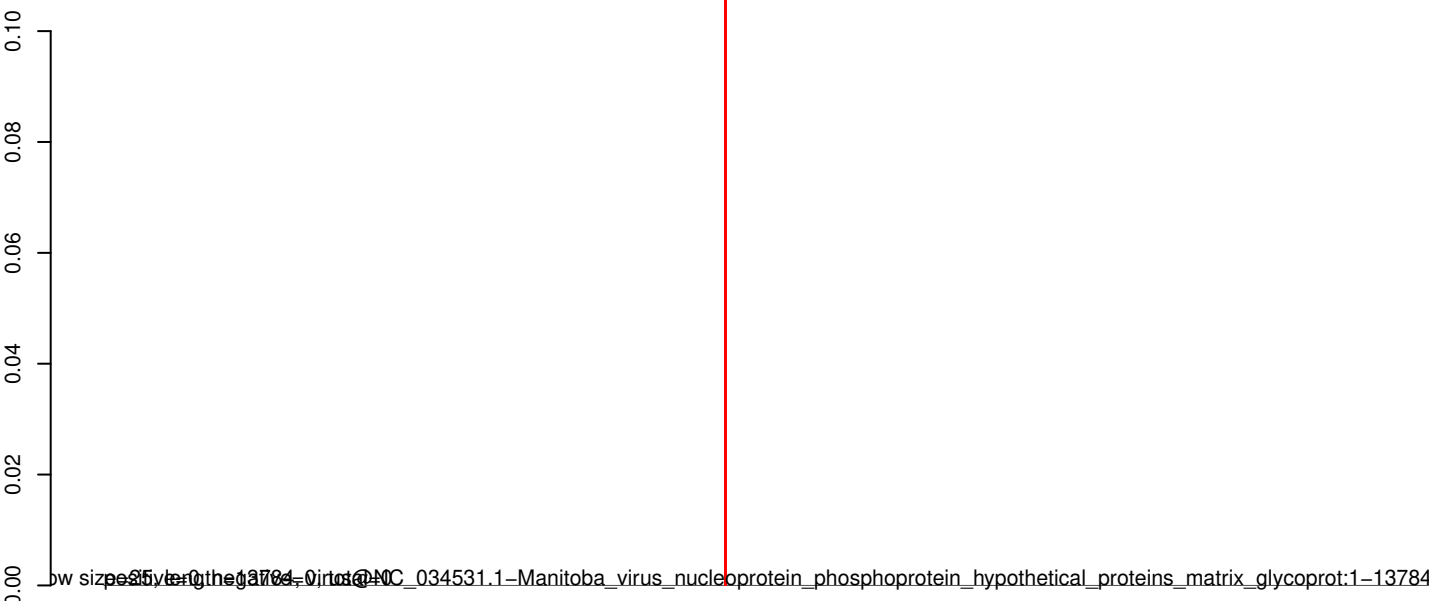
AeAeg_Aag2_Ago3_SINV_RA.18_23.rep



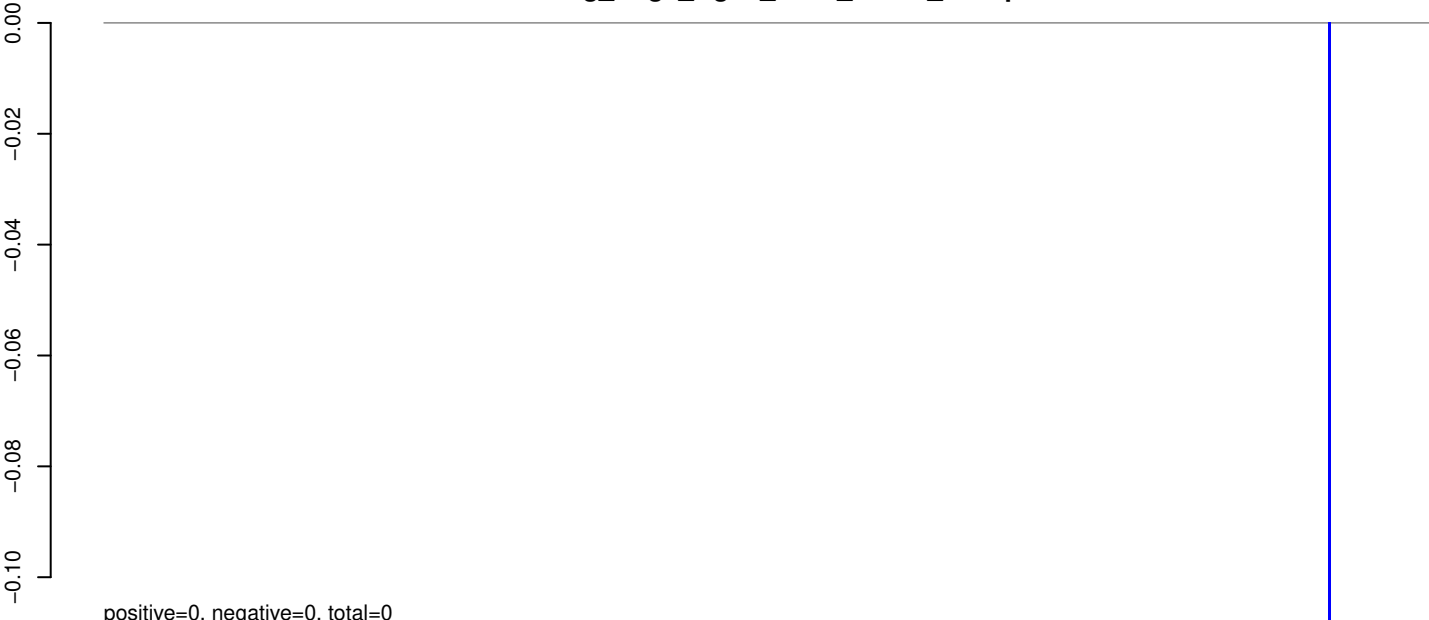
AeAeg_Aag2_Ago3_SINV_RA.24_35.rep



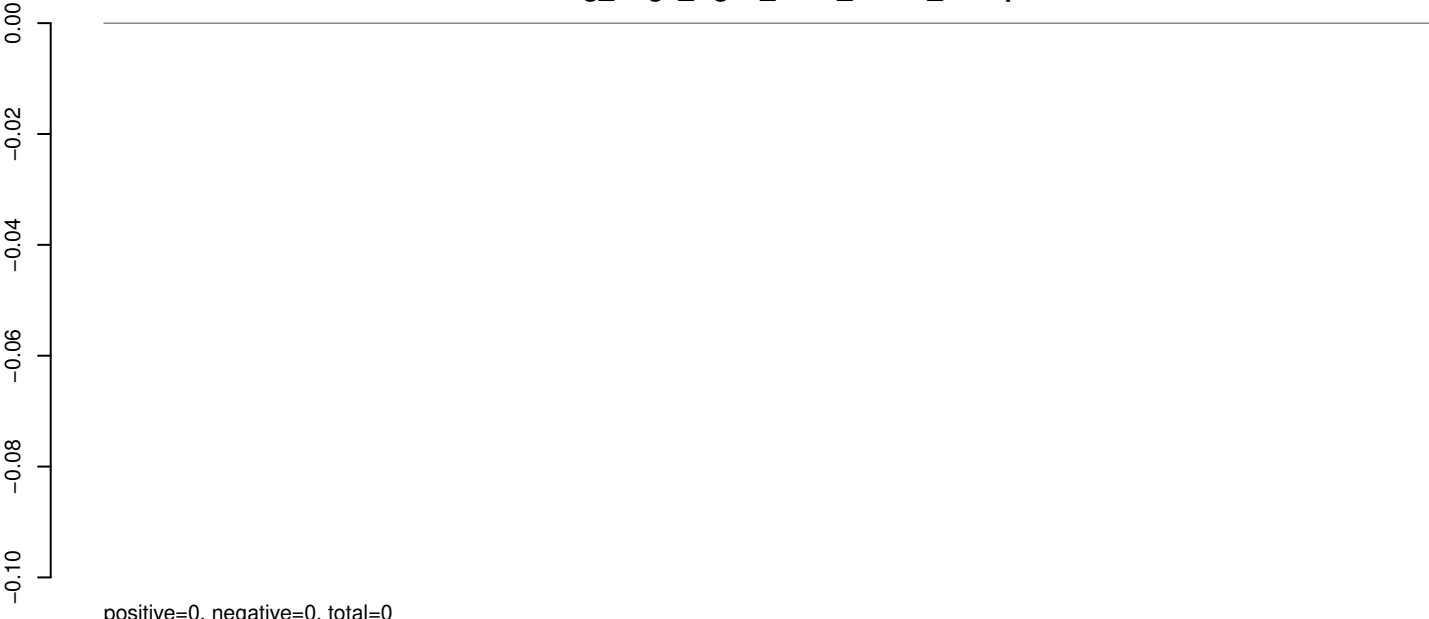
AeAeg_Aag2_Ago3_SINV_RA.rep



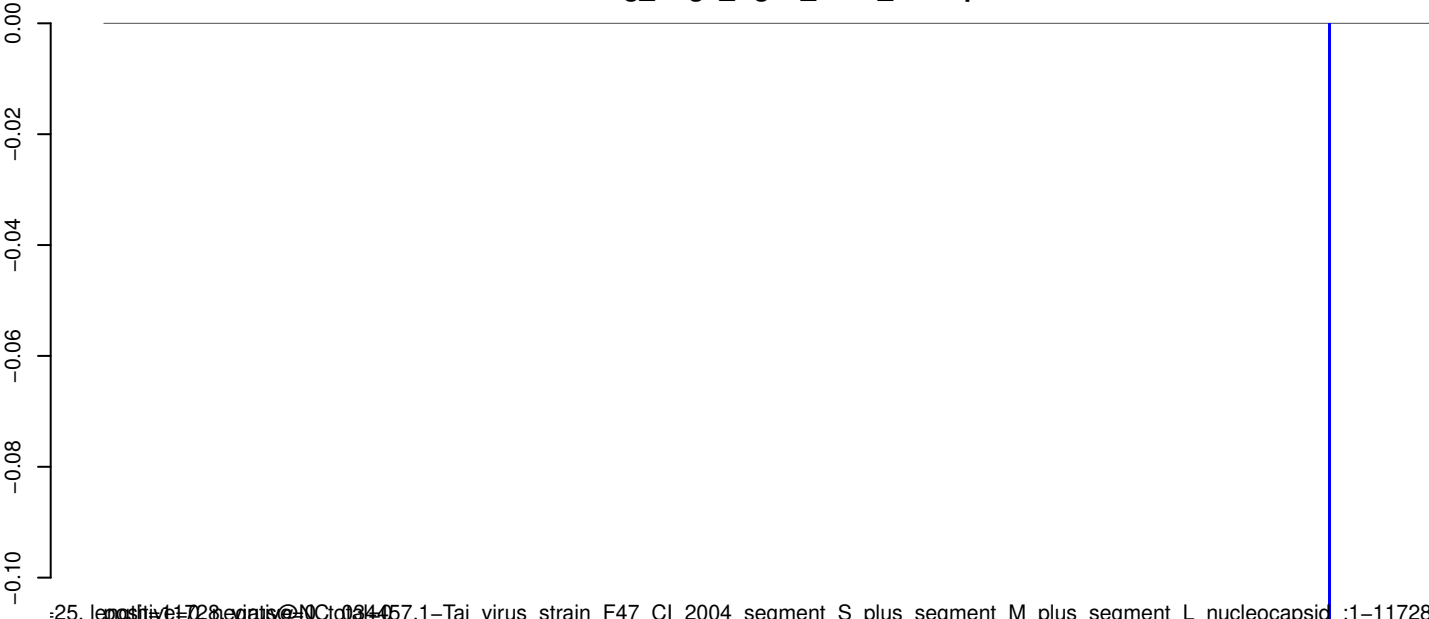
AeAeg_Aag2_Ago3_SINV_RA.18_23.rep



AeAeg_Aag2_Ago3_SINV_RA.24_35.rep



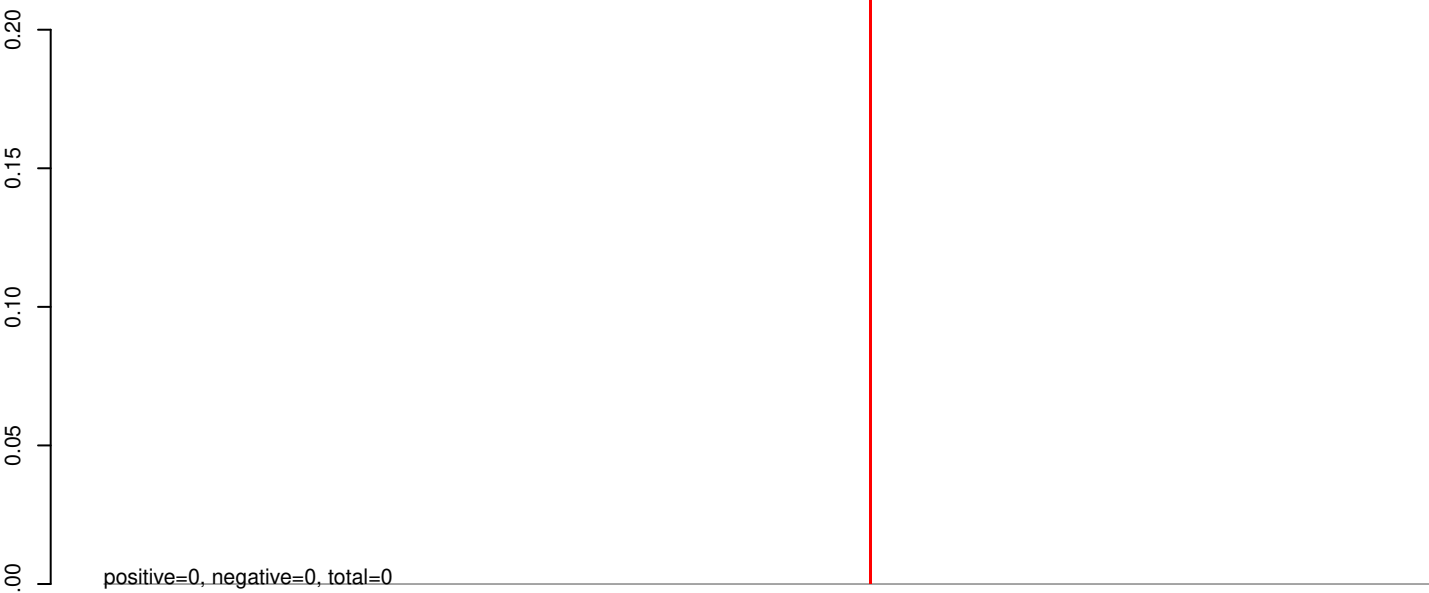
AeAeg_Aag2_Ago3_SINV_RA.rep



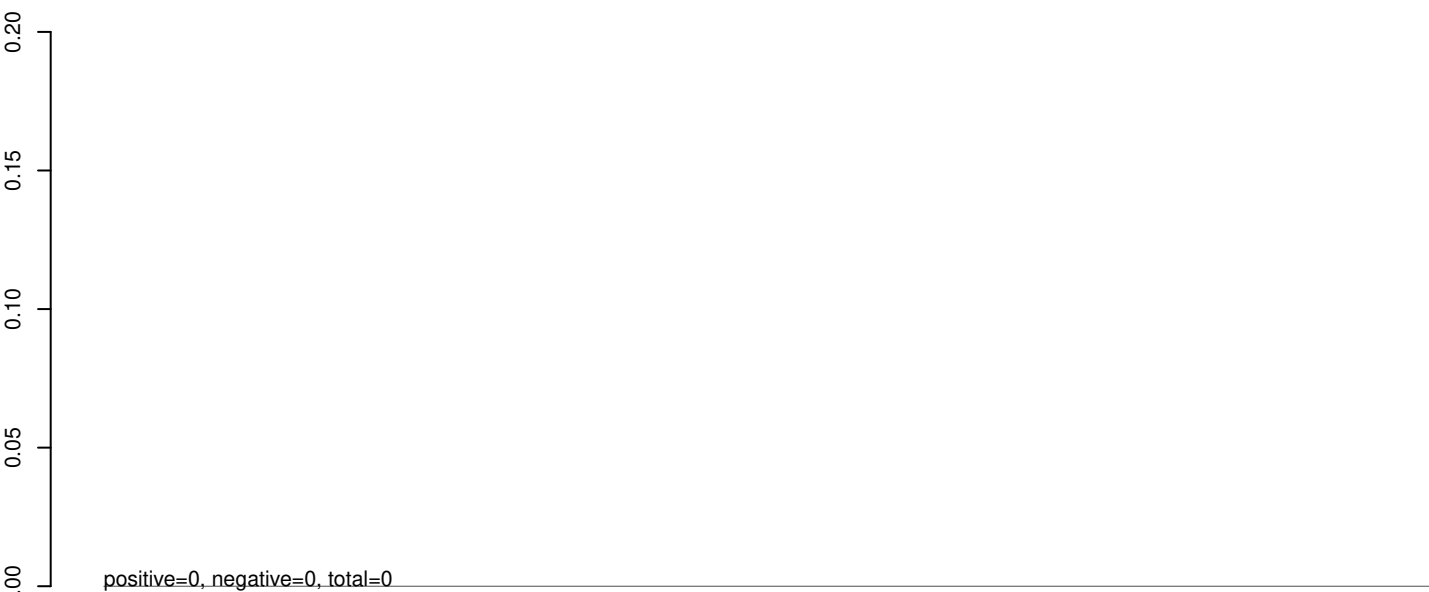
25, length=11728, negative=0, total=0, 11728-1-Tai_virus_strain_F47_CI_2004_segment_S_plus_segment_M_plus_segment_L_nucleocapsid_1-11728

0 2000 4000 6000 8000 10000 12000

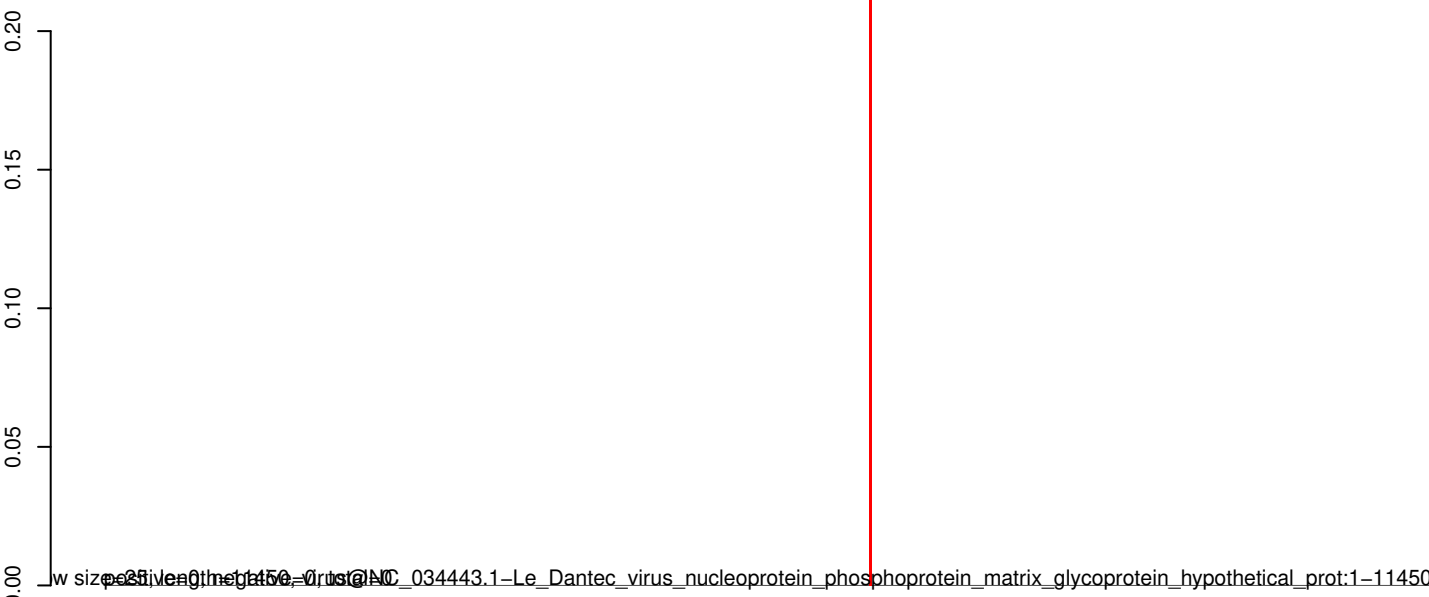
AeAeg_Aag2_Ago3_SINV_RA.18_23.rep



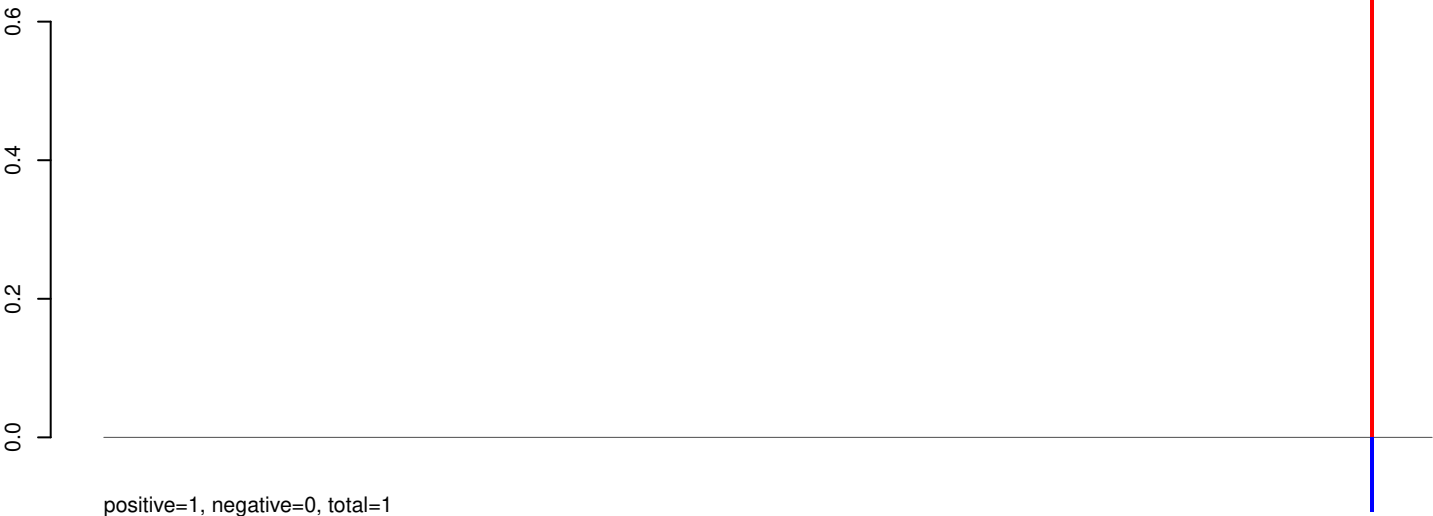
AeAeg_Aag2_Ago3_SINV_RA.24_35.rep



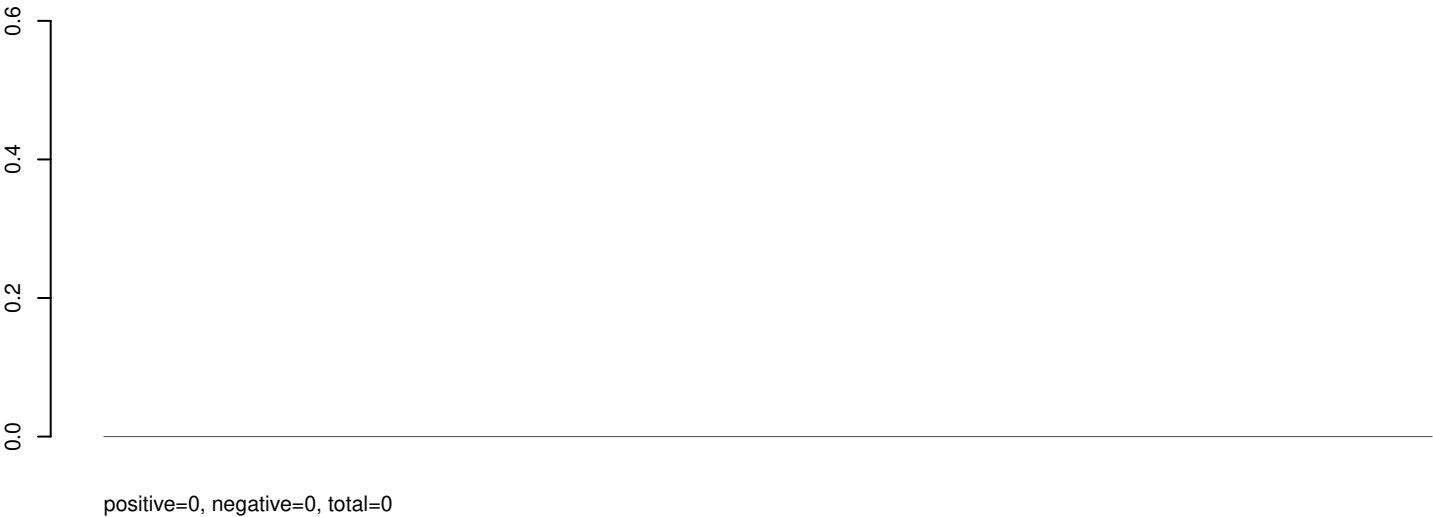
AeAeg_Aag2_Ago3_SINV_RA.rep



AeAeg_Aag2_Ago3_SINV_RA.18_23.rep



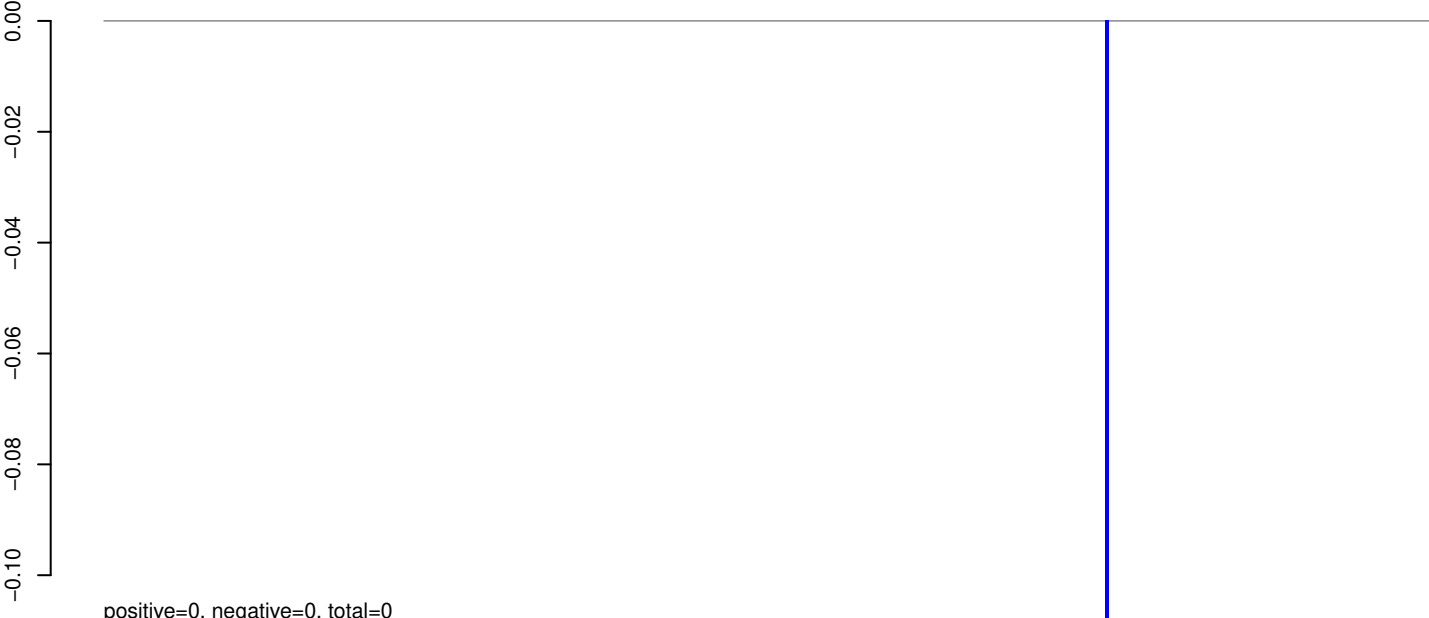
AeAeg_Aag2_Ago3_SINV_RA.24_35.rep



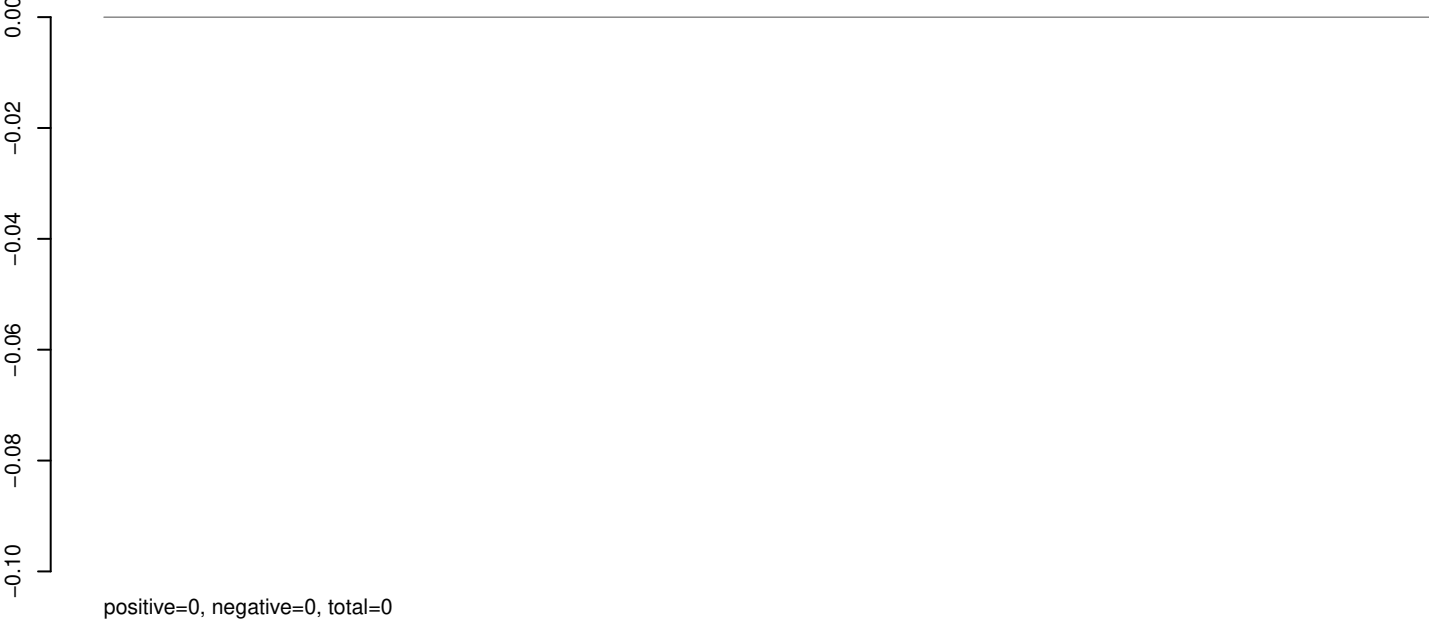
AeAeg_Aag2_Ago3_SINV_RA.rep



AeAeg_Aag2_Ago3_SINV_RA.18_23.rep



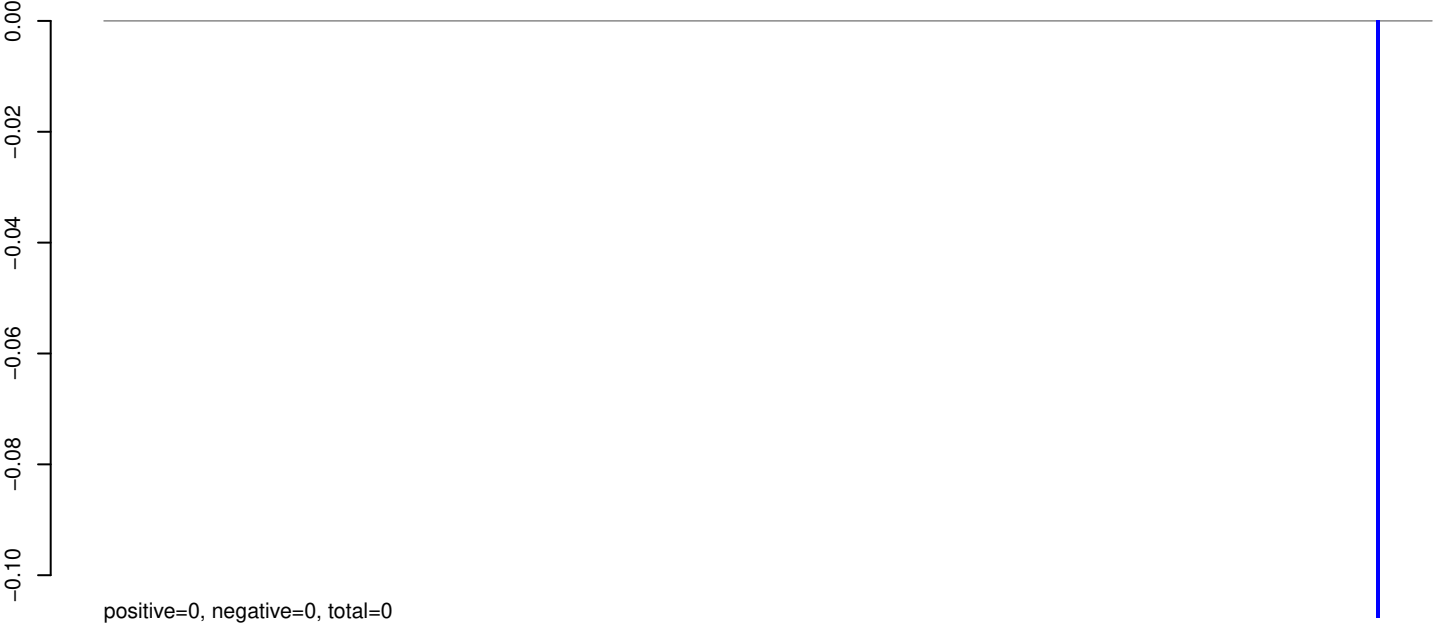
AeAeg_Aag2_Ago3_SINV_RA.24_35.rep



AeAeg_Aag2_Ago3_SINV_RA.rep

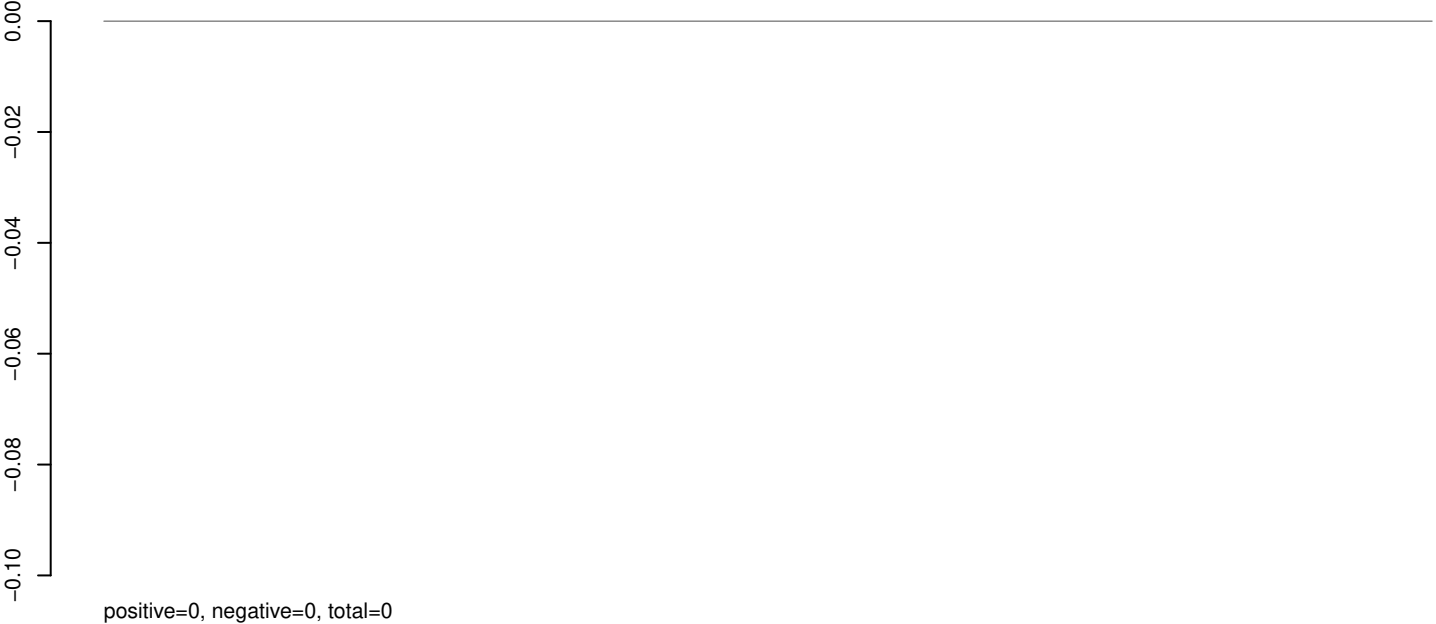


AeAeg_Aag2_Ago3_SINV_RA.18_23.rep



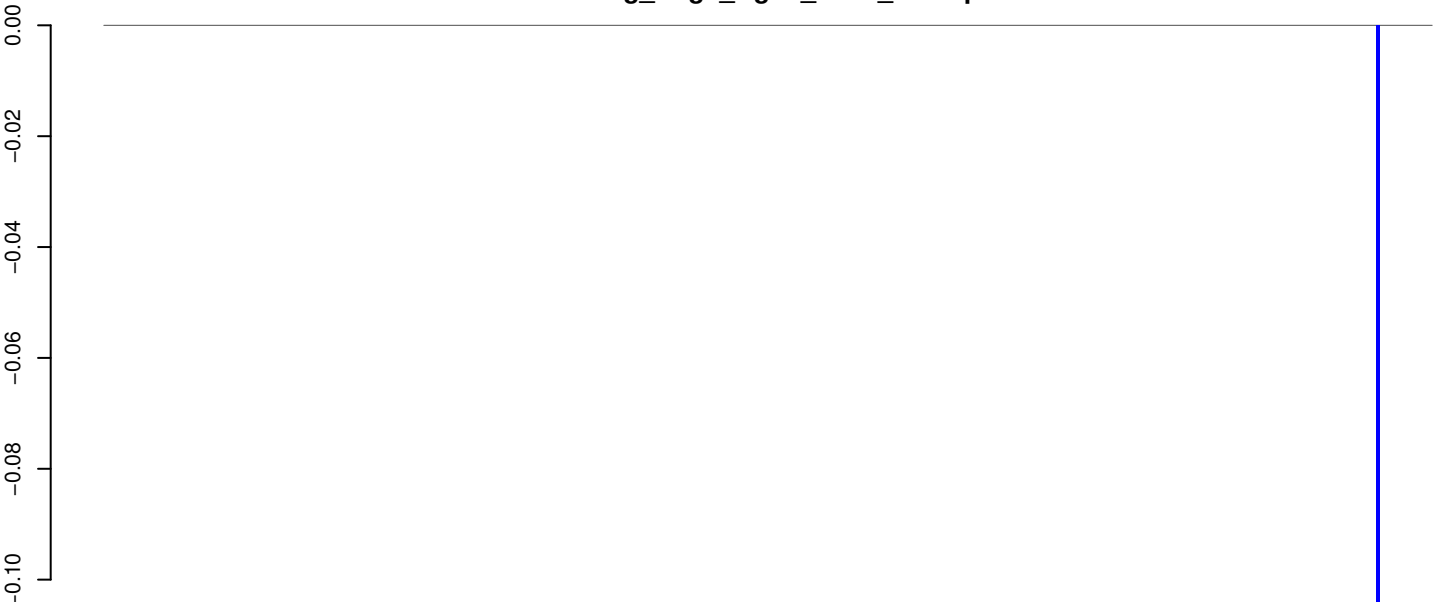
positive=0, negative=0, total=0

AeAeg_Aag2_Ago3_SINV_RA.24_35.rep



positive=0, negative=0, total=0

AeAeg_Aag2_Ago3_SINV_RA.rep



positive=0, negative=0, total=0 window size=25, length=10173, virus@NC_033699.1-Jugra_virus_strain_P-9-314_polyprotein_gene:1-10173

0 2000 4000 6000 8000 10000

AeAeg_Aag2_Ago3_SINV_RA.18_23.rep

0.00
-0.02
-0.04
-0.06
-0.08
-0.10

positive=0, negative=0, total=0

AeAeg_Aag2_Ago3_SINV_RA.24_35.rep

0.00
-0.02
-0.04
-0.06
-0.08
-0.10

positive=0, negative=0, total=0

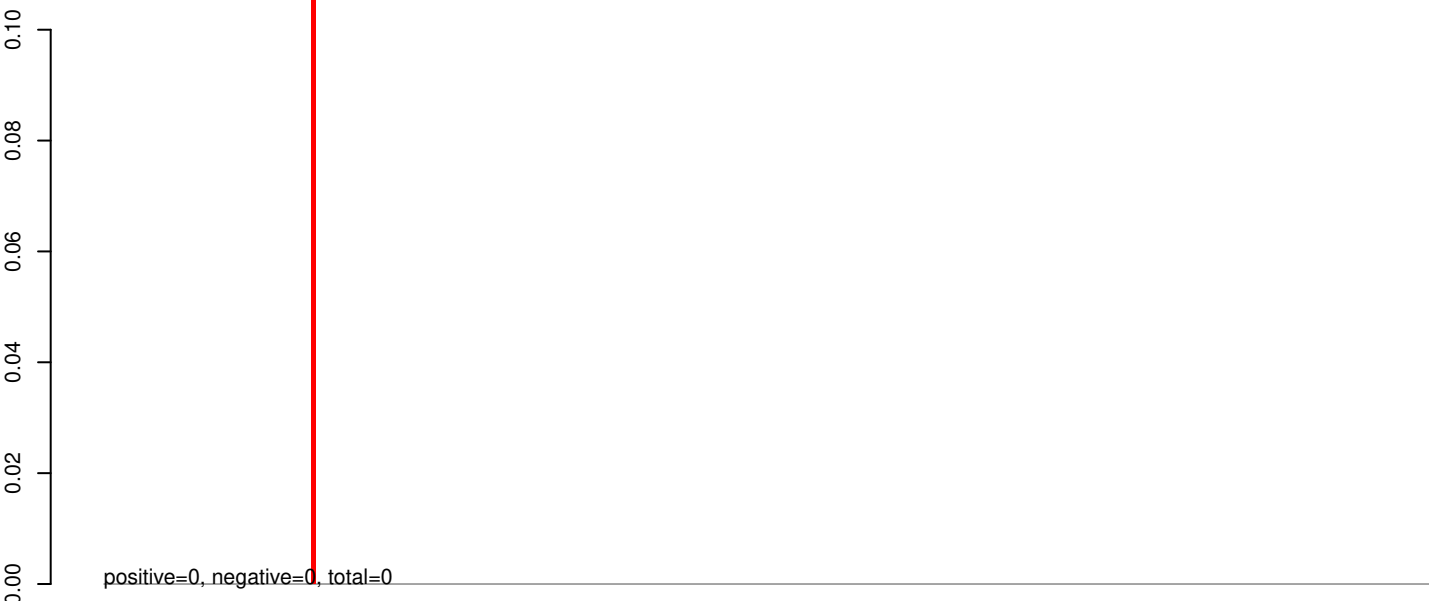
AeAeg_Aag2_Ago3_SINV_RA.rep

0.00
-0.02
-0.04
-0.06
-0.08
-0.10

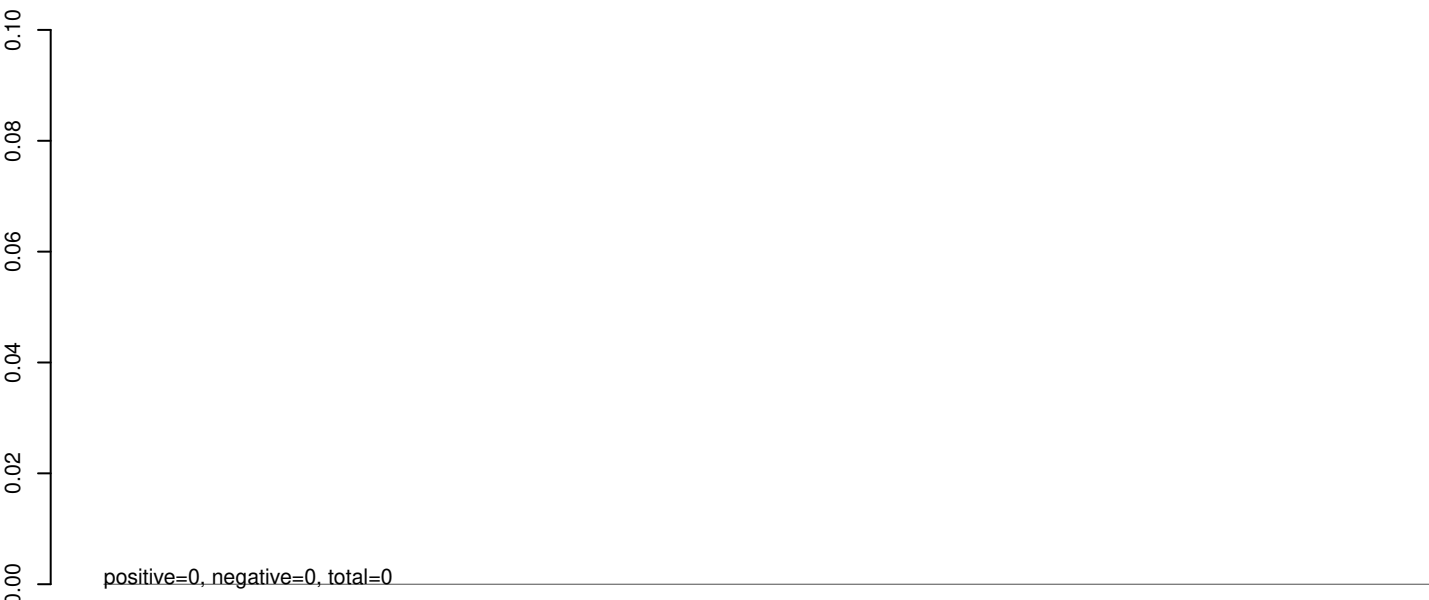
positive=0, negative=0, total=25, length=10173, virus@NC_033693.1-Bouboui_virus_strain_DAK_AR_B490_polyprotein_gene:1-10173

0 2000 4000 6000 8000 10000

AeAeg_Aag2_Ago3_SINV_RA.18_23.rep



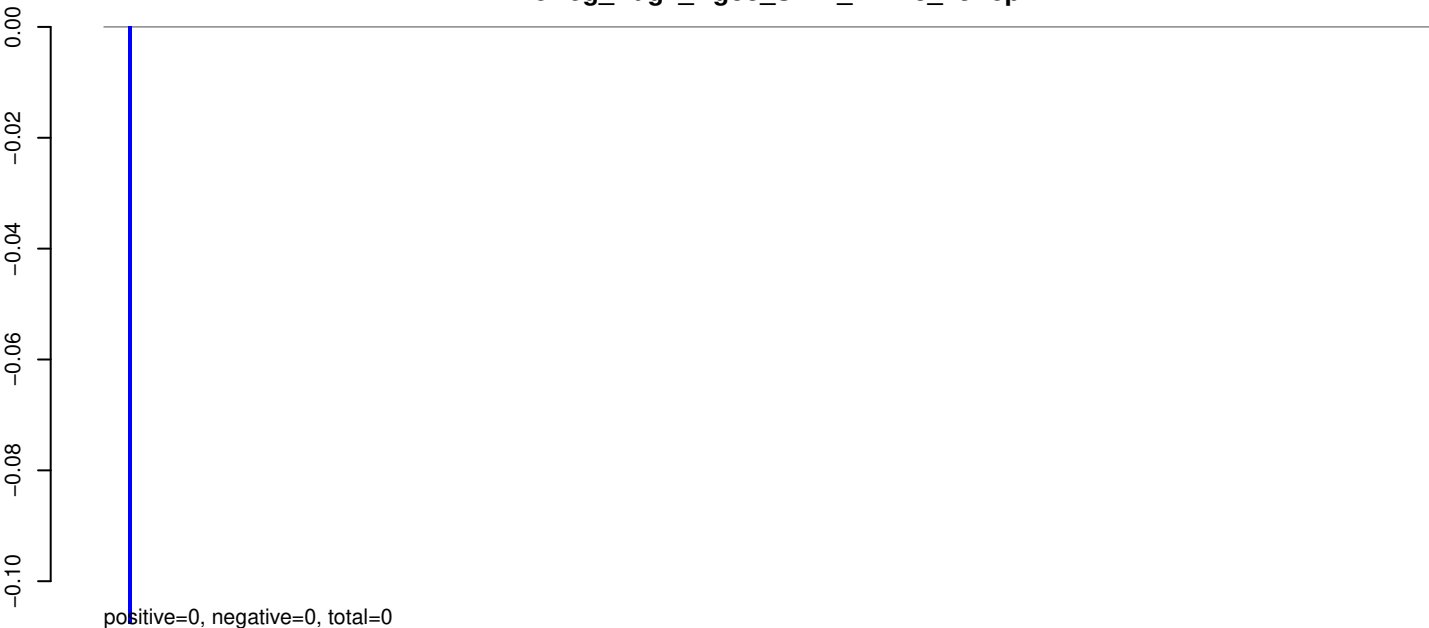
AeAeg_Aag2_Ago3_SINV_RA.24_35.rep



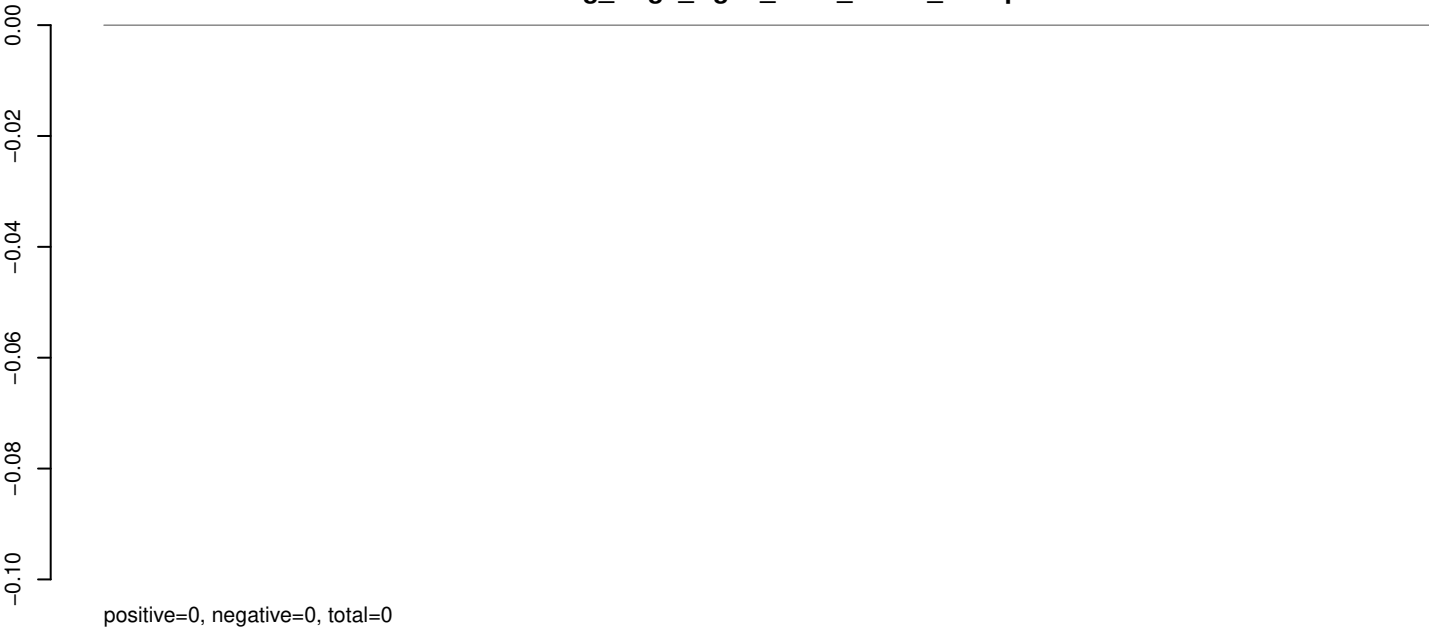
AeAeg_Aag2_Ago3_SINV_RA.rep



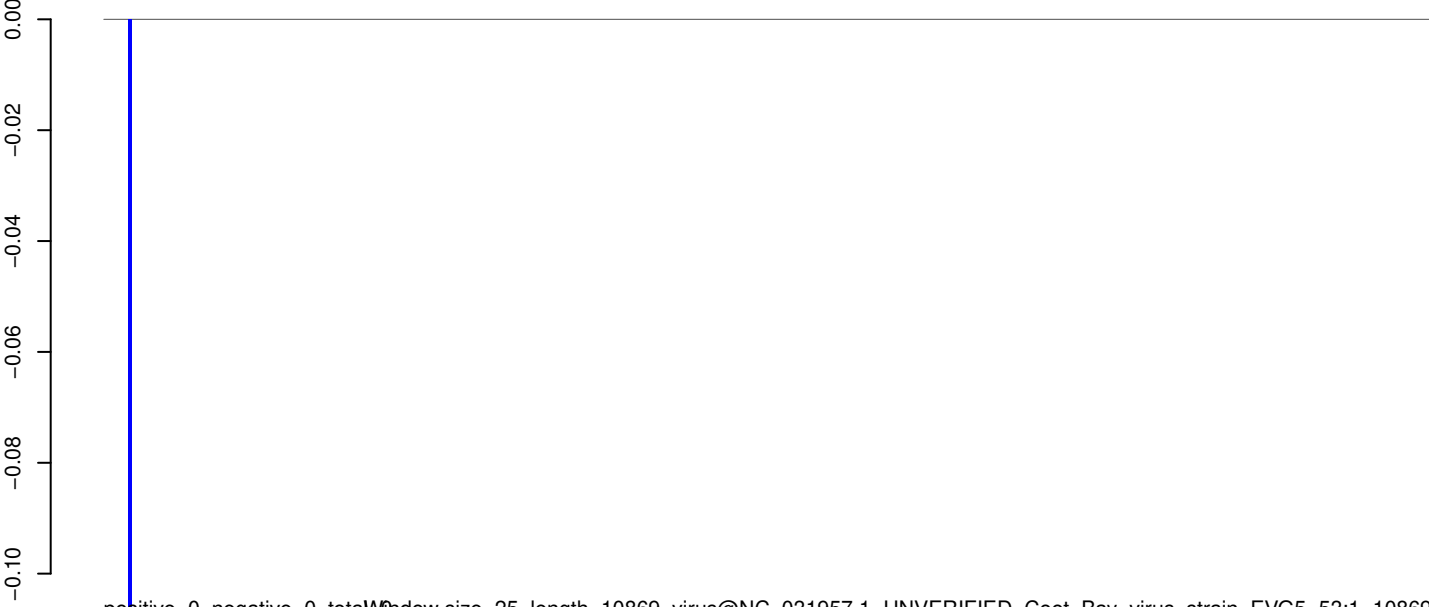
AeAeg_Aag2_Ago3_SINV_RA.18_23.rep



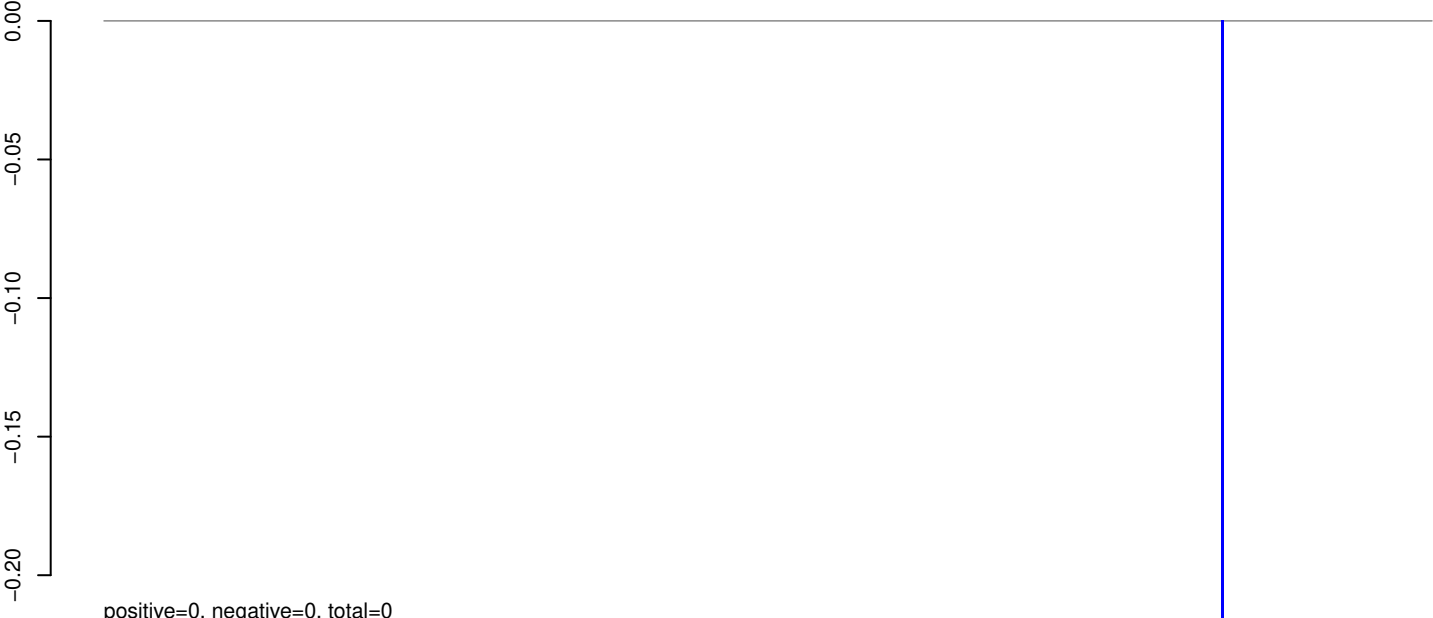
AeAeg_Aag2_Ago3_SINV_RA.24_35.rep



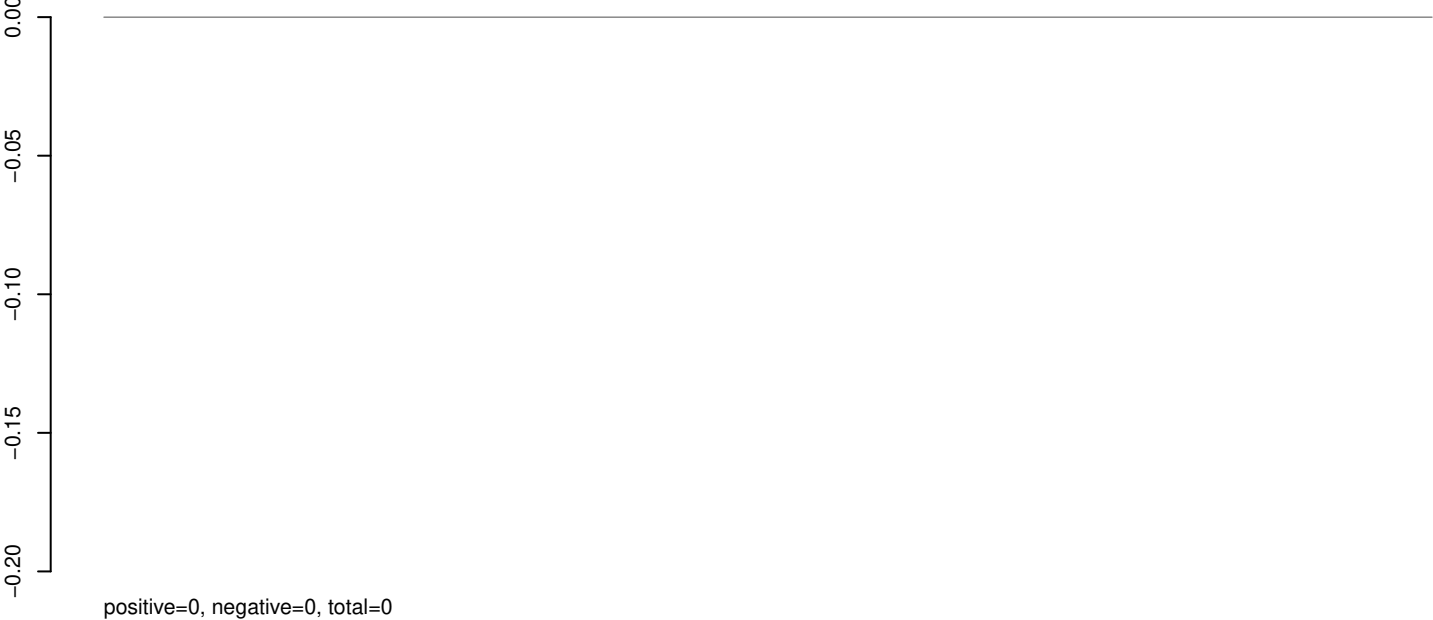
AeAeg_Aag2_Ago3_SINV_RA.rep



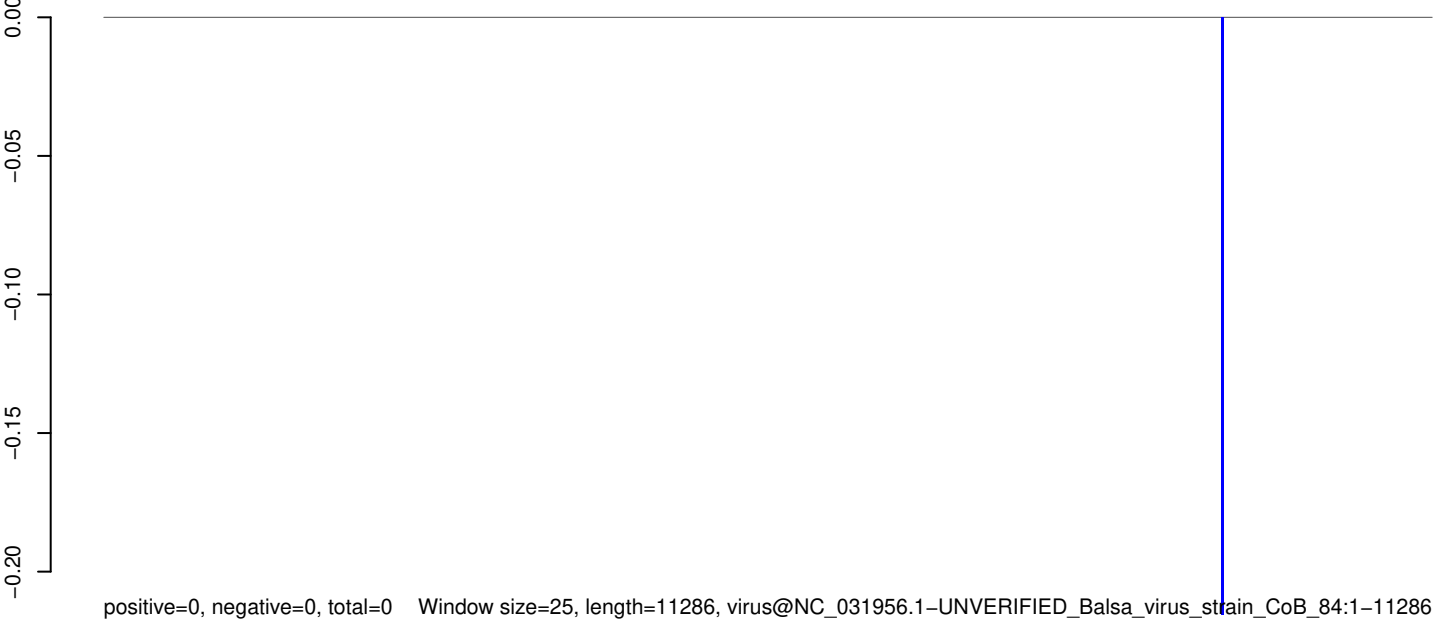
AeAeg_Aag2_Ago3_SINV_RA.18_23.rep



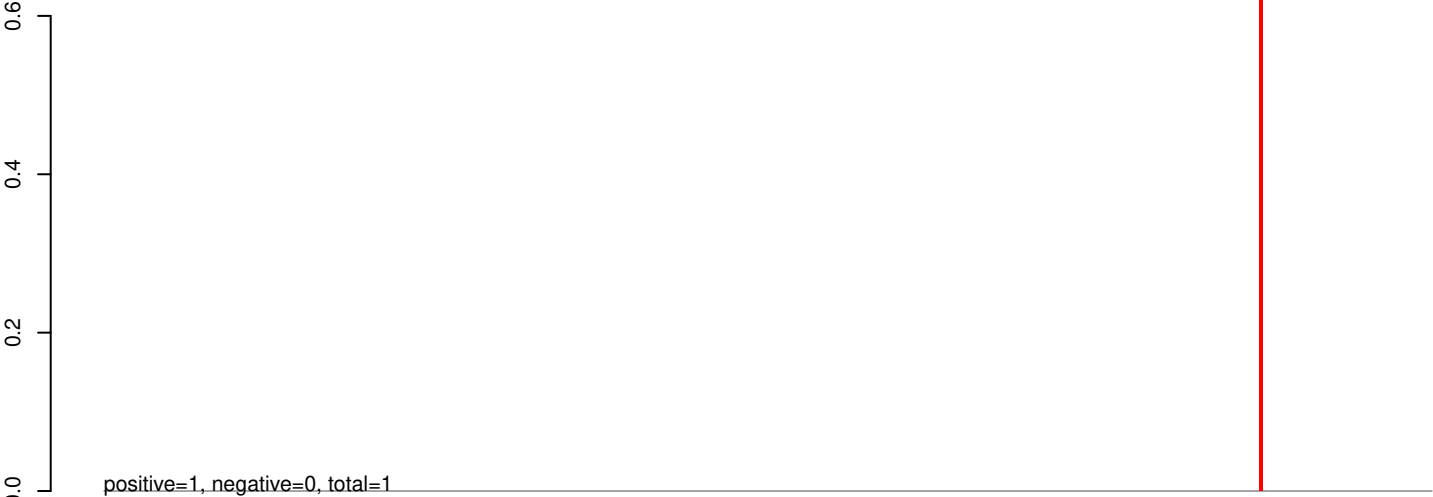
AeAeg_Aag2_Ago3_SINV_RA.24_35.rep



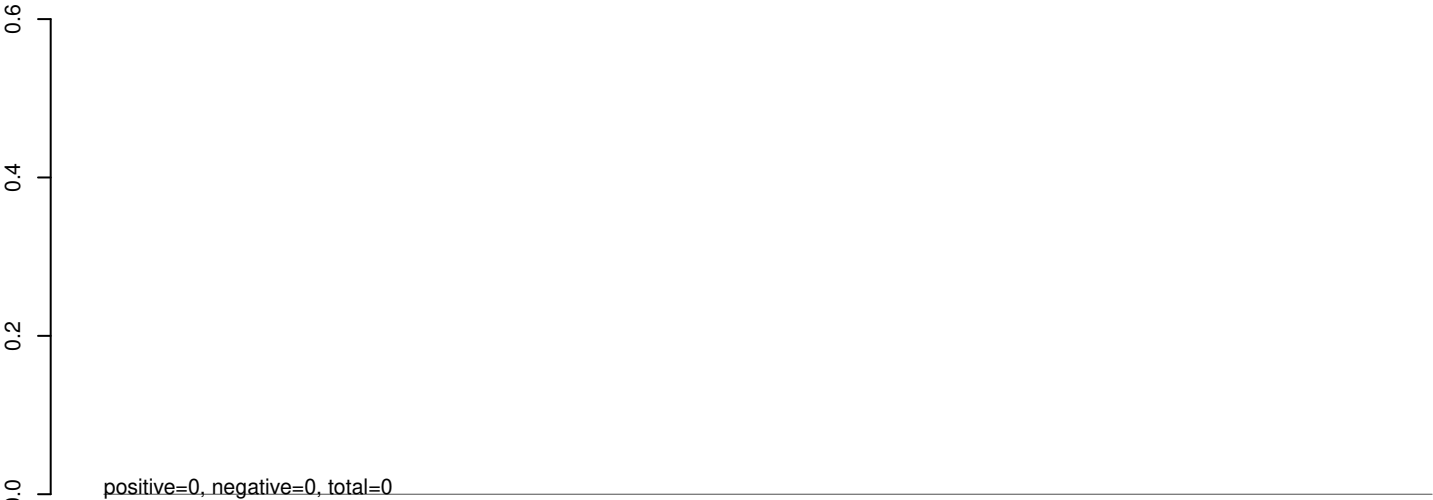
AeAeg_Aag2_Ago3_SINV_RA.rep



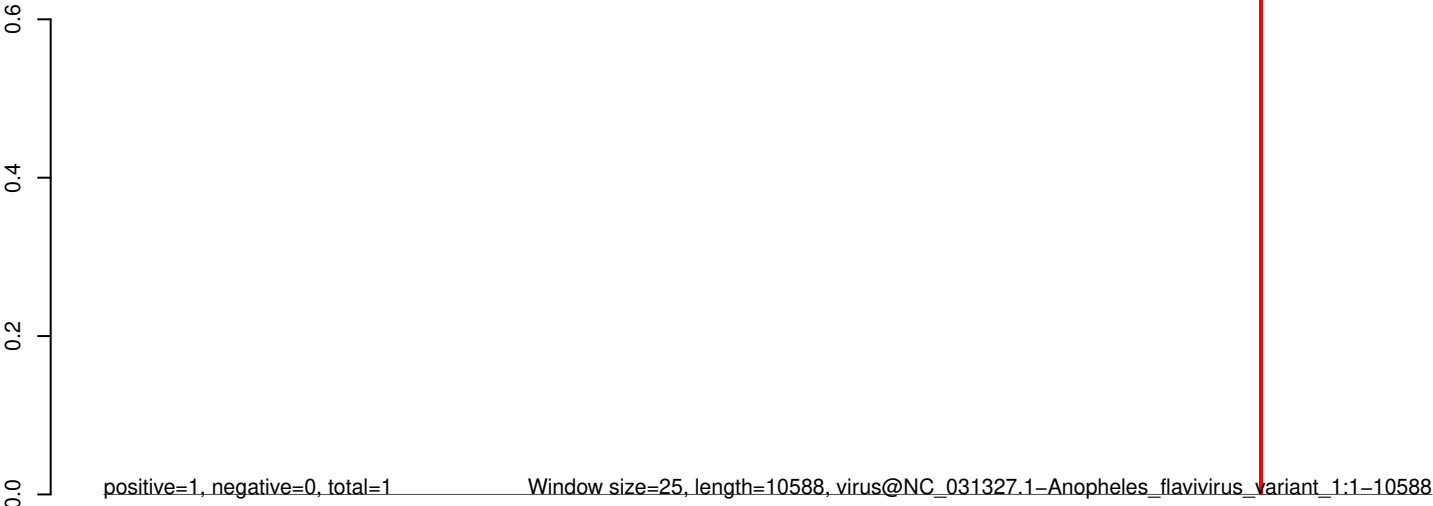
AeAeg_Aag2_Ago3_SINV_RA.18_23.rep



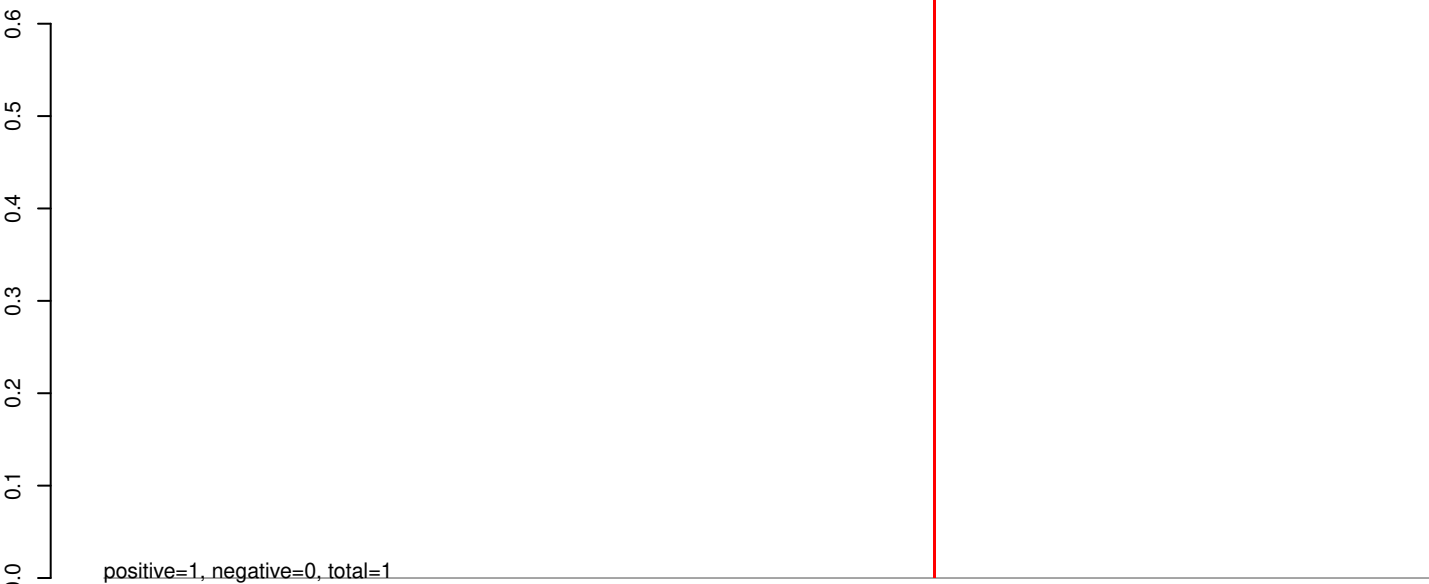
AeAeg_Aag2_Ago3_SINV_RA.24_35.rep



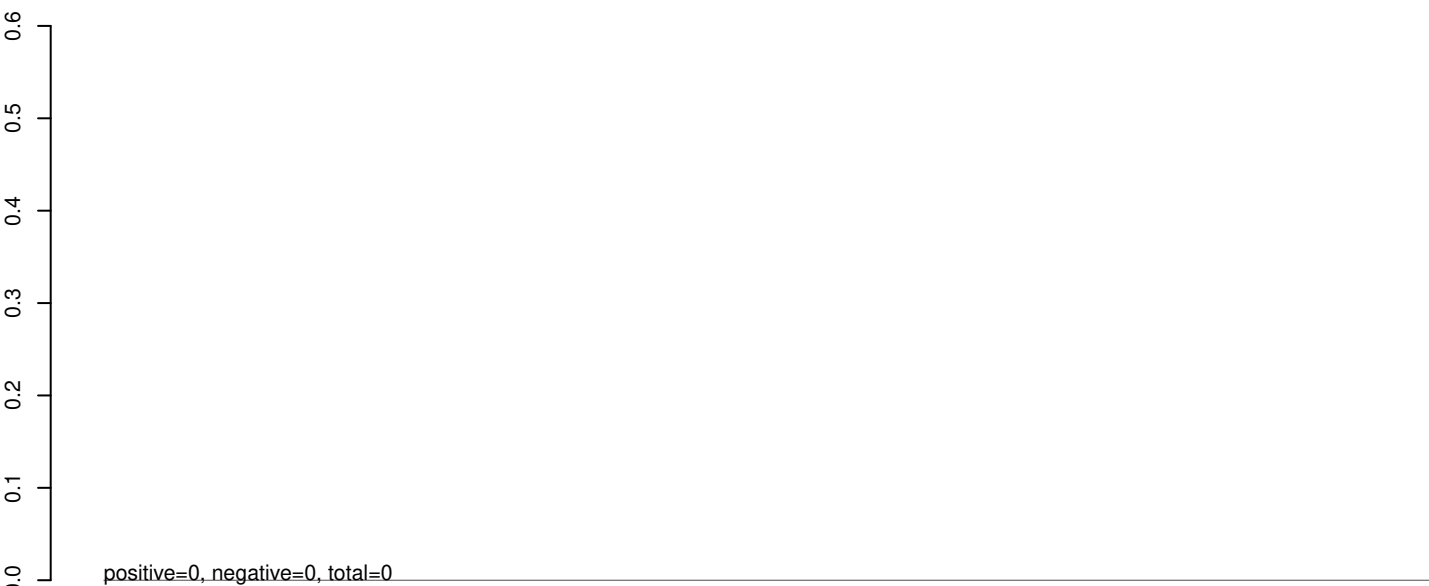
AeAeg_Aag2_Ago3_SINV_RA.rep



AeAeg_Aag2_Ago3_SINV_RA.18_23.rep



AeAeg_Aag2_Ago3_SINV_RA.24_35.rep



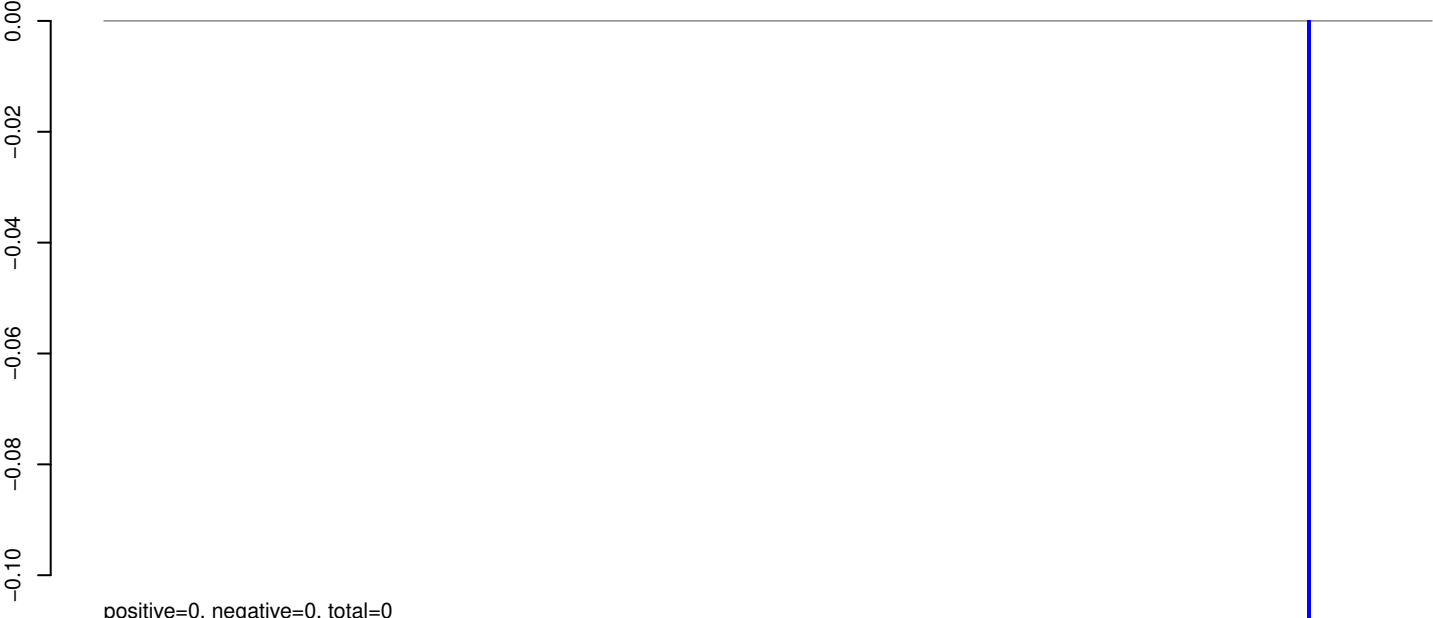
AeAeg_Aag2_Ago3_SINV_RA.rep



12774, positive=1, negative=0, total=1 - Kincheng_Mosquito_Virus_strain_XC1-6_ORF1_ORF1_ORF2_ORF2_glycoprotein_G_and_RNA-de:1-12774

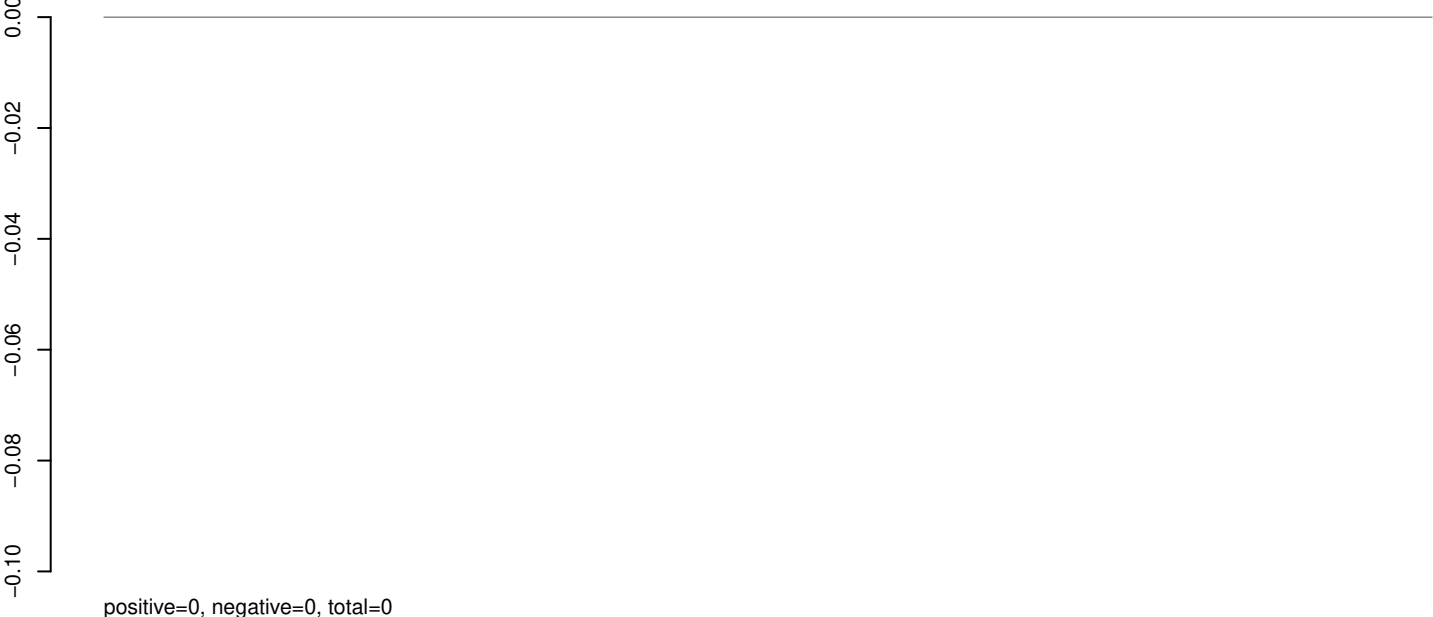
0 2000 4000 6000 8000 10000 12000

AeAeg_Aag2_Ago3_SINV_RA.18_23.rep



positive=0, negative=0, total=0

AeAeg_Aag2_Ago3_SINV_RA.24_35.rep



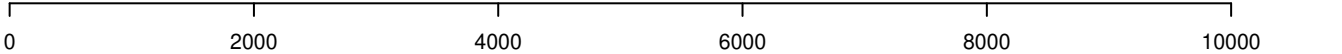
positive=0, negative=0, total=0

AeAeg_Aag2_Ago3_SINV_RA.rep

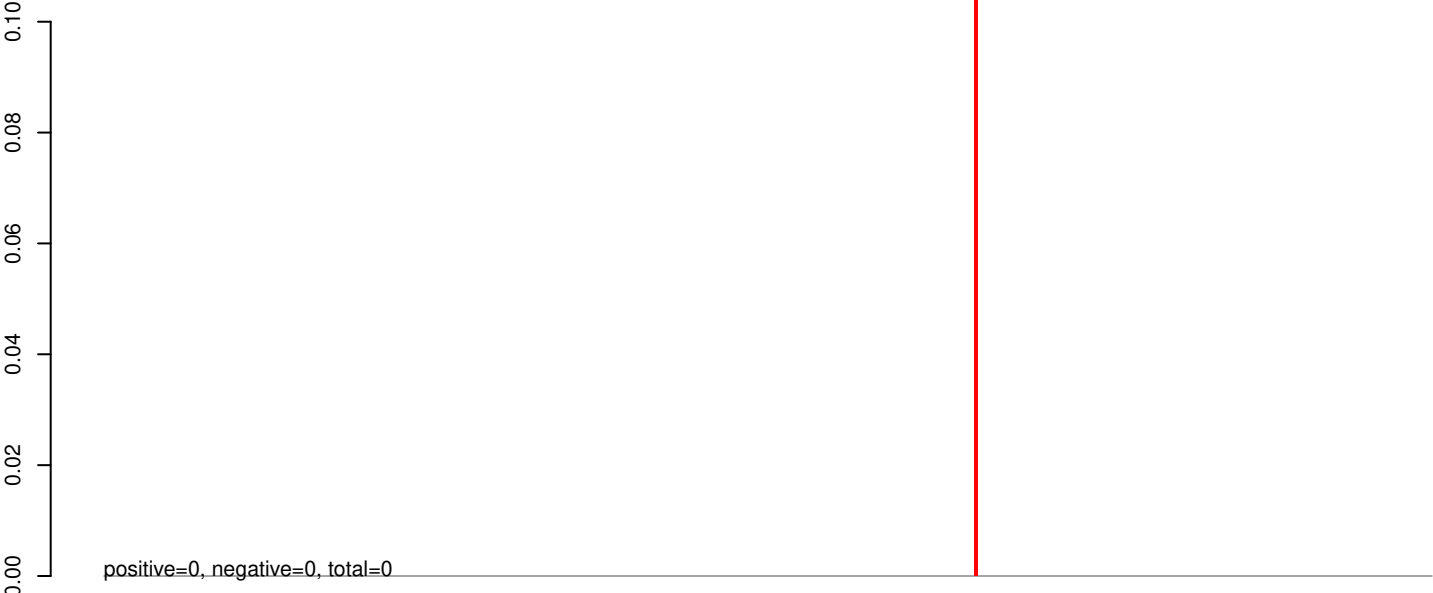


positive=0, negative=0, total=0

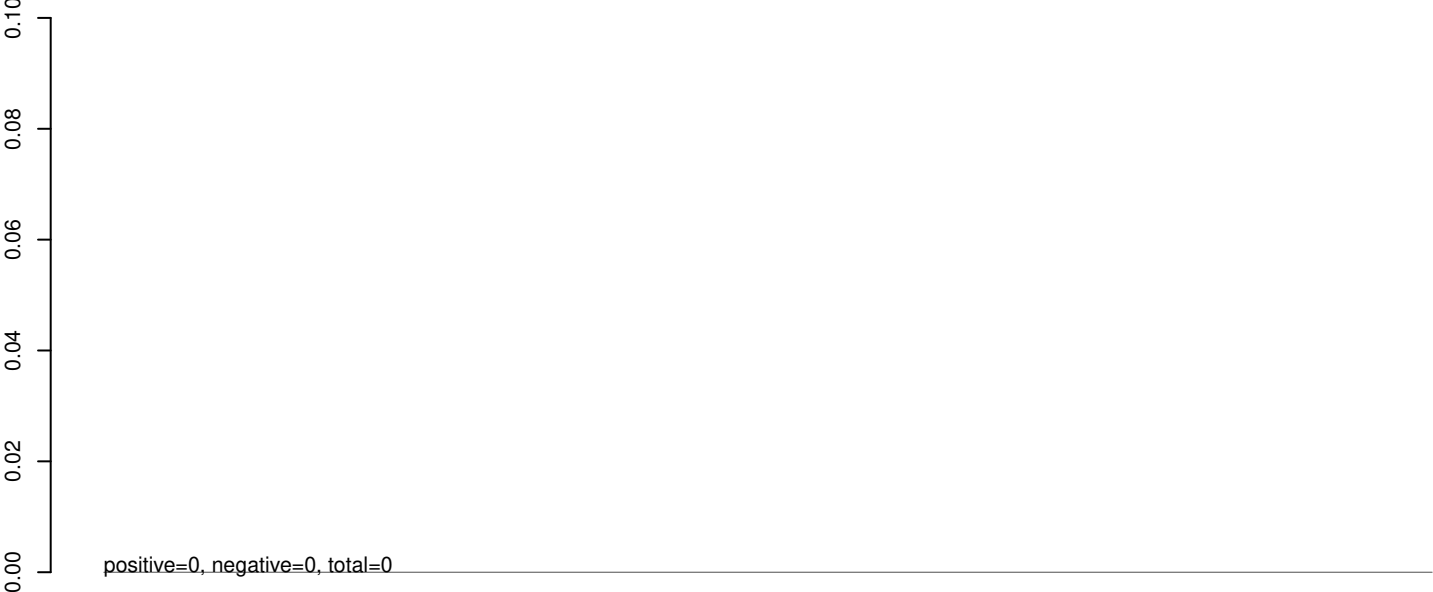
Window size=25, length=10864, virus@NC_030290.1-Culiseta_flavivirus_strain_502-13:1-10864



AeAeg_Aag2_Ago3_SINV_RA.18_23.rep



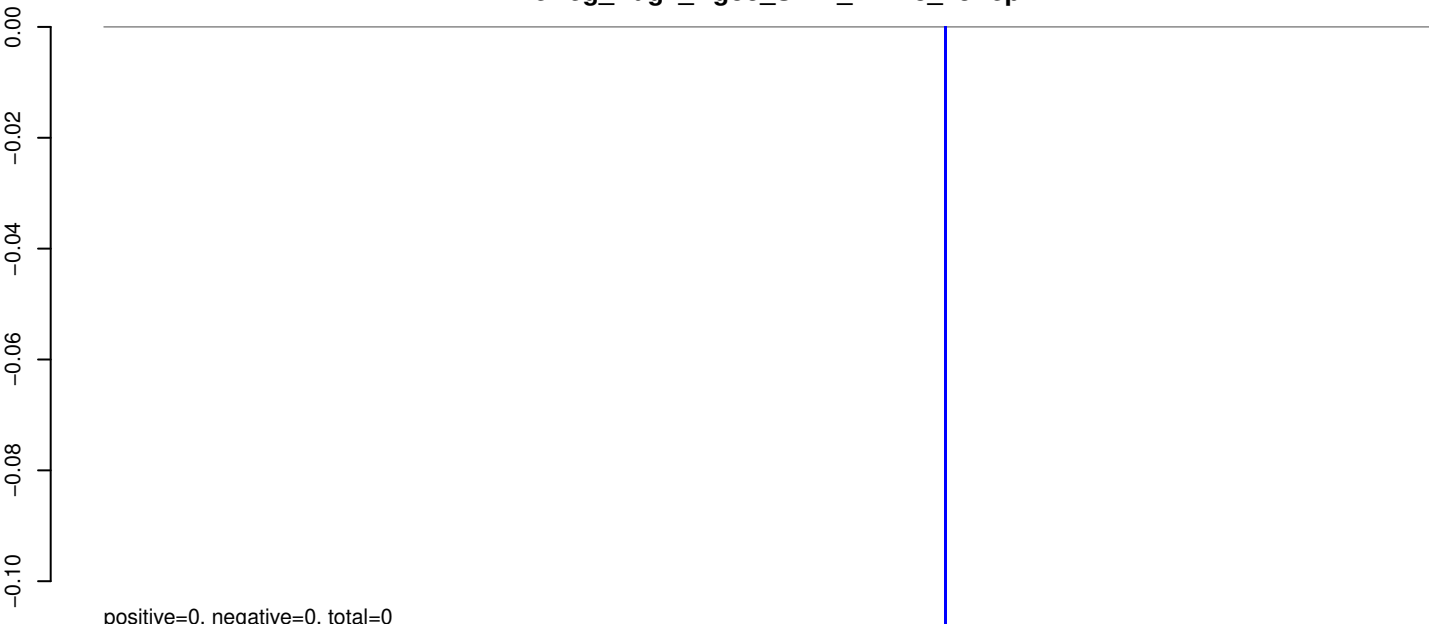
AeAeg_Aag2_Ago3_SINV_RA.24_35.rep



AeAeg_Aag2_Ago3_SINV_RA.rep



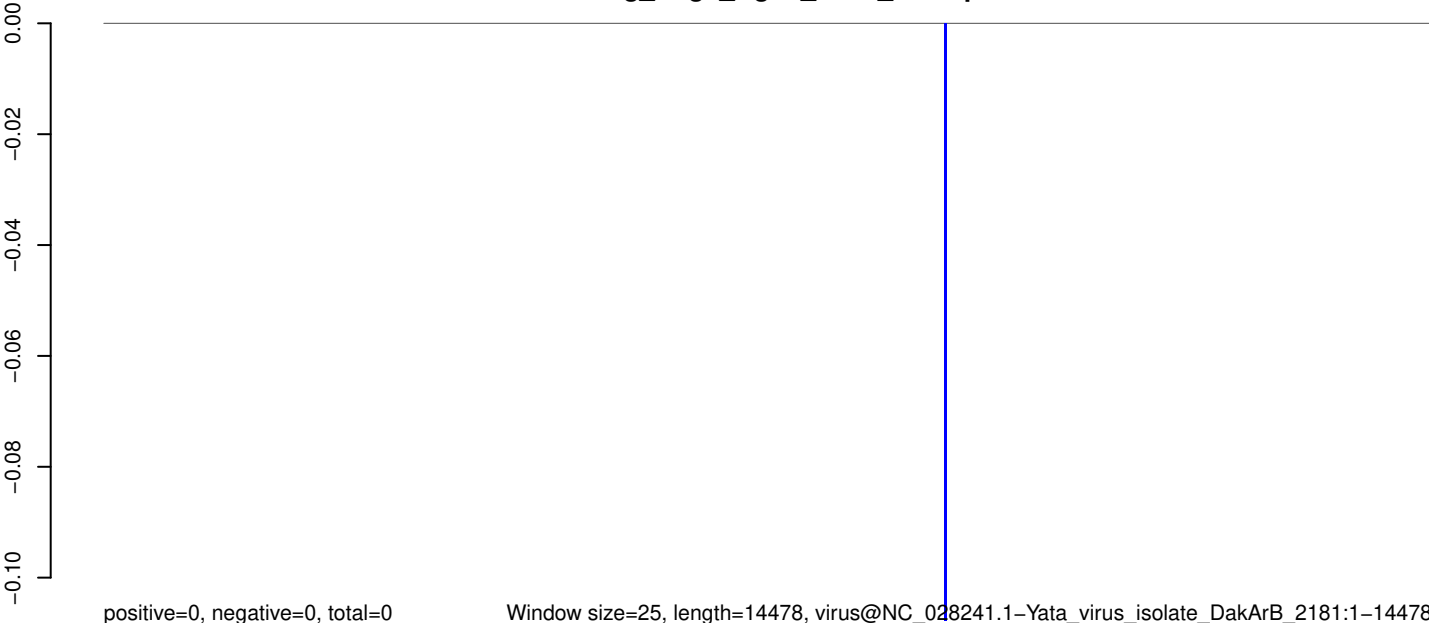
AeAeg_Aag2_Ago3_SINV_RA.18_23.rep



AeAeg_Aag2_Ago3_SINV_RA.24_35.rep

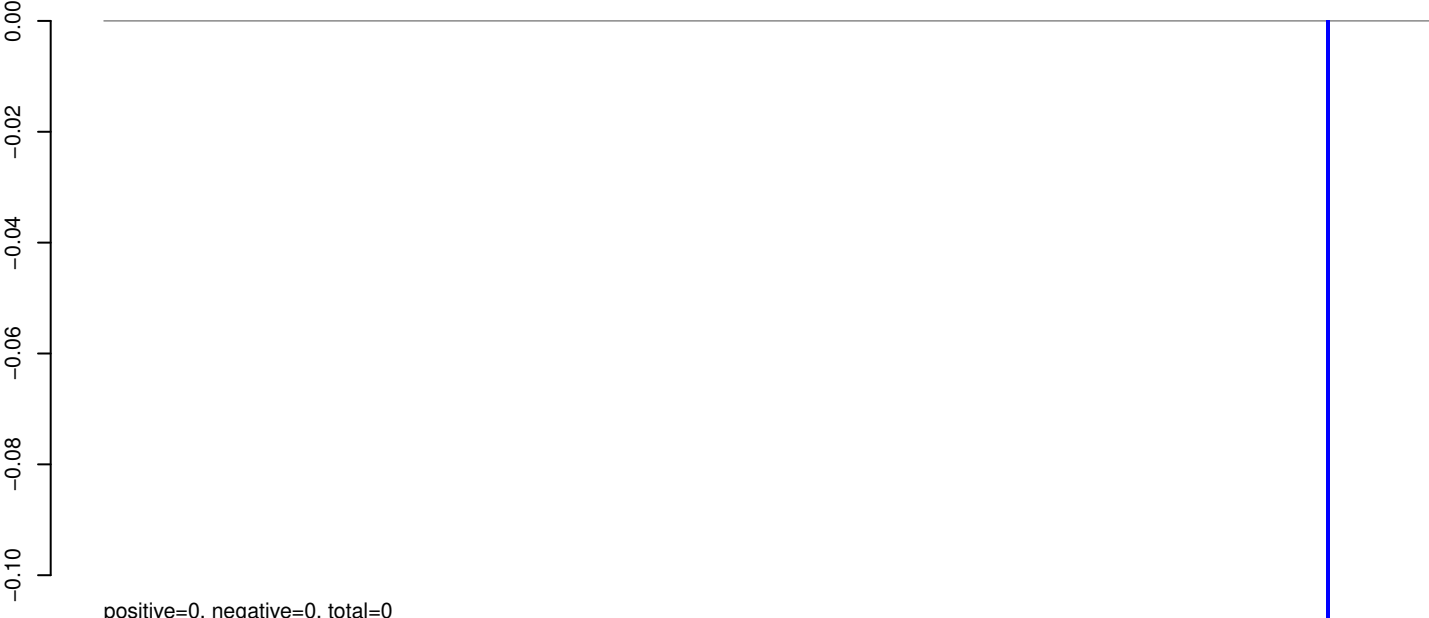


AeAeg_Aag2_Ago3_SINV_RA.rep



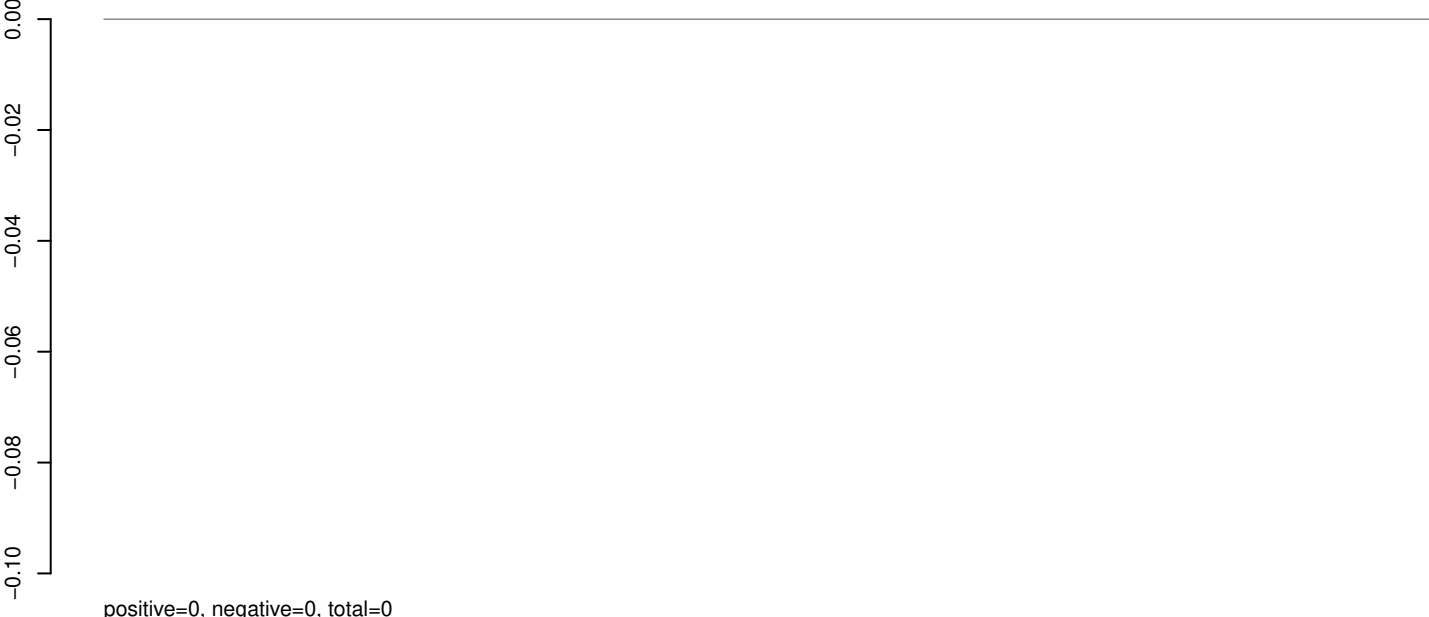
Window size=25, length=14478, virus@NC_028241.1-Yata_virus_isolate_DakArB_2181:1-14478

AeAeg_Aag2_Ago3_SINV_RA.18_23.rep



positive=0, negative=0, total=0

AeAeg_Aag2_Ago3_SINV_RA.24_35.rep



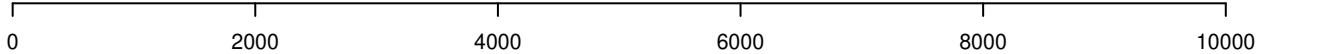
positive=0, negative=0, total=0

AeAeg_Aag2_Ago3_SINV_RA.rep

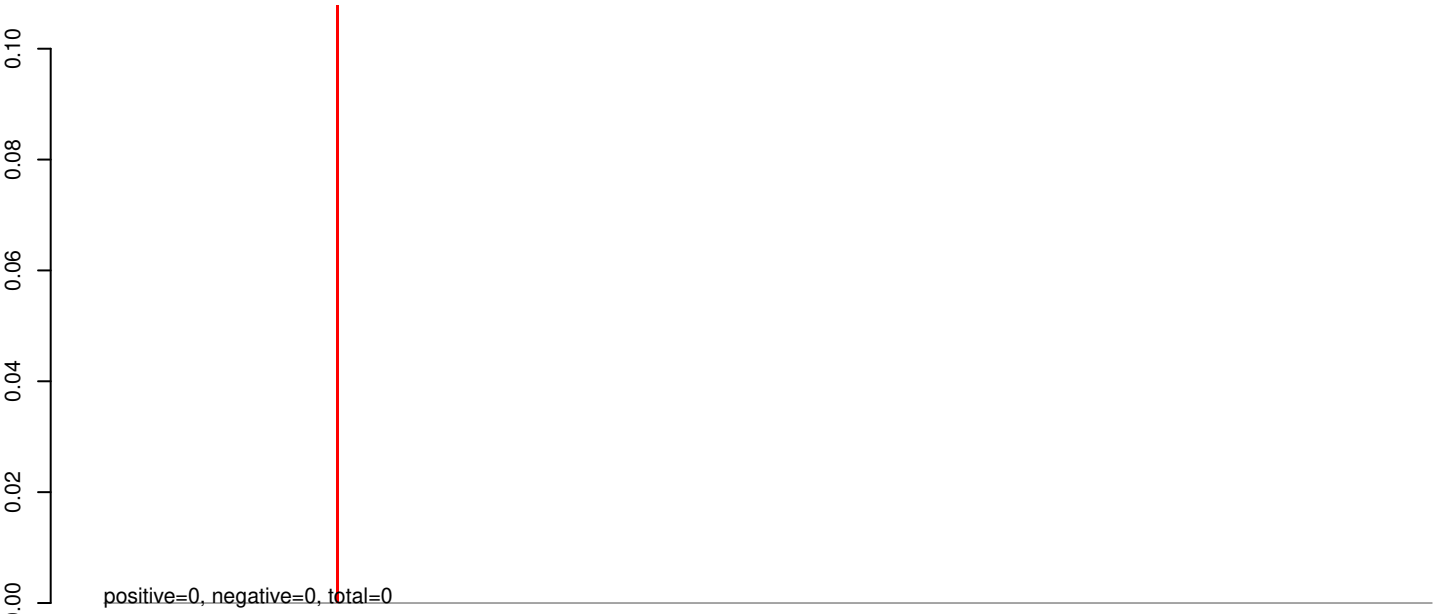


positive=0, negative=0, total=0

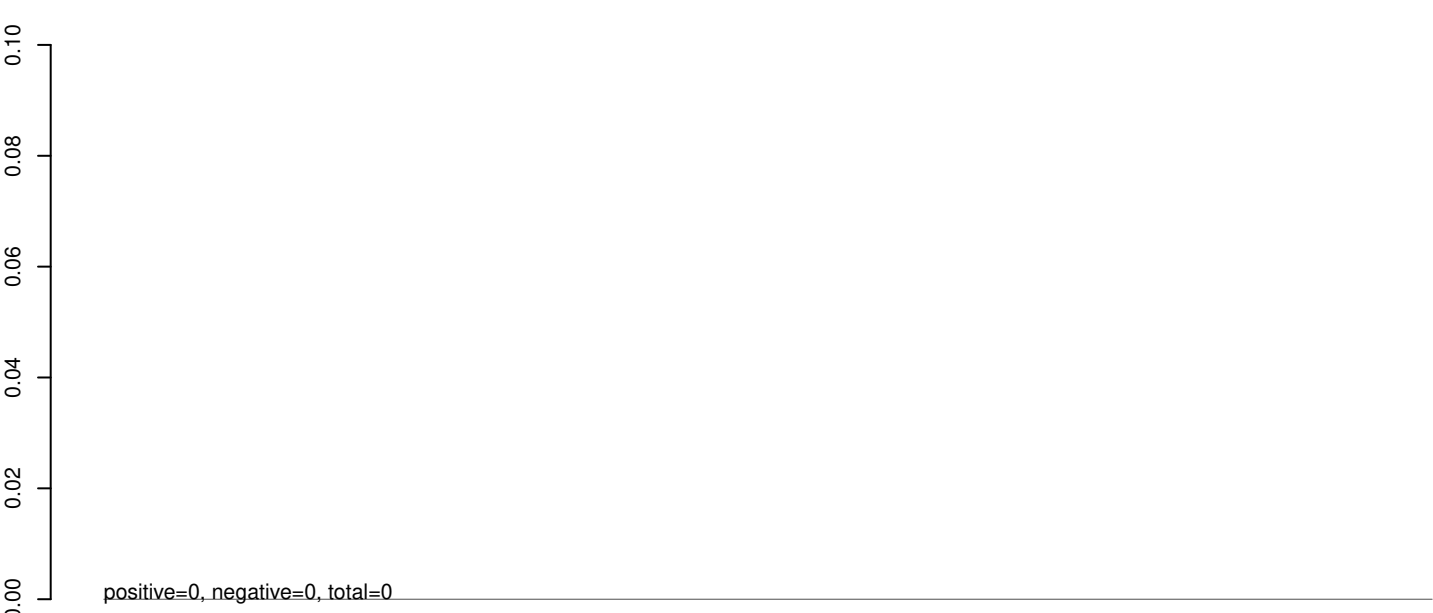
Window size=25, length=10938, virus@NC_027819.1-Mercadeo_virus_isolate_ER-M10:1-10938



AeAeg_Aag2_Ago3_SINV_RA.18_23.rep



AeAeg_Aag2_Ago3_SINV_RA.24_35.rep



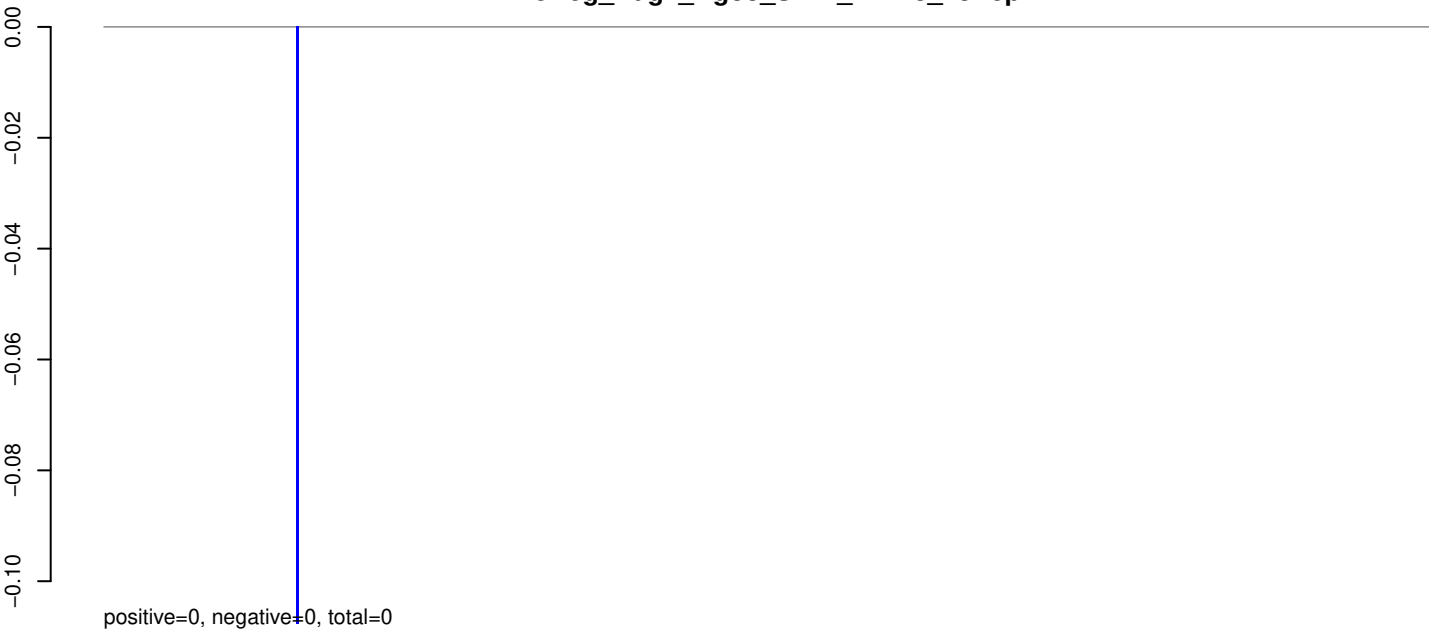
AeAeg_Aag2_Ago3_SINV_RA.rep



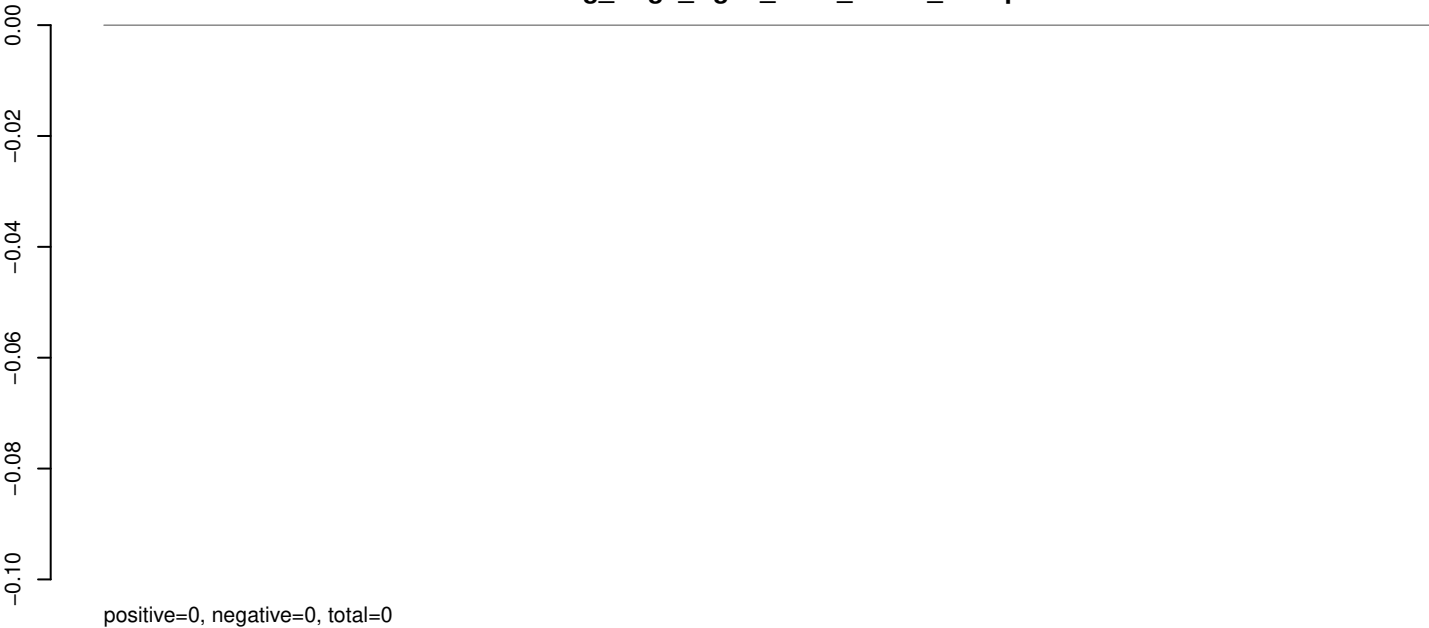
Window size=25, length=15444, virus@NC_025400.1-Malaka1_virus_isolate_SudAr_1169-64:1-15444

0 5000 10000 15000

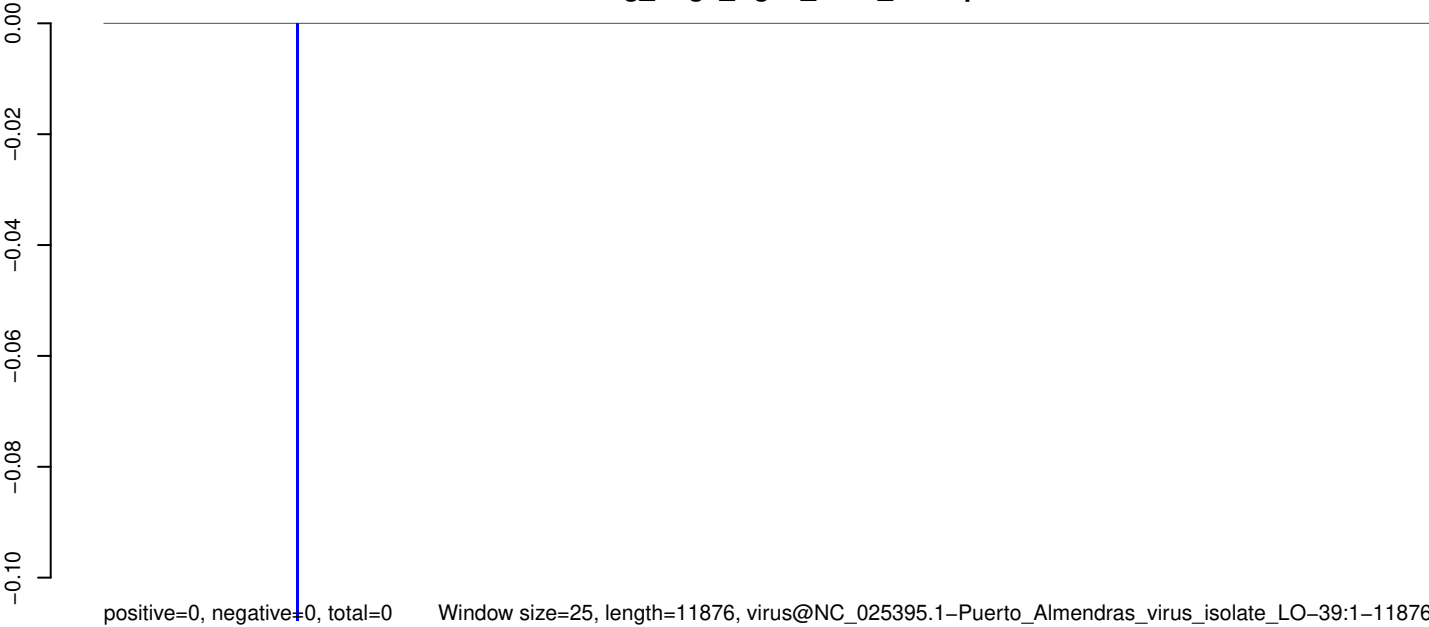
AeAeg_Aag2_Ago3_SINV_RA.18_23.rep



AeAeg_Aag2_Ago3_SINV_RA.24_35.rep



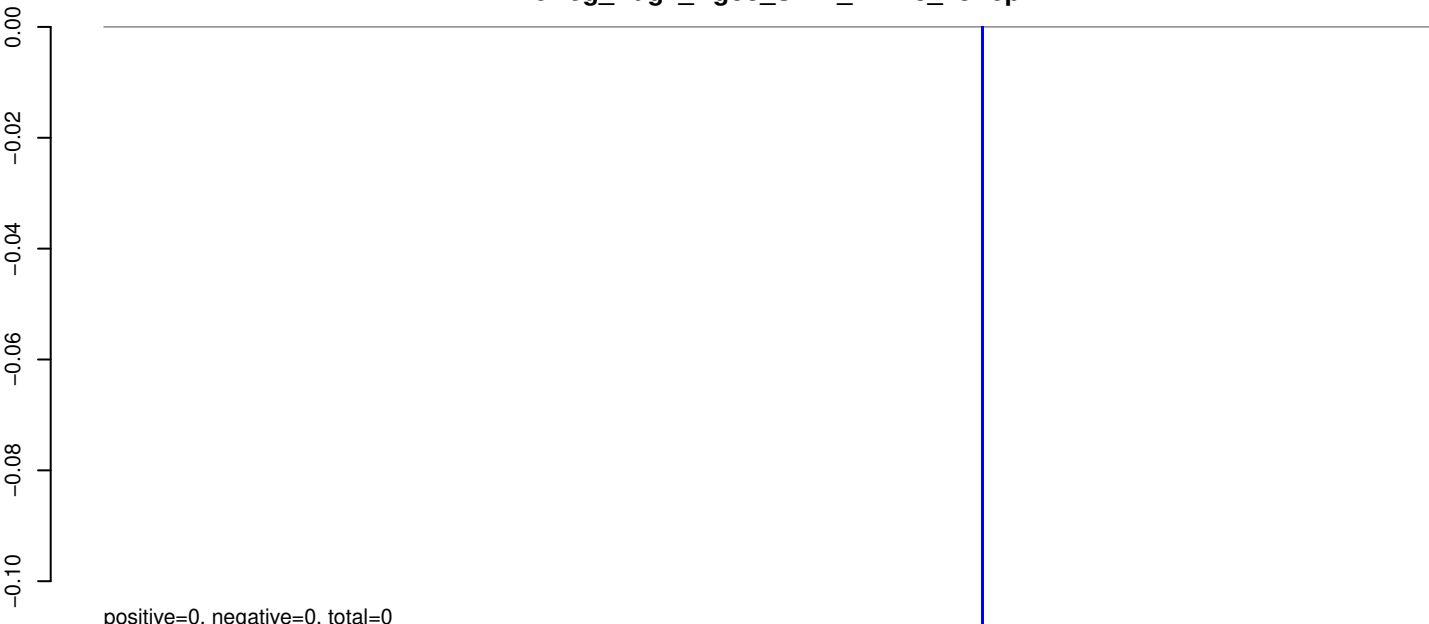
AeAeg_Aag2_Ago3_SINV_RA.rep



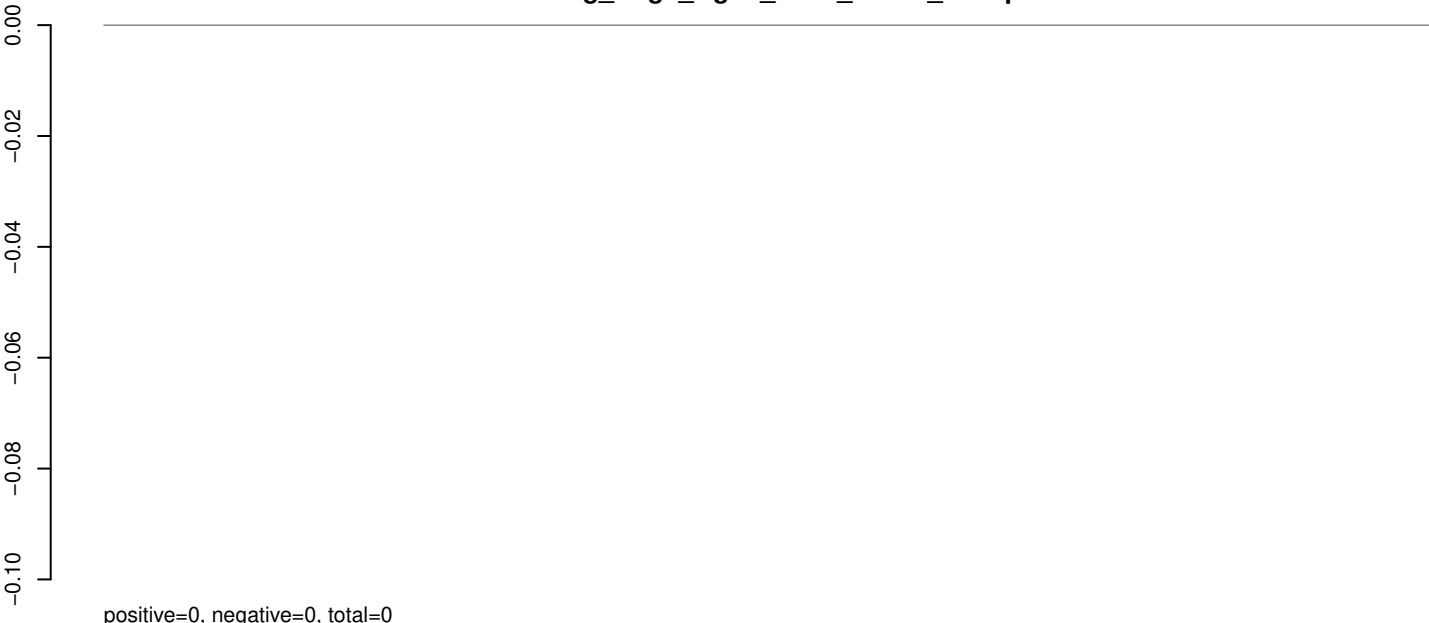
Window size=25, length=11876, virus@NC_025395.1-Puerto_Almendras_virus_isolate_LO-39:1-11876

0 2000 4000 6000 8000 10000 12000

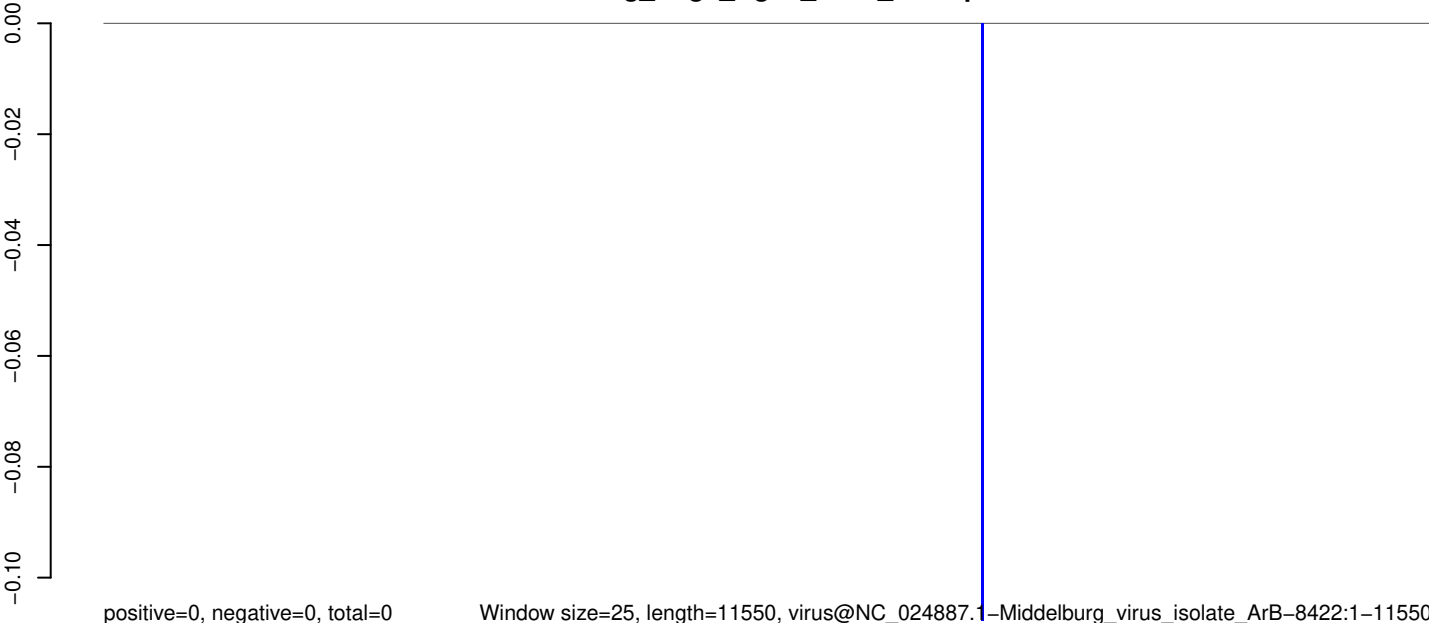
AeAeg_Aag2_Ago3_SINV_RA.18_23.rep



AeAeg_Aag2_Ago3_SINV_RA.24_35.rep

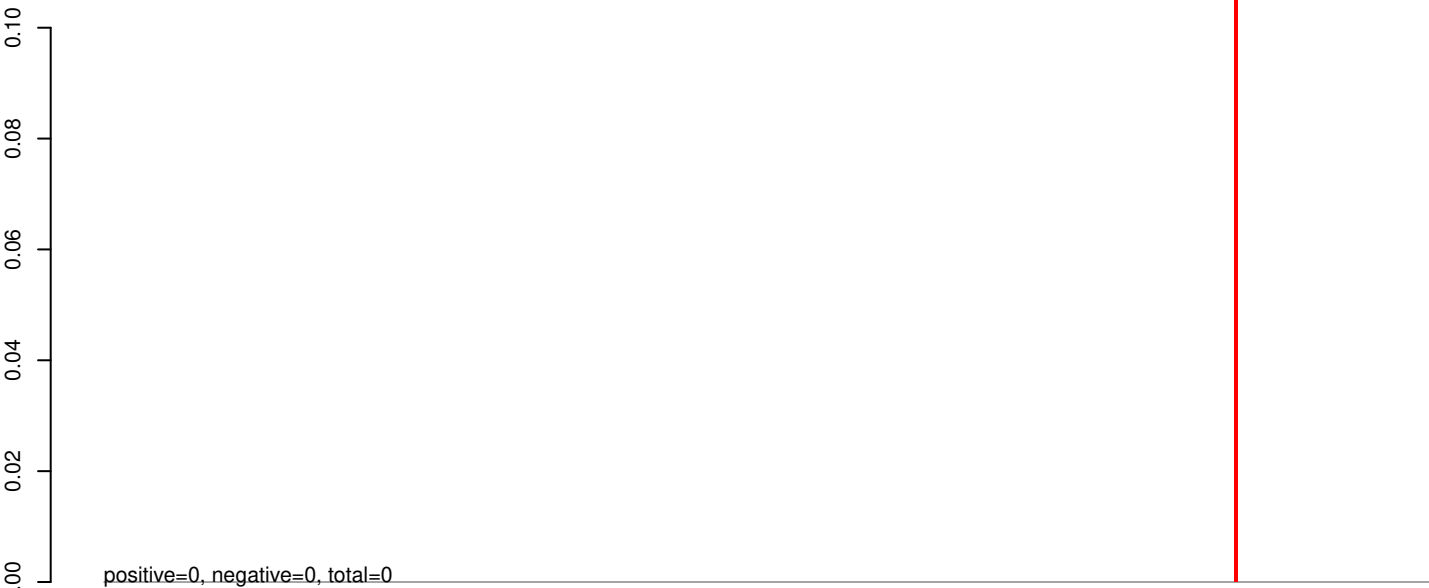


AeAeg_Aag2_Ago3_SINV_RA.rep

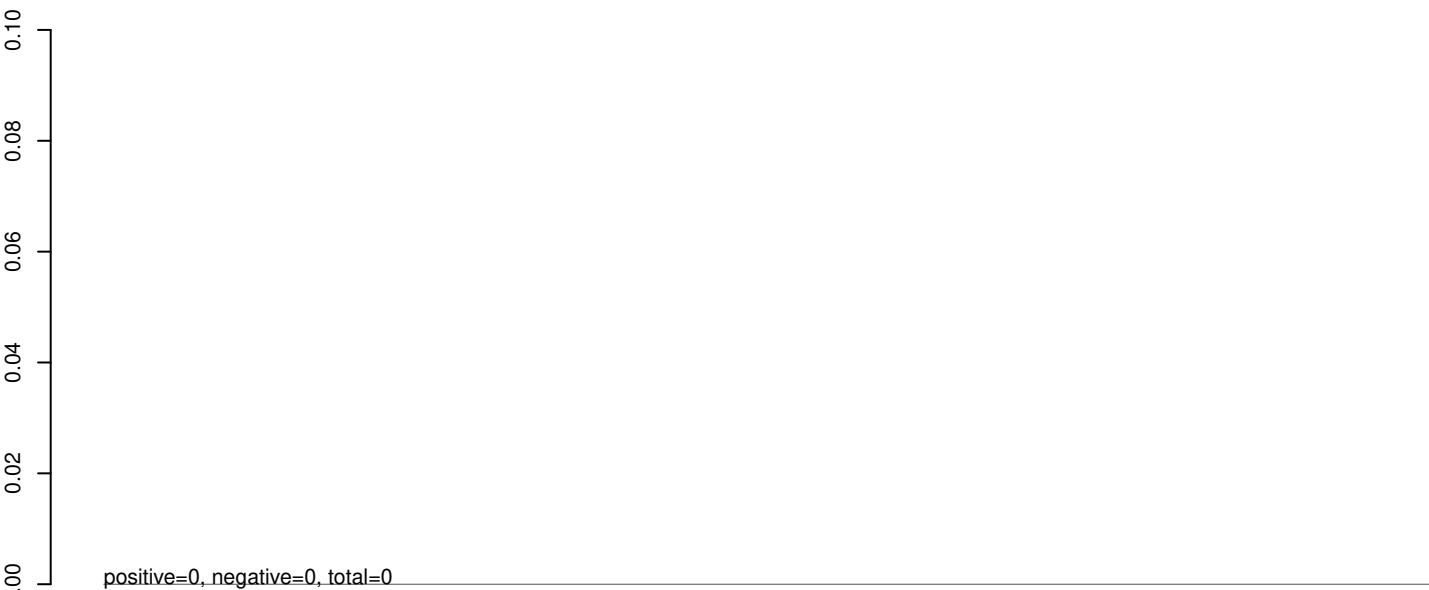


0 2000 4000 6000 8000 10000 12000

AeAeg_Aag2_Ago3_SINV_RA.18_23.rep



AeAeg_Aag2_Ago3_SINV_RA.24_35.rep

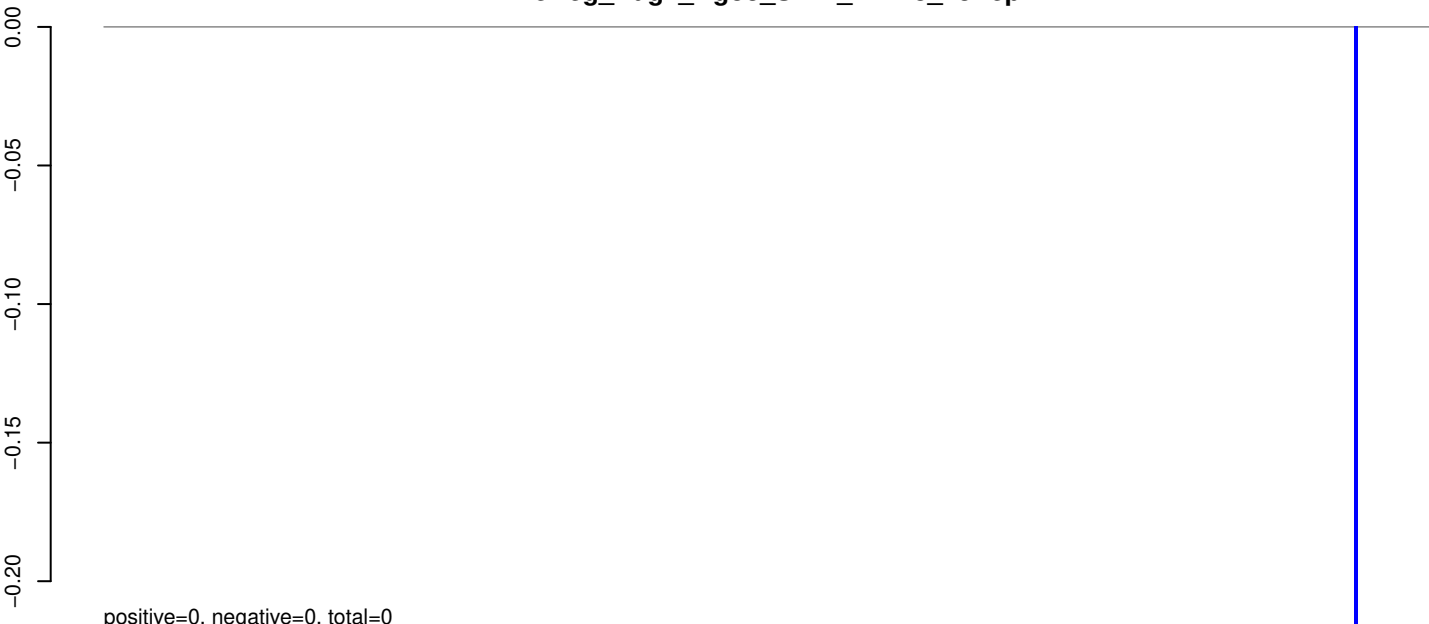


AeAeg_Aag2_Ago3_SINV_RA.rep



0 2000 4000 6000 8000 10000

AeAeg_Aag2_Ago3_SINV_RA.18_23.rep



positive=0, negative=0, total=0

AeAeg_Aag2_Ago3_SINV_RA.24_35.rep



positive=0, negative=0, total=0

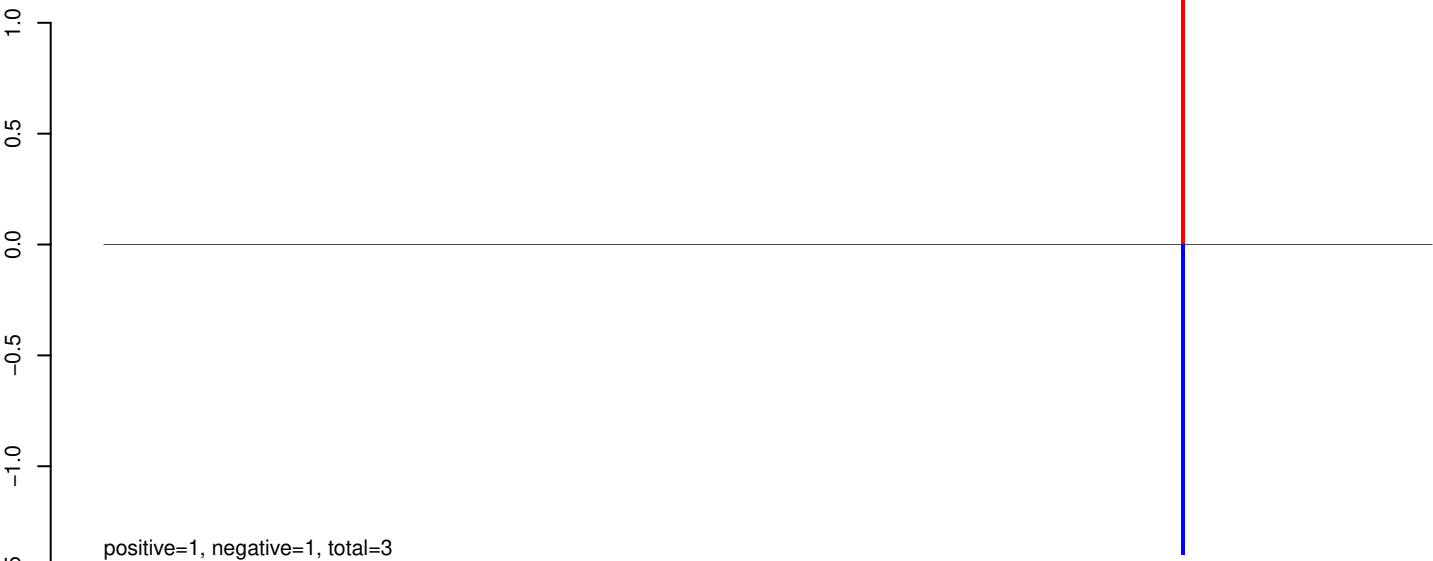
AeAeg_Aag2_Ago3_SINV_RA.rep



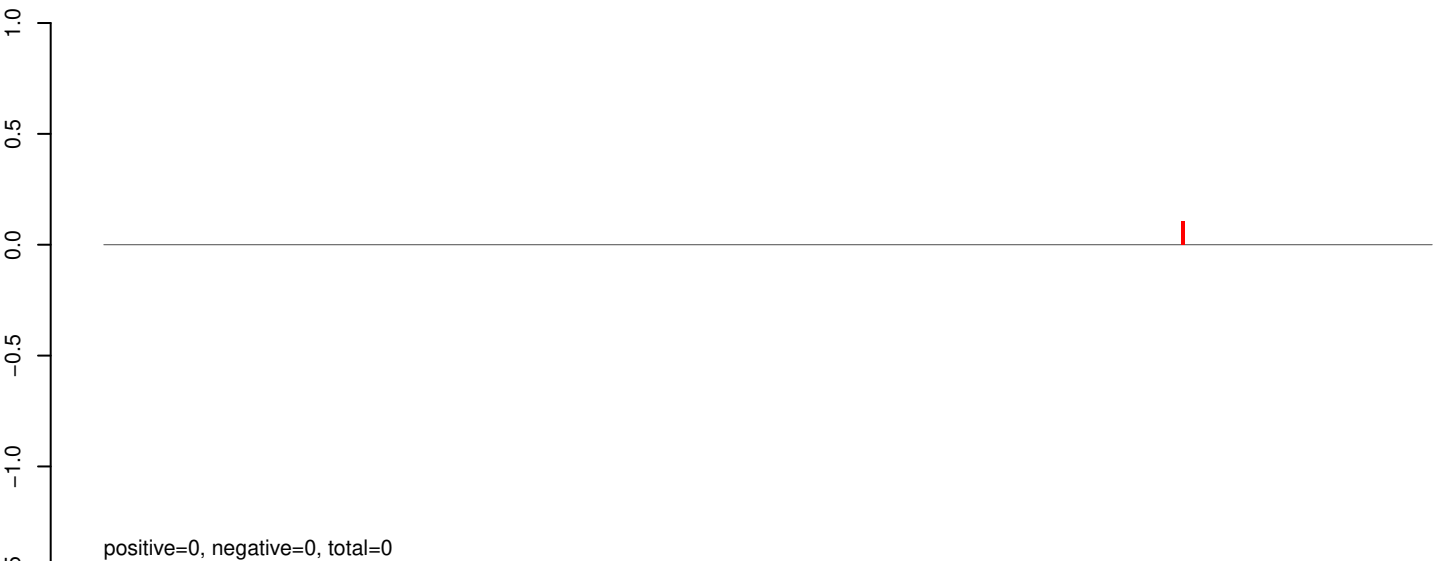
positive=0, negative=0, total=0, window size=25, length=10688, virus@NC_023439.1-Kama_virus_strain_LEIV-20776Tat_polyprotein_gene:1-10688

0 2000 4000 6000 8000 10000

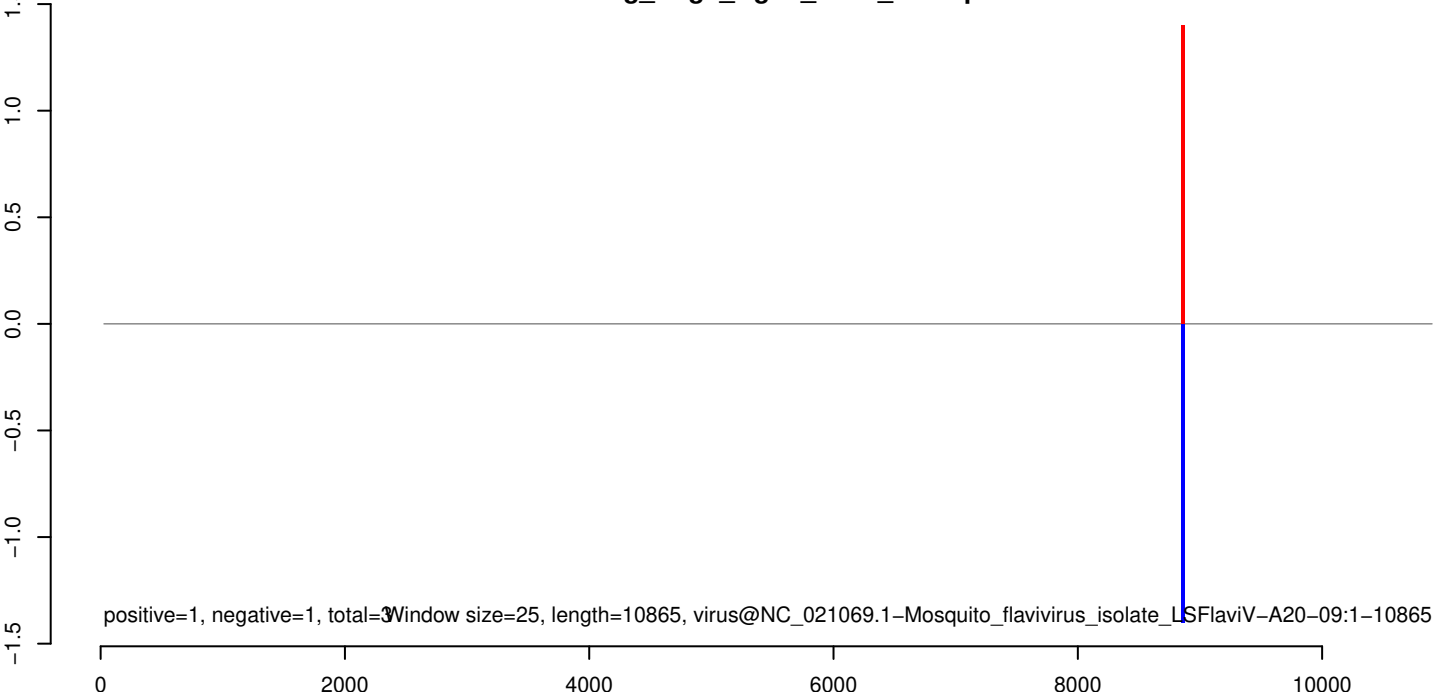
AeAeg_Aag2_Ago3_SINV_RA.18_23.rep



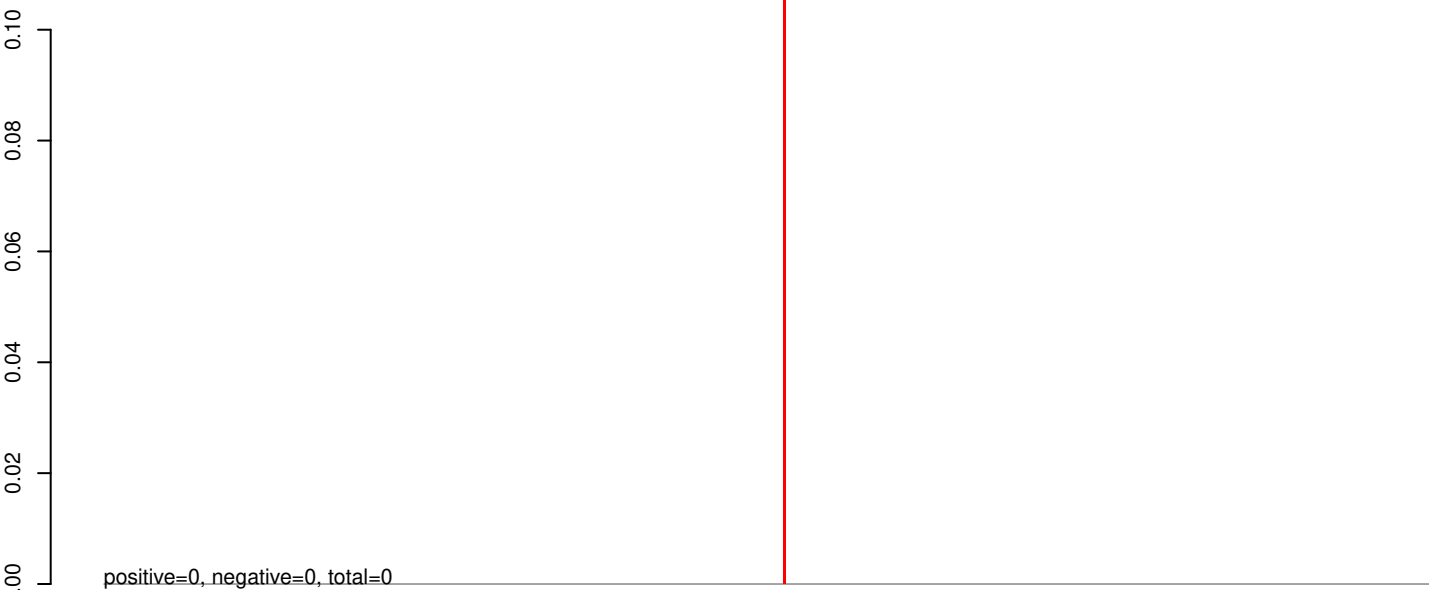
AeAeg_Aag2_Ago3_SINV_RA.24_35.rep



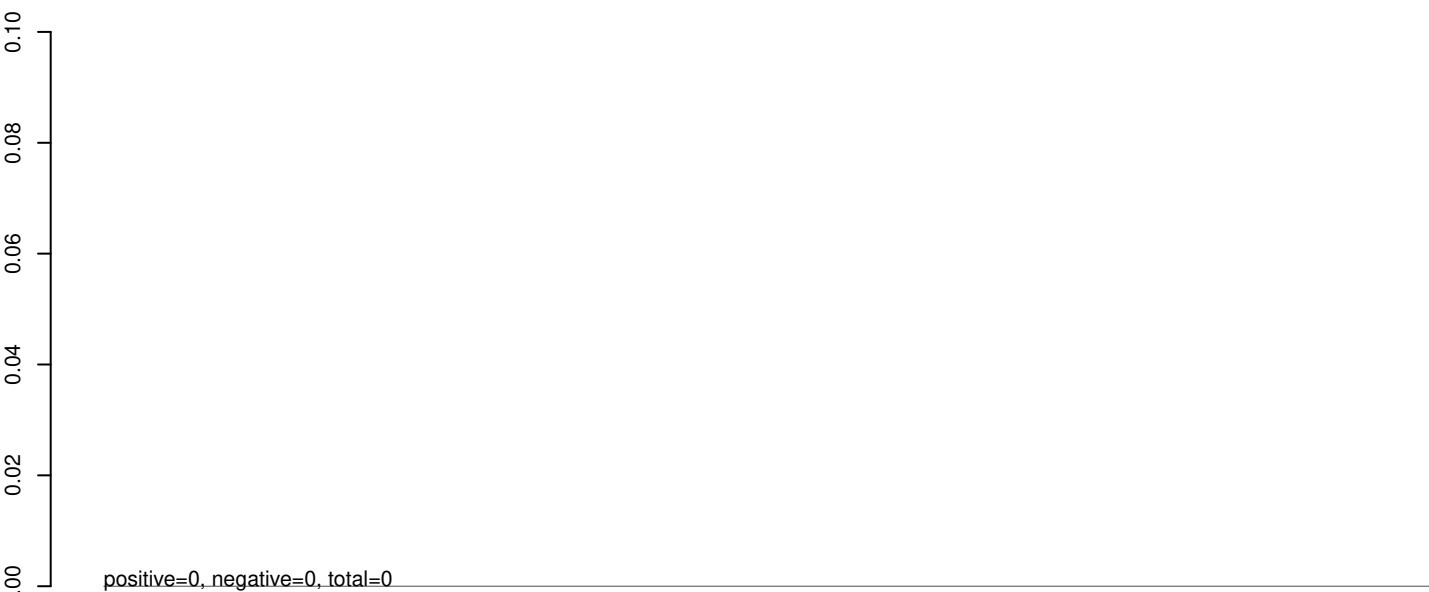
AeAeg_Aag2_Ago3_SINV_RA.rep



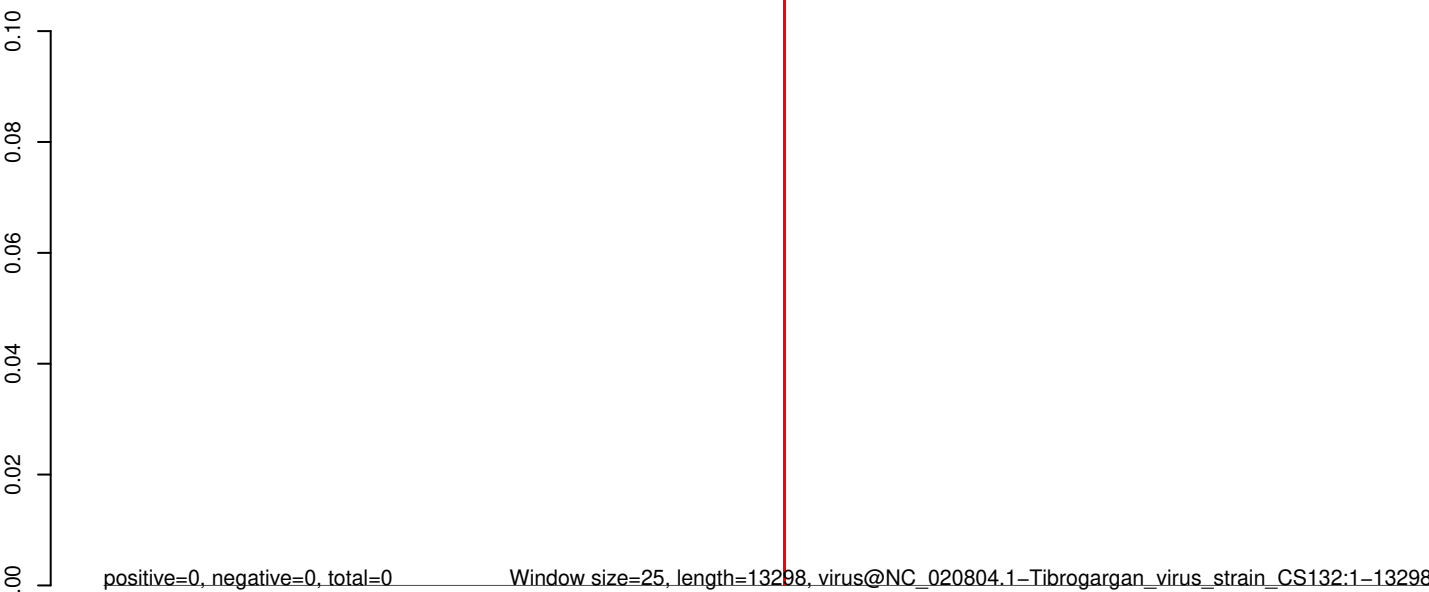
AeAeg_Aag2_Ago3_SINV_RA.18_23.rep



AeAeg_Aag2_Ago3_SINV_RA.24_35.rep

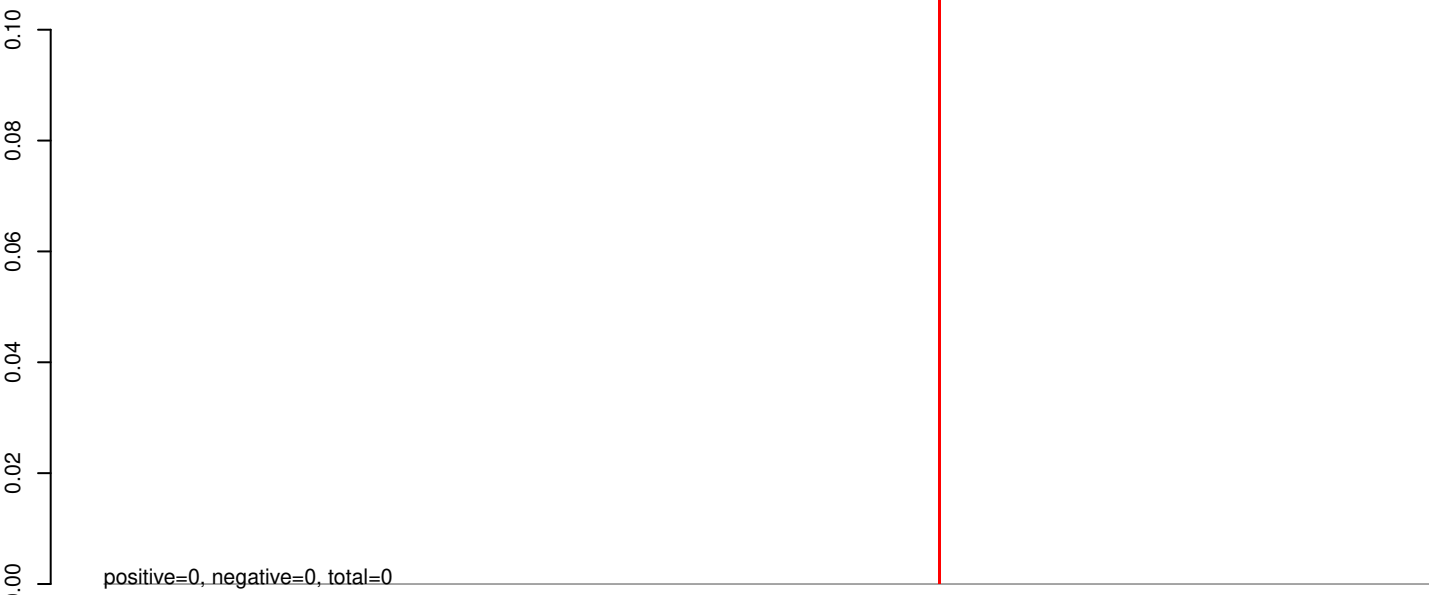


AeAeg_Aag2_Ago3_SINV_RA.rep

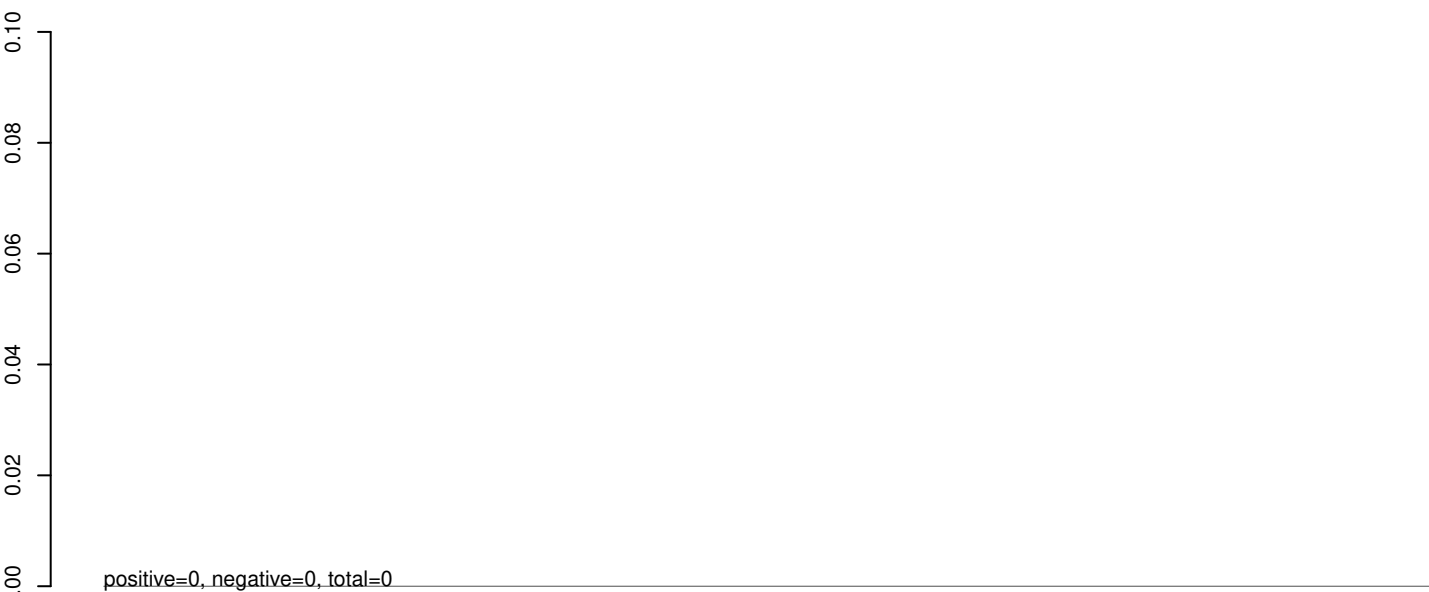


0 2000 4000 6000 8000 10000 12000

AeAeg_Aag2_Ago3_SINV_RA.18_23.rep



AeAeg_Aag2_Ago3_SINV_RA.24_35.rep

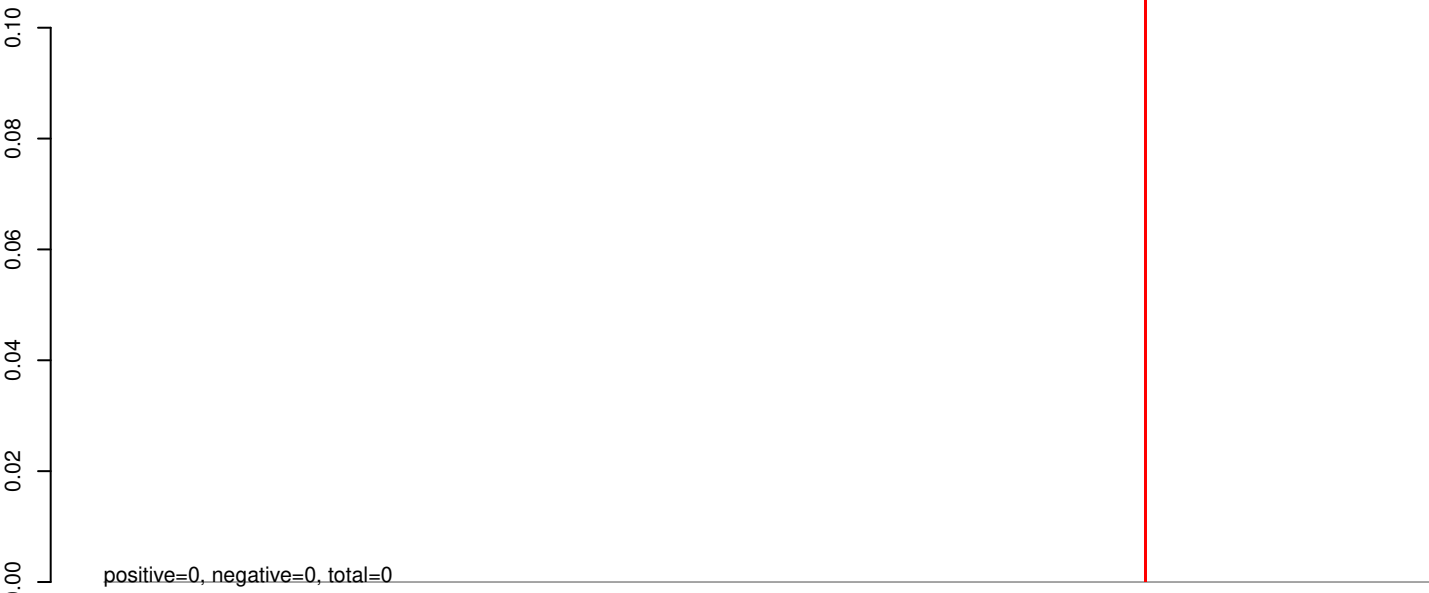


AeAeg_Aag2_Ago3_SINV_RA.rep

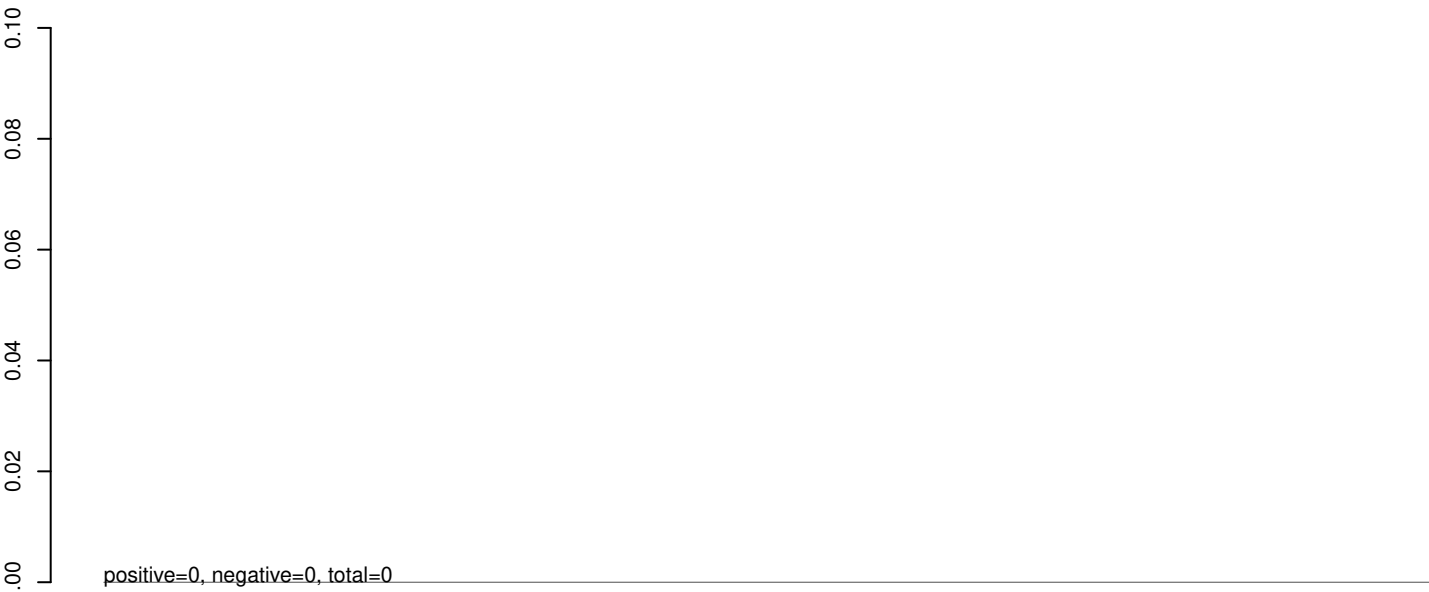


0 5000 10000 15000

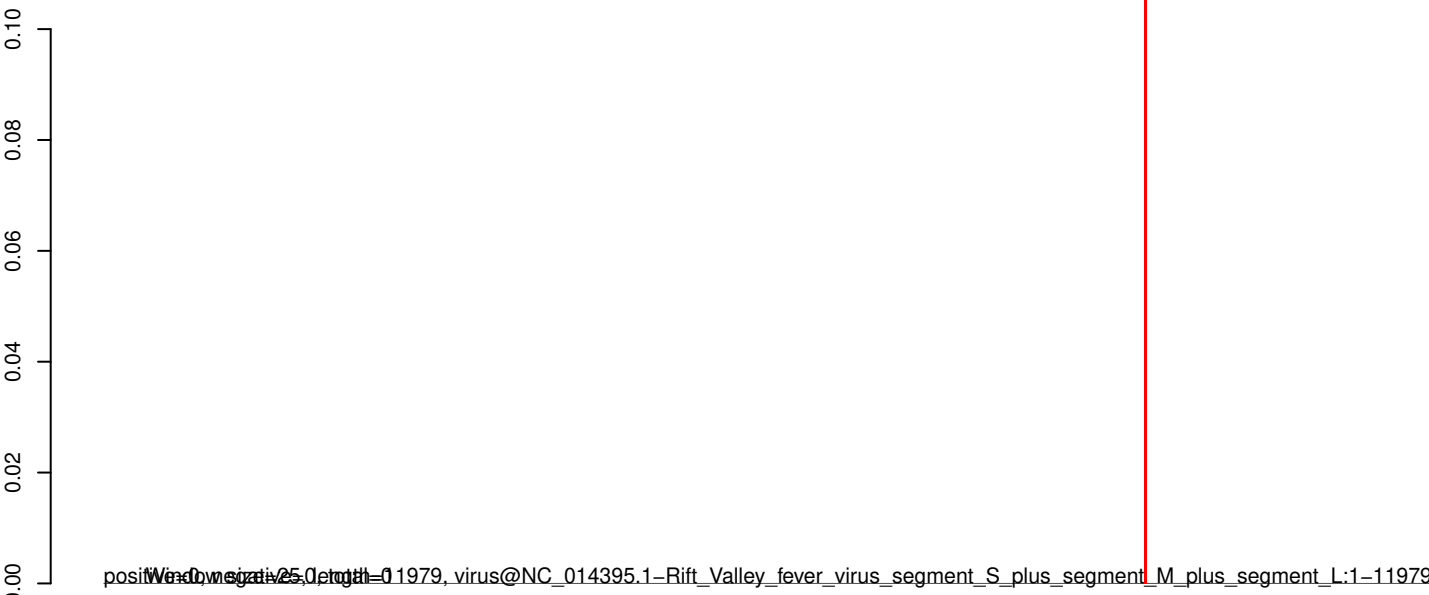
AeAeg_Aag2_Ago3_SINV_RA.18_23.rep



AeAeg_Aag2_Ago3_SINV_RA.24_35.rep

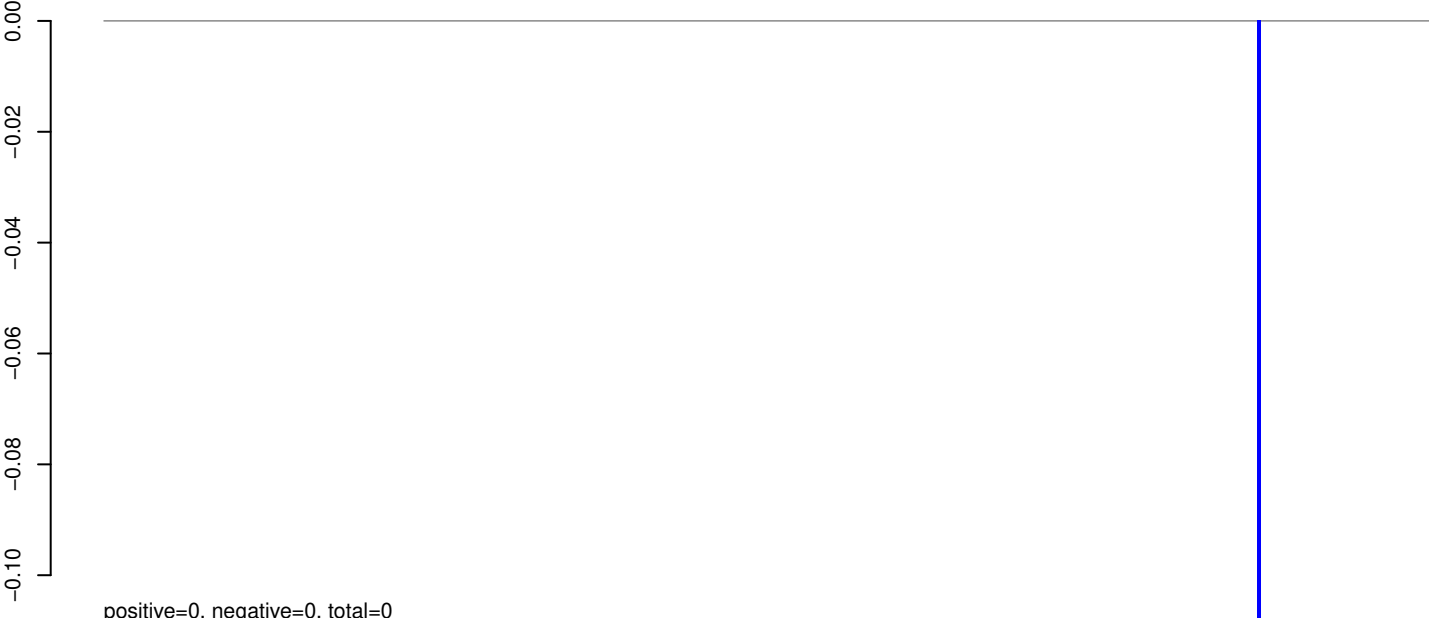


AeAeg_Aag2_Ago3_SINV_RA.rep



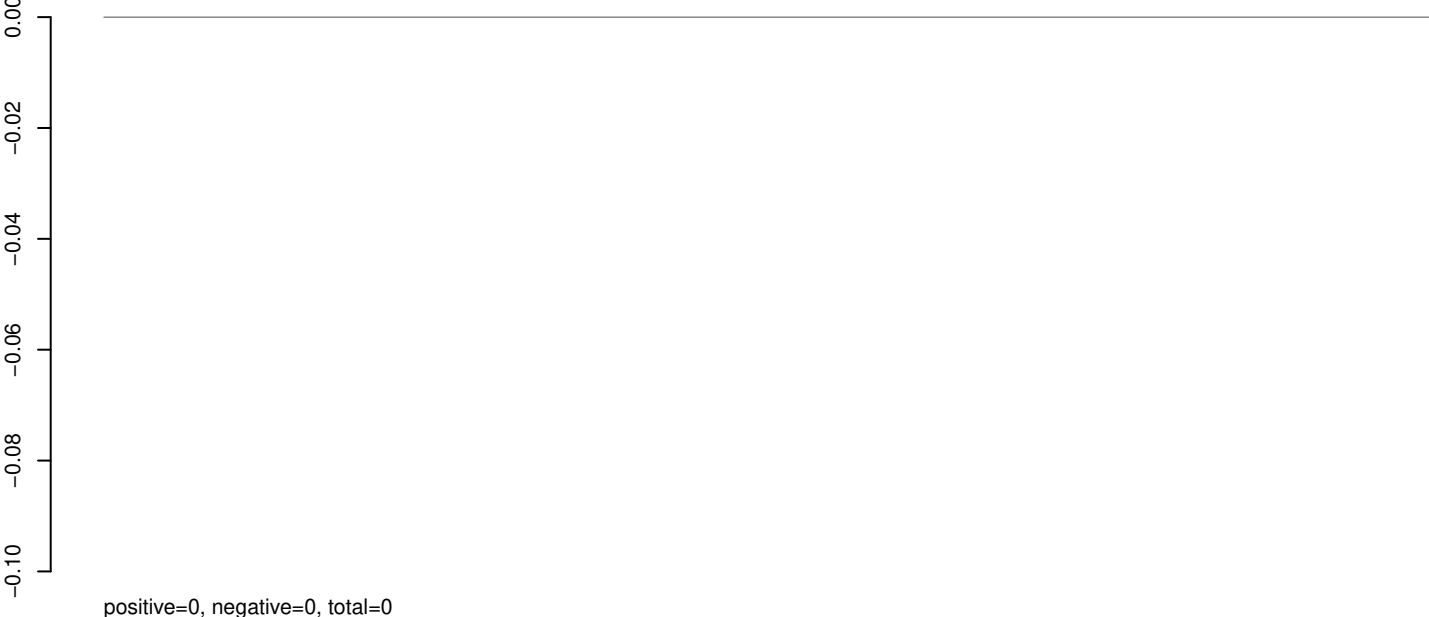
0 2000 4000 6000 8000 10000 12000

AeAeg_Aag2_Ago3_SINV_RA.18_23.rep



positive=0, negative=0, total=0

AeAeg_Aag2_Ago3_SINV_RA.24_35.rep



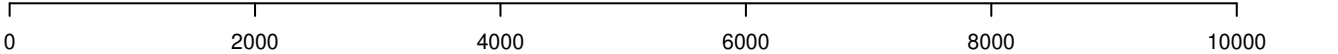
positive=0, negative=0, total=0

AeAeg_Aag2_Ago3_SINV_RA.rep

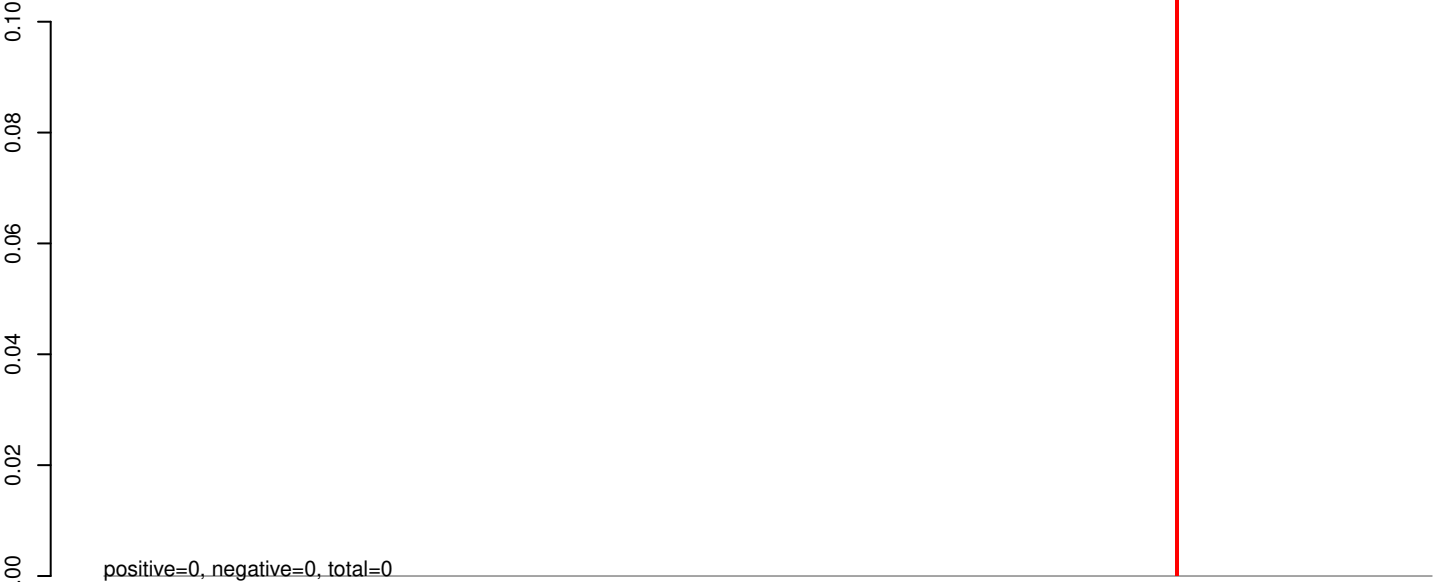


positive=0, negative=0, total=0

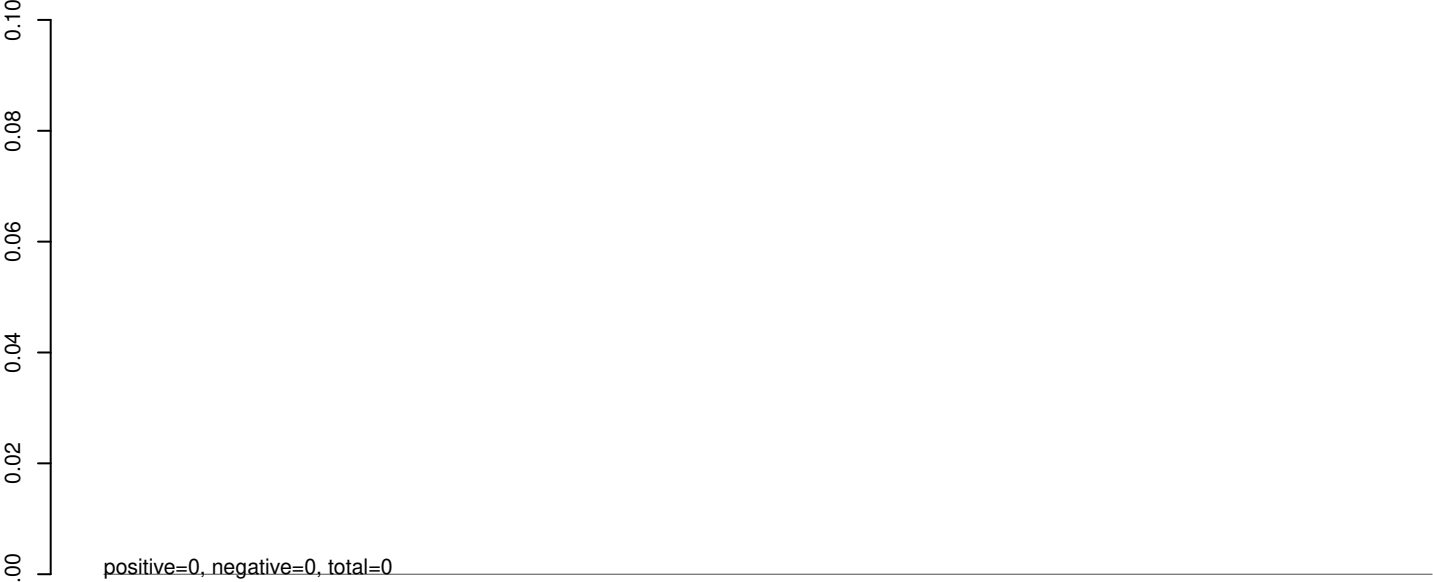
Window size=25, length=10814, virus@NC_012735.1-Wesselsbron_virus:1-10814



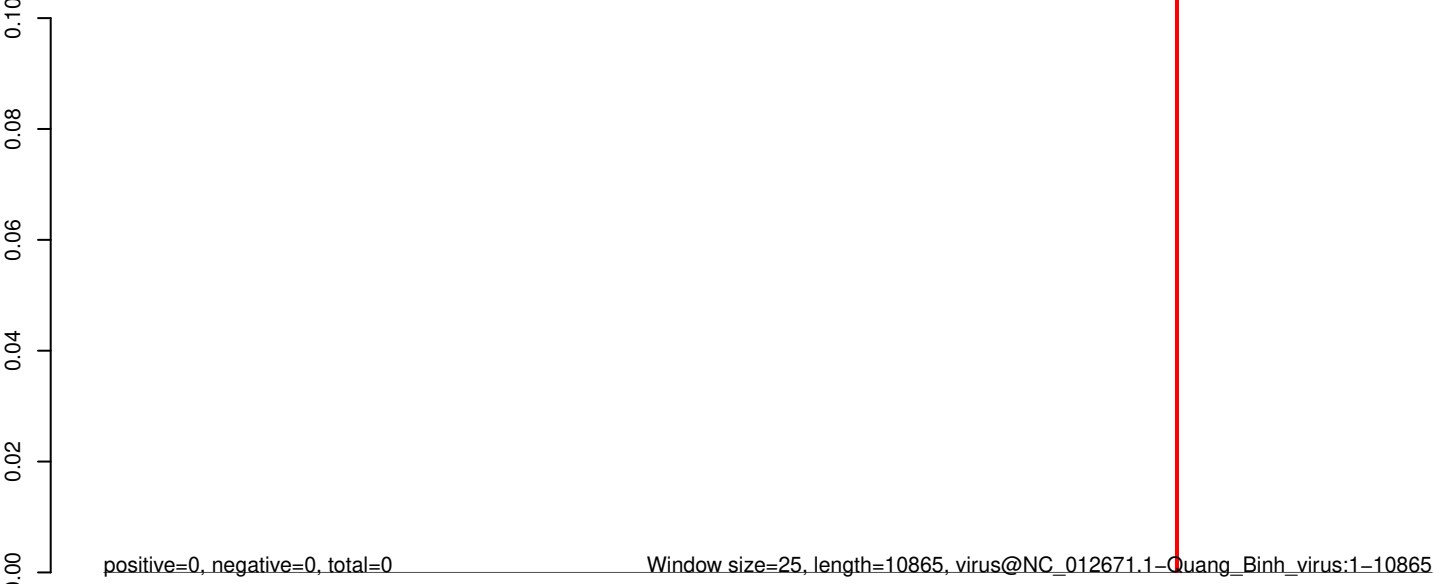
AeAeg_Aag2_Ago3_SINV_RA.18_23.rep



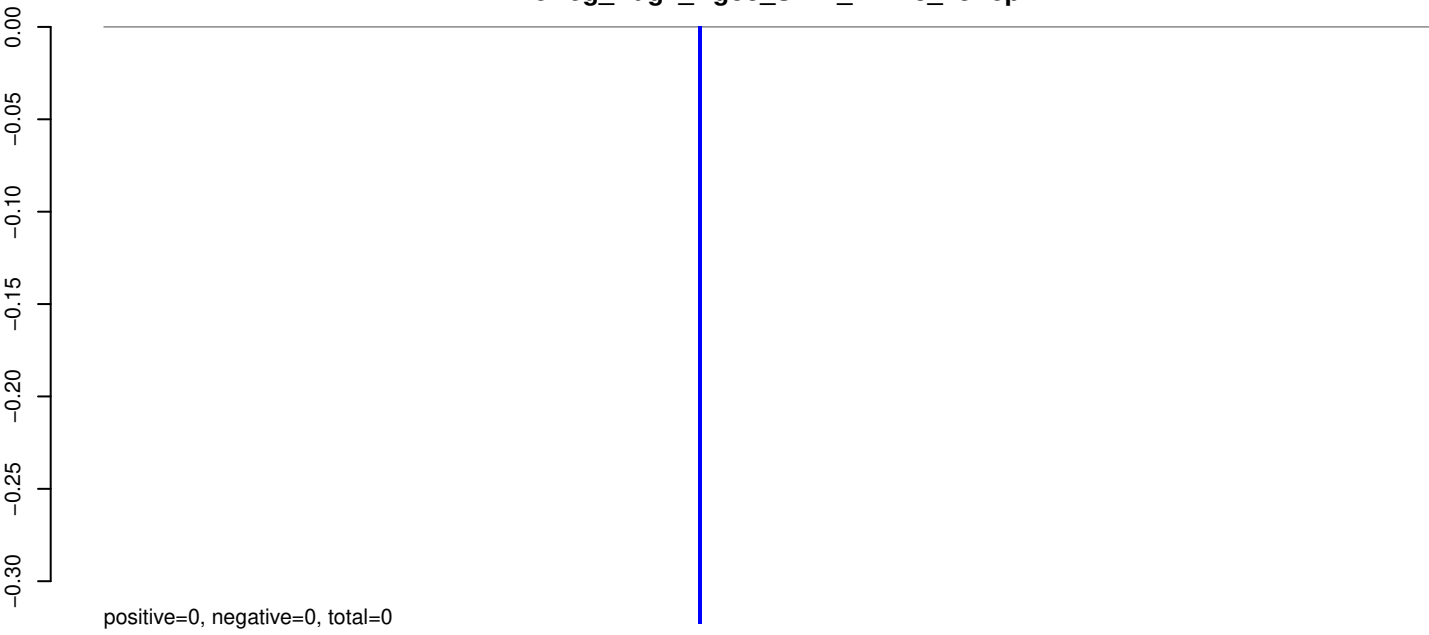
AeAeg_Aag2_Ago3_SINV_RA.24_35.rep



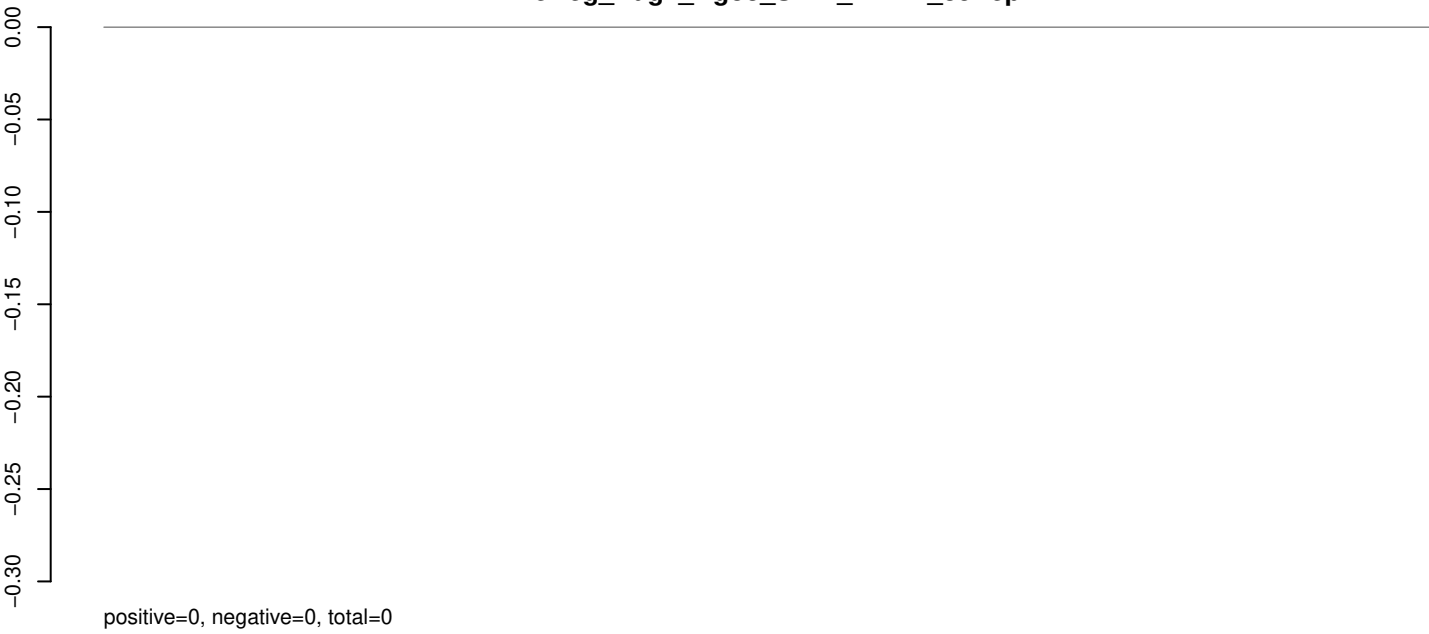
AeAeg_Aag2_Ago3_SINV_RA.rep



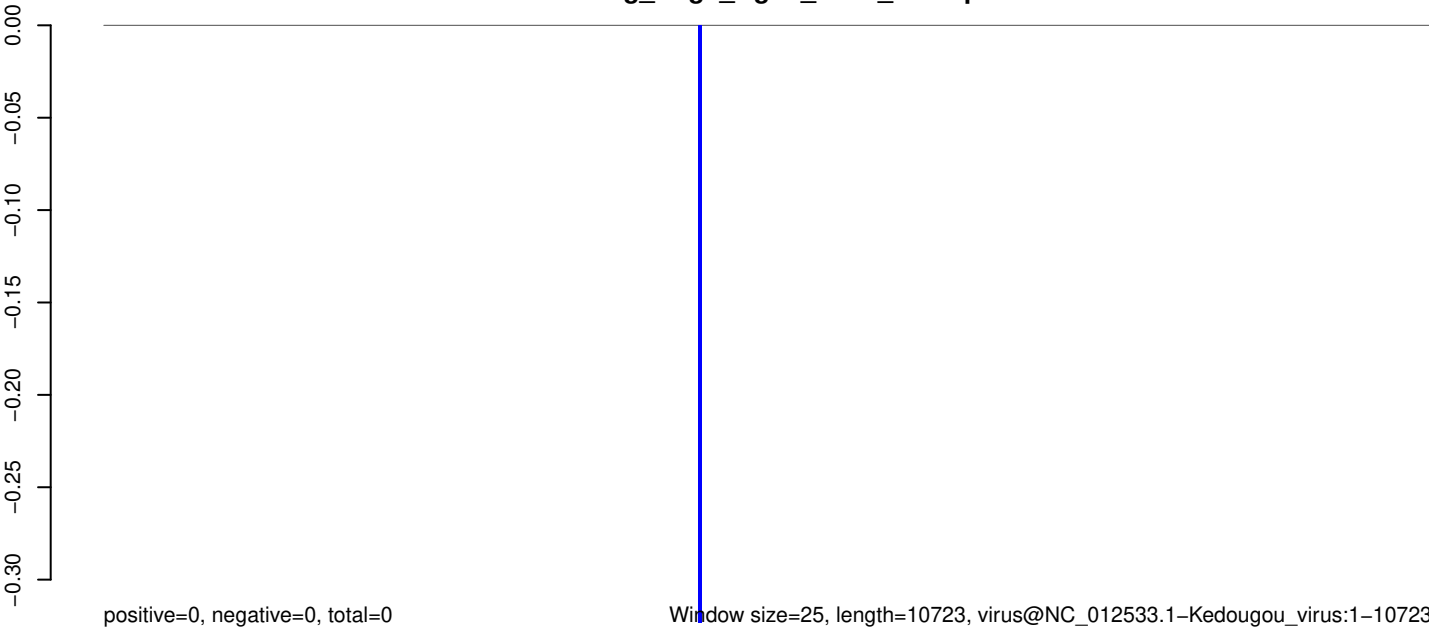
AeAeg_Aag2_Ago3_SINV_RA.18_23.rep



AeAeg_Aag2_Ago3_SINV_RA.24_35.rep



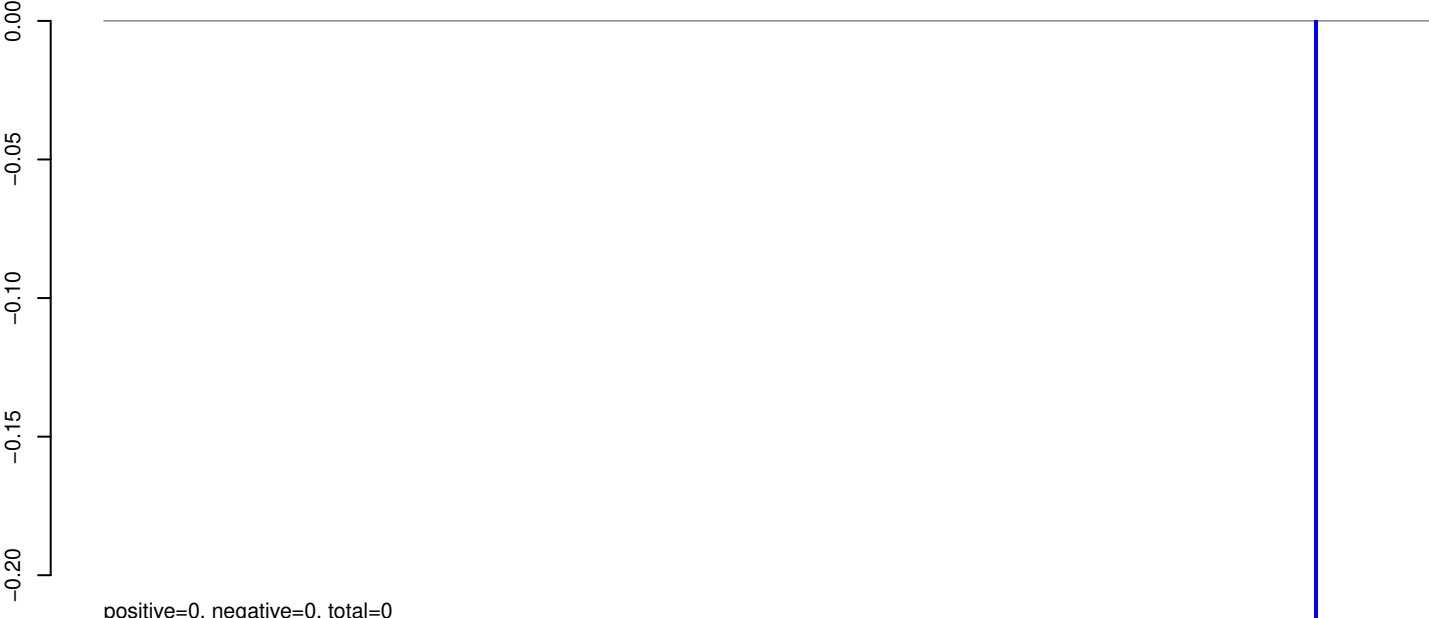
AeAeg_Aag2_Ago3_SINV_RA.rep



Window size=25, length=10723, virus@NC_012533.1-Kedougou_virus:1-10723

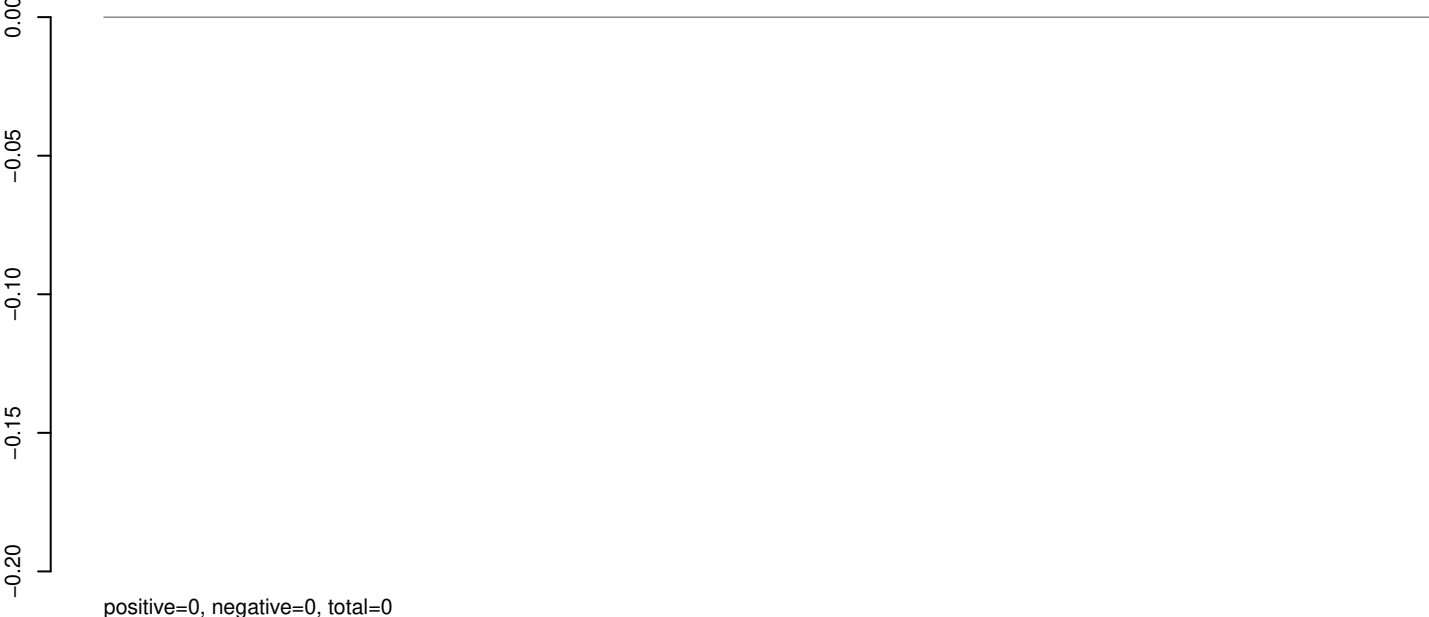
0 2000 4000 6000 8000 10000

AeAeg_Aag2_Ago3_SINV_RA.18_23.rep



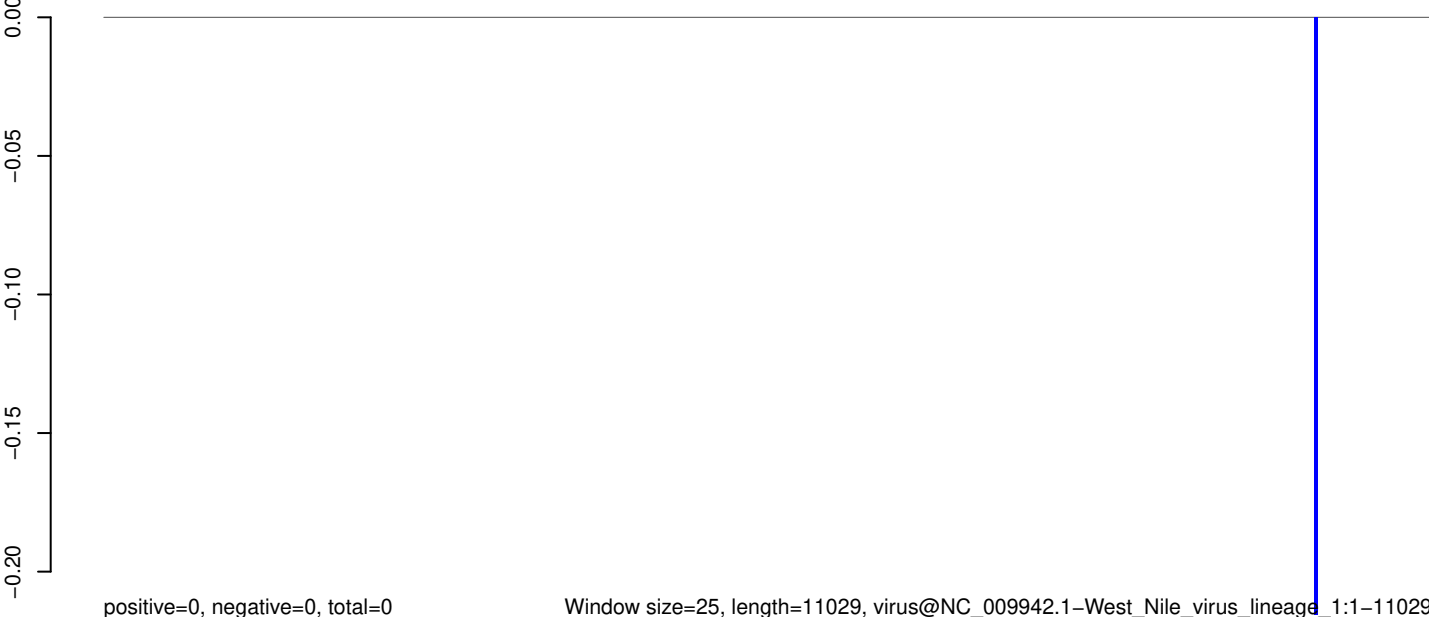
positive=0, negative=0, total=0

AeAeg_Aag2_Ago3_SINV_RA.24_35.rep



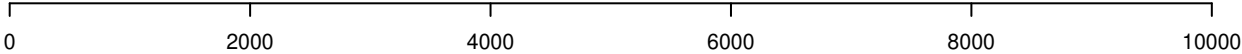
positive=0, negative=0, total=0

AeAeg_Aag2_Ago3_SINV_RA.rep

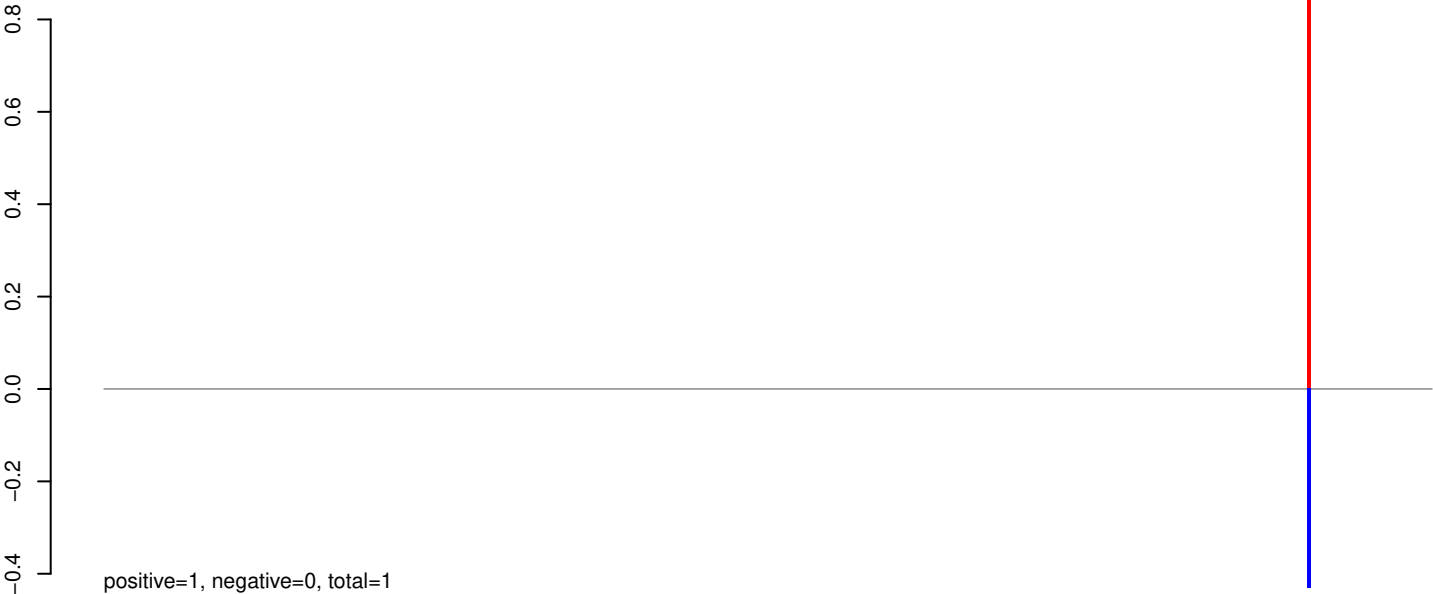


positive=0, negative=0, total=0

Window size=25, length=11029, virus@NC_009942.1-West_Nile_virus_lineage_1:1-11029

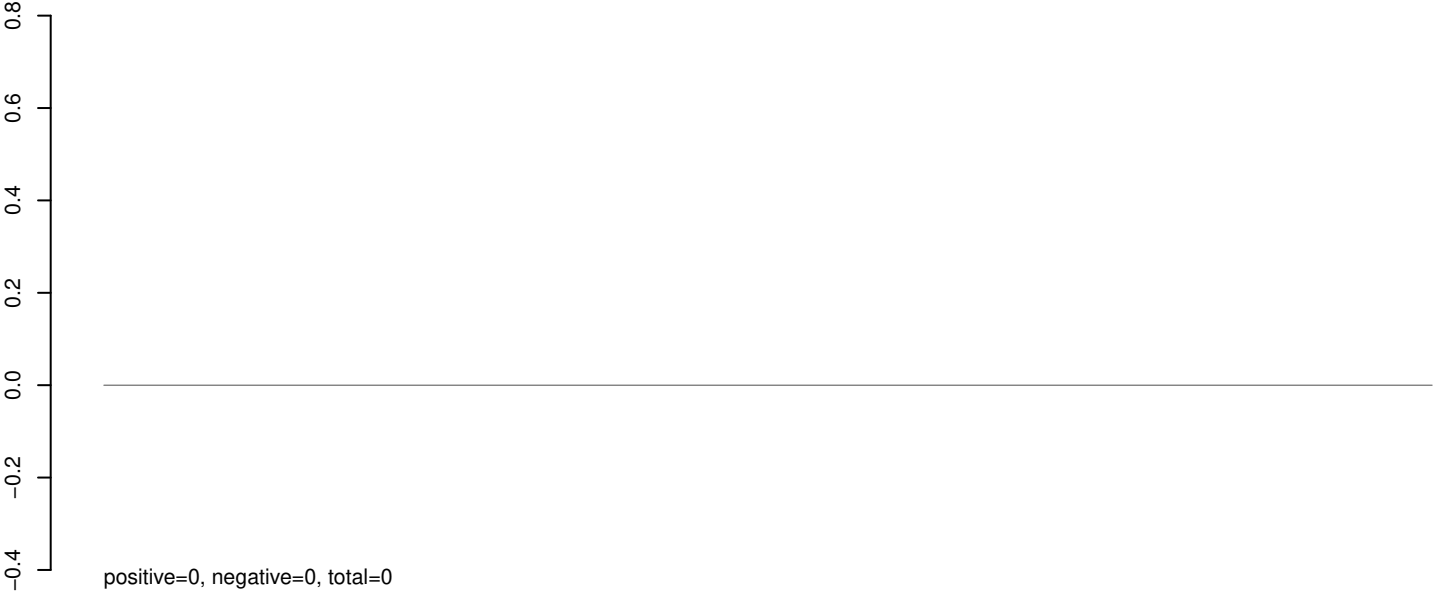


AeAeg_Aag2_Ago3_SINV_RA.18_23.rep



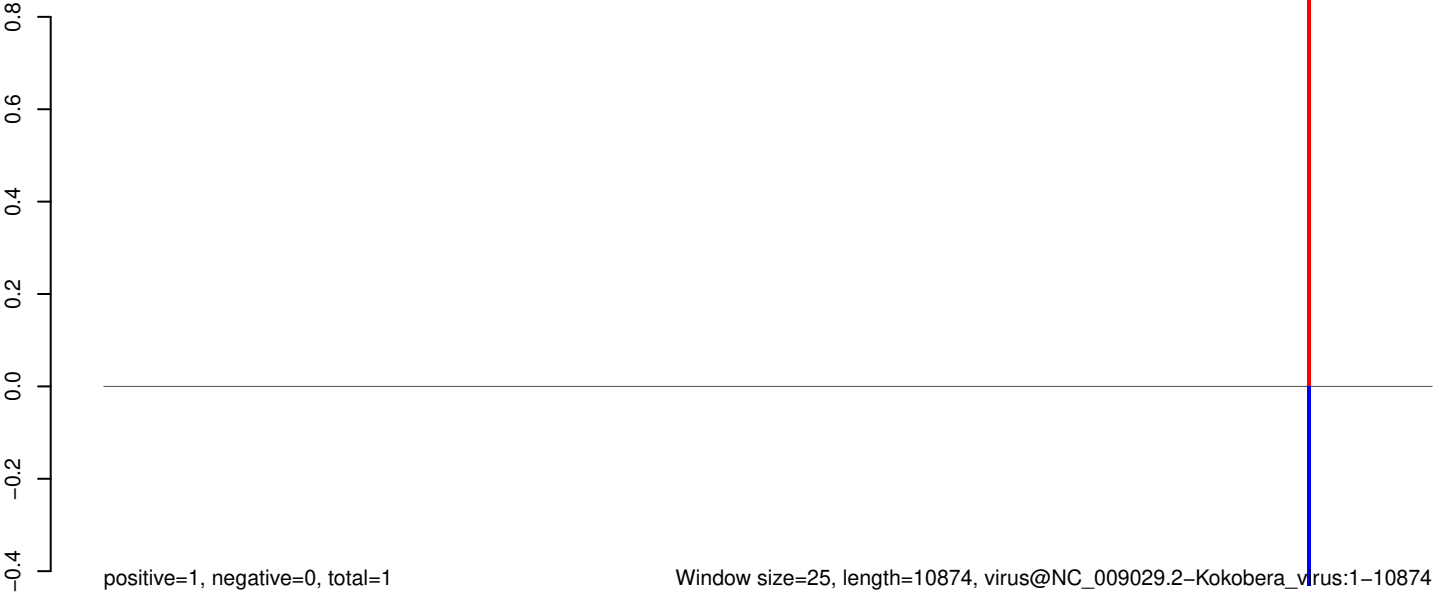
positive=1, negative=0, total=1

AeAeg_Aag2_Ago3_SINV_RA.24_35.rep



positive=0, negative=0, total=0

AeAeg_Aag2_Ago3_SINV_RA.rep

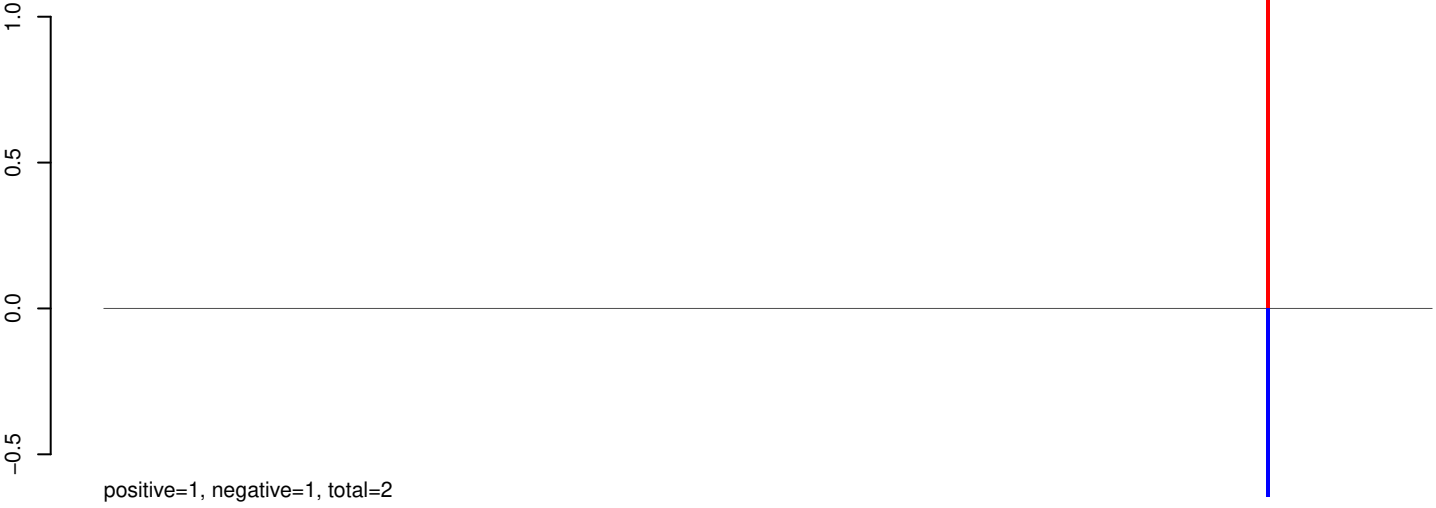


positive=1, negative=0, total=1

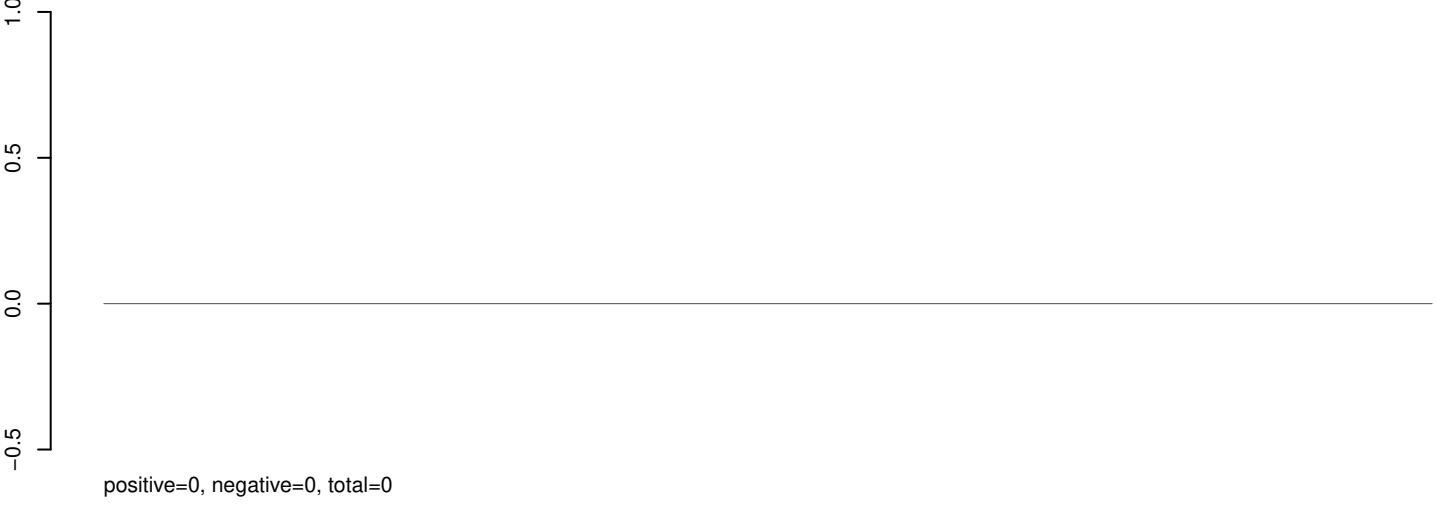
Window size=25, length=10874, virus@NC_009029.2-Kokobera_virus:1-10874

0 2000 4000 6000 8000 10000

AeAeg_Aag2_Ago3_SINV_RA.18_23.rep



AeAeg_Aag2_Ago3_SINV_RA.24_35.rep



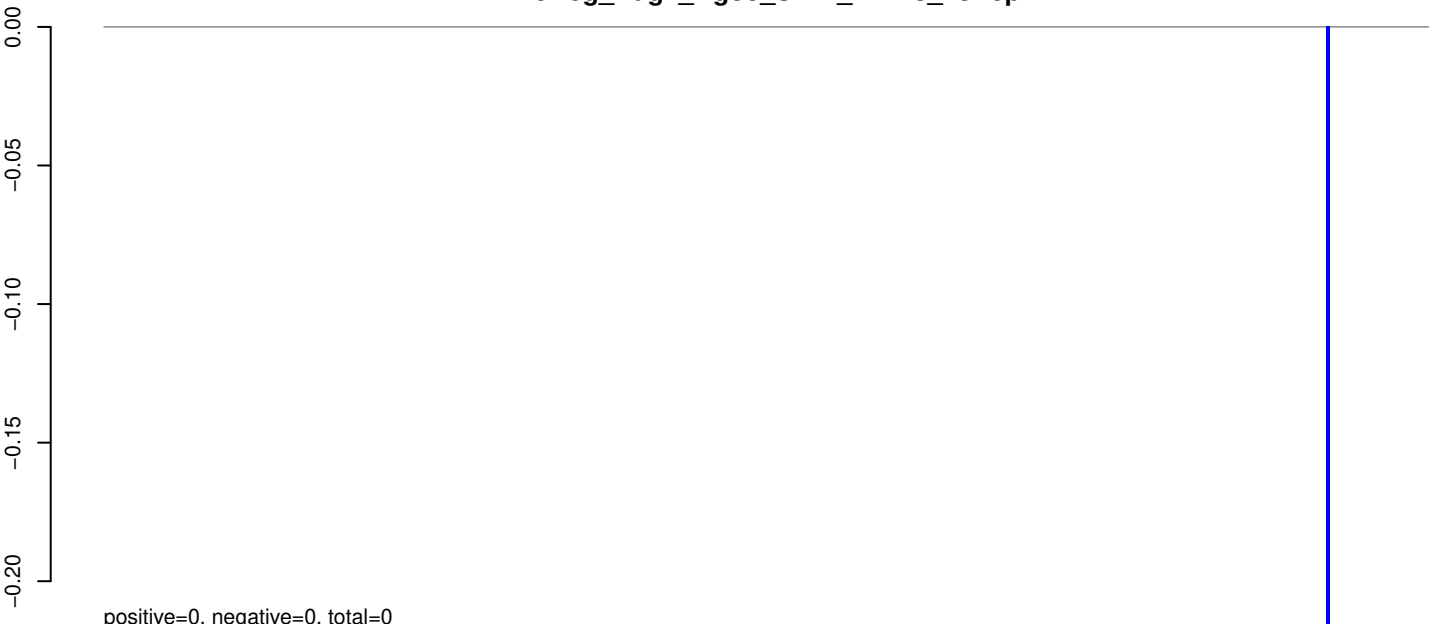
AeAeg_Aag2_Ago3_SINV_RA.rep



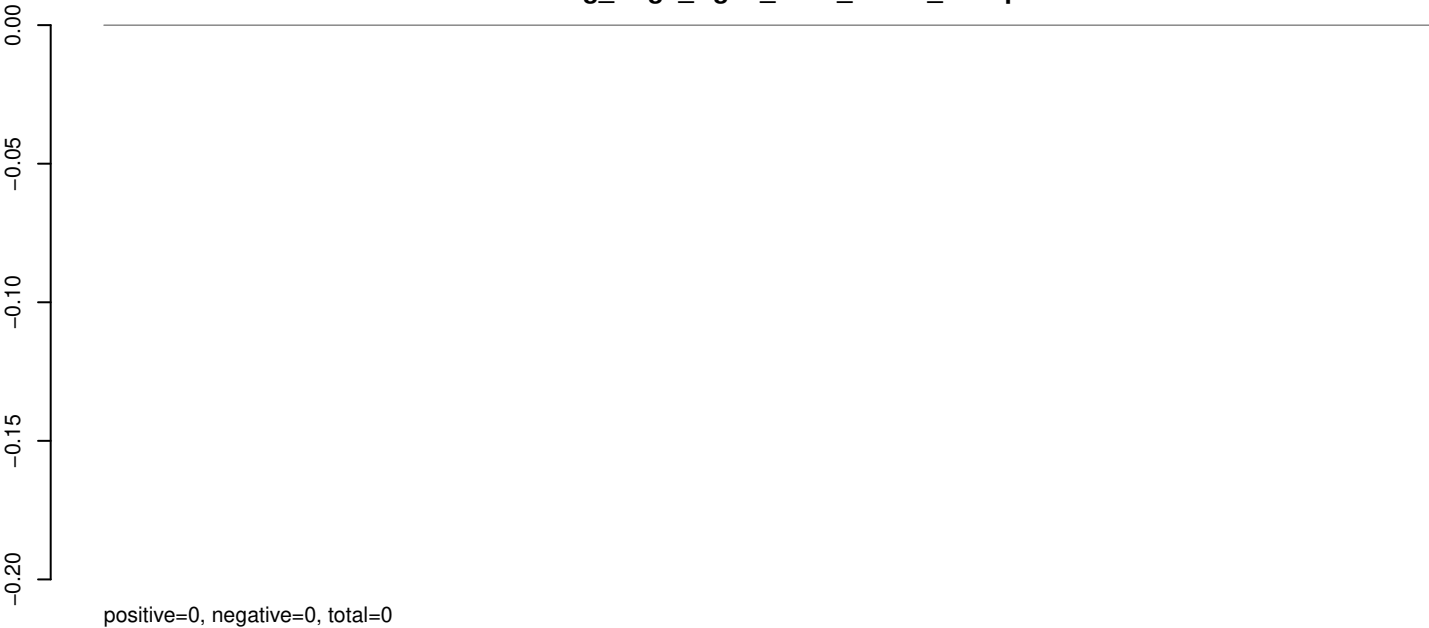
Window size=25, length=10815, virus@NC_009026.2-Bussuquara_virus:1-10815

0 2000 4000 6000 8000 10000

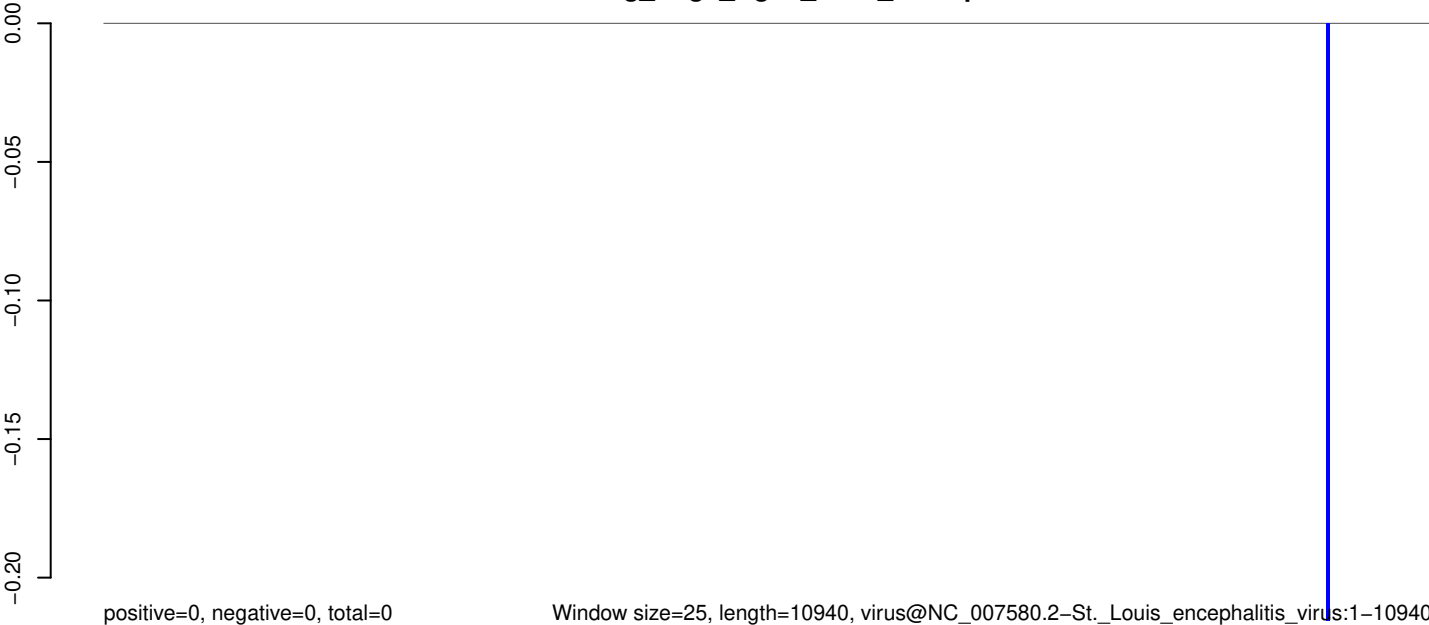
AeAeg_Aag2_Ago3_SINV_RA.18_23.rep



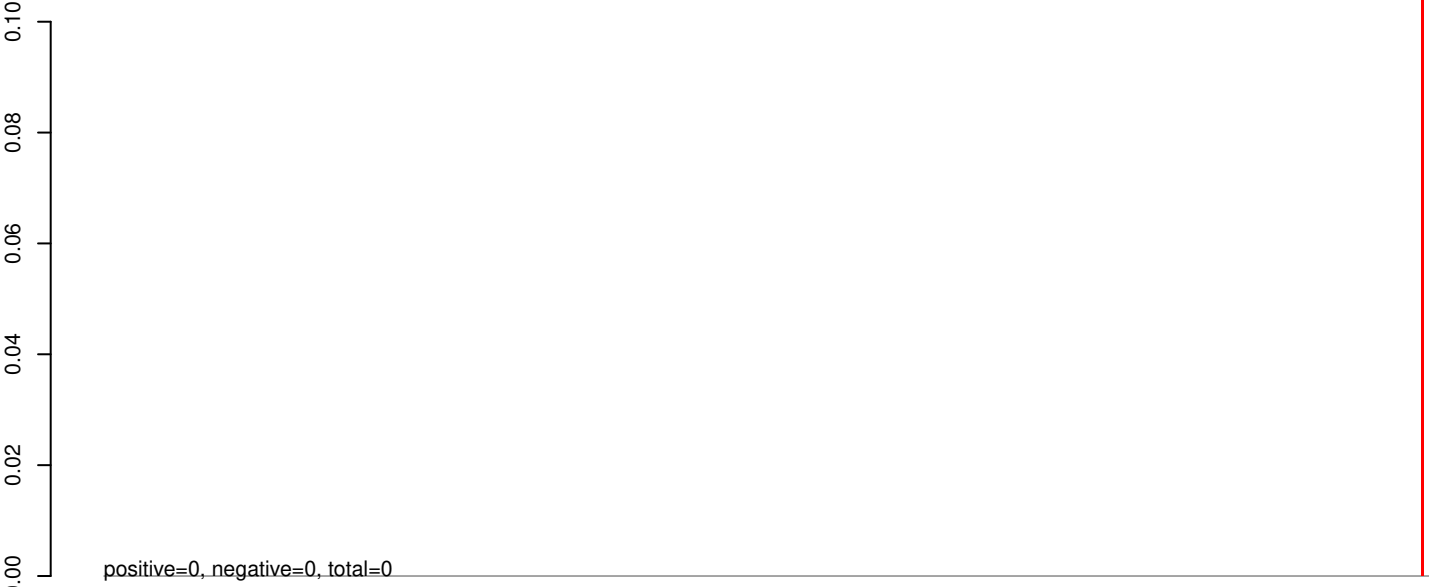
AeAeg_Aag2_Ago3_SINV_RA.24_35.rep



AeAeg_Aag2_Ago3_SINV_RA.rep

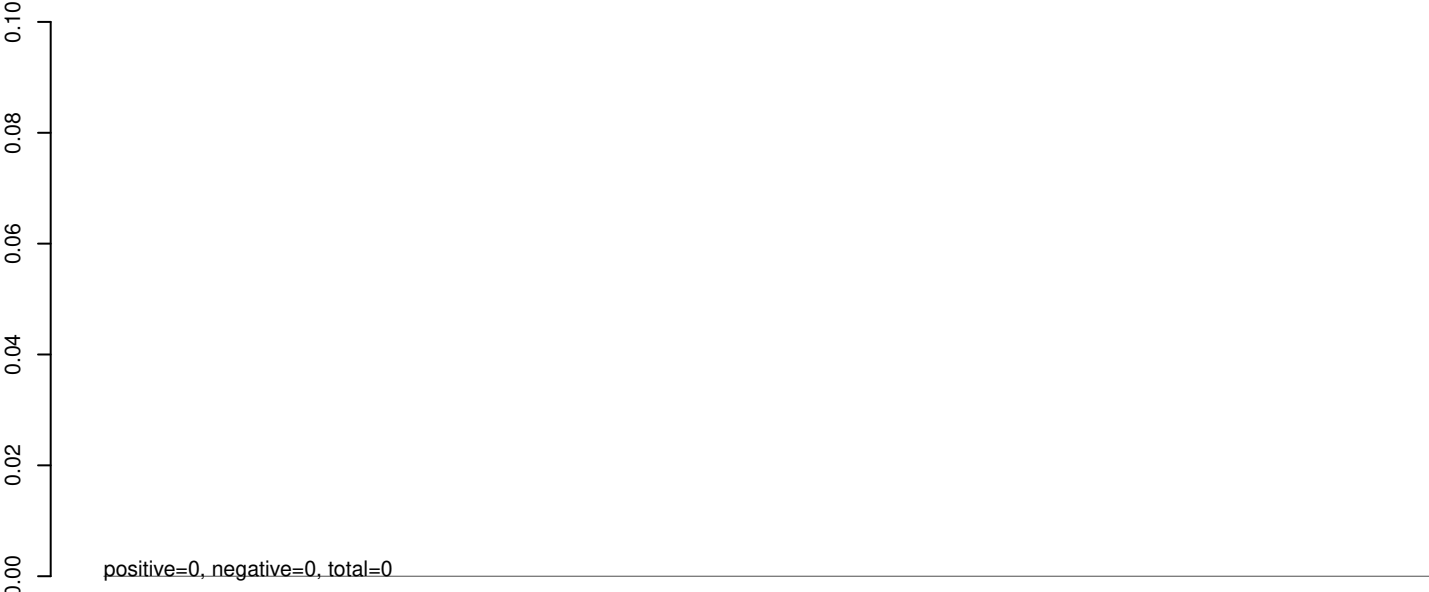


AeAeg_Aag2_Ago3_SINV_RA.18_23.rep



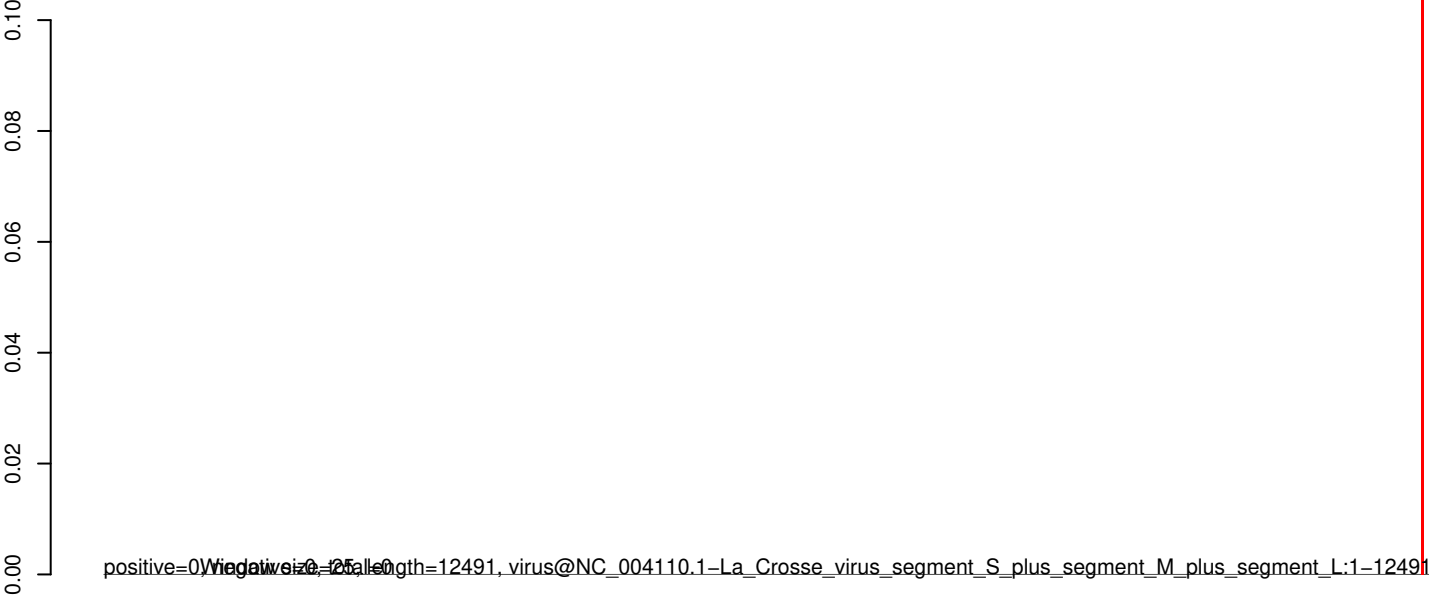
positive=0, negative=0, total=0

AeAeg_Aag2_Ago3_SINV_RA.24_35.rep



positive=0, negative=0, total=0

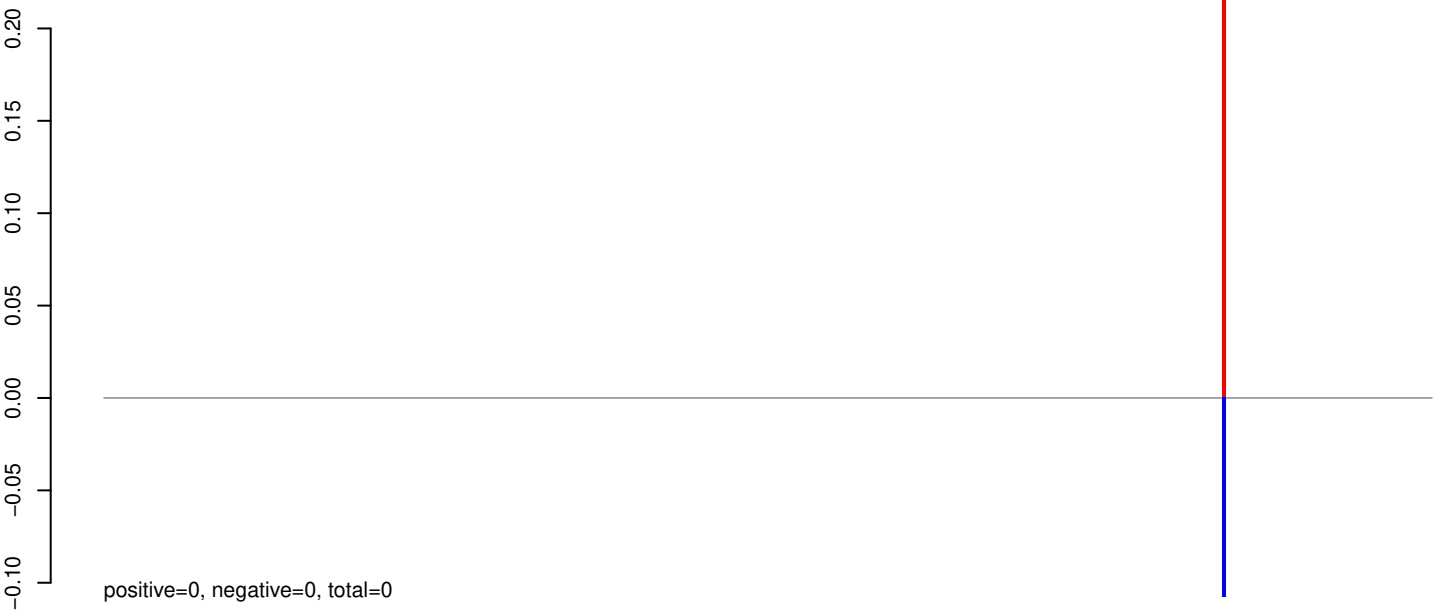
AeAeg_Aag2_Ago3_SINV_RA.rep



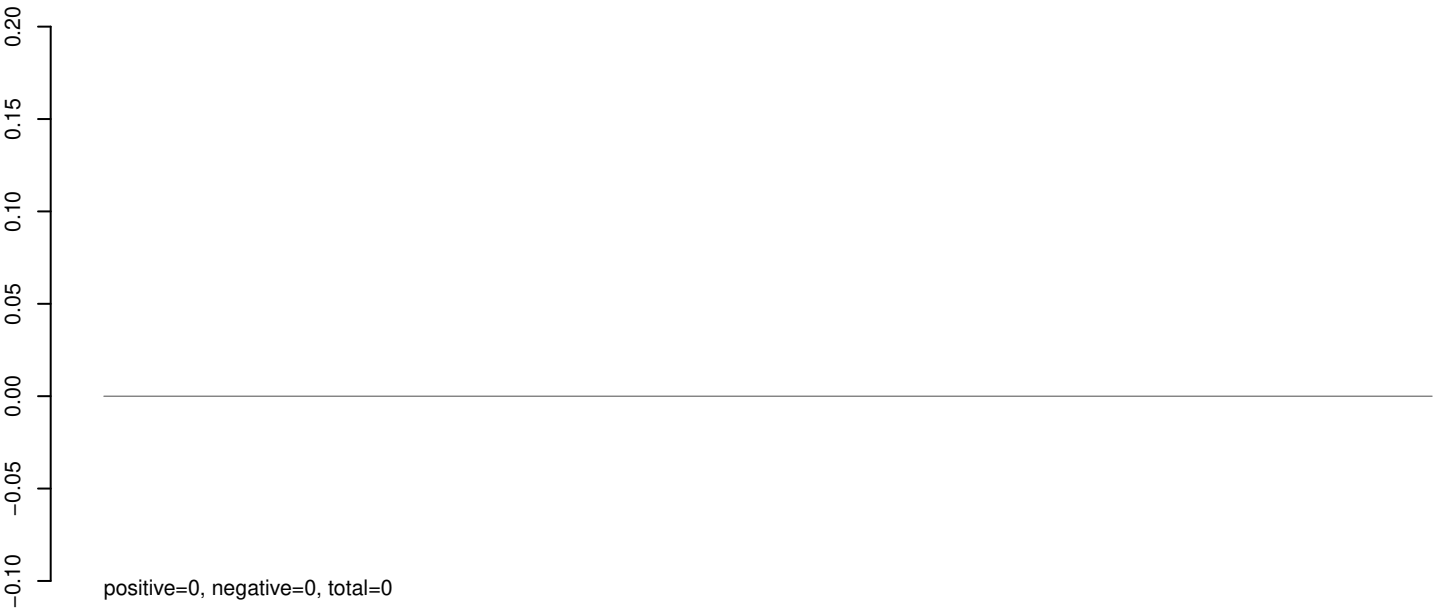
positive=0, negative=0, total=0, length=12491, virus@NC_004110.1-La_Crosse_virus_segment_S_plus_segment_M_plus_segment_L:1-12491

0 2000 4000 6000 8000 10000 12000

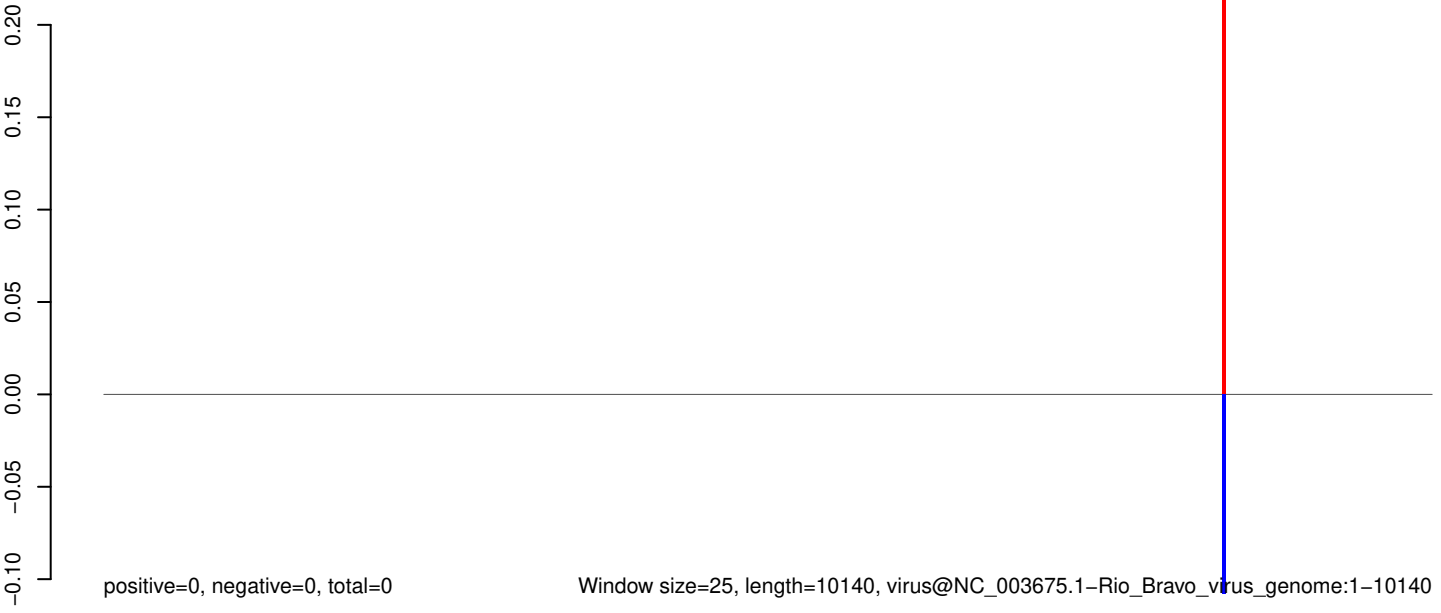
AeAeg_Aag2_Ago3_SINV_RA.18_23.rep



AeAeg_Aag2_Ago3_SINV_RA.24_35.rep

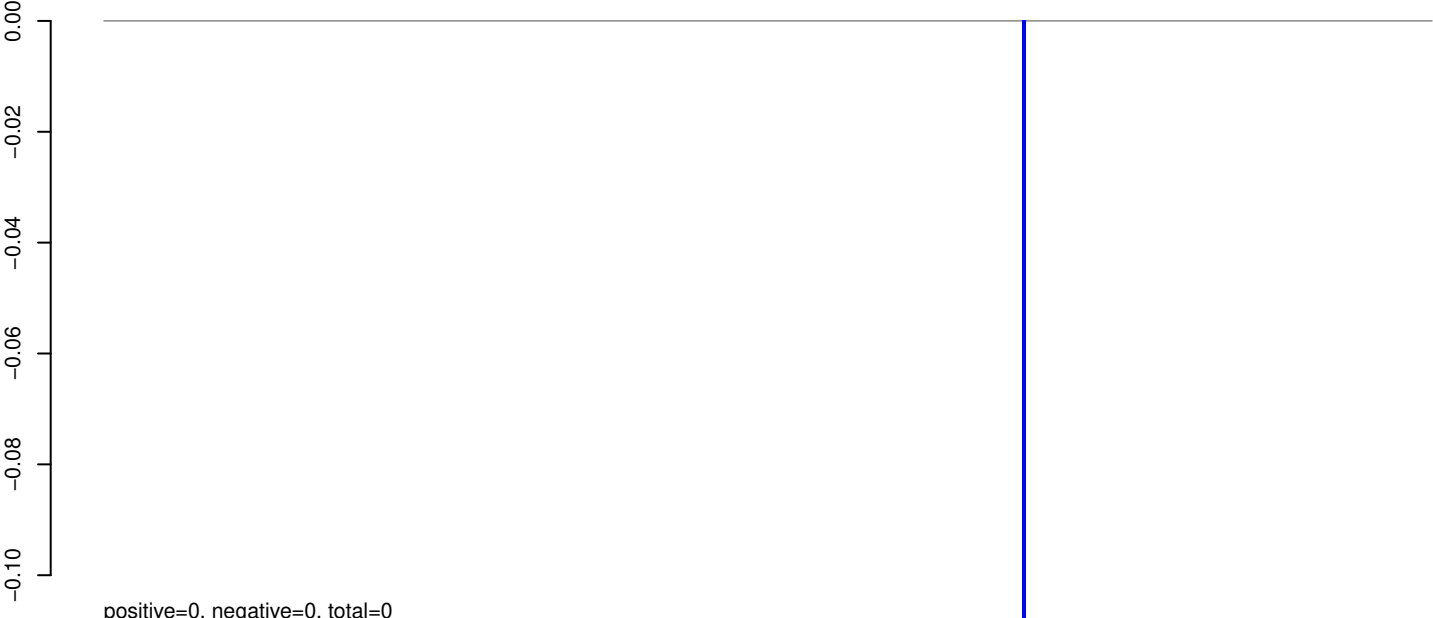


AeAeg_Aag2_Ago3_SINV_RA.rep

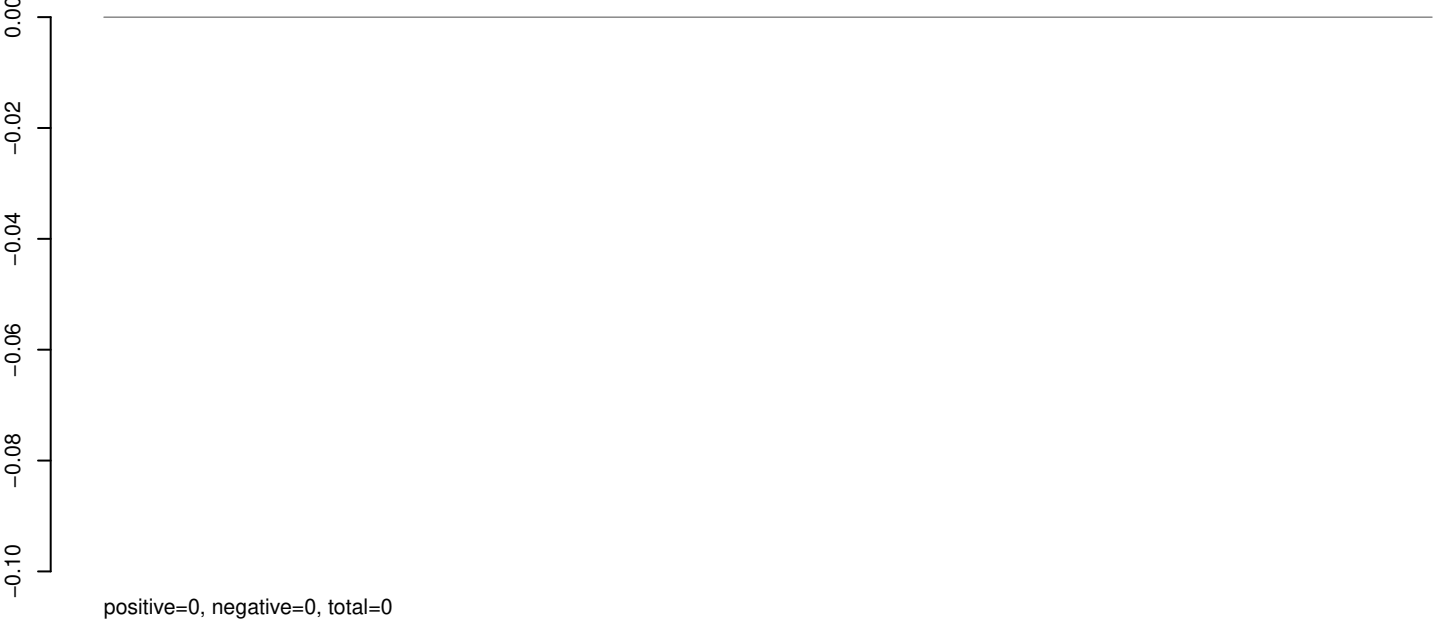


0 2000 4000 6000 8000 10000

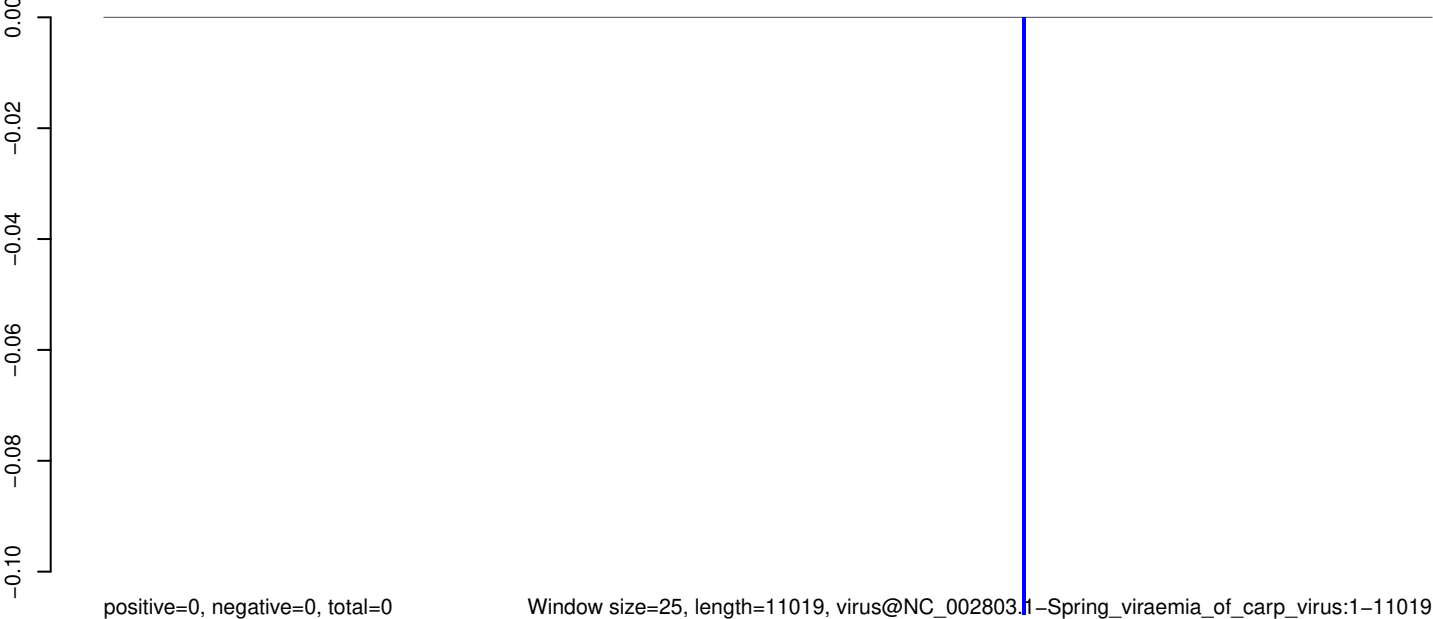
AeAeg_Aag2_Ago3_SINV_RA.18_23.rep



AeAeg_Aag2_Ago3_SINV_RA.24_35.rep



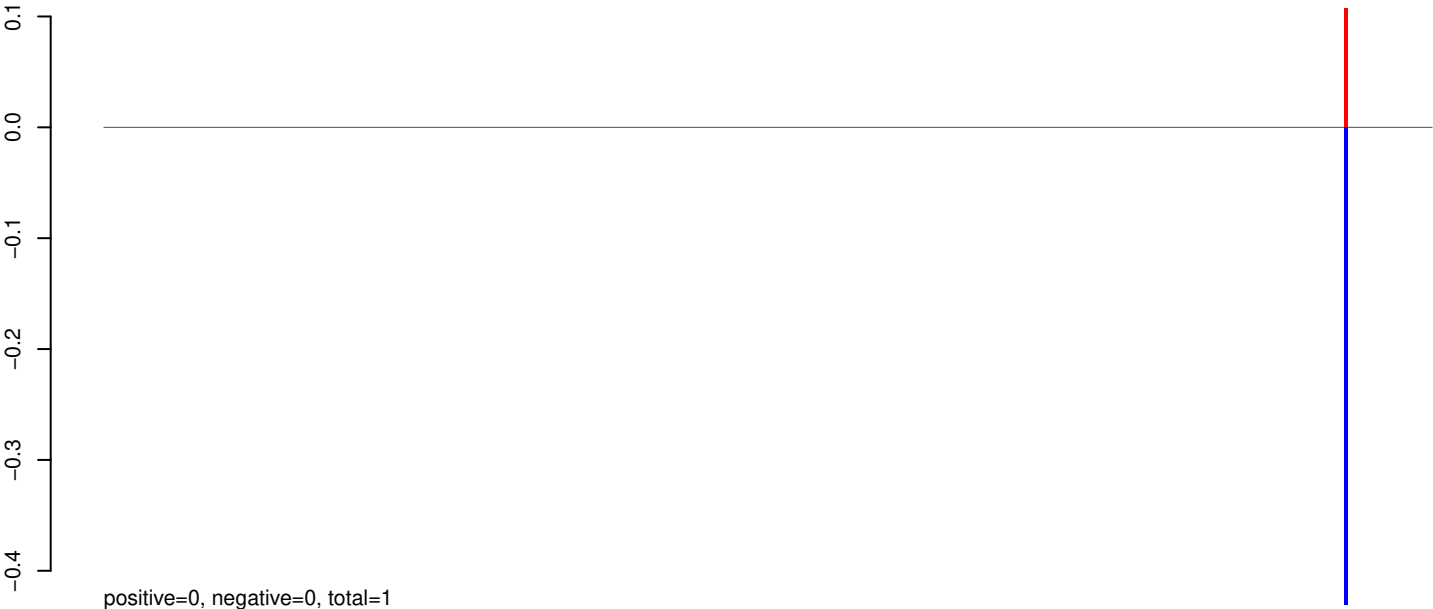
AeAeg_Aag2_Ago3_SINV_RA.rep



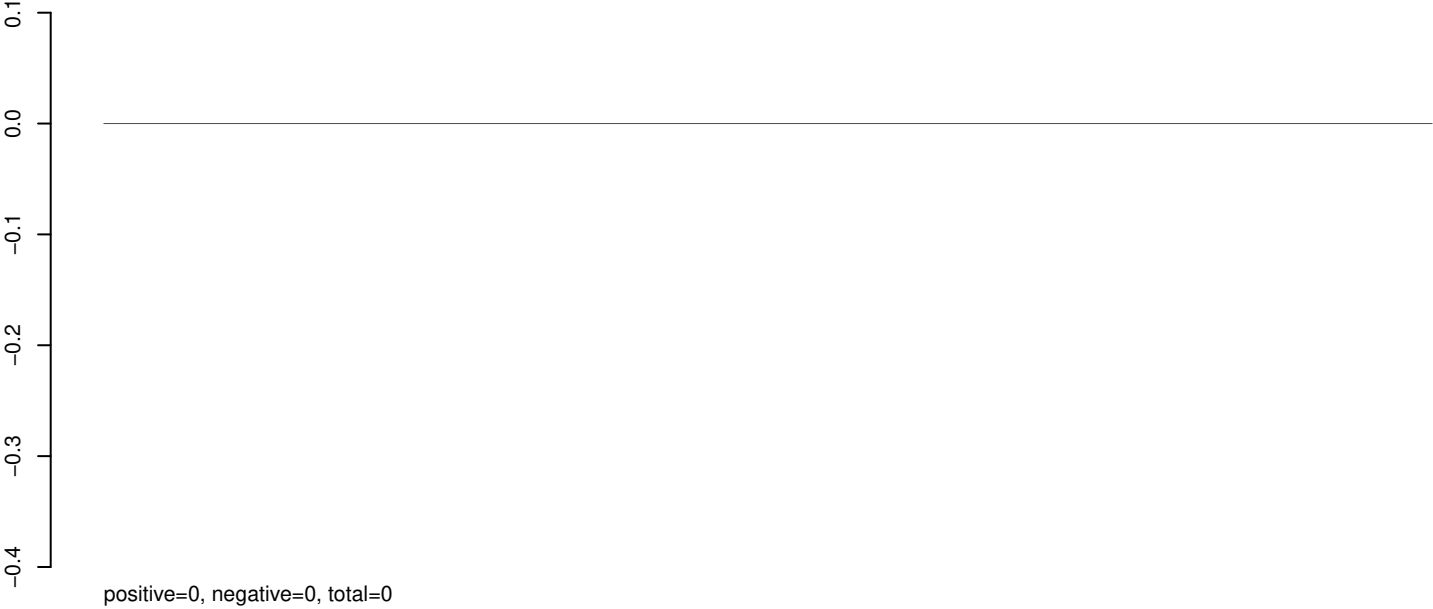
Window size=25, length=11019, virus@NC_002803.1-Spring_viraemia_of_carp_virus:1-11019

0 2000 4000 6000 8000 10000

AeAeg_Aag2_Ago3_SINV_RA.18_23.rep



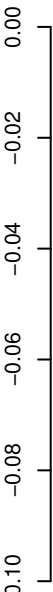
AeAeg_Aag2_Ago3_SINV_RA.24_35.rep



AeAeg_Aag2_Ago3_SINV_RA.rep

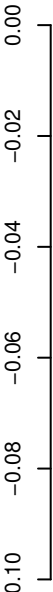


AeAeg_Aag2_Ago3_SINV_RA.18_23.rep



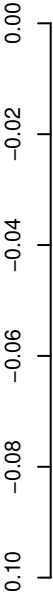
positive=0, negative=0, total=0

AeAeg_Aag2_Ago3_SINV_RA.24_35.rep



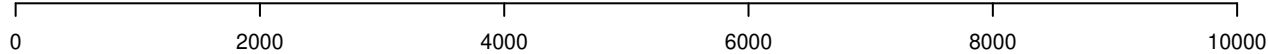
positive=0, negative=0, total=0

AeAeg_Aag2_Ago3_SINV_RA.rep

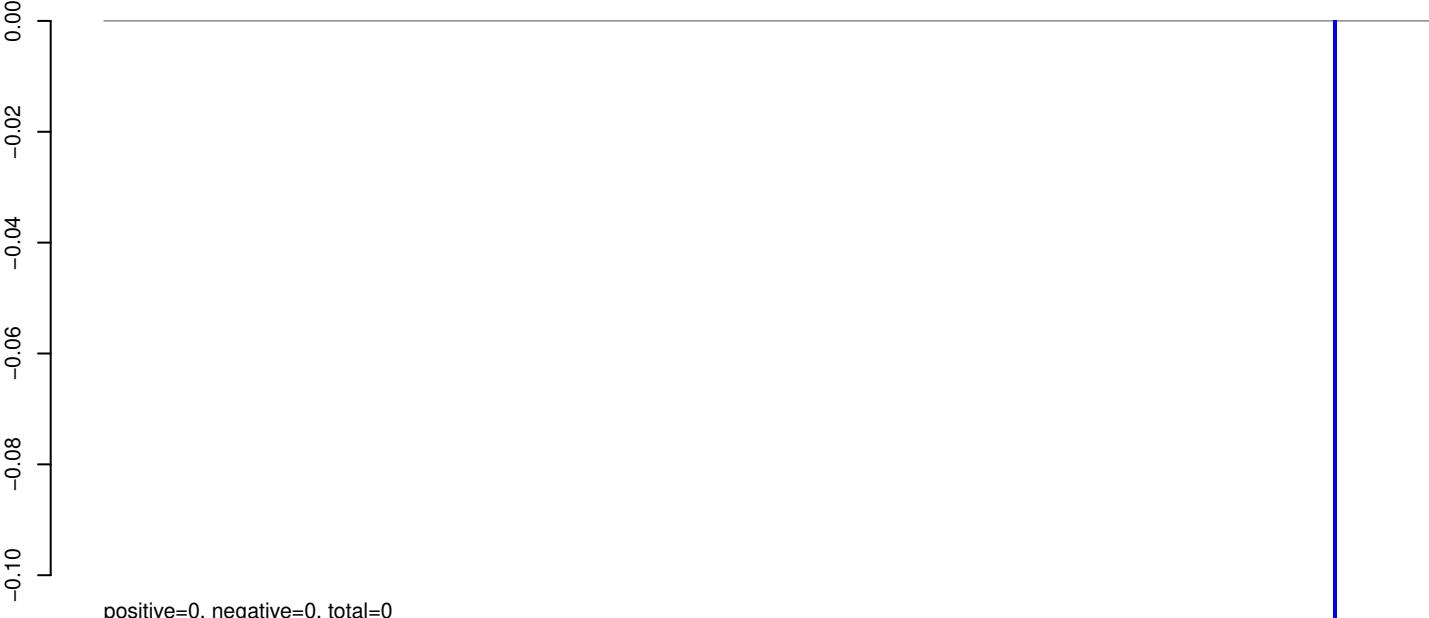


positive=0, negative=0, total=0

Window size=25, length=10862, virus@NC_002031.1-Yellow_fever_virus:1-10862

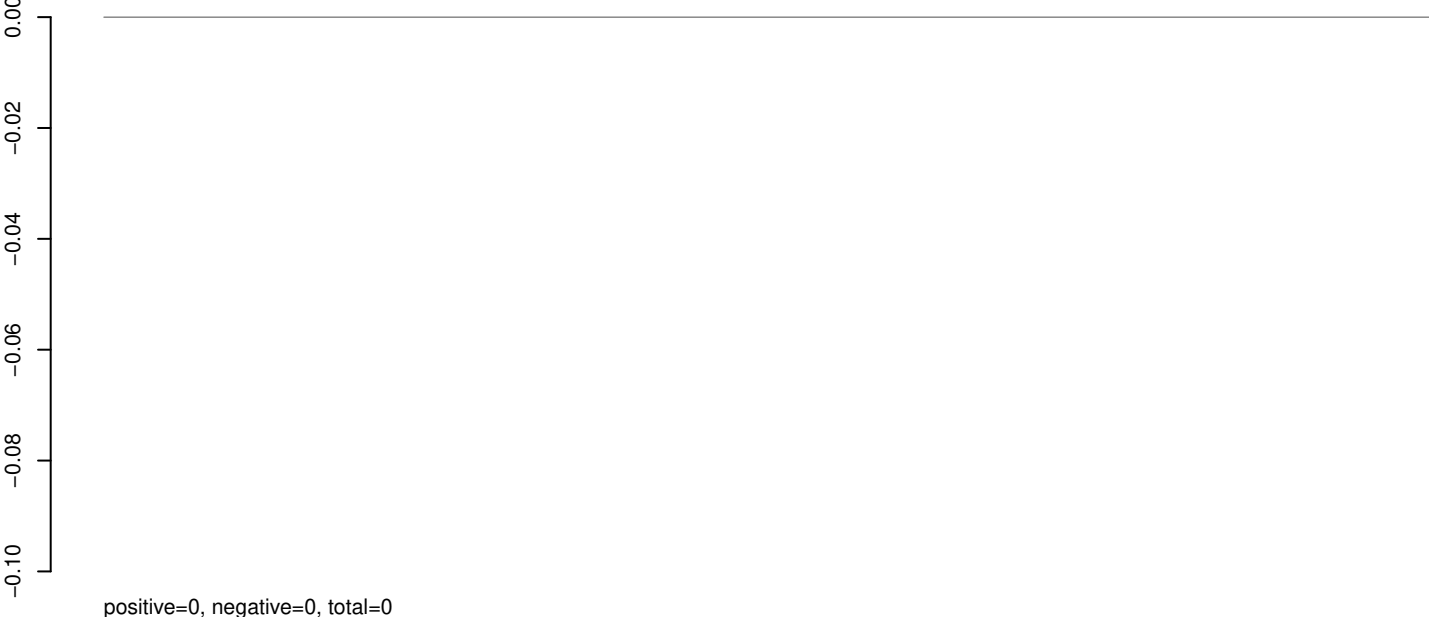


AeAeg_Aag2_Ago3_SINV_RA.18_23.rep



positive=0, negative=0, total=0

AeAeg_Aag2_Ago3_SINV_RA.24_35.rep



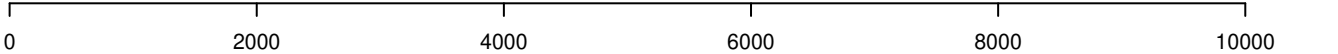
positive=0, negative=0, total=0

AeAeg_Aag2_Ago3_SINV_RA.rep

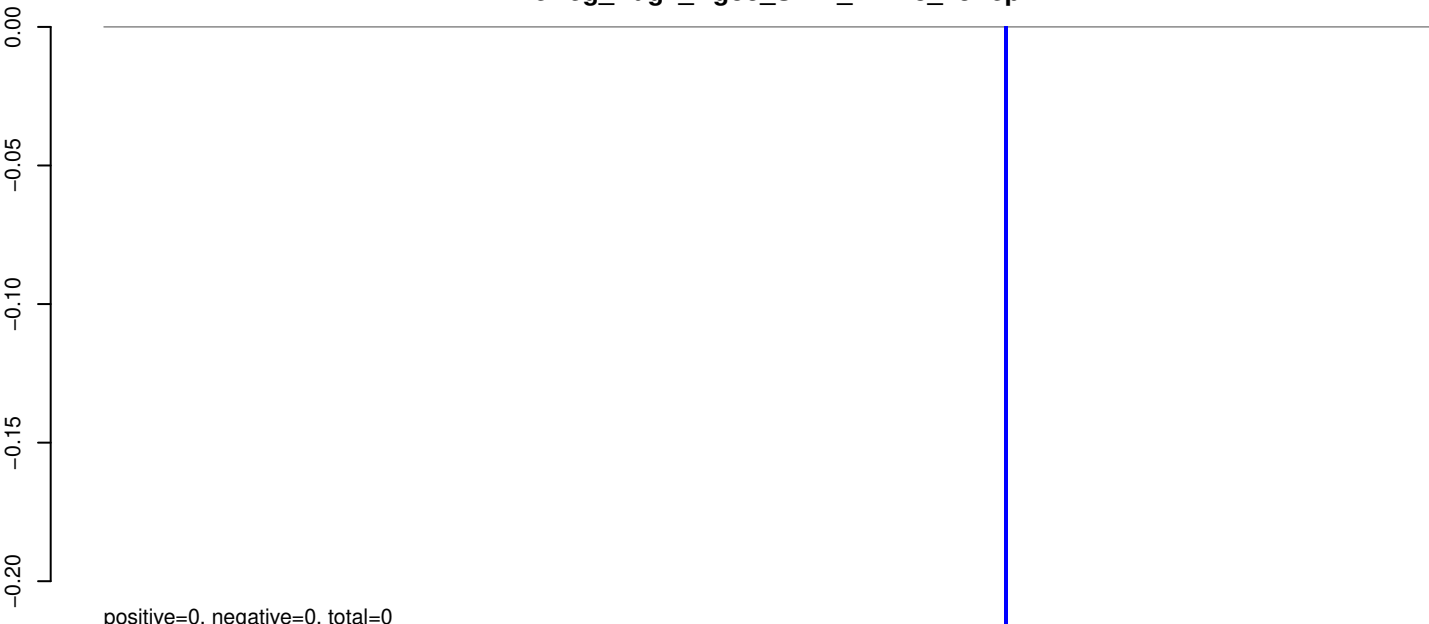


positive=0, negative=0, total=0

Window size=25, length=10735, virus@NC_001477.1-Dengue_virus_1:1-10735



AeAeg_Aag2_Ago3_SINV_RA.18_23.rep



AeAeg_Aag2_Ago3_SINV_RA.24_35.rep



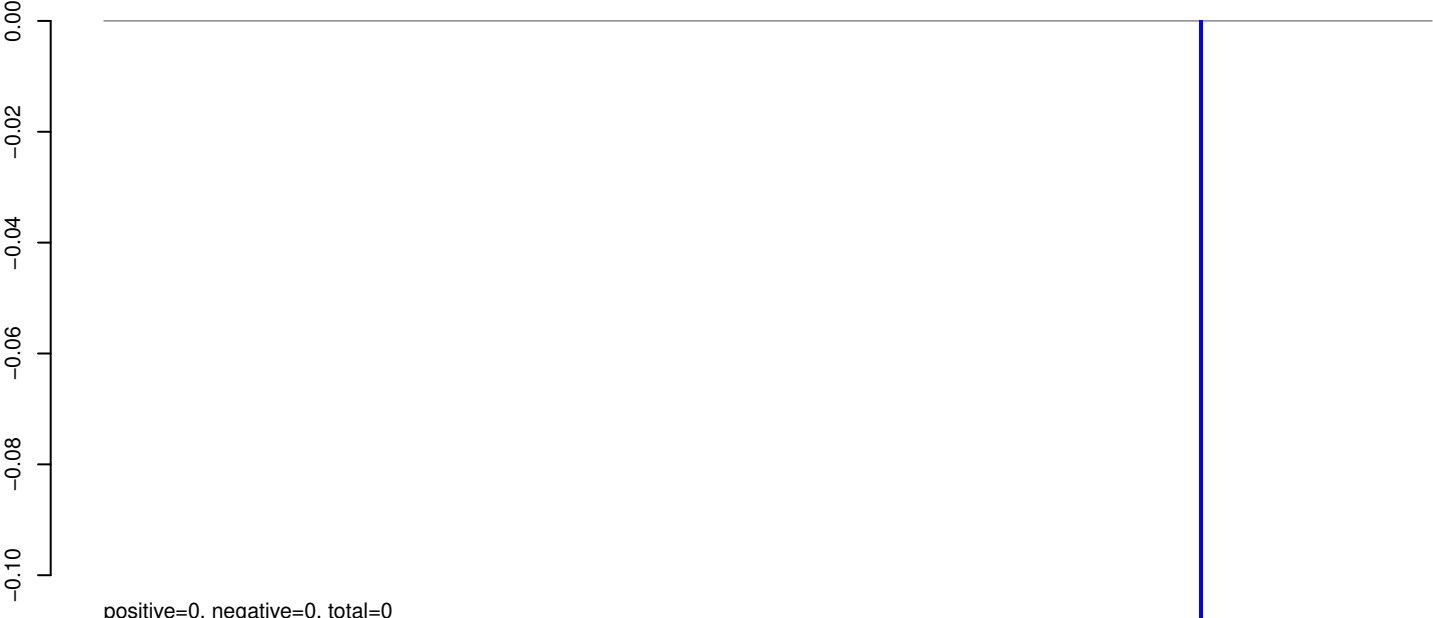
AeAeg_Aag2_Ago3_SINV_RA.rep



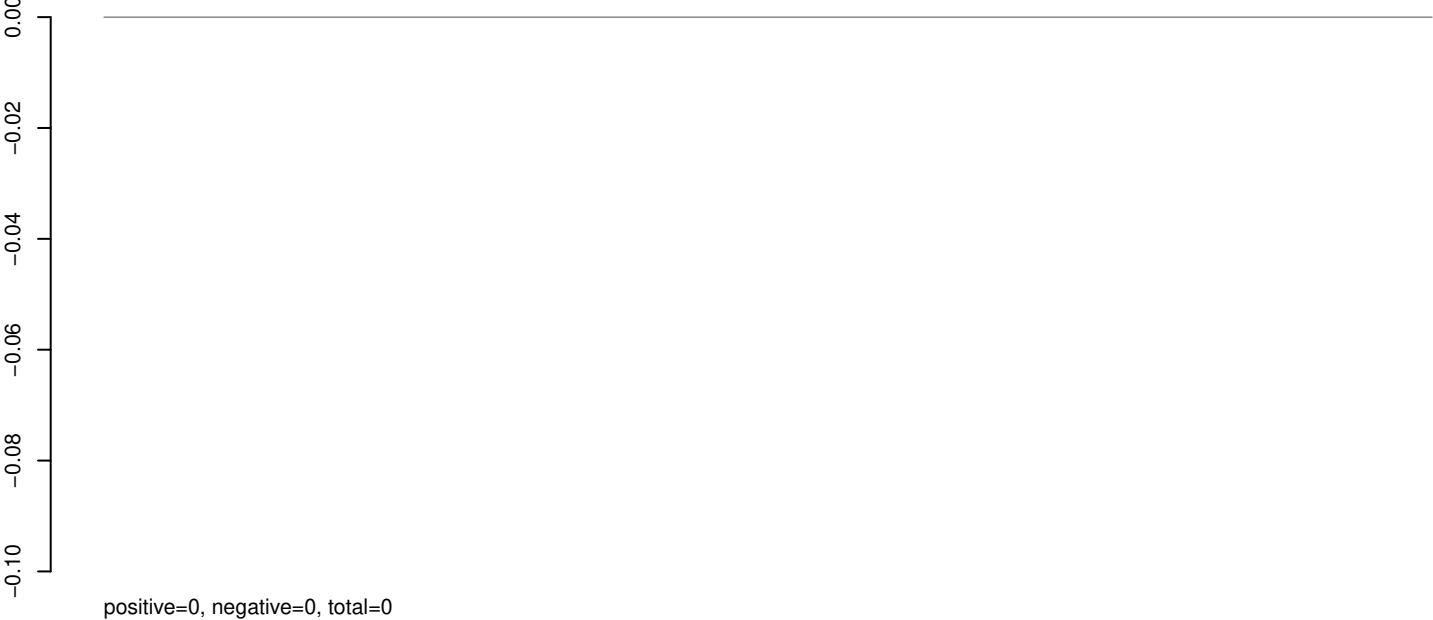
Window size=25, length=10707, virus@NC_001475.2-Dengue_virus_3:1-10707

0 2000 4000 6000 8000 10000

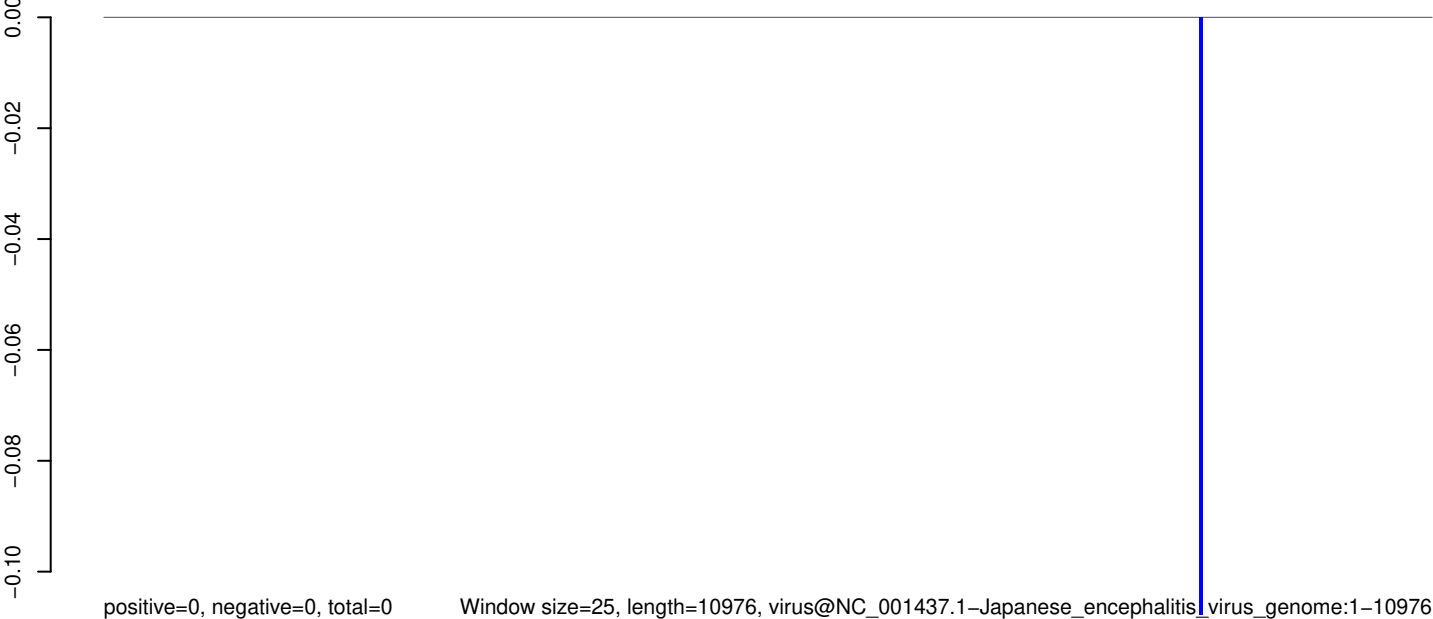
AeAeg_Aag2_Ago3_SINV_RA.18_23.rep



AeAeg_Aag2_Ago3_SINV_RA.24_35.rep



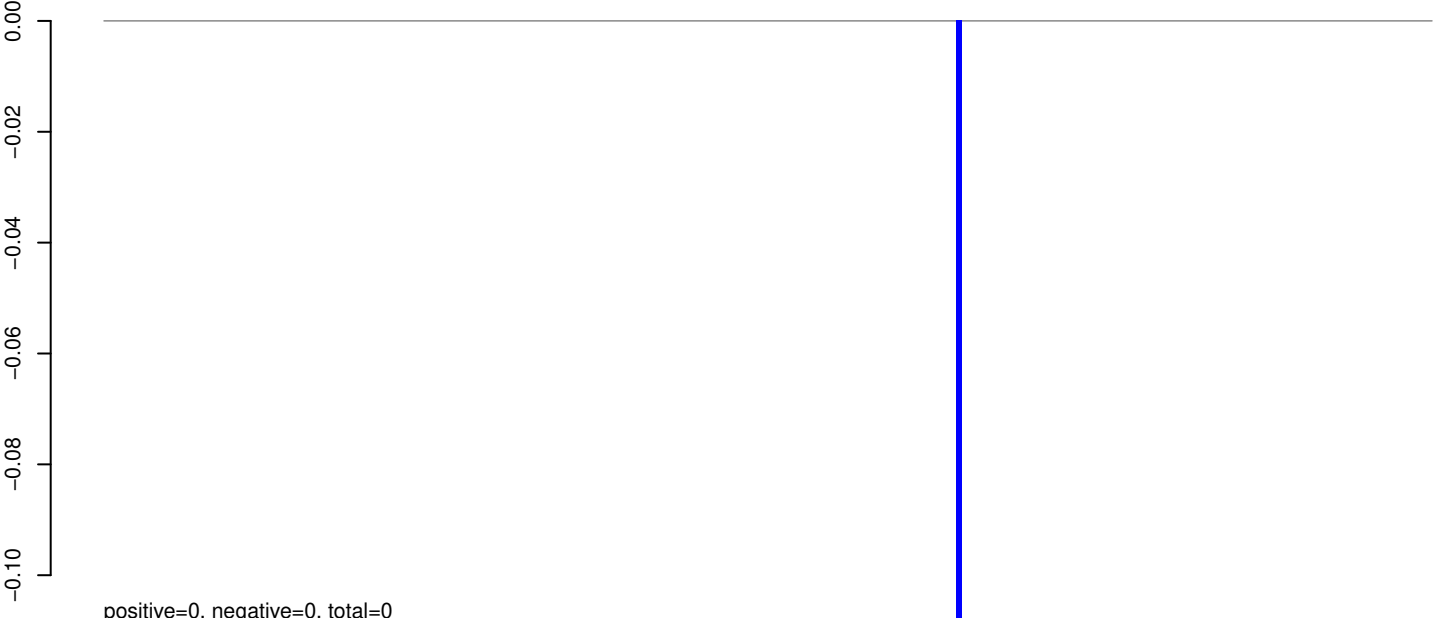
AeAeg_Aag2_Ago3_SINV_RA.rep



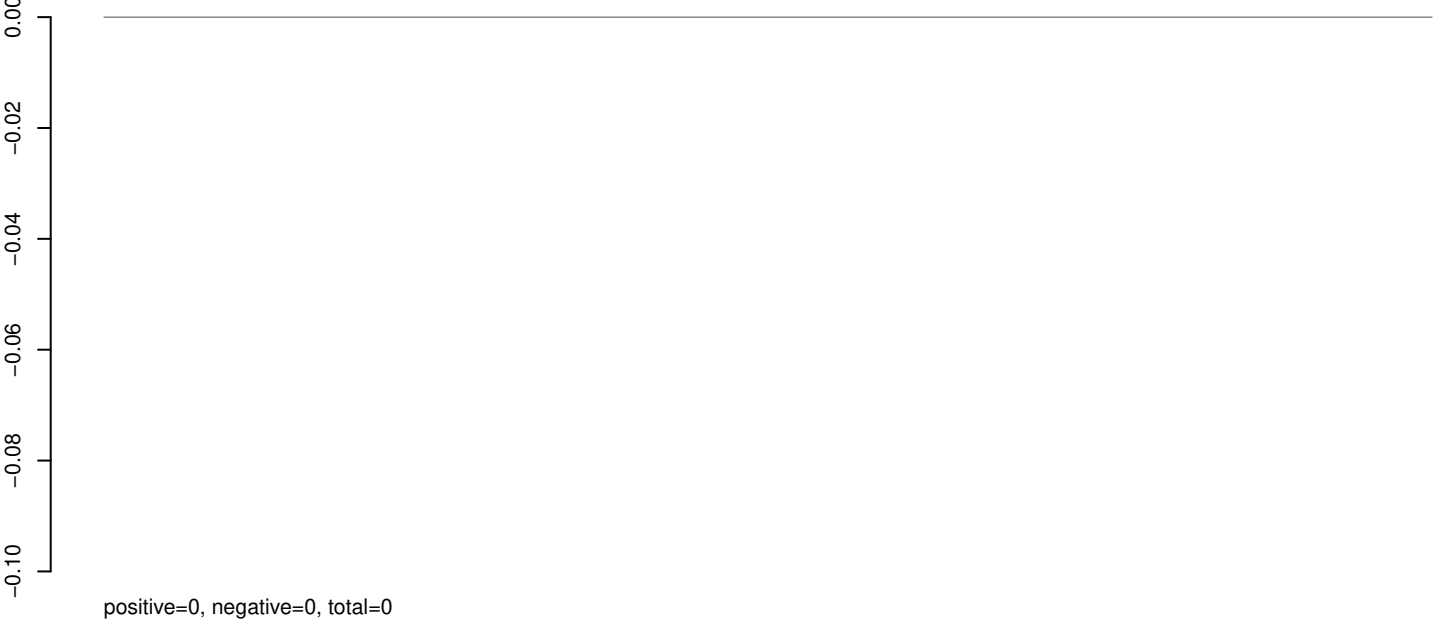
Window size=25, length=10976, virus@NC_001437.1-Japanese_encephalitis_virus_genome:1-10976

0 2000 4000 6000 8000 10000

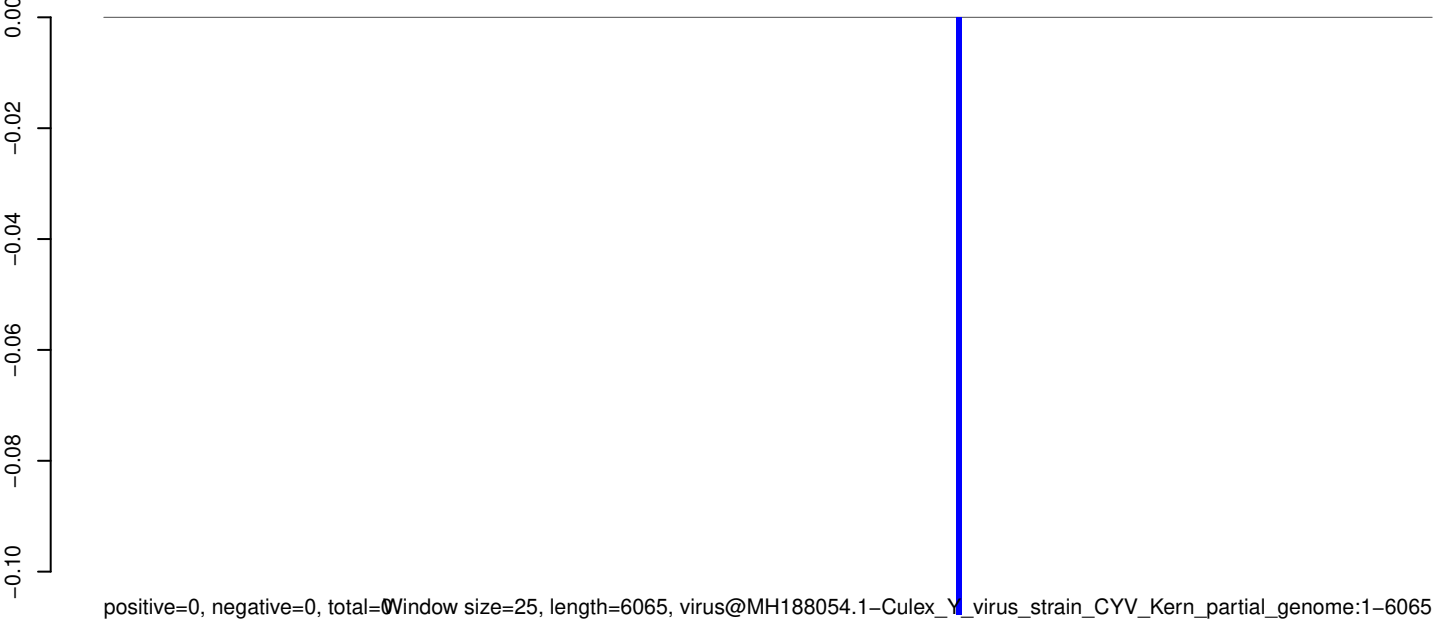
AeAeg_Aag2_Ago3_SINV_RA.18_23.rep



AeAeg_Aag2_Ago3_SINV_RA.24_35.rep



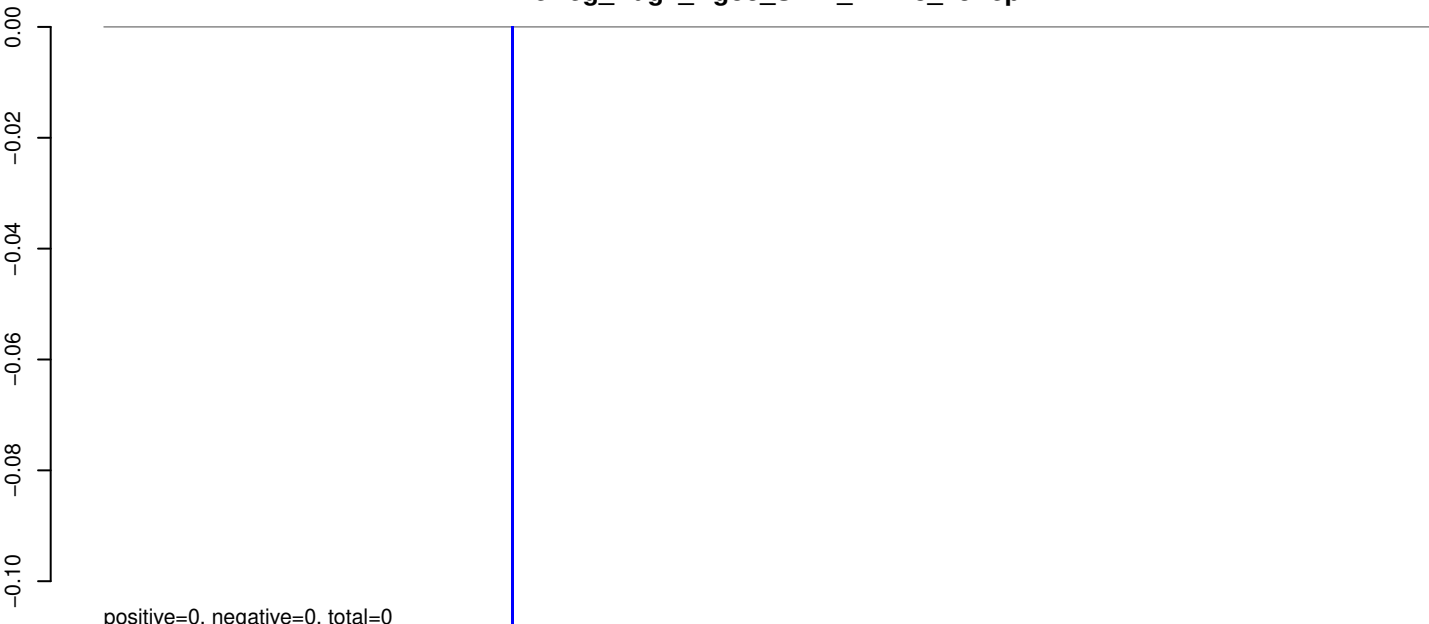
AeAeg_Aag2_Ago3_SINV_RA.rep



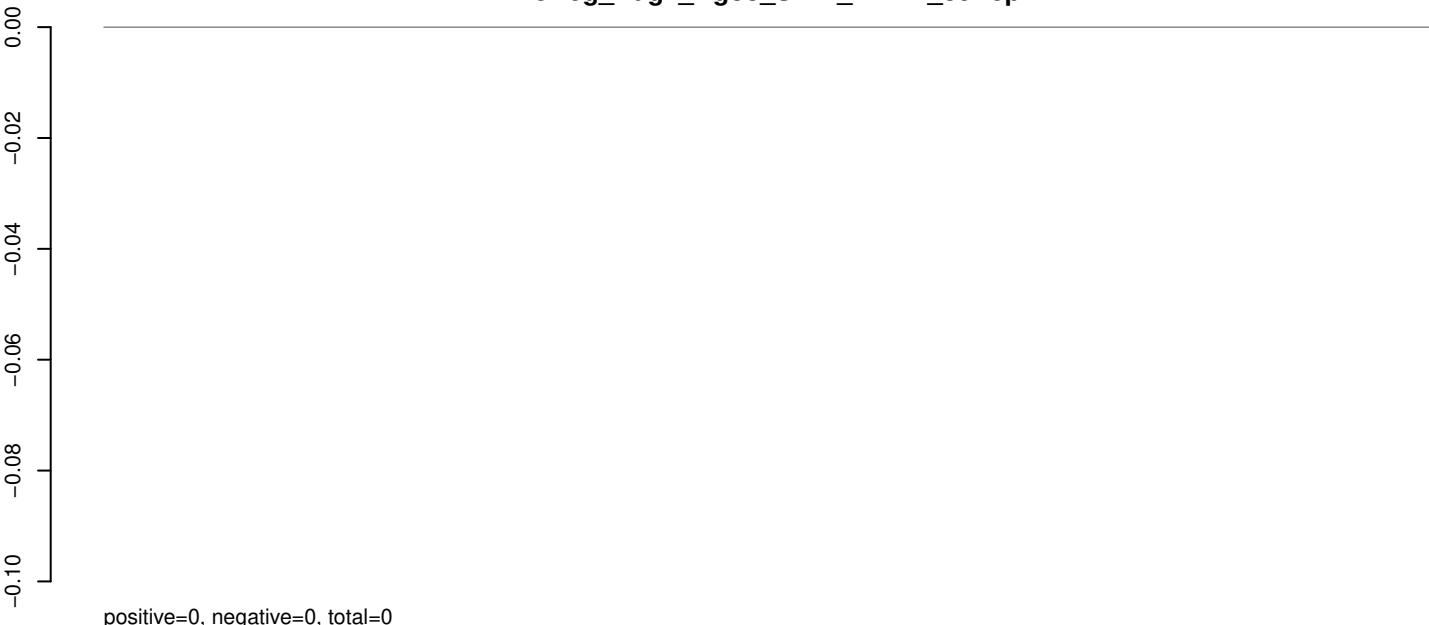
Window size=25, length=6065, virus@MH188054.1-Culex_Y_virus_strain_CYV_Kern_partial_genome:1-6065

0 1000 2000 3000 4000 5000 6000

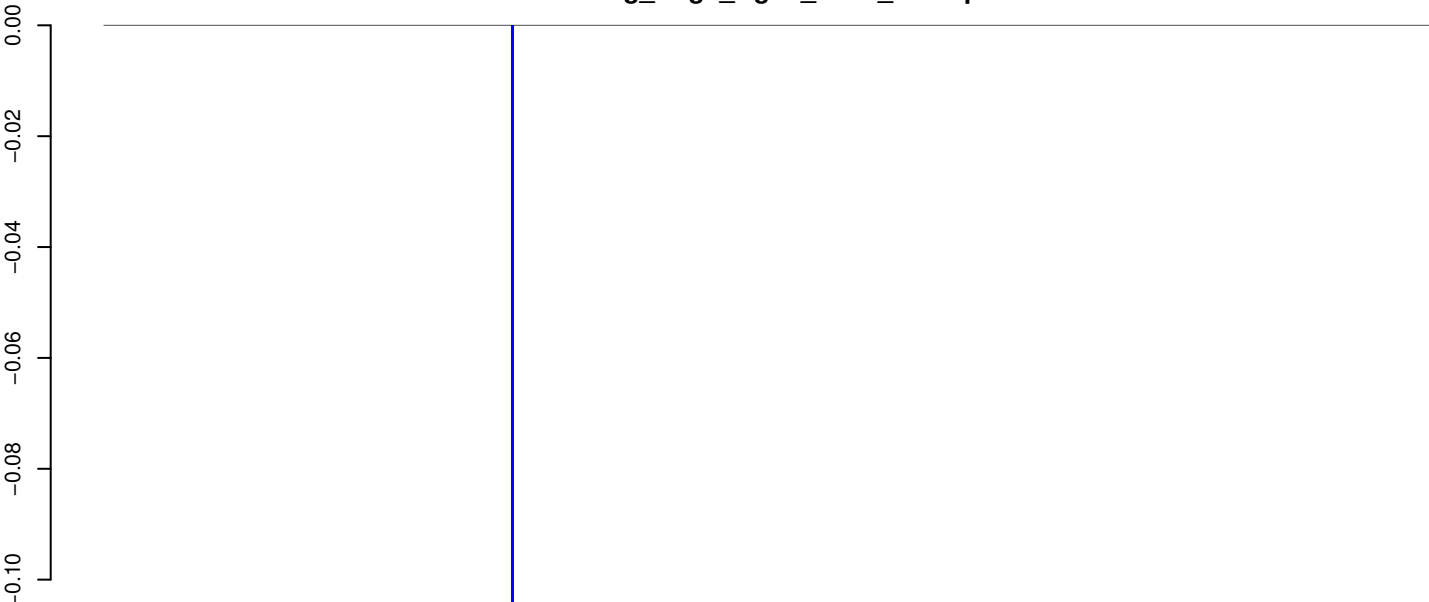
AeAeg_Aag2_Ago3_SINV_RA.18_23.rep



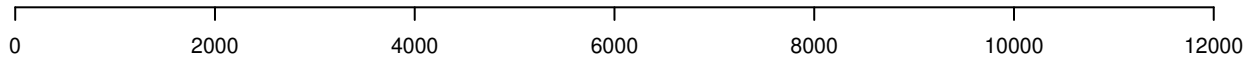
AeAeg_Aag2_Ago3_SINV_RA.24_35.rep



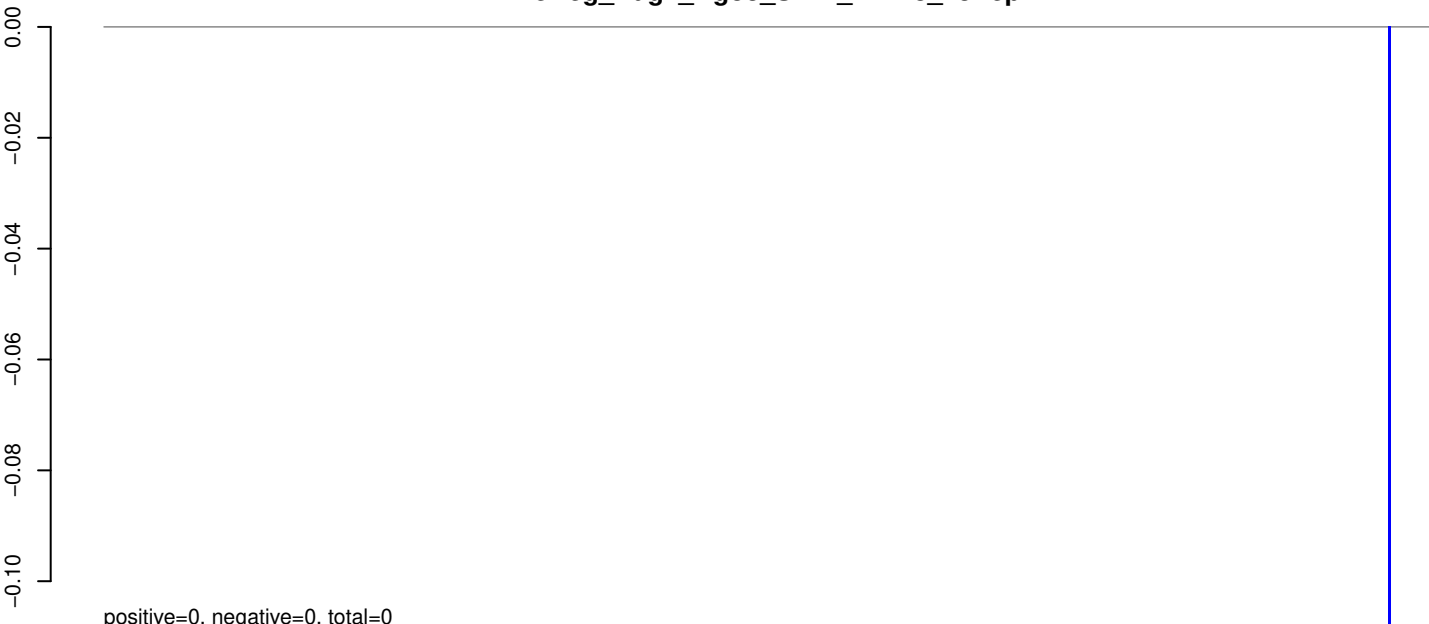
AeAeg_Aag2_Ago3_SINV_RA.rep



Window size=25, length=13297, virus@MF176298.1-Culex_mononega-like_virus_2_strain_mos191gb23464:1-13297



AeAeg_Aag2_Ago3_SINV_RA.18_23.rep



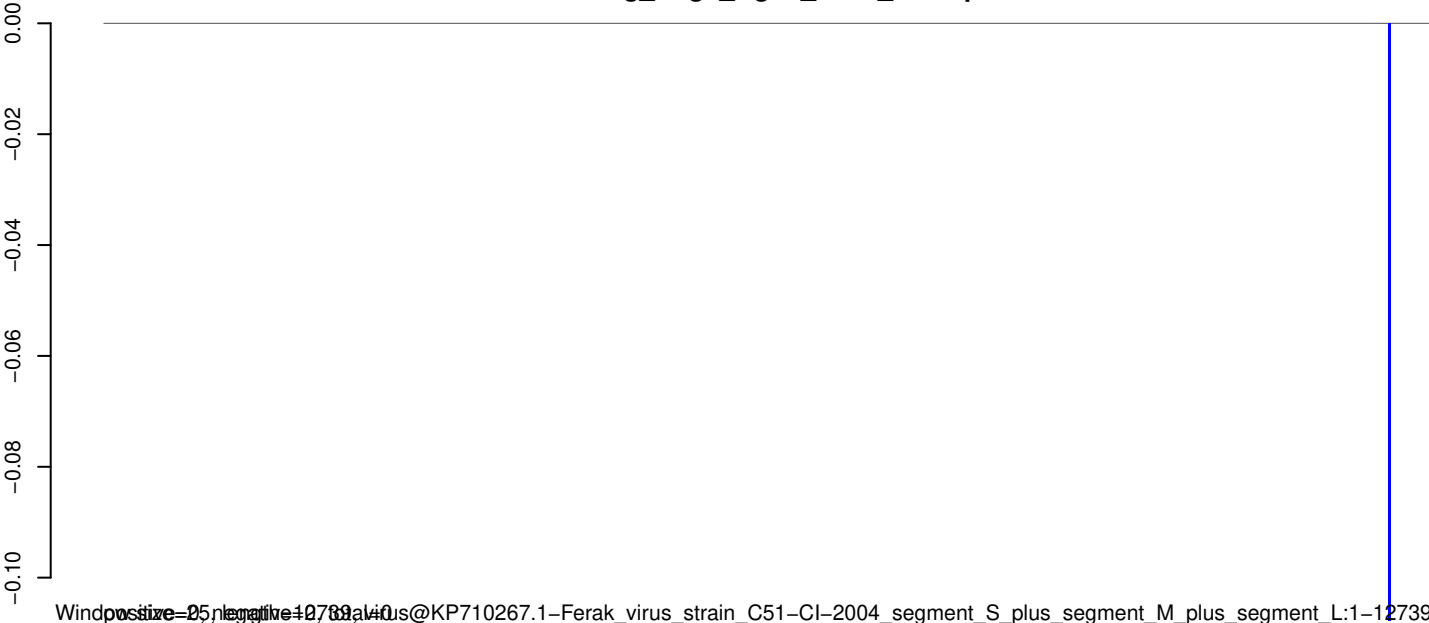
positive=0, negative=0, total=0

AeAeg_Aag2_Ago3_SINV_RA.24_35.rep

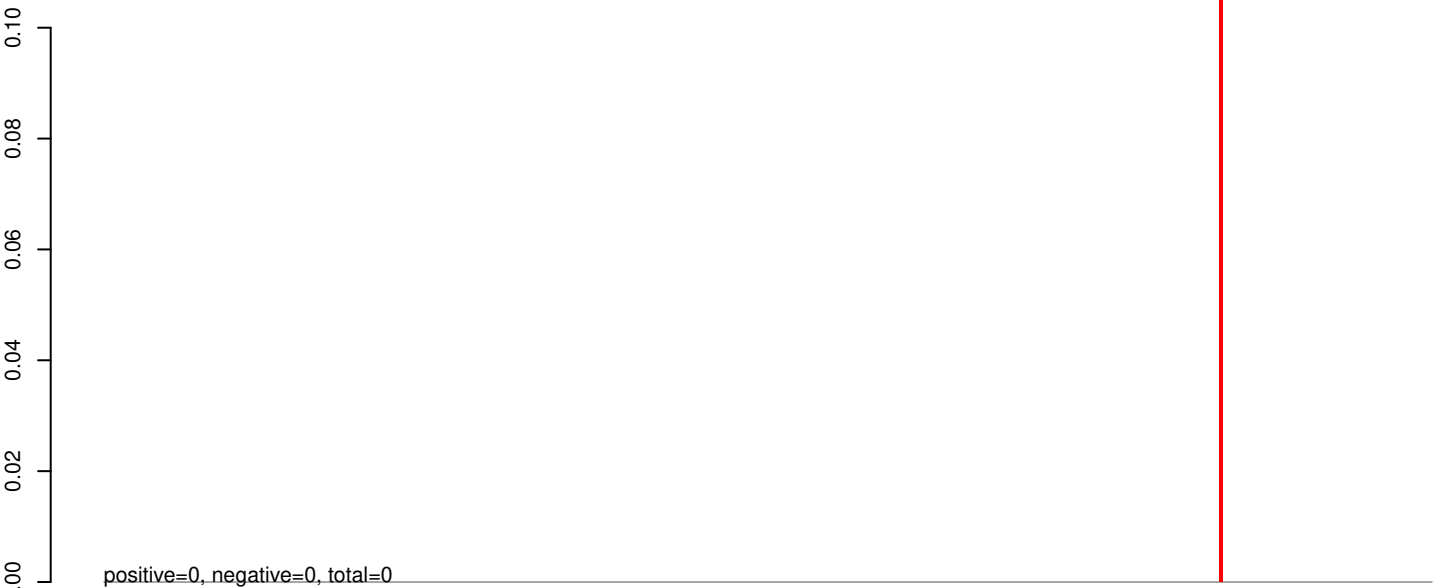


positive=0, negative=0, total=0

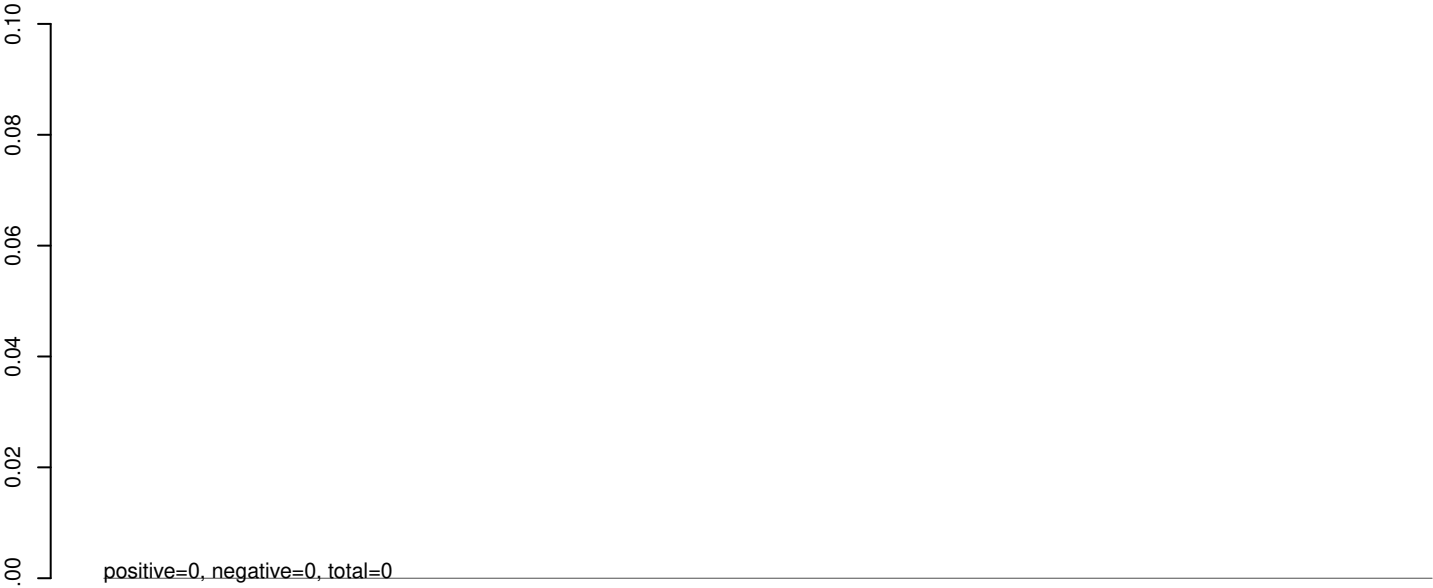
AeAeg_Aag2_Ago3_SINV_RA.rep



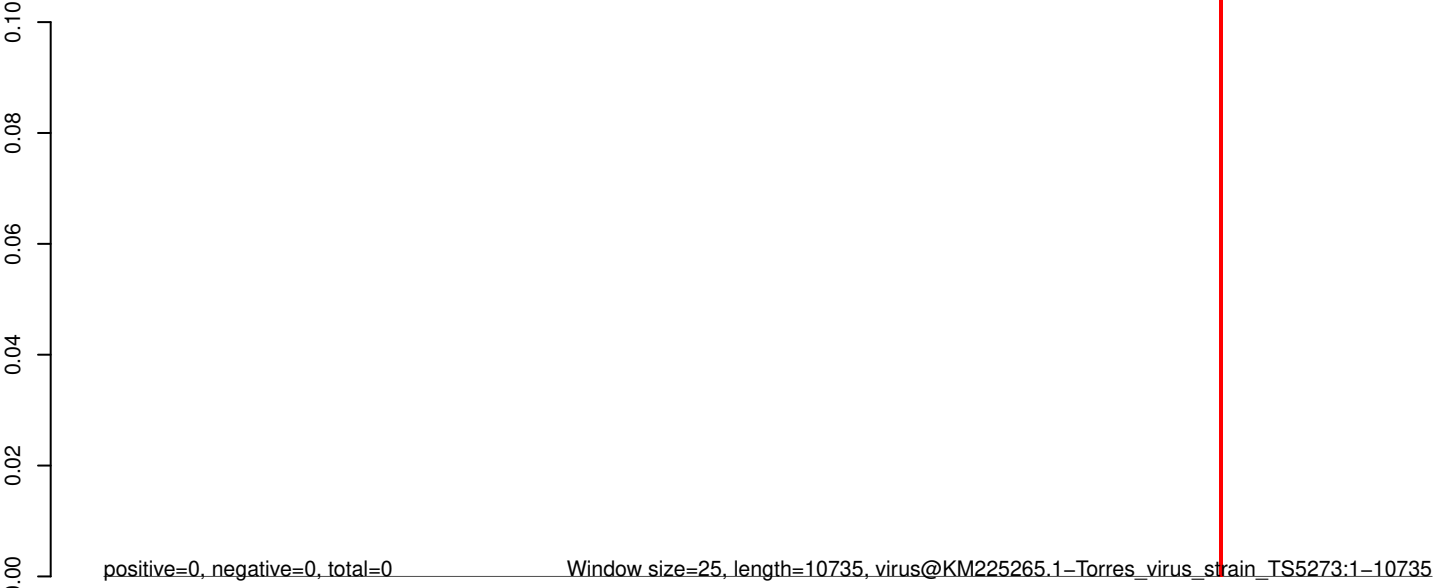
AeAeg_Aag2_Ago3_SINV_RA.18_23.rep



AeAeg_Aag2_Ago3_SINV_RA.24_35.rep

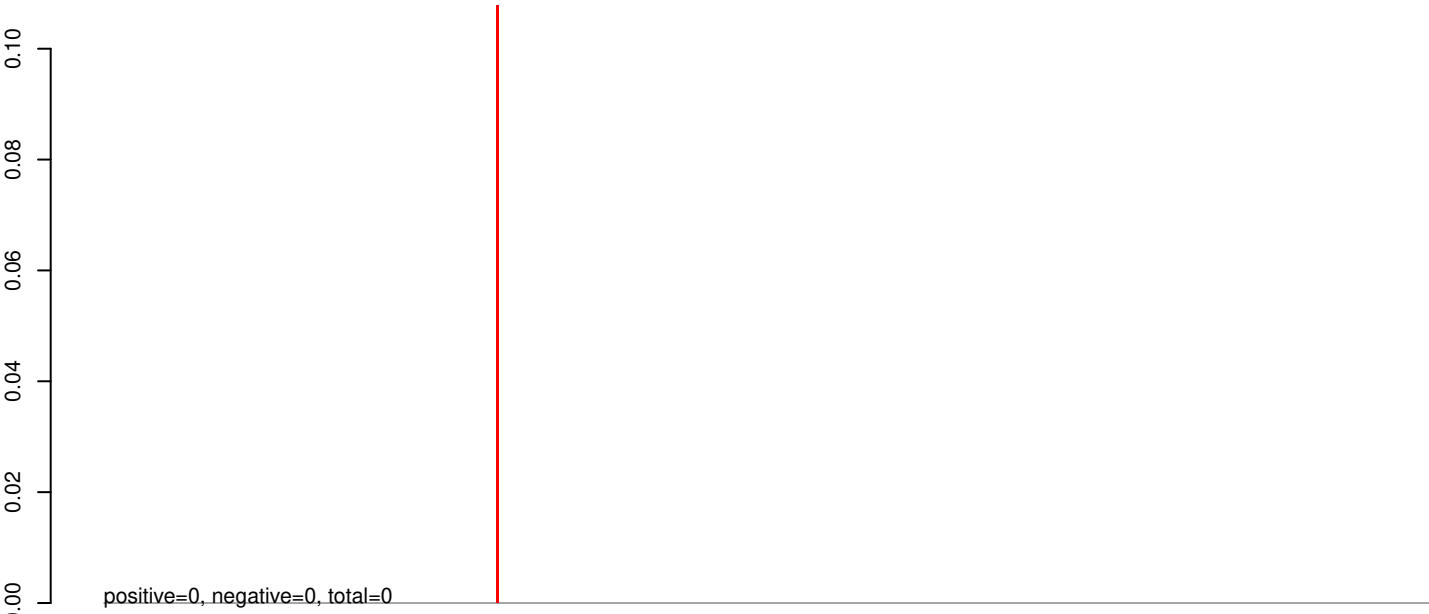


AeAeg_Aag2_Ago3_SINV_RA.rep

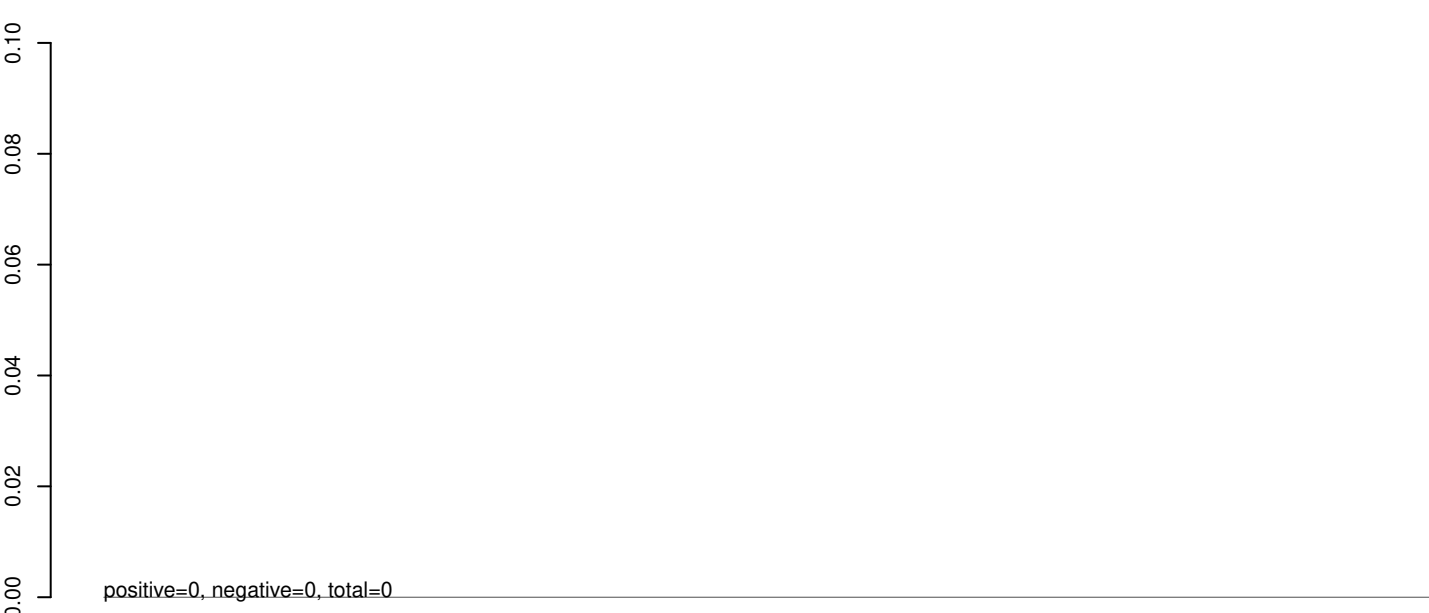


0 2000 4000 6000 8000 10000

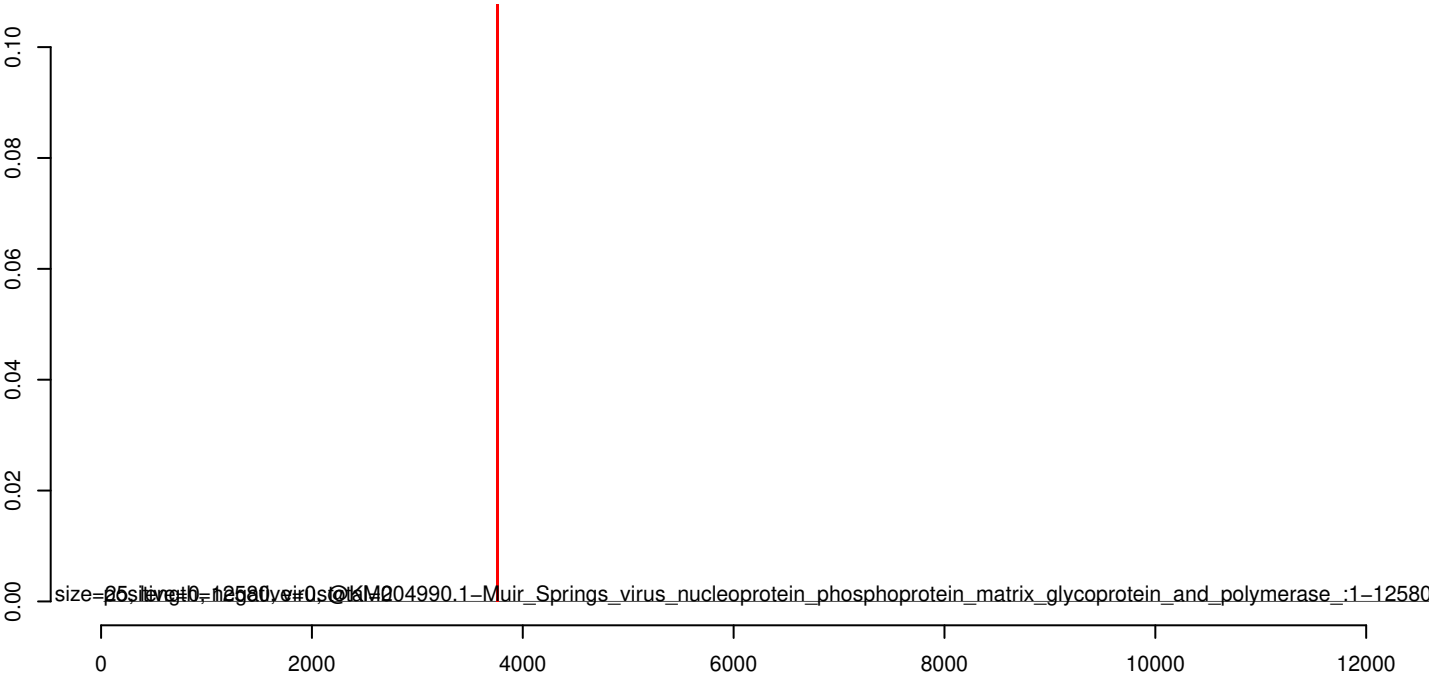
AeAeg_Aag2_Ago3_SINV_RA.18_23.rep



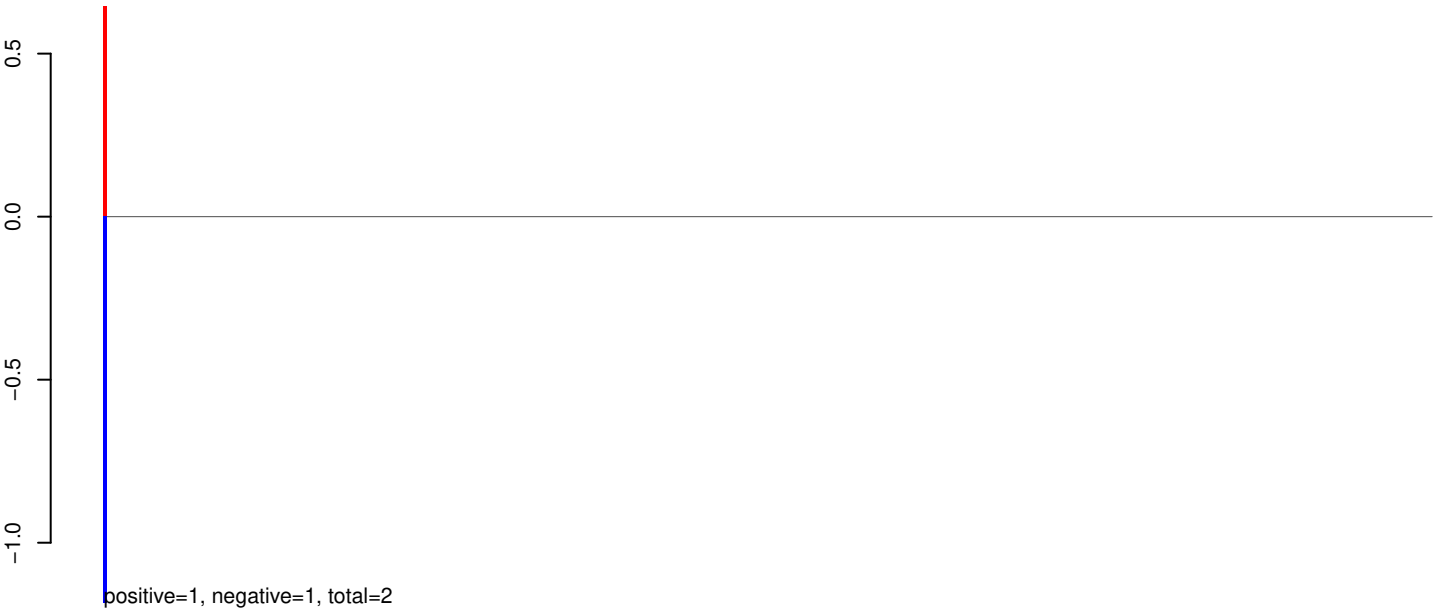
AeAeg_Aag2_Ago3_SINV_RA.24_35.rep



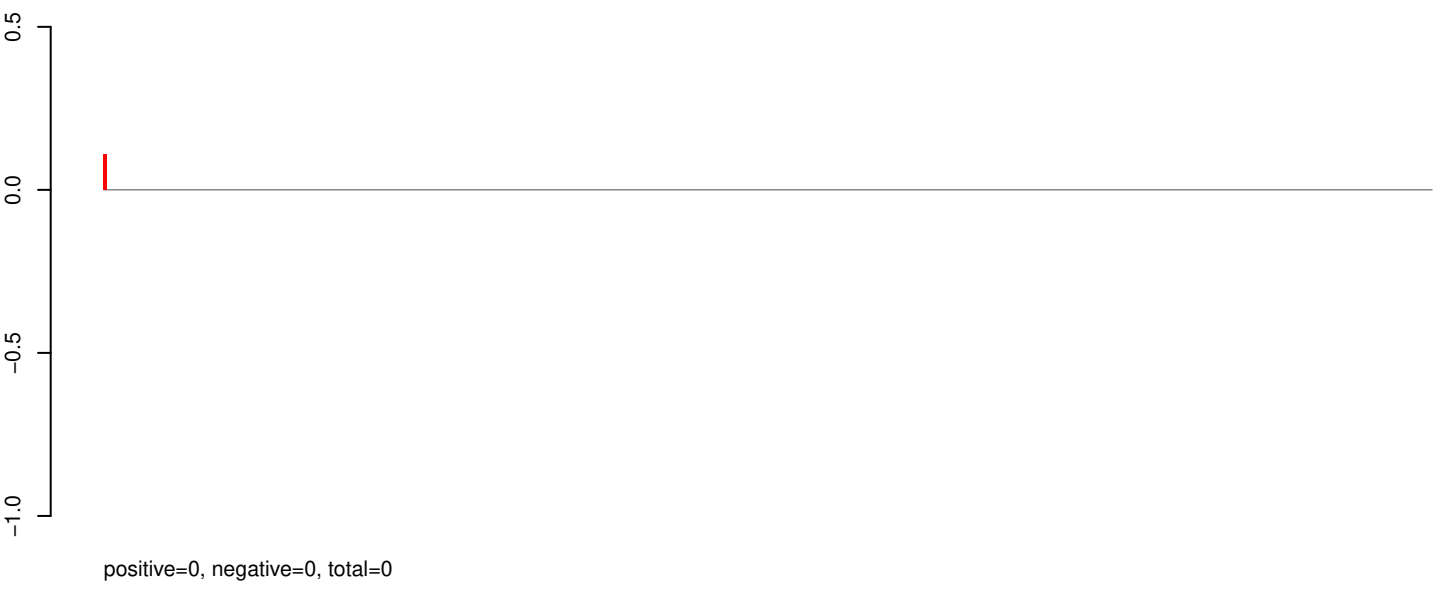
AeAeg_Aag2_Ago3_SINV_RA.rep



AeAeg_Aag2_Ago3_SINV_RA.18_23.rep



AeAeg_Aag2_Ago3_SINV_RA.24_35.rep

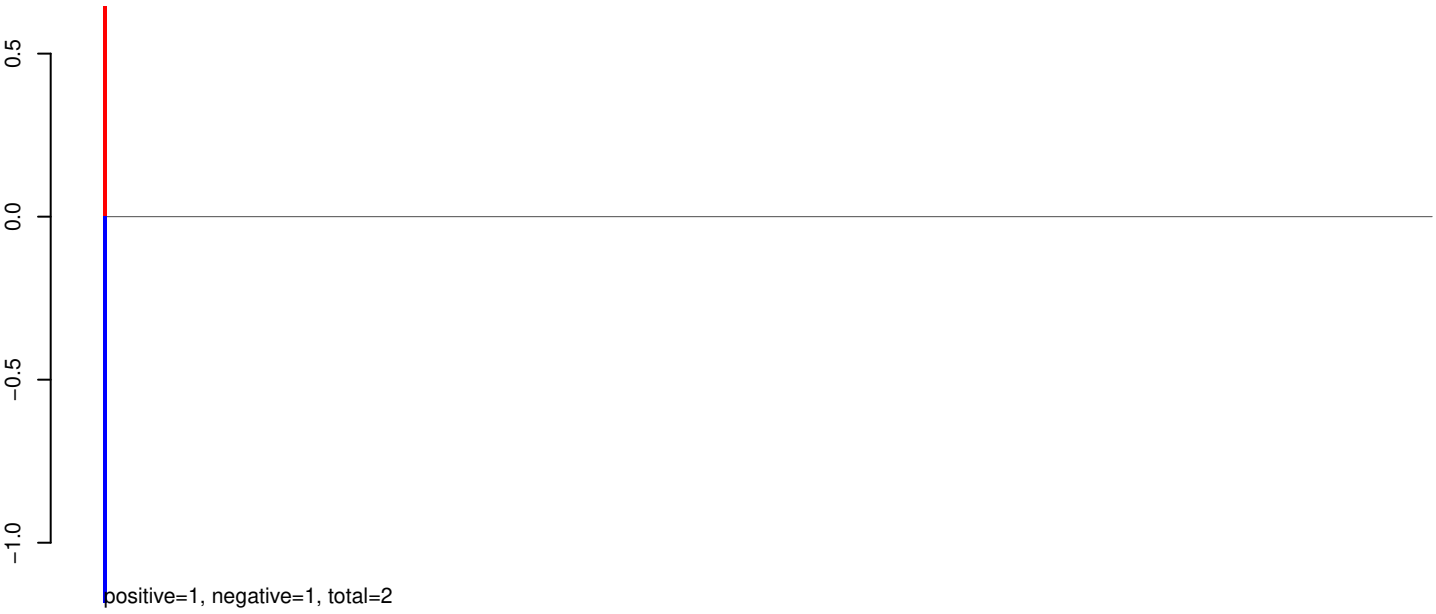


AeAeg_Aag2_Ago3_SINV_RA.rep

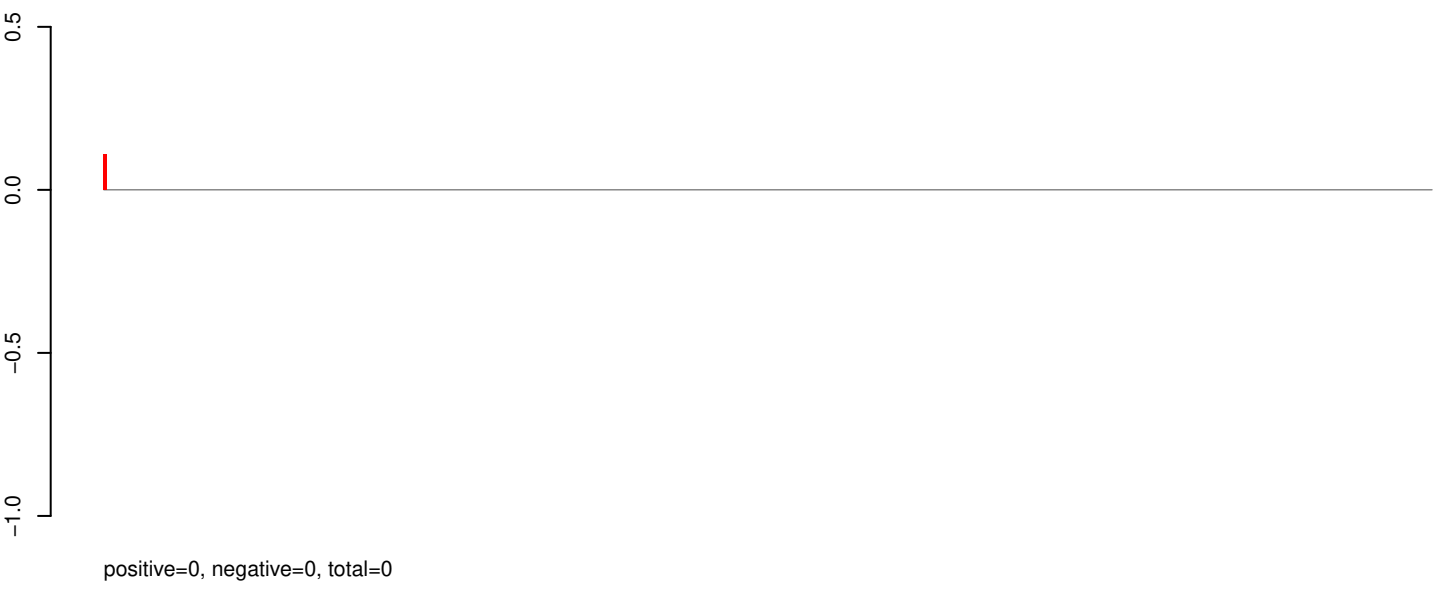


Window size=25, length=10841, virus@JQ308187.1-Culex_flavivirus_isolate_HLD105:1-10841

AeAeg_Aag2_Ago3_SINV_RA.18_23.rep



AeAeg_Aag2_Ago3_SINV_RA.24_35.rep

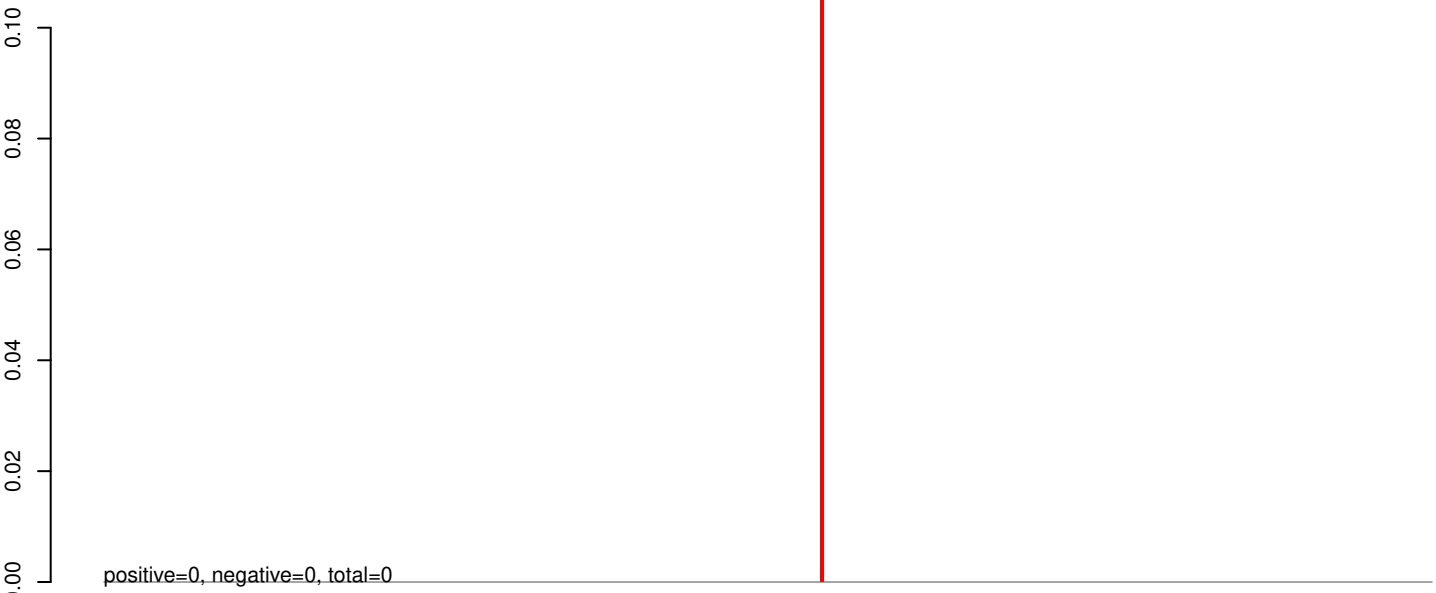


AeAeg_Aag2_Ago3_SINV_RA.rep

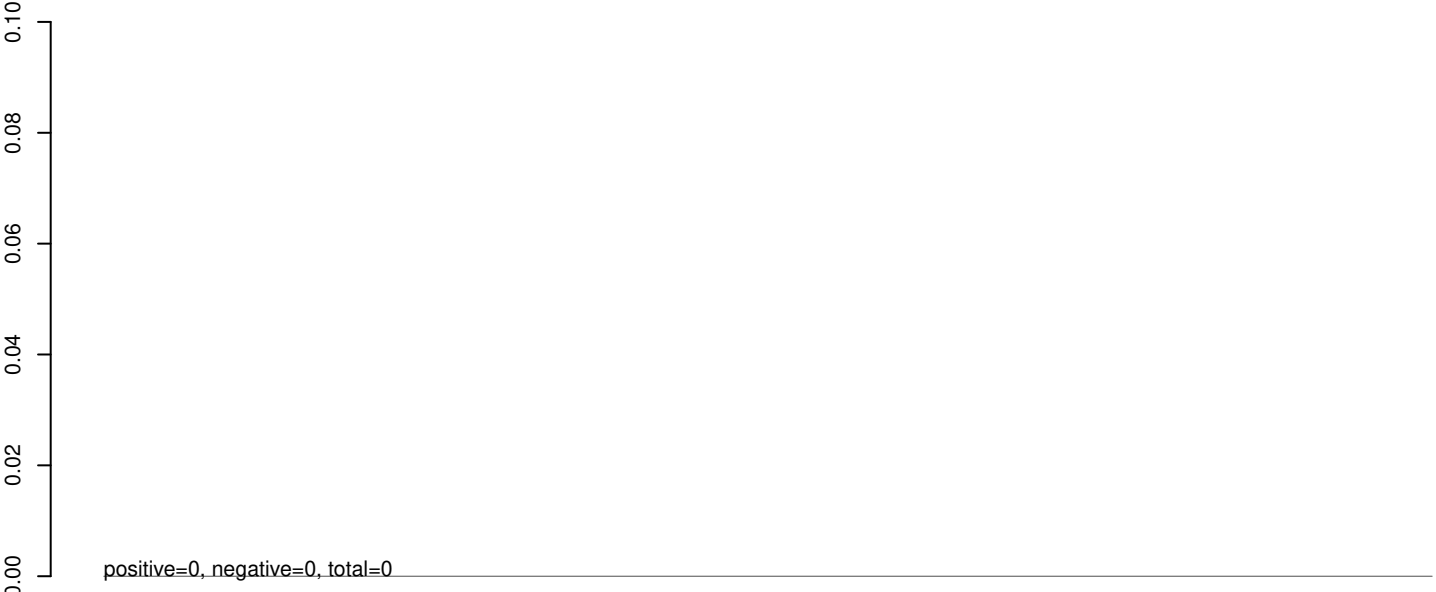


Window size=25, length=10841, virus@HQ678513.1-Culex_flavivirus_isolate_H0901:1-10841

AeAeg_Aag2_Ago3_SINV_RA.18_23.rep



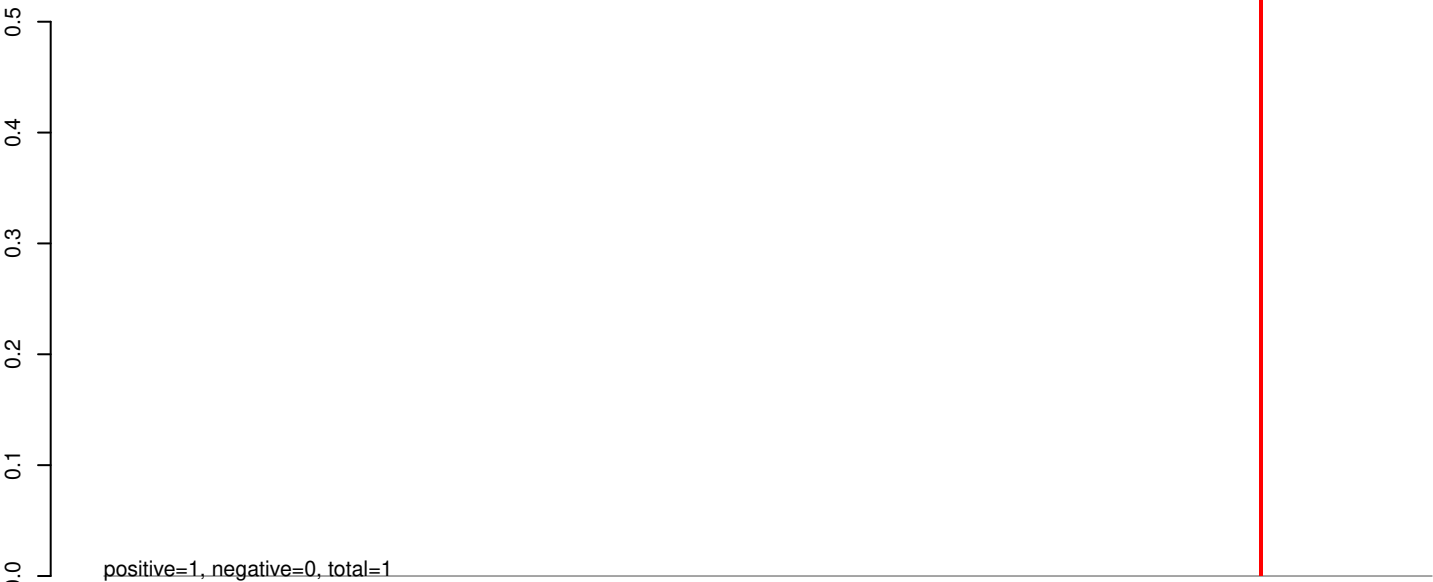
AeAeg_Aag2_Ago3_SINV_RA.24_35.rep



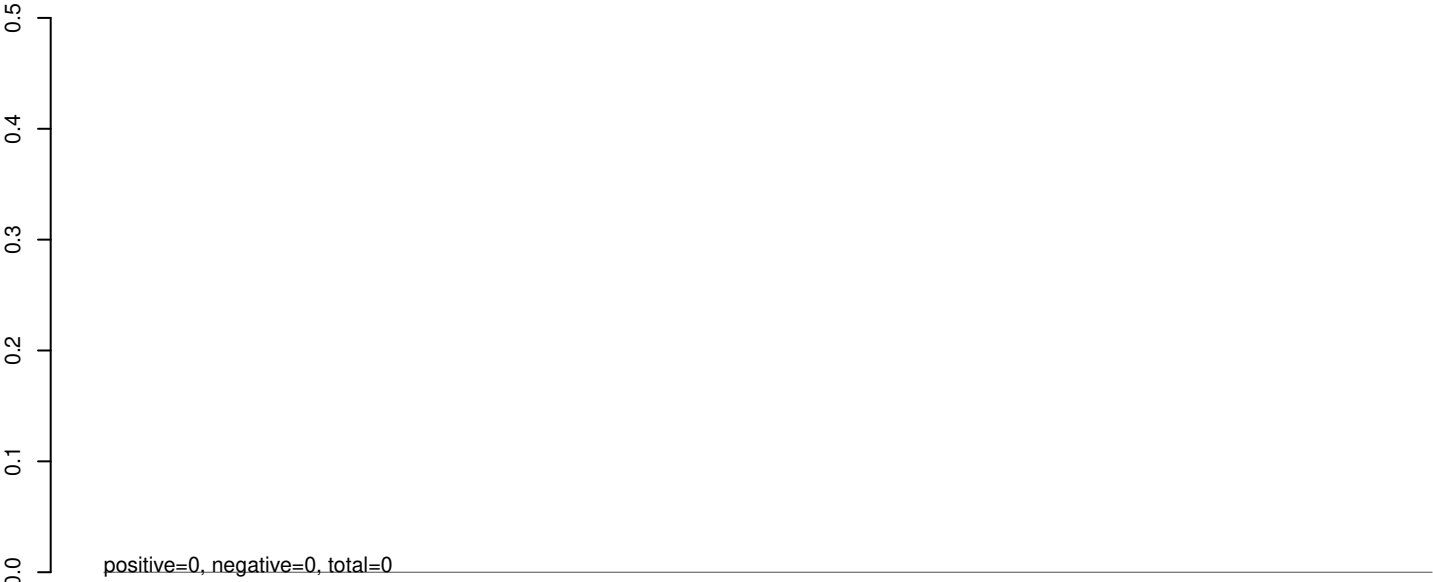
AeAeg_Aag2_Ago3_SINV_RA.rep



AeAeg_Aag2_Ago3_SINV_RA.18_23.rep



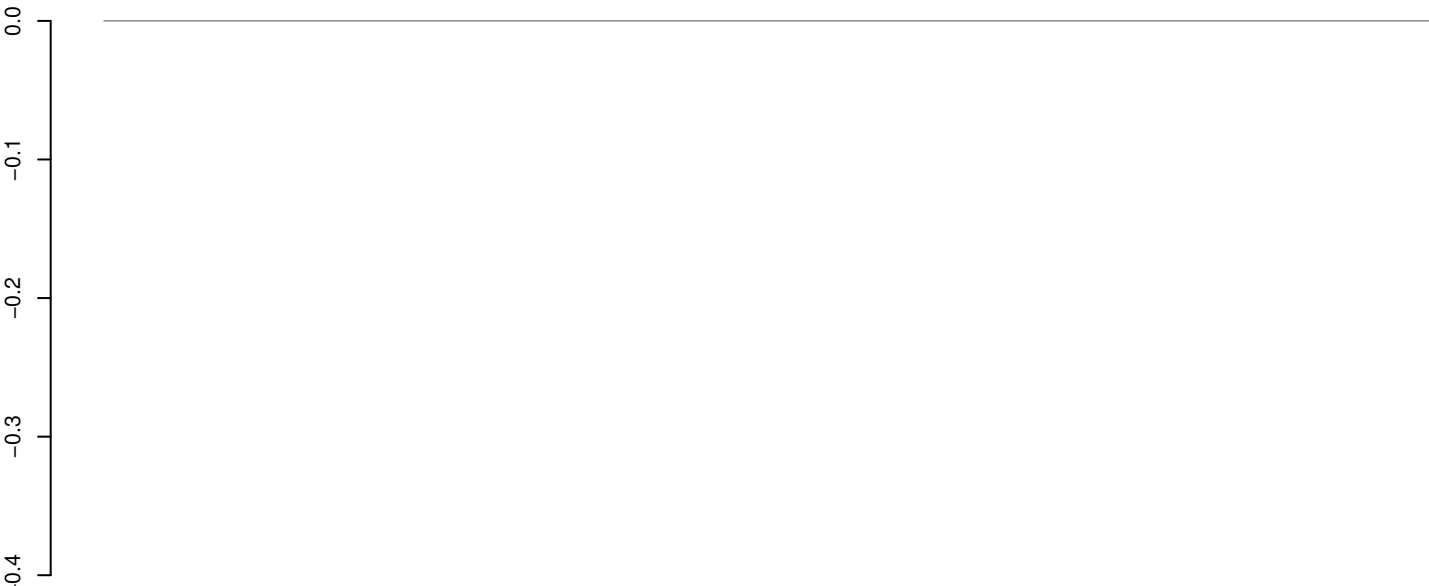
AeAeg_Aag2_Ago3_SINV_RA.24_35.rep



AeAeg_Aag2_Ago3_SINV_RA.rep

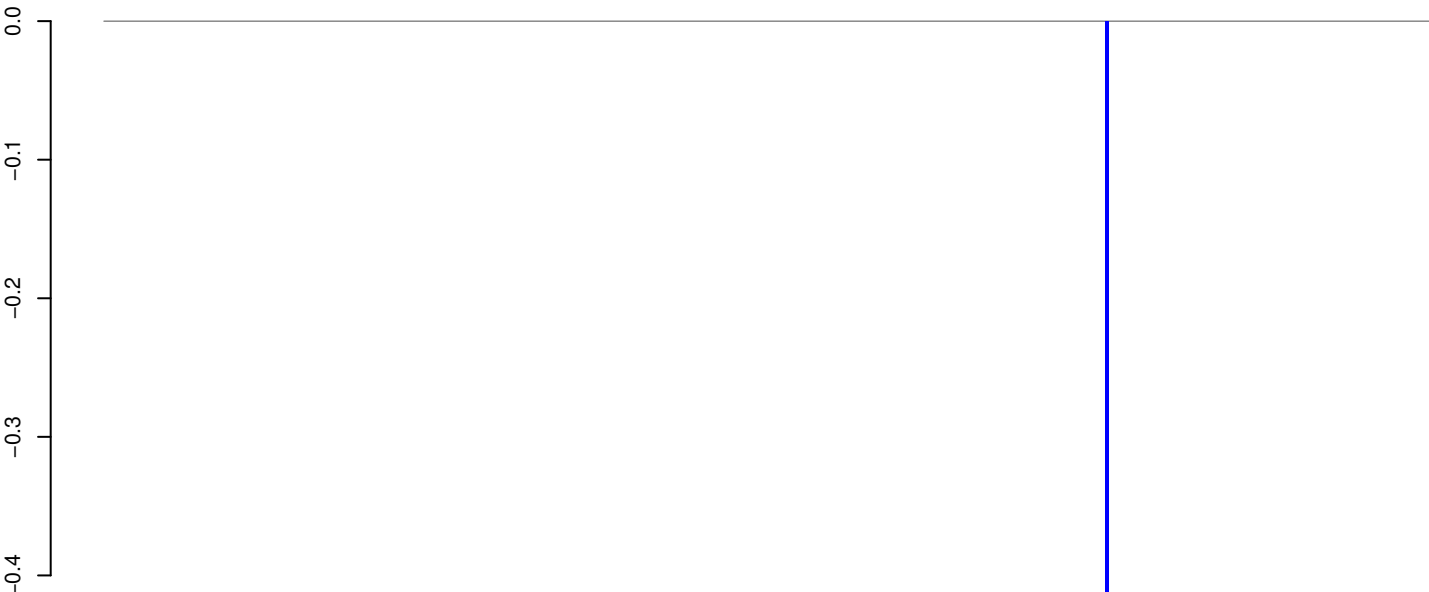


AeAeg_Aag2_Ago3_SINV_RA.18_23.rep



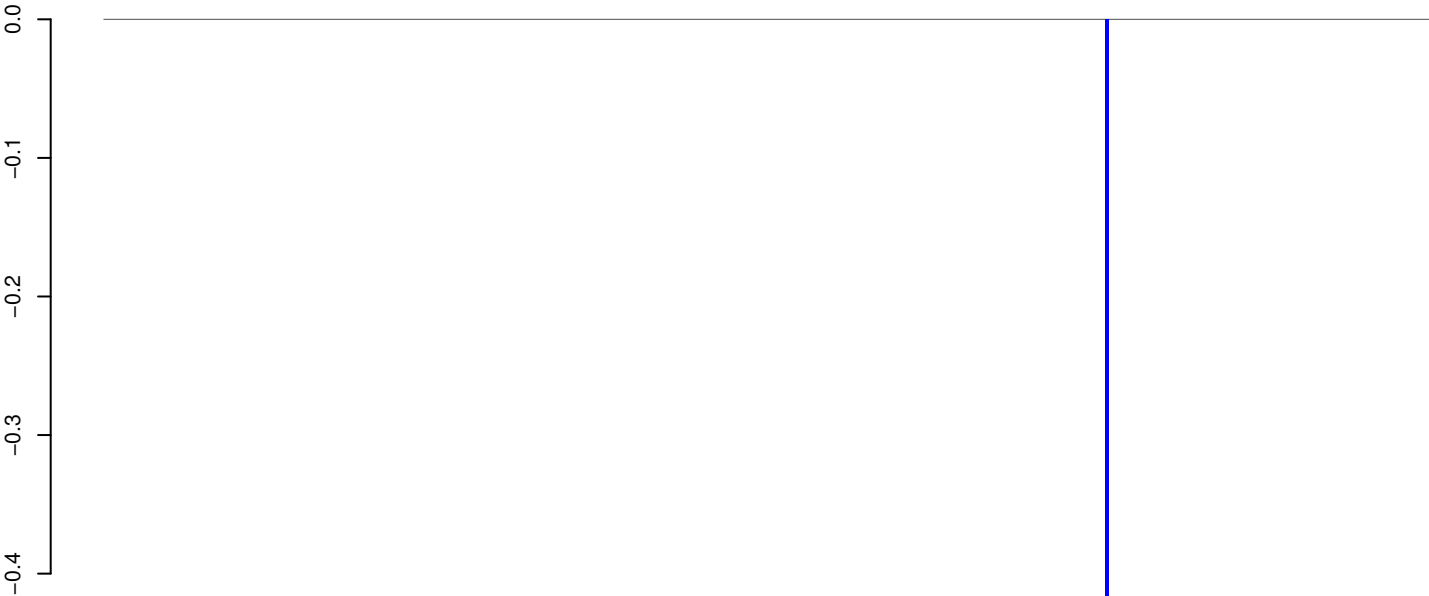
positive=0, negative=0, total=0

AeAeg_Aag2_Ago3_SINV_RA.24_35.rep

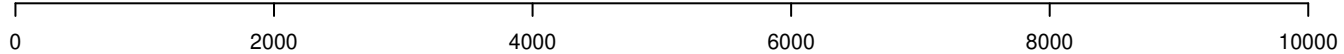


positive=0, negative=0, total=0

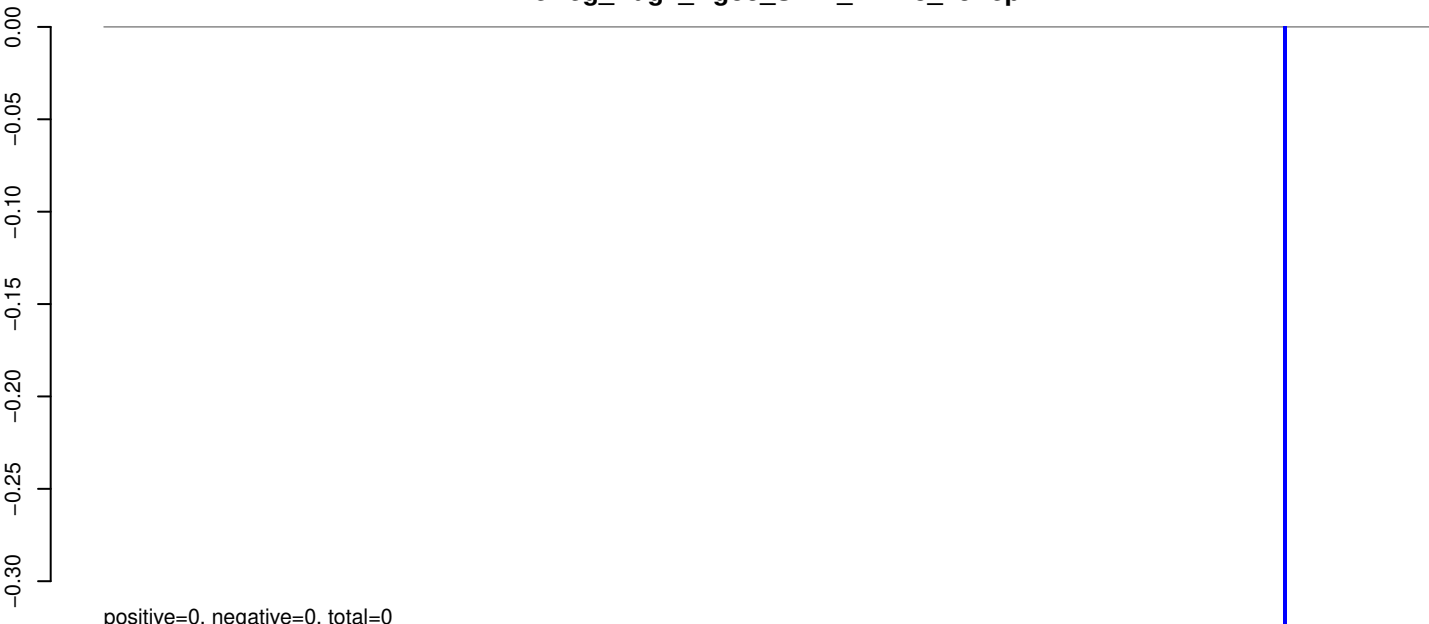
AeAeg_Aag2_Ago3_SINV_RA.rep



positive=0, negative=0, total=0, Window size=25, length=10254, virus@DQ235149.1-Royal_Farm_virus_from_Afghanistan_polyprotein_gene:1-10254

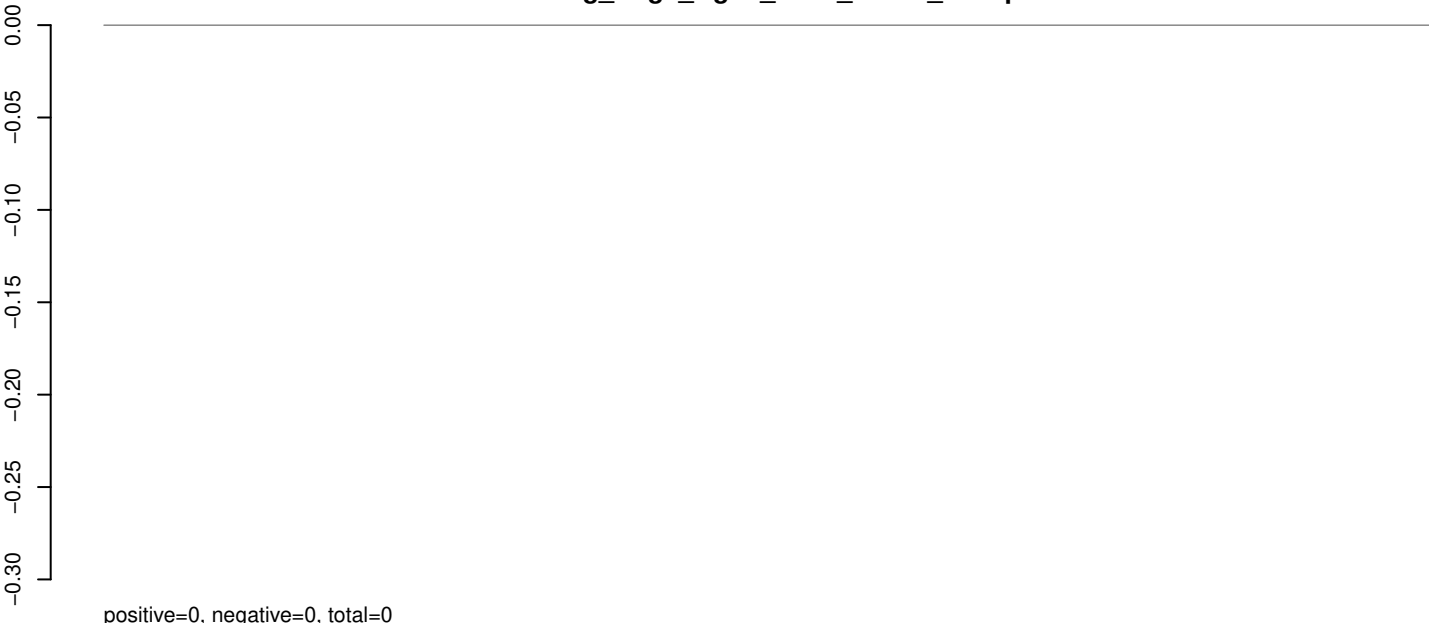


AeAeg_Aag2_Ago3_SINV_RA.18_23.rep



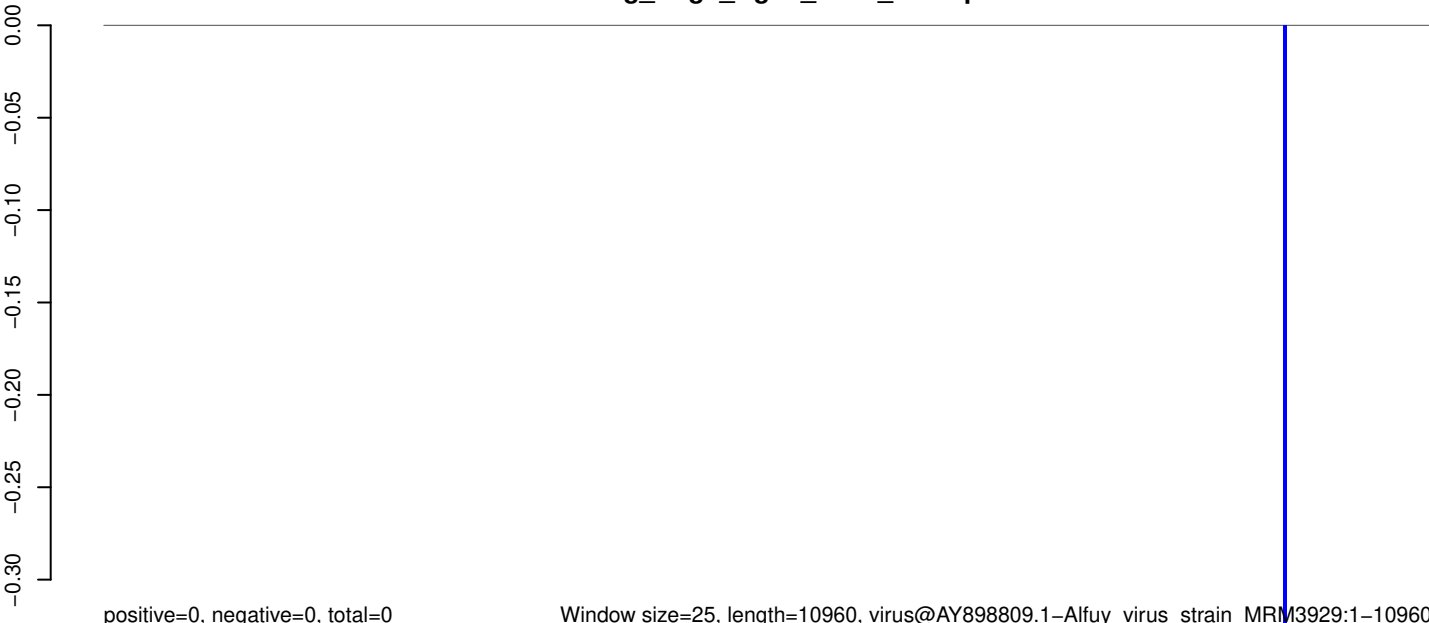
positive=0, negative=0, total=0

AeAeg_Aag2_Ago3_SINV_RA.24_35.rep



positive=0, negative=0, total=0

AeAeg_Aag2_Ago3_SINV_RA.rep

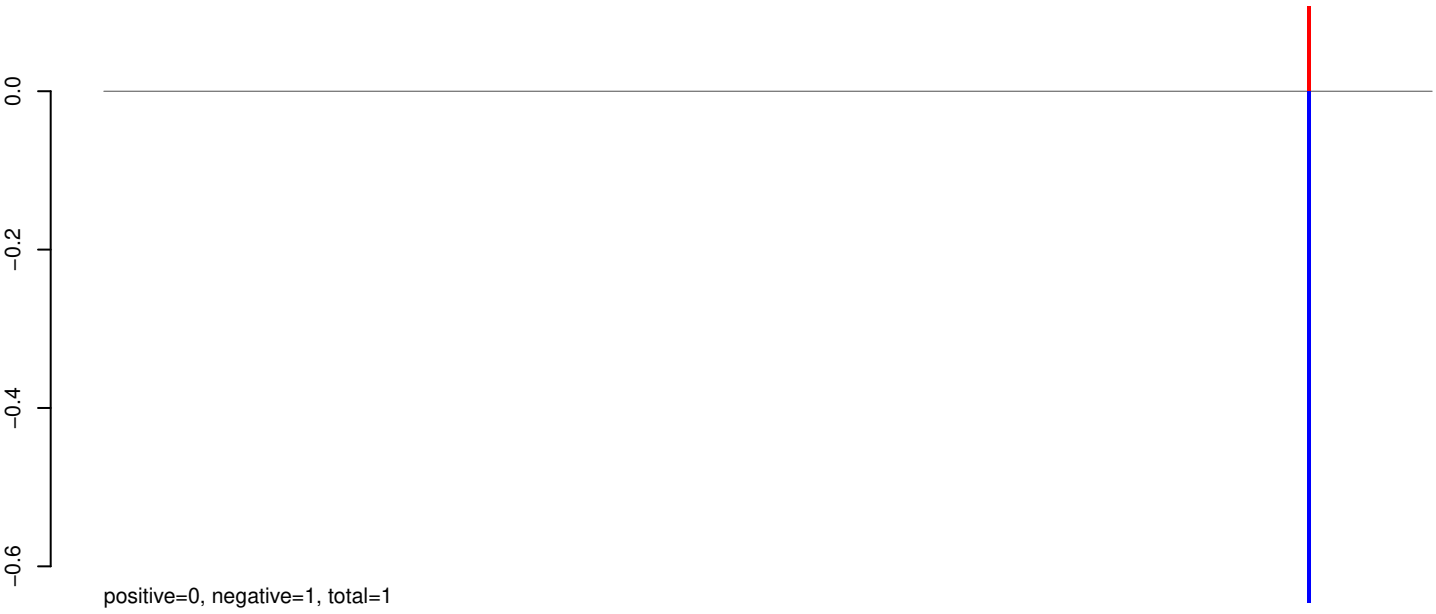


positive=0, negative=0, total=0

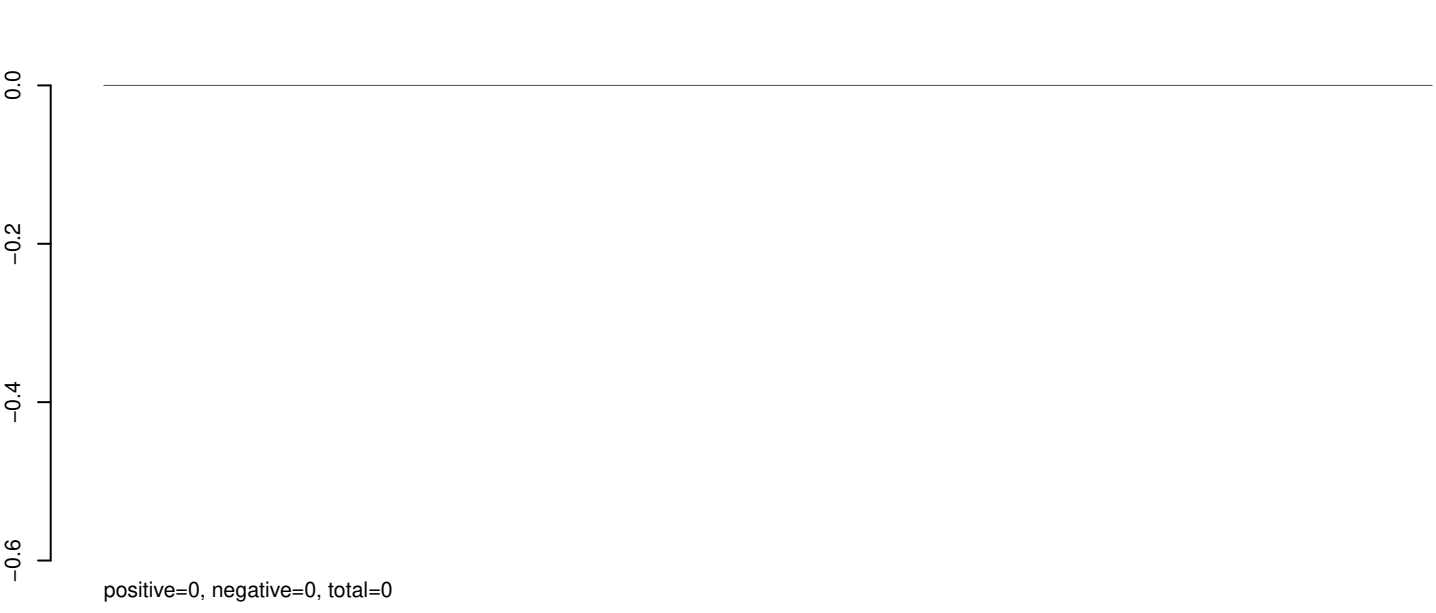
Window size=25, length=10960, virus@AY898809.1-Alfuy_virus_strain_MRM3929:1-10960

0 2000 4000 6000 8000 10000

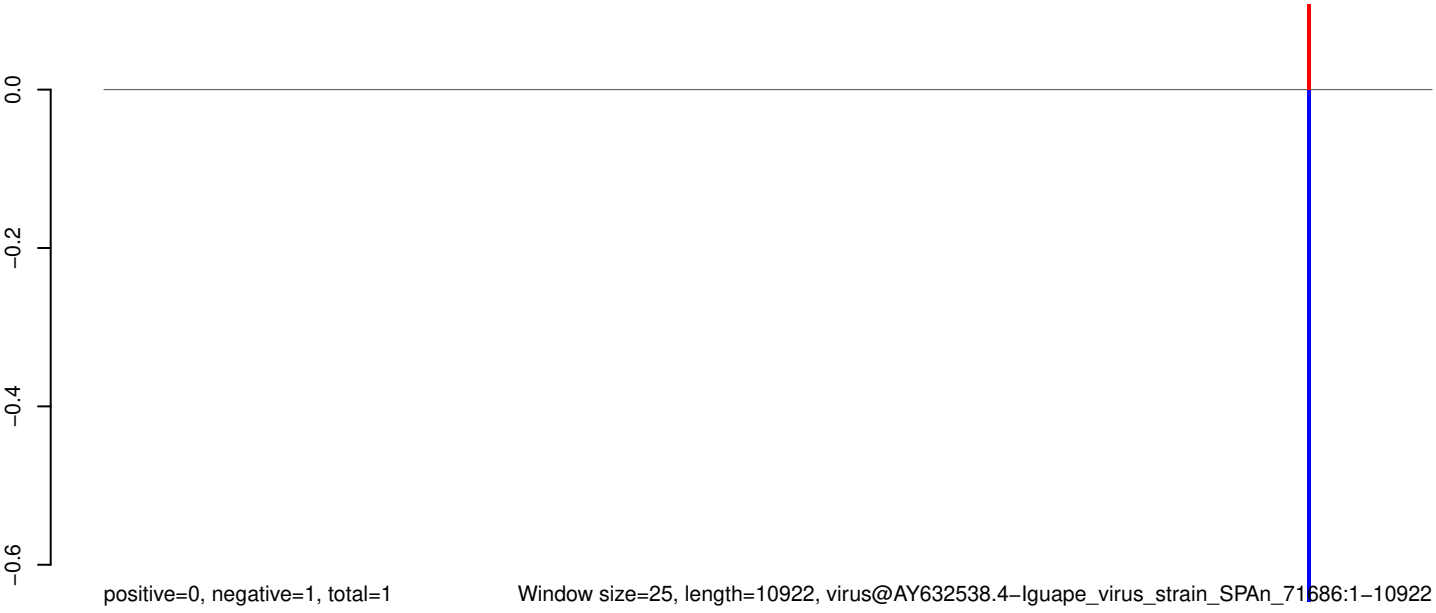
AeAeg_Aag2_Ago3_SINV_RA.18_23.rep



AeAeg_Aag2_Ago3_SINV_RA.24_35.rep



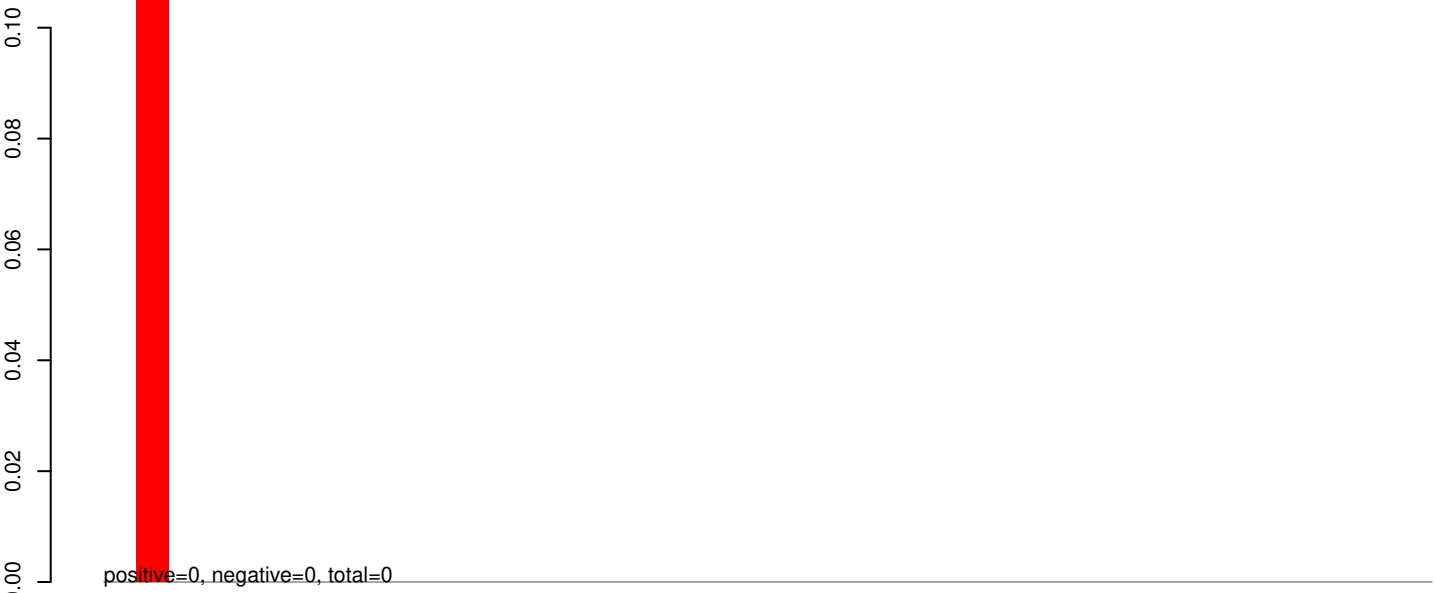
AeAeg_Aag2_Ago3_SINV_RA.rep



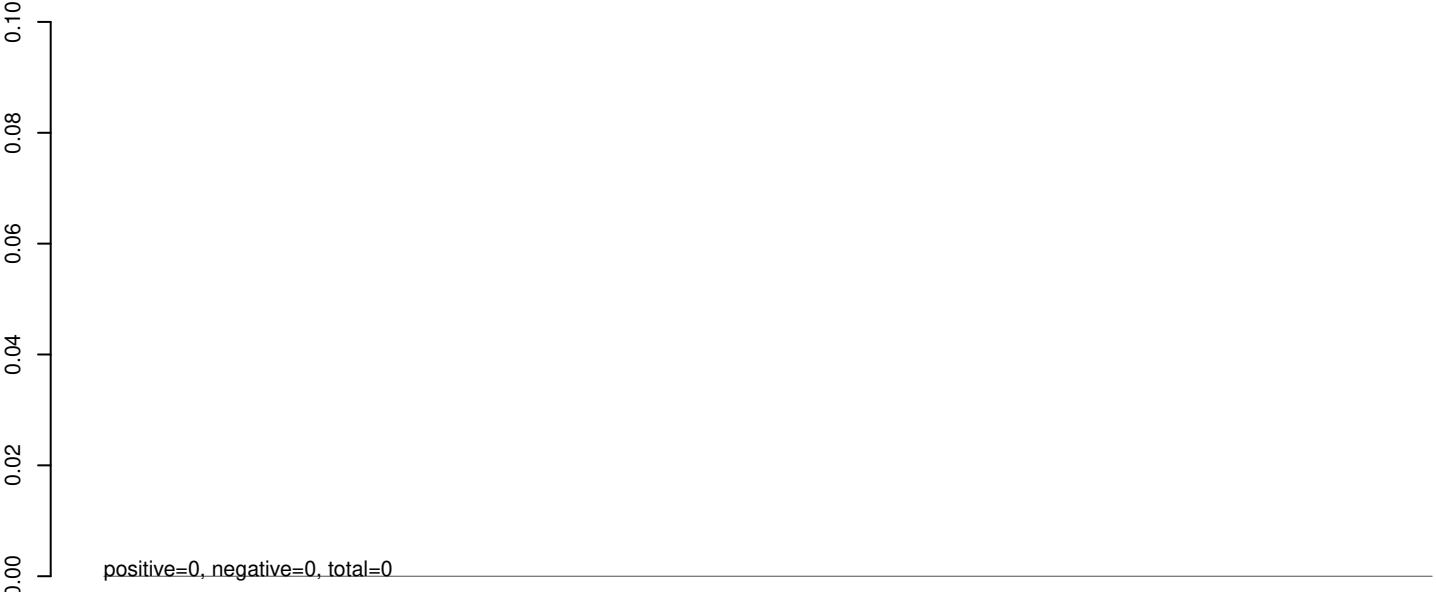
Window size=25, length=10922, virus@AY632538.4-Iguape_virus_strain_SPAn_71686:1-10922

0 2000 4000 6000 8000 10000

AeAeg_Aag2_Ago3_SINV_RA.18_23.rep



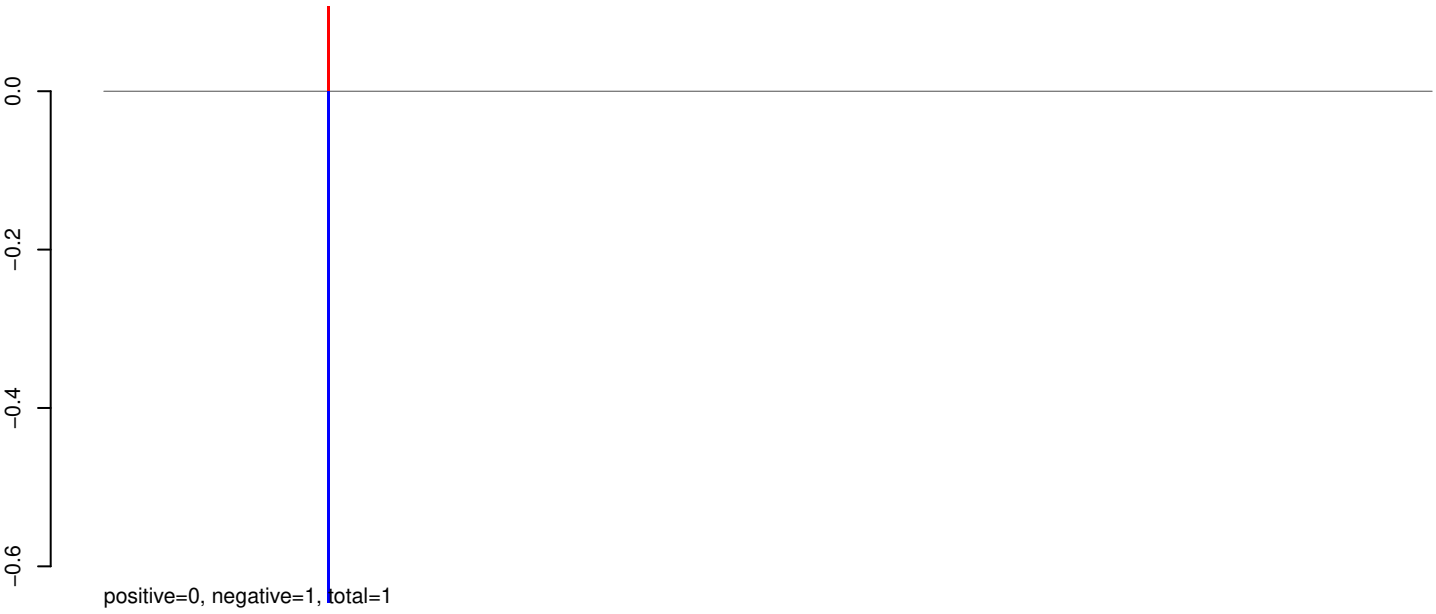
AeAeg_Aag2_Ago3_SINV_RA.24_35.rep



AeAeg_Aag2_Ago3_SINV_RA.rep



AeAeg_Aag2_Ago3_SINV_RA.18_23.rep



AeAeg_Aag2_Ago3_SINV_RA.24_35.rep



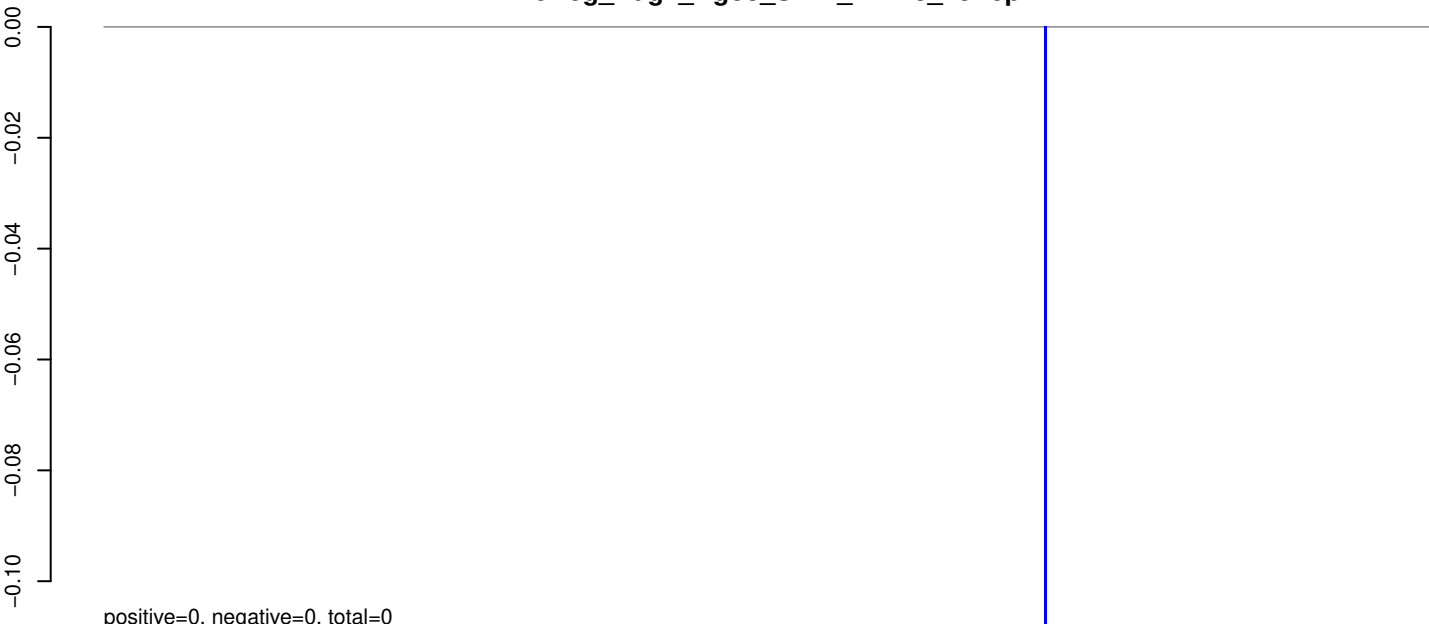
AeAeg_Aag2_Ago3_SINV_RA.rep



Window size=25, length=11465, virus@AF075257.1-Mosso_das_Pedras_virus:1-11465

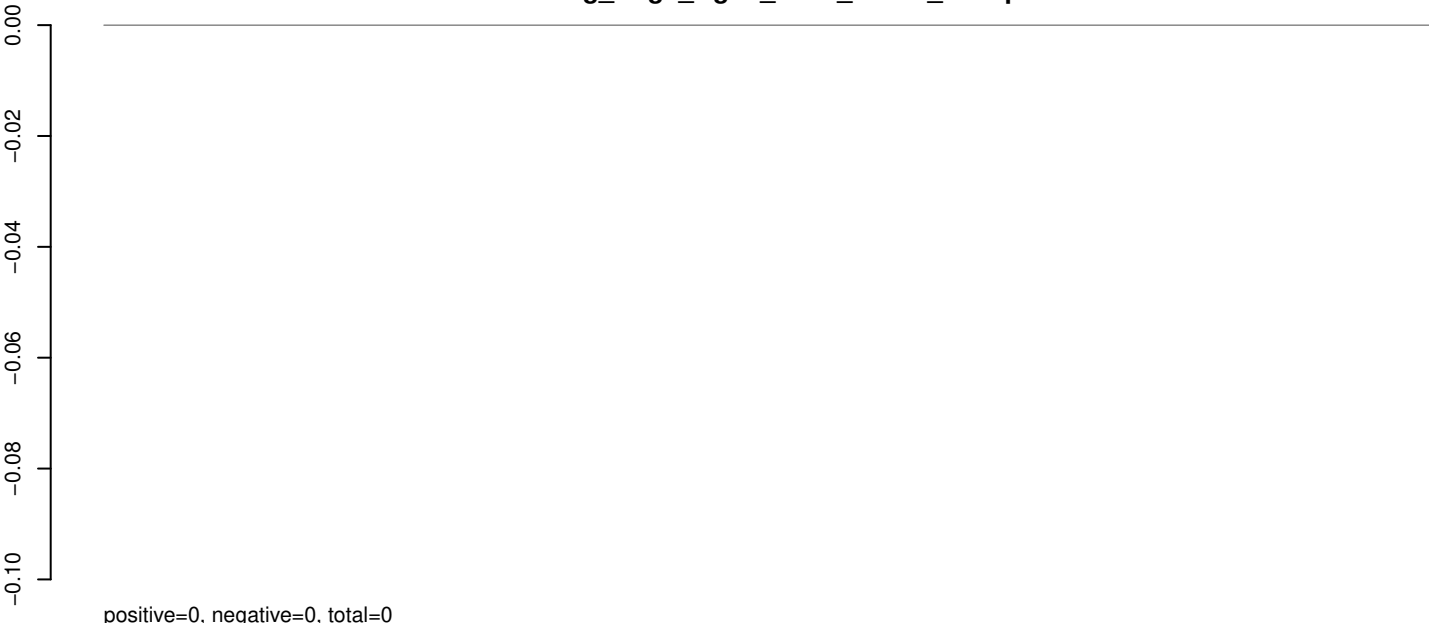
0 2000 4000 6000 8000 10000

AeAeg_Aag2_Ago3_SINV_RA.18_23.rep



positive=0, negative=0, total=0

AeAeg_Aag2_Ago3_SINV_RA.24_35.rep



positive=0, negative=0, total=0

AeAeg_Aag2_Ago3_SINV_RA.rep

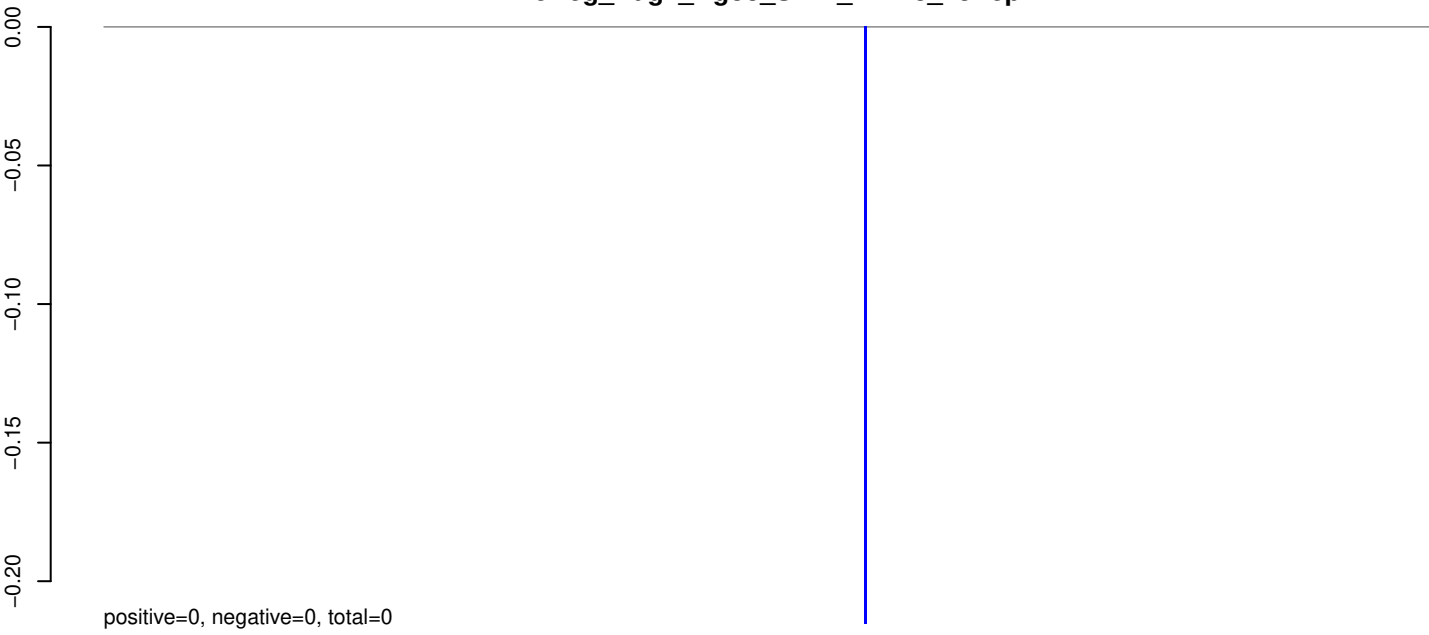


positive=0, negative=0, total=0

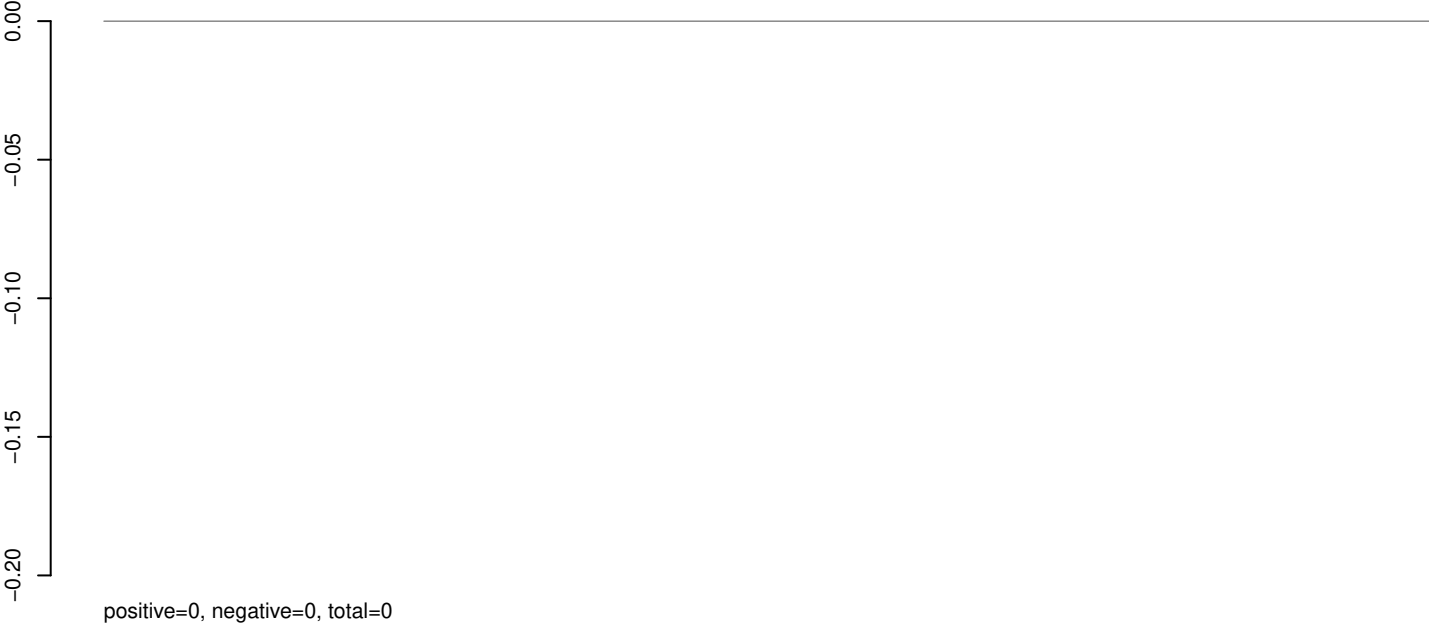
Window size=25, length=11530, virus@AF075254.1-Tonate_virus_strain_Tonate_CaAn_410d:1-11530

0 2000 4000 6000 8000 10000 12000

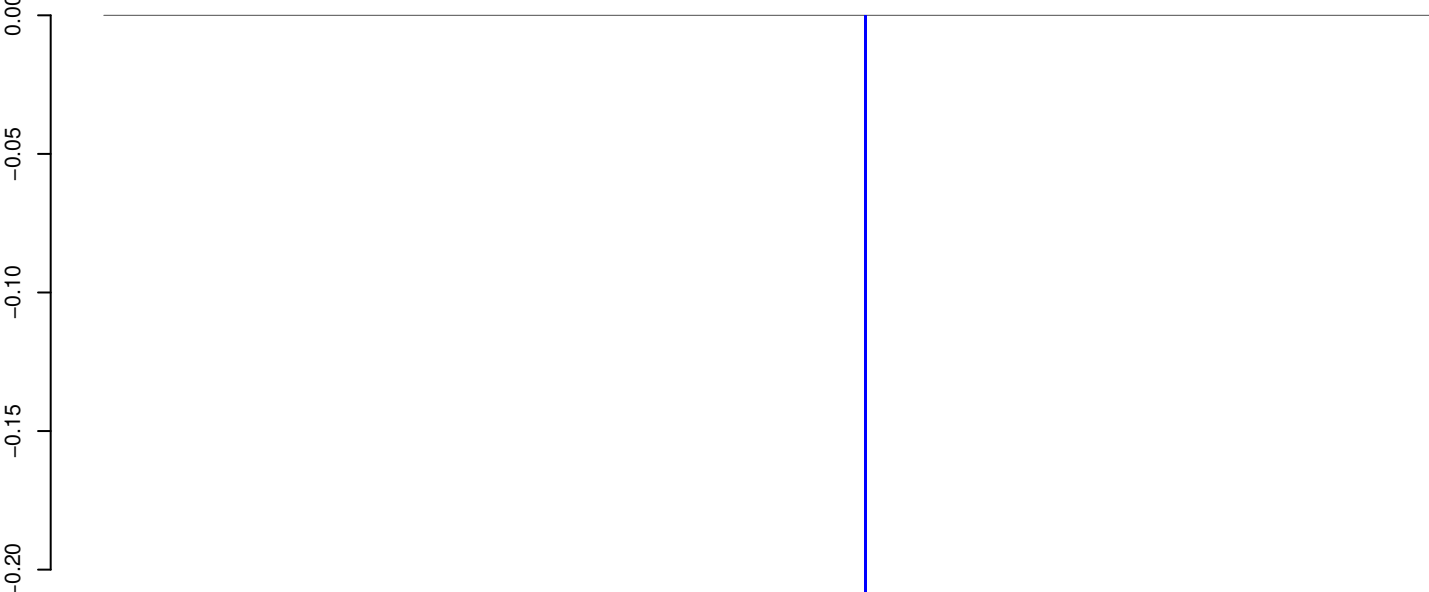
AeAeg_Aag2_Ago3_SINV_RA.18_23.rep



AeAeg_Aag2_Ago3_SINV_RA.24_35.rep



AeAeg_Aag2_Ago3_SINV_RA.rep



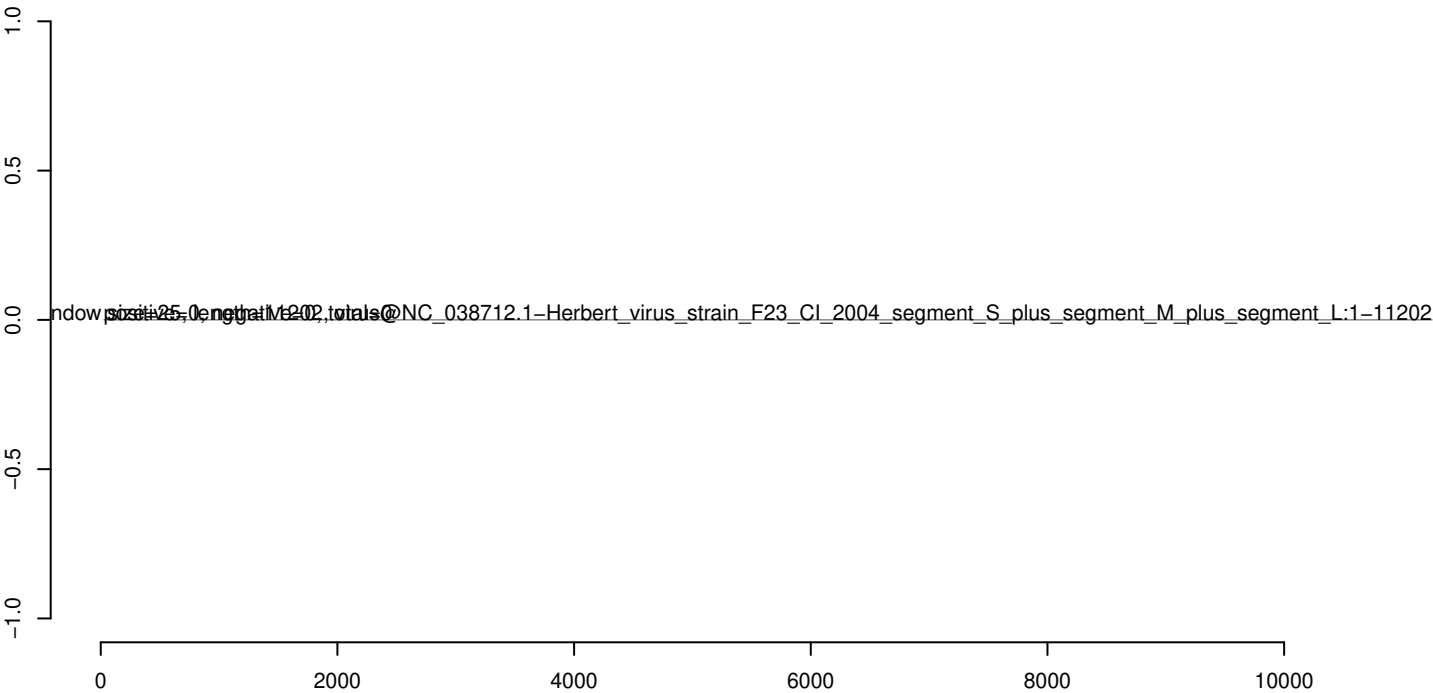
AeAeg_Aag2_Ago3_SINV_RA.18_23.rep



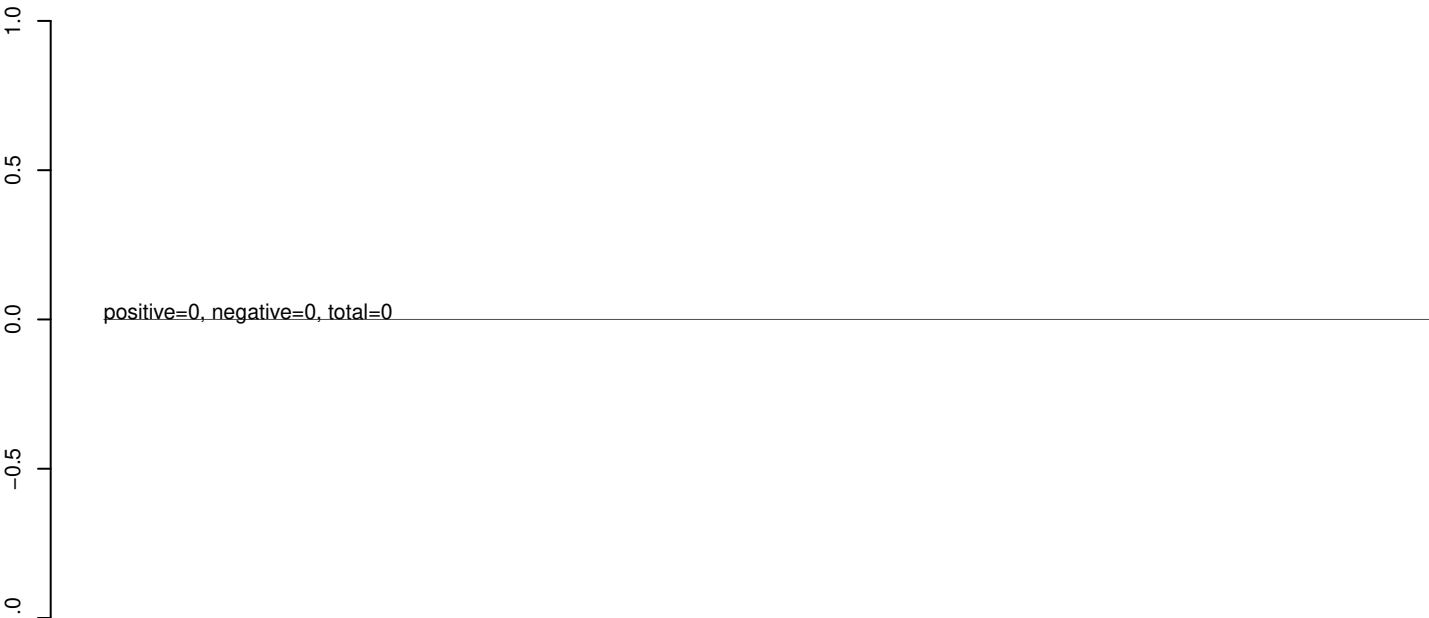
AeAeg_Aag2_Ago3_SINV_RA.24_35.rep



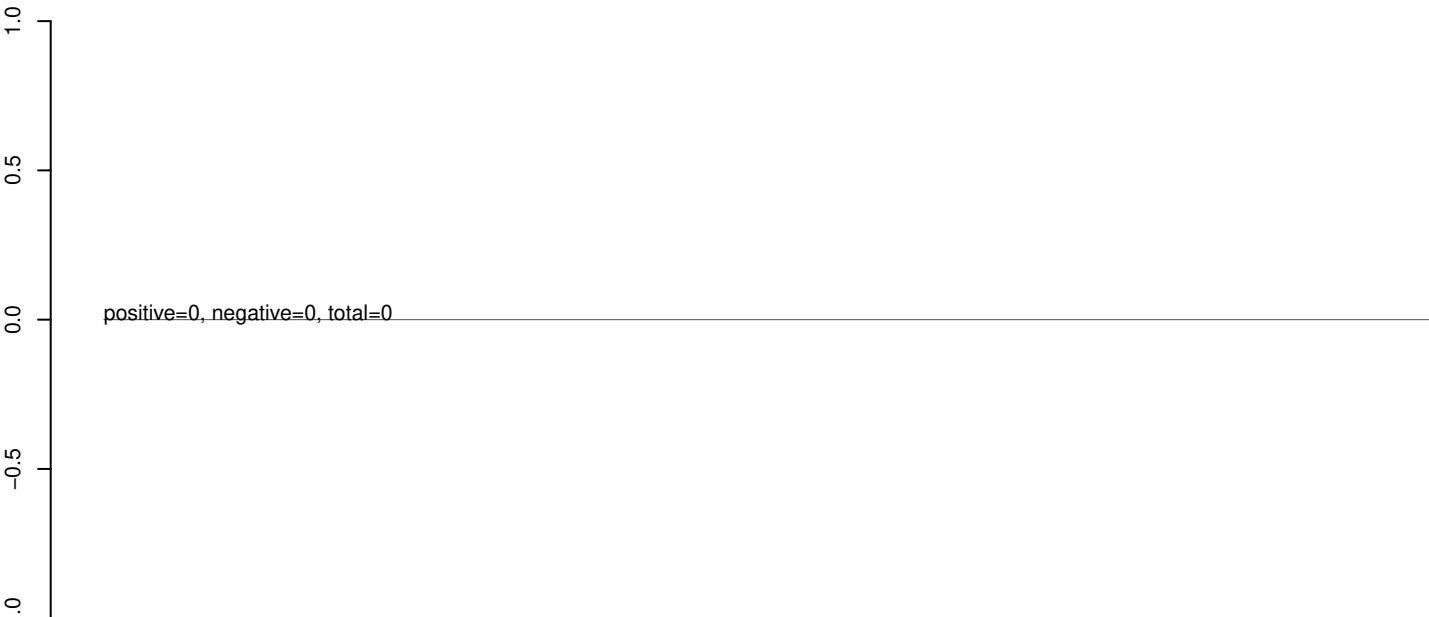
AeAeg_Aag2_Ago3_SINV_RA.rep



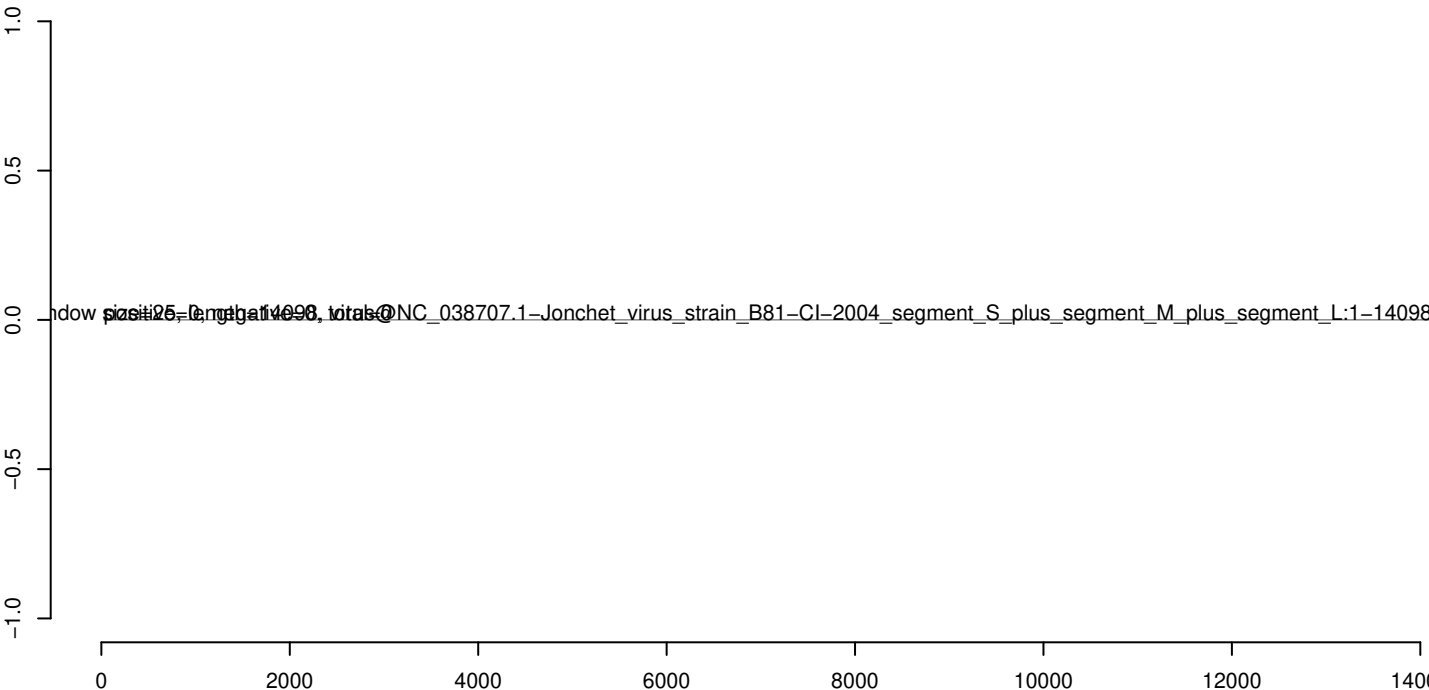
AeAeg_Aag2_Ago3_SINV_RA.18_23.rep



AeAeg_Aag2_Ago3_SINV_RA.24_35.rep



AeAeg_Aag2_Ago3_SINV_RA.rep



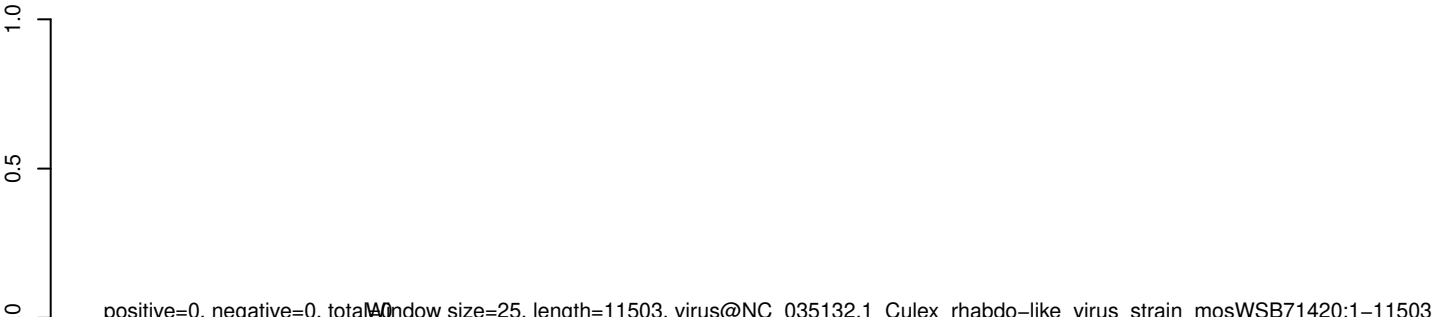
AeAeg_Aag2_Ago3_SINV_RA.18_23.rep



AeAeg_Aag2_Ago3_SINV_RA.24_35.rep



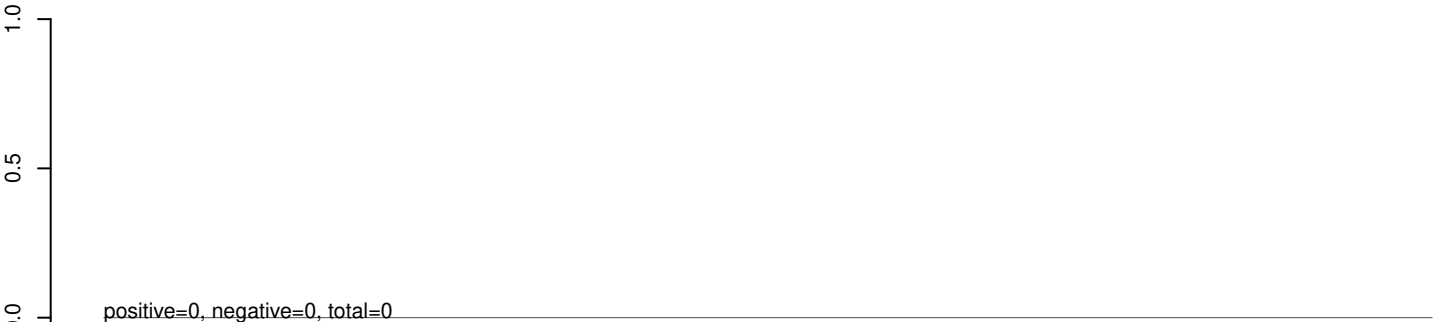
AeAeg_Aag2_Ago3_SINV_RA.rep



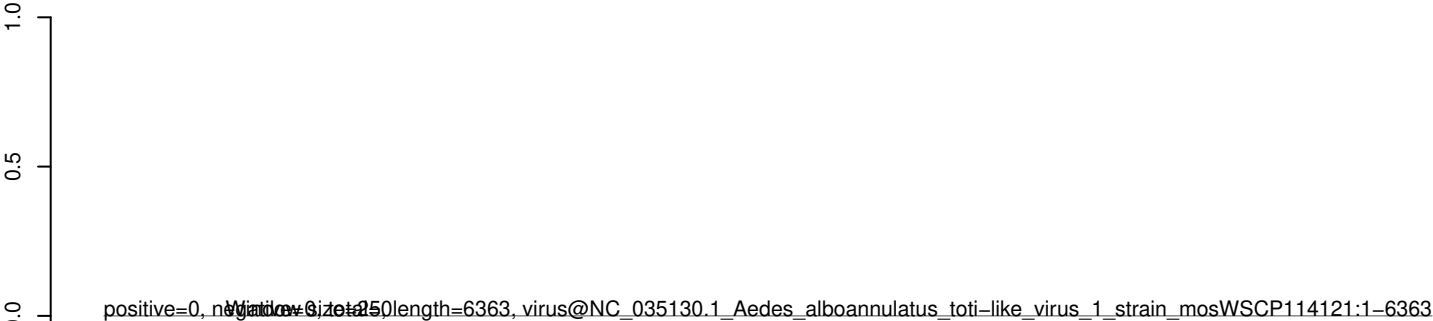
AeAeg_Aag2_Ago3_SINV_RA.18_23.rep



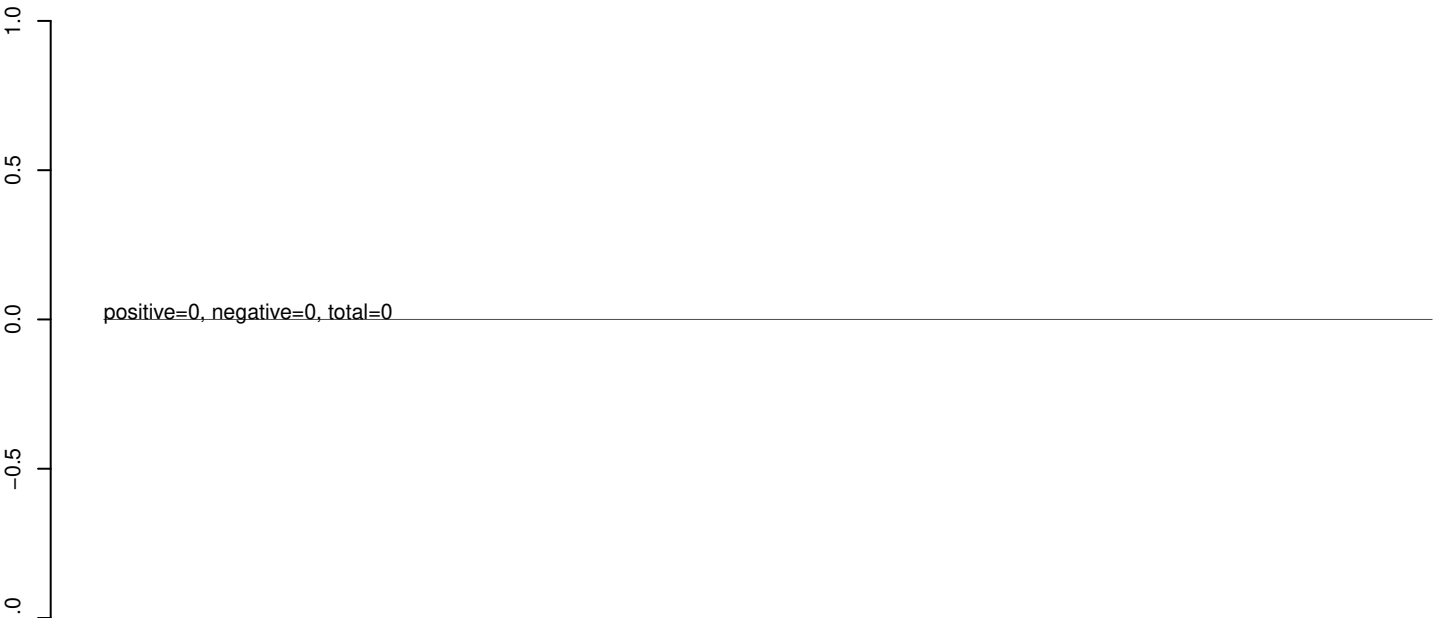
AeAeg_Aag2_Ago3_SINV_RA.24_35.rep



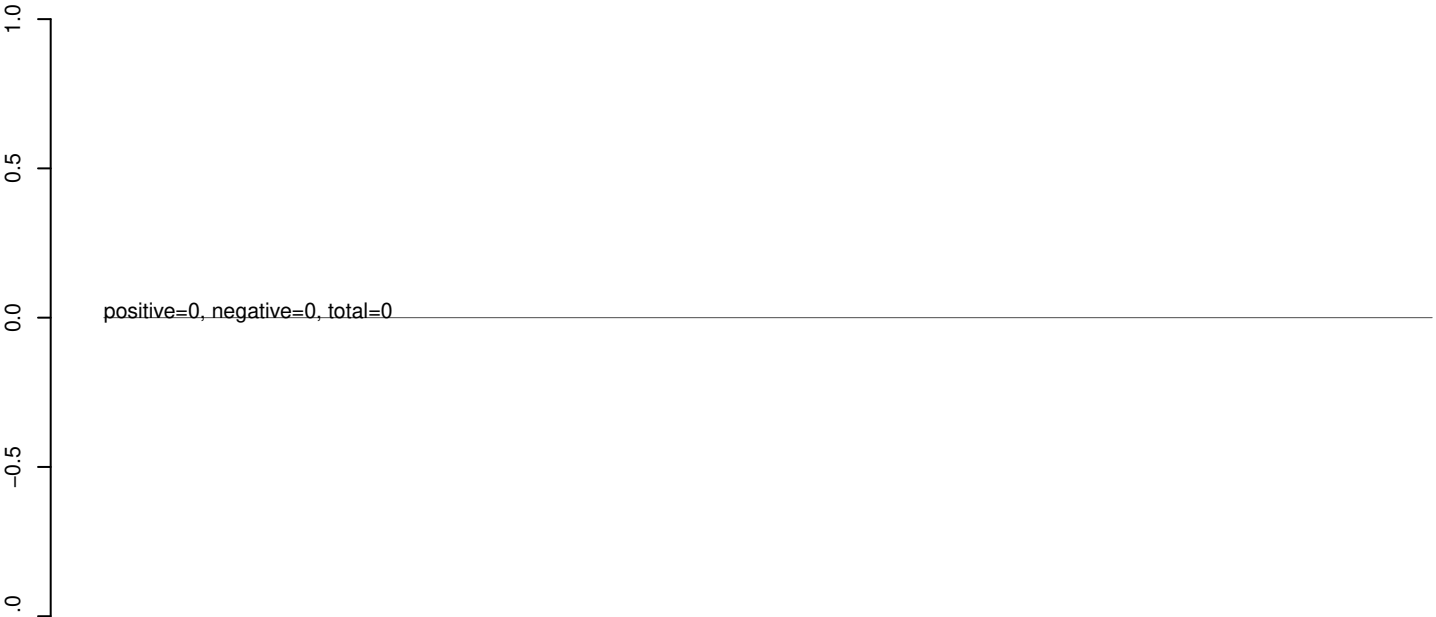
AeAeg_Aag2_Ago3_SINV_RA.rep



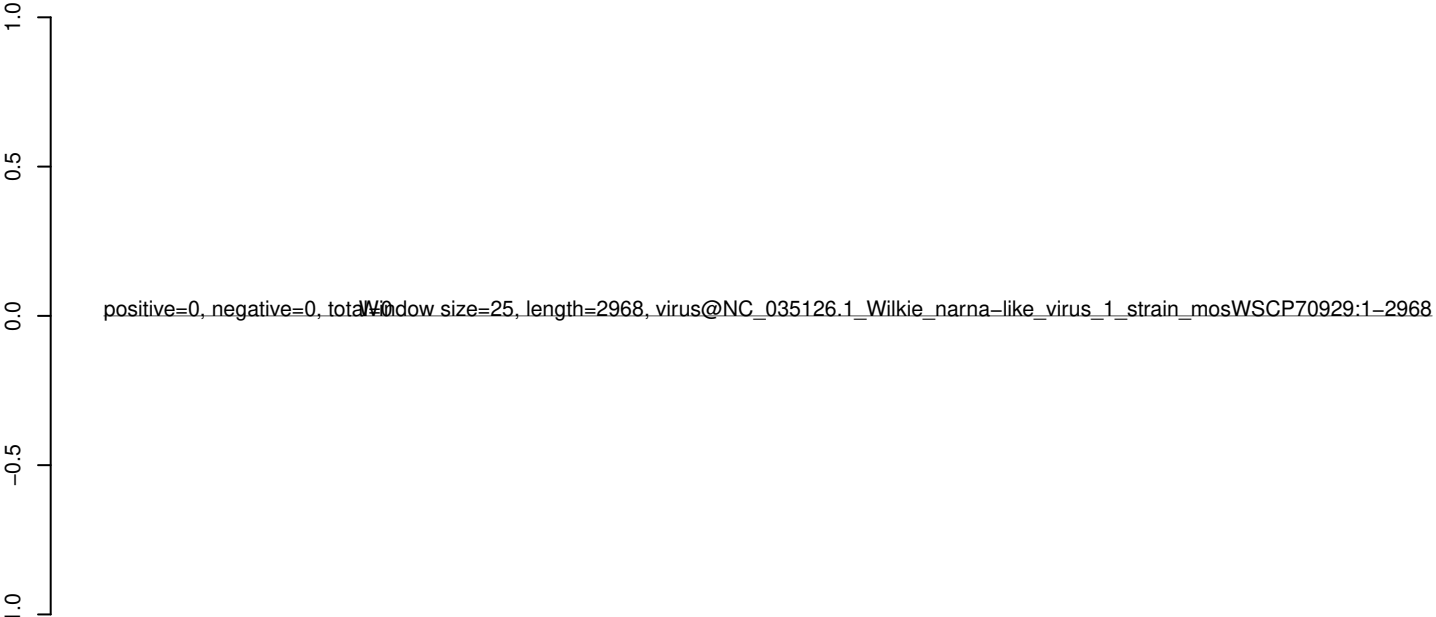
AeAeg_Aag2_Ago3_SINV_RA.18_23.rep



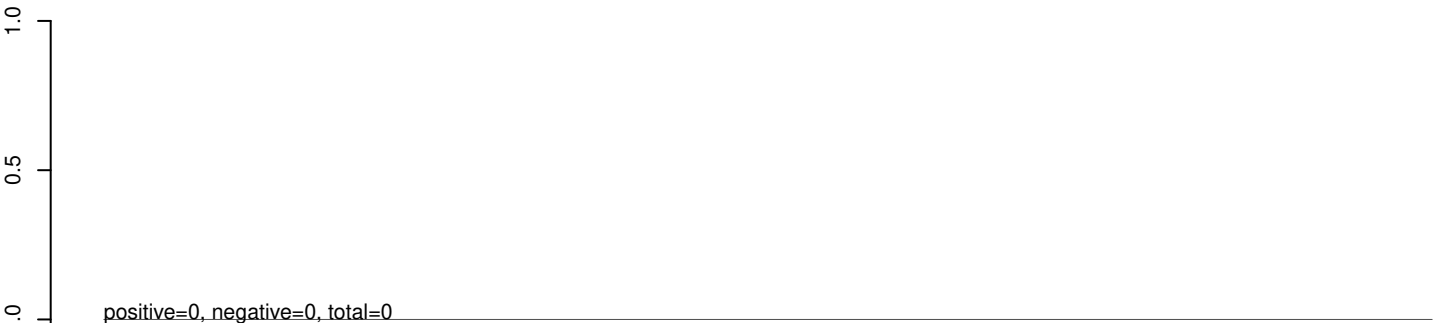
AeAeg_Aag2_Ago3_SINV_RA.24_35.rep



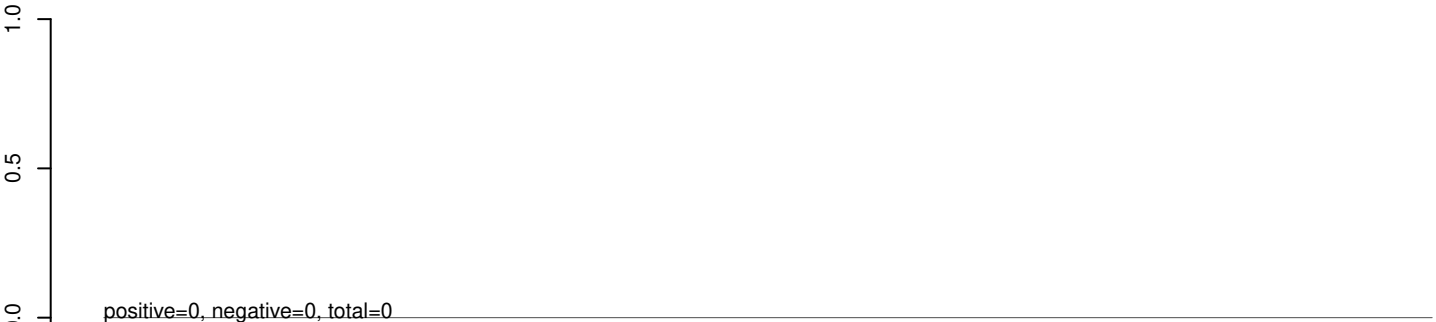
AeAeg_Aag2_Ago3_SINV_RA.rep



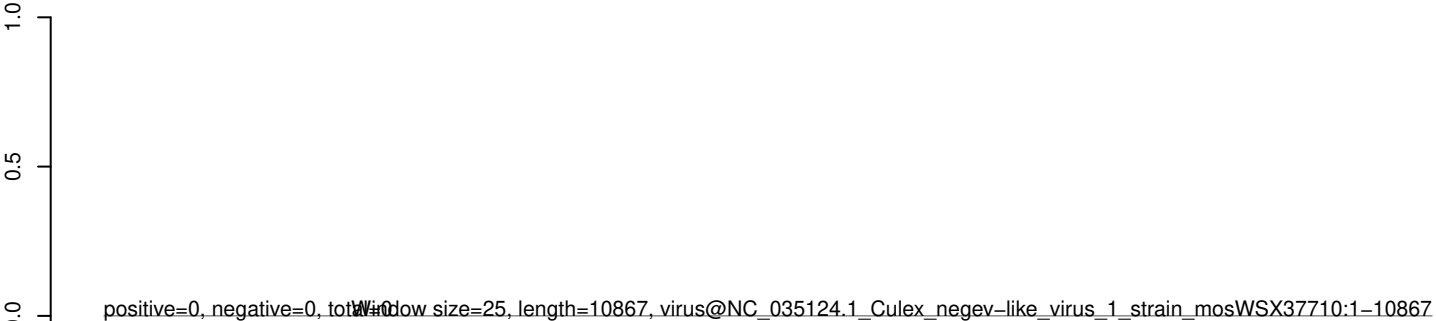
AeAeg_Aag2_Ago3_SINV_RA.18_23.rep



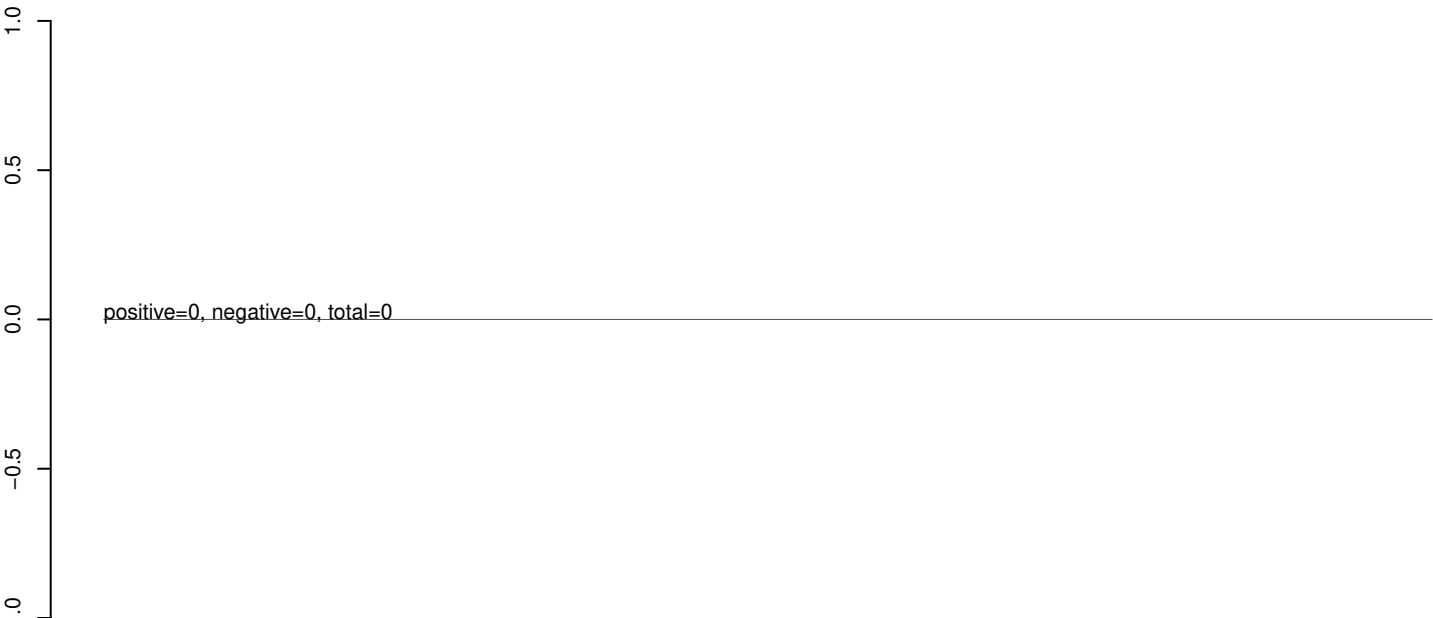
AeAeg_Aag2_Ago3_SINV_RA.24_35.rep



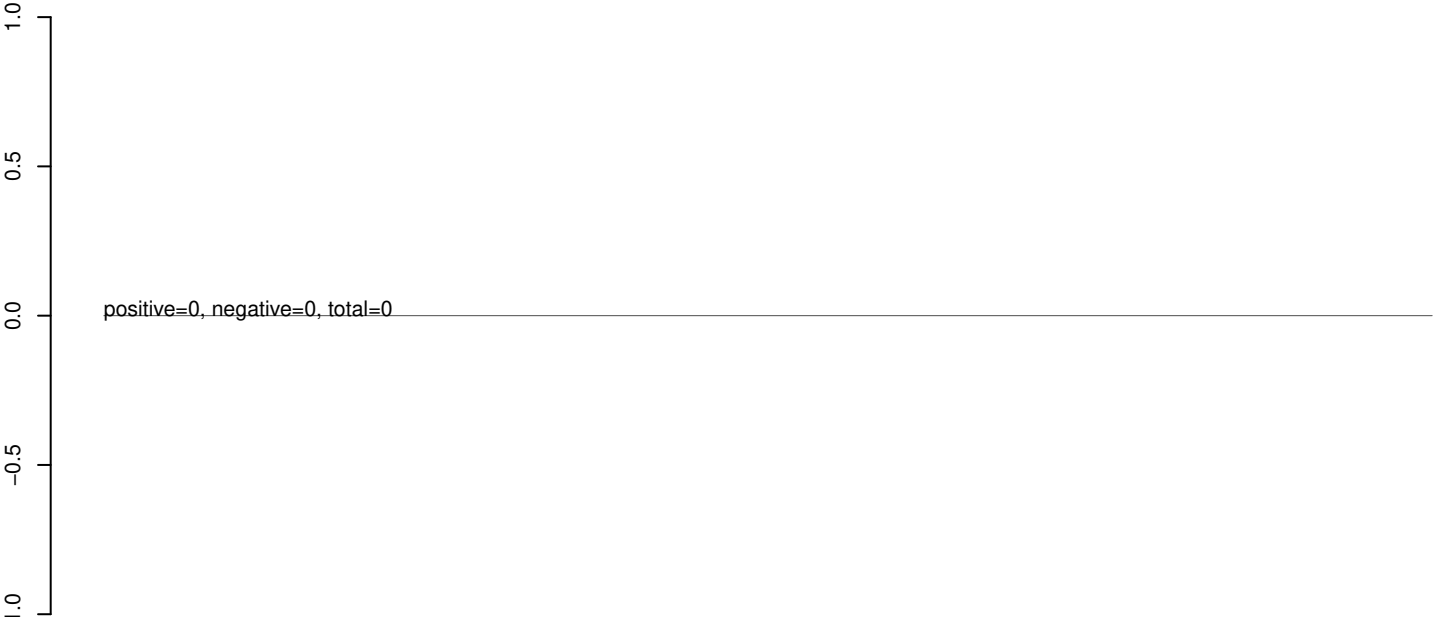
AeAeg_Aag2_Ago3_SINV_RA.rep



AeAeg_Aag2_Ago3_SINV_RA.18_23.rep



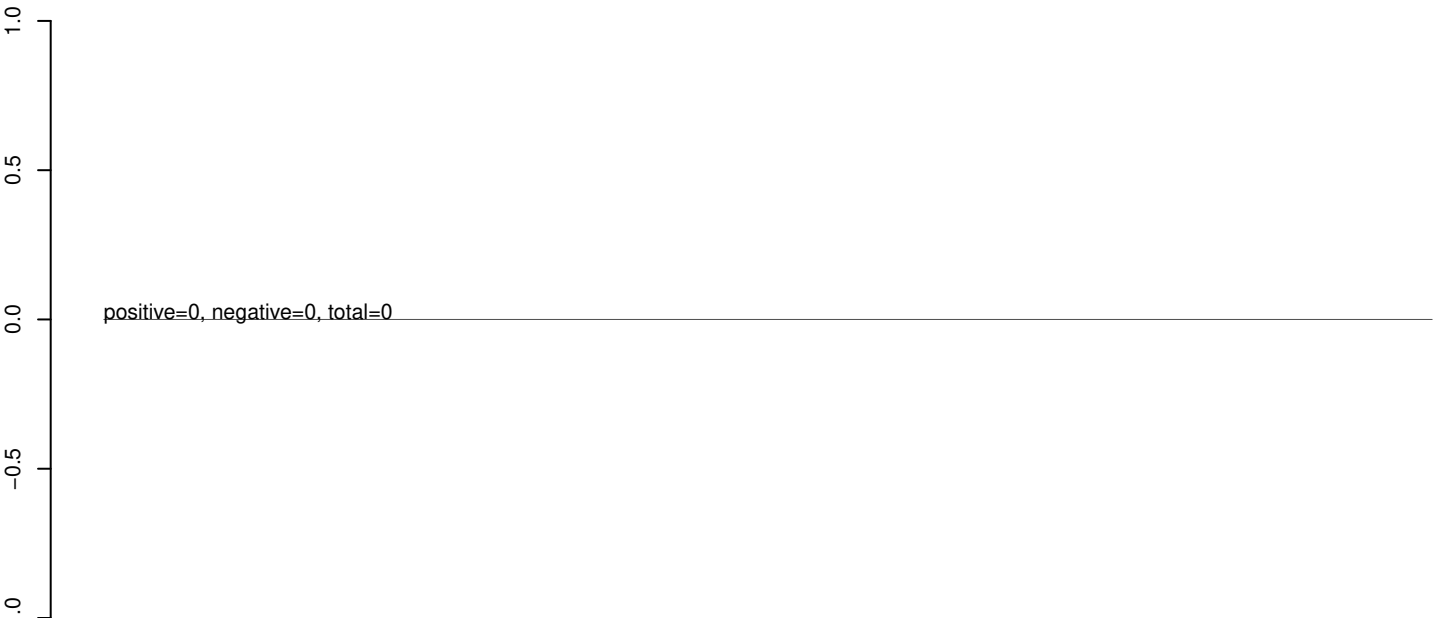
AeAeg_Aag2_Ago3_SINV_RA.24_35.rep



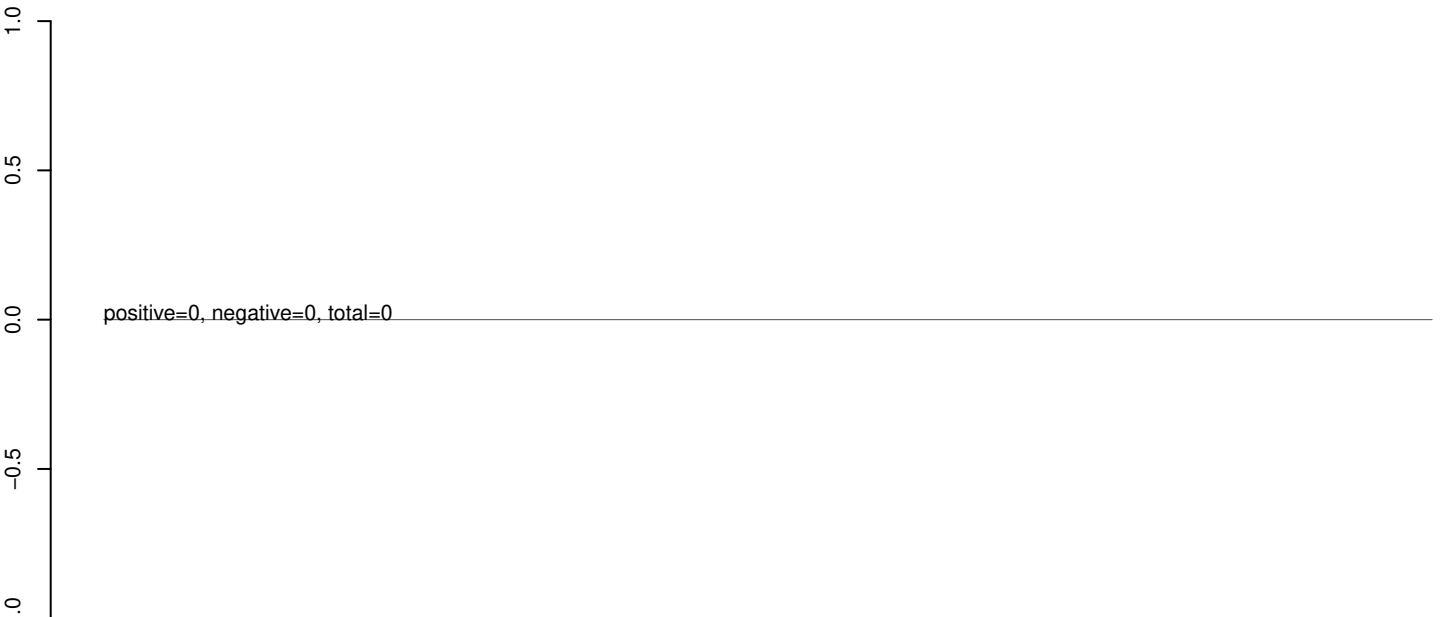
AeAeg_Aag2_Ago3_SINV_RA.rep



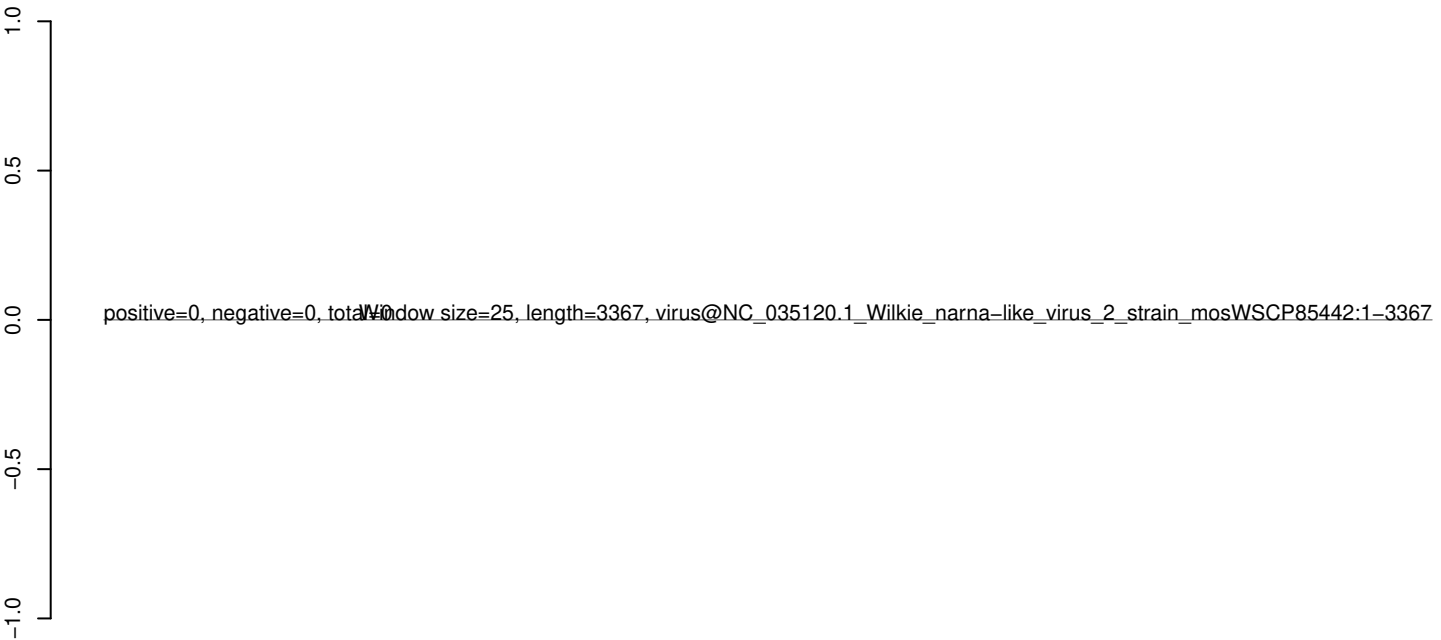
AeAeg_Aag2_Ago3_SINV_RA.18_23.rep



AeAeg_Aag2_Ago3_SINV_RA.24_35.rep



AeAeg_Aag2_Ago3_SINV_RA.rep



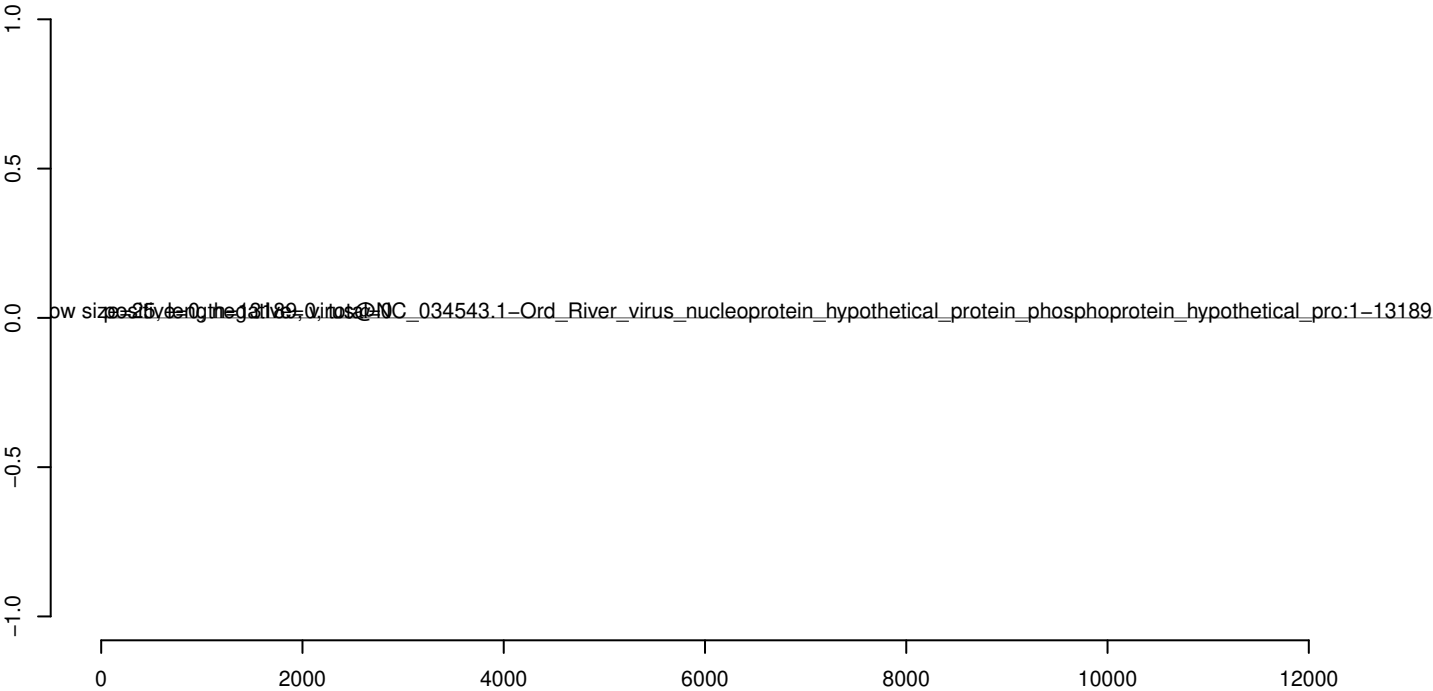
AeAeg_Aag2_Ago3_SINV_RA.18_23.rep



AeAeg_Aag2_Ago3_SINV_RA.24_35.rep



AeAeg_Aag2_Ago3_SINV_RA.rep



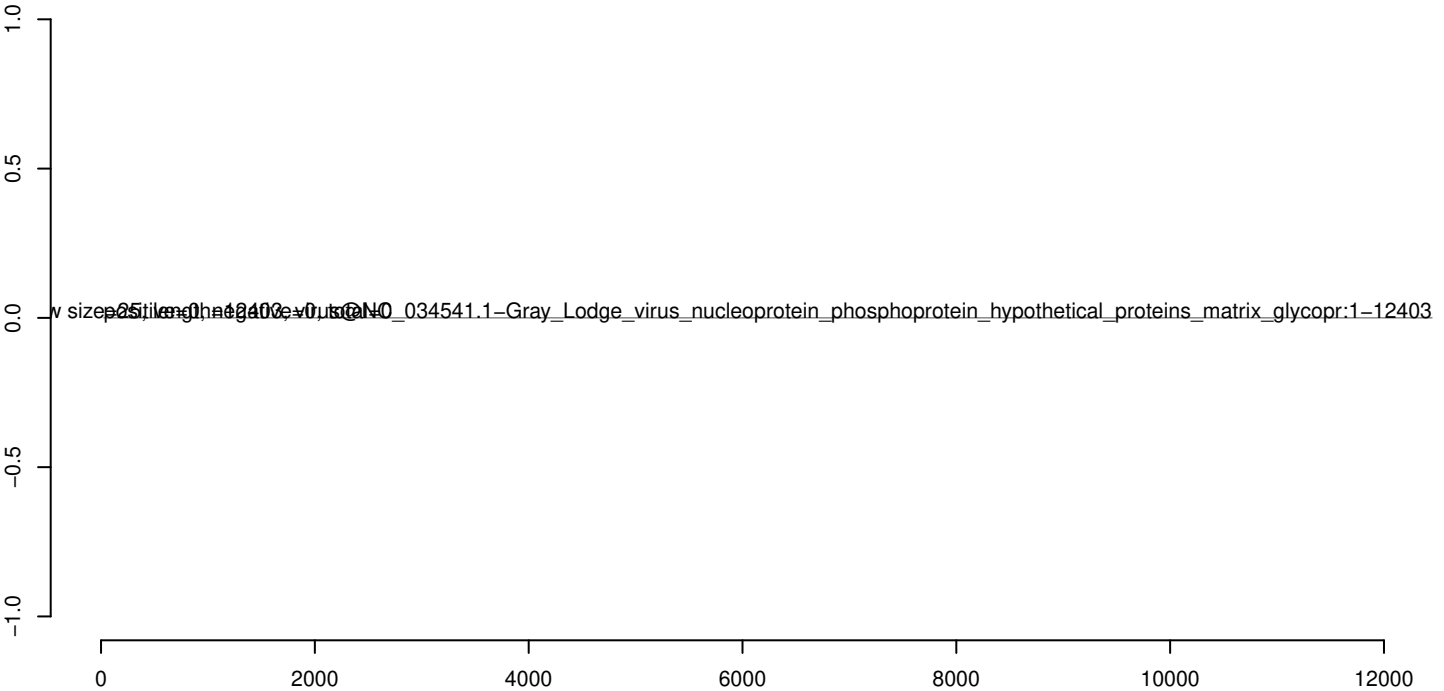
AeAeg_Aag2_Ago3_SINV_RA.18_23.rep



AeAeg_Aag2_Ago3_SINV_RA.24_35.rep



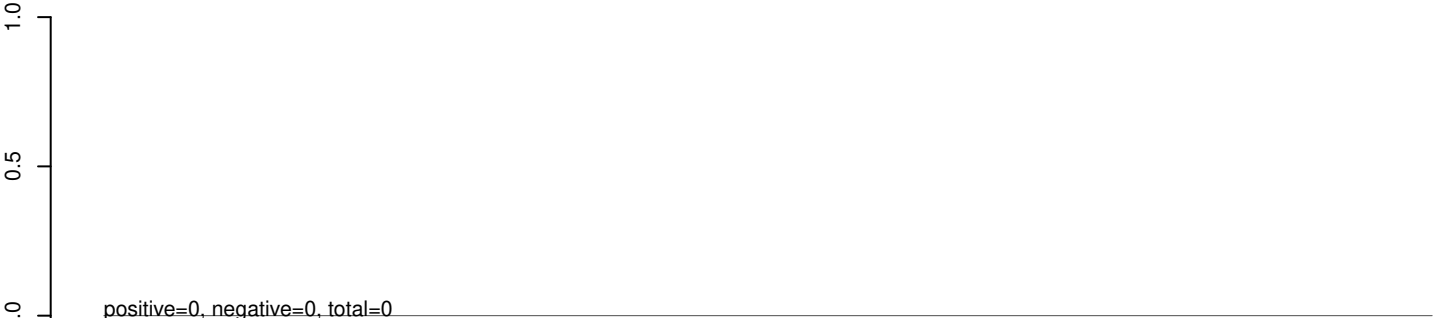
AeAeg_Aag2_Ago3_SINV_RA.rep



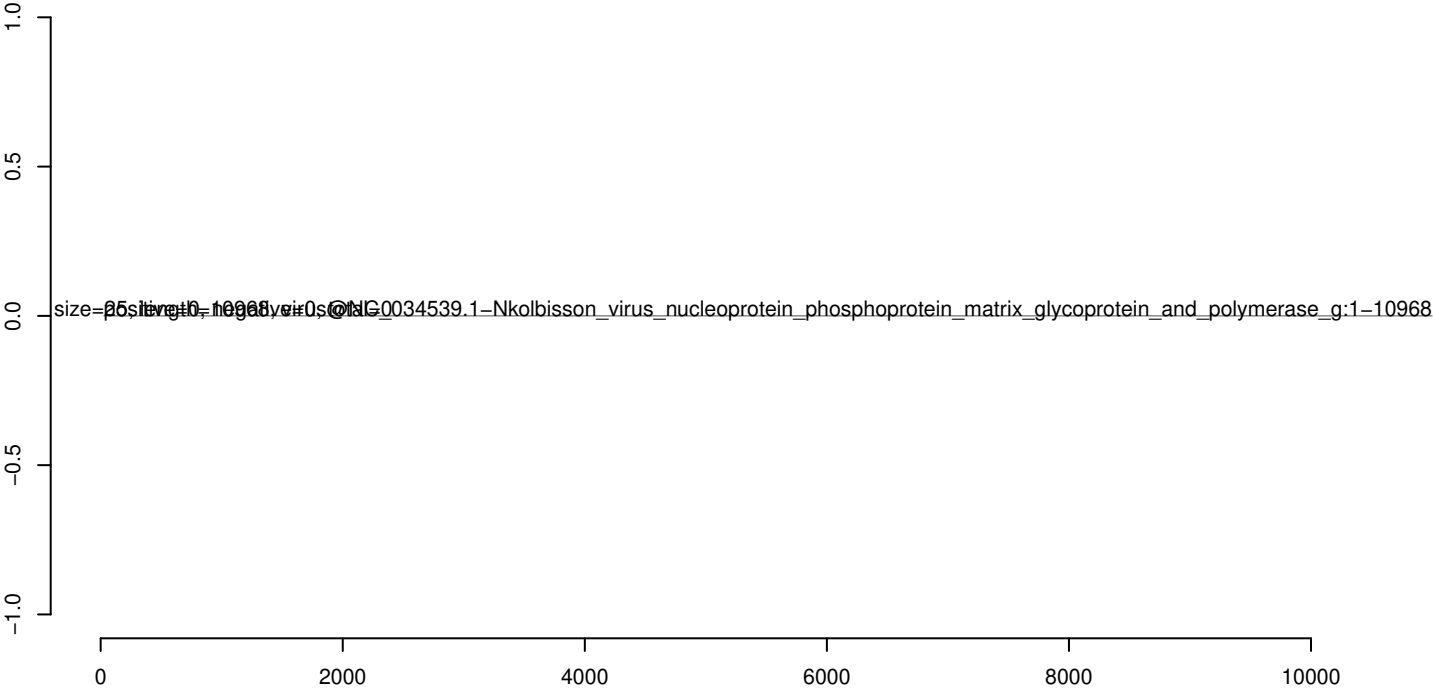
AeAeg_Aag2_Ago3_SINV_RA.18_23.rep



AeAeg_Aag2_Ago3_SINV_RA.24_35.rep



AeAeg_Aag2_Ago3_SINV_RA.rep



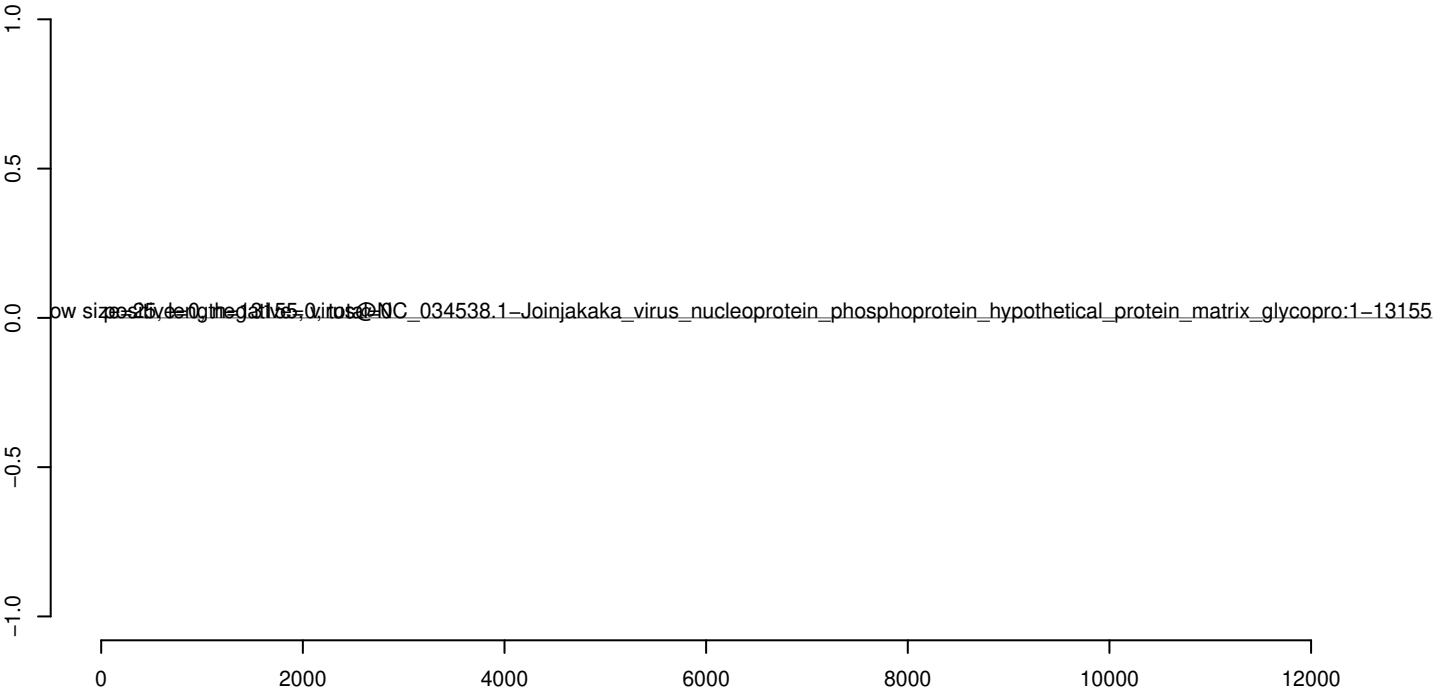
AeAeg_Aag2_Ago3_SINV_RA.18_23.rep



AeAeg_Aag2_Ago3_SINV_RA.24_35.rep



AeAeg_Aag2_Ago3_SINV_RA.rep



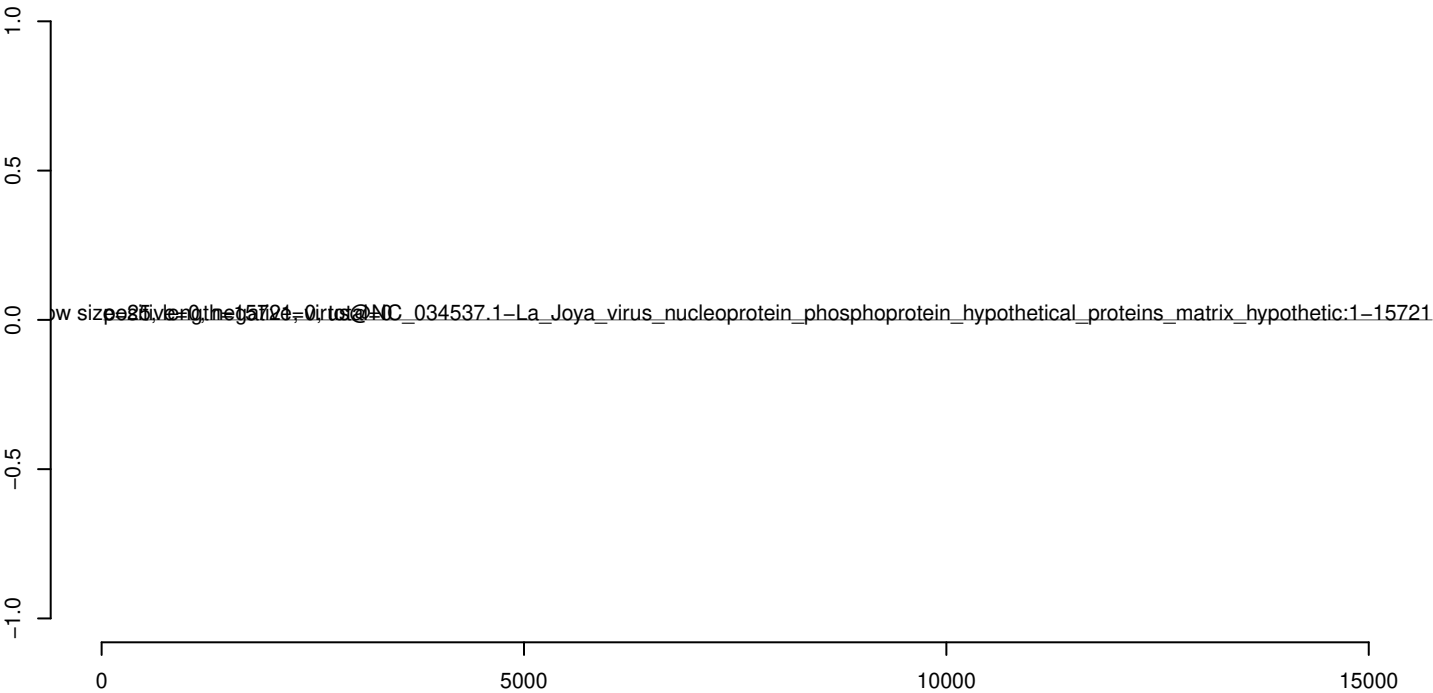
AeAeg_Aag2_Ago3_SINV_RA.18_23.rep



AeAeg_Aag2_Ago3_SINV_RA.24_35.rep



AeAeg_Aag2_Ago3_SINV_RA.rep



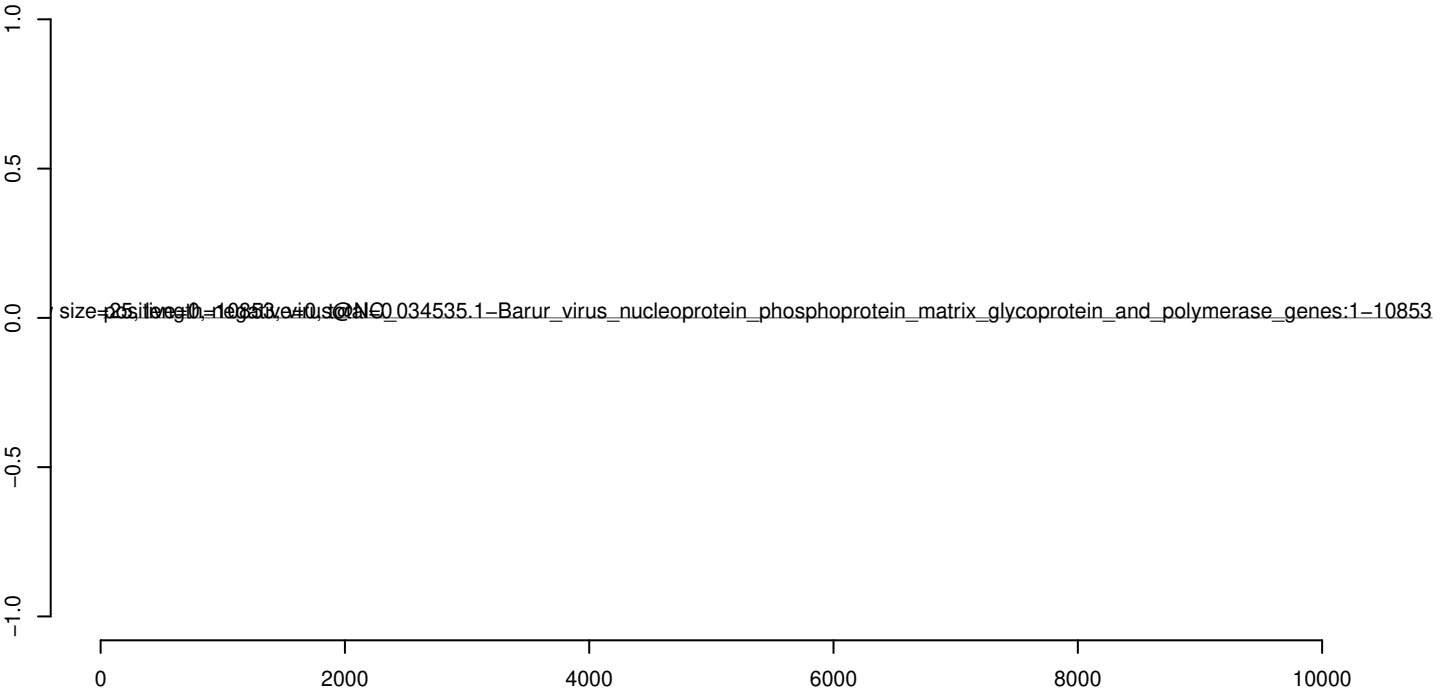
AeAeg_Aag2_Ago3_SINV_RA.18_23.rep



AeAeg_Aag2_Ago3_SINV_RA.24_35.rep



AeAeg_Aag2_Ago3_SINV_RA.rep



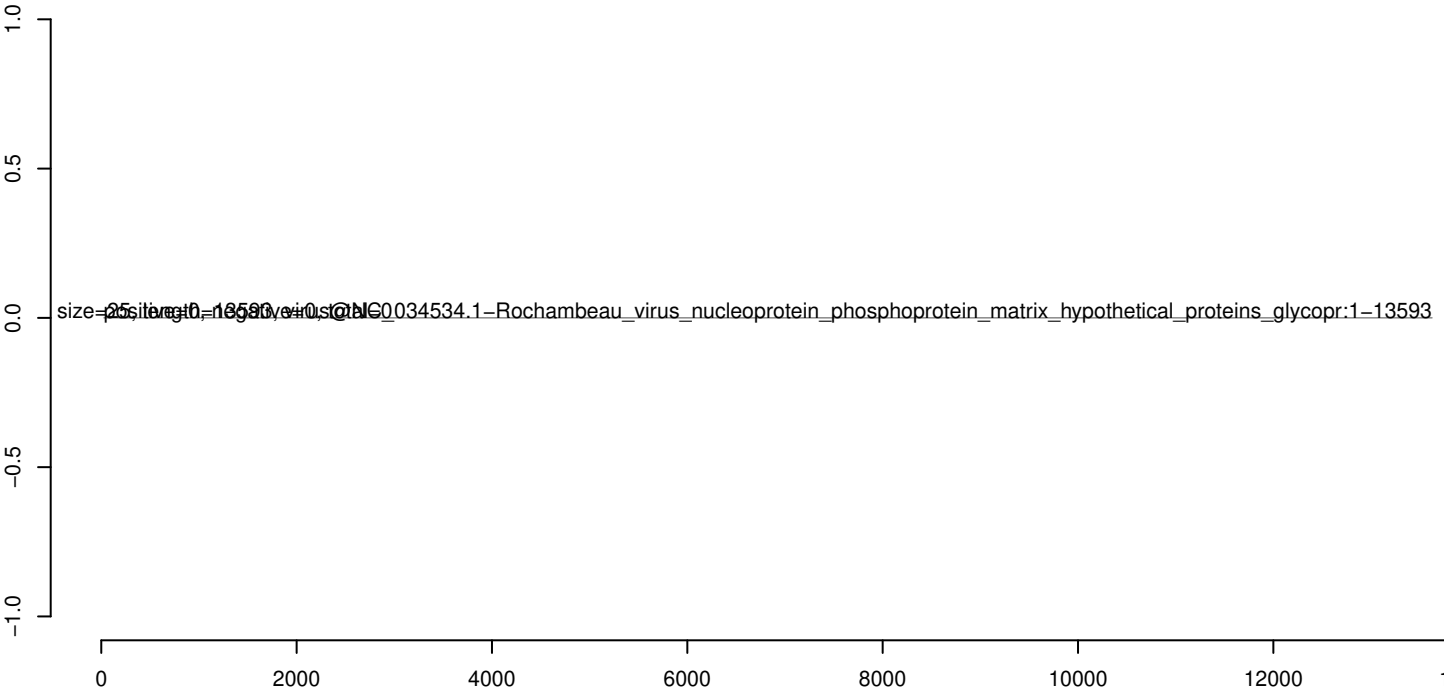
AeAeg_Aag2_Ago3_SINV_RA.18_23.rep



AeAeg_Aag2_Ago3_SINV_RA.24_35.rep



AeAeg_Aag2_Ago3_SINV_RA.rep



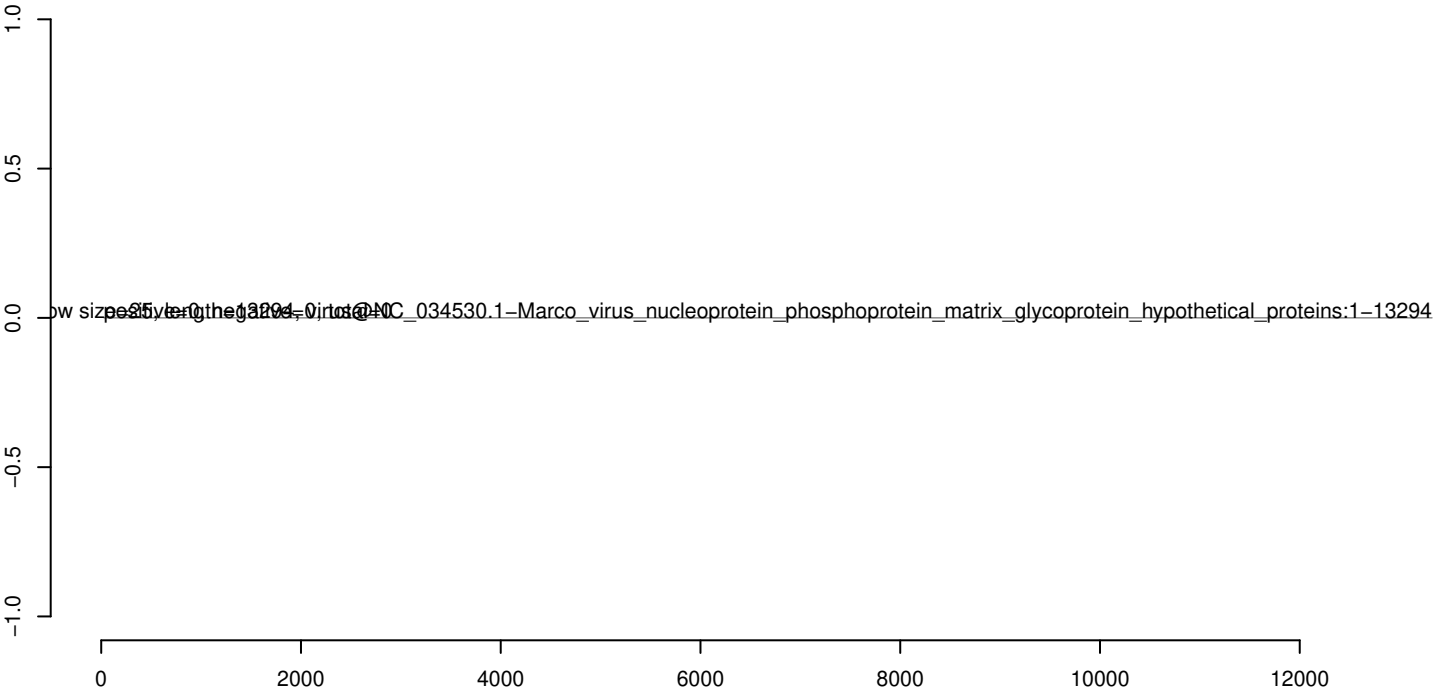
AeAeg_Aag2_Ago3_SINV_RA.18_23.rep



AeAeg_Aag2_Ago3_SINV_RA.24_35.rep



AeAeg_Aag2_Ago3_SINV_RA.rep



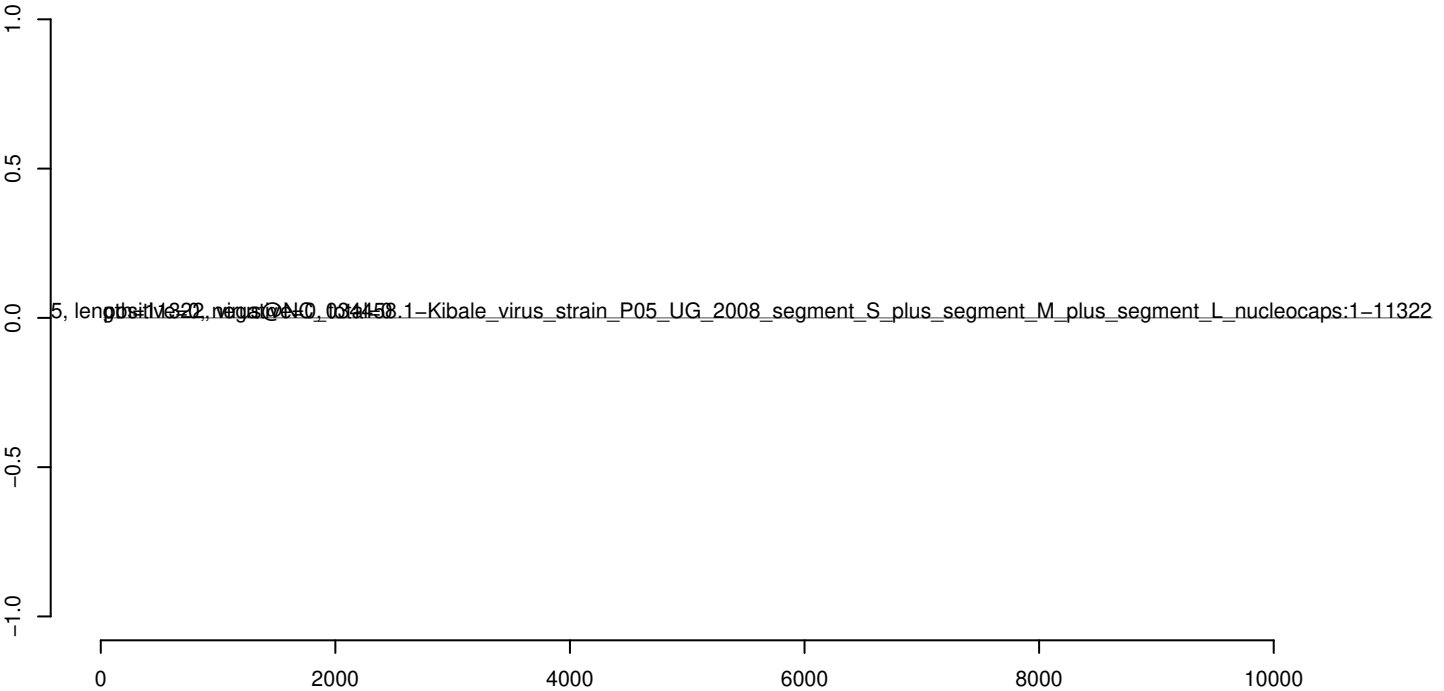
AeAeg_Aag2_Ago3_SINV_RA.18_23.rep



AeAeg_Aag2_Ago3_SINV_RA.24_35.rep



AeAeg_Aag2_Ago3_SINV_RA.rep



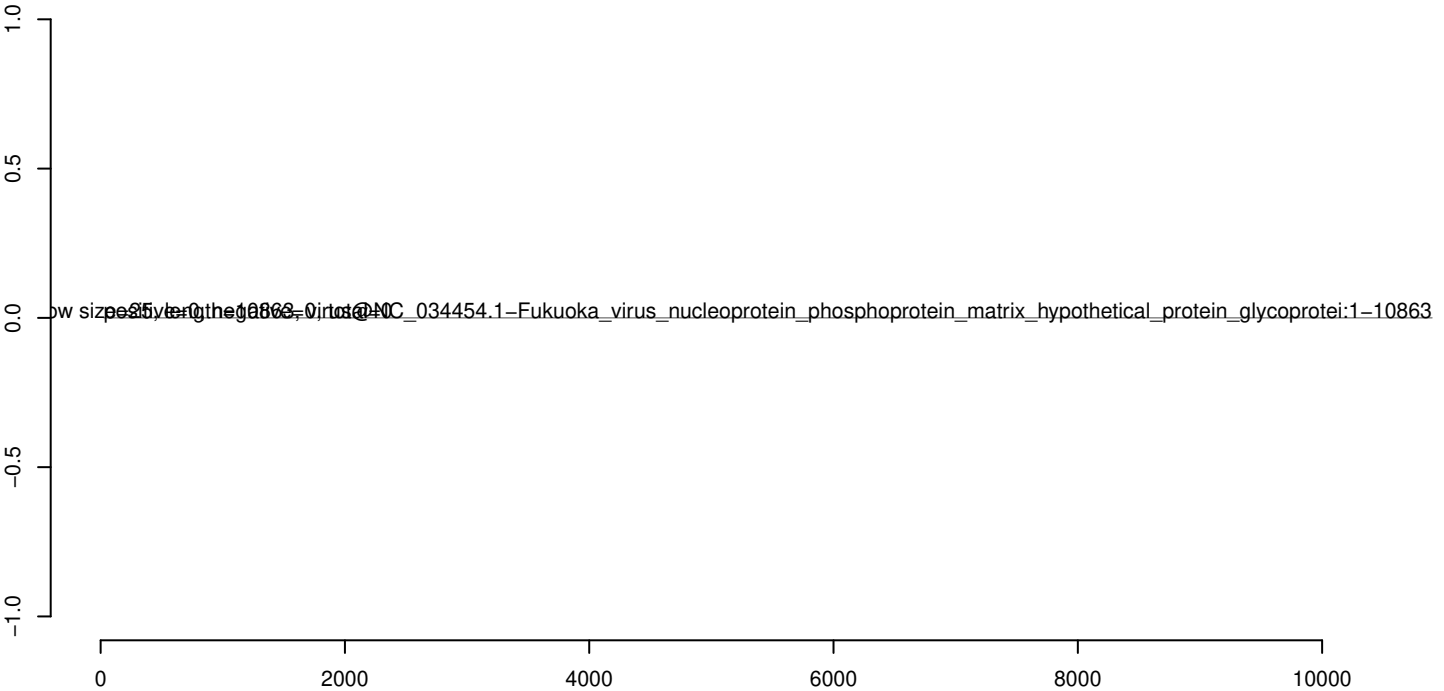
AeAeg_Aag2_Ago3_SINV_RA.18_23.rep



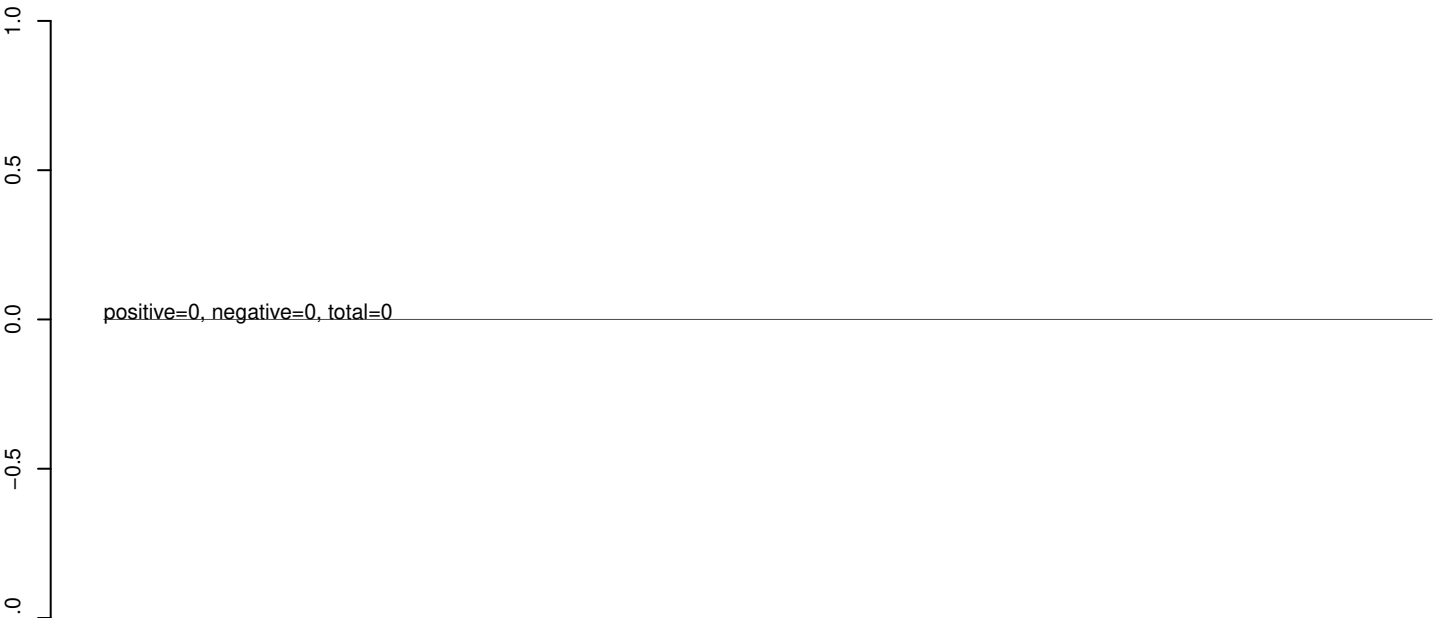
AeAeg_Aag2_Ago3_SINV_RA.24_35.rep



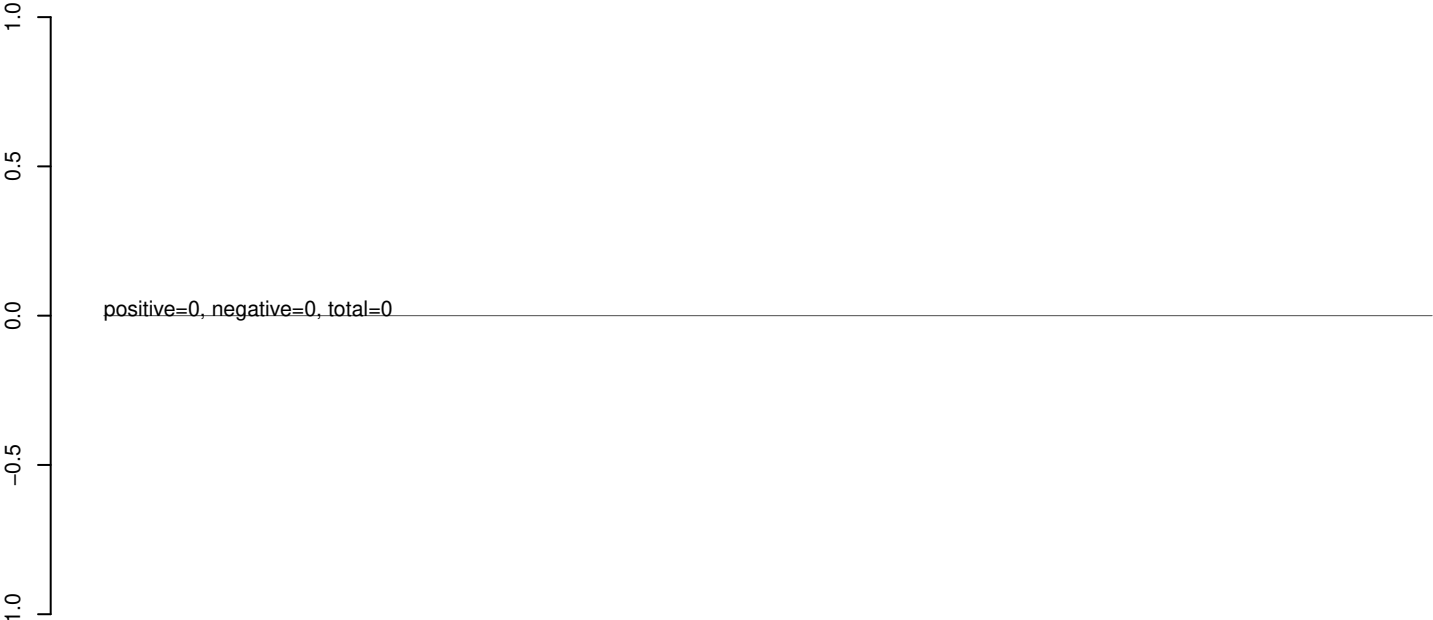
AeAeg_Aag2_Ago3_SINV_RA.rep



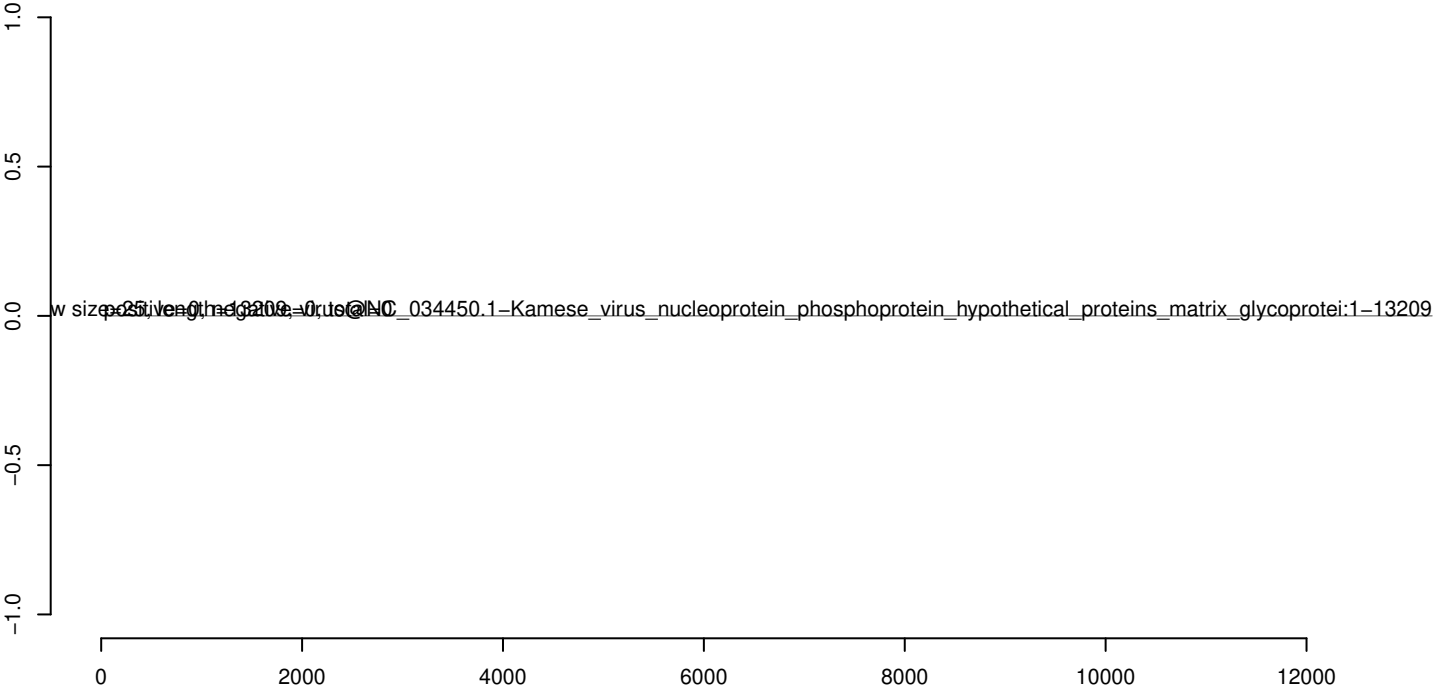
AeAeg_Aag2_Ago3_SINV_RA.18_23.rep



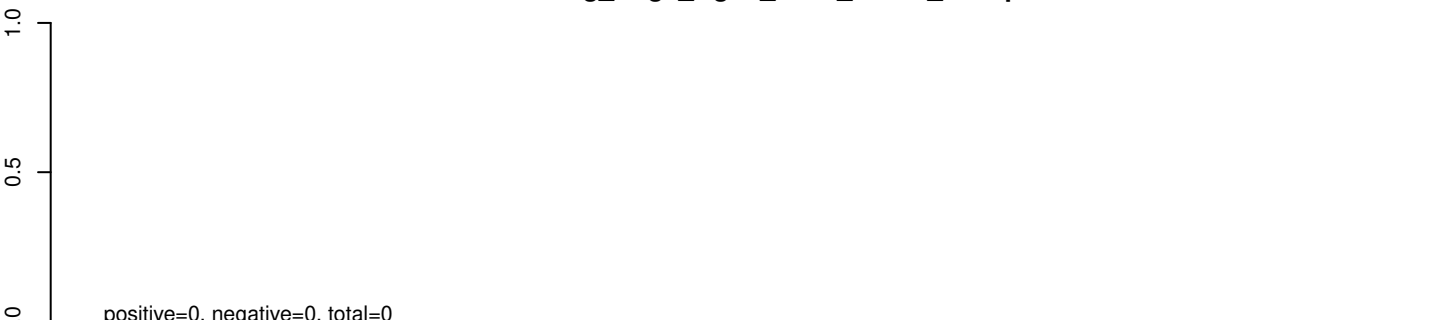
AeAeg_Aag2_Ago3_SINV_RA.24_35.rep



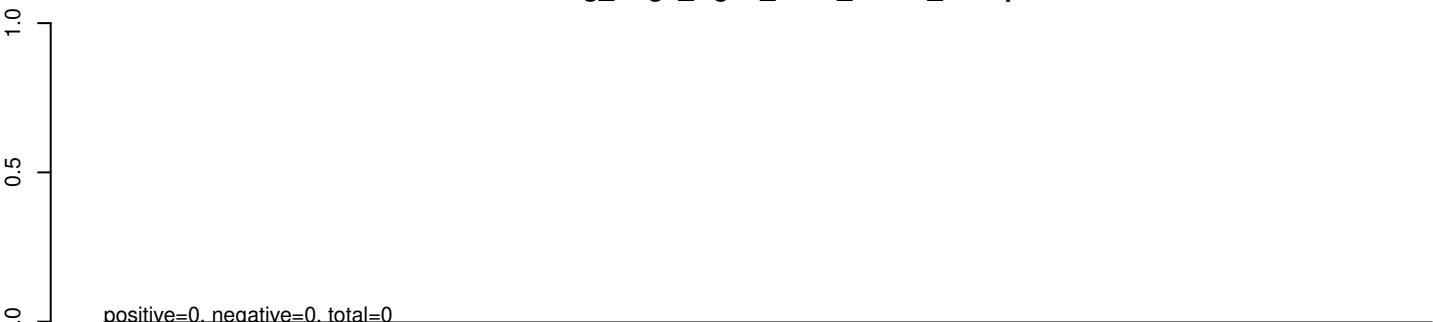
AeAeg_Aag2_Ago3_SINV_RA.rep



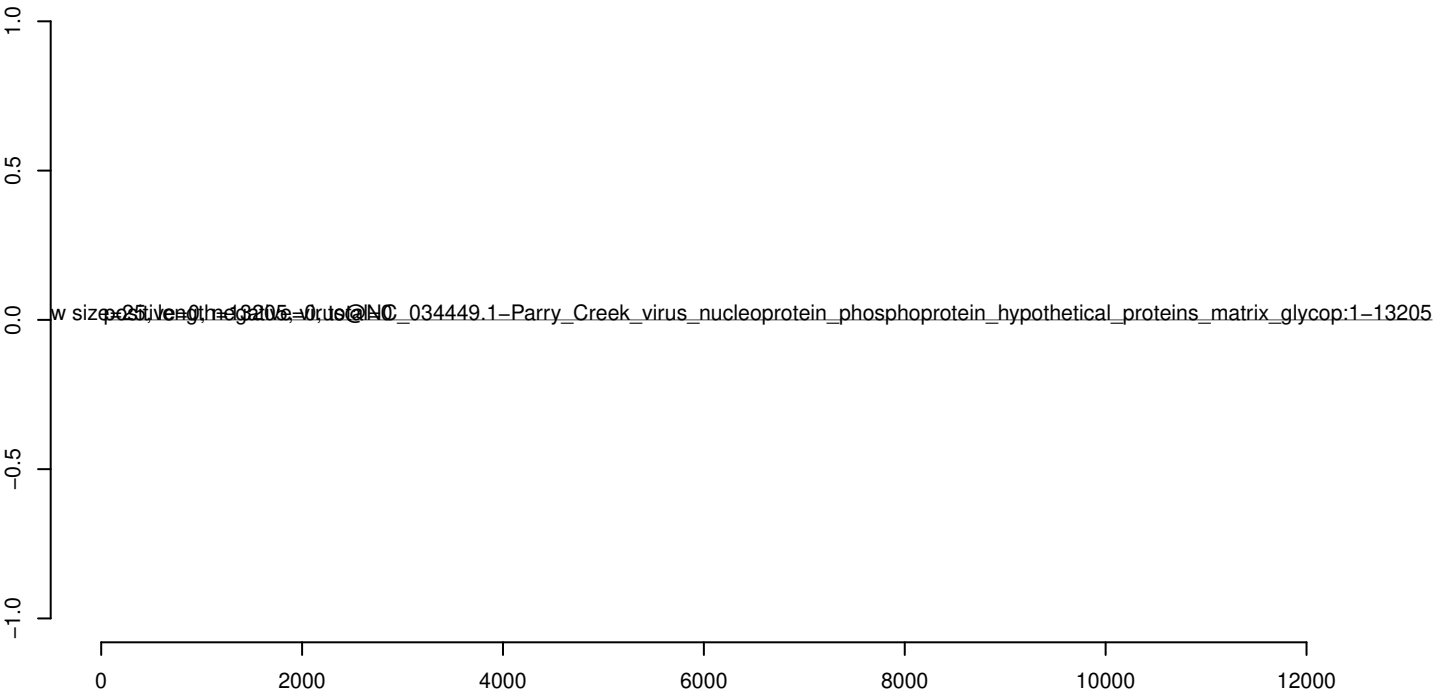
AeAeg_Aag2_Ago3_SINV_RA.18_23.rep



AeAeg_Aag2_Ago3_SINV_RA.24_35.rep



AeAeg_Aag2_Ago3_SINV_RA.rep



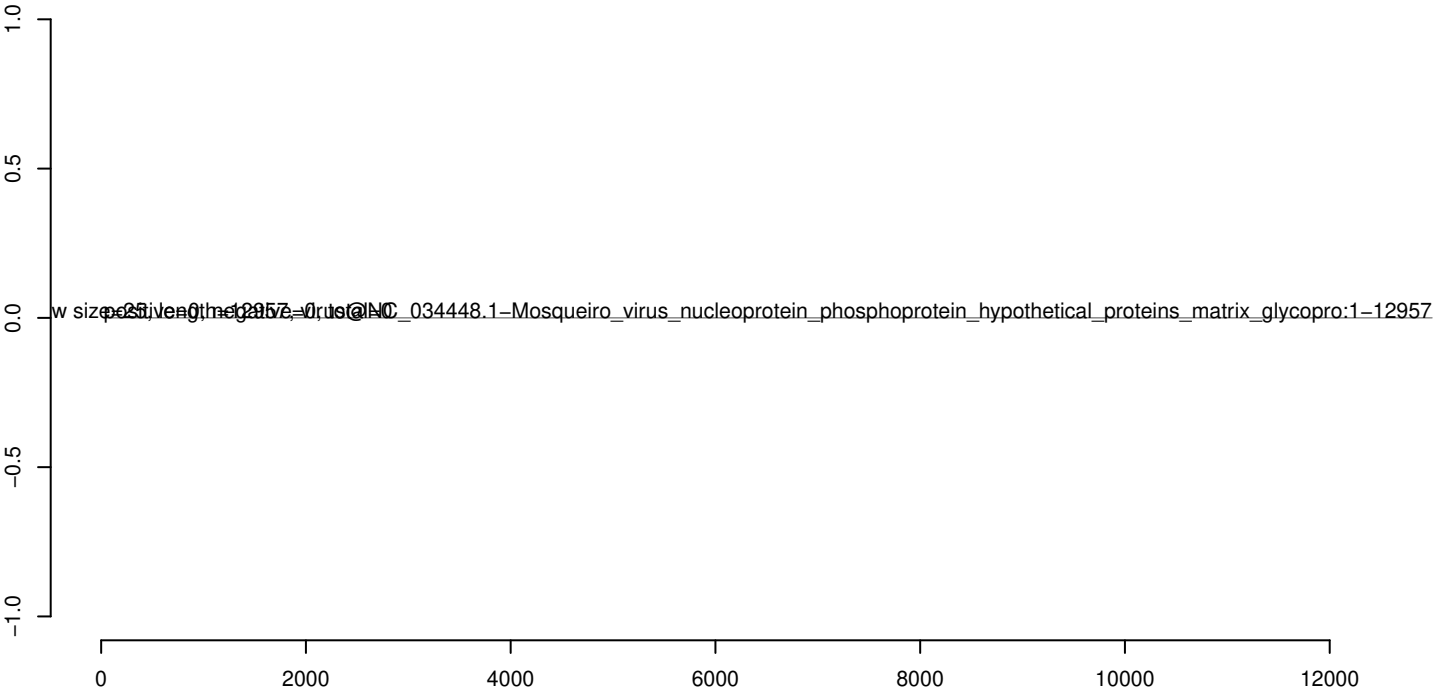
AeAeg_Aag2_Ago3_SINV_RA.18_23.rep



AeAeg_Aag2_Ago3_SINV_RA.24_35.rep



AeAeg_Aag2_Ago3_SINV_RA.rep



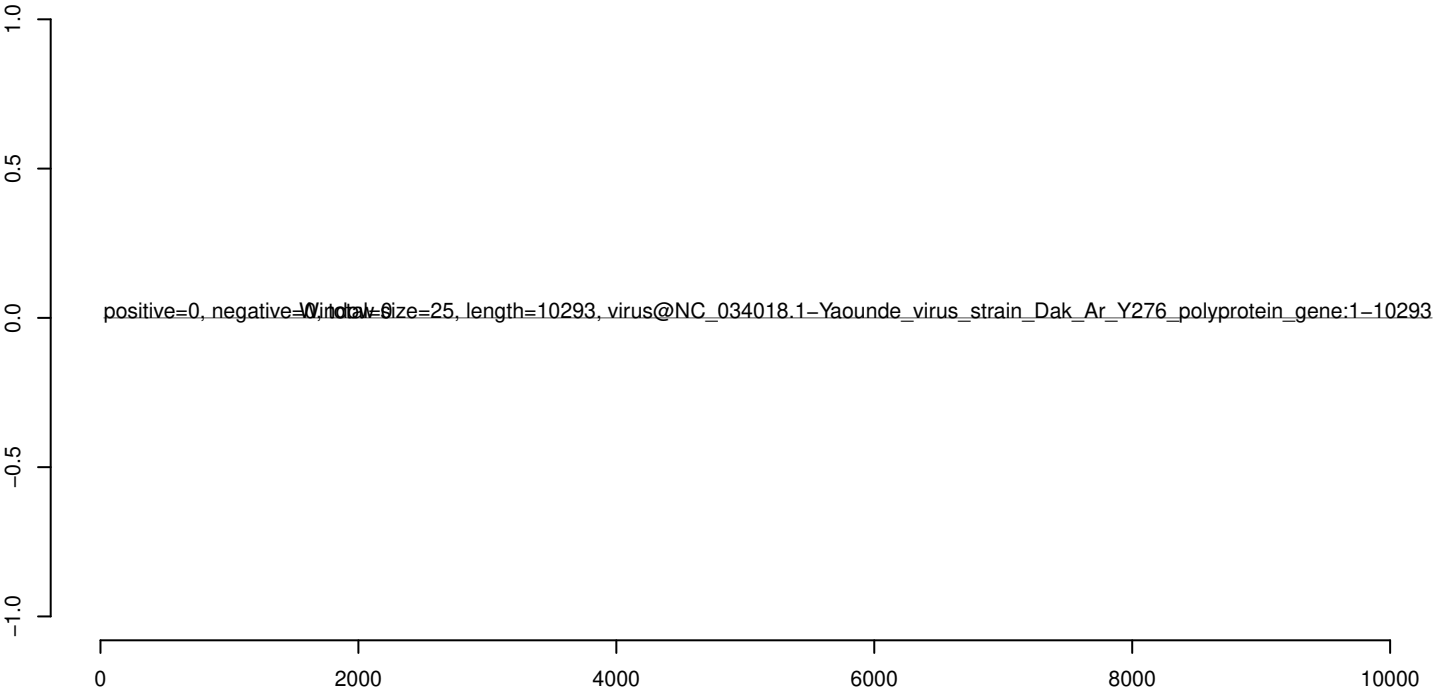
AeAeg_Aag2_Ago3_SINV_RA.18_23.rep



AeAeg_Aag2_Ago3_SINV_RA.24_35.rep



AeAeg_Aag2_Ago3_SINV_RA.rep



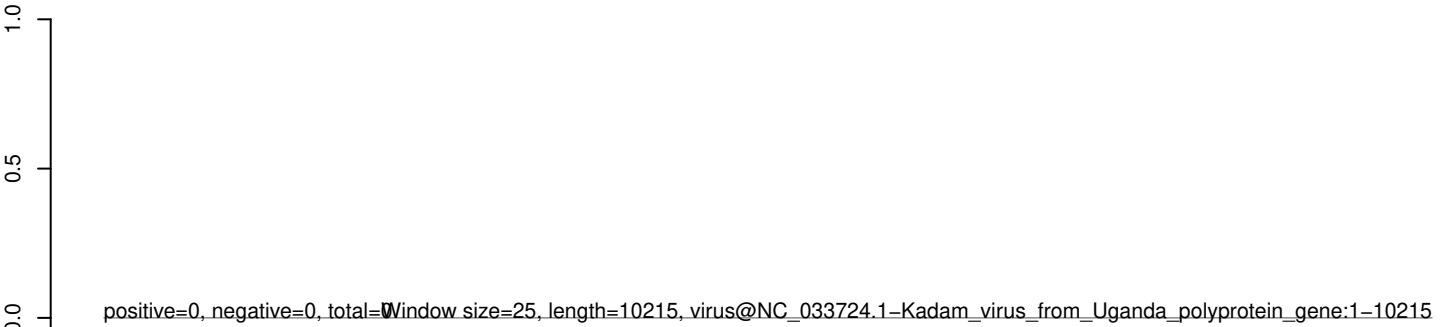
AeAeg_Aag2_Ago3_SINV_RA.18_23.rep



AeAeg_Aag2_Ago3_SINV_RA.24_35.rep



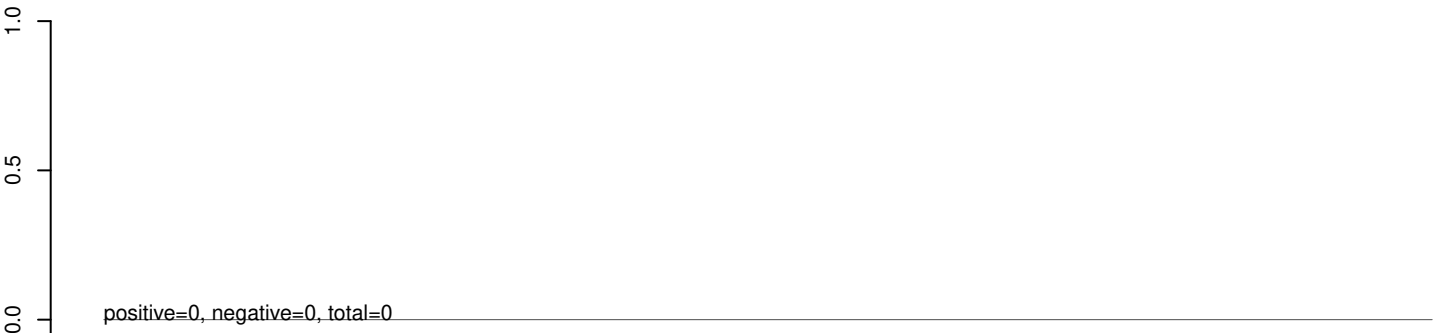
AeAeg_Aag2_Ago3_SINV_RA.rep



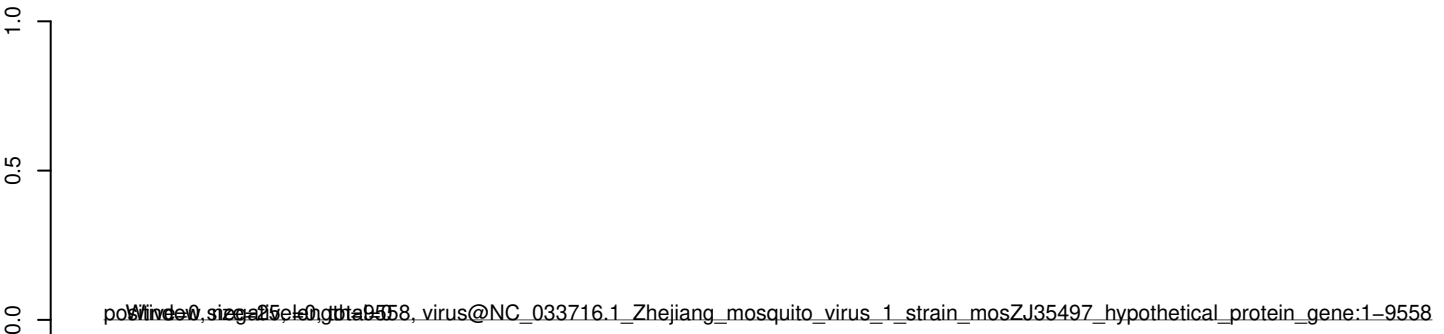
AeAeg_Aag2_Ago3_SINV_RA.18_23.rep



AeAeg_Aag2_Ago3_SINV_RA.24_35.rep



AeAeg_Aag2_Ago3_SINV_RA.rep



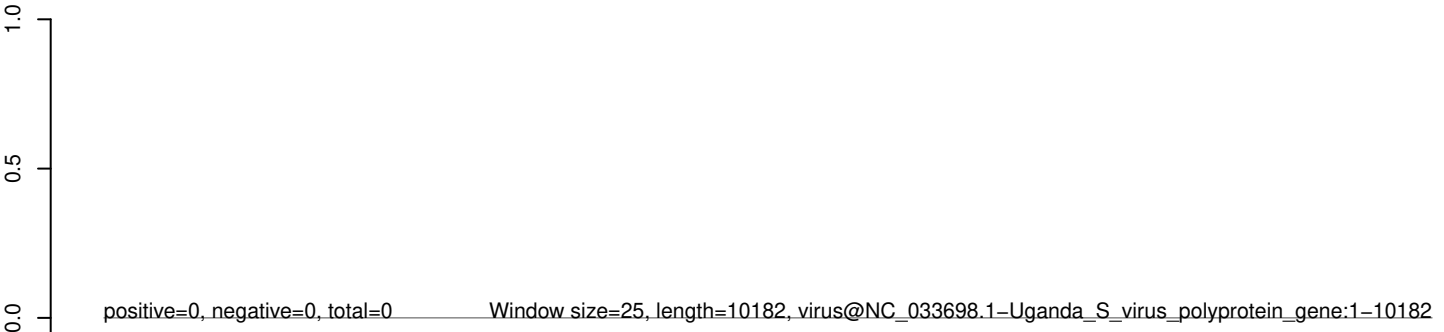
AeAeg_Aag2_Ago3_SINV_RA.18_23.rep



AeAeg_Aag2_Ago3_SINV_RA.24_35.rep



AeAeg_Aag2_Ago3_SINV_RA.rep



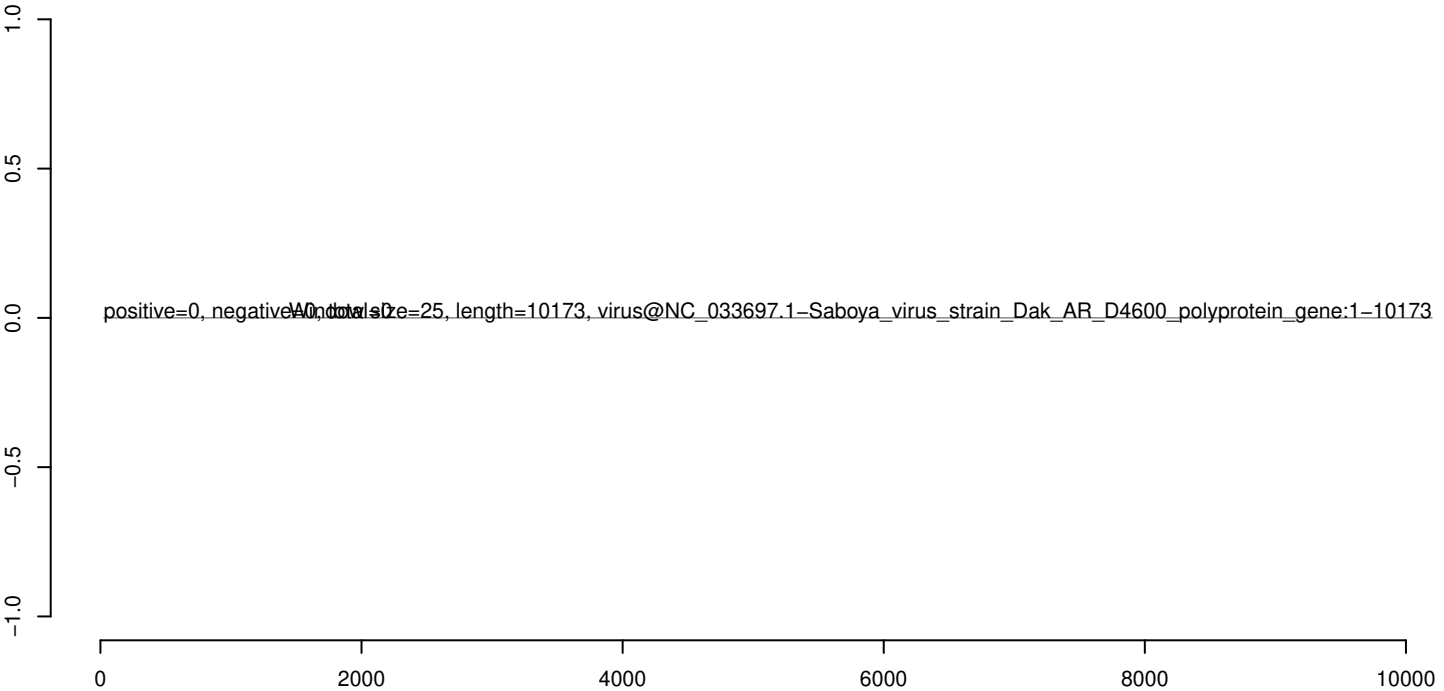
AeAeg_Aag2_Ago3_SINV_RA.18_23.rep



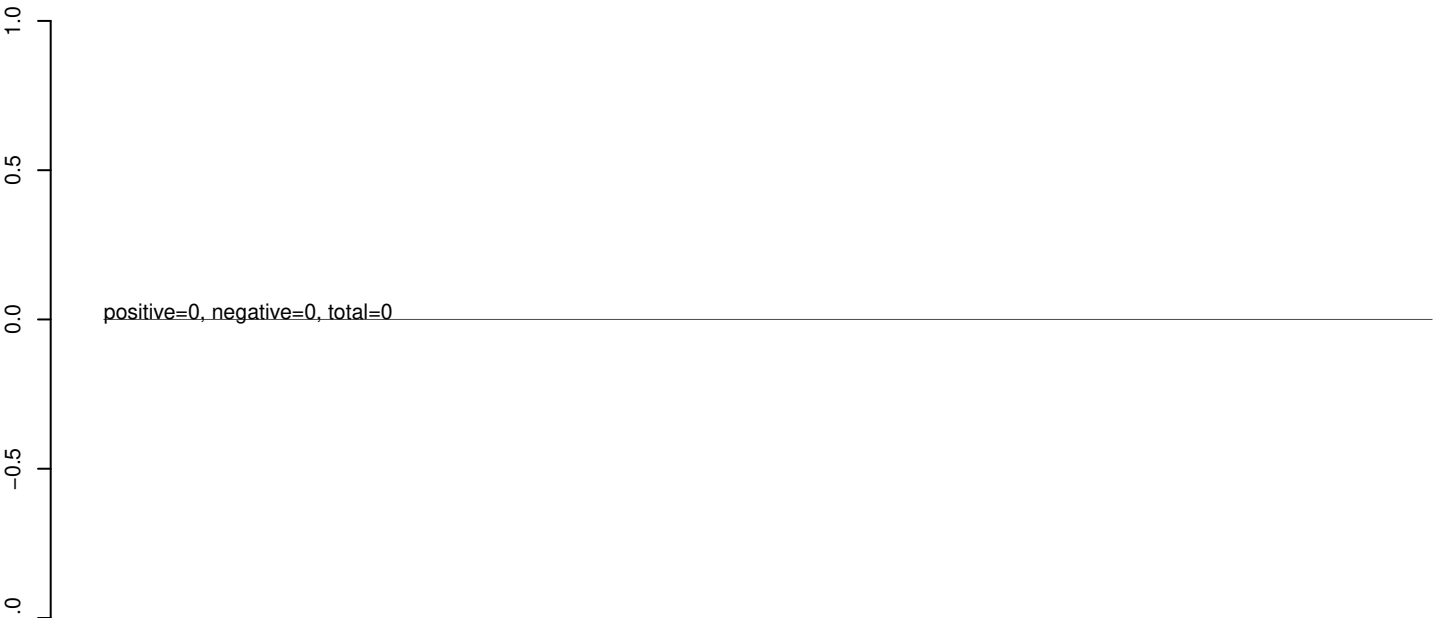
AeAeg_Aag2_Ago3_SINV_RA.24_35.rep



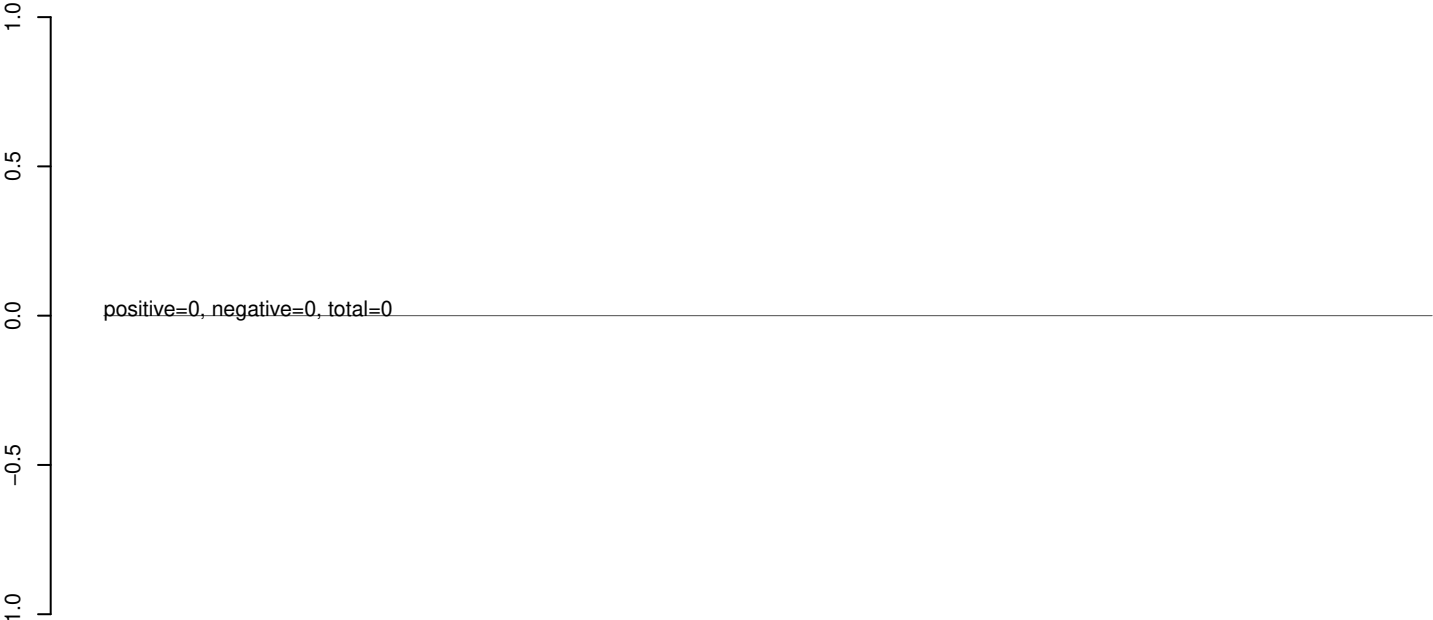
AeAeg_Aag2_Ago3_SINV_RA.rep



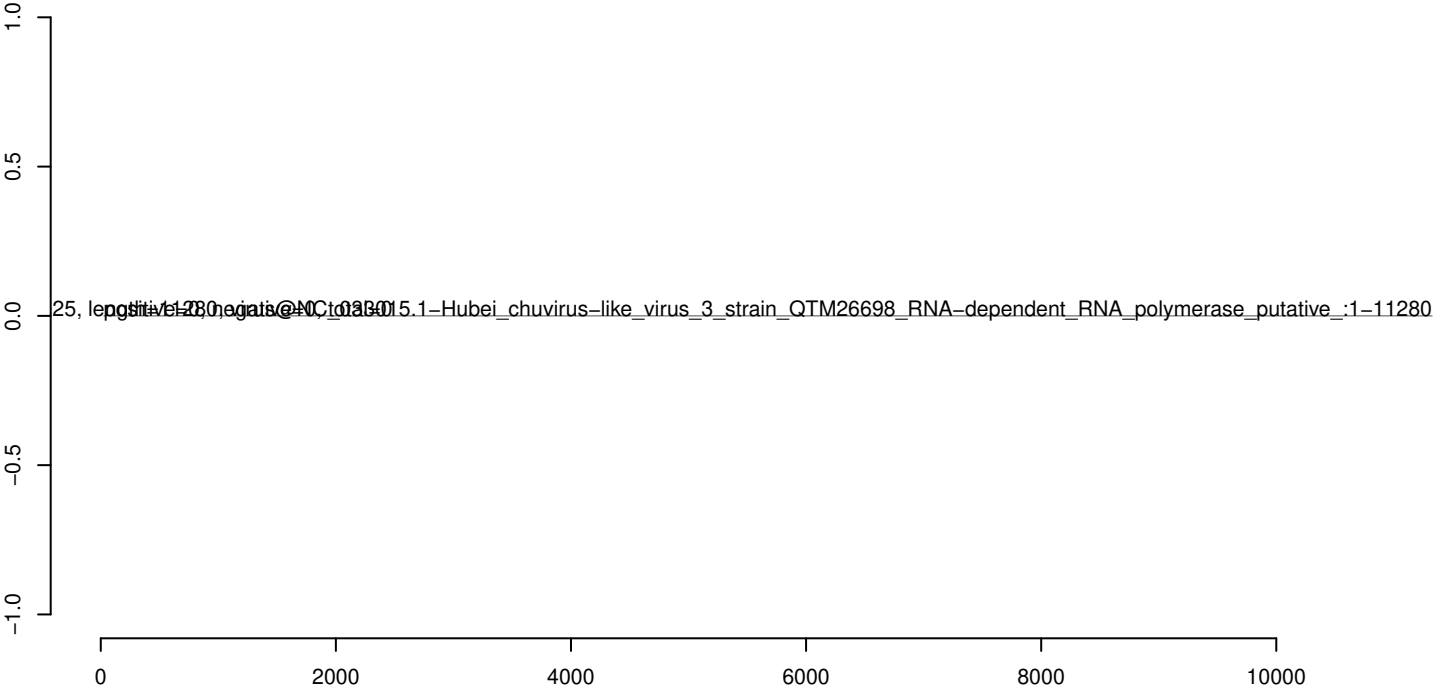
AeAeg_Aag2_Ago3_SINV_RA.18_23.rep



AeAeg_Aag2_Ago3_SINV_RA.24_35.rep



AeAeg_Aag2_Ago3_SINV_RA.rep



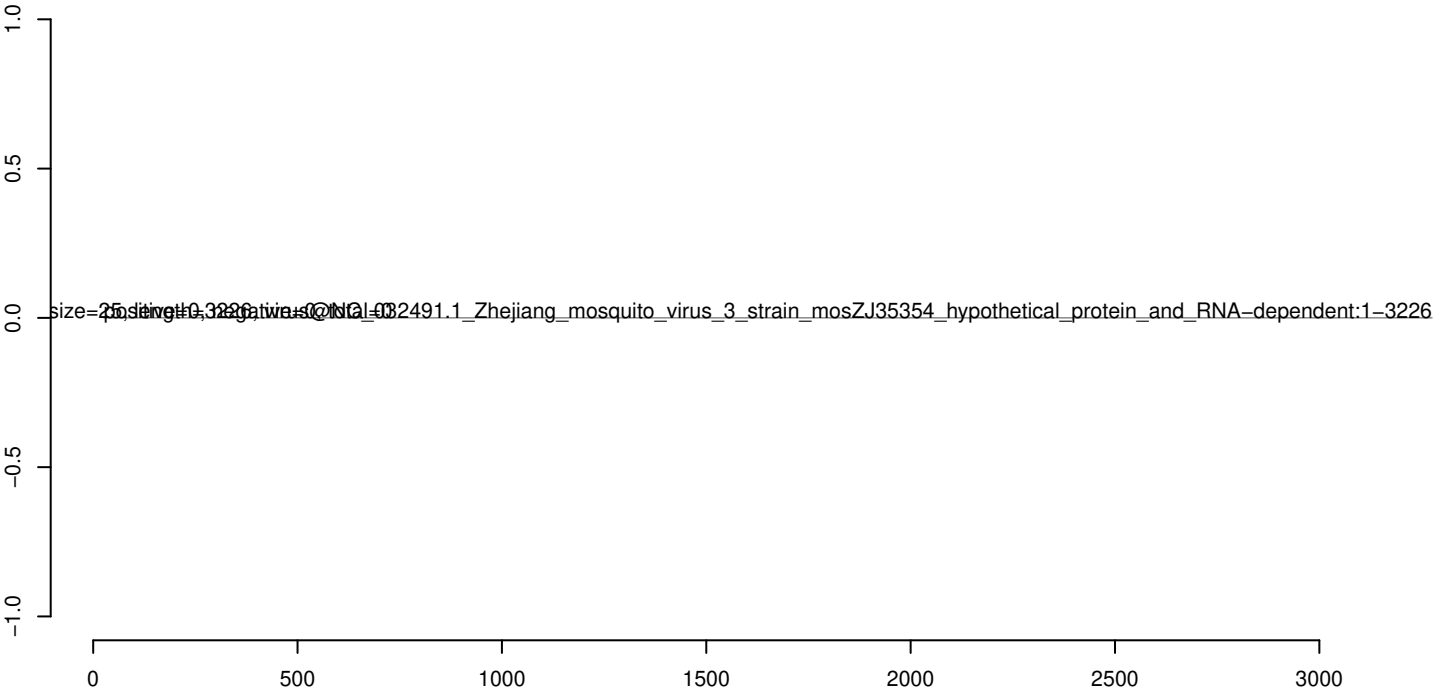
AeAeg_Aag2_Ago3_SINV_RA.18_23.rep



AeAeg_Aag2_Ago3_SINV_RA.24_35.rep



AeAeg_Aag2_Ago3_SINV_RA.rep



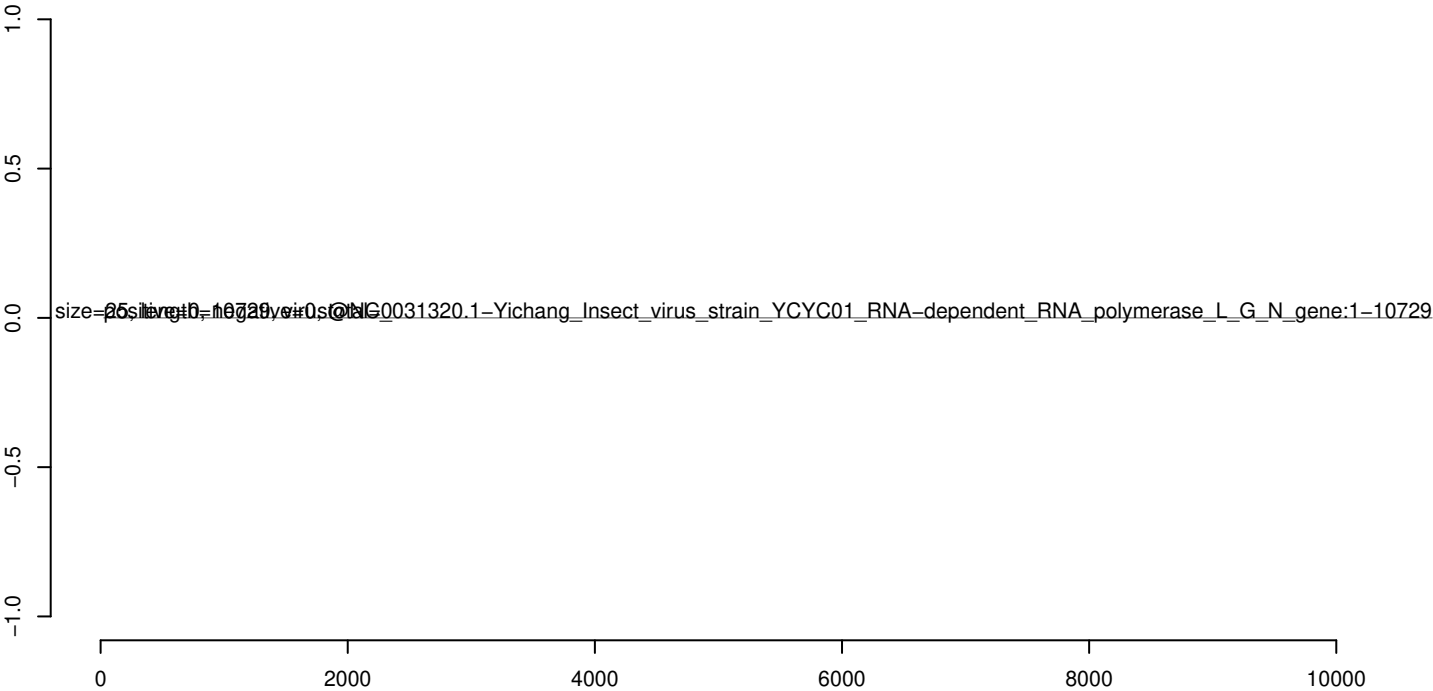
AeAeg_Aag2_Ago3_SINV_RA.18_23.rep



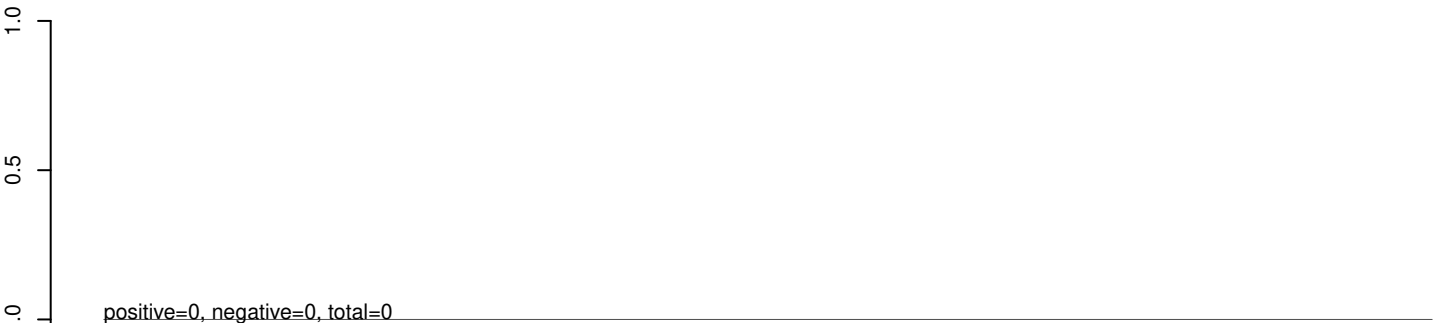
AeAeg_Aag2_Ago3_SINV_RA.24_35.rep



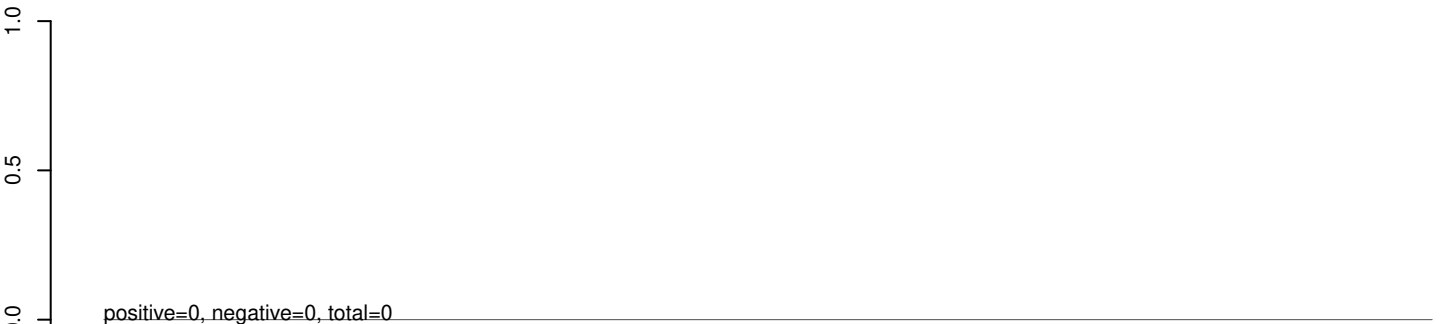
AeAeg_Aag2_Ago3_SINV_RA.rep



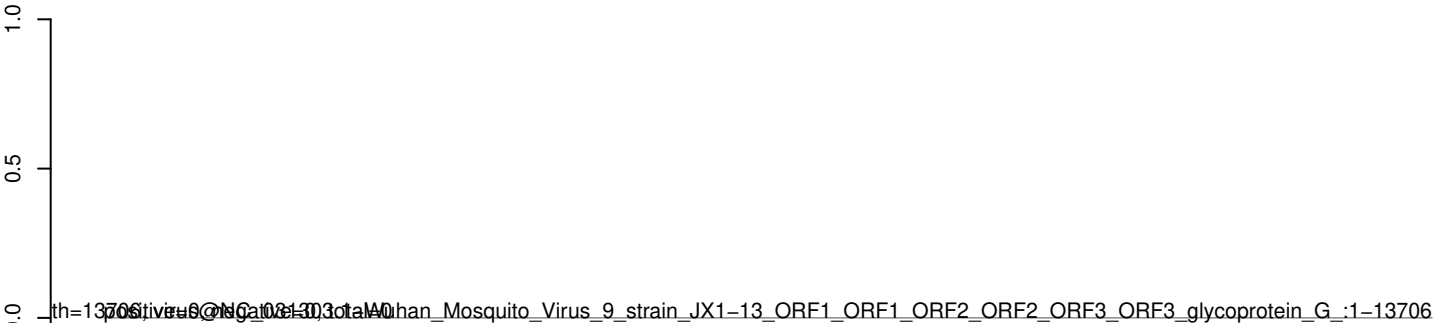
AeAeg_Aag2_Ago3_SINV_RA.18_23.rep



AeAeg_Aag2_Ago3_SINV_RA.24_35.rep



AeAeg_Aag2_Ago3_SINV_RA.rep



0 2000 4000 6000 8000 10000 12000 14000

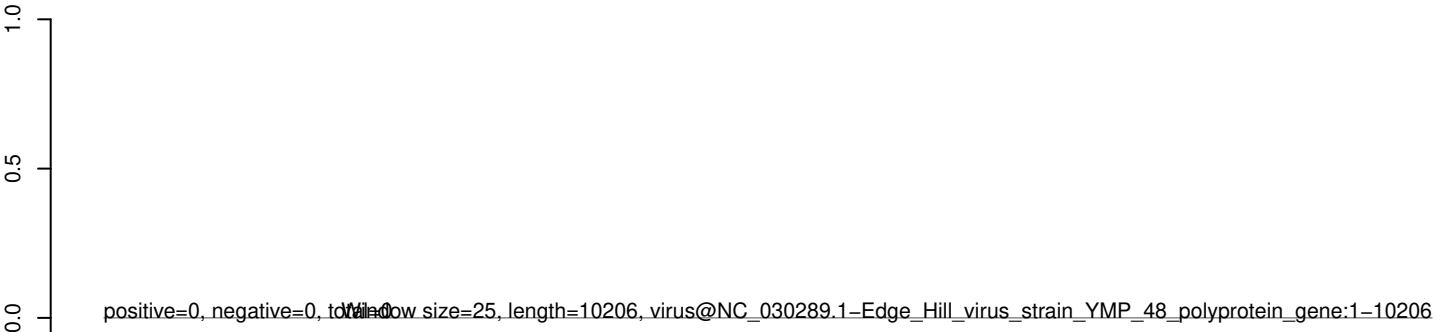
AeAeg_Aag2_Ago3_SINV_RA.18_23.rep



AeAeg_Aag2_Ago3_SINV_RA.24_35.rep



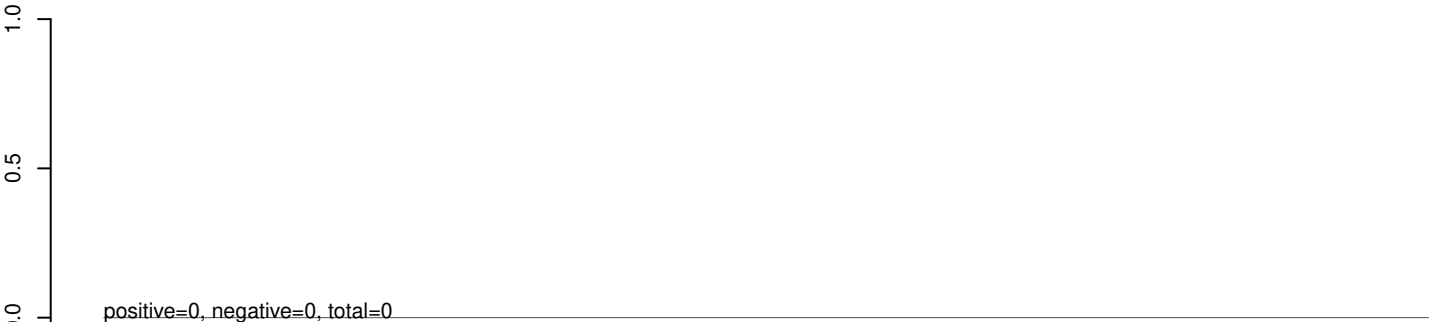
AeAeg_Aag2_Ago3_SINV_RA.rep



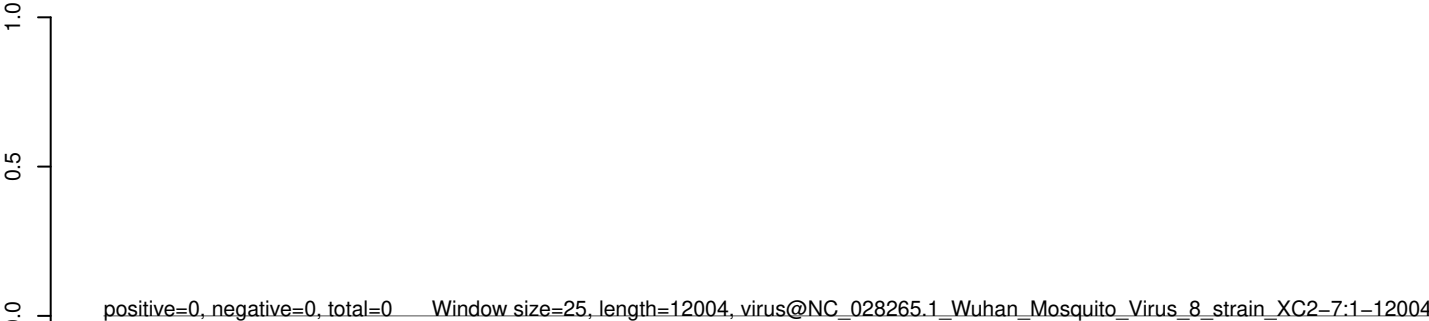
AeAeg_Aag2_Ago3_SINV_RA.18_23.rep



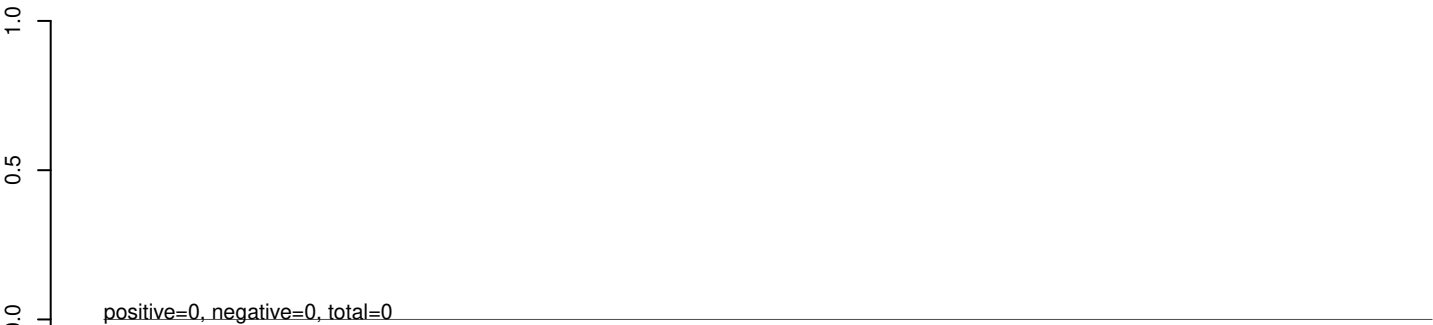
AeAeg_Aag2_Ago3_SINV_RA.24_35.rep



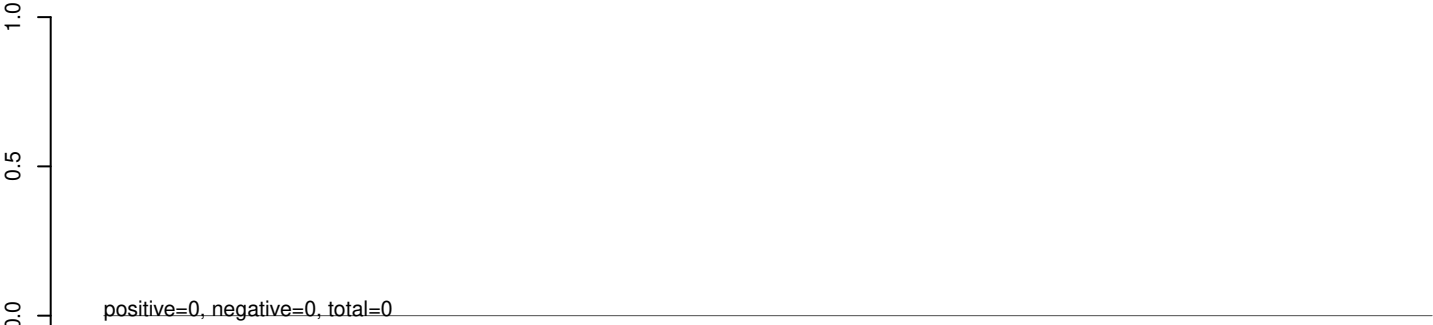
AeAeg_Aag2_Ago3_SINV_RA.rep



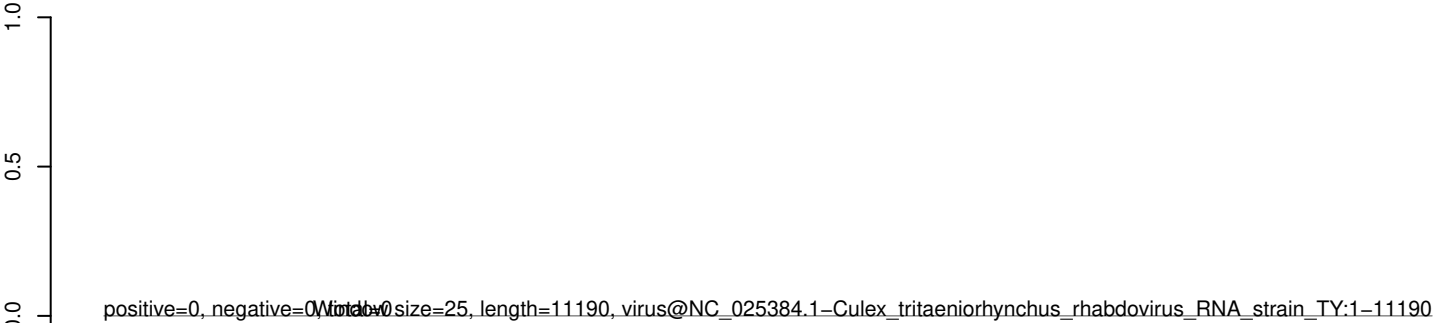
AeAeg_Aag2_Ago3_SINV_RA.18_23.rep



AeAeg_Aag2_Ago3_SINV_RA.24_35.rep



AeAeg_Aag2_Ago3_SINV_RA.rep



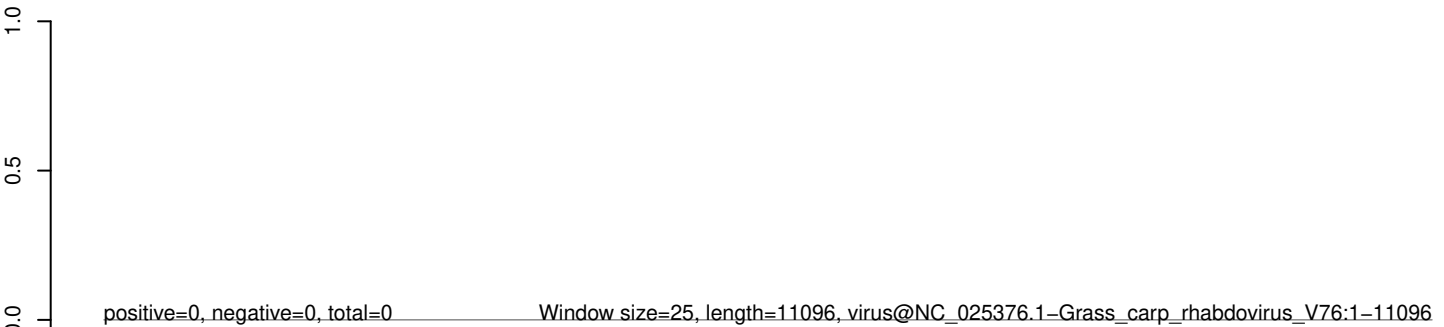
AeAeg_Aag2_Ago3_SINV_RA.18_23.rep



AeAeg_Aag2_Ago3_SINV_RA.24_35.rep

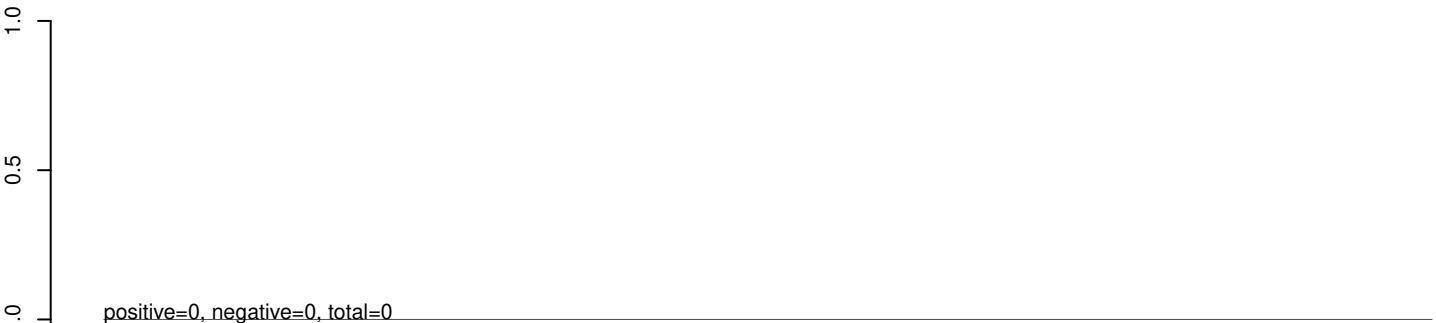


AeAeg_Aag2_Ago3_SINV_RA.rep

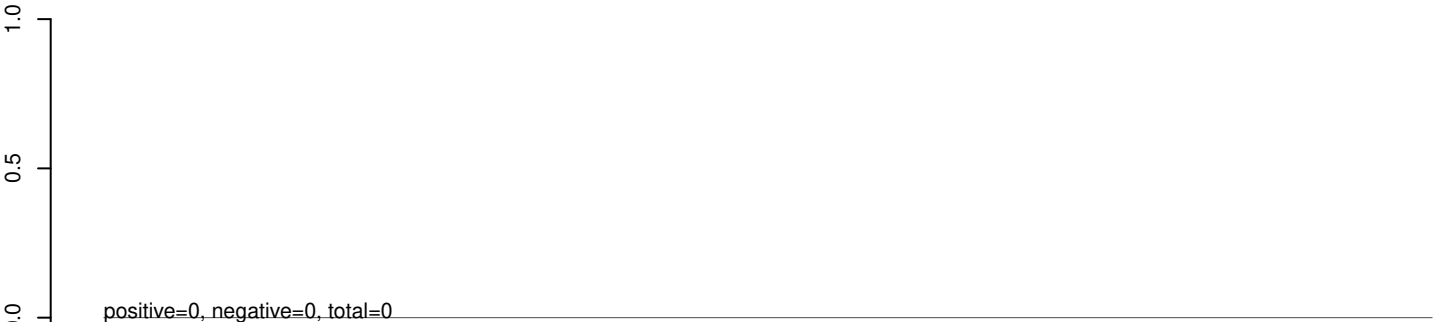


0 2000 4000 6000 8000 10000

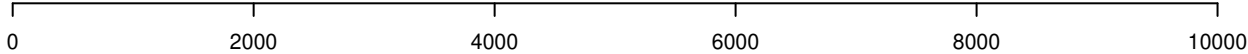
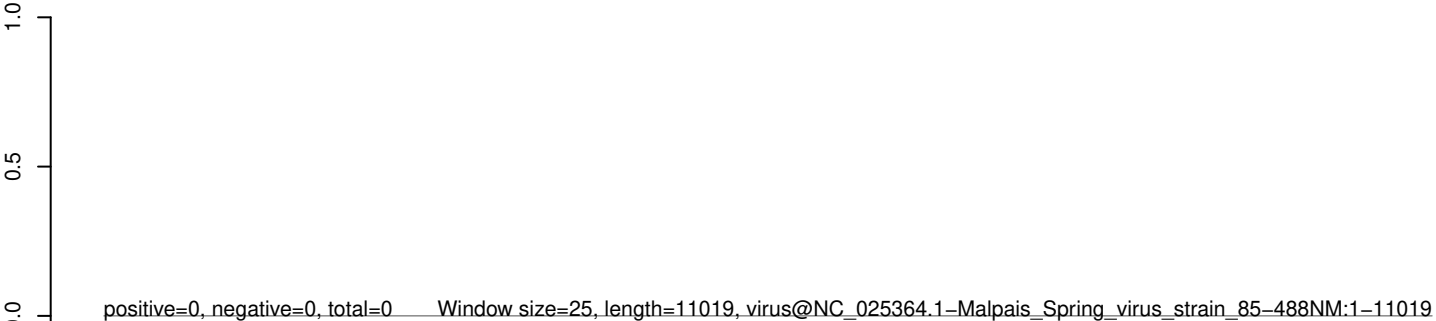
AeAeg_Aag2_Ago3_SINV_RA.18_23.rep



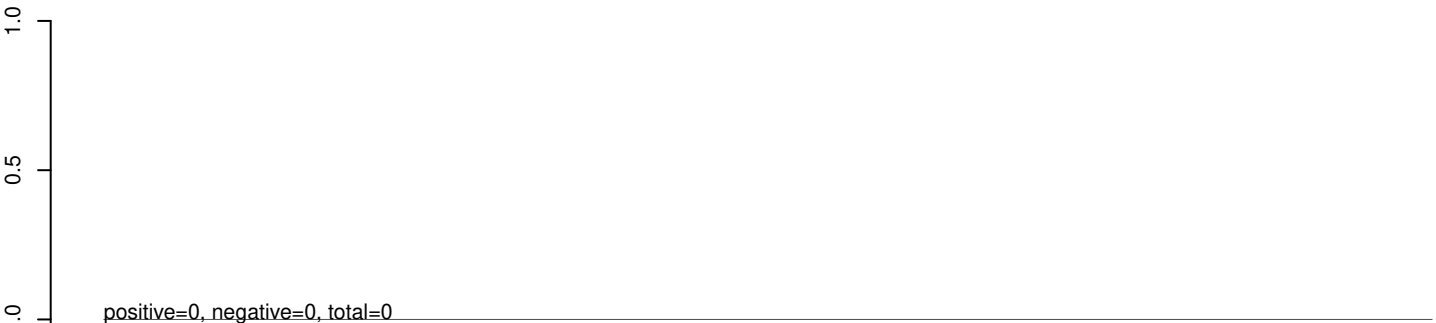
AeAeg_Aag2_Ago3_SINV_RA.24_35.rep



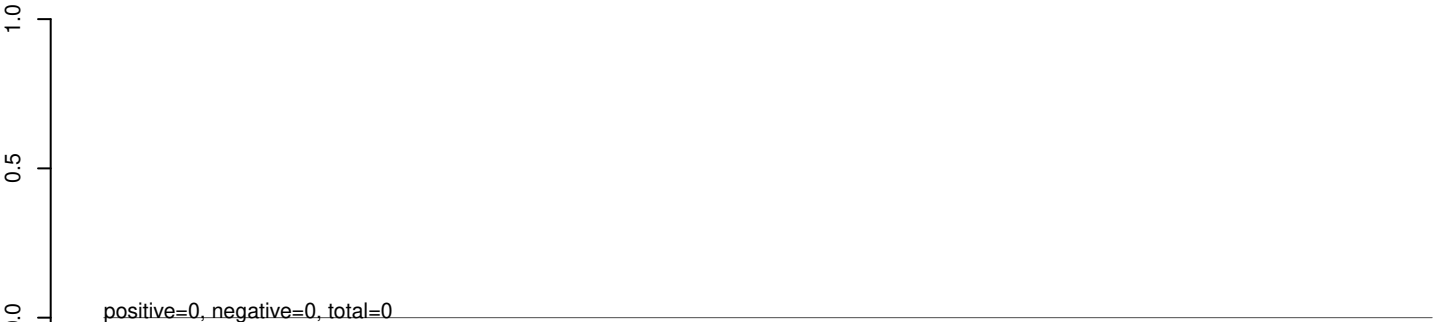
AeAeg_Aag2_Ago3_SINV_RA.rep



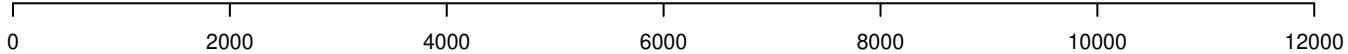
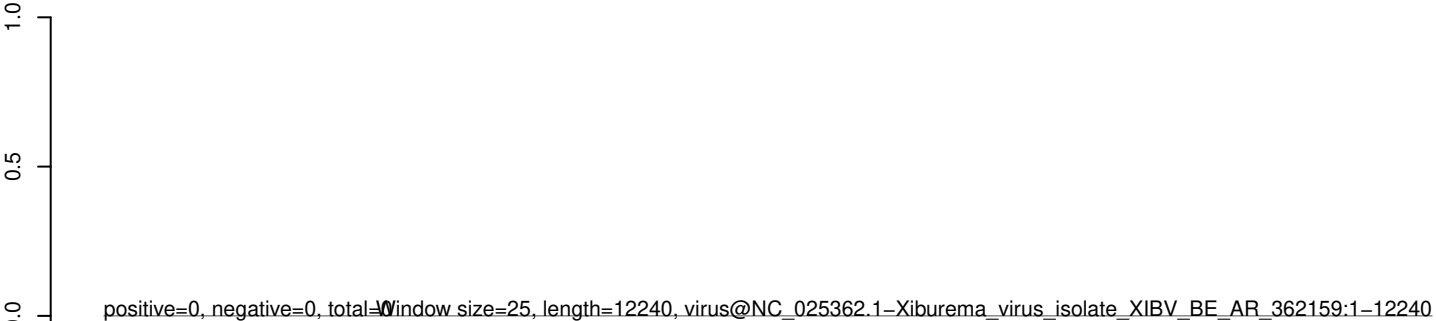
AeAeg_Aag2_Ago3_SINV_RA.18_23.rep



AeAeg_Aag2_Ago3_SINV_RA.24_35.rep



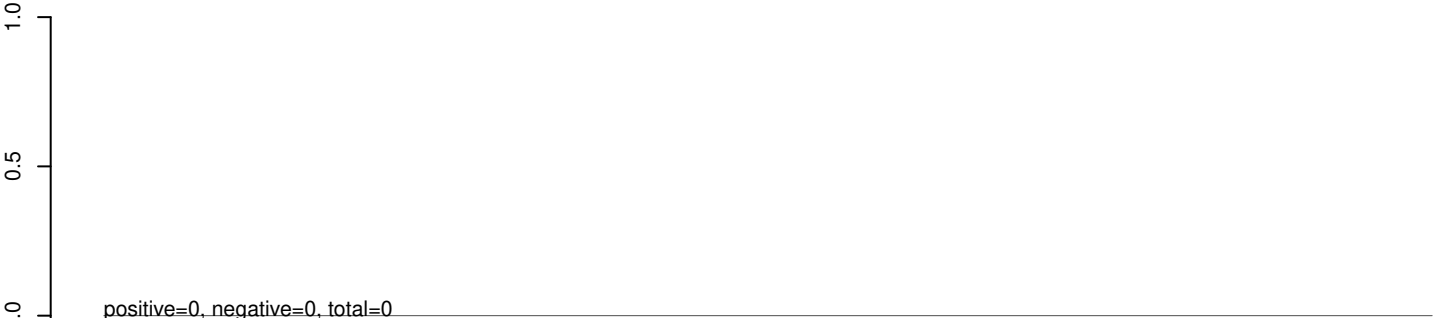
AeAeg_Aag2_Ago3_SINV_RA.rep



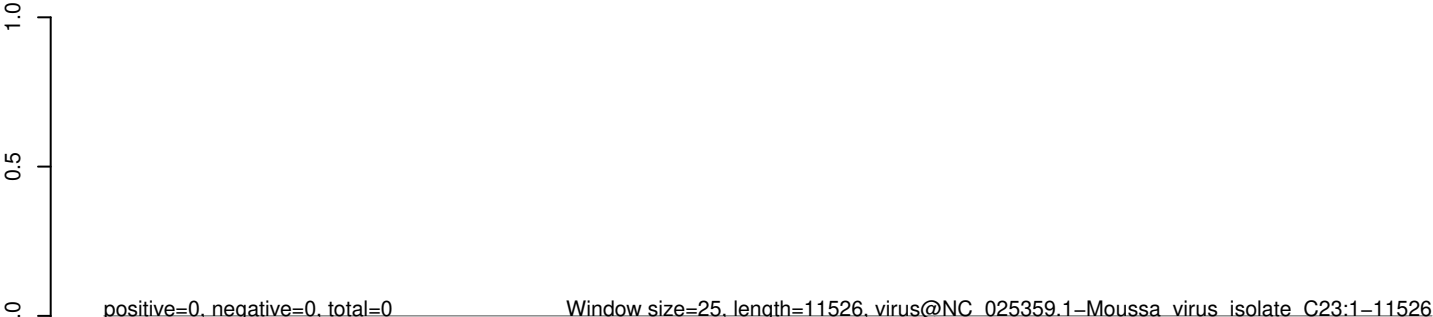
AeAeg_Aag2_Ago3_SINV_RA.18_23.rep



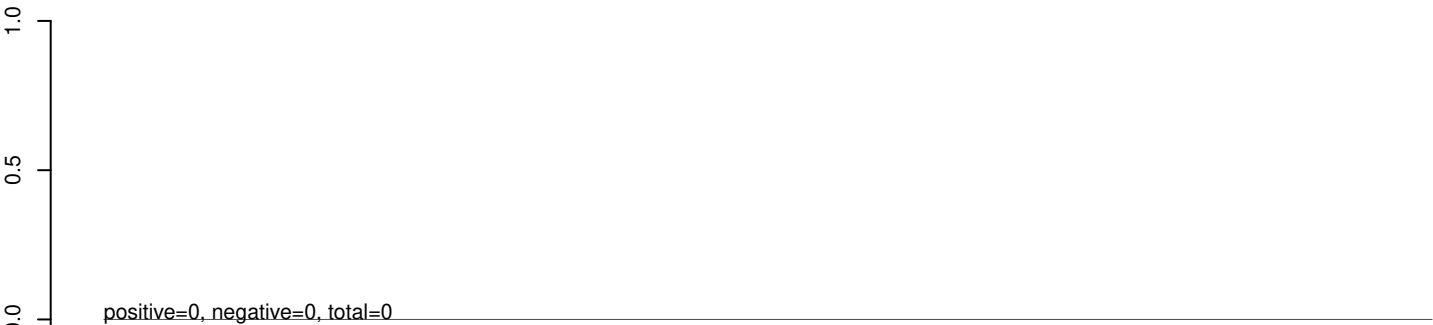
AeAeg_Aag2_Ago3_SINV_RA.24_35.rep



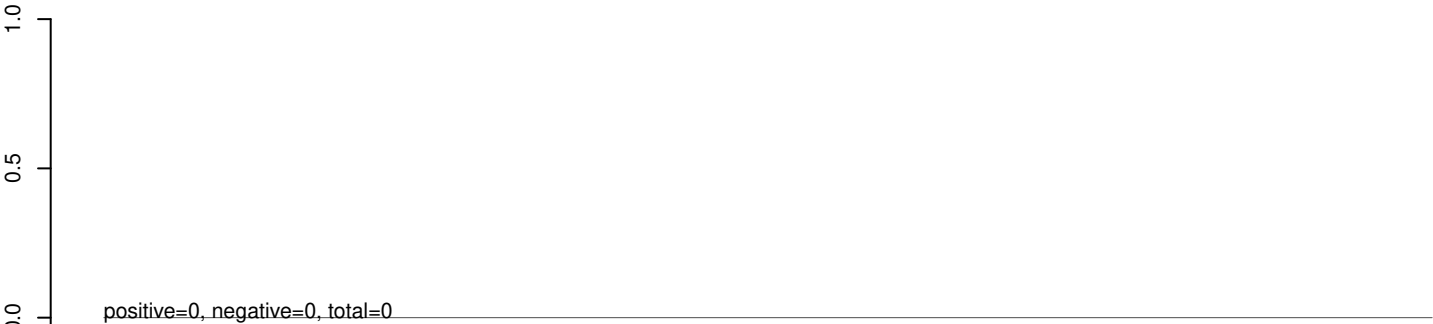
AeAeg_Aag2_Ago3_SINV_RA.rep



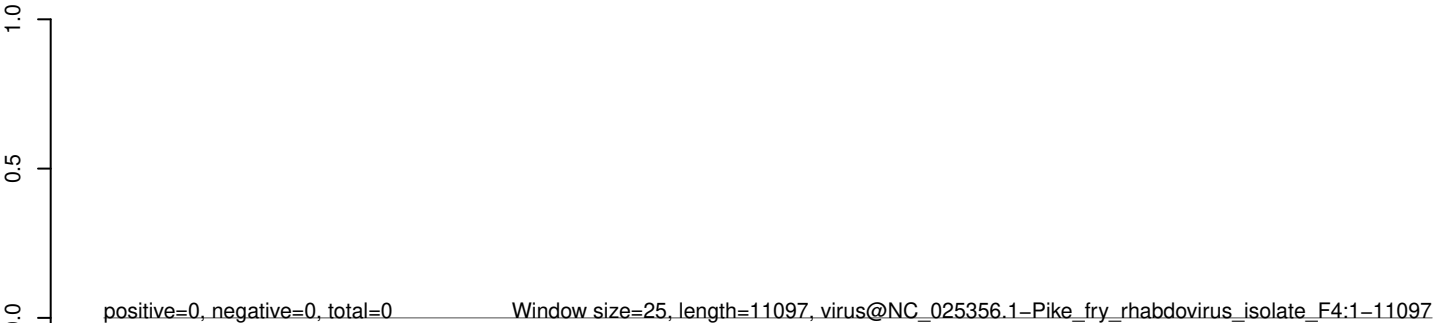
AeAeg_Aag2_Ago3_SINV_RA.18_23.rep



AeAeg_Aag2_Ago3_SINV_RA.24_35.rep



AeAeg_Aag2_Ago3_SINV_RA.rep



0 2000 4000 6000 8000 10000

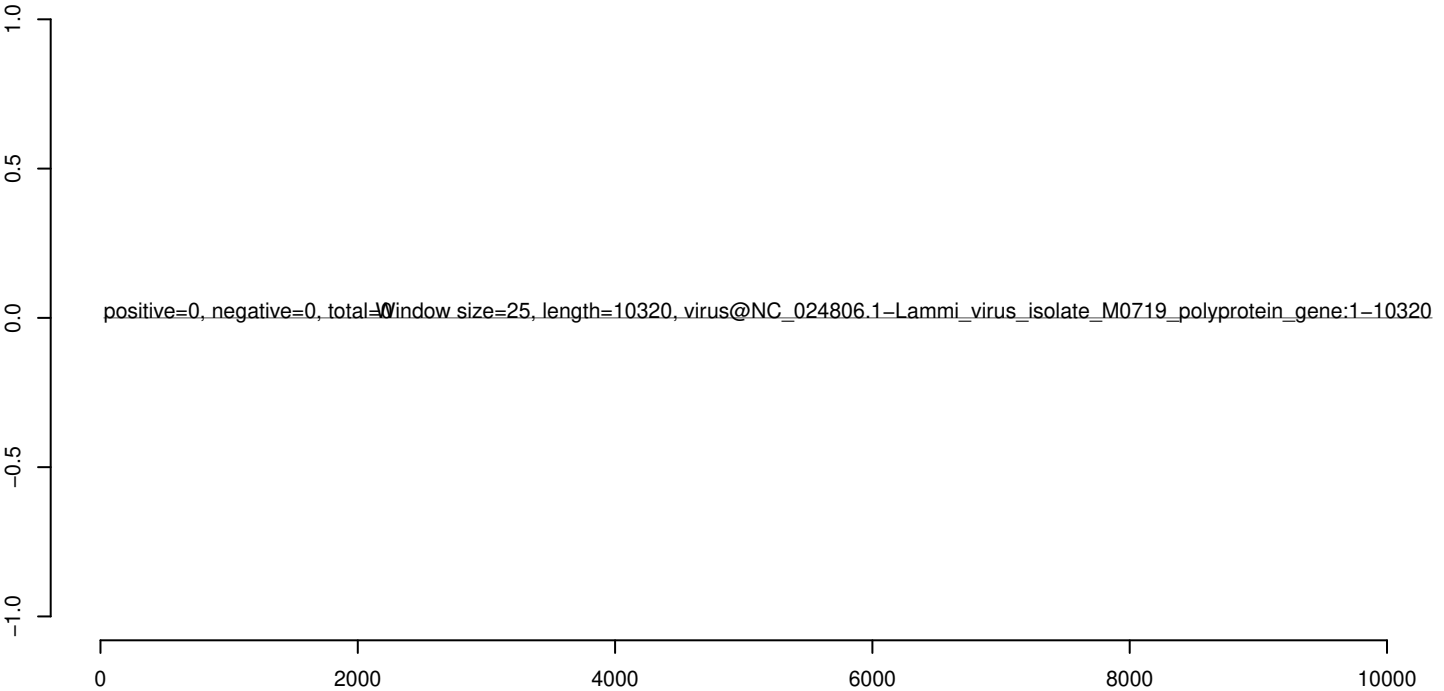
AeAeg_Aag2_Ago3_SINV_RA.18_23.rep



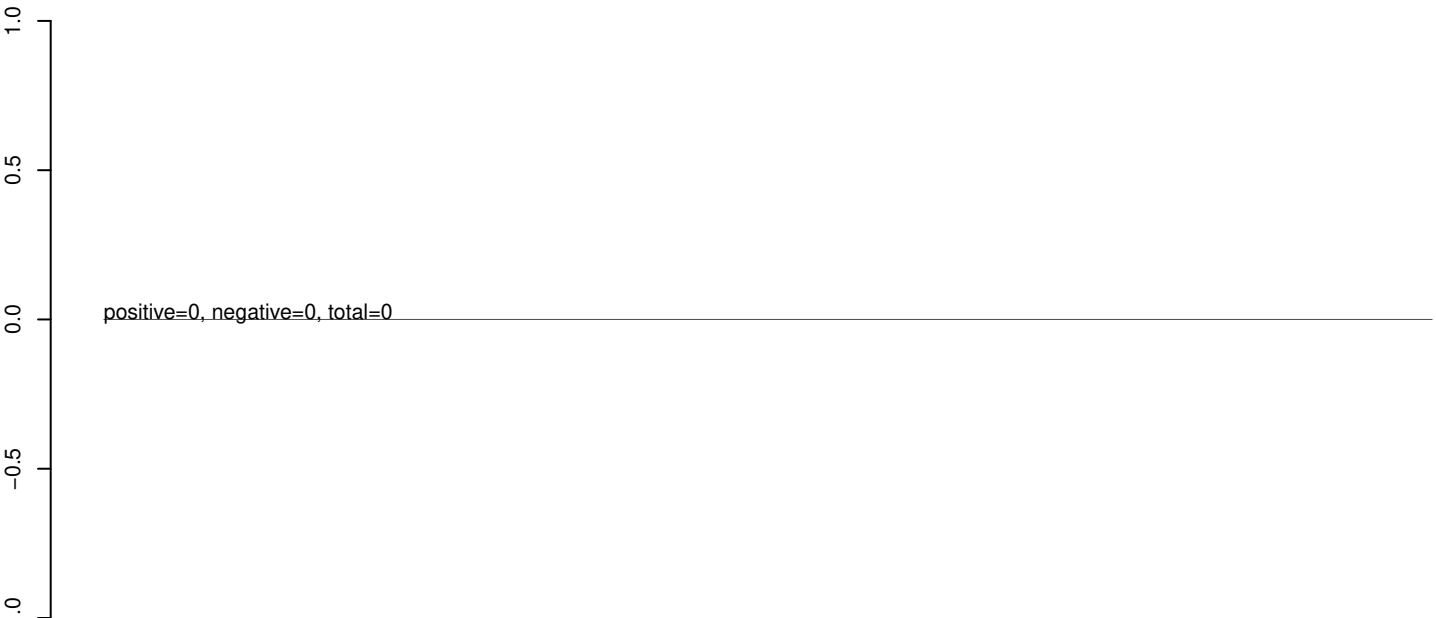
AeAeg_Aag2_Ago3_SINV_RA.24_35.rep



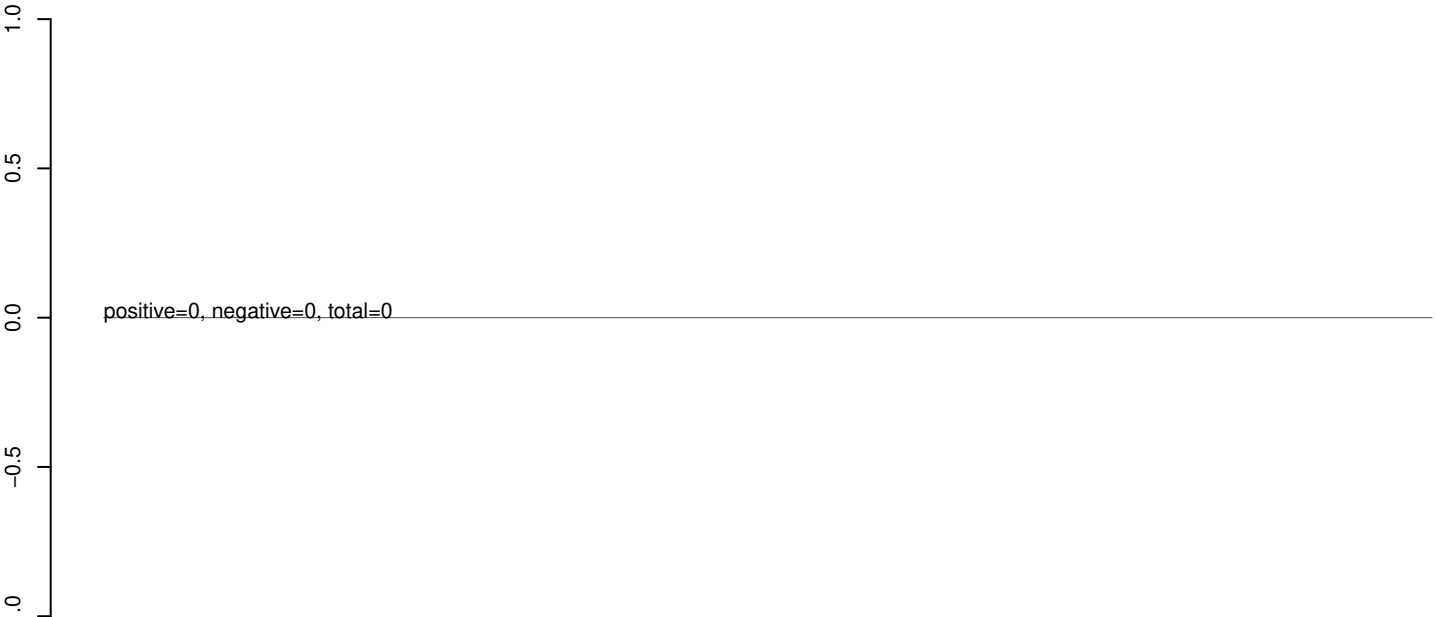
AeAeg_Aag2_Ago3_SINV_RA.rep



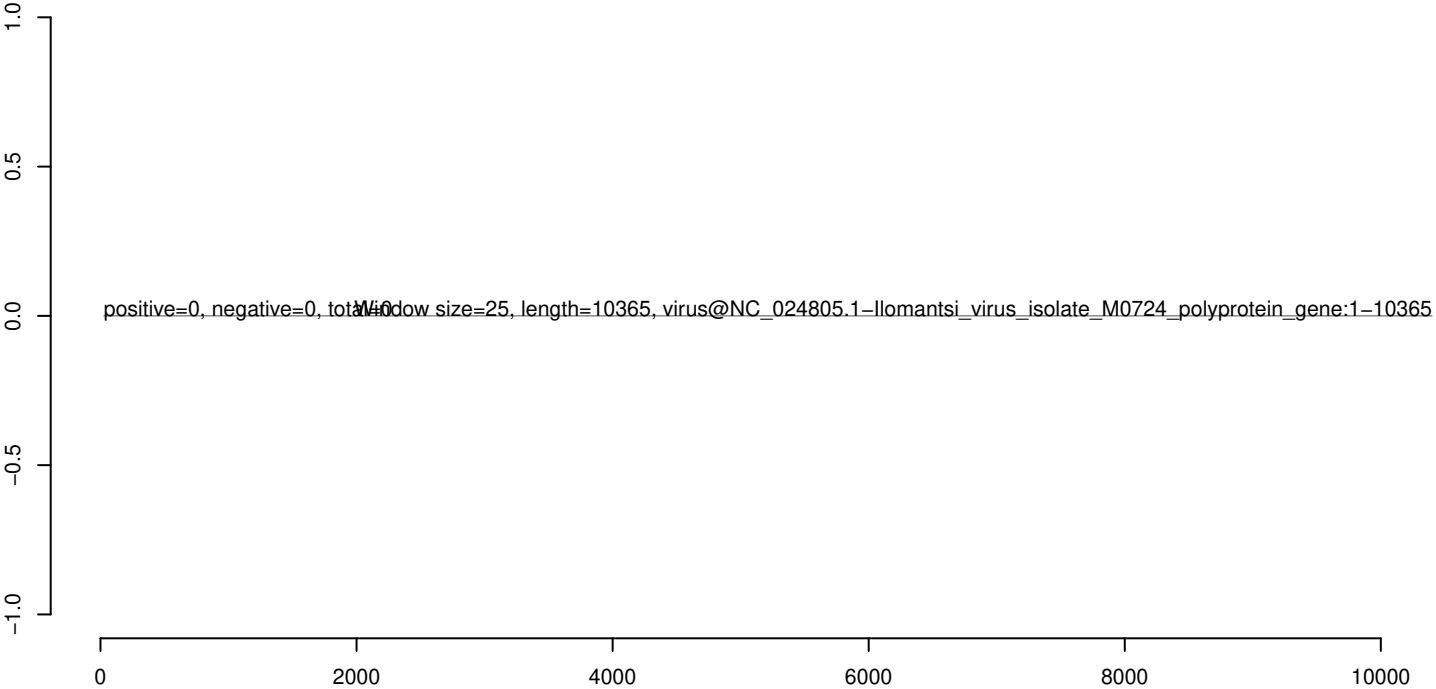
AeAeg_Aag2_Ago3_SINV_RA.18_23.rep



AeAeg_Aag2_Ago3_SINV_RA.24_35.rep



AeAeg_Aag2_Ago3_SINV_RA.rep



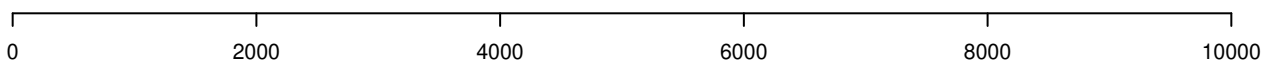
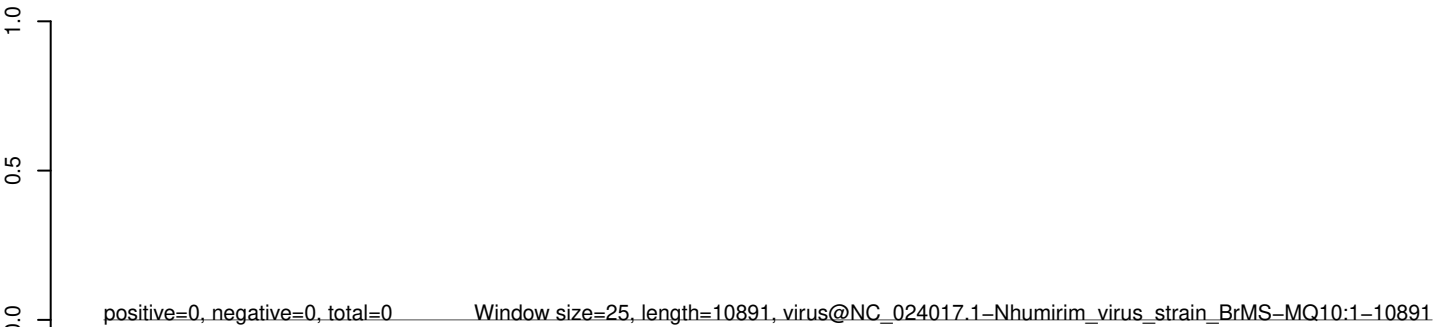
AeAeg_Aag2_Ago3_SINV_RA.18_23.rep



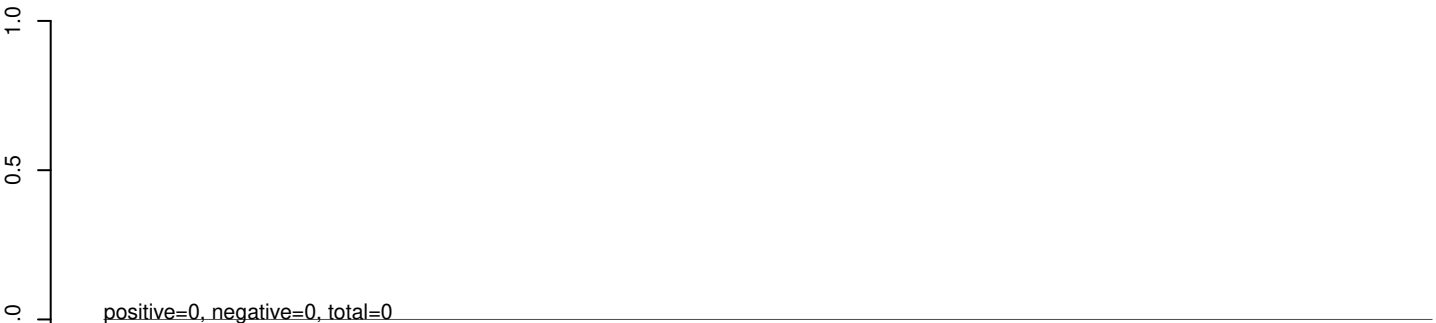
AeAeg_Aag2_Ago3_SINV_RA.24_35.rep



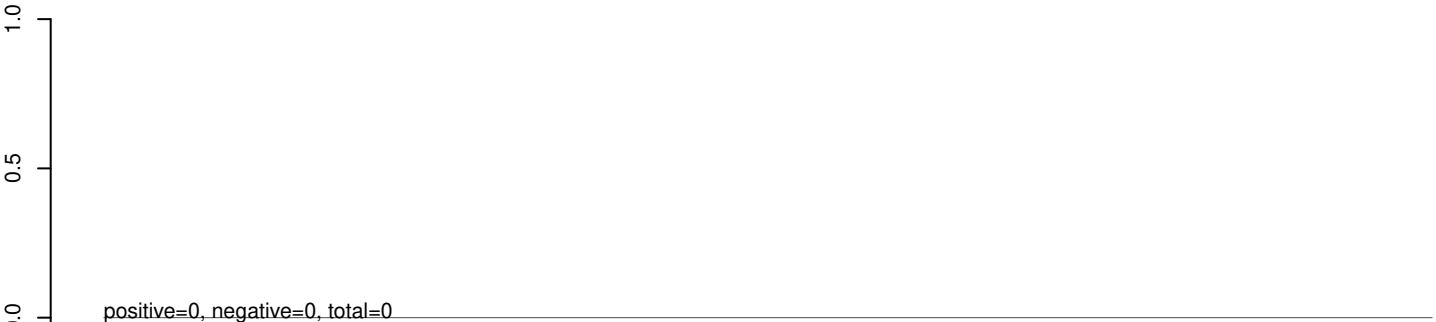
AeAeg_Aag2_Ago3_SINV_RA.rep



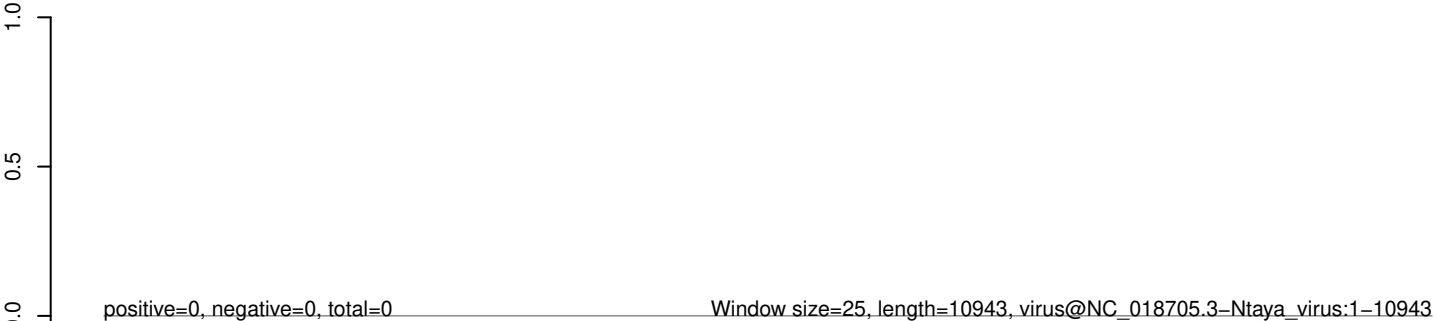
AeAeg_Aag2_Ago3_SINV_RA.18_23.rep



AeAeg_Aag2_Ago3_SINV_RA.24_35.rep



AeAeg_Aag2_Ago3_SINV_RA.rep



0 2000 4000 6000 8000 10000

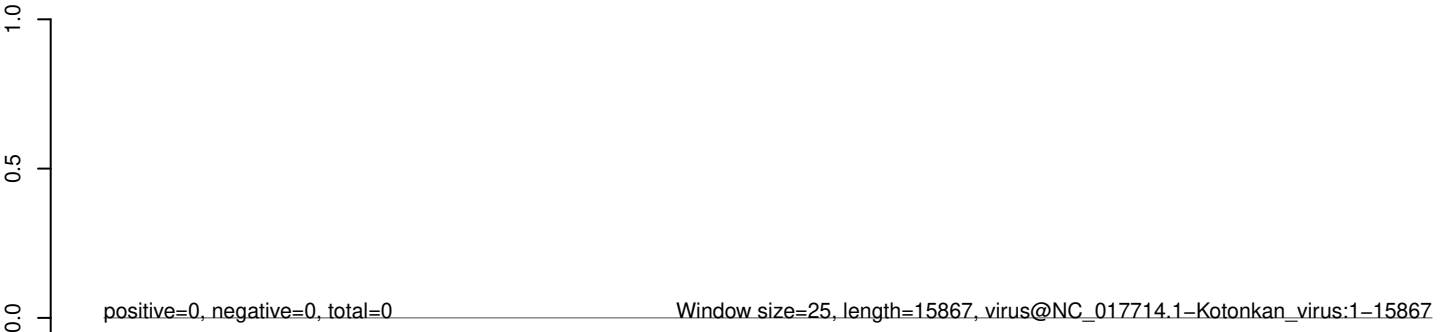
AeAeg_Aag2_Ago3_SINV_RA.18_23.rep



AeAeg_Aag2_Ago3_SINV_RA.24_35.rep



AeAeg_Aag2_Ago3_SINV_RA.rep



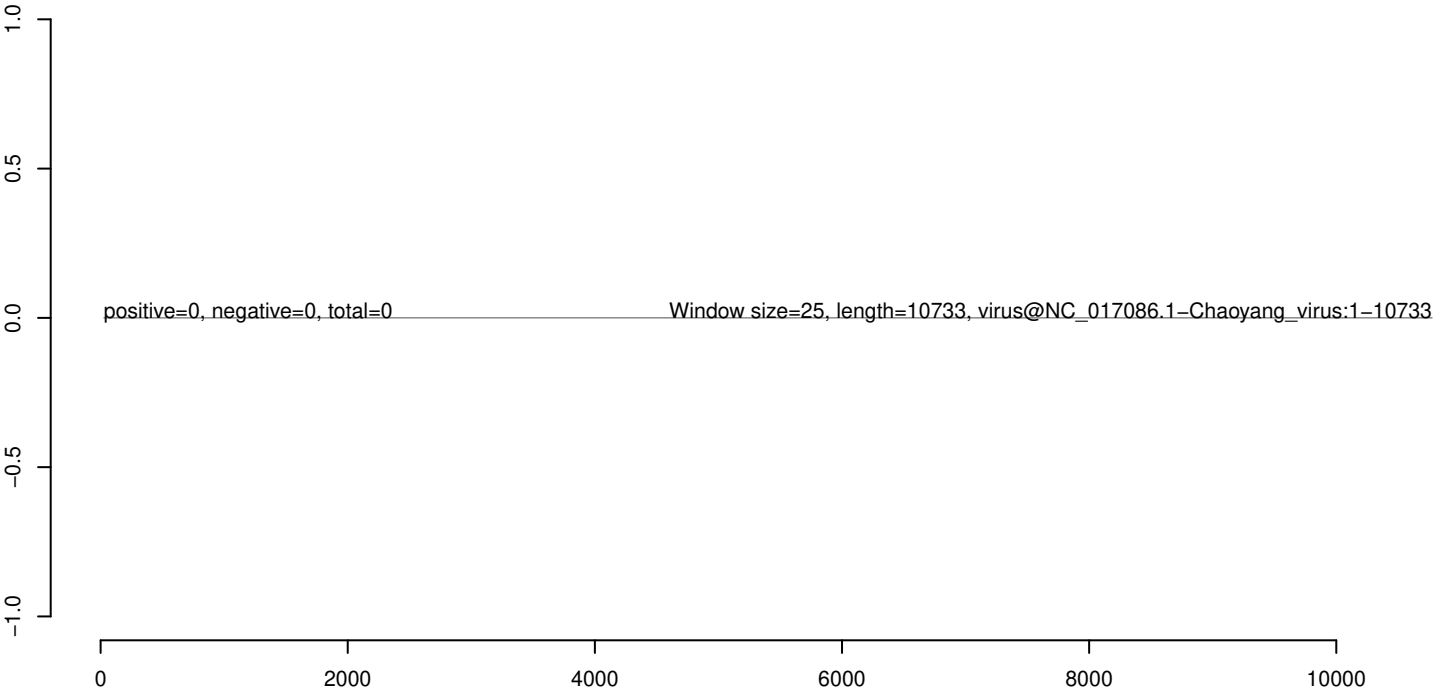
AeAeg_Aag2_Ago3_SINV_RA.18_23.rep



AeAeg_Aag2_Ago3_SINV_RA.24_35.rep



AeAeg_Aag2_Ago3_SINV_RA.rep



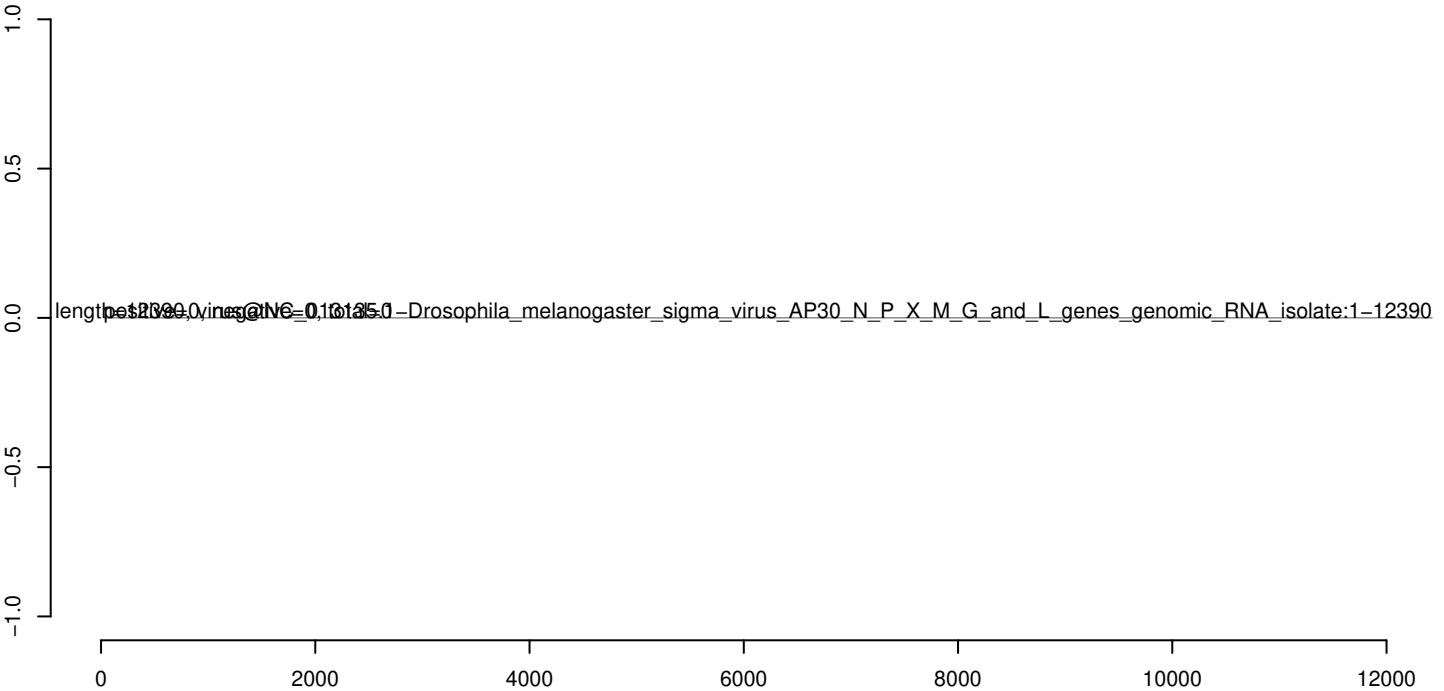
AeAeg_Aag2_Ago3_SINV_RA.18_23.rep



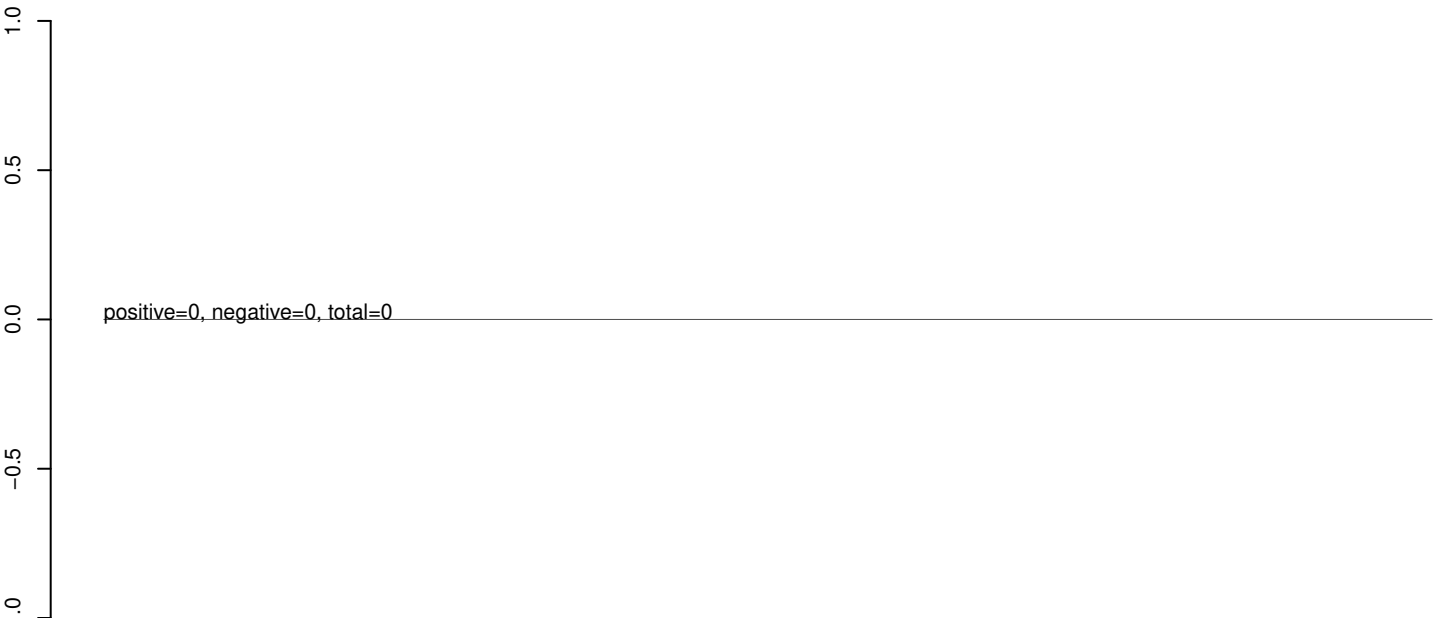
AeAeg_Aag2_Ago3_SINV_RA.24_35.rep



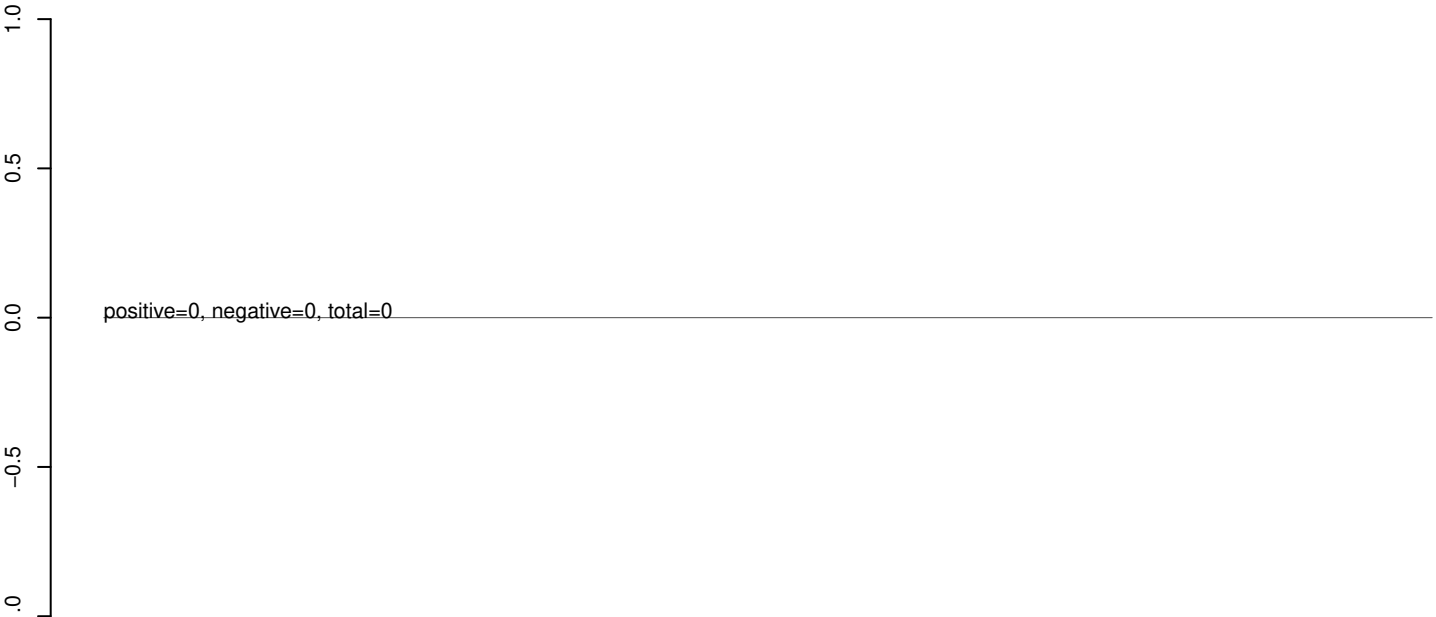
AeAeg_Aag2_Ago3_SINV_RA.rep



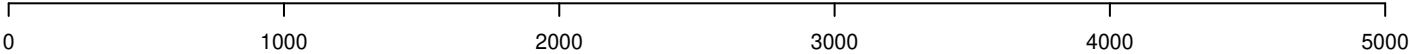
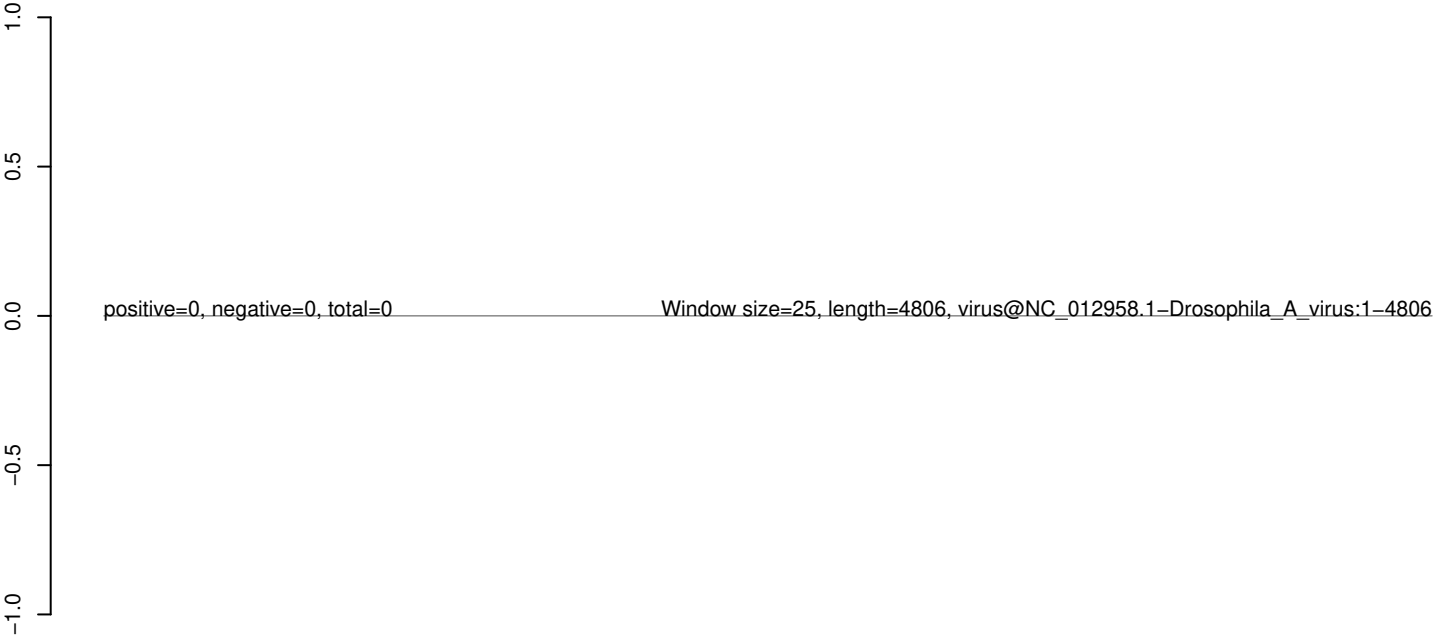
AeAeg_Aag2_Ago3_SINV_RA.18_23.rep



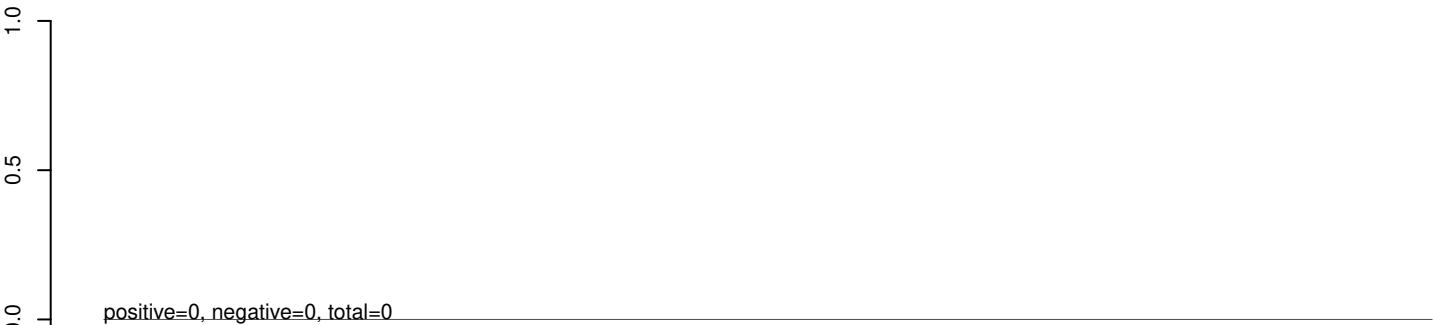
AeAeg_Aag2_Ago3_SINV_RA.24_35.rep



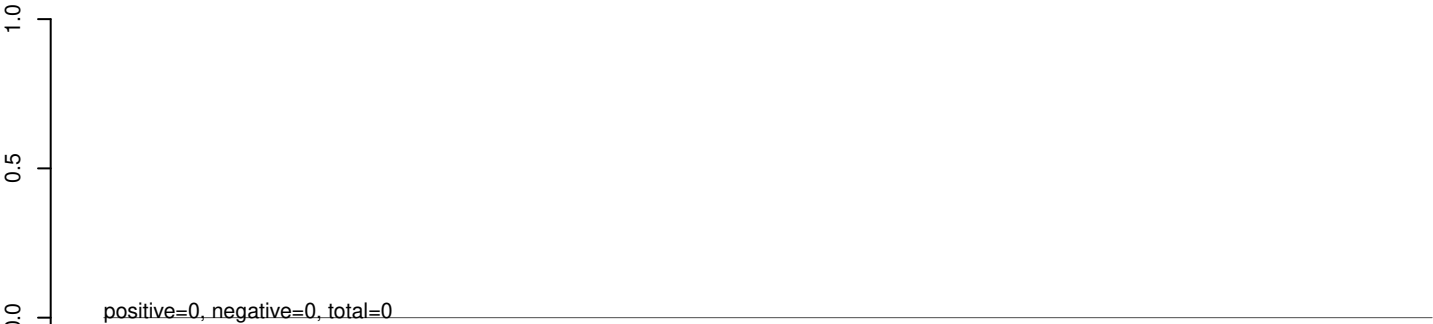
AeAeg_Aag2_Ago3_SINV_RA.rep



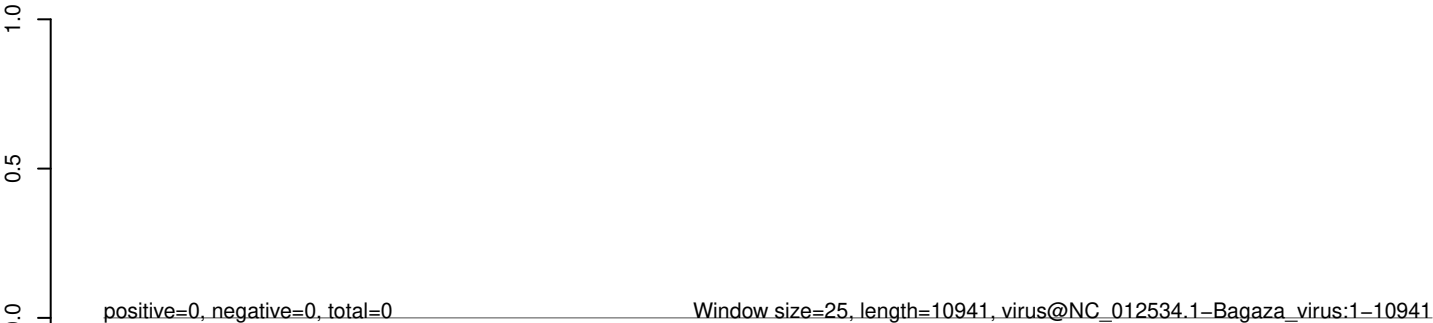
AeAeg_Aag2_Ago3_SINV_RA.18_23.rep



AeAeg_Aag2_Ago3_SINV_RA.24_35.rep

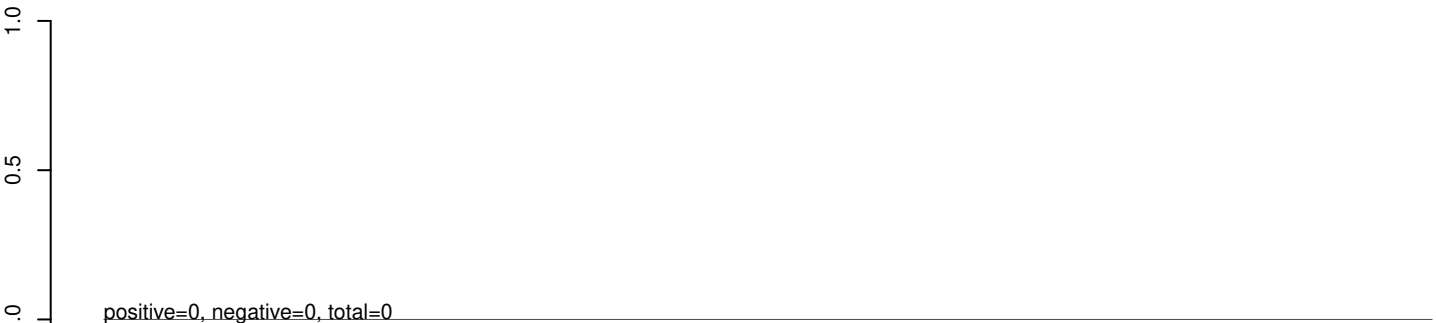


AeAeg_Aag2_Ago3_SINV_RA.rep

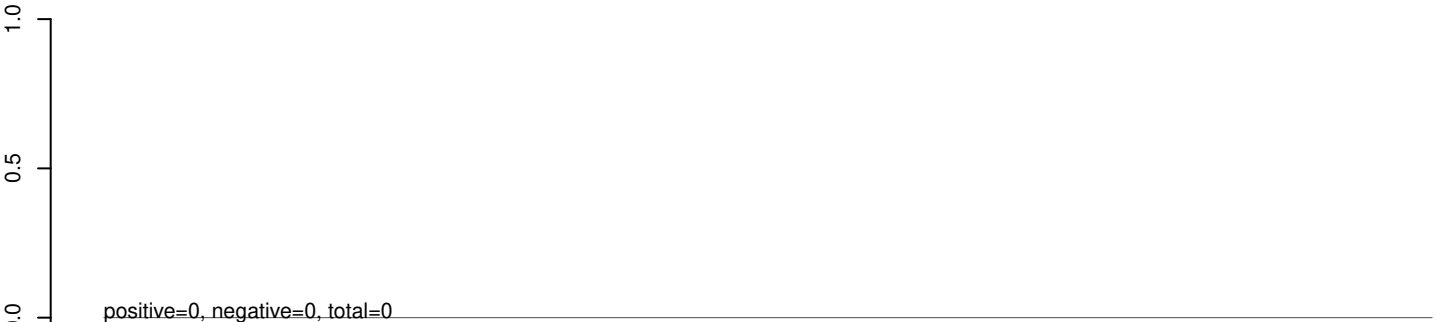


0 2000 4000 6000 8000 10000

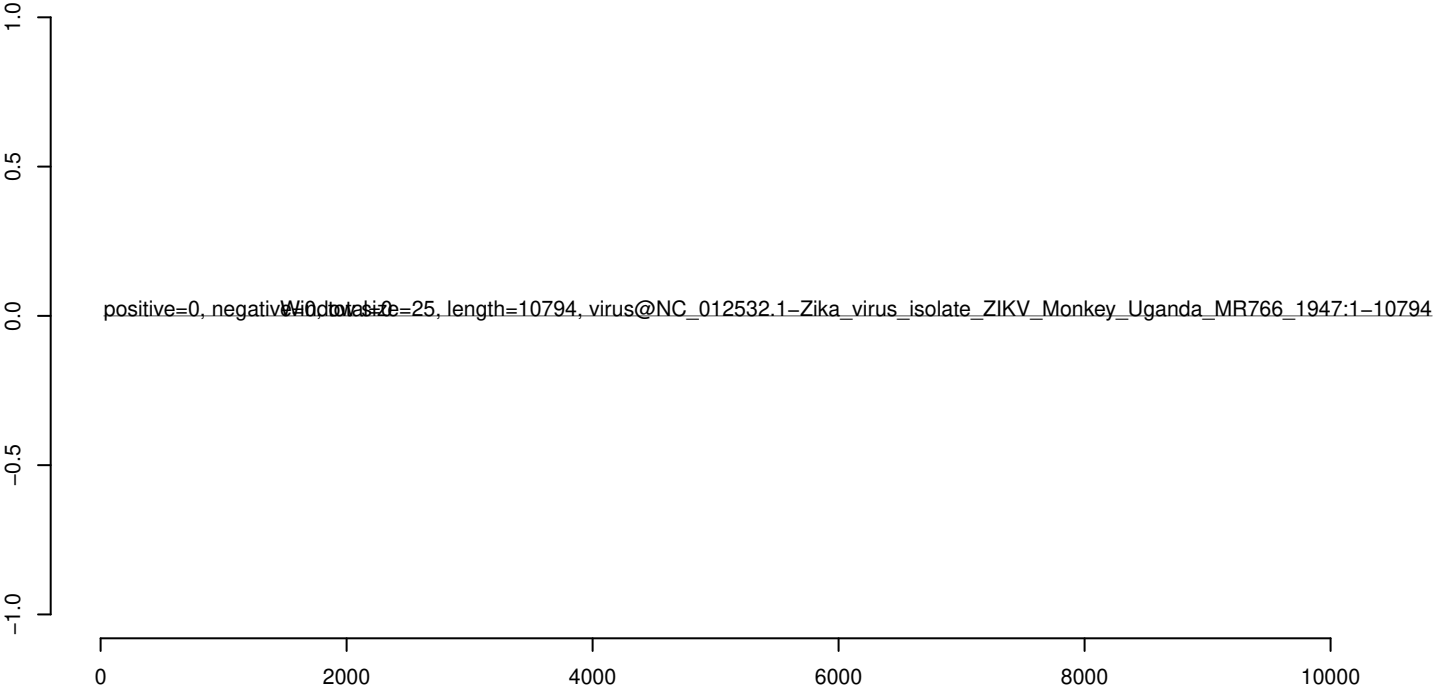
AeAeg_Aag2_Ago3_SINV_RA.18_23.rep



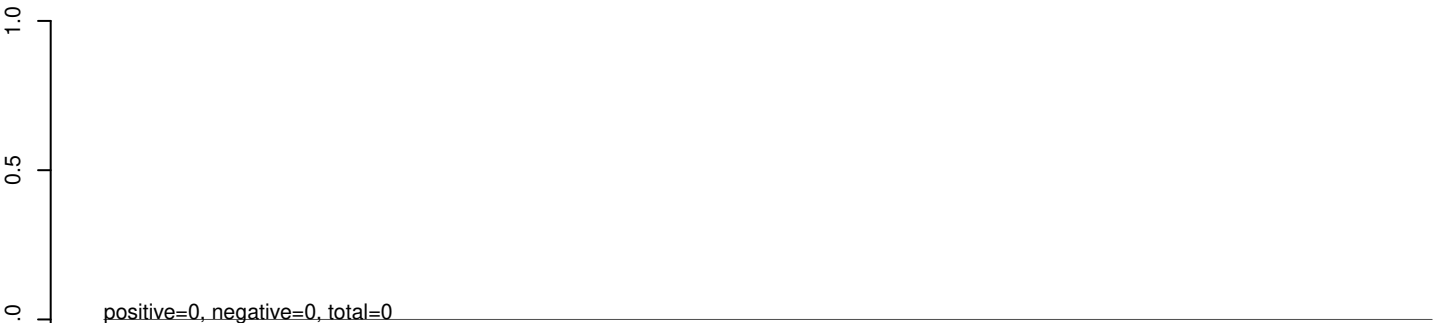
AeAeg_Aag2_Ago3_SINV_RA.24_35.rep



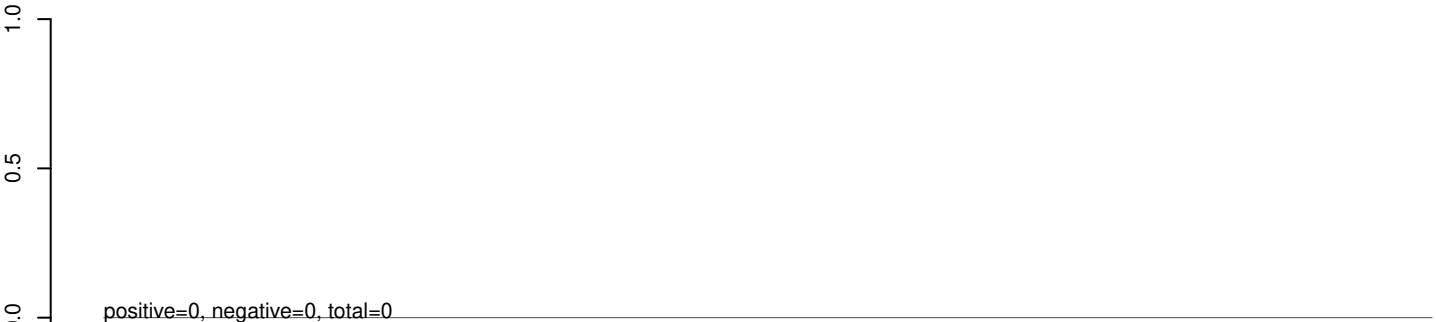
AeAeg_Aag2_Ago3_SINV_RA.rep



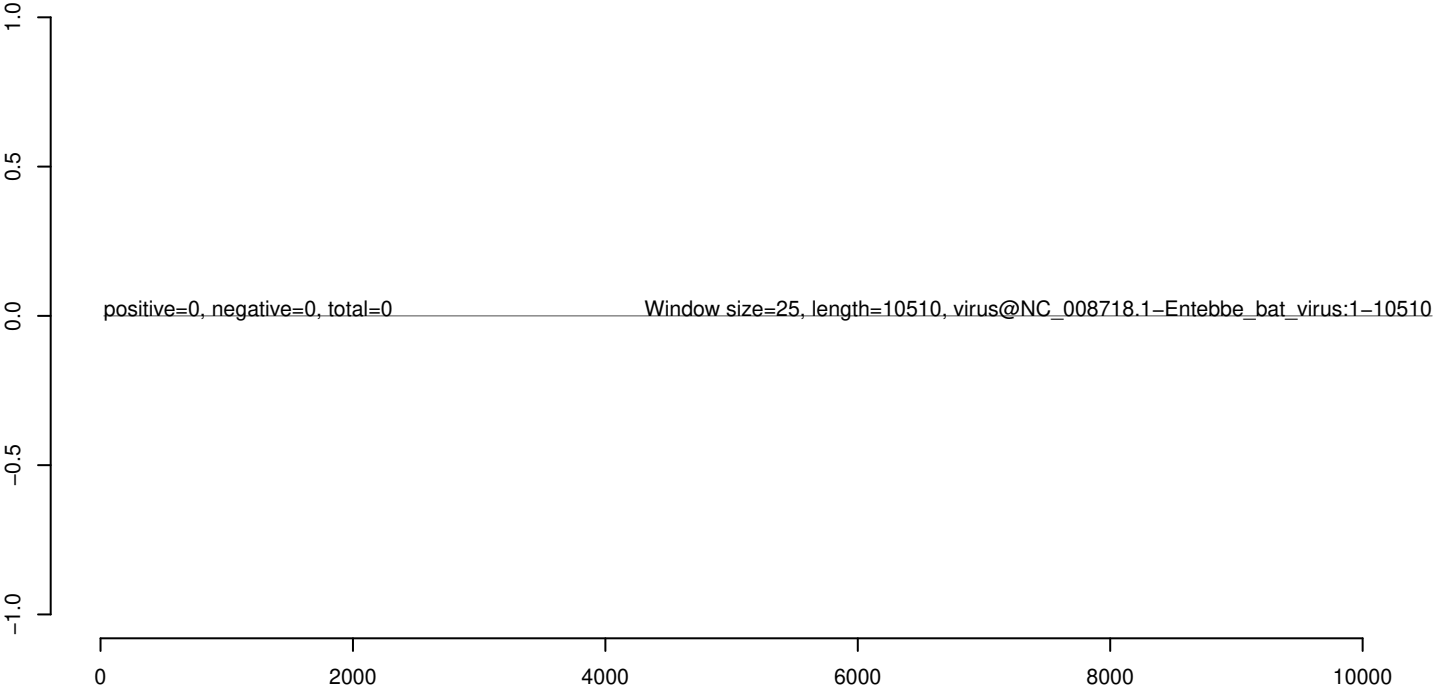
AeAeg_Aag2_Ago3_SINV_RA.18_23.rep



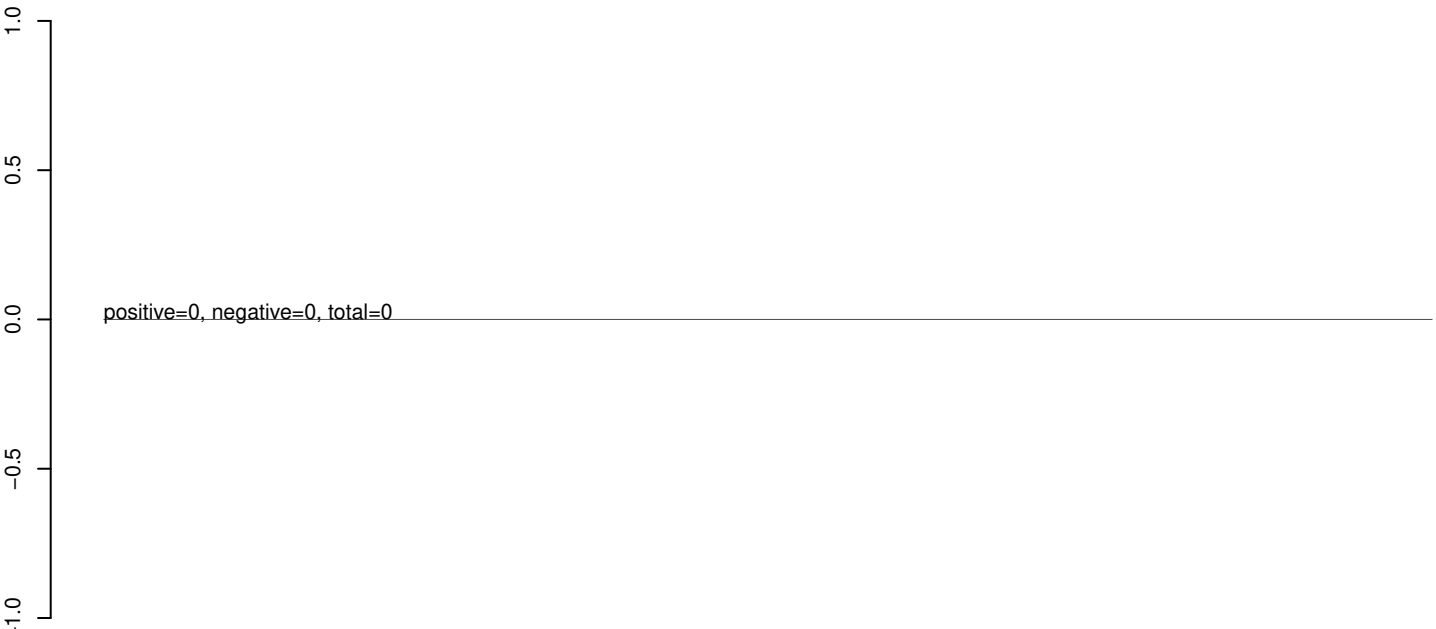
AeAeg_Aag2_Ago3_SINV_RA.24_35.rep



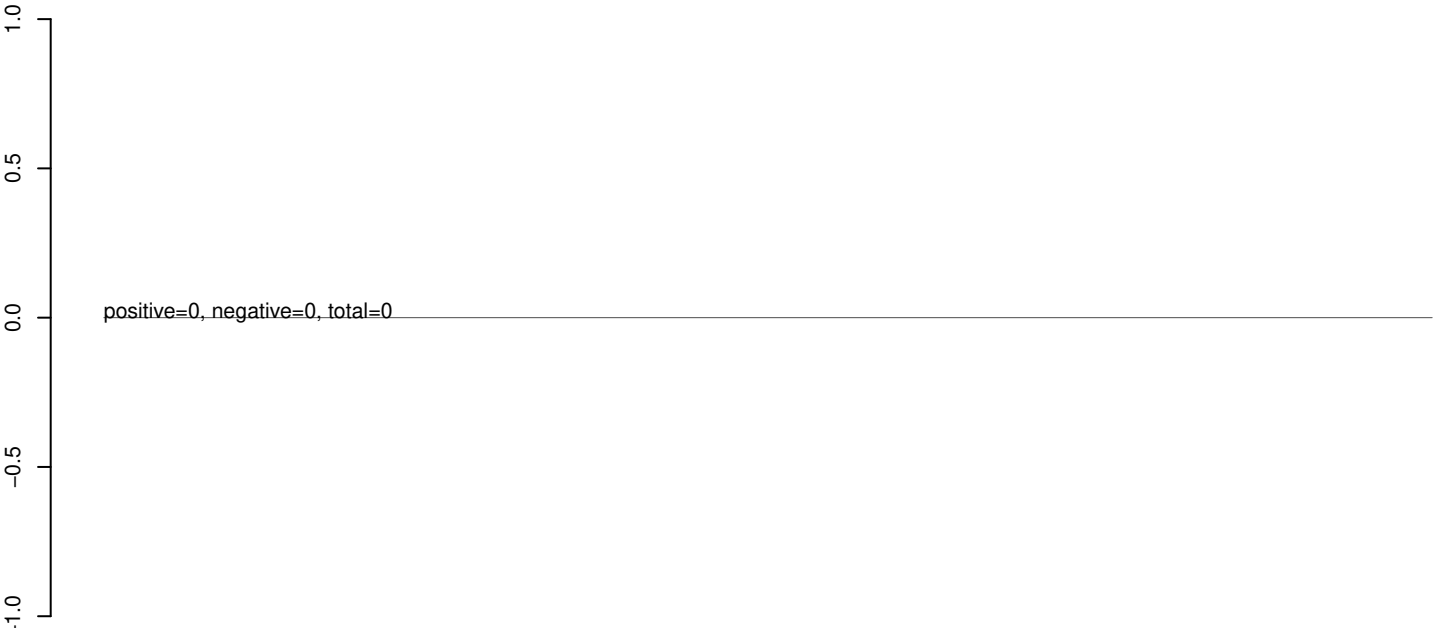
AeAeg_Aag2_Ago3_SINV_RA.rep



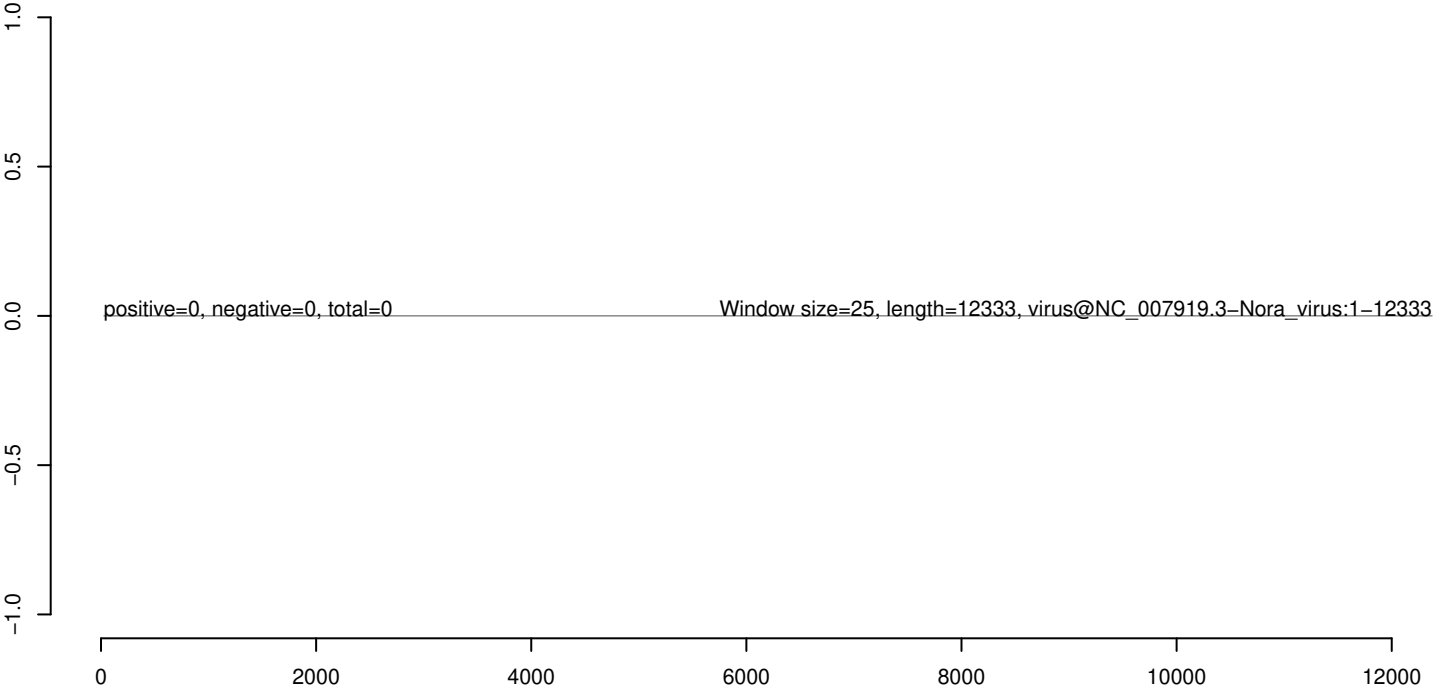
AeAeg_Aag2_Ago3_SINV_RA.18_23.rep



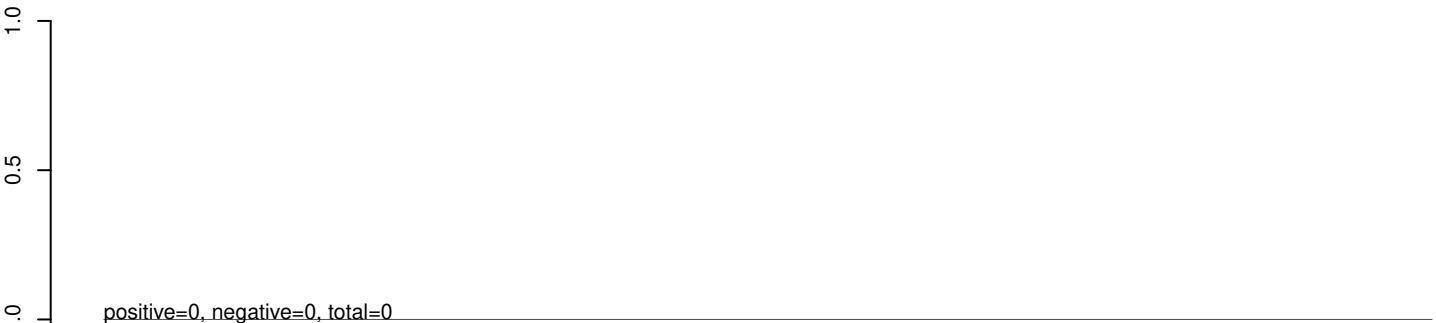
AeAeg_Aag2_Ago3_SINV_RA.24_35.rep



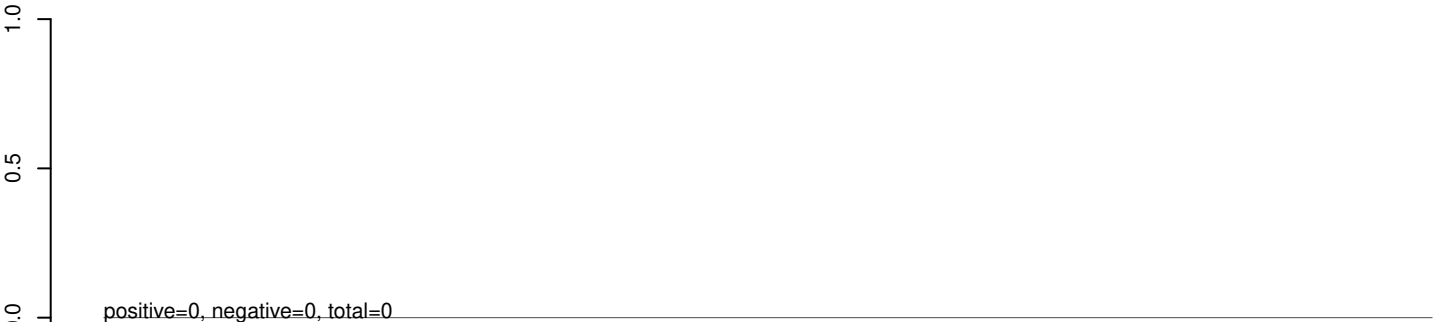
AeAeg_Aag2_Ago3_SINV_RA.rep



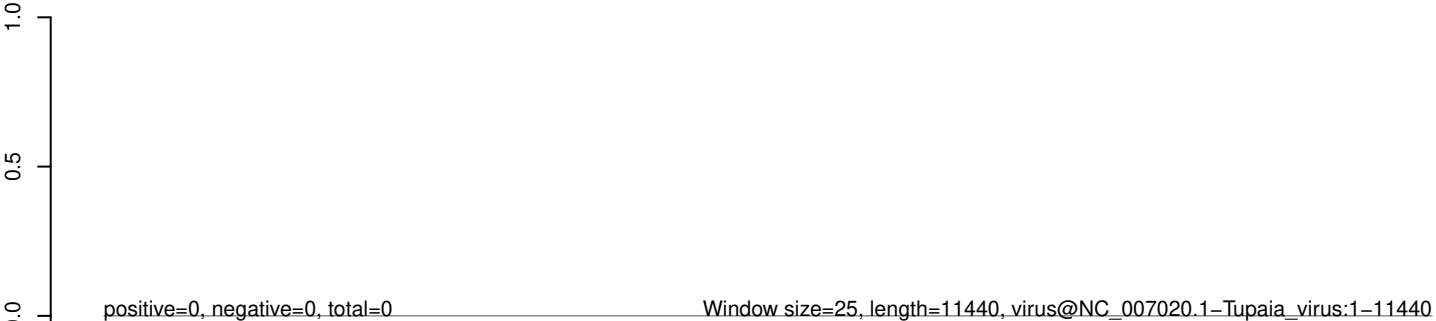
AeAeg_Aag2_Ago3_SINV_RA.18_23.rep



AeAeg_Aag2_Ago3_SINV_RA.24_35.rep

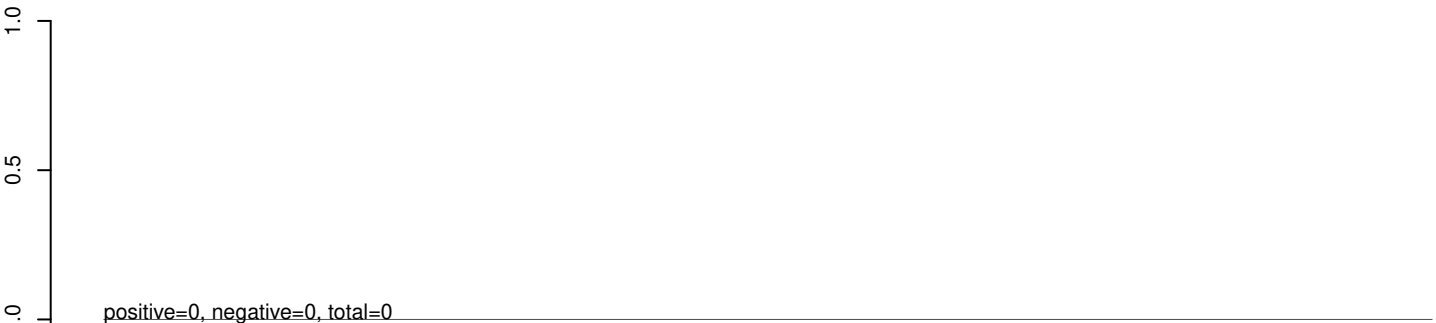


AeAeg_Aag2_Ago3_SINV_RA.rep

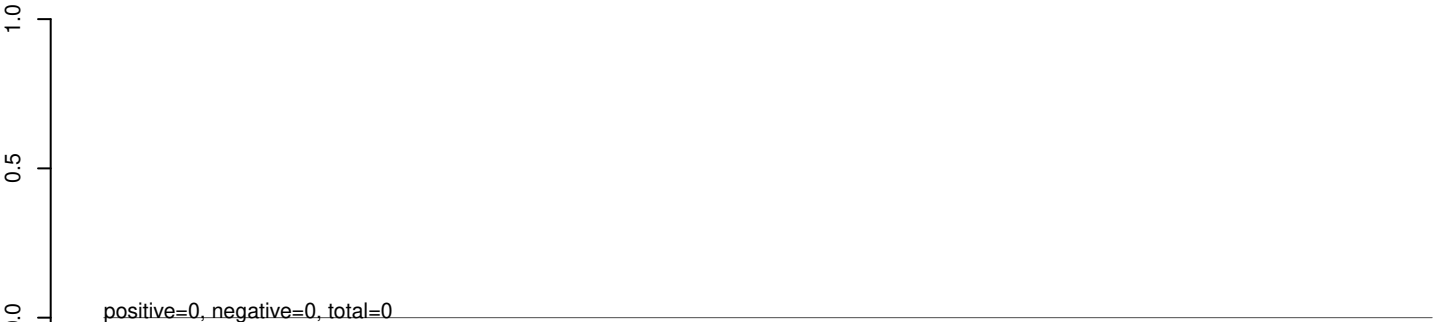


0 2000 4000 6000 8000 10000

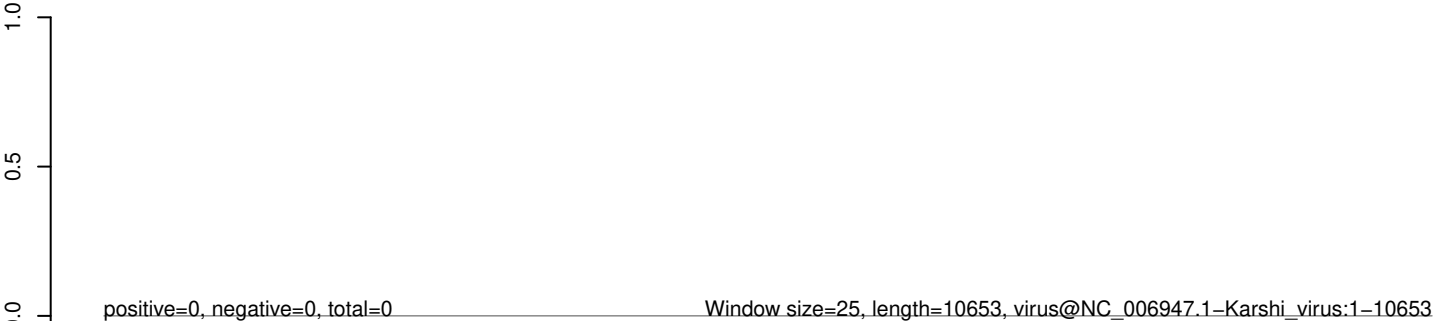
AeAeg_Aag2_Ago3_SINV_RA.18_23.rep



AeAeg_Aag2_Ago3_SINV_RA.24_35.rep



AeAeg_Aag2_Ago3_SINV_RA.rep



0 2000 4000 6000 8000 10000

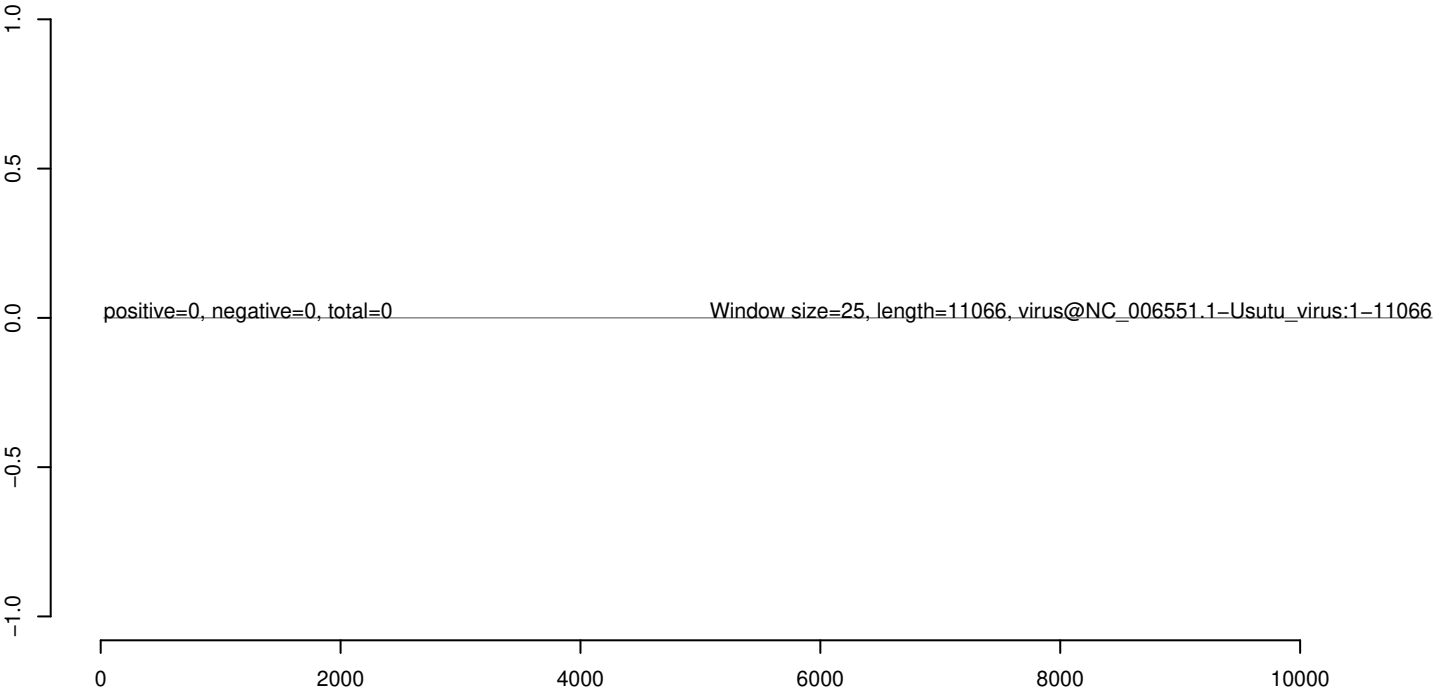
AeAeg_Aag2_Ago3_SINV_RA.18_23.rep



AeAeg_Aag2_Ago3_SINV_RA.24_35.rep



AeAeg_Aag2_Ago3_SINV_RA.rep



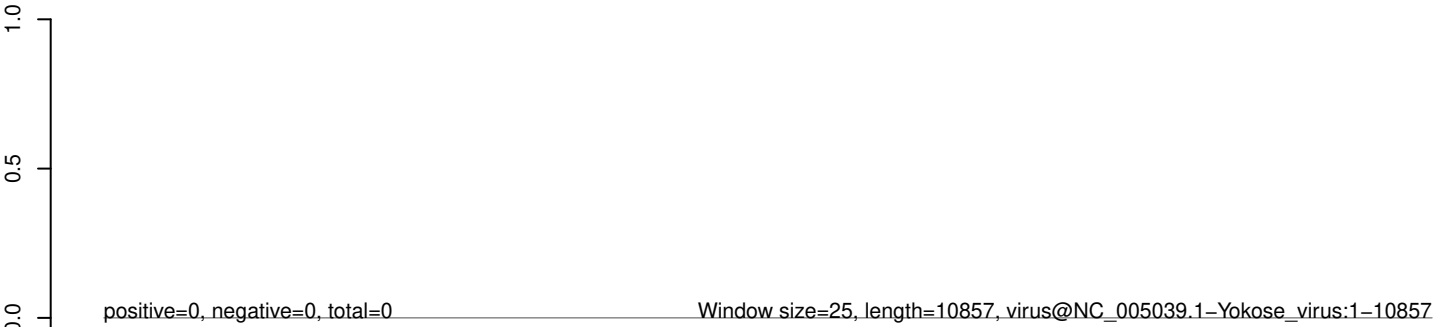
AeAeg_Aag2_Ago3_SINV_RA.18_23.rep



AeAeg_Aag2_Ago3_SINV_RA.24_35.rep



AeAeg_Aag2_Ago3_SINV_RA.rep



0 2000 4000 6000 8000 10000

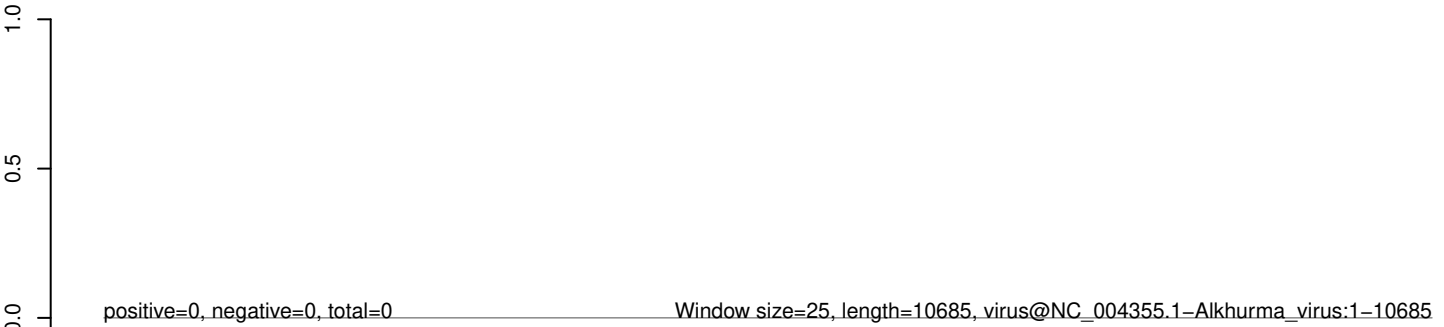
AeAeg_Aag2_Ago3_SINV_RA.18_23.rep



AeAeg_Aag2_Ago3_SINV_RA.24_35.rep



AeAeg_Aag2_Ago3_SINV_RA.rep



0 2000 4000 6000 8000 10000

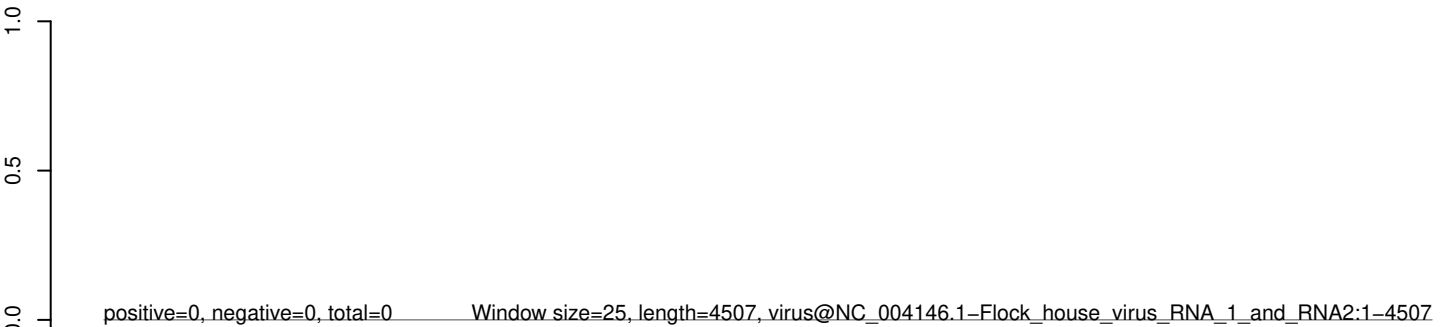
AeAeg_Aag2_Ago3_SINV_RA.18_23.rep



AeAeg_Aag2_Ago3_SINV_RA.24_35.rep



AeAeg_Aag2_Ago3_SINV_RA.rep



0 1000 2000 3000 4000

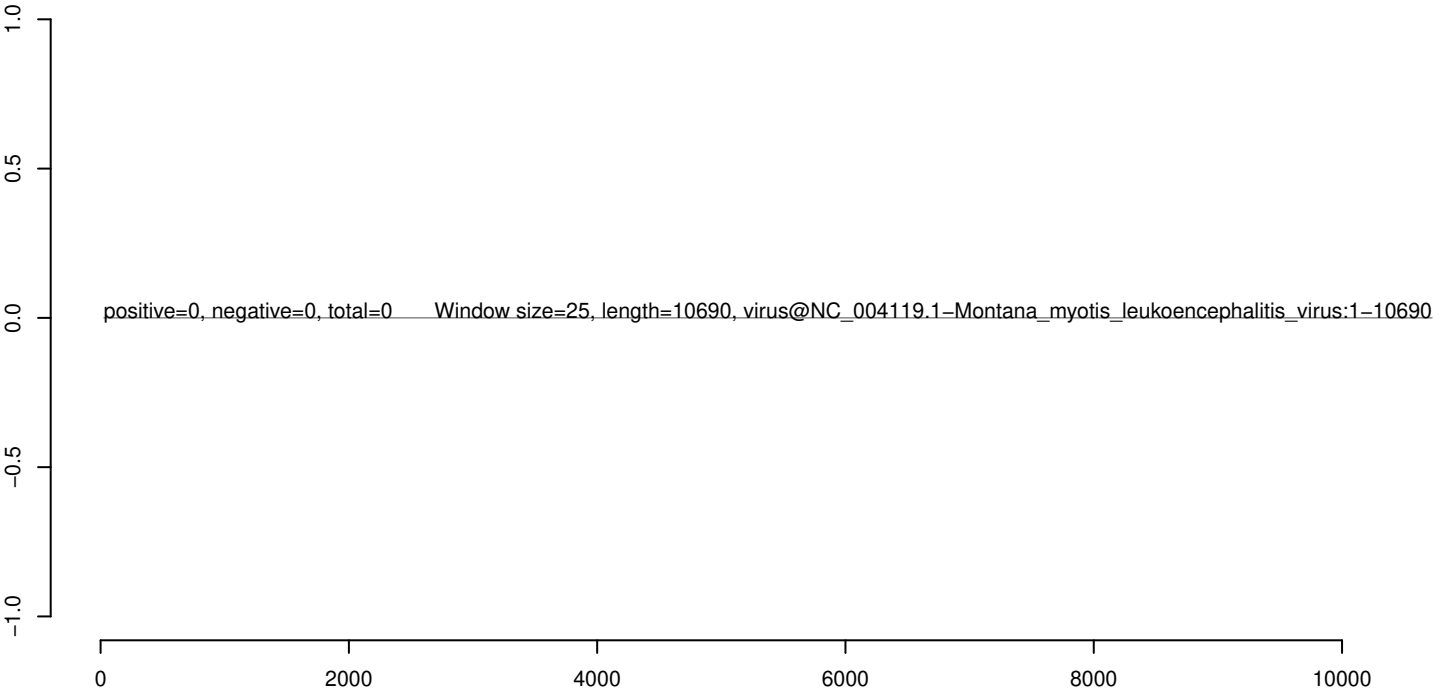
AeAeg_Aag2_Ago3_SINV_RA.18_23.rep



AeAeg_Aag2_Ago3_SINV_RA.24_35.rep



AeAeg_Aag2_Ago3_SINV_RA.rep



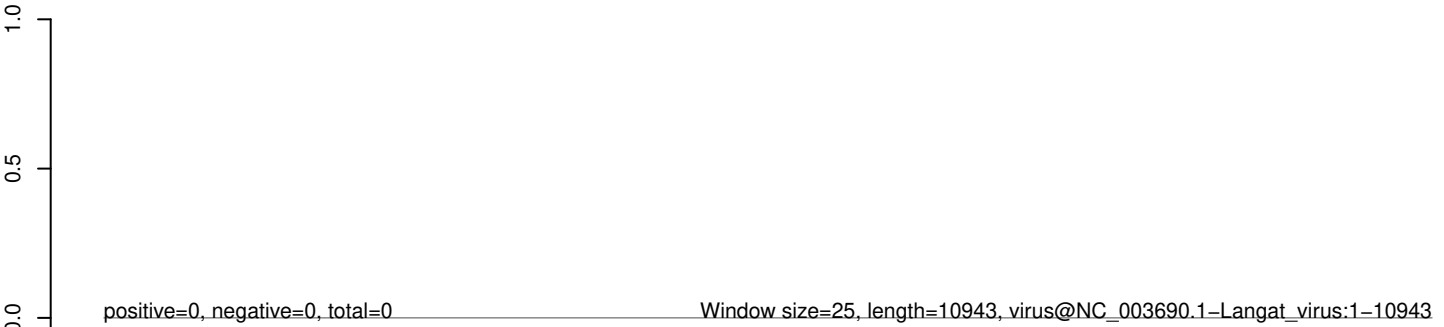
AeAeg_Aag2_Ago3_SINV_RA.18_23.rep



AeAeg_Aag2_Ago3_SINV_RA.24_35.rep



AeAeg_Aag2_Ago3_SINV_RA.rep



0 2000 4000 6000 8000 10000

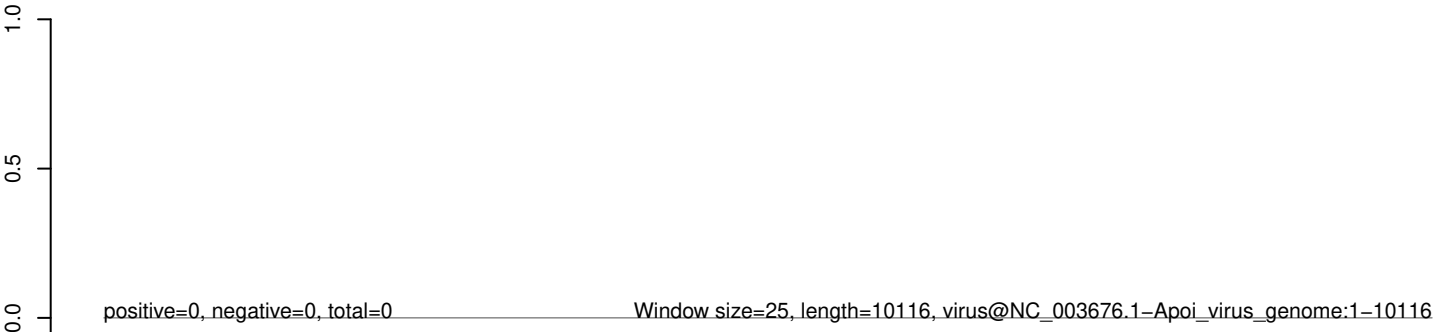
AeAeg_Aag2_Ago3_SINV_RA.18_23.rep



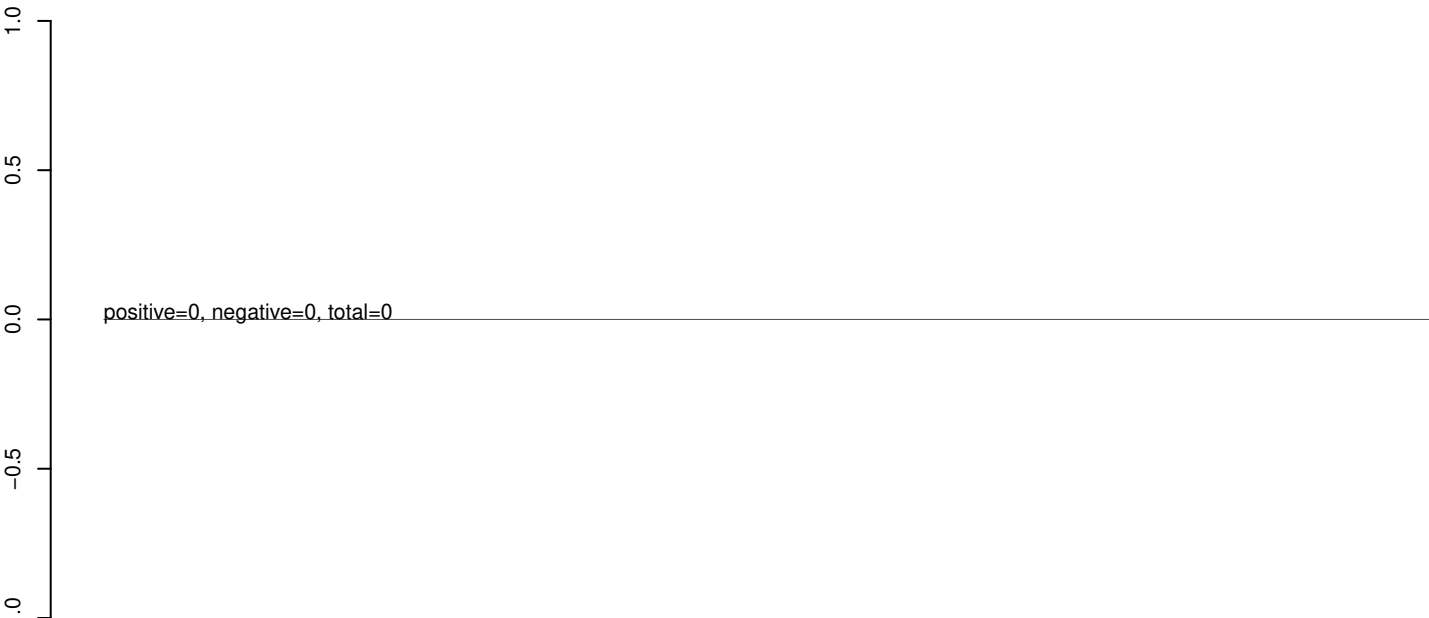
AeAeg_Aag2_Ago3_SINV_RA.24_35.rep



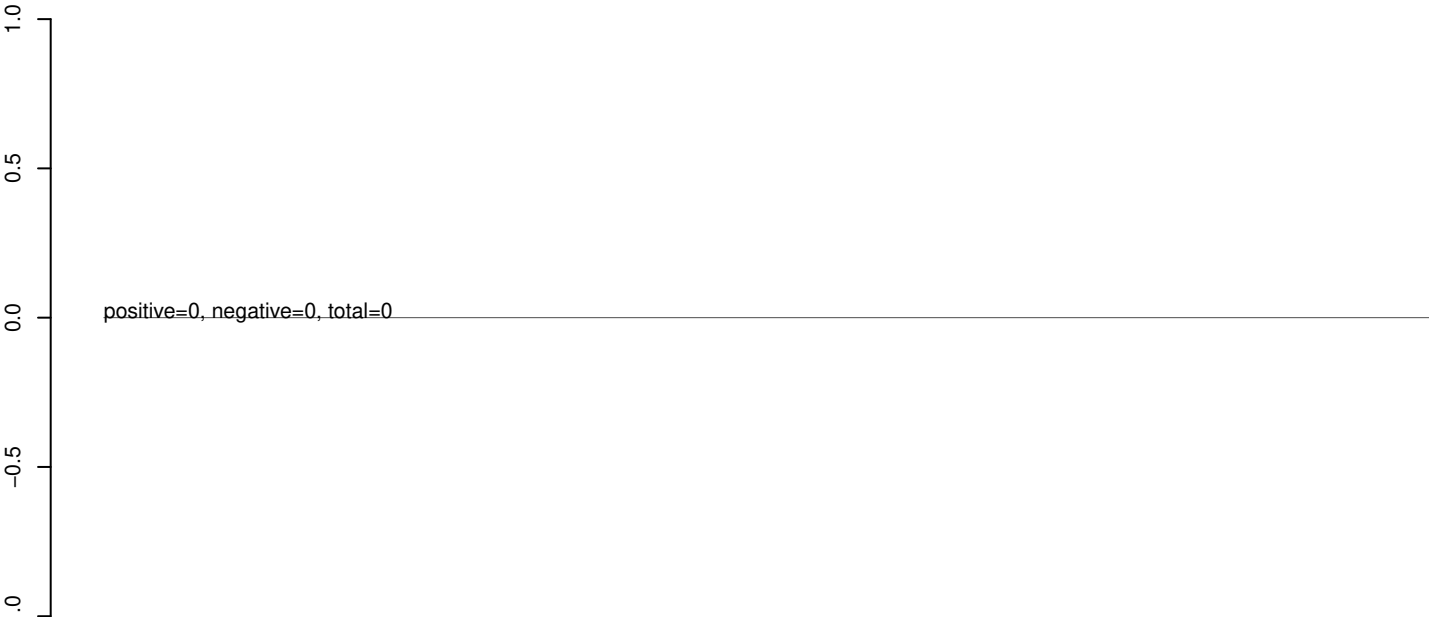
AeAeg_Aag2_Ago3_SINV_RA.rep



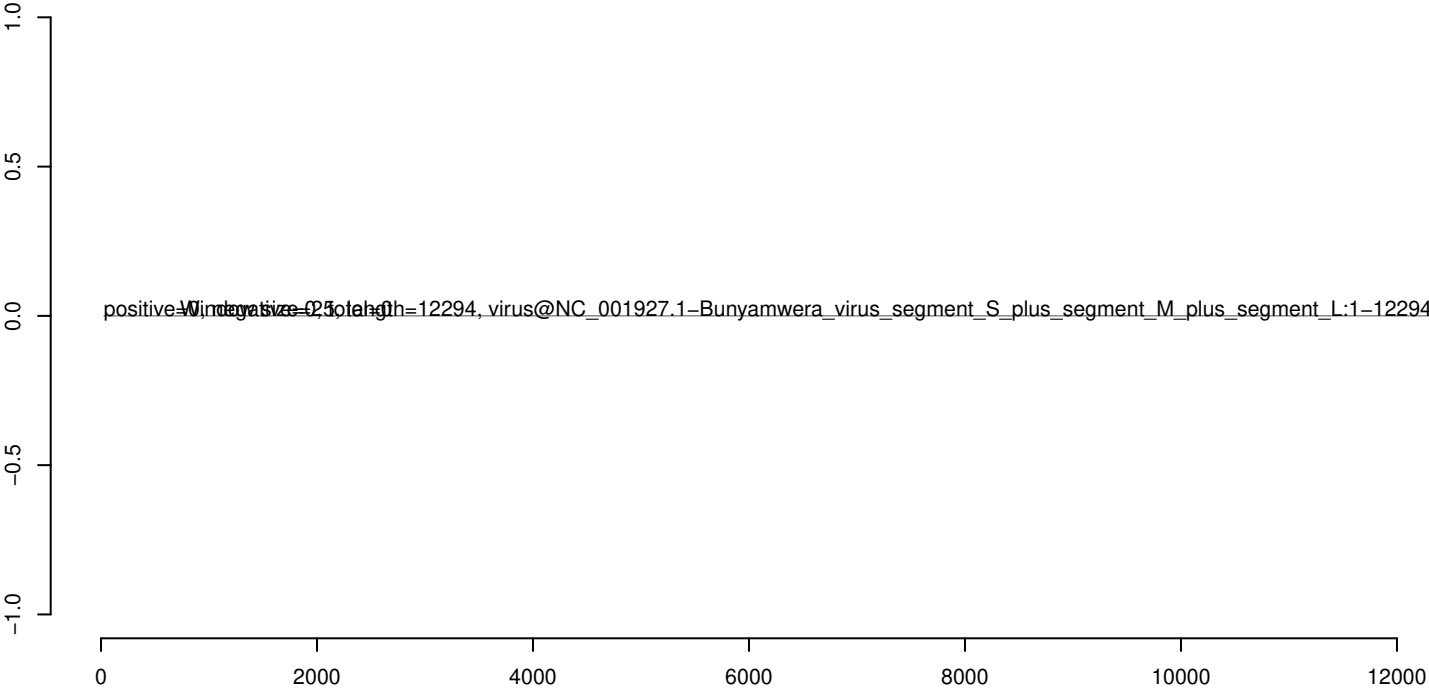
AeAeg_Aag2_Ago3_SINV_RA.18_23.rep



AeAeg_Aag2_Ago3_SINV_RA.24_35.rep



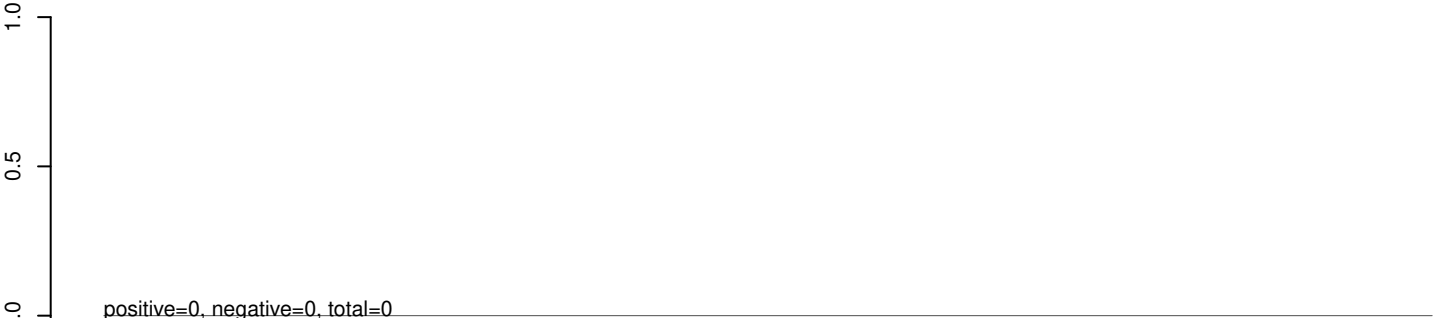
AeAeg_Aag2_Ago3_SINV_RA.rep



AeAeg_Aag2_Ago3_SINV_RA.18_23.rep



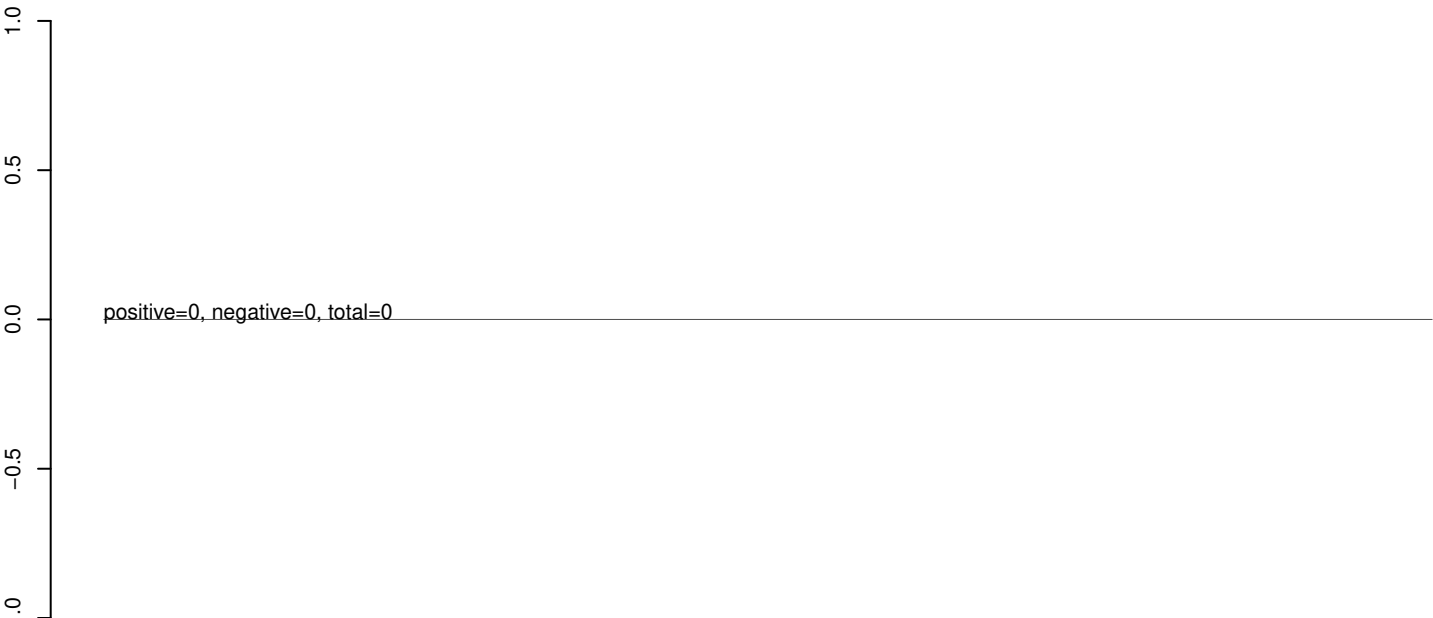
AeAeg_Aag2_Ago3_SINV_RA.24_35.rep



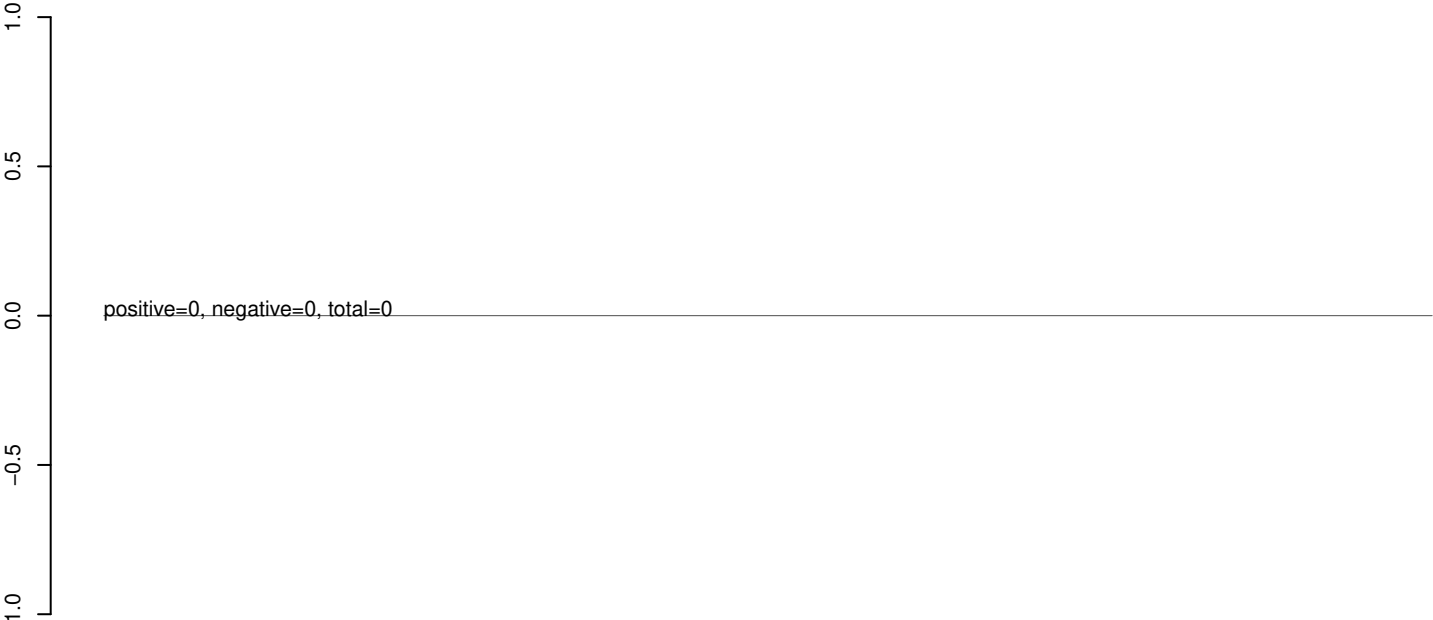
AeAeg_Aag2_Ago3_SINV_RA.rep



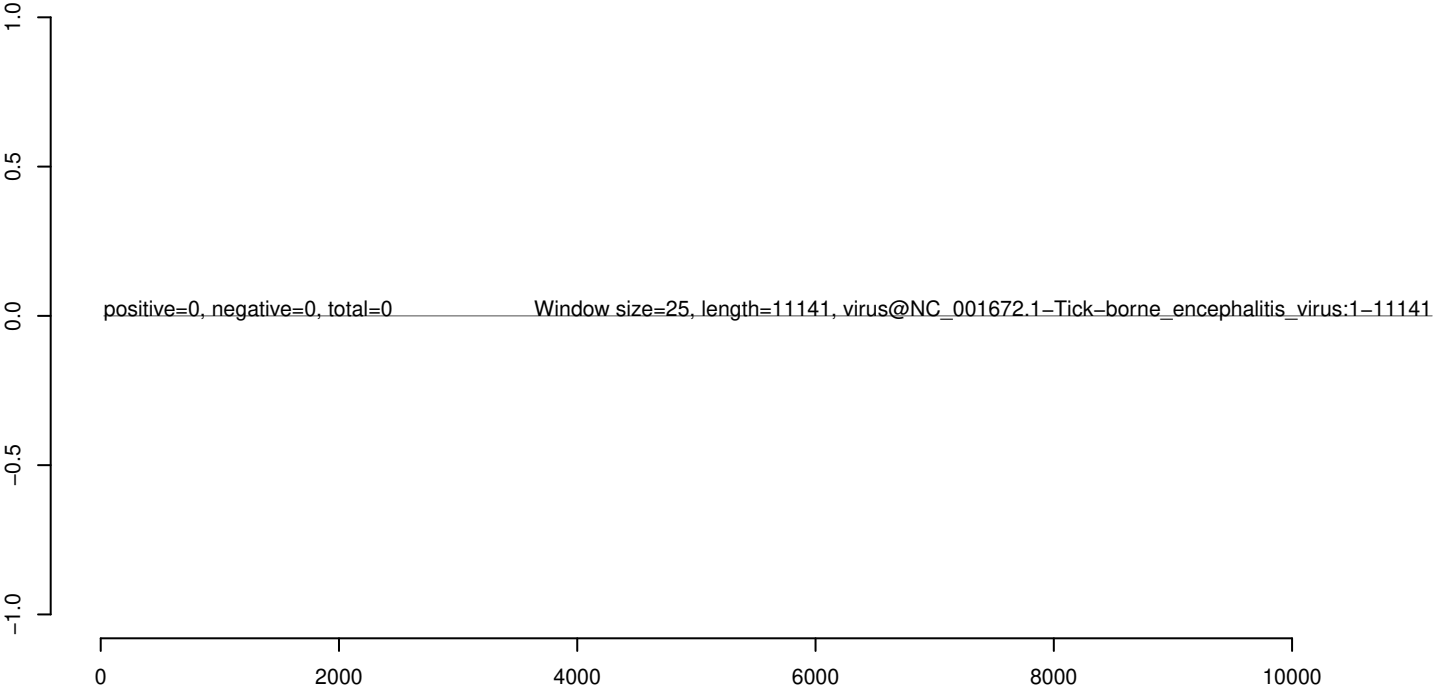
AeAeg_Aag2_Ago3_SINV_RA.18_23.rep



AeAeg_Aag2_Ago3_SINV_RA.24_35.rep



AeAeg_Aag2_Ago3_SINV_RA.rep



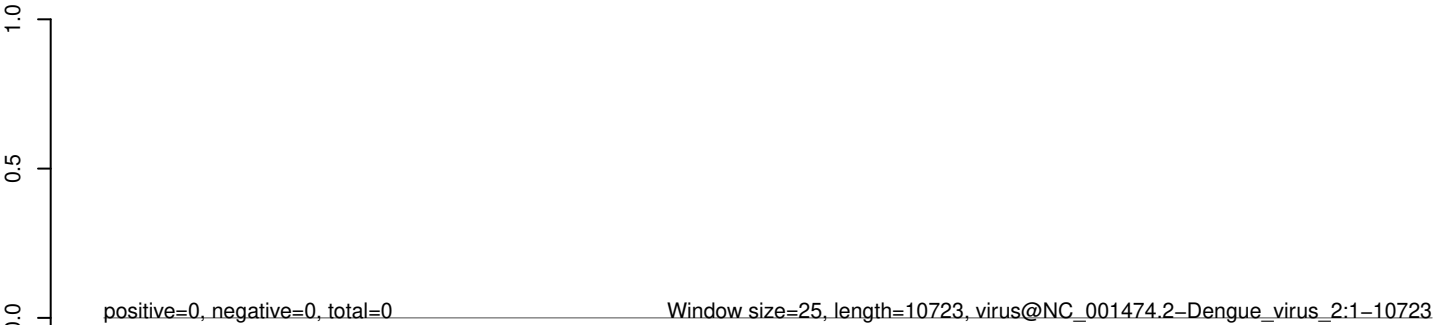
AeAeg_Aag2_Ago3_SINV_RA.18_23.rep



AeAeg_Aag2_Ago3_SINV_RA.24_35.rep

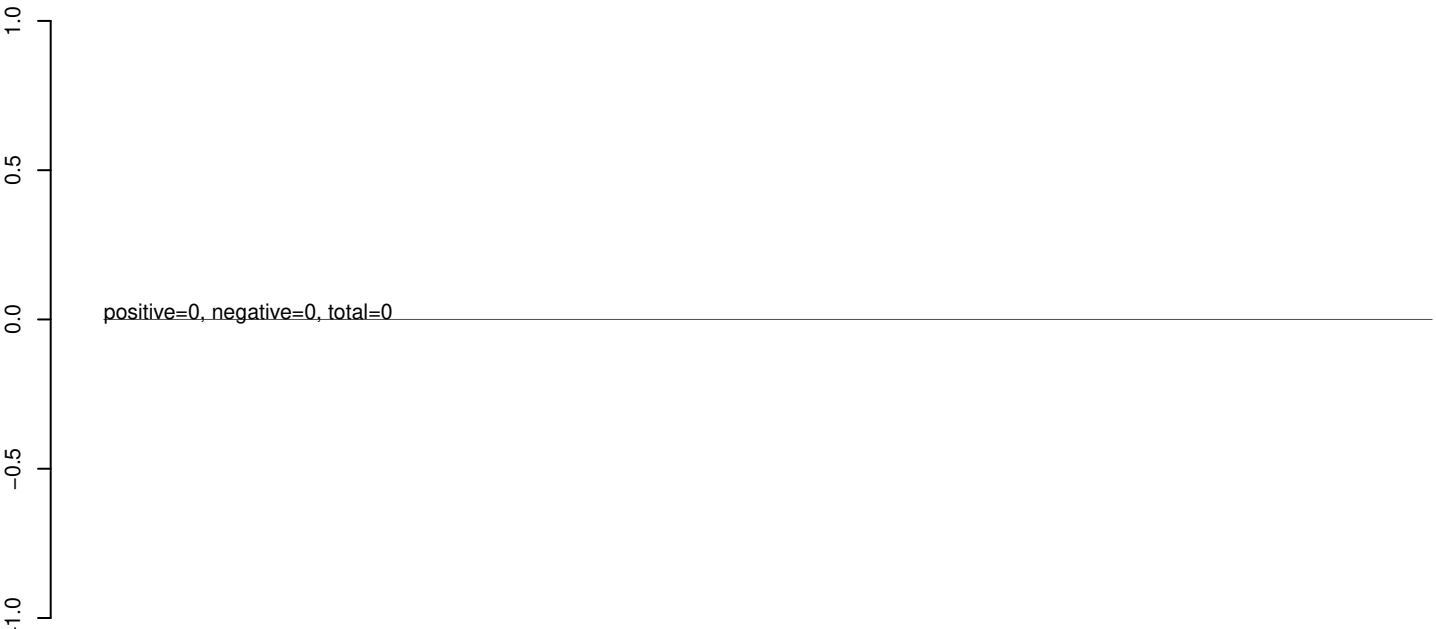


AeAeg_Aag2_Ago3_SINV_RA.rep

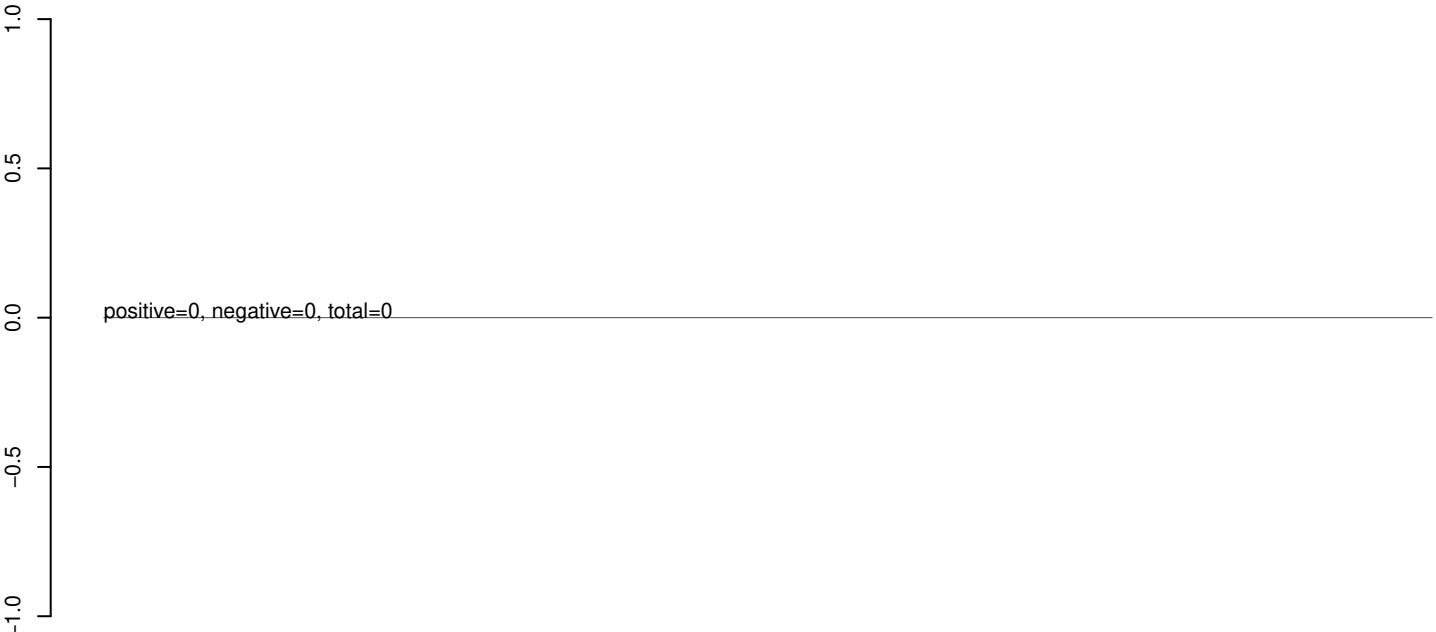


0 2000 4000 6000 8000 10000

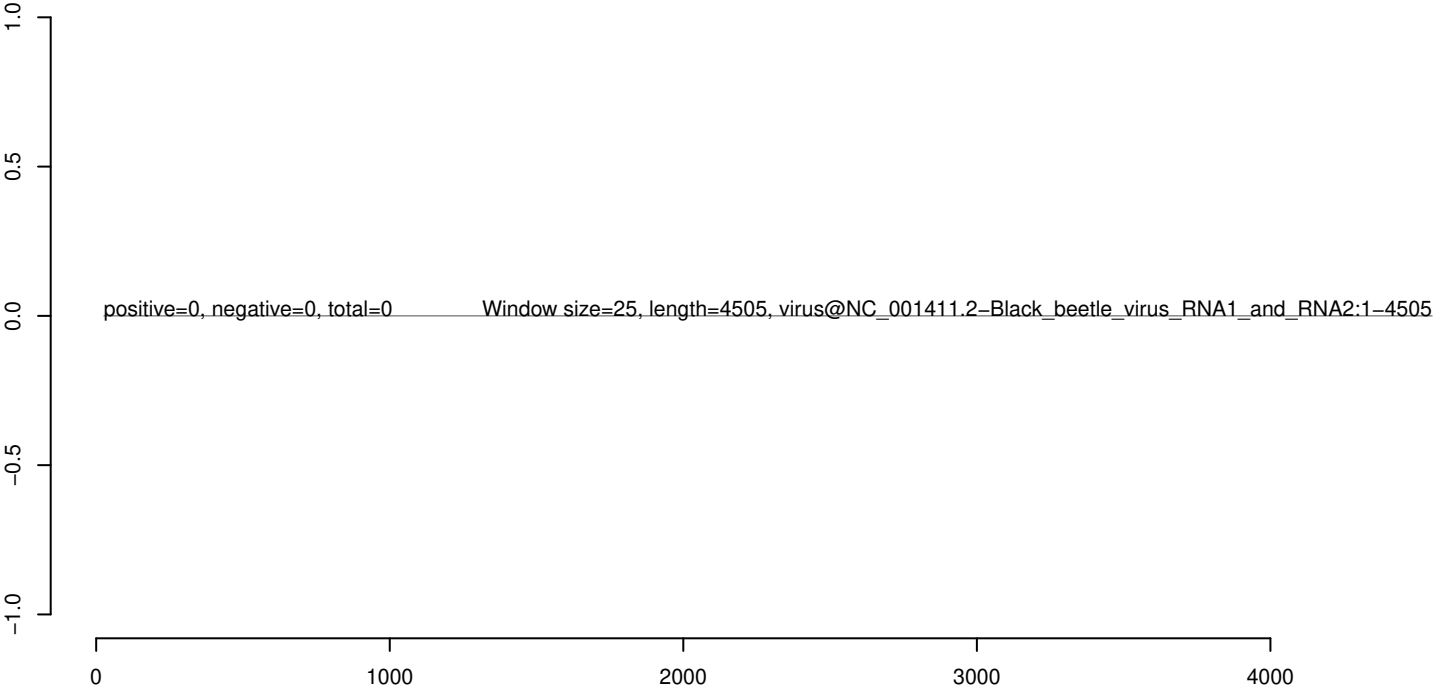
AeAeg_Aag2_Ago3_SINV_RA.18_23.rep



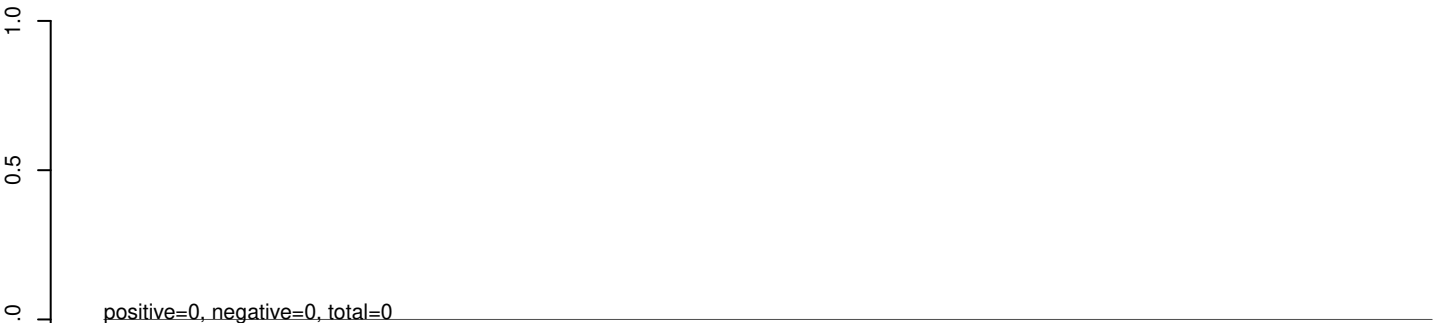
AeAeg_Aag2_Ago3_SINV_RA.24_35.rep



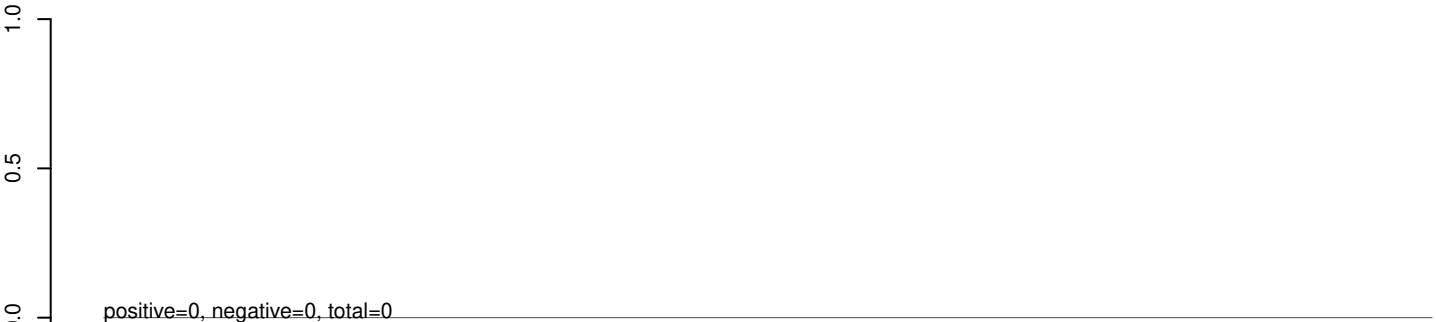
AeAeg_Aag2_Ago3_SINV_RA.rep



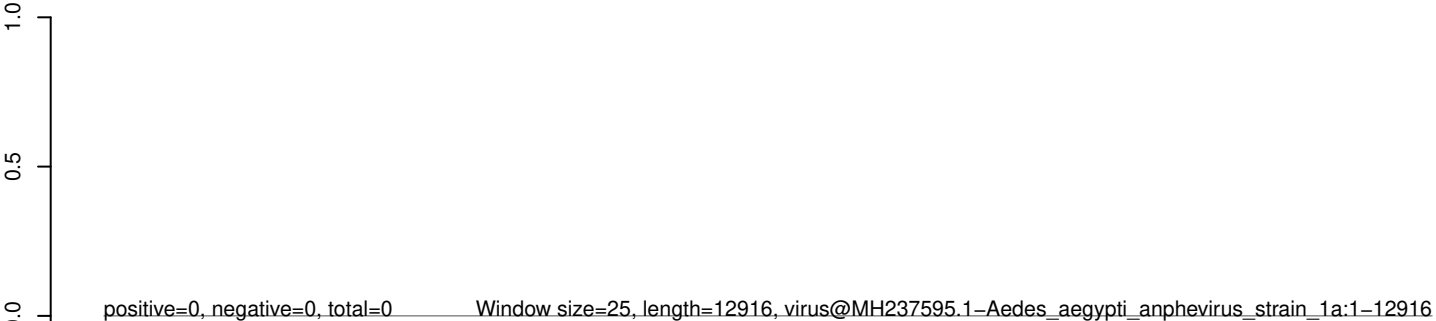
AeAeg_Aag2_Ago3_SINV_RA.18_23.rep



AeAeg_Aag2_Ago3_SINV_RA.24_35.rep



AeAeg_Aag2_Ago3_SINV_RA.rep



0 2000 4000 6000 8000 10000 12000

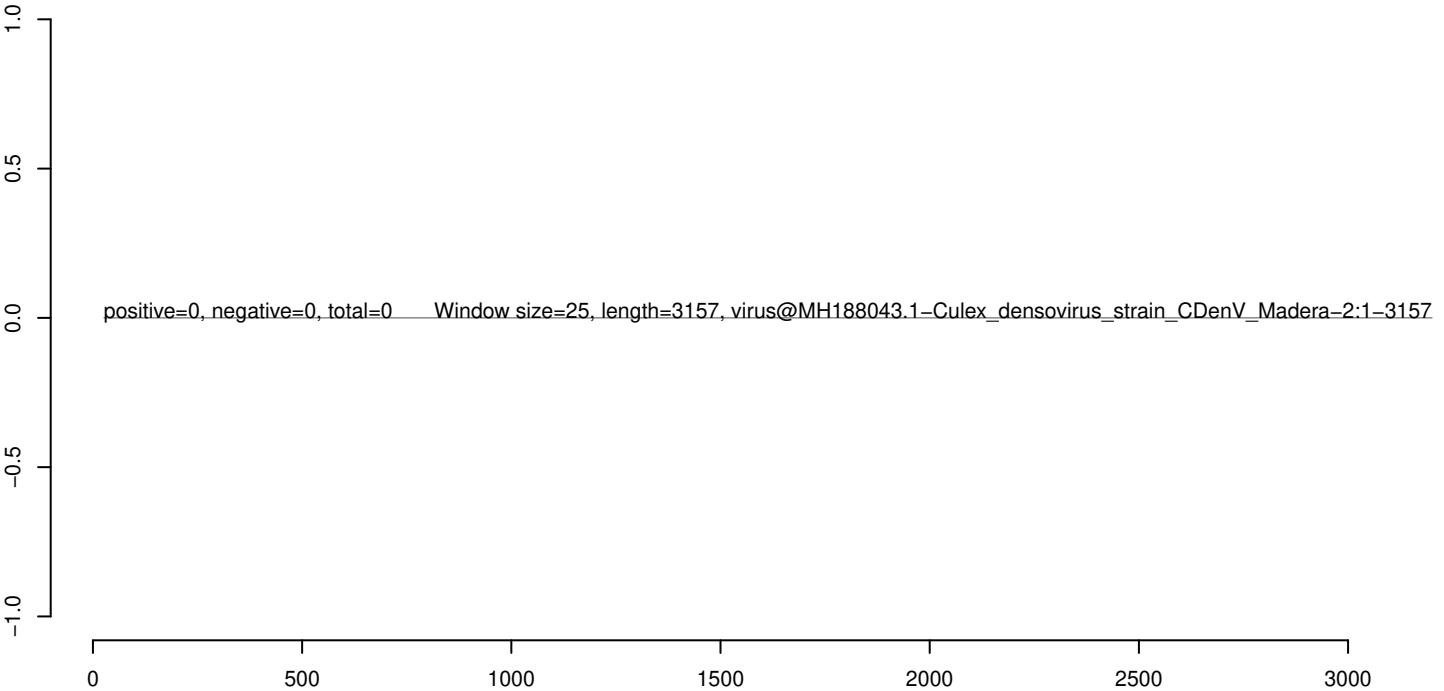
AeAeg_Aag2_Ago3_SINV_RA.18_23.rep



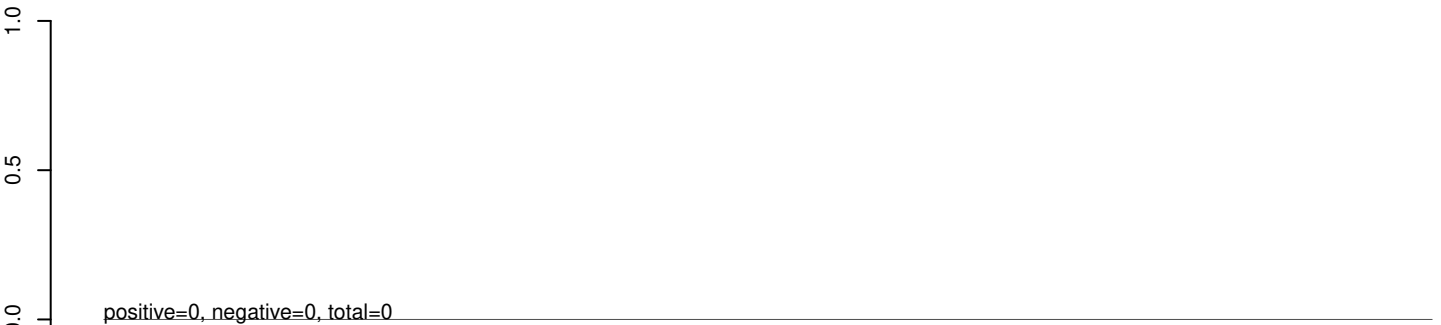
AeAeg_Aag2_Ago3_SINV_RA.24_35.rep



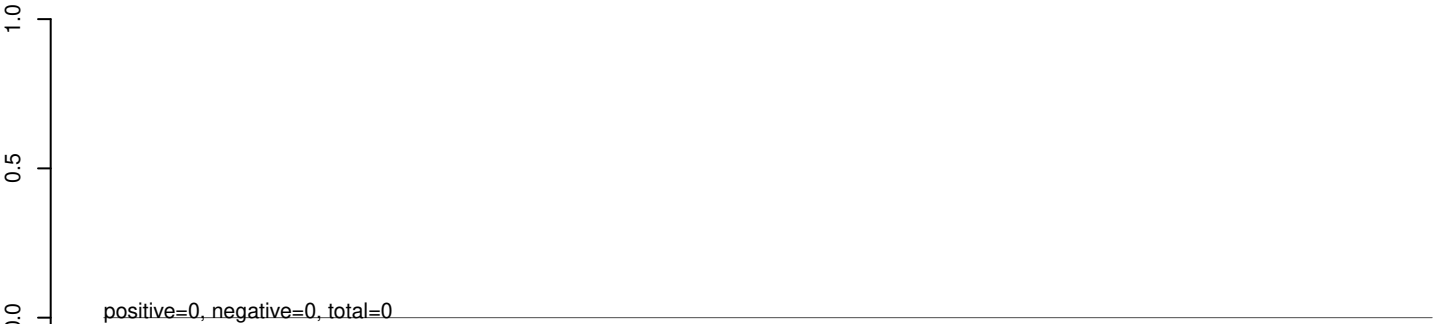
AeAeg_Aag2_Ago3_SINV_RA.rep



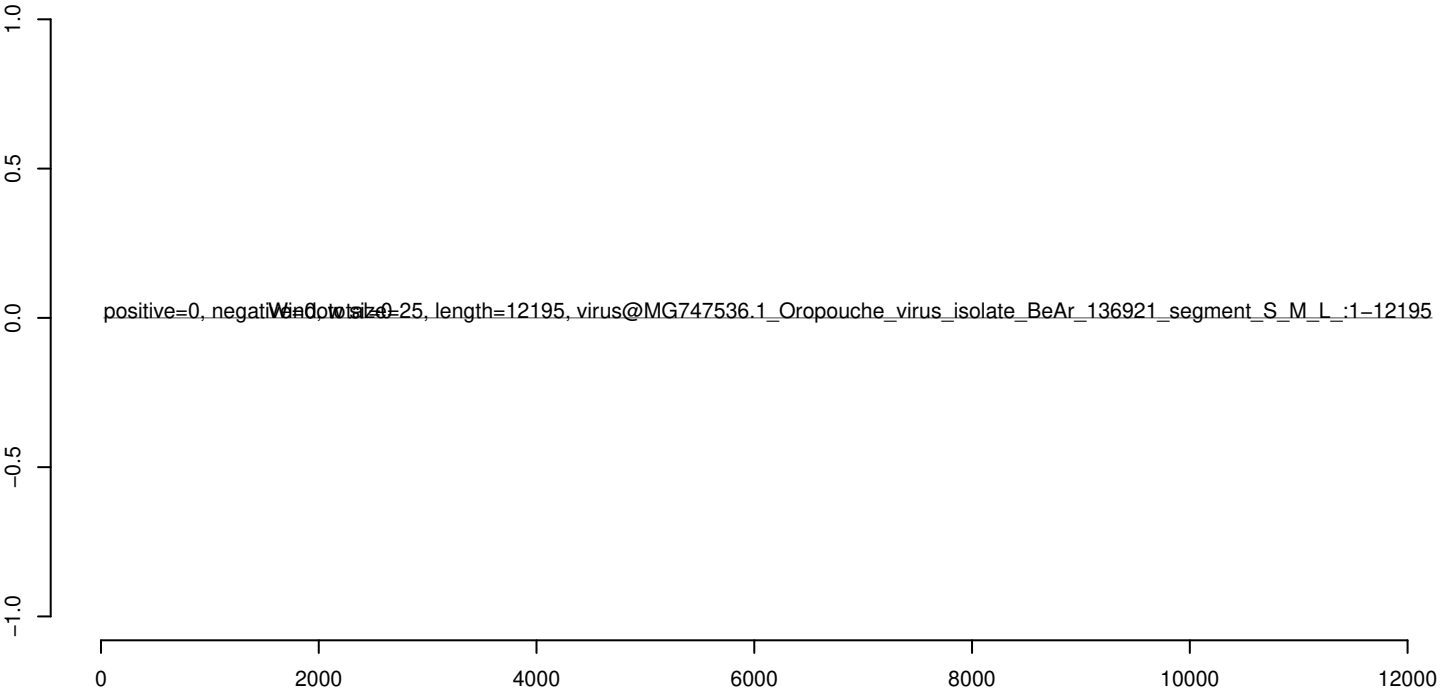
AeAeg_Aag2_Ago3_SINV_RA.18_23.rep



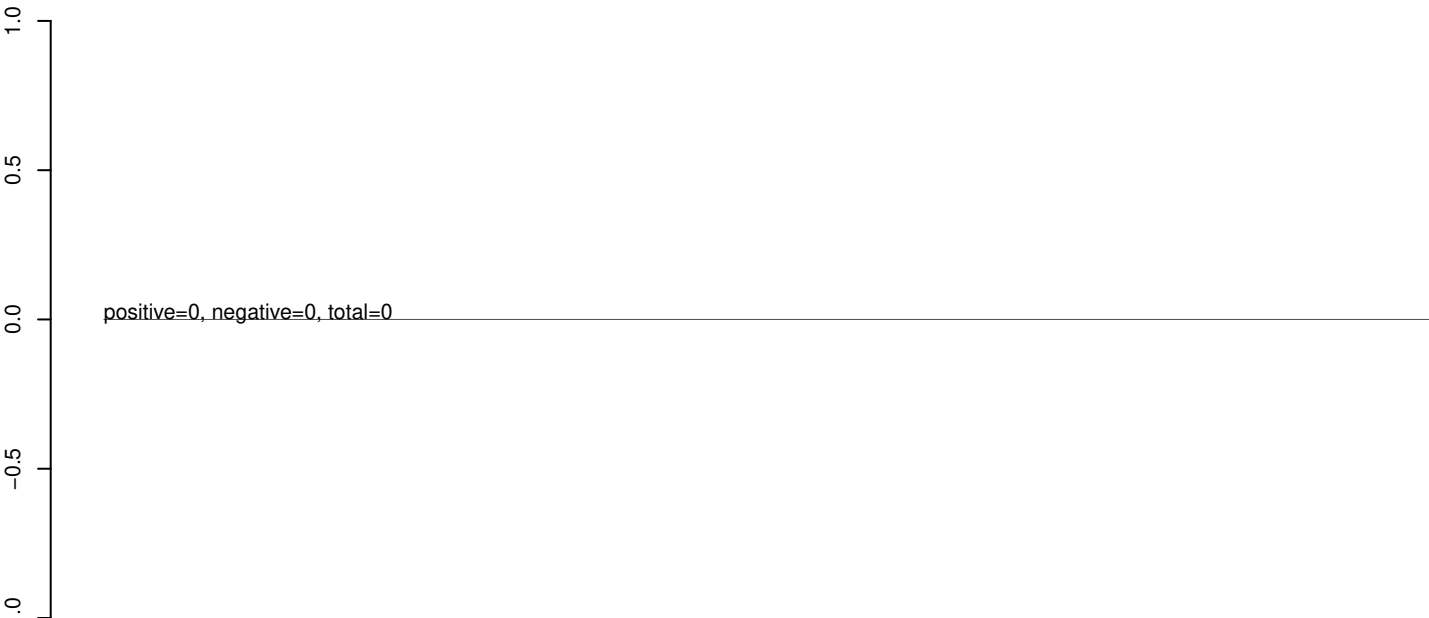
AeAeg_Aag2_Ago3_SINV_RA.24_35.rep



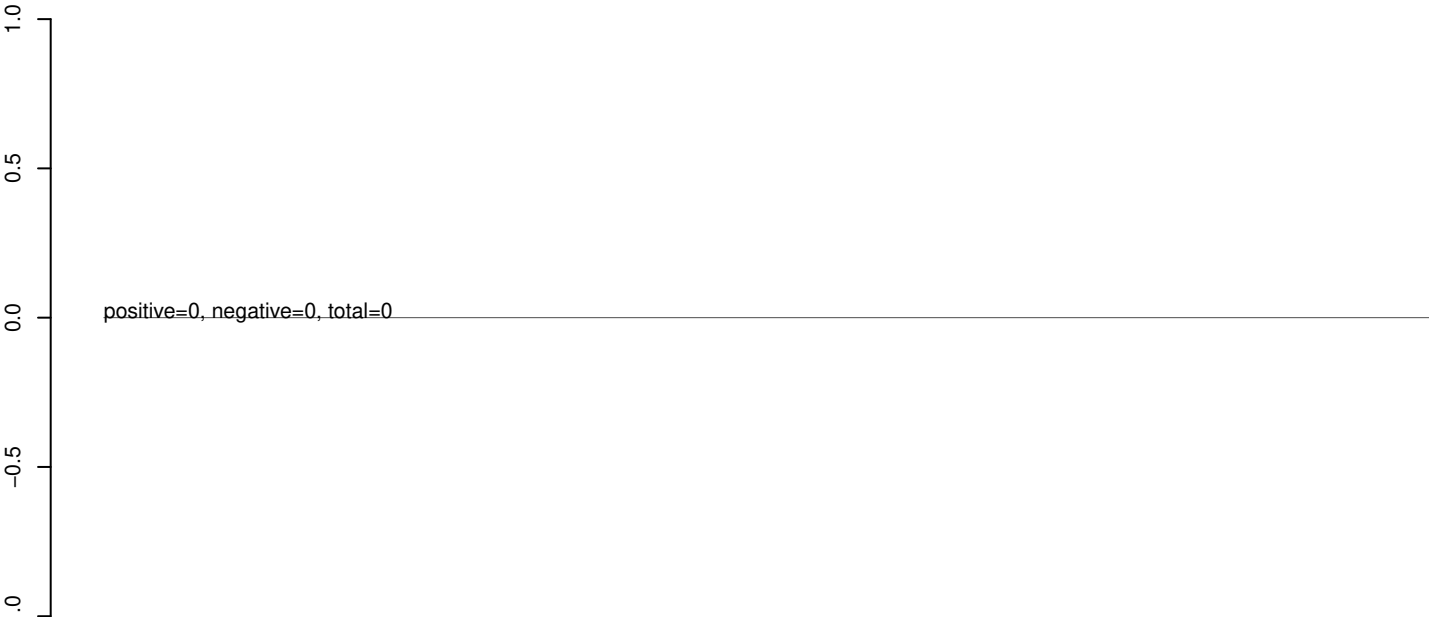
AeAeg_Aag2_Ago3_SINV_RA.rep



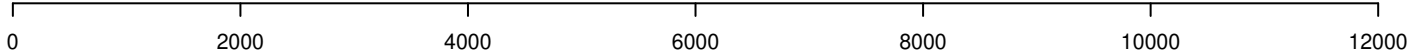
AeAeg_Aag2_Ago3_SINV_RA.18_23.rep



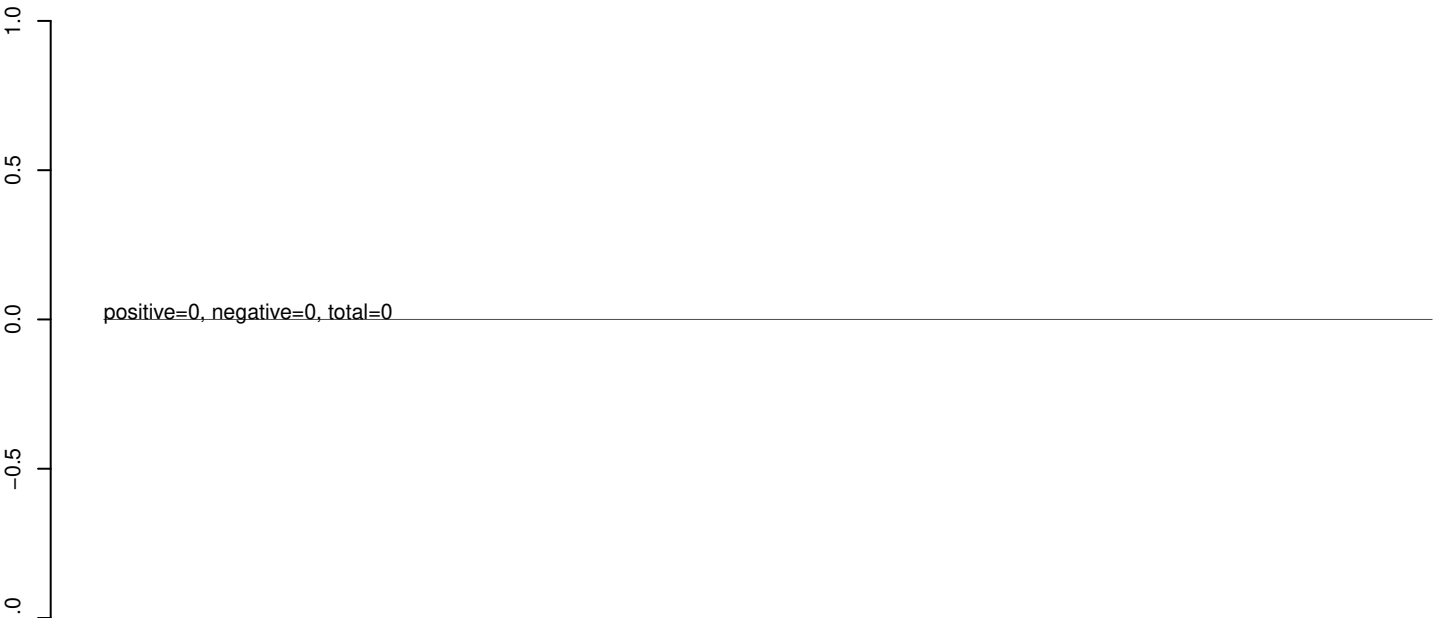
AeAeg_Aag2_Ago3_SINV_RA.24_35.rep



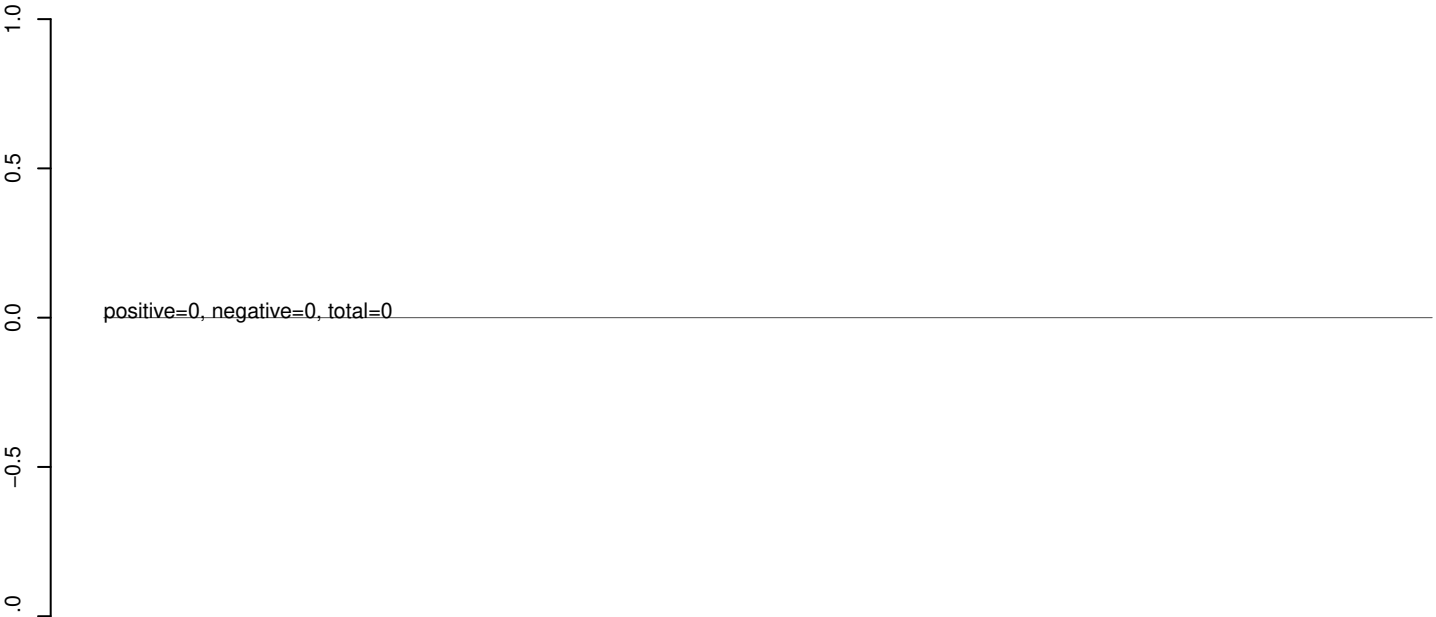
AeAeg_Aag2_Ago3_SINV_RA.rep



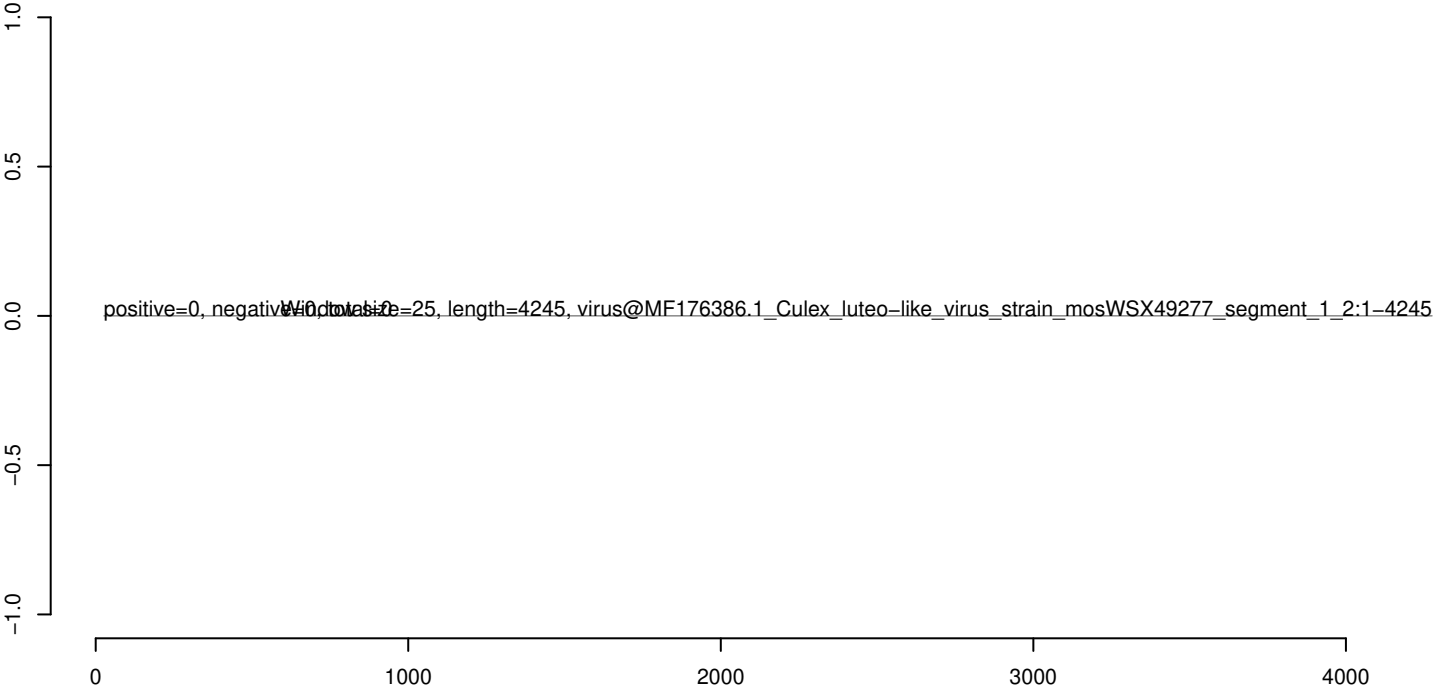
AeAeg_Aag2_Ago3_SINV_RA.18_23.rep



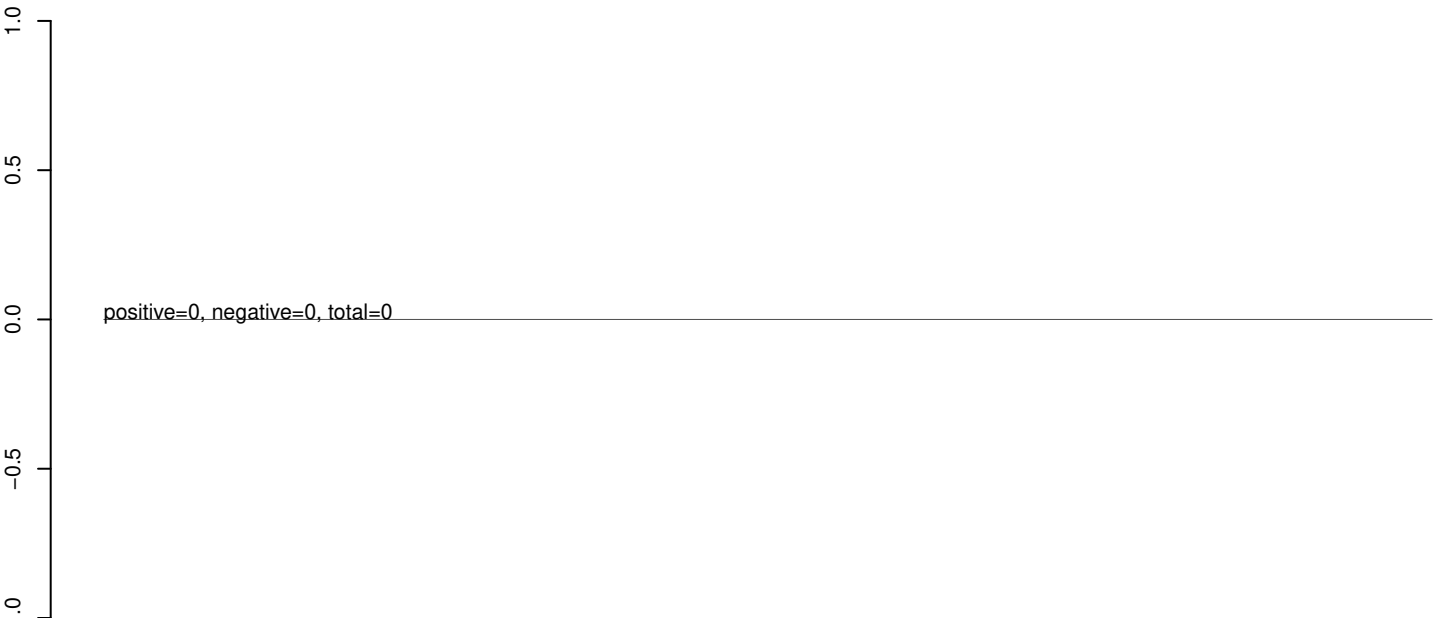
AeAeg_Aag2_Ago3_SINV_RA.24_35.rep



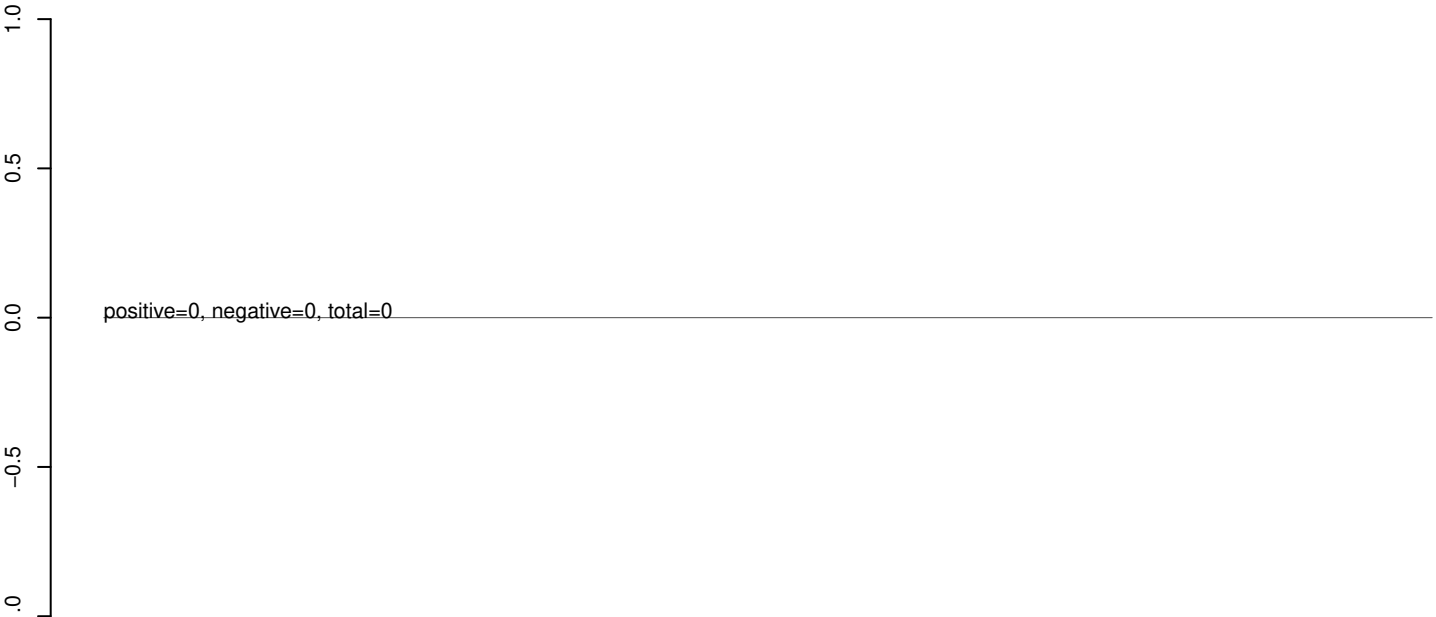
AeAeg_Aag2_Ago3_SINV_RA.rep



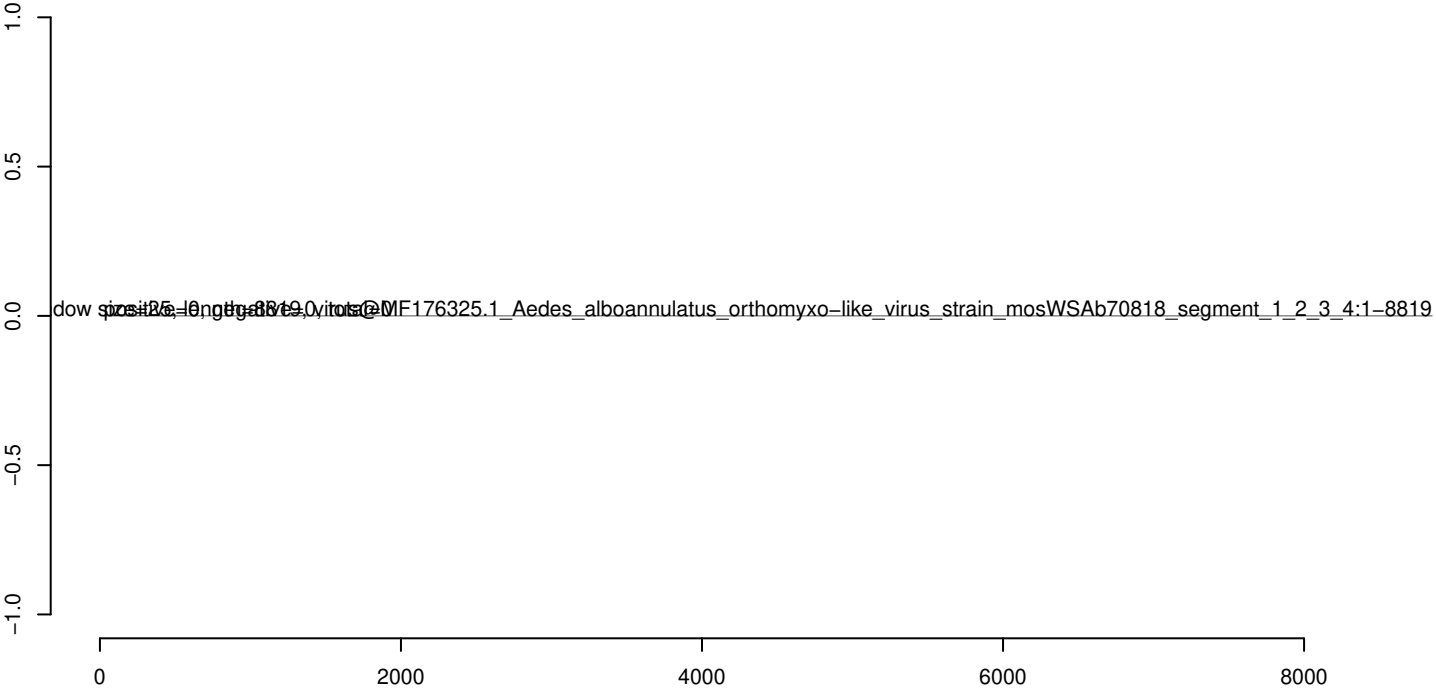
AeAeg_Aag2_Ago3_SINV_RA.18_23.rep



AeAeg_Aag2_Ago3_SINV_RA.24_35.rep



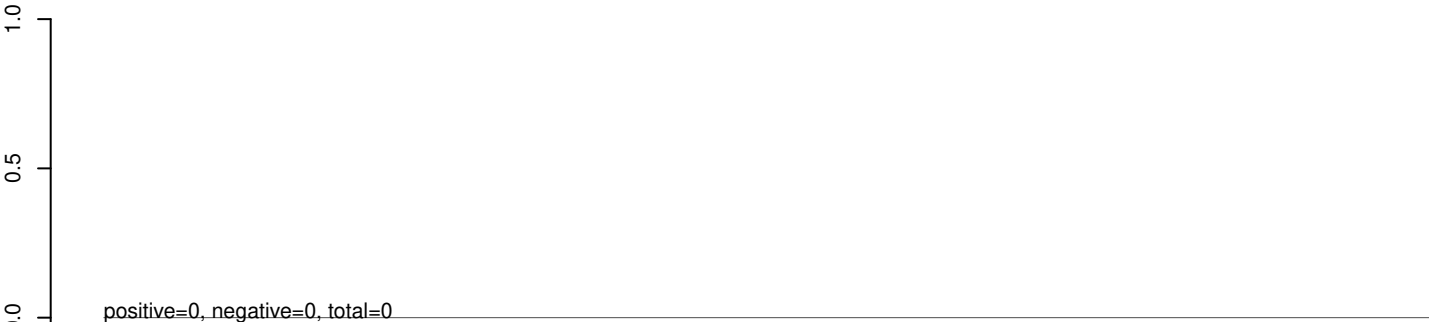
AeAeg_Aag2_Ago3_SINV_RA.rep



AeAeg_Aag2_Ago3_SINV_RA.18_23.rep



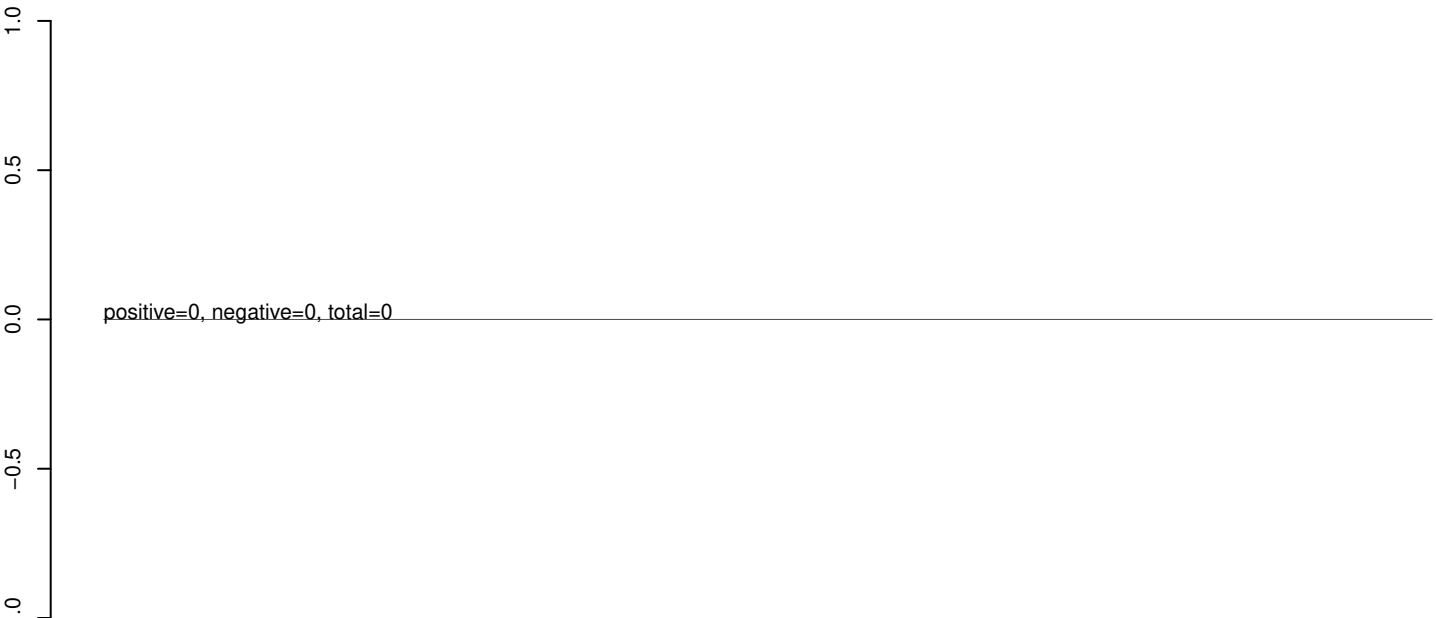
AeAeg_Aag2_Ago3_SINV_RA.24_35.rep



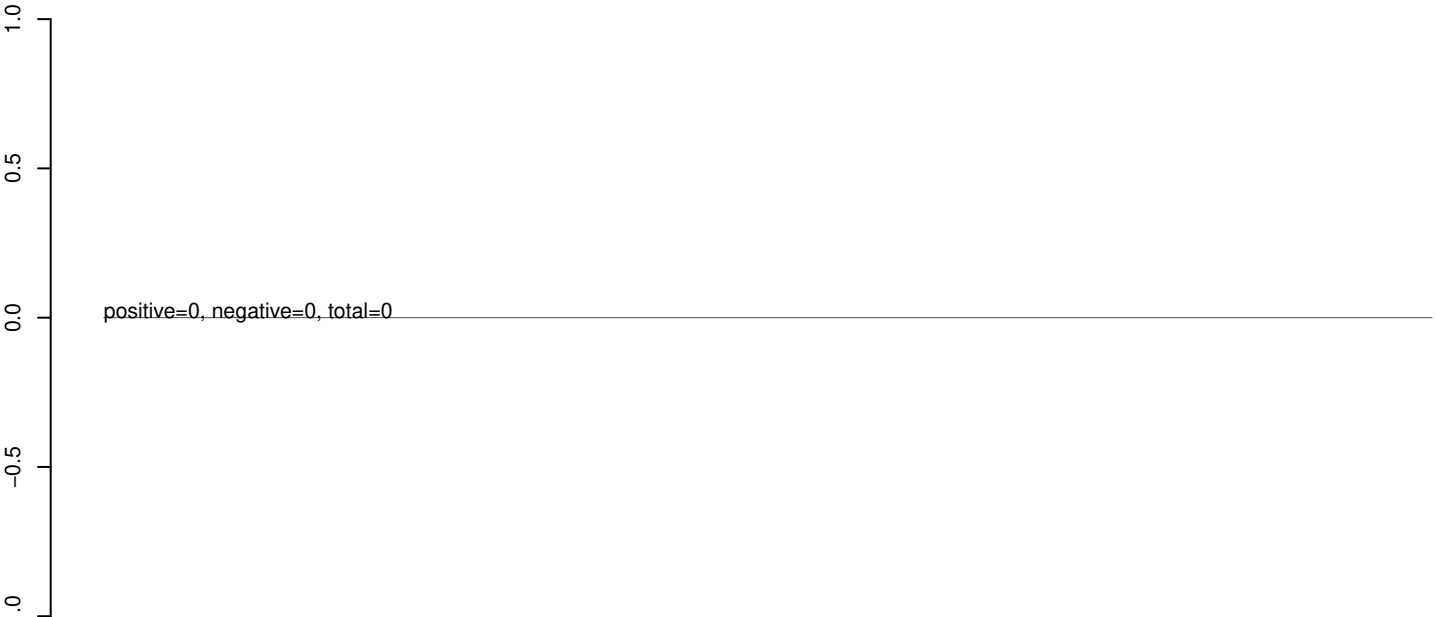
AeAeg_Aag2_Ago3_SINV_RA.rep



AeAeg_Aag2_Ago3_SINV_RA.18_23.rep



AeAeg_Aag2_Ago3_SINV_RA.24_35.rep



AeAeg_Aag2_Ago3_SINV_RA.rep



AeAeg_Aag2_Ago3_SINV_RA.18_23.rep



AeAeg_Aag2_Ago3_SINV_RA.24_35.rep



AeAeg_Aag2_Ago3_SINV_RA.rep



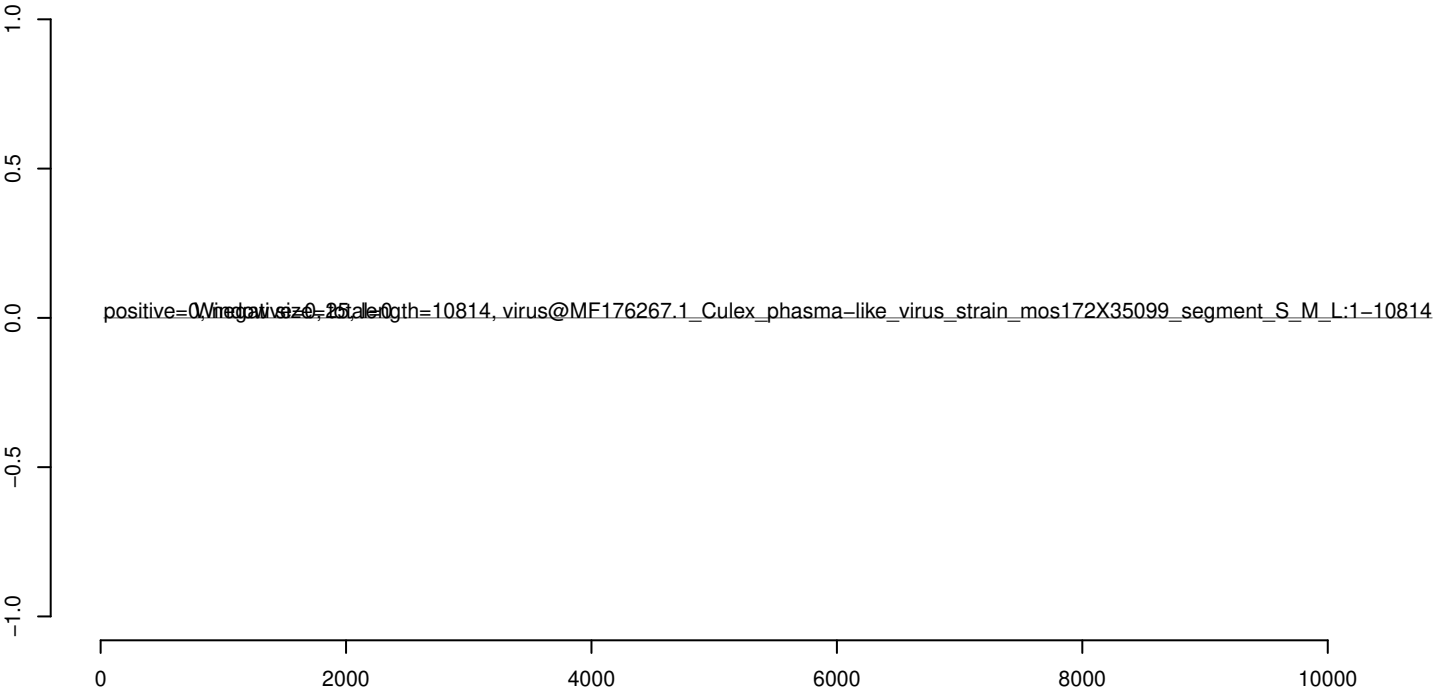
AeAeg_Aag2_Ago3_SINV_RA.18_23.rep



AeAeg_Aag2_Ago3_SINV_RA.24_35.rep



AeAeg_Aag2_Ago3_SINV_RA.rep



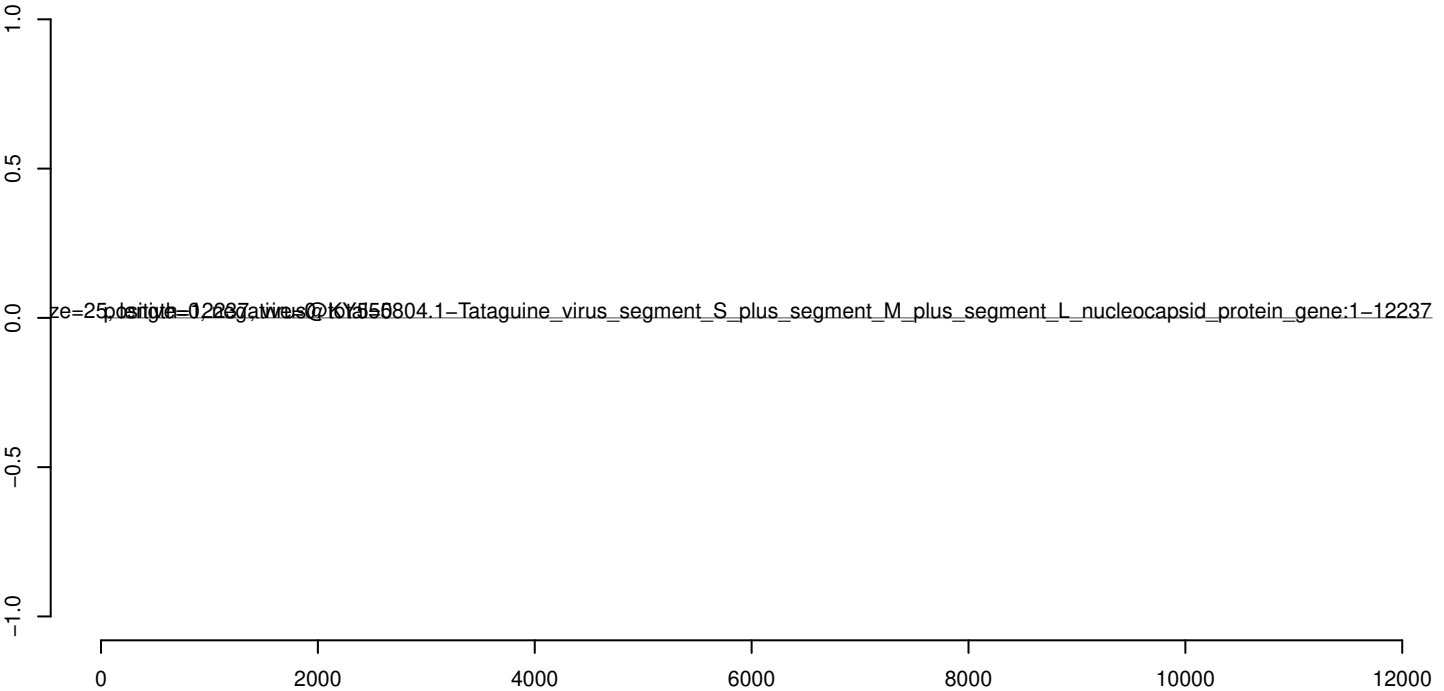
AeAeg_Aag2_Ago3_SINV_RA.18_23.rep



AeAeg_Aag2_Ago3_SINV_RA.24_35.rep



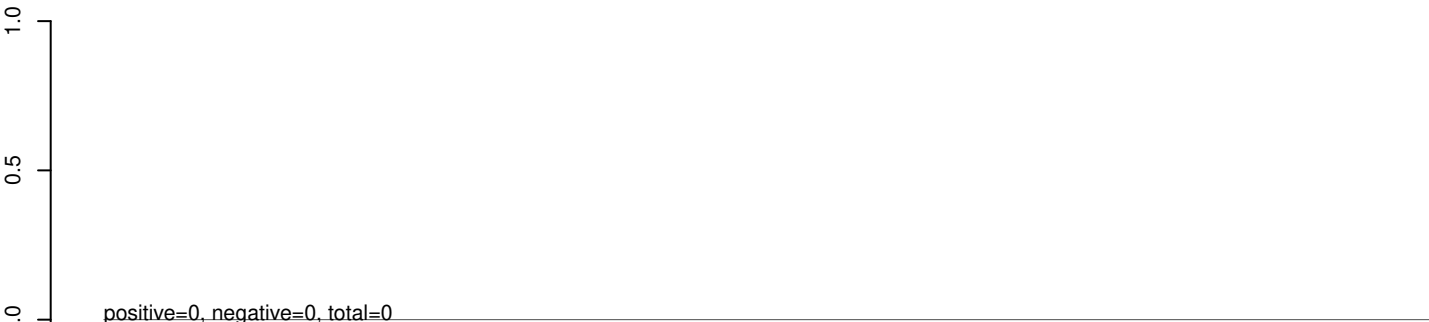
AeAeg_Aag2_Ago3_SINV_RA.rep



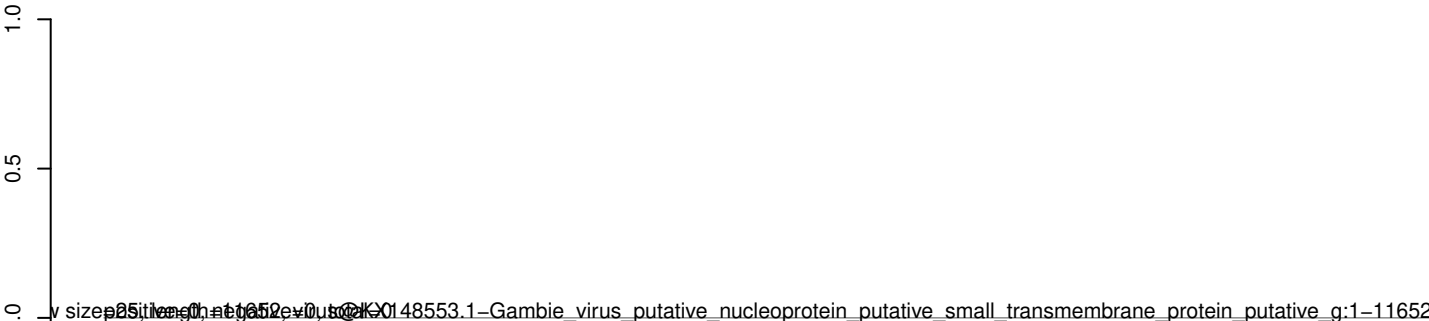
AeAeg_Aag2_Ago3_SINV_RA.18_23.rep



AeAeg_Aag2_Ago3_SINV_RA.24_35.rep



AeAeg_Aag2_Ago3_SINV_RA.rep



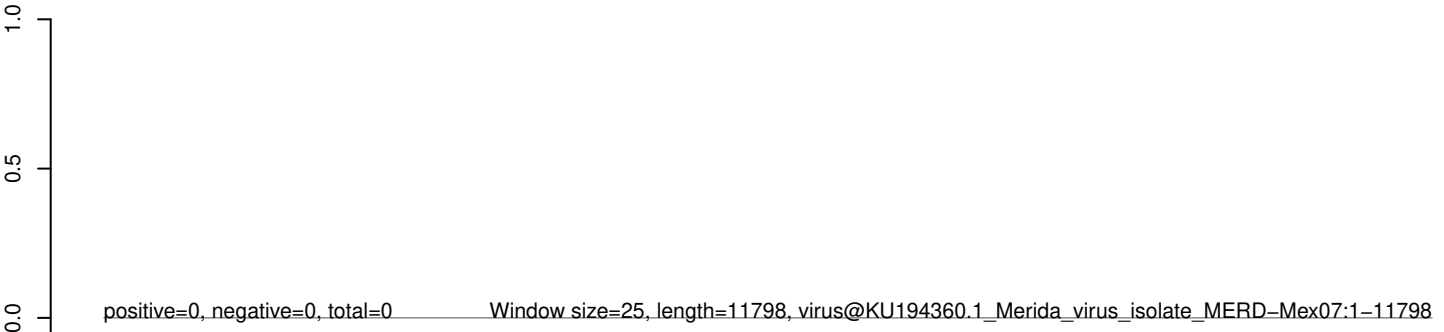
AeAeg_Aag2_Ago3_SINV_RA.18_23.rep



AeAeg_Aag2_Ago3_SINV_RA.24_35.rep

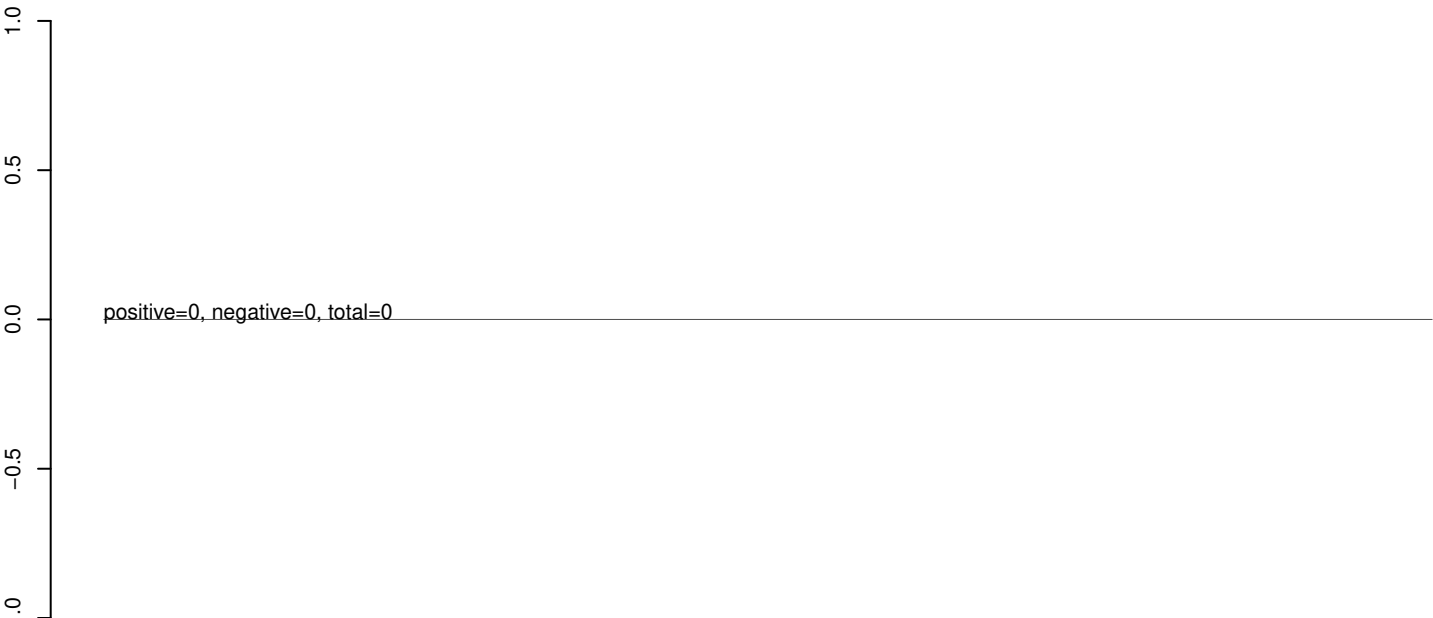


AeAeg_Aag2_Ago3_SINV_RA.rep

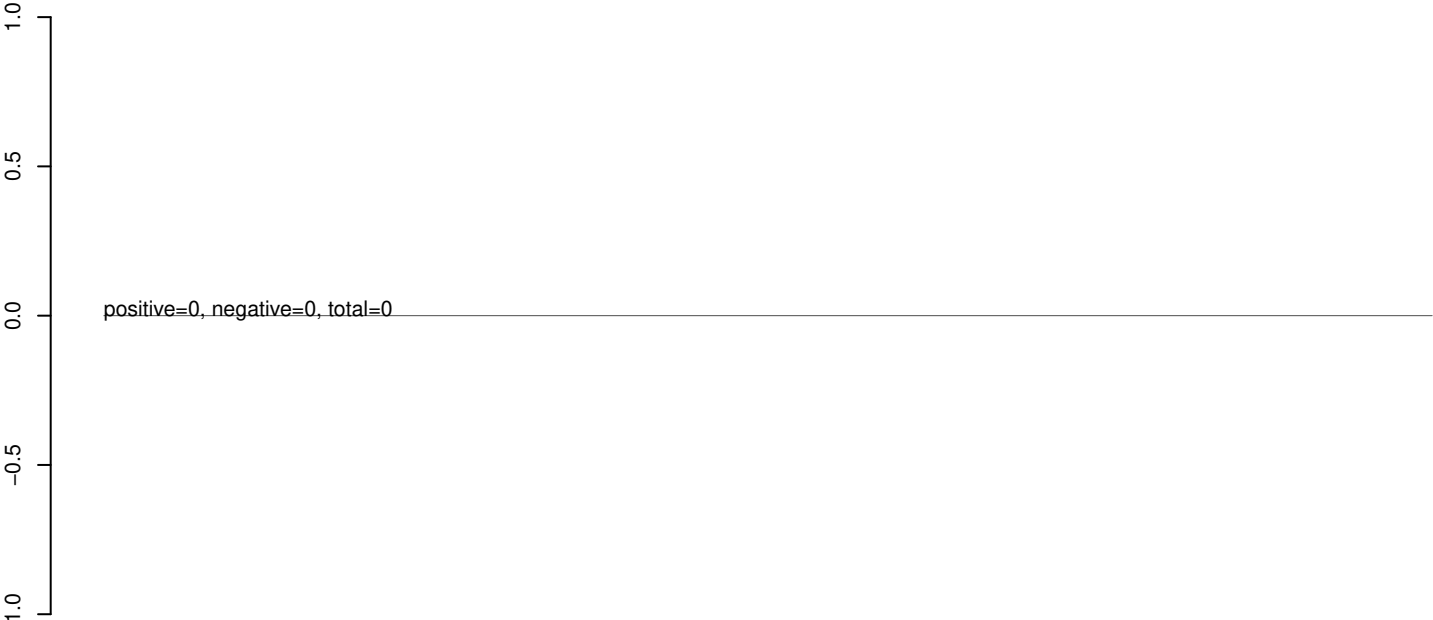


0 2000 4000 6000 8000 10000 12000

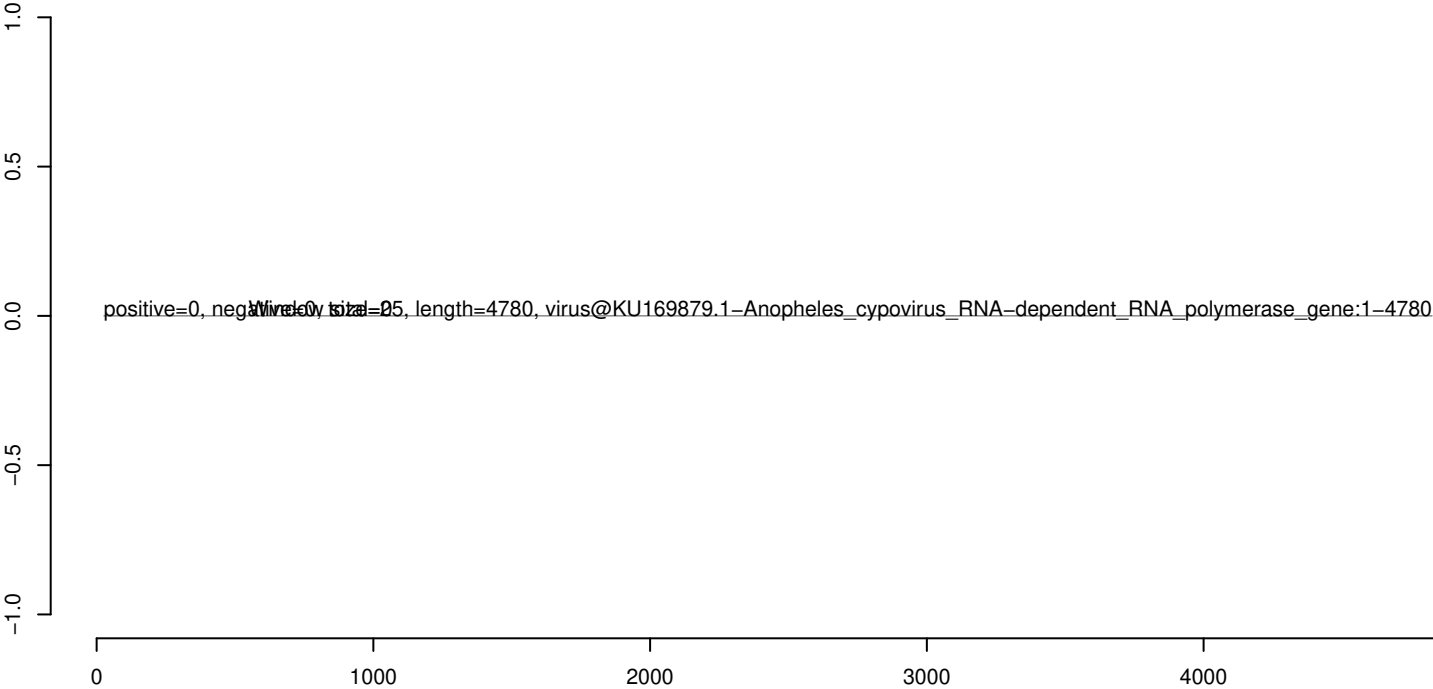
AeAeg_Aag2_Ago3_SINV_RA.18_23.rep



AeAeg_Aag2_Ago3_SINV_RA.24_35.rep



AeAeg_Aag2_Ago3_SINV_RA.rep



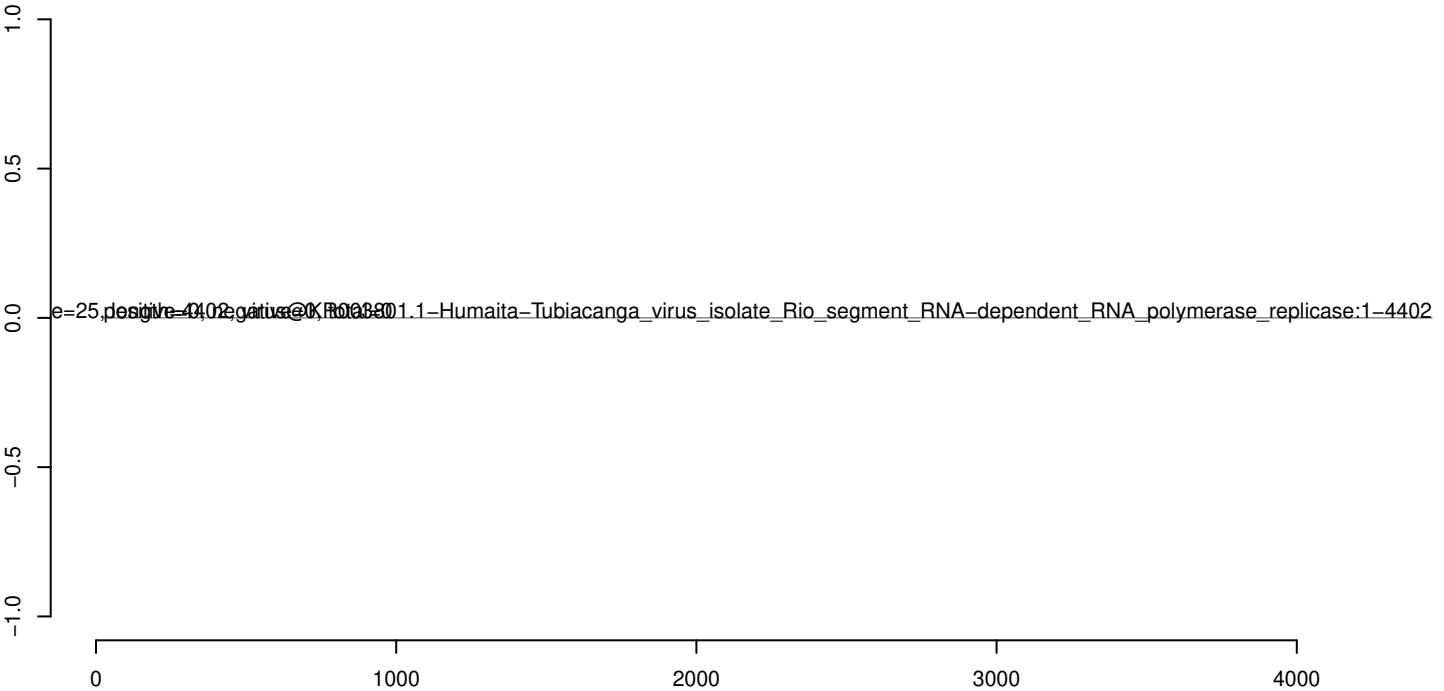
AeAeg_Aag2_Ago3_SINV_RA.18_23.rep



AeAeg_Aag2_Ago3_SINV_RA.24_35.rep



AeAeg_Aag2_Ago3_SINV_RA.rep



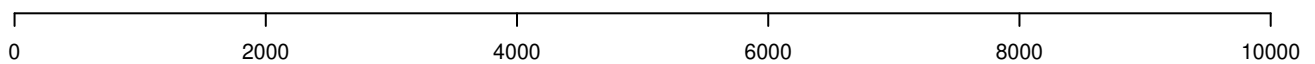
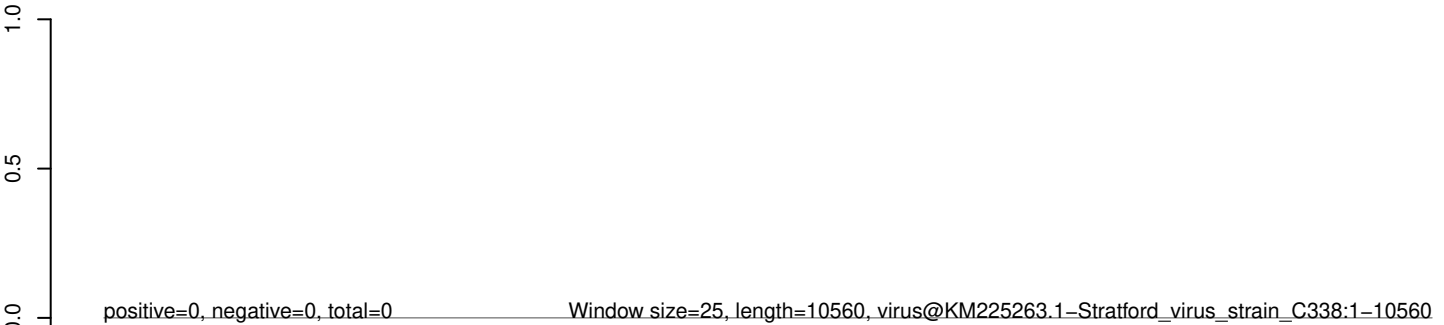
AeAeg_Aag2_Ago3_SINV_RA.18_23.rep



AeAeg_Aag2_Ago3_SINV_RA.24_35.rep



AeAeg_Aag2_Ago3_SINV_RA.rep



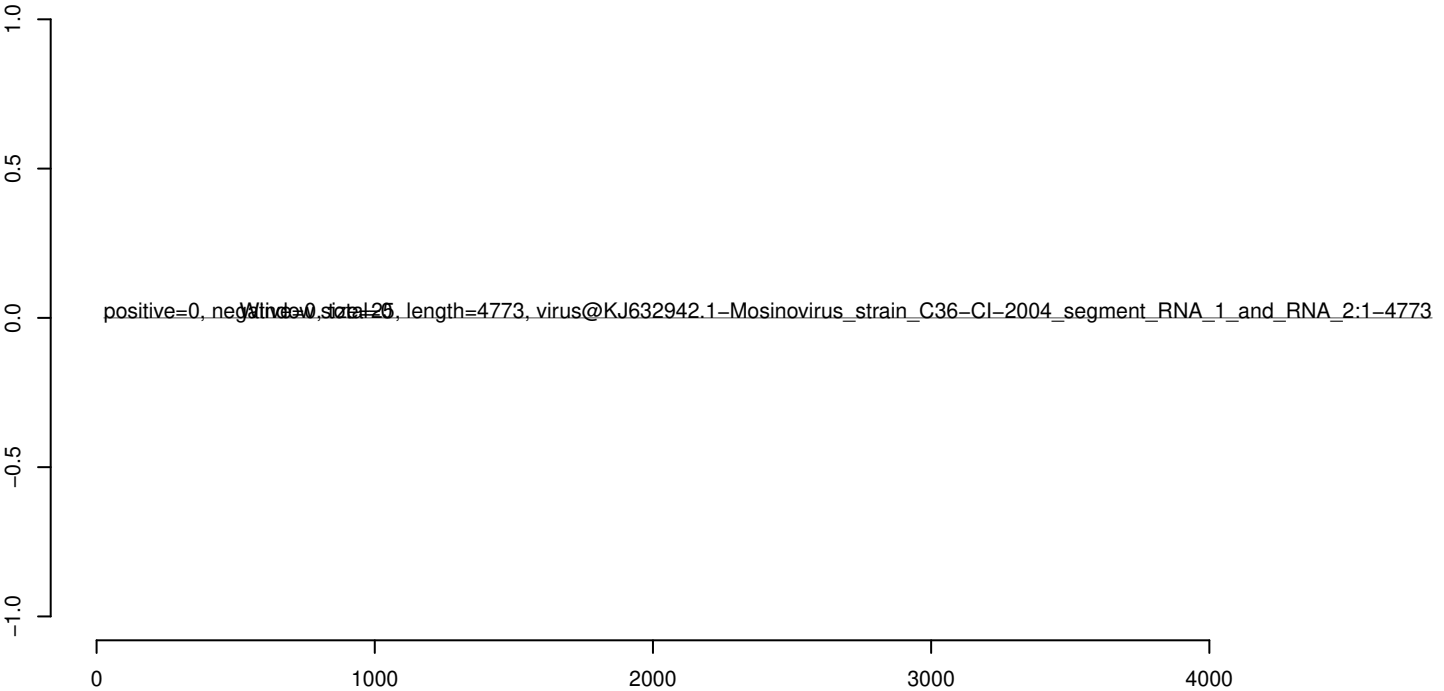
AeAeg_Aag2_Ago3_SINV_RA.18_23.rep



AeAeg_Aag2_Ago3_SINV_RA.24_35.rep



AeAeg_Aag2_Ago3_SINV_RA.rep



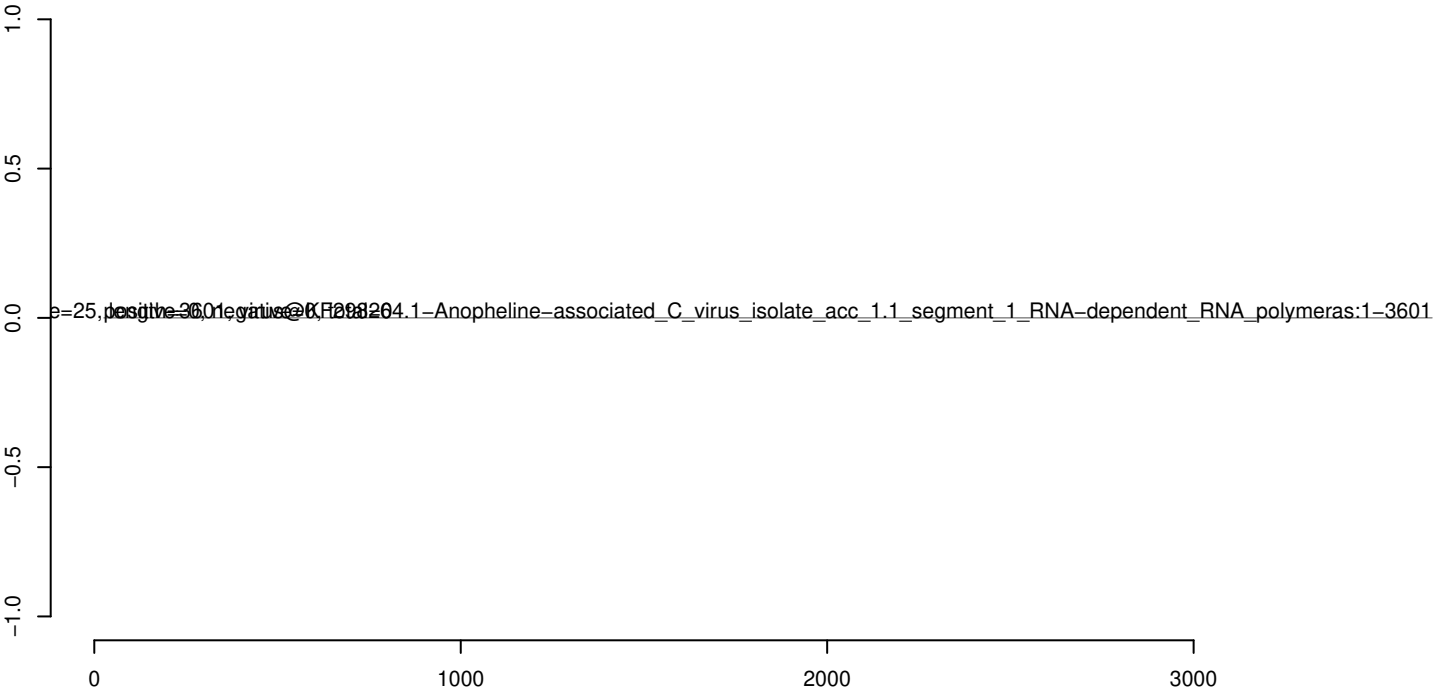
AeAeg_Aag2_Ago3_SINV_RA.18_23.rep



AeAeg_Aag2_Ago3_SINV_RA.24_35.rep



AeAeg_Aag2_Ago3_SINV_RA.rep



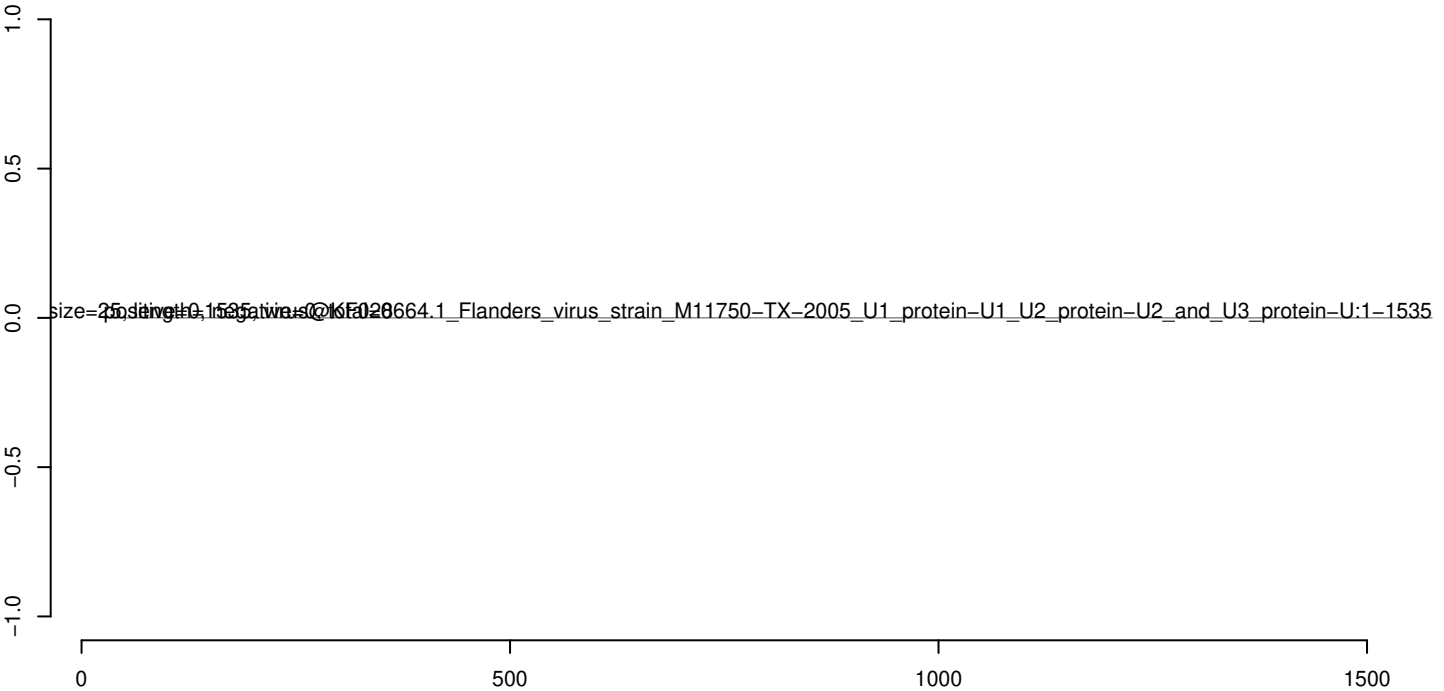
AeAeg_Aag2_Ago3_SINV_RA.18_23.rep



AeAeg_Aag2_Ago3_SINV_RA.24_35.rep



AeAeg_Aag2_Ago3_SINV_RA.rep



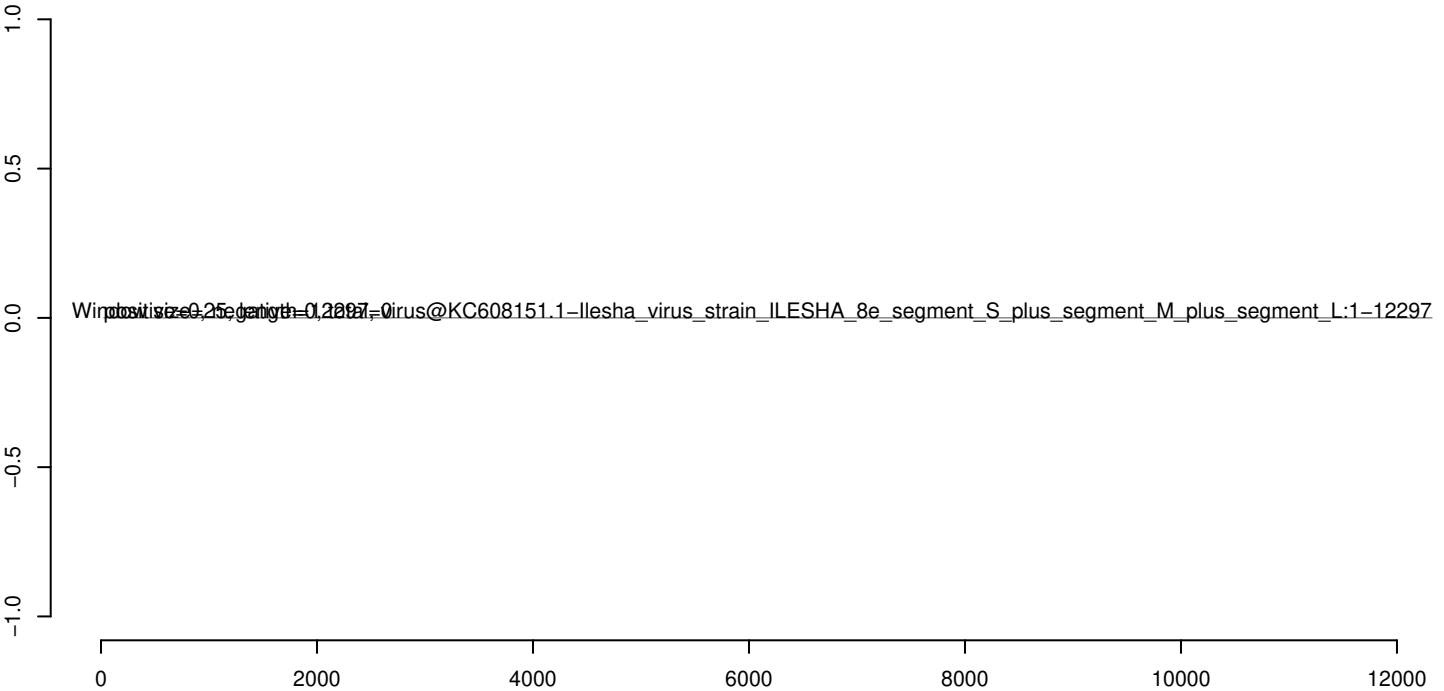
AeAeg_Aag2_Ago3_SINV_RA.18_23.rep



AeAeg_Aag2_Ago3_SINV_RA.24_35.rep



AeAeg_Aag2_Ago3_SINV_RA.rep



AeAeg_Aag2_Ago3_SINV_RA.18_23.rep



AeAeg_Aag2_Ago3_SINV_RA.24_35.rep



AeAeg_Aag2_Ago3_SINV_RA.rep



0 2000 4000 6000 8000 10000 12000

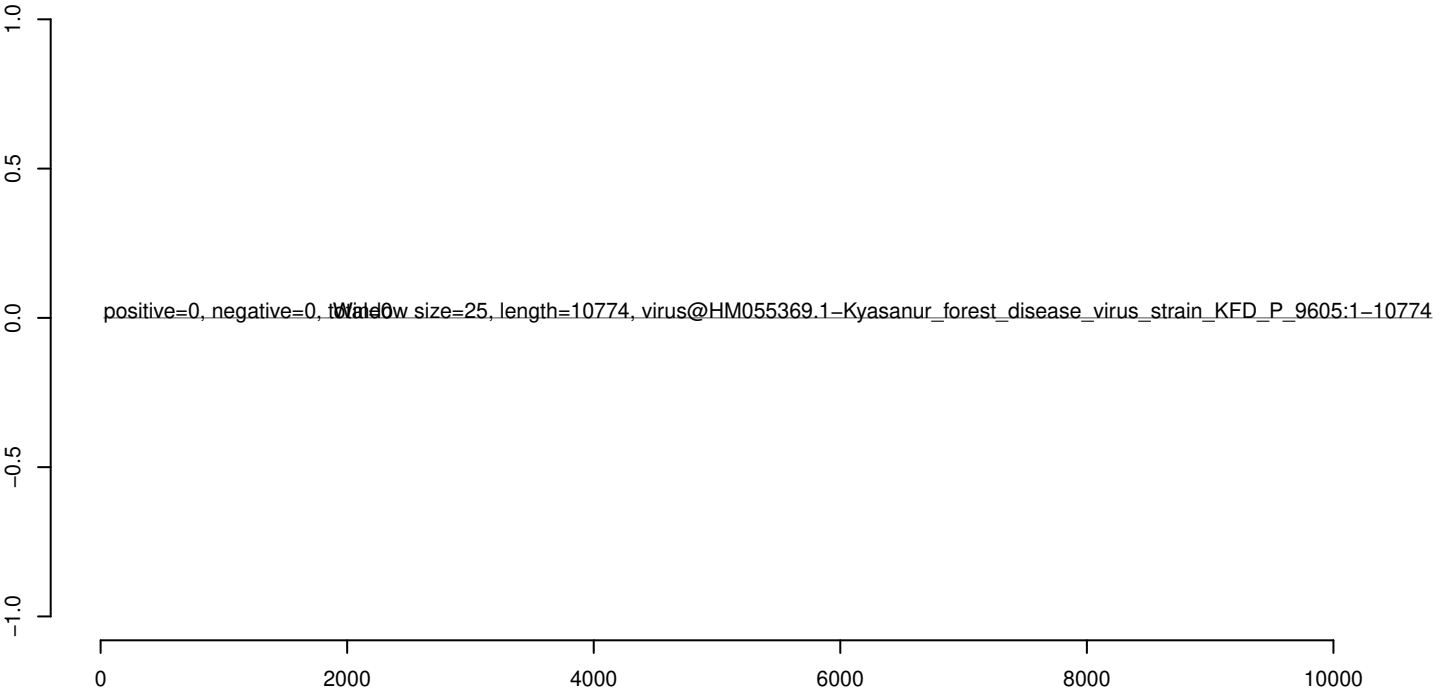
AeAeg_Aag2_Ago3_SINV_RA.18_23.rep



AeAeg_Aag2_Ago3_SINV_RA.24_35.rep



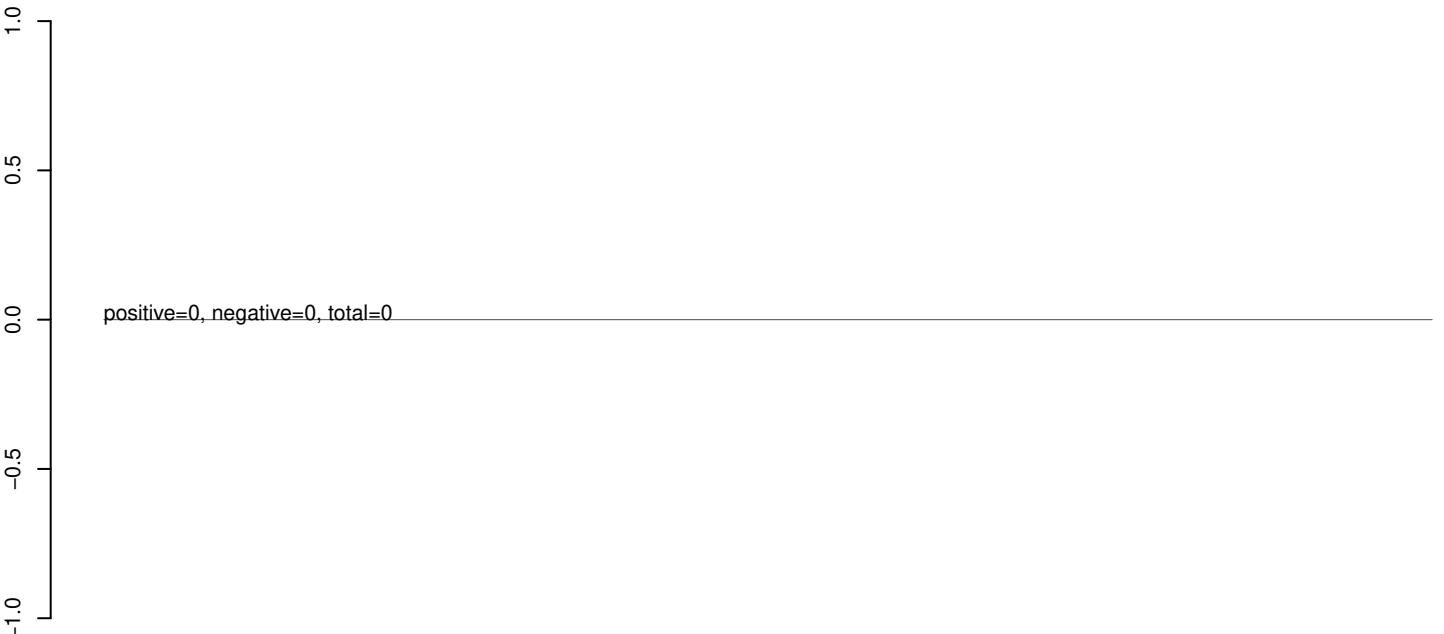
AeAeg_Aag2_Ago3_SINV_RA.rep



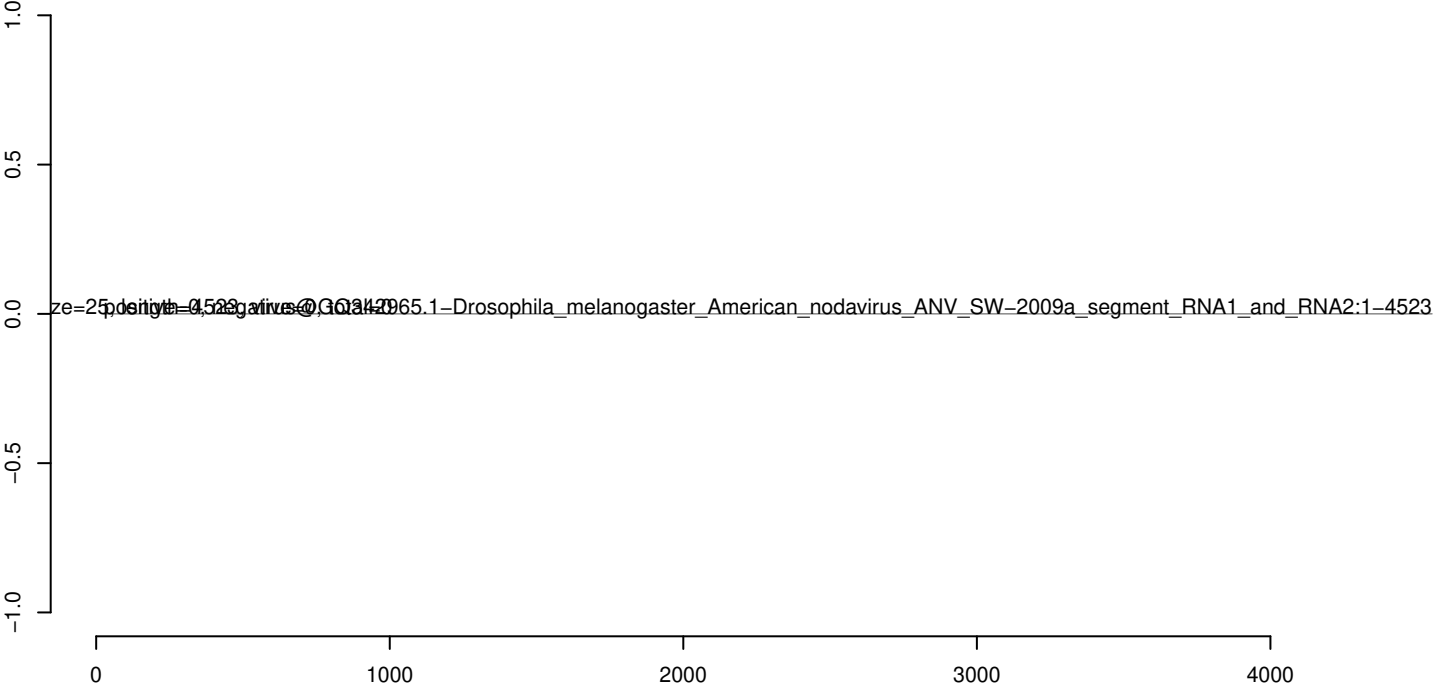
AeAeg_Aag2_Ago3_SINV_RA.18_23.rep



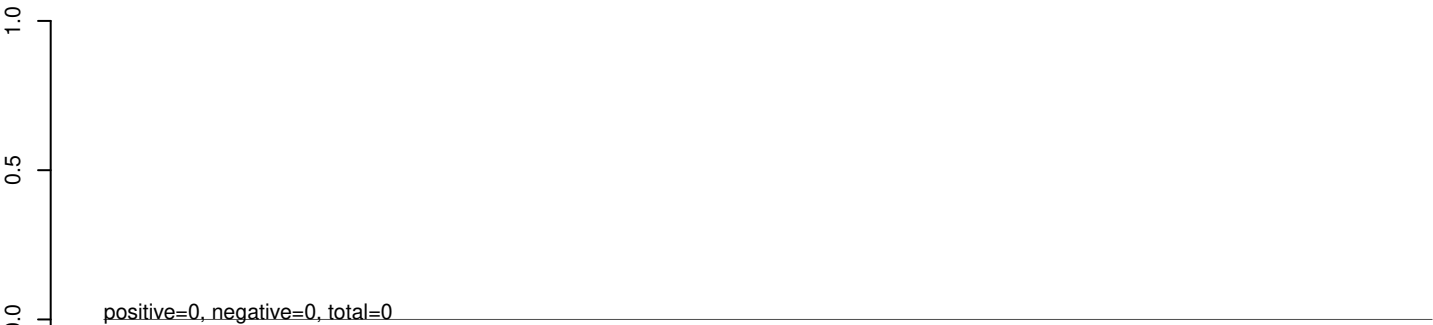
AeAeg_Aag2_Ago3_SINV_RA.24_35.rep



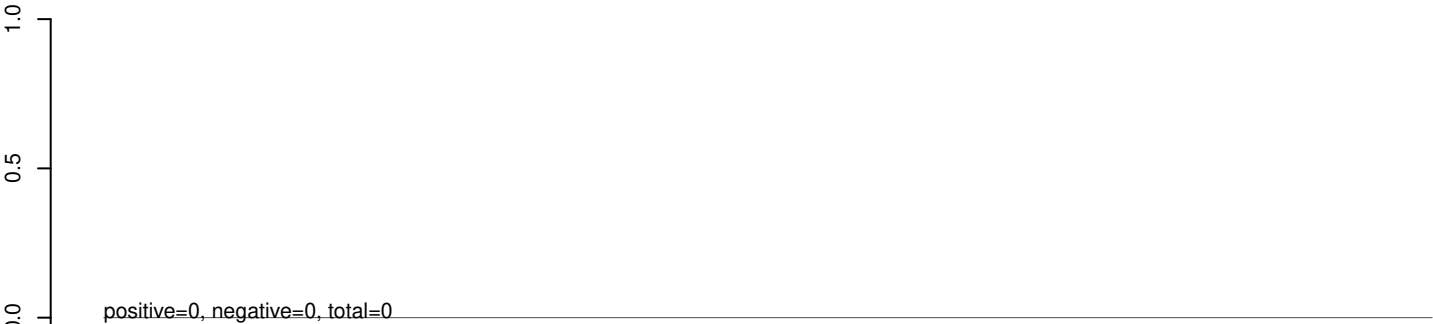
AeAeg_Aag2_Ago3_SINV_RA.rep



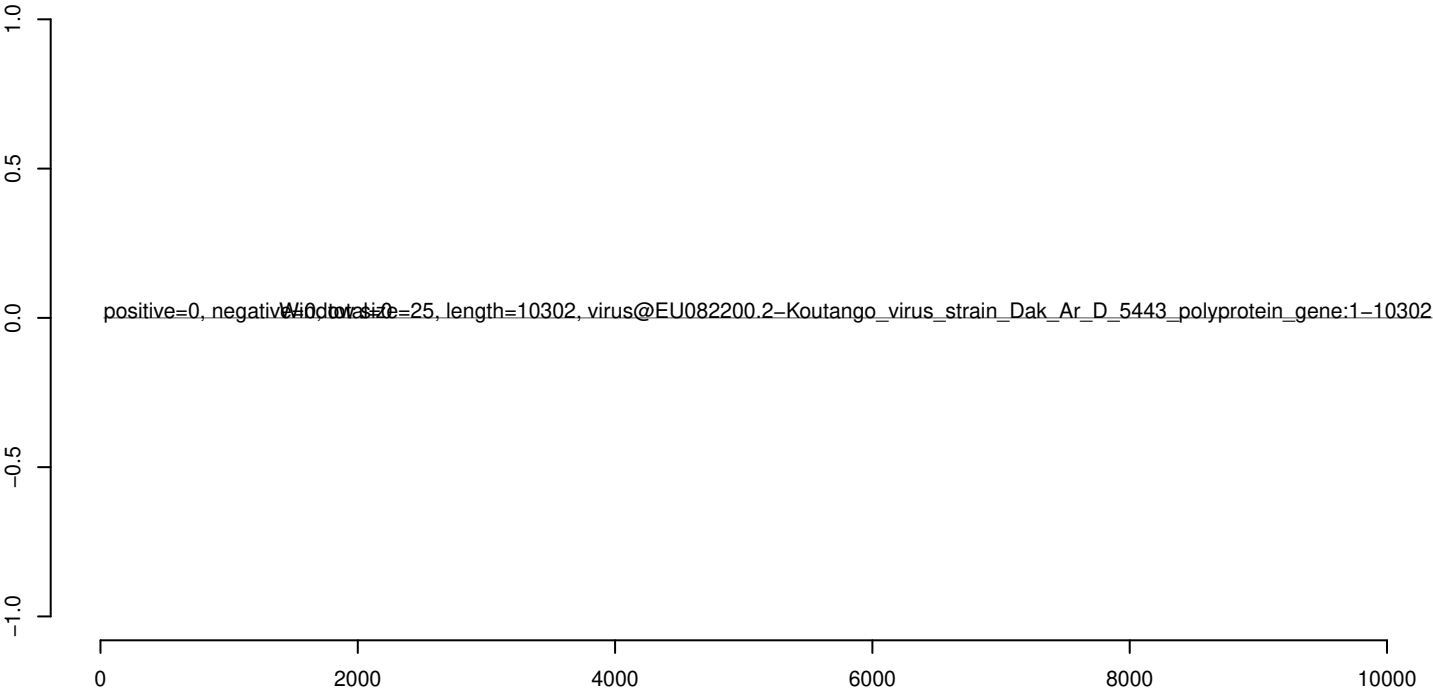
AeAeg_Aag2_Ago3_SINV_RA.18_23.rep



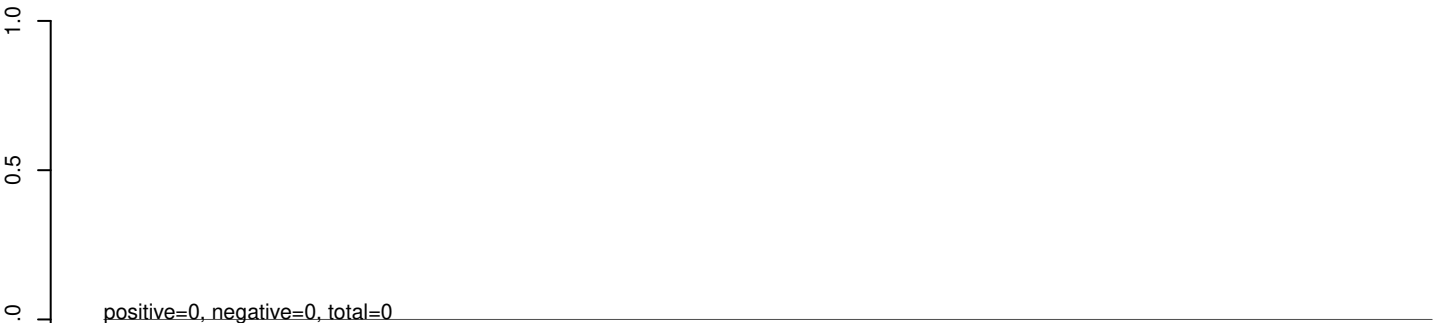
AeAeg_Aag2_Ago3_SINV_RA.24_35.rep



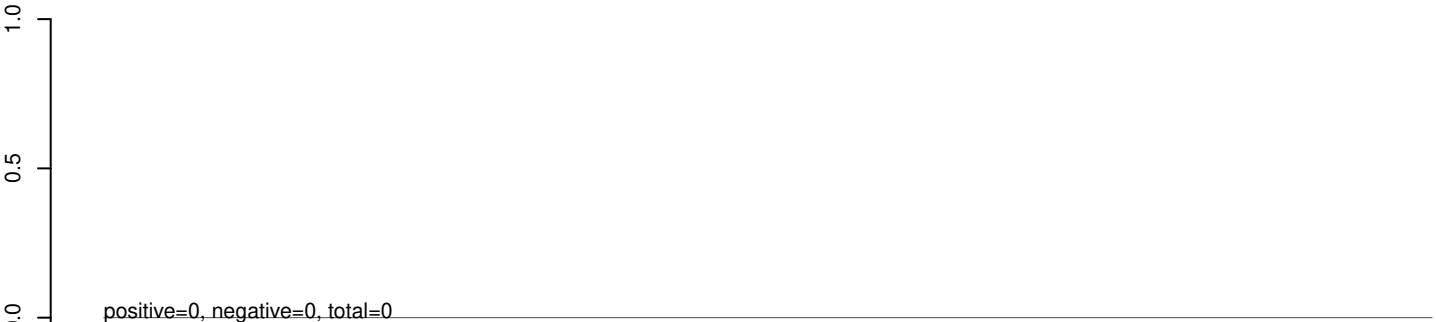
AeAeg_Aag2_Ago3_SINV_RA.rep



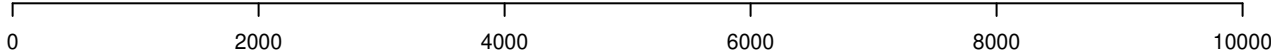
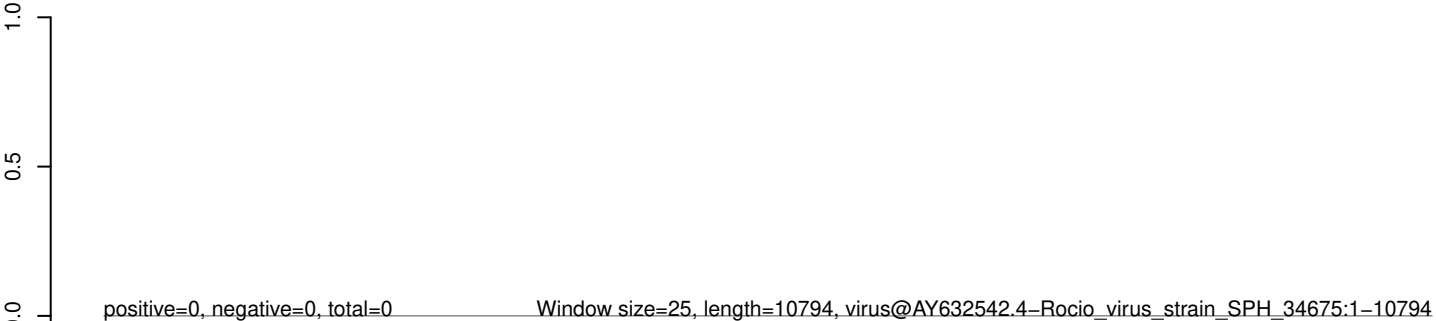
AeAeg_Aag2_Ago3_SINV_RA.18_23.rep



AeAeg_Aag2_Ago3_SINV_RA.24_35.rep



AeAeg_Aag2_Ago3_SINV_RA.rep



AeAeg_Aag2_Ago3_SINV_RA.18_23.rep



AeAeg_Aag2_Ago3_SINV_RA.24_35.rep



AeAeg_Aag2_Ago3_SINV_RA.rep

